

# IONOSPHERIC DATA IN JAPAN

FOR December 2022  
VOL. 74 NO. 12

## CONTENTS

Introduction . . . . .	1
Ionosphere	
1. Automatic Scaling	
Hourly Values at Wakkanai ( $foF2$ , $fEs$ and $fmin$ ) . . . . .	4
Hourly Values at Kokubunji ( $foF2$ , $fEs$ and $fmin$ ) . . . . .	7
Hourly Values at Yamagawa ( $foF2$ , $fEs$ and $fmin$ ) . . . . .	10
Hourly Values at Okinawa ( $foF2$ , $fEs$ and $fmin$ ) . . . . .	13
Summary Plots at Wakkanai . . . . .	16
Summary Plots at Kokubunji . . . . .	24
Summary Plots at Yamagawa . . . . .	32
Summary Plots at Okinawa . . . . .	40
Monthly Medians $\#F$ and $\#Es$ . . . . .	48
Monthly Medians Plot of $foF2$ . . . . .	50
2. Manual Scaling	
Hourly Values at Wakkanai . . . . .	51
Hourly Values at Kokubunji . . . . .	65
Hourly Values at Yamagawa . . . . .	79
Hourly Values at Okinawa . . . . .	93
$f$ -plot at Wakkanai . . . . .	108
$f$ -plot at Kokubunji . . . . .	139
$f$ -plot at Yamagawa . . . . .	170
$f$ -plot at Okinawa . . . . .	201

«WDC for Ionosphere and Space Weather ... <https://wdc.nict.go.jp/IONO/wdc/index.html> »



NATIONAL INSTITUTE OF INFORMATION  
AND COMMUNICATIONS TECHNOLOGY  
TOKYO, JAPAN

# INTRODUCTION

This Series contains data on ionosphere obtained at the following stations under the National Institute of Information

and Communications Technology, Japan.

Stations	Geographic (WGS84)		Geomagnetic (IGRF-13 (2022))		Technical Method
	Latitude	Longitude	Latitude	Longitude	
*Wakkanai/Sarobetsu	45°10'N	141°45'E	37.1°N	149.9°W	Vertical Sounding
Kokubunji	35°43'N	139°29'E	27.5°N	150.8°W	Vertical Sounding
Yamagawa	31°12'N	130°37'E	22.4°N	158.5°W	Vertical Sounding
Okinawa	26°41'N	128°09'E	17.8°N	160.5°W	Vertical Sounding

\*We moved the observation facilities at Wakkanai to Sarobetsu in February 2009. The new observatory is located at approximately 26km south from the old observatory. The observation at Sarobetsu commenced on March 6, 2009.

## IONOSPHERE

Ionospheric observations are carried out at the above four stations in Japan by means of vertical sounding using ionosondes. The ionosonde produces ionograms, which are recorded digitally on a computer storage medium. The digitally-recorded ionograms are collected from each station by the central computer and reduced to numerical values and Summary Plots by the automatic processing system. The ionograms obtained at Kokubunji are manually scaled by experienced specialists to supplement automatically-scaled parameters.

### 1. Automatic Scaling

Digital ionograms are automatically scaled by the pattern recognition method. The following five characteristics of the ionospheric are listed below. The reliability of these factors has been ascertained by comparison of the automatically-scaled parameters with the manually-scaled values of large amounts of test ionograms.

The published data consist of tabulations of hourly values of three factors ( $foF2$ ,  $fEs$ ,  $fmin$ ) and monthly medians of two factors ( $h'Es$ ,  $h'F$ ), daily Summary Plots and monthly medians plot of  $foF2$ .

#### a. Characteristics of Ionosphere

<b><math>foF2</math></b>	Ordinary wave critical frequency for the <b>F2</b> layer
<b><math>fEs</math></b>	Highest frequency of the <b>Es</b> layer whether it may be ordinary or extraordinary
<b><math>fmin</math></b>	Lowest frequency which shows vertical iono-spheric reflections
<b><math>h'Es</math></b>	Minimum virtual height on the ordinary wave for the <b>Es</b> and <b>F</b> layers, respectively

#### b. Descriptive Letters

The following descriptive letters are used in the tables.

- A Impossible measurement because of the presence of a lower thin layer, for example **Es** ( for  $foF2$  ).
- C Impossible measurement because of any failure in observation.
- G Impossible automatic scaling because of very small ionization density of the layer ( for  $fEs$  ).
- N Impossible automatic scaling because of complex echoes.

Blank No digital record because of problems occurring in the automatic data processing system, but existence of film record.

#### c. Definitions of CNT, MED, UQ ,and LQ

**Median count ( CNT )** is the number of numerical values from which the median has been computed. In addition to numerical values, the count may include a descriptive letter G.

**Median ( MED )** is defined as the middle value when the numerical values are arranged in order of magnitude, or the average of the two middle values if there is an even number of values.

**Upper quartile ( UQ )** is the median value of the upper half of the values when they are ranked according to magnitude; the **lower quartile ( LQ )** is the median value of the lower half.

If CNT is less than 10, there are blank spaces left.

#### d. Reliability of Automatic Scaling

The results of the comparison between automatically-scaled values and manually-scaled ones showed that hourly values of  $foF2$  ,  $fEs$  and  $fmin$  were scaled within a difference of 1 MHz from about 90, 90 and 99%, respectively of the test ionograms.

#### e. Summary Plot

Daily Summary Plots which are made from quarter-hourly digital ionograms are published to present general ionosphere conditions. The upper and middle parts of a Summary Plot show the diurnal variation of the frequency range of the echoes reflected from the **F** and **E** regions, respectively. The two solid arcing lines indicate the predicted values of  $fxE$  and  $foE$  calculated by the method described in the CCIR report 340. The lower part shows the diurnal variation of the virtual height where the echo traces become horizontal.

### 2. Manual Scaling

The published data consist of tabulations of hourly values of the ionospheric characteristics and figures of daily *f*-plot.

All symbols and terminology in the tables or figures of ionospheric data are used in accordance with the "URSI Hand-book of Ionogram Interpretation and Reduction ( Second Edition ) 1972 " and its revision of chapters I-4, published in July 1978.

#### a. Characteristics of Ionosphere

<b><math>fxI</math></b>	Top frequency of spread <b>F</b> trace
<b><math>foF2</math></b>	Ordinary wave critical frequency for the <b>F2</b> , <b>F1</b> , <b>E</b> , and <b>Es</b> (including particle type <b>E</b> ) layers, respectively
<b><math>foE</math></b>	
<b><math>foEs</math></b>	
<b><math>fbEs</math></b>	Blanketing frequency of the <b>Es</b> layer, e.g. the lowest ordinary wave frequency visible through <b>Es</b>
<b><math>fmin</math></b>	Lowest frequency that shows vertical ionospheric reflections
<b><math>M(3000)F2</math></b>	Maximum usable frequency factor for a path of 3000 km for transmission by the <b>F2</b> and <b>F1</b> layers, respectively
<b><math>M(3000)F1</math></b>	
<b><math>h'F2</math></b>	Minimum virtual height on the ordinary wave for the <b>F2</b> , whole <b>F</b> , <b>E</b> and <b>Es</b> layers, respectively
<b><math>h'F</math></b>	
<b><math>h'E</math></b>	
<b><math>h'Es</math></b>	
<b>Types of <math>Es</math></b>	See below b. (iii)

#### b. Symbols

(i) Descriptive Letters

- The following letters are entered after, or used to replace a numerical value on the monthly tabulation sheets, if necessary.
- A** Measurement influenced by, or impossible because of, the presence of a lower thin layer, for example *Es*.
  - B** Measurement influenced by, or impossible because of, absorption in the vicinity of *fmin*.
  - C** Measurement influenced by, or impossible because of, any non-ionospheric reason.
  - D** Measurement influenced by, or impossible because of, the upper limit of the normal frequency range in use.
  - E** Measurement influenced by, or impossible because of, the lower limit of the normal frequency range in use.
  - F** Measurement influenced by, or impossible because of, the presence of spread echoes.
  - G** Measurement influenced by, or impossible because the ionization density of the layer is too small to enable it to be made accurately.
  - H** Measurement influenced by, or impossible because of, the presence of a stratification.
  - K** Presence of particle *E* layer.
  - L** Measurement influenced or impossible because the trace has no sufficiently definite cusp between layers.
  - M** Interpretation of measurement questionable because the ordinary and extraordinary components are not distinguishable.
  - N** Conditions are such that the measurement cannot be interpreted.
  - O** Measurement refers to the ordinary component.
  - P** Man-made perturbations of the observed parameter; or spur type spread *F* present.
  - Q** Range spread present.
  - R** Measurement influenced by, or impossible because of, attenuation in the vicinity of a critical frequency.
  - S** Measurement influenced by, or impossible because of, interference or atmosphericics.
  - T** Value determined by a sequence of observations, the actual observation being inconsistent or doubtful.
  - V** Forked trace which may influence the measurement.
  - W** Measurement influenced or impossible because the echo lies outside the height range recorded.
  - X** Measurement refers to the extraordinary component.
  - Y** Lacuna phenomena, severe layer tilt.
  - Z** Third magneto-electronic component present.

(ii) Qualifying Letters

- The following letters are entered in the first column before a numerical value on the monthly tabulation sheets, if necessary.
- A** Less than. Used only when *fbEs* is deduced from *foEs* because total blanketing of higher layer is present.
  - D** Greater than.
  - E** Less than.
  - I** Missing value has been replaced by an interpolated value.
  - J** Ordinary component characteristic deduced from the extraordinary component.

**M** Mode interpretation uncertain.

**O** Extraordinary component characteristic deduced from the ordinary component. ( Used for x-characteristics only.)

**T** Value determined by a sequence of observations, the actual observation being inconsistent or doubtful.

**U** Uncertain or doubtful numerical value.

**Z** Measurement deduced from the third magneto-electronic component.

(iii) Description of Types of *Es*

When more than one type of *Es* trace are present on the ionogram, the type for the trace used to determine *foEs* must be written first. The number of multiple trace is indicated after the type letter.

The types are:

- f** An *Es* trace which shows no appreciable increase of height with frequency.
- l** A flat *Es* trace at or below the normal *E* layer minimum virtual height or below the part *E* layer minimum virtual height.
- c** An *Es* trace showing a relatively symmetrical cusp at or below *foE*. ( Usually a daytime type. )
- h** An *Es* trace showing a discontinuity in height with the normal *E* layer trace at or above *foE*. The cusp is not symmetrical, the low frequency end of the *Es* trace lying clearly above the high frequency end of the normal *E* trace. ( Usually a daytime type. )
- q** An *Es* trace which is diffuse and non-blanketing over a wide frequency range.
- r** An *Es* trace showing an increase in virtual height at the high frequency end similar to group retardation.
- a** An *Es* trace having a well-defined flat or gradually rising lower edge with stratified and diffuse traces present above it.
- s** A diffuse *Es* trace which rises steadily with frequency and usually emerges from another type *Es* trace.
- d** A weak diffuse trace at heights below 95 km associated with high absorption and large *fmin*.
- n** The designation 'n' is used to denote an *Es* trace which cannot be classified into one of the standard types.
- k** The designation 'k' is used to show the presence of particle *E*. When *foEs* > *foE* ( particle *E* ) the *Es* type precedes k.

c. Definitions of the CNT, MED, UQ and LQ

**Median count ( CND )** is the number of values from which the median has been computed. In addition to numerical values, the count may include certain descriptive letters.

**Median ( MED )** is the middle value when the numerical values are arranged in order of magnitude, or the average of the two middle values if there is an even number of values.

**Upper quartile ( UQ )** is the median value of the upper half of the values when they are ranked according to magnitude; the **lower quartile ( LQ )** is the median value of the lower half.



## HOURLY VALUES OF fOF2 AT WAKKANAI

DEC. 2022

LAT. 45°10.0'N LON. 141°45.0'E SWEEP 1.0 MHz TO 30.0 MHz AUTOMATIC SCALING

D	00	01	02	03	04	05	06	07	08	09	10	11	12	13	14	15	16	17	18	19	20	21	22	23
1	33	33	31	32	31	25	A	A	86	81	87	107	90	86	80	79	79	59	41	27	A	A	35	39
2	37	32	33	A	32	31	29	55	79	75	91	87	79	84	75	75	65	39	32	31	29	31	31	36
3	39	32	32	32	33	32	32	55	65	76	79	82	84	95	67	82	63	38	32	36	35	31	31	34
4	35	32	31	33	31	33	33	51	65	83	87	90	94	85	70	69	55	41	33	26	31	31	30	31
5	32	32	32	33	33	35	24	55	74	101	87	106	89	77	75	74	57	39	33	32	32	30	31	33
6	34	31	32	35	31	32	31	51	80	94	88	81	86	83	74	75	54	36	32	31	27	31	32	32
7	33	33	33	32	33	32	A	50	66	89	97	81	79	70	73	89	64	38	33	A	33	35	32	
8	34	33	33	31	33	34	34	55	105	128	111	111	105	77	75	90	61	45	39	27	25	29	27	31
9	31	32	31	34	33	33	27	52	76	92	101	94	89	95	77	86	71	51	A	34	33	31	35	39
10	N	31	33	35	36	41	38	48	70	95	98	103	87	89	84	85	66	51	49	A	A	A	A	35
11	33	31	35	36	36	36	34	51	72	85	99	100	101	82	85	85	69	63	A	A	A	A	45	39
12	40	48	41	41	40	37	32	47	84	102	88	104	95	92	76	85	73	51	44	40	A	A	A	32
13	35	36	37	35	37	36	34	52	89	91	97	95	84	80	86	76	66	50	41	40	35	33	37	35
14	37	40	41	37	38	38	33	53	77	98	107	103	83	79	83	75	64	54	37	A	29	30	30	31
15	32	33	34	34	33	33	30	49	79	90	111	109	79	89	87	81	70	50	35	38	39	39	49	52
16	47	53	52	53	49	51	35	58	79	98	117	114	91	97	94	84	78	55	53	52	55	55	58	59
17	59	64	64	63	53	53	39	55	75	109	113	104	91	101	89	95	73	50	41	36	37	40	37	39
18	40	41	40	39	40	40	33	45	68	93	101	96	92	81	89	95	59	42	35	37	37	33	35	39
19	A	A	38	41	48	39	59	79	105	103	115	93	111	101	87	85	76	49	41	A	39	40	40	
20	41	41	40	41	41	37	33	48	93	101	99	110	97	114	89	90	72	39	33	36	33	32	32	
21	35	36	37	36	39	38	32	43	68	92	87	109	93	105	91	76	65	55	44	35	35	39	37	37
22	36	34	36	39	40	33	34	47	72	92	105	102	83	95	88	84	64	39	44	A	A	33	39	37
23	37	39	38	37	41	38	35	47	85	69	110	118	87	85	85	79	57	56	52	36	32	33	36	25
24	A	31	31	36	32	24	A	A	76	100	120	111	94	85	80	75	69	57	40	34	31	34	36	37
25	38	39	35	35	36	35	37	49	74	79	109	95	79	87	95	81	52	43	39	37	34	38	45	36
26	35	34	37	38	35	36	32	45	82	75	100	80	97	93	91	81	61	39	49	36	35	37	55	35
27	30	33	35	35	41	36	37	49	76	87	97	109	87	87	90	71	66	57	59	37	24	A	31	33
28	35	35	34	31	31	A	32	49	69	77	119	104	81	97	79	76	69	42	43	36	35	33	34	36
29	36	37	39	39	38	40	31	43	63	76	103	93	88	79	77	72	65	40	32	34	33	31	31	32
30	33	34	31	32	31	31	29	48	76	94	97	93	93	87	62	91	67	55	48	42	37	33	32	32
31	A	33	35	40	30	30	30	49	80	104	108	110	90	86	90	72	79	53	49	31	30	32	34	31
	00	01	02	03	04	05	06	07	08	09	10	11	12	13	14	15	16	17	18	19	20	21	22	23
CNT	29	30	30	30	31	30	28	29	31	31	31	31	31	31	31	31	30	27	28	24	26	29	31	
MED	35	34	35	36	36	36	33	49	76	92	100	103	89	87	84	81	66	50	41	36	34	33	35	35
U Q	37	39	38	39	40	38	34	54	80	100	109	109	93	95	89	86	71	55	48	37	35	37	38	39
L Q	33	32	32	33	32	32	31	47	70	81	91	93	84	82	75	75	61	40	35	32	30	31	31	32

## HOURLY VALUES OF fES AT Wakkanai

DEC. 2022

LAT. 45°10.0'N LON. 141°45.0'E SWEEP 1.0 MHz TO 30.0 MHz AUTOMATIC SCALING

D	00	01	02	03	04	05	06	07	08	09	10	11	12	13	14	15	16	17	18	19	20	21	22	23	
1	28	36	28	G	25	G	172	70	40	54	36	41	52	28	34	29	39	33	11	28	46	60	30	32	
2	39	31	26	36	26	G	G	26	47	56	38	54	56	28	25	G	26	G	G	G	G	G	G	G	
3	G	G	G	G	G	G	G	26	61	52	35	53	34	58	G	31	G	G	G	G	G	G	G	G	
4	G	G	G	G	117	G	G	11	24	42	33	52	53	54	43	G	11	G	G	G	G	G	G	G	
5	G	G	G	G	G	G	G	32	34	28	33	30	35	48	24	11	G	G	G	G	G	G	G	G	
6	G	G	G	G	G	G	G	31	138	50	32	29	49	26	26	20	30	G	G	G	G	G	G	33	
7	32	32	G	G	G	30	33	28	23	48	38	29	53	28	29	26	49	33	54	32	39	28	G	G	
8	G	G	G	G	G	161	26	32	31	34	32	31	37	33	35	38	G	G	G	G	G	G	G	G	
9	G	G	G	G	G	G	25	54	29	29	29	28	45	39	37	34	38	G	G	G	24	29			
10	G	G	G	G	G	G	11	22	29	29	31	36	33	40	46	11	40	132		91	71	57	32		
11	38	32	159	G	41	40	33	27	26	G	G	G	G	25	37	92	74	69	60	59	37	33			
12	27	28	G	G	29	26	27	32	50	27	29	29	G	27	29	34	33	33	70	48	40	32	27		
13	34	35	31	G	28	27	33	59	35	28	G	28	31	28	G	62	33	47	60	30	G	G	G	30	
14	28	26	G	G	40	30	48	29	30	31	31	94	G	39	35	60	27	G	G	G	G	G	G	G	
15	32	70	G	G	G	19	27	G	G	31	29	28	28	27	11	29	116								
16	G	G	G	G	G	11	G	33	60	174	94	33	38	57	30	G	11	11	G	G	31	25	30	32	
17	26	28	G	G	11	G	G	11	28	29	G	G	G	G	27	28	G	G	G	G	G	G	G	G	
18	32	30	G	G	G	G	G	30	28	G	G	G	G	28	G	11	32	27	33	G	27	26			
19	32	38	46	35	G	G	G	30	27	36	30	31	31	28	26	G	21	32	33	34	G	G	G	G	
20	G	27	113	G	G	G	G	24	27	35	45	31	33	29	G	20	53	G	G	G	G	G	G	G	
21	G	G	G	G	G	G	G	26	55	28	31	34	32	31	28	G	49	32	27	27	28	G	G	24	
22	30	G	G	G	28	G	25	48	48	149	34	32	29	28	G	11	40	33	43	32	32	32			
23	G		G	G	G	26	G	32	145	116	32	27	28	26	G	11	G	G	G	G	G	G	G	G	
24	29	29	G	G	G	28	33	54	62	34	28	28	27	G	G	43	G	28	G	G	G	G	G	28	
25	28	G	G	G	G	27	G	25	G	G	G	G	34	G	G	11	G	G	G	G	G	G	G	G	
26	G	G	G	G	G	G	G	27	G	31	50	G	G	G	G	11	G	G	G	G	G	G	G	G	
27	G	G	G	G	32	33	G	31	G	G	G	G	G	27	G	G	G	G	G	32	29	G			
28	G	G	G	G	G	72	40	34	G	G	36	G	G	G	G	11	G	G	G	G	G	G	G	G	
29	G	G	G	G	G	G	11	24	28	30	32	32	29	G	G	11	G	G	G	24					
30	G	28	G	G	G	G	G	40	48	29	70	52	31	70	32	11	G	G	G	G	G	G	G	28	
31	34	G	G	G	G	26	G	39	43	32	32	31	32	33	28	25	31	G	G	G	G	G	G	G	G
	00	01	02	03	04	05	06	07	08	09	10	11	12	13	14	15	16	17	18	19	20	21	22	23	
CNT	31	30	31	31	30	30	31	31	31	30	31	31	31	31	31	31	31	31	31	30	29	31	29	31	
MED	G	G	G	G	G	G	26	31	33	29	31	31	29	28	G	11	11	G	G	G	G	G	G	G	
U Q	32	28	G	G	G	27	27	32	48	48	35	34	36	33	34	28	34	33	33	29	33	28	28	29	
L Q	G	G	G	G	G	G	G	11	23	27	28	28	G	27	G	G	11	G	G	G	G	G	G	G	

	HOURLY VALUES OF fmin												AT Wakkanai																				
	DEC. 2022																																
	LAT. 45°10.0'N LON. 141°45.0'E SWEEP 1.0 MHz TO 30.0 MHz AUTOMATIC SCALING																																
H D	00	01	02	03	04	05	06	07	08	09	10	11	12	13	14	15	16	17	18	19	20	21	22	23									
1	16	15	16	16	16	14	16	15	15	16	15	16	17	15	15	16	15	15	15	13	15	15	17	17									
2	15	16	15	15	15	14	15	15	15	15	15	16	15	14	15	15	15	15	16	15	15	15	14	15									
3	14	14	14	14	14	16	17	15	15	17	16	17	17	16	15	15	16	16	14	14	15	14	15	14									
4	14	15	15	15	16	14	14	15	16	16	17	17	17	15	15	15	15	16	14	15	14	14	16	14									
5	15	14	16	14	14	15	20	15	16	16	15	17	15	16	16	15	16	14	16	14	15	14	14	14									
6	15	16	15	14	16	16	15	17	16	15	16	17	16	15	16	15	16	15	15	14	140	15	16	16									
7	16	16	15	16	15	16	15	15	15	15	16	16	17	17	15	15	16	16	16	16	17	15	15	20									
8	15	15	15	14	16	61	17	15	15	16	17	16	15	15	15	15	14	15	14	16	15	14	15	14									
9	16	16	15	14	16	16	14	16	16	15	15	17	15	15	15	13	16	16	15	17	16	15	16	16									
10	15	16	14	14	17	15	17	16	15	15	15	17	15	15	15	15	18	15	15	11	17	16	15	17									
11	15	16	15	14		13	15	15	17	28	32	34	33	28	28	15	14	15	15	16	16	16	16	15									
12	15	16	16	11	15	16	15	15	16	16	29	33	30	30	28	16	15	15	15	15	15	15	17	16									
13	15	15	17	16	17	15	15	14	17	18	29	30	29	28	27	15	13	14	16	15	15	16	17	15									
14	15	15	16	15	14	15	16	15	16	15	16	17	21	16	26	26	15	15	15	14	15	16	15	15									
15	16	16	16	15	14	14	14	15	26	29	33	35	23	16	16	17	16	16	15	16	14	14	14	15									
16	15	15	15	16	15	15	16	16	15	18	15	18	16	14	15	14	16	14	14	14	16	16	15	16									
17	15	16	16	17	14	14	14	16	24	16	23	35	36	35	28	16	16	16	14	14	15	16	15	15									
18	15	14	15	14	16	14	16	14	21	28	30	38	33	29	28	14	16	16	17	15	16	15	17	15									
19	16	15	15	15	15	14	14	16	15	15	15	16	17	22	15	22	16	16	16	16	15	15	14	16									
20	15	15	15	60	14	15	14	15	15	16	17	17	17	17	16	15	16	15	15	14	16	15	15	14									
21	15	15	14	14	14	14	14	16	16	16	17	19	32	21	15	15	15	16	15	15	15	15	15	16									
22	17	15	17	14	14	14	14	16	15	15	16	15	17	15	15	15	15	15	15	15	14	16	16	16									
23	14		14	14	18	15	14	15	16	16	28	23	30	22	26	14	17	14	14	14	14	14	15	15									
24	15	15	15	14	14	16	16	15	16	26	27	28	28	27	26	21	15	14	14	15	16	17	17	15									
25	15	16	16	14	14	15	15	15	16	15	28	34	29	27	27	21	15	14	14	14	14	14	14	15									
26	14	14	14	14	16	15	20	14	15	16	29	28	36	33	28	27	15	16	14	14	14	15	14	14									
27	14	14	14	15	13	15	14	14	17	27	34	34	30	32	28	17	15	14	14	14	21	15	16	14									
28	15	14	14	14	14	14	15	13	16	26	34	30	36	40	30	26	18	14	14	14	15	19	15	14									
29	14	14	14	16	15	14	15	14	16	15	17	22	21	29	26	23	17	15	16	17	15	16	16	14									
30	16	15	14	14	15	14	14	14	15	15	15	15	17	15	15	14	15	16	16	15	16	15	15	15									
31	15	15	15	15	14	15	15	15	17	17	16	16	16	17	16	15	17	15	16	16	14	18	16	14									
	00	01	02	03	04	05	06	07	08	09	10	11	12	13	14	15	16	17	18	19	20	21	22	23									
CNT	31	30	31	31	30	31	31	31	31	31	31	31	31	31	31	31	31	31	31	31	31	31	31	31									
MED	15	15	15	14	15	15	15	16	16	16	17	17	17	17	16	15	16	15	15	15	15	15	15	15									
U Q	15	16	16	15	16	15	16	16	16	18	29	30	30	28	27	17	16	16	16	16	16	16	16	16									
L Q	15	15	14	14	14	14	14	15	15	15	15	16	16	16	15	15	15	14	14	14	15	15	15	14									

HOURLY VALUES OF f<sub>0</sub>F<sub>2</sub> AT Kokubunji

DEC. 2022

LAT. 35°43.0'N LON. 139°29.0'E SWEEP 1.0 MHz TO 30.0 MHz AUTOMATIC SCALING

H D	00	01	02	03	04	05	06	07	08	09	10	11	12	13	14	15	16	17	18	19	20	21	22	23	
1	38	35	A	30	31	30	34	65	77	82	102	103	104	94	94	89	80	63	39	37	30	32	35	39	
2	40	34	31	30	31	30	31	72	101	81	92	103	100	87	88	81	72	47	41	37	A	32	32	34	
3	34	35	34	34	33	33	33	62	89	99	98	96	97	85	87	75	69	54	38	36	35	33	31	25	
4	33	33	32	31	31	32	33	63	88	83	98	99	82	84	76	79	67	43	A	38	33	31	34		
5	34	35	34	34	32	33	35	59	96	124	115	110	98	88	70	78	79	39	44	37	32	31	31		
6	N 32	37	31	26	A	30	30	68	95	100	101	109	87	85	79	79	65	41	32	37	32	30	27	31	
7	33	36	32	35	31	32	A	65	82	87	80	84	87	76	87	75	81	43	39	35	36	32	31	33	
8	N 33	33	36	A	33	36	43	89	96	140	140	115	93	92	79	67	67	67	37	31	26	31	N 31		
9	32	34	31	35	34	32	31	62	89	103	95	89	98	92	85	83	85	60	39	35	33	36	32	28	
10	34	33	34	33	34	37	36	66	84	83	92	103	100	102	93	94	75	64	43	34	37	34	31	33	
11	34	25	31	A	31	31	35	55	79	95	102	93	82	85	83	86	81	A	A	A	A	A	A	A	
12	33	34	A	35	38	34	37	65	80	100	117	113	99	81	87	87	86	61	54	42	35	A	A	25	
13	A	31	31	32	29	31	33	62	81	108	107	84	88	88	85	88	78	57	51	49	A	25	A	A	
14	31	31	32	32	31	31	35	65	83	91	88	99	97	93	71	85	69	61	44	43	A	25	31	31	
15	33	34	34	35	31	32	30	68	71	90	104	93	93	89	87	103	79	56	52	A	34	A	34		
16	33	36	37	41	35	34	N 31	68	77	87	100	115	117	96	92	90	73	68	61	48	43	A	A	A	
17	37	40	40	41	34	30	34	63	83	90	113	93	103	88	91	100	79	61	50	41	33	32	34	35	
18	37	35	36	36	35	33	35	58	73	81	93	103	114	86	92	89	81	52	39	36	37	31	31	31	
19	38	39	40	40	41	41	43	59	84	95	117	116	97	87	97	108	86	66	62	42	49	31	39	A	
20	39	39	39	38	35	36	41	57	81	118	114	111	106	95	108	80	67	87	56	33	33	35	34	32	
21	32	35	35	37	35	36	N 37	61	74	87	98	113	103	85	100	90	78	71	56	41	37	39	36	33	
22	34	33	34	35	37	41	35	67	78	77	108	125	102	90	82	99	87	44	41	34	33	37	31	34	
23	33	35	35	39	51	31	34	59	87	72	113	95	100	88	89	86	66	56	61	62	27	25	27	32	
24	31	31	31	31	35	29	29	61	70	95	135	107	83	80	82	89	67	68	65	45	39	30	33	33	
25	39	38	34	31	32	33	46	50	69	103	121	98	97	85	79	84	75	48	41	39	A	A	31	26	
26	32	31	31	31	31	30	33	61	85	85	105	101	77	85	93	81	72	65	28	39	43	30	33	A	
27	31	31	31	36	32	31	34	68	109	99	101	100	95	89	78	89	81	57	54	54	40	31	31	34	
28	38	35	28	31	31	31	35	69	97	104	81	102	101	88	84	76	70	50	38	39	39	38	37	35	
29	A	38	A	36	38	34	37	58	81	82	86	93	96	90	89	85	67	63	40	37	41	34	26	30	
30	A	A	33	35	33	25	27	56	80	105	100	94	82	89	89	66	100	72	45	44	43	41	34	34	
31	A	A	35	38	25	25	24	62	86	107	129	95	92	78	98	88	71	62	50	45	38	37	34	33	
	00	01	02	03	04	05	06	07	08	09	10	11	12	13	14	15	16	17	18	19	20	21	22	23	
CNT	27	29	28	29	30	31	30	31	31	31	31	31	31	31	31	31	29	29	29	29	24	27	25	26	
MED	33	35	34	35	33	32	34	62	83	95	102	101	97	88	87	86	75	61	43	39	37	32	31	33	
U Q	37	36	35	36	35	34	36	67	89	103	114	110	101	90	92	89	81	65	54	44	39	35	34	34	
L Q	32	33	31	31	31	30	31	59	78	83	95	94	88	85	82	79	69	51	39	36	33	31	31	31	

## HOURLY VALUES OF fES AT Kokubunji

DEC. 2022

LAT.  $35^{\circ}43.0'N$  LON.  $139^{\circ}29.0'E$  SWEEP 1.0 MHz TO 30.0 MHz AUTOMATIC SCALING

H D	00	01	02	03	04	05	06	07	08	09	10	11	12	13	14	15	16	17	18	19	20	21	22	23	
1	31	37	34	G	G	G	G	47	33	34	40	31	40	54	G	G	33	25	G	G	40	49			
2	115	G	G	G	G	G	G	G	G	G	40	38	37	28	42	35	33	G	G	35	G	G	G		
3	G	G	G	G	G	G	G	33	34	31	36	57	G	34	26	G	11	G	G	G	G	G			
4	G	G	G	G	G	G	G	33	29	N	33	33	56	31	29	G	44	33	31	32	23	G	G		
5	G	G	G	G	G	G	G	180	37	29	34	33	G	28	27	G	37	24	23	G	G	G	G		
6	G	G	G	G	23	G	G	25	29	29	29	32	31	29	28	G	32	G	G	11		G	G		
7		G	24	G	G	G	25	48	25	35	31	G	G	29	35	41	43	40	G	G	G	G	G		
8	24	26	32	G	G	G	G	35	29	34	37	43	32	36	26	G	11	G	G	G	G	G			
9	G	G	G	G	G	27	G	G	28	G	31	32	32	28	29	24	11	G	G	G	G	G	G		
10	G	G	G	G	G	G	G	30	G	43	37	41	31	26	G	36	50	G	25		G	G	25		
11	G	G		G	G	G	26	31	48	33	31	G	31	G	G	28	61	78	92	117	106	66	32		
12	G	G	29	G	G	G	25	30	32	53	G	G	30	30	45	21	11	27	40	G	39	29			
13	173	G	G	G	G	G	27	25	G	G	G	G	G	26	G	G	35	25	60	57	27				
14	G	G	G	G	G	G	26	36	30	56	33	34	37	31	G	11	41	46	82	G	G	G			
15	G	G	G	G	G	G	33	54	34	33	33	34	30	G	45	G	47	35	54	49		G			
16	G	G	G	G	G	G	G	27	40	43	G	36	37	26	G	29	G	30	27	40	33	40			
17	G	G	G	G	G	G	G	34	30	35	33	34	G	37	G	G	28	G	G	G	G	G			
18	G	G	G	25	26	G	G	G	39	43	43	32	29	G	G	47	G	G	G	G	G	G			
19	G	33	G	G	G	G	G	33	37	41	34	33	45	42	37	31	40	32	G	35	G	G	50		
20	G	G	G	G	G	G	G	34	39	39	34	33	31	39	G	31	G	G	G	G	G	G			
21	G	G	G	G	G	G	G	47	33	G	32	32	48	35	26	22	G	G	G	G	23	G	G		
22	G	G	G	G	84	G	G	25	28	33	34	48	51	78	26	34	39	G	G	G	G	G	G		
23	G	G	G	G	G	G	G	53	29	29	G	55	62	48	40	33	23	G	56	G	G	G	G		
24	G	G	G	G	G	G	G	30	31	47	55	37	G	G	11	G	G	G	G	G	G	G			
25	G	G	G	G	G	G	G	31	53	28	G	30	29	26	G	41	G	33	26	48					
26		G	G	G	G	G	G	31	47	31	G	G	G	G	G	G	G	31	G	G	27	29			
27	G		G	G	G	G	G	85	55	G	G	G	G	G	G	G	33	52	G	G	G	G			
28	29			G	G	G	59	42	76	59	G	G	G	G	G	G	G	G	G	G	G	G			
29	49	34	46	33	33	G	G	26	31	33	33	G	G	G	G	G	G	G	G	G	G	G			
30	31	33	29	G	G	G	G	38	40	39	40	33	33	33	26	31	52	40	29	33	G				
31	35	39	G	G	G	G	G	30	46	87	34	112	48	50	36	28	11	G	G	G	G	G	G		
	00	01	02	03	04	05	06	07	08	09	10	11	12	13	14	15	16	17	18	19	20	21	22	23	
CNT	28	28	29	28	29	30	30	30	31	31	30	29	31	31	31	31	31	31	29	31	31	29	26	27	
MED	G	G	G	G	G	G	G	33	31	32	33	33	32	30	26	G	29	G	G	G	G	G	G		
U Q	26	G	G	G	G	G	G	26	38	40	39	34	38	45	36	29	28	40	32	31	32	12	27	25	
L Q	G	G	G	G	G	G	G	25	29	G	G	G	G	G	G	11	G	G	G	G	G	G	G		

		HOURLY VALUES OF fmin AT Kokubunji																							
		DEC. 2022 LAT. 35°43.0'N LON. 139°29.0'E SWEEP 1.0 MHz TO 30.0 MHz AUTOMATIC SCALING																							
D	H	00	01	02	03	04	05	06	07	08	09	10	11	12	13	14	15	16	17	18	19	20	21	22	23
1		16	15	16	15	15	15	15	15	16	14	17	24	18	16	17	15	15	14	15	13	17	15	15	15
2		15	16	15	13	14	17	14	18	16	16	15	15	17	14	16	15	15	16	15	14	15	15	18	14
3		15	15	14	14	13	15	15	14	14	17	15	17	15	14	17	15	22	14	14	14	63	13	18	15
4		13	15	14	14		13	14	15	15	16	15	39	16	17	16	16	24	15	15	15	16	15	15	14
5		14	14	14	15	13	14	21	16	16	17	17	16	15	40	15	15	26	15	15	15	13	13	14	13
6		14	14	15	15	15	15	15	30	15	16	35	33	16	17	15	14	14	15	21	13	13	13	13	14
7		15	14	15	15	15	15	15	15	15	14	16	14	17	17	16	15	14	15	15	16	14	15	14	14
8		16	16	16	15	15	14	13	20	15	15	14	15	17	14	15	15	21	13	14	17	14	22	15	
9		21	14	13	13	15	15	15		14	15	35	16	16	16	15	23	15	14	14	14	22	14	20	14
10		21	13	15		14	15	15	15	15	16	18	16	22	17	22	26	22	14	14	14	15	21	23	15
11		15	14			14	17	15	21	15	17	16	23	36	35	16	30	15	21	15	13	9	13	16	15
12		15	16	15	13	14	14	16	15	14	34	33	35	43	15	15	15	15	16	15	15	15	15	16	
13		18	15	14	15		13	16	16	14	43	35	38	42	44	33	15	23	14	15	16	15	15	16	15
14		15		23	14	14	15	12	15	13	15	16	16	17	16	15	15	23	13	15	15	14	15	15	17
15		16	15	13	14	17	15	13	21	15	15	14	17	16	16	15	15	15	17	14	15	15	15	15	15
16		13	13	14	13	14	15	15	15	15	15	15	45	21	19	31	15	15	15	15	15	15	15	15	16
17		16	15	15	13	13	18	14	22	16	16	15	16	16	15	15	14	15	15	15	13	14	14	14	15
18		15	16	15	15	16	16	17	23	14	31	18	22	16	16	16	28	30	15	14	13	14	13	14	14
19		14	15	14	14	14	13	14	20	16	14	14	17	15	18	18	15	15	14	15	13	15	14	18	15
20		16	21	15	18	14	15	13	21	17	14	15	16	15	17	15	16	14	15	15	15	15	17	16	25
21		14	15	15	15	16	14	13	20	14	15	15	31	17	19	17	15	15	14	14	16	13	15	14	14
22		13	13	13	13	14	17	14	18	15	16	14	14	19	15	11	14	15	14	13	13	14	13	13	
23		16	15	16	13	13	14	14	18	14	16	15	15	16	16	17	15	14	16	16	16	14	15	15	16
24		21	14	13	21	13	14	15	22	15	15	15	15	15	15	14	15	22	13	15	15	15	15	16	14
25		15	15	16	13	14	15	15	15	14	15	15	14	33	33	15	15	24	13	13	15	15	15	15	15
26			14	15	14	14	15	15	16	15	16	35	35	15	34	34	30	30	24		16	14	16	15	15
27		15	15	14	20	14	15	15	20	16	15	34	35	34	33	35	28	25	15	16	14	14	14	15	15
28		16	15			15	17	14	15	15	17	18	39	42	42	40	33	30	17	15	15	20	14	16	16
29		16	16	15	15	15	16	15	25	22	31	25	38	34	35	28	23	15	14	13	16	17		15	
30		16	16	16	15	16	15	14	18	16	16	16	16	17	17	16	16	15	16	15	16	15	16		
31		16	15	13	13	20	21	15	15	15	16	14	15	16	14	13	13	15	15	16	17	15	15	17	14
		00	01	02	03	04	05	06	07	08	09	10	11	12	13	14	15	16	17	18	19	20	21	22	23
CNT		30	30	29	28	29	31	31	30	31	31	31	31	31	31	31	31	31	31	30	31	31	31	29	29
MED		15	15	15	14	14	15	15	17	15	16	16	17	17	17	16	15	15	15	15	15	15	15	15	15
U Q		16	15	15	15	15	15	15	20	16	17	18	33	22	33	18	23	23	15	15	15	15	15	16	15
L Q		15	14	14	13	14	14	14	15	14	15	15	15	16	15	15	15	15	14	14	13	14	14	14	14

HOURLY VALUES OF f<sub>0</sub>F<sub>2</sub> AT Yamagawa

DEC. 2022

LAT. 31°12.0'N LON. 130°37.0'E SWEEP 1.0 MHz TO 30.0 MHz AUTOMATIC SCALING

H D	00	01	02	03	04	05	06	07	08	09	10	11	12	13	14	15	16	17	18	19	20	21	22	23			
1	34	36	31	35	31	31	32	47	65	65	94	128	97	89	105	99	93	75	42	43	42	42	37				
2	37	A	A	A	A	32	34	56	89	83	85	113	107	98	95	86	74	66	50	49	42	39	37	30			
3	32	37	35	36	37	37	31	49	72	99	107	88	83	94	102	73	78	81	49	39	47	46	40	33			
4	31	36	34	33	33	35	35	50	69	109	106	85	88	87	92	83	84	64	45	39	49	38	A	37			
5	39	A	39	41	40	32	35	51	95	119	121	107	89	95	92	75	86	74	46	51	63	59	41	35			
6	33	33	39	27	31	30	27	42	90	119	C	C	C	C	C	C	C	66	47	41	40	37	33	27			
7	31	33	35	33	33	29	27	47	79	C	C	C	C	C	C	C	C	70	49	37	42	46	45	41			
8	43	49	39	33	34	35	42	62	95	153	C	C	C	C	C	C	C	80	73	75	78	47	40	51	44	30	30
9	31	34	35	35	35	32	33	49	77	87	101	97	97	94	83	89	90	80	64	37	38	44	42	42			
10	26	33	32	32	31	32	39	45	73	92	81	101	83	107	118	106	99	86	76	52	64	56	35	30			
11	35	25	24	29	31	30	36	49	69	84	87	88	96	92	91	92	92	76	58	A	A	42	35	30			
12	30	A	A	A	37	37	31	47	71	93	109	101	94	87	97	97	97	91	69	71	60	53	39	33			
13	30	31	31	35	31	32	49	86	98	101	104	104	105	108	95	97	88	59	65	53	35	26	31				
14	A	30	A	32	36	32	30	51	84	90	86	101	105	110	111	92	84	71	63	67	58	43	39	35			
15	35	33	33	33	36	32	33	53	81	86	96	106	101	114	105	107	110	86	60	50	50	46	33	30			
16	35	34	34	39	37	31	30	46	82	83	87	110	113	105	100	100	92	83	67	57	44	39	A	34			
17	35	36	37	39	35	25	30	48	75	89	90	87	112	115	101	92	93	90	60	42	43	42	36	34			
18	34	36	32	37	41	32	35	49	81	85	87	98	115	116	100	100	97	95	59	50	56	58	32	30			
19	32	35	A	34	35	34	34	49	69	79	99	110	109	92	90	107	94	88	63	63	69	45	A	A			
20	39	A	42	40	35	30	35	49	70	95	116	119	109	105	117	104	91	76	83	43	41	37	35	35			
21	34	A	35	35	39	33	34	49	85	83	76	112	121	116	107	107	103	85	65	59	49	41	34	31			
22	34	35	38	35	35	35	34	48	71	84	111	124	118	117	99	96	99	78	52	41	34	37	31	31			
23	35	33	33	35	35	25	30	42	86	91	90	110	93	114	102	93	84	72	62	73	43	27	B	30			
24	29	30	35	30	26	31	27	42	86	90	115	110	99	74	84	95	91	86	67	73	33	30	31	34			
25	39	35	35	32	31	31	32	44	66	87	123	97	101	99	88	91	105	95	44	41	46	35	37	32			
26	B	A	34	35	33	32	31	39	86	84	98	82	91	77	97	107	84	71	56	33	47	49	32	35			
27	34	31	33	35	35	34	32	44	99	119	117	101	119	114	100	105	119	115	97	89	72	52	39	35			
28	41	40	32	A	30	31	29	47	94	107	85	96	107	107	99	92	79	76	55	A	A	54	36				
29	33	37	42	35	38	34	32	43	84	90	91	81	101	105	116	114	108	85	72	55	57	52	44	32			
30	33	35	37	34	34	31	30	38	97	86	100	103	92	103	121	87	91	113	69	58	61	57	47				
31	A	A	A	B	A	B	23	44	68	99	129	113	100	90	104	101	77	76	79	47	43	45	49				
	00	01	02	03	04	05	06	07	08	09	10	11	12	13	14	15	16	17	18	19	20	21	22	23			
CNT	29	24	26	27	30	30	30	31	31	30	28	28	28	28	29	29	29	31	31	29	29	30	27	27			
MED	34	34	35	35	35	32	32	48	81	90	98	102	101	104	100	95	92	80	60	50	47	44	36	33			
U Q	35	36	37	35	36	34	34	49	86	99	110	110	109	112	106	104	98	88	67	61	57	52	41	35			
L Q	31	33	33	32	31	31	30	44	71	84	87	96	93	92	92	90	84	74	49	41	42	38	33	30			

## HOURLY VALUES OF fES AT Yamagawa

DEC. 2022

LAT.  $31^{\circ}12.0'N$  LON.  $130^{\circ}37.0'E$  SWEEP 1.0 MHz TO 30.0 MHz AUTOMATIC SCALING

D	00	01	02	03	04	05	06	07	08	09	10	11	12	13	14	15	16	17	18	19	20	21	22	23
1	31	G	25	G	G	G	G	11	32	37	45	91	45	46	32	28	G	32	34	29	G	G	G	35
2	38	57	59	41	33	G	G	G	34	31	34	58	58	35	29	32	G	26	G	25	G	G	B	
3	G	G	25	G	G	G	G	33	36	39	39	39	49	32	35	32	32	30	G	G	G	G	G	
4	G	G	G	G	G	G	G	48	32	40	40	40	32	53	31	32	G	G	33	G	G	33	G	
5	27	34	G	G	G	G	G	32	35	36	38	59	41	32	35	36	29	26	G	24	G	G	G	
6	G	G	G	G	23	G	G	39	32	36	C	C	C	C	C	C	G	24	G	G	G	G		
7	G	G	G	G	34	G	G	39	C	C	C	C	C	C	C	C	40	35	26	G	G	G	G	
8	G	G	G	G	G	G	G	26	40	C	C	C	C	38	60	49	31	33	G	G	G	G	G	
9	G	G	25	G	G	G	G	32	32	35	37	38	40	43	44	42	11	11	G	G	G	G	G	
10	G	G	28	G	G	G	G	11	48	32	40	48	57	53	43	53	49	22	38	26	G	30	30	26
11	G	G	B	G	G	G	G	21	49	36	39	55	40	34	46	49	31	26	56	88	58	32	G	G
12	G	56	59	49	G	G	G	56	75	48	41	36	42	46	45	47	35	47	57	38	33	24	G	
13	G	G	G	G	G	G	G	130	150	39	40	35	41	40	41	40	35	32	40	32	11	25	G	G
14	40	G	33	28	G	G	G	30	37	40	44	46	37	38	44	48	34	50	G	38	41	30	G	G
15	G	24	32	G	G	G	G	30	39	52	43	43	43	39	53	65	34	31	32	38				
16	G	G	G	G	G	G	G	24	32	40	42	44	55	35	41	44	37	11	24	33	28	G		
17	33	24	G	G	11	B	G	G	23	38	45	65	49	43	59	46	35	47	24	G	G	G	G	
18	28	G	G	G	G	28	30	27	41	43	44	44	45	39	33	28	G	48	26	G	23	G	G	
19	G	G	30	G	G	G	G	32	40	44	45	43	48	39	40	34	G	G	28	27	39	33	29	
20	31	56	32	G	G	G	G	31	43	45	46	45	45	46	46	44	40	39	28	G	G	G	24	
21	G	56	26	24	G	G	G	30	38	40	41	43	36	40	36	33	24	22	26	G	G	G	B	
22	G	G	G	G	G	G	G	30	54	40	41	40	40	38	33	40	40	28	28	G	G	G		
23	G	G	26	34	G	B	G	G	30	34	41	45	42	42	41	38	36	24	11	28	25	30	G	
24	27	G	G	G	G	G	G	150	36	40	84	40	41	38	38	36	32	35	27	35	G	G	G	
25	G	G	G	G	G	G	G	41	39	54	38	47	40	32	47	26	48	39	34	35	24	G	G	
26	B	28	G	G	G	G	G	52	56	38	41	41	41	N	30	31	31	11	25	25	25	G	G	
27	24	G	29	G	G	G	G	32	37	41	41	49	35	34	41	45	40	11	29	40	G	G	G	
28	G	24	27	G	G	46	25	33	40	43	36	57	34	41	64	40	53	48	55	72	80	82	26	
29	27	32	26	G	G	26	48	38	45	49	53	49	44	32	29	G	31	28	G	G	G	G		
30	G	G	122	G	G	G	G	31	41	44	36	39	35	45	44	33	G	33	31	31	G	G	33	
31	45	39	49	41	B	24	B	50	44	47	49	66	57	60	47	34	33	32	G	G	G	G	39	
	00	01	02	03	04	05	06	07	08	09	10	11	12	13	14	15	16	17	18	19	20	21	22	23
CNT	30	31	30	31	30	28	30	31	31	30	28	28	28	28	29	29	31	31	31	31	30	31	29	
MED	G	G	13	G	G	G	G	32	38	41	42	44	41	40	41	35	31	32	26	11	G	G	G	
U Q	27	28	30	24	G	G	11	48	40	45	47	51	45	44	46	43	34	39	29	35	24	25	25	
L Q	G	G	G	G	G	G	G	30	36	40	38	40	36	38	34	32	G	22	G	G	G	G		

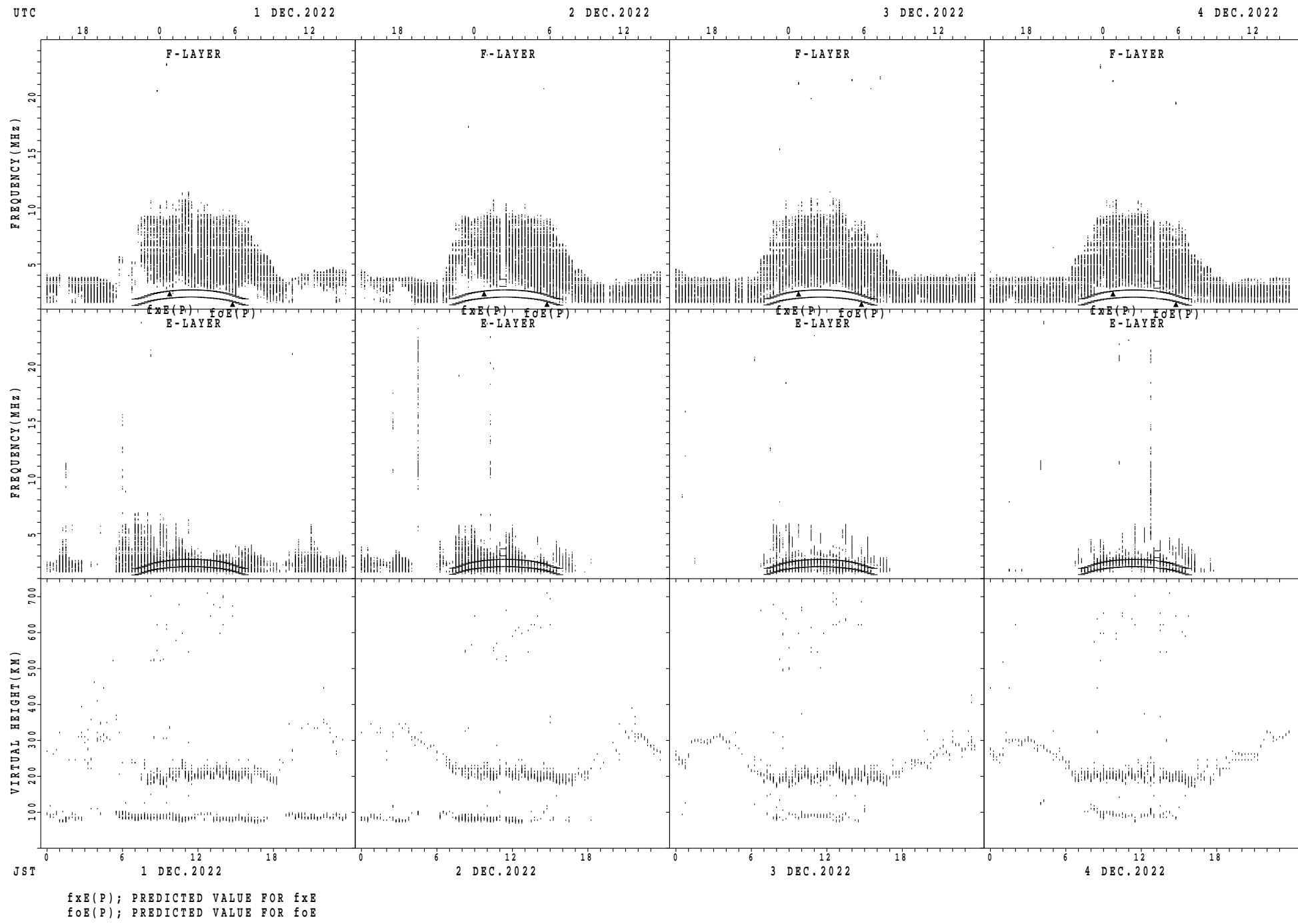
	HOURLY VALUES OF fmin												AT Yamagawa																						
	DEC. 2022																																		
	LAT. 31°12.0'N LON. 130°37.0'E SWEEP 1.0 MHz TO 30.0 MHz AUTOMATIC SCALING																																		
H D	00	01	02	03	04	05	06	07	08	09	10	11	12	13	14	15	16	17	18	19	20	21	22	23											
1	16	16	16	18	14	17	15	17	16	17	19	19	18	18	18	15	15	16	16	15	15	15	16	15											
2	15	14	16	16	15	14	15	18	15	16	17	17	16	14	16	17	17	15	16	15	16	16	15	B											
3	17	15	15	15	15	16	20	18	15	17	15	15	17	17	17	16	15	15	16	15	17	17	16	15											
4	16	15	15	16	17	15	15	17	15	17	17	19	17	20	17	21	17	18	15	16	15	16	15	14											
5	15	15	15	17	15	17	15	16	16	15	17	17	17	15	15	17	17	16	15	15	20	16	16	15											
6	16	16	15	16	16	21	16	15	19	17	C	C	C	C	C	C	C	20	16	18	17	15	15	15											
7	16	15	15	17	16	16	14	17	18	C	C	C	C	C	C	C	C	15	15	16	16	16	15	15											
8	15	15	16	16	15	15	15	18	15	16	C	C	C	C	C	C	C	15	15	15	16	16	15	16											
9	15	15	15	14	18	16	15	16	15	17	16	16	16	16	16	15	15	20	14	15	15	16	14	15											
10	15	14	16	14	16	14	14	16	15	17	15	17	18	17	18	16	14	16	15	15	14	15	16	16											
11	15	15	14	15	15	16	14	16	15	16	16	16	17	15	17	18	17	16	16	14	13	15	15	16											
12	15	16	15	15	16	16	16	15	16	15	17	17	18	18	16	15	15	16	8	14	16	16	15	15											
13	16	16	20	16	15	16	14	17	16	15	16	18	16	17	16	15	17	16	15	16	14	15	16	16											
14	15	15	15	16	15	16	14	17	14	16	17	17	17	17	14	17	15	16	15	16	16	15	15	15											
15	15	15	15	15	15	15	16	16	15	15	17	19	17	17	17	16	17	15	16	16	15	16	15	15											
16	15	14	14	14	14	15	15	16	17	15	15	21	19	17	17	19	15	16	17	15	16	16	16	16											
17	17	16	15	15	16	B	17	15	15	15	15	17	16	15	15	17	15	15	15	14	15	15	16	14											
18	15	15	14	15	14	16	16	16	16	14	16	15	18	16	15	16	16	21	16	15	16	15	15	14											
19	14	15	16	15	15	14	15	15	16	15	14	15	18	19	19	15	17	15	16	16	15	15	16	16											
20	16	15	15	16	15	18	14	15	16	15	16	17	18	16	17	16	15	15	15	15	16	16	16	16											
21	16	16	16	16	15	15	14	15	15	15	15	18	18	15	15	16	16	17	17	16	16	14	16	14											
22	15	15	14	17	14	14	14	15	15	17	16	16	16	16	15	16	15	15	14	16	15	15	16	15											
23	15	14	16	15	17	B	15	16	15	16	15	16	17	16	17	16	14	17	15	15	16	16	16	15											
24	16	16	16	15	15	18	15	15	15	14	14	17	17	18	17	15	15	16	15	15	15	15	15	15											
25	16	15	15	14	14	14	15	16	15	16	15	17	17	17	17	17	14	16	15	16	15	15	15	15											
26	15	15	15	17	16	15	14	16	15	15	15	16	17	18	17	17	16	16	15	16	16	16	16	15											
27	16	17	16	16	15	14	14	14	15	16	18	16	18	18	18	17	16	15	16	15	15	17	15	15											
28	17	16	15	16	15	15	20	16	16	15	18	17	23	27	19	16	19	15	15	16	16	15	16	16											
29	15	16	16	16	15	15	16	16	17	15	17	19	16	19	18	22	15	16	16	16	16	14	14	15											
30	15	16	14	15	16	B	17	16	16	14	16	16	15	17	19	17	15	16	15	16	16	26	15	16											
31	15	15	15	15	15	B	15	16	16	17	15	16	15	16	17	15	18	17	15	15	15	17	16	15											
	00	01	02	03	04	05	06	07	08	09	10	11	12	13	14	15	16	17	18	19	20	21	22	23											
CNT	31	31	31	31	31	28	31	31	31	30	28	28	28	29	29	29	31	31	31	31	31	31	31	30											
MED	15	15	15	16	15	15	16	15	15	15	16	17	17	17	17	16	15	16	15	15	16	15	16	15											
U Q	16	16	16	16	16	16	16	17	16	16	17	17	18	18	18	17	17	16	16	16	16	16	16	16											
L Q	15	15	15	15	15	15	14	15	15	15	15	16	16	16	16	15	15	15	15	15	15	15	15	15											

		HOURLY VALUES OF fOF2 AT Okinawa																									
		DEC. 2022 LAT. 26°41.0'N LON. 128°09.0'E SWEEP 1.0 MHz TO 30.0 MHz AUTOMATIC SCALING																									
D	H	00	01	02	03	04	05	06	07	08	09	10	11	12	13	14	15	16	17	18	19	20	21	22	23		
1		40	40	31	35	31	25	25	53	61	71	1111	135	119	116	125	139	117	97	60	52	71	58	52	53		
2		34	40	35		29	30	37	57	88	102	102	119	113	117	111	111	86	80	83	64	66	58	53	35		
3		29	31	31	34	35	25	24	49	70	104	97	103	89	108	126	114	92	95	92	49	77	85	62	45		
4		37	38	41	39	39	39	35	53	73	112	147	101	91	112	108	115	100	87	75	51	66	71	52	56		
5		52	55	57	55	45	37	35	54	92	143	137	112	107	117	115	111	93	95	82	61	89	84	63	49		
6		49	49	47	51	32		23	43	87	120	145	122	119	122	108	101	97	89	75	63	76	63	55	45		
7		34	35	38	33	34	25	24	48	79	100	106	97	93	105	103	84	87	77	76	55	56	77	61	61		
8		56	67	64	59	41	45	51	63	96	152	157	127	119	113	98	89	83	81	68	54	65	82	51	30		
9	A	A		34	37	36	29	31	49	73	107	96	101	103	99	93	101	85	103	73	49	55	66	67	53		
10		29	25	30	33	33	33	32	49	73	85	102	97	105	115	123	149	148	140	106	123	117	112	72	59		
11			N	B			A			31	50	72	86	92	100	80	109	120	110	106	95	71	63	63	43	34	
12		30	29	35	40	55	35	29	44	81	95	104		C	C	C	C	C	C	C		91	97	81	72	42	
13		38	37	35	41	42	46	35	50	93	123			C	C	145	159	165	137	148	94	89	103	70	41	41	
14		37	39	31	31	35	26	26	48	89	90	101	85	111	129	142	134	115		77	78	97	78	68	44		
15		41	37	36	35	31	30	31	49	95	111	88	110	117	143	151	139	141	124	86	65	79	71	56	38		
16		35	39	38	39	39		B		25	41	77	99	89	87	104	129	113	119	108	100	91	68	68	63	66	55
17		43	35	35	33	31		B		23	45	80	95	101	97	121	144	143	117	119	123	91	58	60	66	49	41
18		41	36	34	35	36	25	N	24	42	89	92	84	87	115	128	128	121	128	121	106	81	92	92	60	32	
19		34	35	31	32	32	33	30	45	80	83	98	104	128	114	113	115	111	101	91	76	81	73	46	42		
20		46	38	34		A	35	B	22	29	49	88	110	106	120	127	128	140	140	134	115	101	94	56	68	45	42
21		37	33	35	35	39	25	29	43	90	94	98	101	132	145	125	152	140	126	107	73	81	70	43	34		
22		33	37	42	37	30	31	31	43	77	98	118	143	143	157	157	131	125	111	76	53	42	49	48	33		
23		34	35	33	39	33		N	29	23	39	93	117	102	110	128	136	157	129	121	113	110	73	83	44	35	
24	A		32	42	36		B	N	23	24	40	92	98	121	123	94	88	111	125	113	105	99	75	61	48	37	43
25		52	49	31	31	30	30	33	43	85	117	144	105	116	137	147	143	140	157	101	45	64	76	62			
26		43	40	42	54	45	32	30	43	84	90	106	96	103	102	108	132	119	101	71	56	56	73	69	67		
27		37	35	35	39	39	35	34	45	86	130	148	119	129	162	161	158	159	156	150	129	125	88	65	47		
28		54	55	48	35	36	32	31	44	97	106	92	91	89	121	123	123	113	97	86	60	61	64	45			
29	A	34		35	31	31	32	29	40	85	97	109	101	111	130	159	173	174	157	144	110	94	81	77	51		
30		49	54	63	30	32		B		38	109	103	102	126	123	143	161	166	152	143	128	96	101	106	78	44	
31		43	55	67	30		A	A	A	42	84	103	151	127	95	85	119	123	100	84	86	72	54	62	58	49	
		00	01	02	03	04	05	06	07	08	09	10	11	12	13	14	15	16	17	18	19	20	21	22	23		
CNT		29	29	31	29	29	25	29	31	31	31	30	29	30	29	30	30	30	29	30	31	31	31	31	28		
MED		38	38	35	35	35	30	30	45	85	102	103	104	114	121	124	124	116	103	88	65	71	71	56	44		
UQ		47	47	42	39	39	34	32	49	92	112	121	121	123	136	147	140	137	125	101	81	92	81	66	52		
LQ		34	35	33	32	31	25	24	43	77	94	98	97	103	110	111	114	100	95	76	55	61	63	46	39		

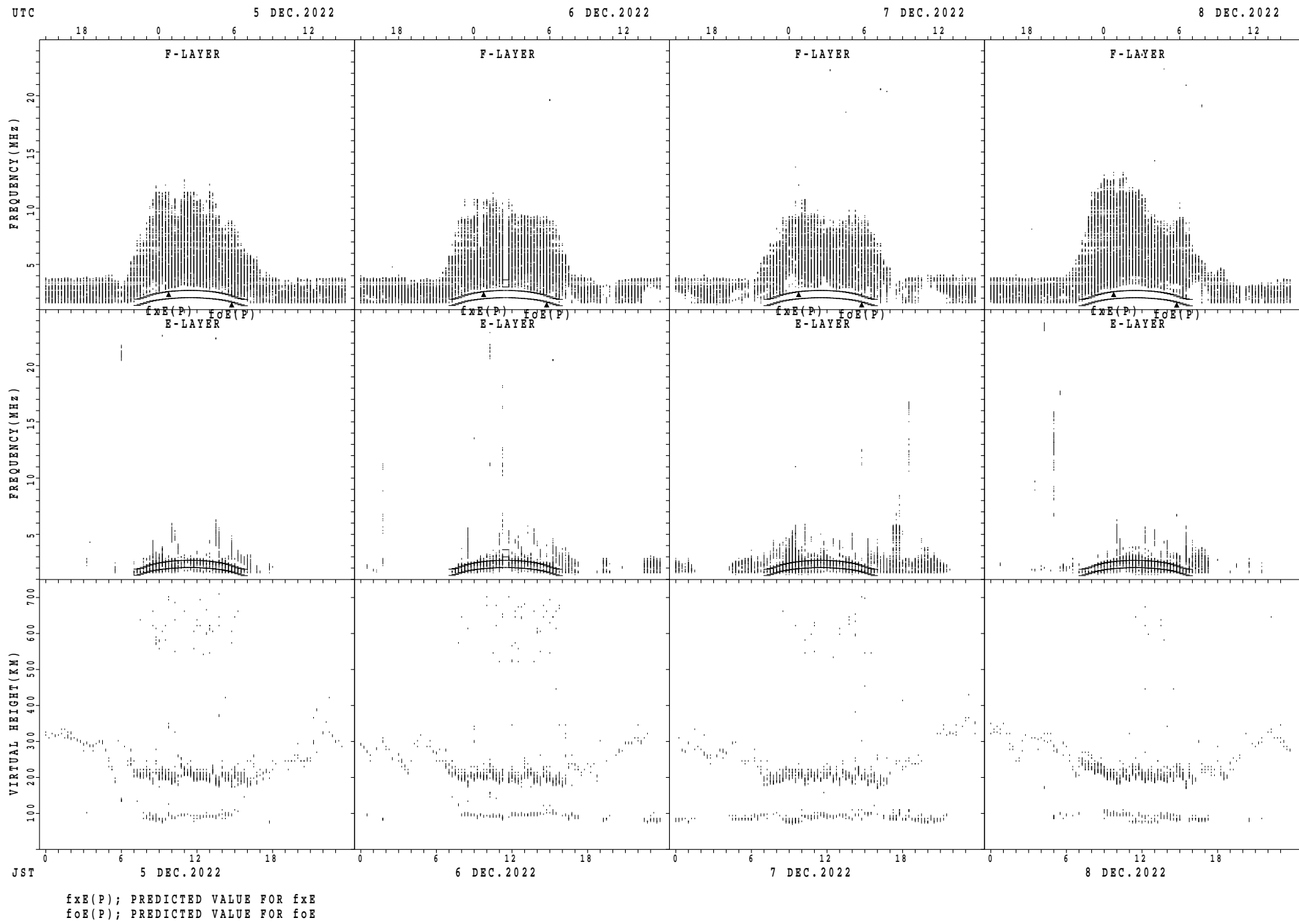
		HOURLY VALUES OF fES												AT Okinawa																				
		DEC. 2022																																
		LAT. 26°41.0'N LON. 128°09.0'E SWEEP 1.0 MHz TO 30.0 MHz AUTOMATIC SCALING																																
D	H	00	01	02	03	04	05	06	07	08	09	10	11	12	13	14	15	16	17	18	19	20	21	22	23									
1	29	G	G		28	G	G	G	46	48	38	48	55	42	43	59	38	35	32	33	28	39	G	G	G									
2	G	G		32	38	29	G	G	26	29	34	36	48	46	43	38	37	32	48	24	31	49	G	29	G									
3	G	G	G		26	26	B	G	G	26	40	36	38	49	51	39	38	40	36	34	28	G	11	G	G									
4	G	G	G	G	G	G	G	G	25	42	49	51	52	51	55	43	38	G	11	31	G	G	G	G										
5	G	32	G	G	G	G	G	G	146	33	41	56	40	43	43	40	59	48	30	11	G	G	11	G	G									
6	G	G	G	G		28	G	G	32	36	35	43	38	62	38	33	30	48	G	G	G	G	G	G	G									
7	G	G	G	G	G	G	G	G	30	31	39	40	44	50	45	56	52	34	31	33	26	G	G	G	G									
8	G	G	G	G	G		29	26	G	27	91	40	41	47	44	41	39	56	30	25	24	28	41	33	66									
9	93	59	26	24	G	G	G	G	30	37	37	39	41	N	46	38	50	32	31	34	29	G	G	11										
10	G	G	G	26	G	G	G	G	30	35	38	46	48	50	100	50	34	50	11	11	11	11	27											
11	G	G	G	B	G		27	G	24	33	35	38	38	40	39	45	36	41	40	G	G	11	24											
12	G	G	G	G	G		95	G	G	32	38	G	C	C	C	C	C	C	C	57	23	11	26											
13	31	G	G	G	G	G	G	G	27	37	C	C	49	C	G	43	39	32	53	G	23	11	11	G										
14	G	G	57	25	G	G	57	95	31	38	41	44	78	51	48	70	92	116	28	G	G	11	G	G										
15	106	G	G	G	G	G	G	24	43	40	44	49	48	56	57	51	39	40	32	26	22	11	G											
16	G	G	G	G	B	G		26	38	39	49	54	51	50	43	40	41	31	33	50	24	G	G	G										
17	G	G	G	G		11	B	B	G	48	38	41	42	47	48	43	40	44	29	23	11	G	G	G	G									
18	G	G	G	G	G	G	G	G	34	45	51	60	52	46	47	40	36	23	25	G	11	11	G											
19	G	G	G	G	G	G	G	148	31	43	49	58	67	50	44	40	37	34	25	34	32	30	27	G										
20	G	G	28	43	29	B	G	G	33	82	51	50	60	54	100	57	78	47	35	41	26	27	24											
21	29	G	94	30	G	G	G	G	52	38	42	42	42	42	41	38	110	30	48	G	G	G	G											
22	G	G	G	G	G	G	G	G	31	84	49	46	42	50	38	41	35	35	25	33	G	G	G	G										
23	G	G	G	26	G	G	G	G	31	36	42	45	47	56	49	45	40	28	33	11	11	26	27	G										
24	29	25	G	20	G	B	G	G	31	40	45	45	59	43	47	42	49	39	36	40	28	32	27	G										
25	G	G	G	G	G	G	G	G	40	34	37	55	48	41	40	38	35	39	44	26	28	11	60											
26	29	26	26	G	25	G	G	G	35	40	41	38	51	41	39	92	39	39	40	116	56	39	G	G										
27	G	G	G	G	G	G	G	G	30	40	40	52	50	43	42	46	42	44	23	29	48	24	G	G										
28	G	32	24	G	30	27	G	G	24	26	43	34	60	50	52	66	78	59	52	39	32	27	34	45										
29	36	72	28	24	25	G	B	B	G	26	36	46	38	49	72	40	41	60	41	32	34	48	46	11	G									
30	G	G	G	G	G	B	B	G	29	38	47	42	43	42	43	56	36	40	40	31	28	31	22	G										
31	G	G	28	25	58	39	44	G	34	40	46	47	47	43	46	43	33	31	38	28	35	29	G	G										
	00	01	02	03	04	05	06	07	08	09	10	11	12	13	14	15	16	17	18	19	20	21	22	23										
CNT	30	31	31	30	31	25	28	31	31	31	30	29	30	28	30	30	30	30	30	31	31	31	31	31	31									
MED	G	G	G	G	G	G	G	G	31	38	41	46	48	47	44	42	40	34	33	28	26	11	G	G										
U Q	29	G	26	24	25	14	G	24	35	40	47	53	51	51	49	50	52	41	40	34	31	27	11	24										
L Q	G	G	G	G	G	G	G	G	29	36	38	40	43	43	40	39	36	30	25	11	G	G	G											

	HOURLY VALUES OF fmin AT Okinawa																								
	DEC. 2022 LAT. 26°41.0'N LON. 128°09.0'E SWEEP 1.0 MHz TO 30.0 MHz AUTOMATIC SCALING																								
D	00	01	02	03	04	05	06	07	08	09	10	11	12	13	14	15	16	17	18	19	20	21	22	23	
1	16	16	15	15	16	15	15	16	15	15	14	14	14	18	17	15	17	15	16	15	15	15	16	14	
2	14	14	16	16	16	16	14	15	16	16	16	15	17	16	16	14	17	15	14	15	15	15	16	15	
3	15	15	17	15	16	15	15	16	16	16	16	17	15	16	17	15	15	15	16	16	15	14	14	15	
4	15	15	14	15	15	14	16	16	15	15	14	18	19	18	15	14	17	15	17	15	16	16	14	16	
5	15	17	14	17	16	14	18	16	16	15	15	16	15	15	14	15	15	16	16	15	18	14	15	15	
6	14	15	16	17	14	15	15	17	16	15	14	17	19	20	17	17	17	15	15	15	15	15	15	17	
7	15	15	15	15	15	14	16	16	15	17	16	17	20	20	15	16	15	15	16	16	15	16	15	14	
8	16	14	14	14	14	15	15	15	16	15	15	15	16	16	16	15	16	15	16	15	16	15	16	16	
9	12	15	16	16	15	15	15	15	15	16	18	15	18	16	16	15	14	15	16	15	15	16	14	14	
10	17	15	20	15	15	15	15	16	15	15	17	18	15	15	12	14	15	20	14	14	14	14	14	16	
11	16	16	17	16	15	15	15	16	16	15	15	15	17	16	15	14	17	16	16	16	16	14	15	16	
12	15	15	14	15	17	17	15	16	16	15	69	C	C	C	C	C	C	C	C	C	15	15	14	15	15
13	16	15	14	15	16	15	15	15	15	15	C	C	16	105	14	13	16	15	15	15	15	15	16	17	
14	14	15	12	15	15	15	15	17	15	15	14	16	6	15	16	15	14	13	15	15	17	15	15	16	
15	15	16	14	14	15	15	15	16	14	15	16	19	17	15	16	18	15	15	16	14	15	15	15	14	
16	14	14	14	14	17	B	14	15	16	15	15	25	20	17	21	17	16	15	16	15	16	14	15	14	
17	14	16	14	15	16	15	B	16	15	16	15	15	15	16	17	15	15	15	15	15	15	15	15	15	
18	14	15	15	14	16	14	14	16	16	14	13	18	14	15	18	17	15	15	15	15	15	14	14	15	
19	15	14	14	15	14	14	15	15	15	16	14	13	16	15	17	15	15	16	16	16	16	16	15	15	
20	14	15	15	15	16	B	15	14	13	14	15	17	18	15	16	19	15	15	15	15	15	15	14	16	
21	15	15	14	15	15	14	15	16	15	15	14	16	15	15	15	15	15	16	15	15	14	14	14	14	
22	14	21	15	14	14	15	15	15	15	15	14	15	17	15	18	13	16	16	14	15	15	14	14	15	
23	15	15	15	15	15	15	15	14	15	14	13	16	15	19	15	14	14	16	16	14	15	15	16	15	
24	16	15	15	14	15	B	15	14	15	16	14	15	15	15	15	14	15	15	15	15	15	16	16	15	
25	15	15	15	14	14	14	14	15	15	16	15	14	15	16	15	16	17	15	17	16	15	14	15	16	
26	15	16	16	16	15	15	14	14	16	17	16	16	17	14	15	15	14	15	15	17	15	15	15	15	
27	16	15	15	14	17	15	14	14	15	14	16	19	17	15	15	14	15	15	15	15	15	16	14	15	
28	14	15	15	15	16	15	17	14	15	15	17	13	23	21	19	15	19	17	15	15	15	15	15	15	
29	15	14	16	15	16	15	15	14	15	17	17	16	17	17	15	16	16	14	16	15	15	15	16	16	
30	15	15	14	14	14	15	15	15	16	15	15	16	14	14	15	15	14	15	15	15	16	16	16	15	
31	71	16	15	15	17	15	16	16	15	17	15	15	15	16	17	17	15	15	15	15	16	15	15	15	
	00	01	02	03	04	05	06	07	08	09	10	11	12	13	14	15	16	17	18	19	20	21	22	23	
CNT	31	31	31	31	31	29	30	31	31	31	30	29	30	29	30	30	30	30	30	31	31	31	31	31	
MED	15	15	15	15	15	15	15	15	15	15	15	16	16	16	15	15	15	15	15	15	15	15	15	15	
U Q	16	16	16	15	16	15	15	16	16	16	16	17	17	17	17	16	16	16	16	16	16	16	16	16	
L Q	14	15	14	14	15	14	15	15	15	15	14	15	15	15	14	15	15	15	15	15	15	14	14	15	

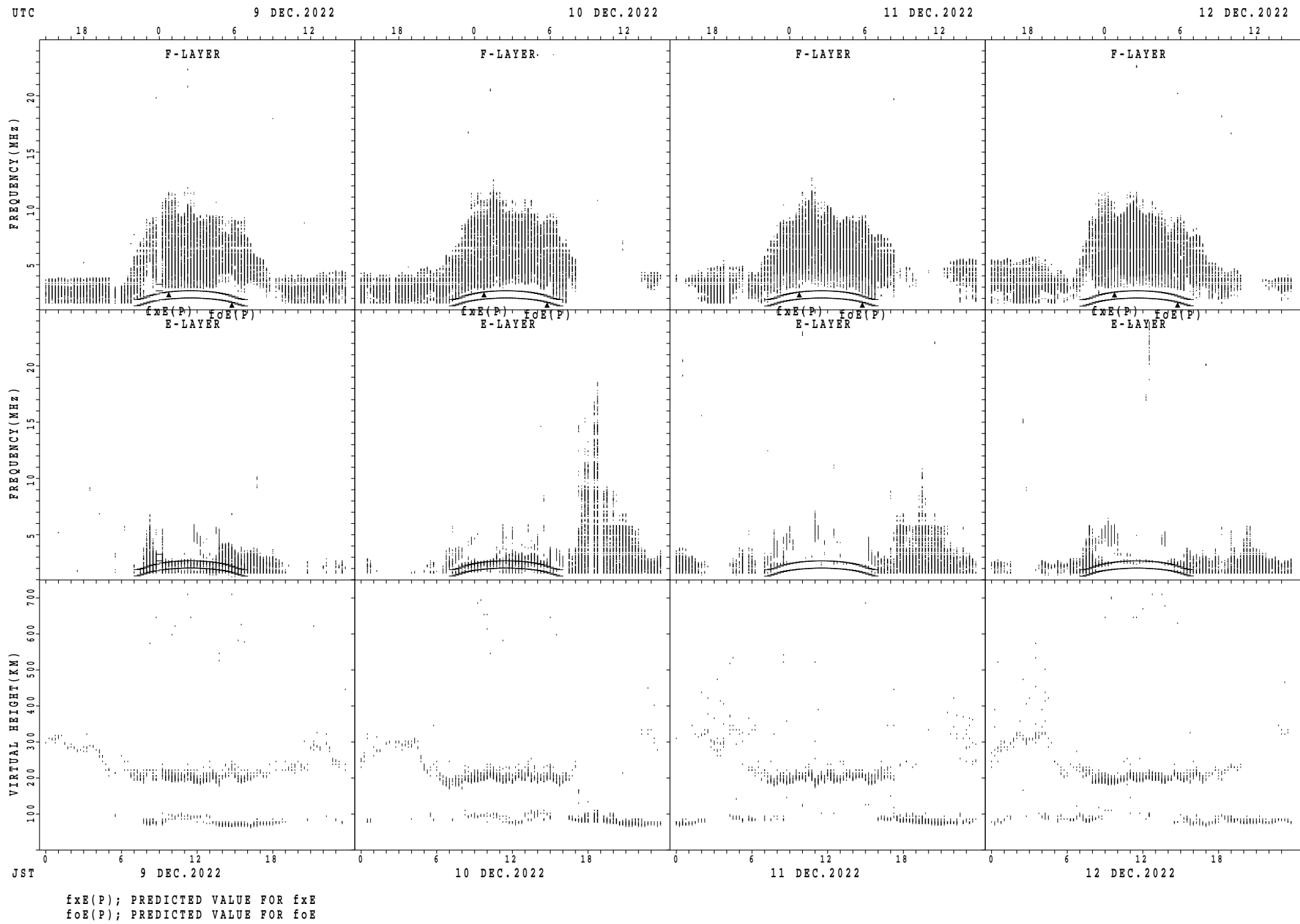
## SUMMARY PLOTS AT Wakkanaï



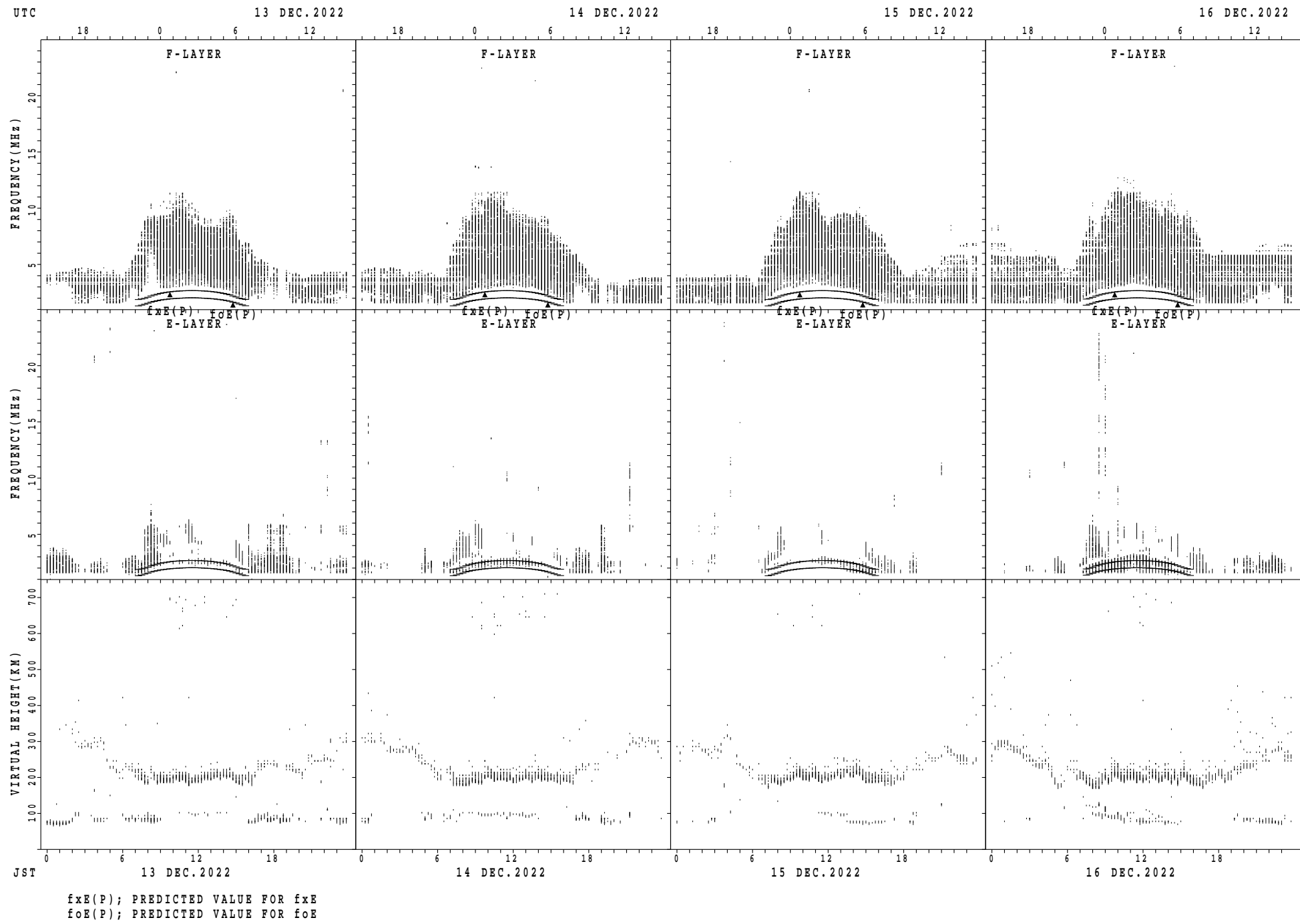
## SUMMARY PLOTS AT Wakkanaï



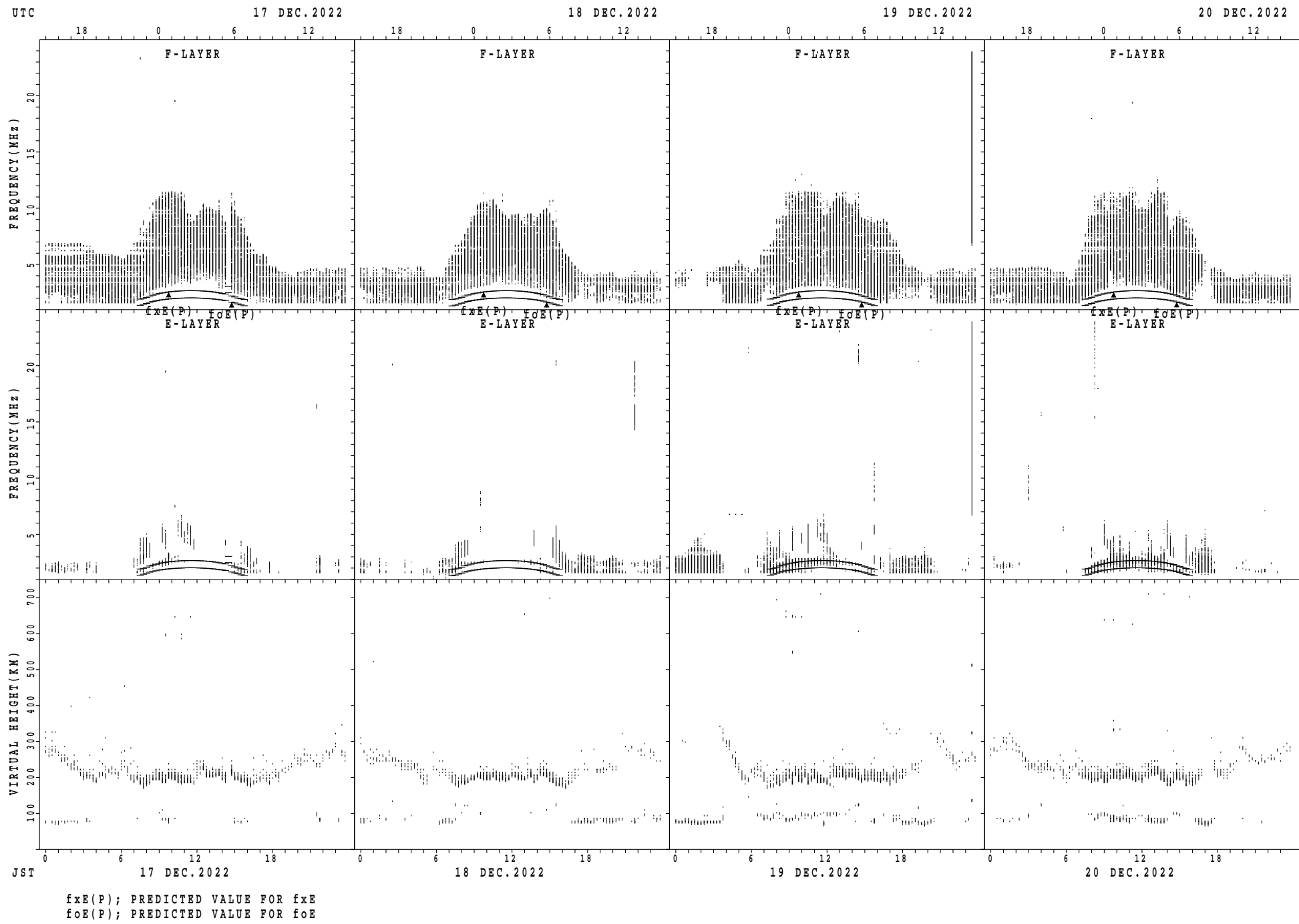
## SUMMARY PLOTS AT Wakkanaï



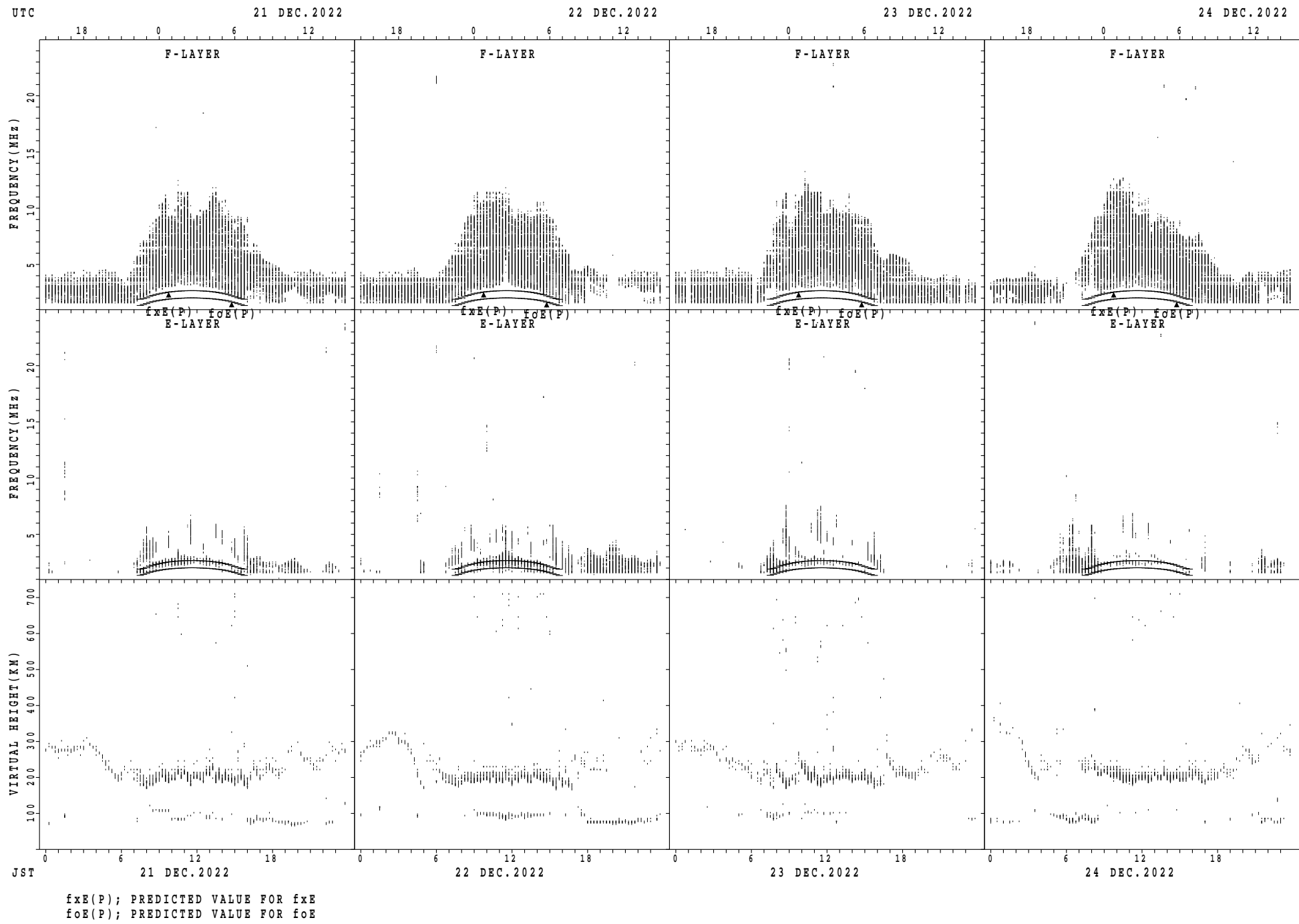
## SUMMARY PLOTS AT Wakkani



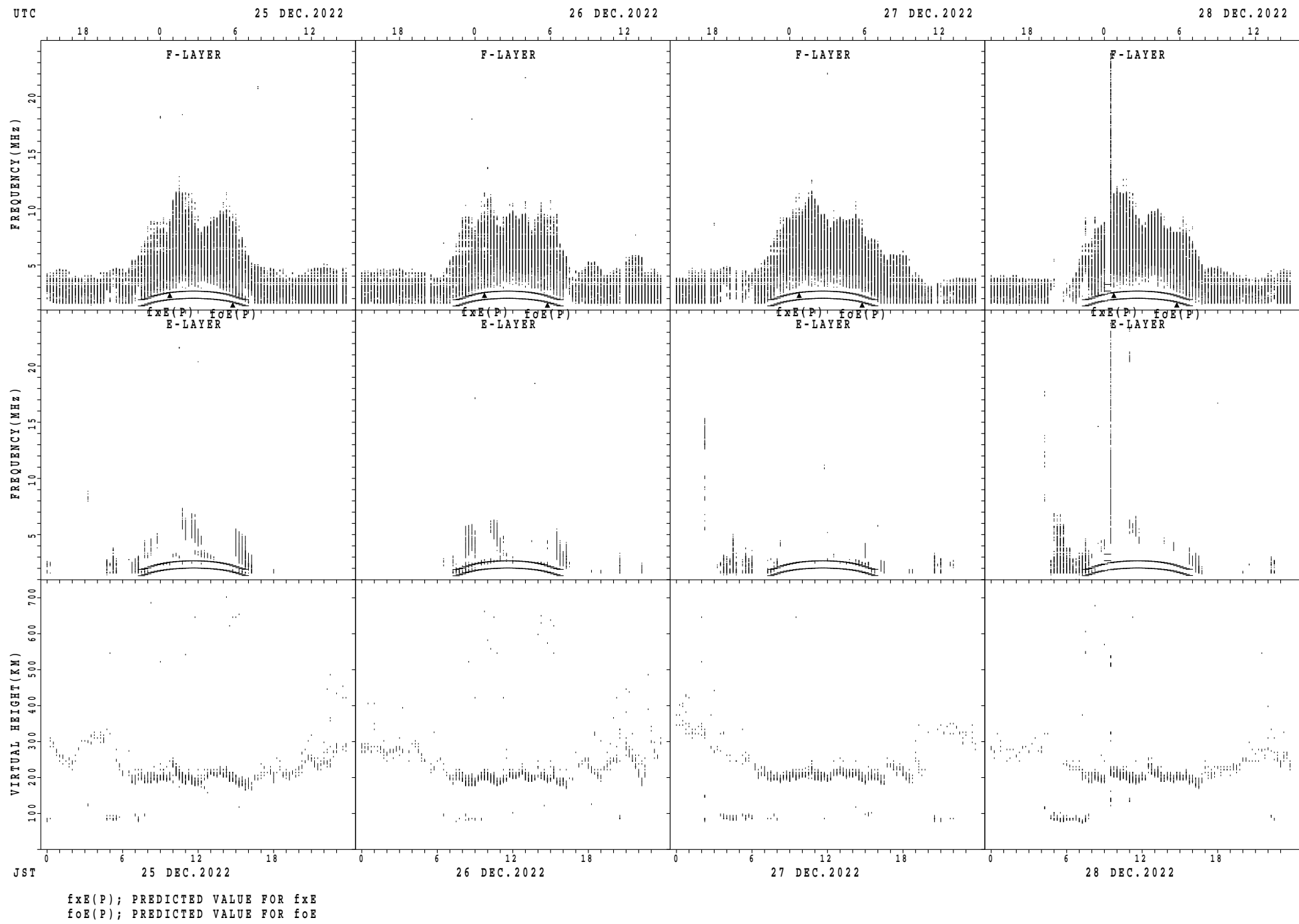
## SUMMARY PLOTS AT Wakkanaï



## SUMMARY PLOTS AT Wakkanaï

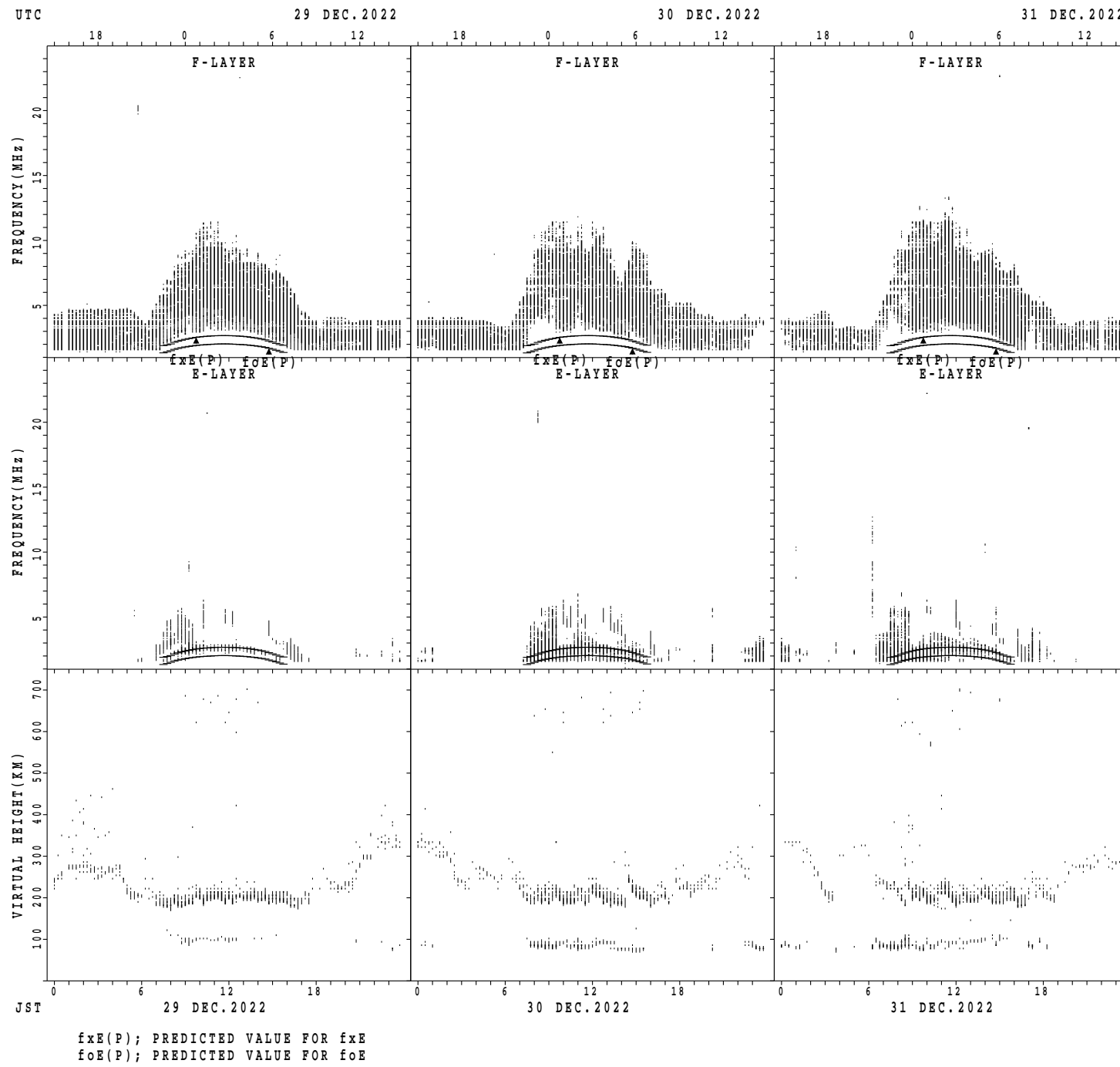


## SUMMARY PLOTS AT Wakkanaï

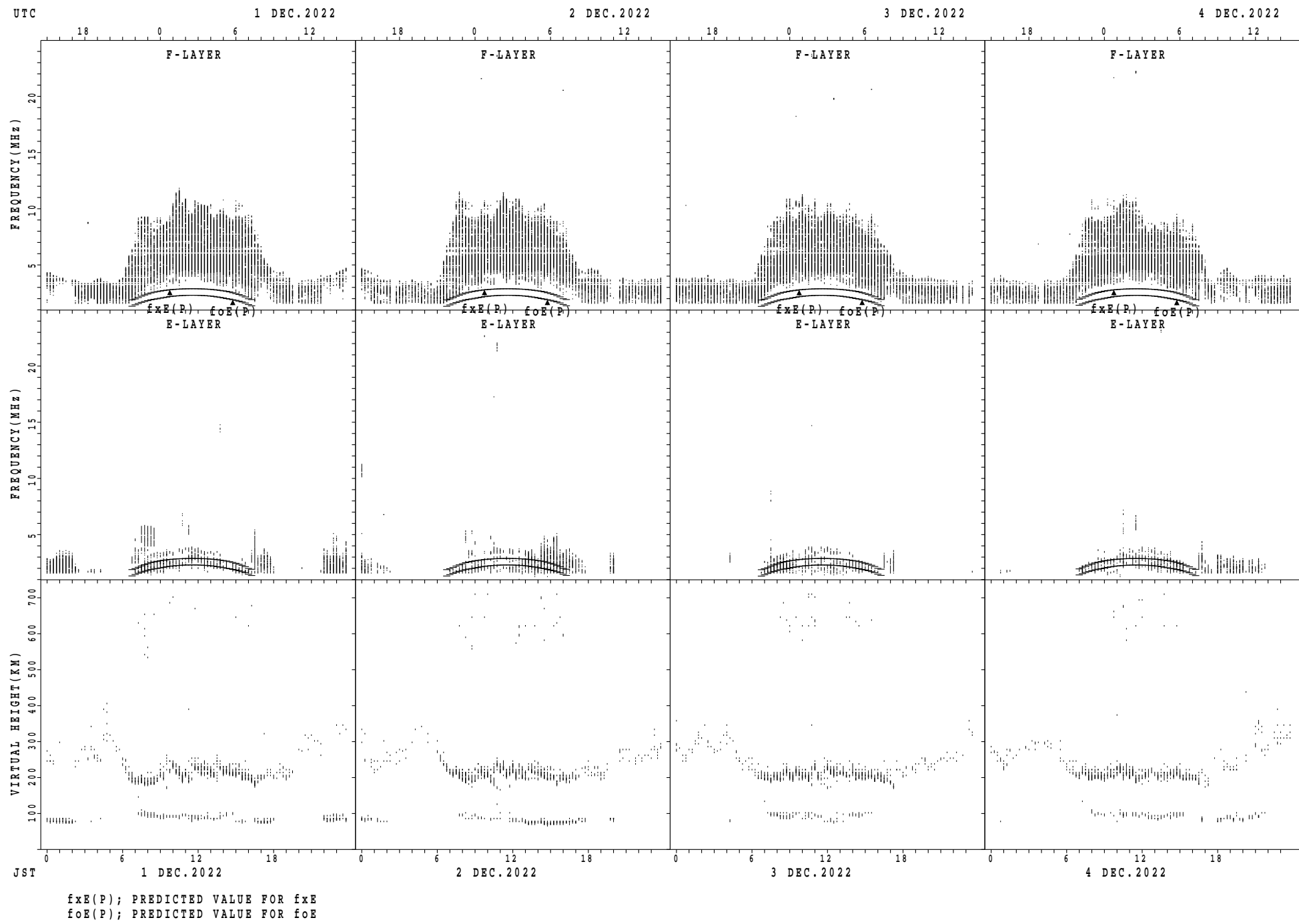


$f_{xE}(P)$ ; PREDICTED VALUE FOR  $f_{xE}$   
 $f_{oE}(P)$ ; PREDICTED VALUE FOR  $f_{oE}$

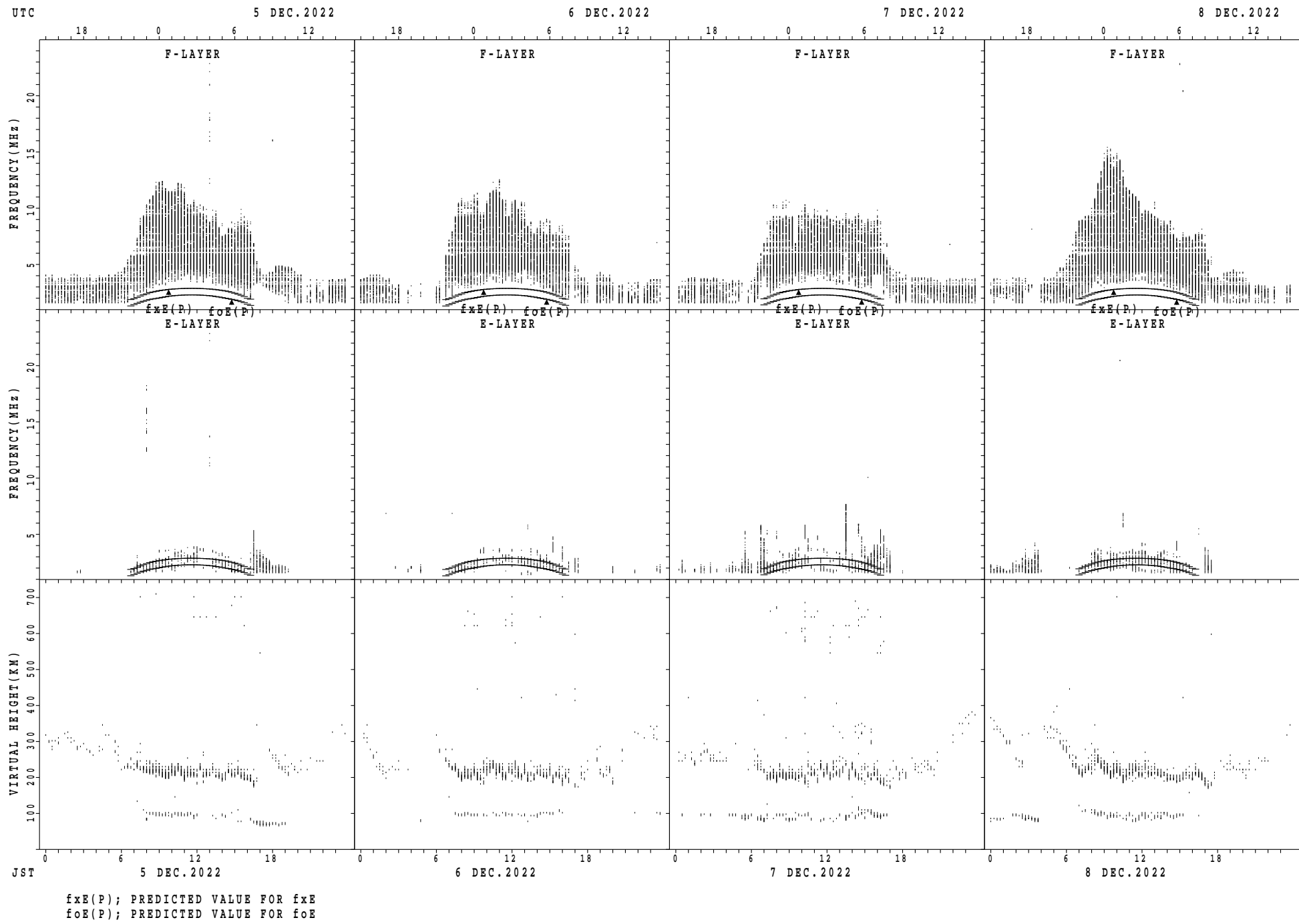
## SUMMARY PLOTS AT Wakkanaï



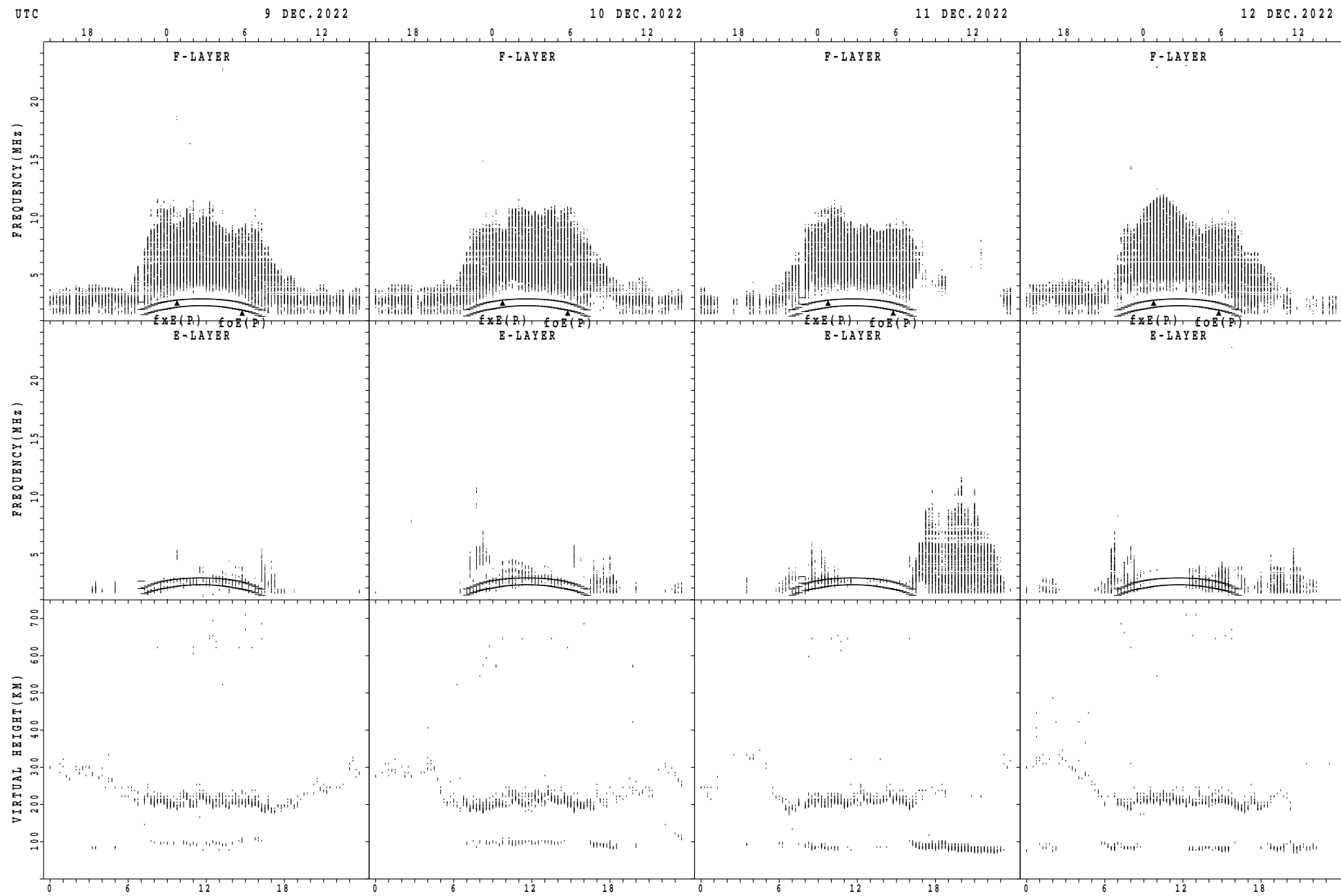
## SUMMARY PLOTS AT Kokubunji



## SUMMARY PLOTS AT Kokubunji

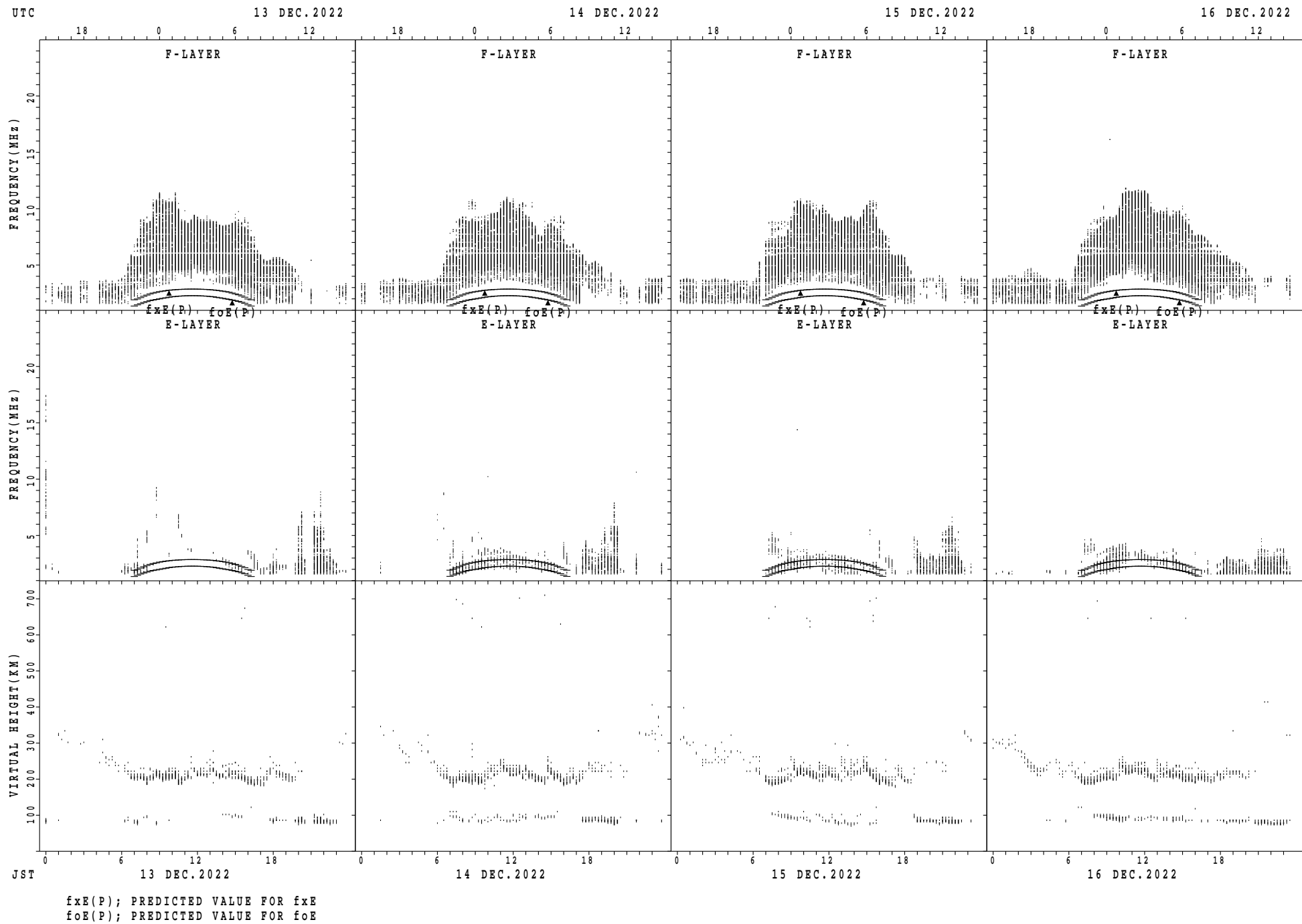


## SUMMARY PLOTS AT Kokubunji

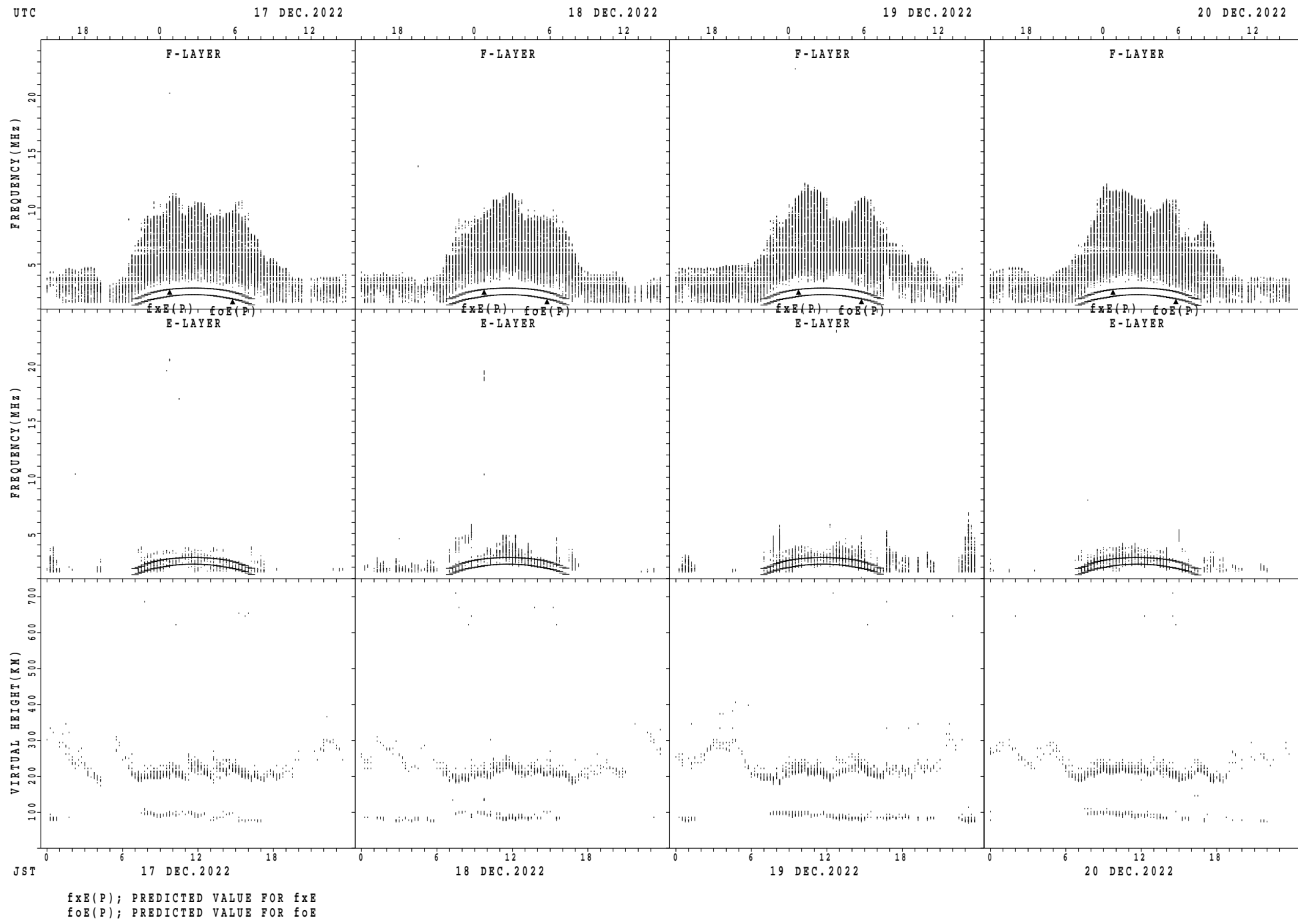


$f_{xE}(P)$ ; PREDICTED VALUE FOR  $f_{xE}$   
 $f_{oE}(P)$ ; PREDICTED VALUE FOR  $f_{oE}$

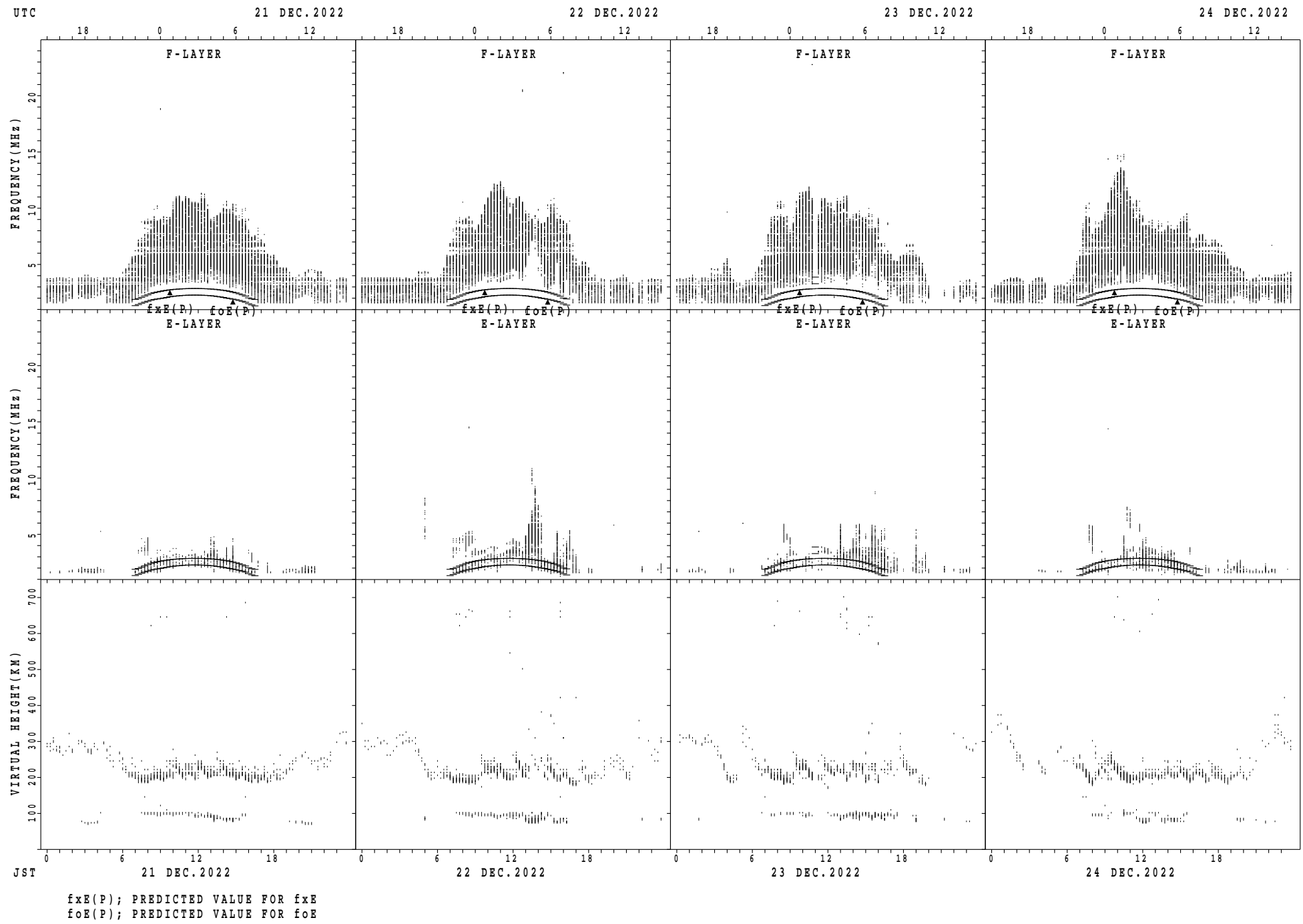
## SUMMARY PLOTS AT Kokubunji



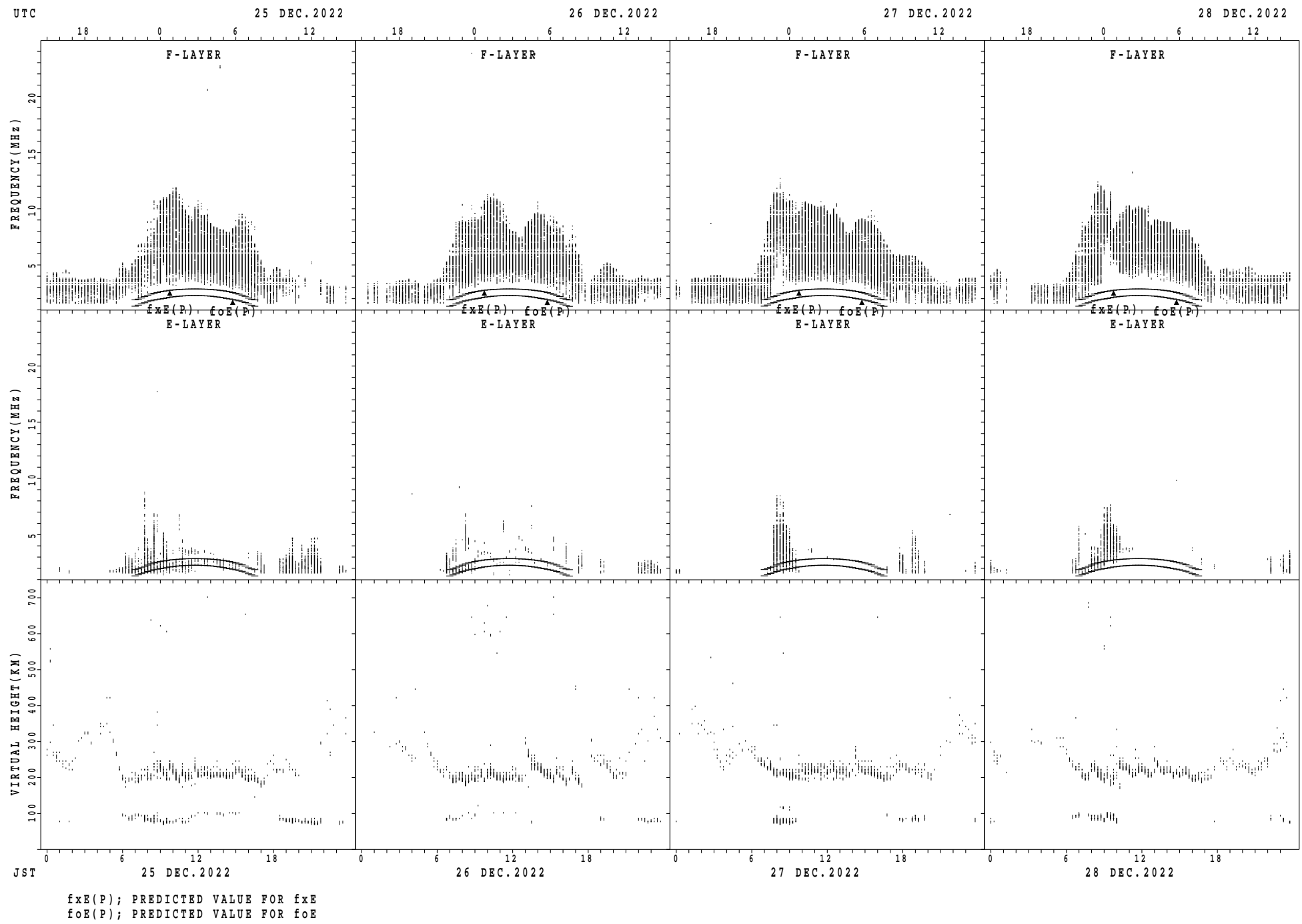
## SUMMARY PLOTS AT Kokubunji



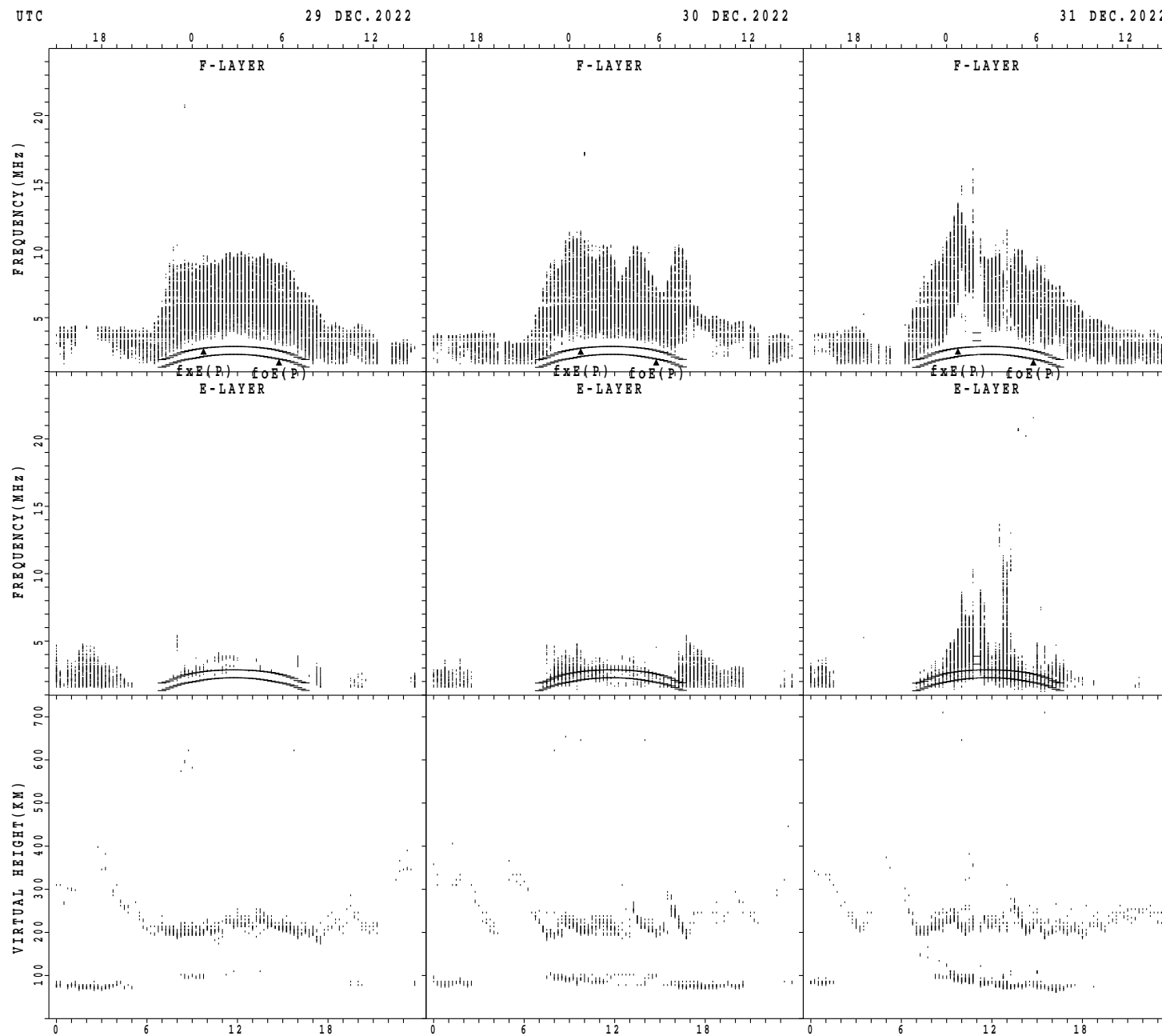
## SUMMARY PLOTS AT Kokubunji



## SUMMARY PLOTS AT Kokubunji

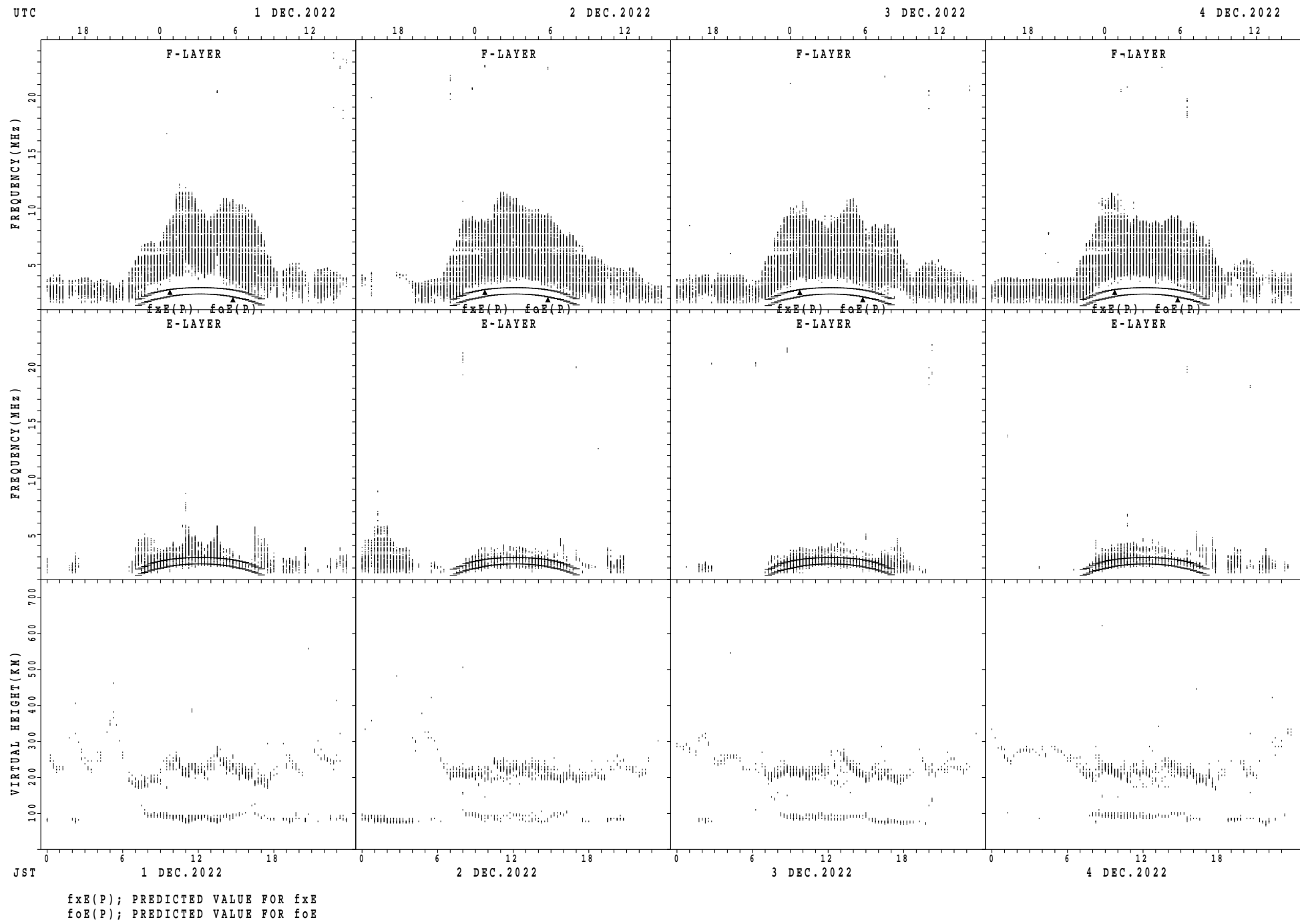


## SUMMARY PLOTS AT Kokubunji

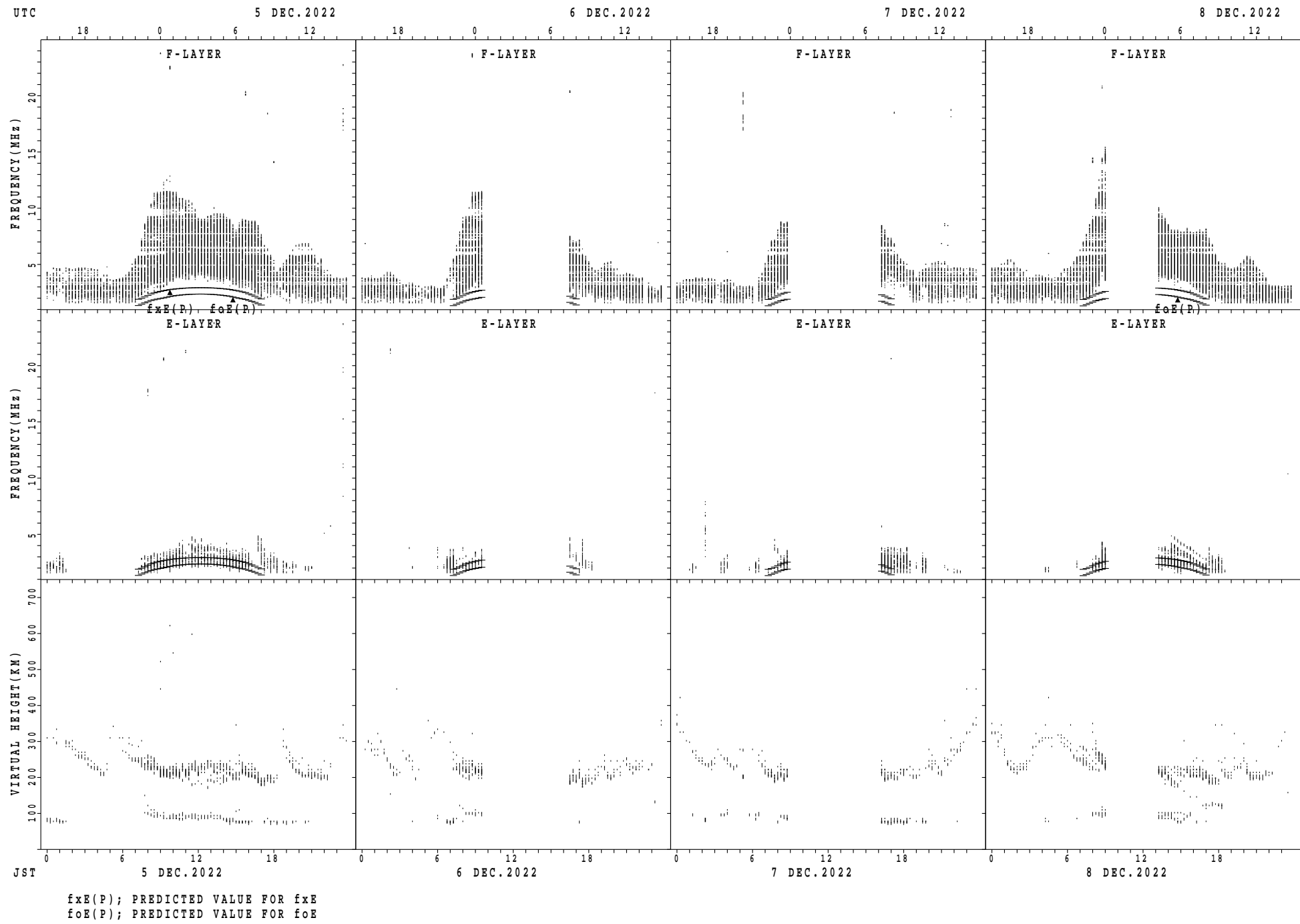


$f_{xE}(P)$ ; PREDICTED VALUE FOR  $f_{xE}$   
 $f_{oE}(P)$ ; PREDICTED VALUE FOR  $f_{oE}$

## SUMMARY PLOTS AT Yamagawa

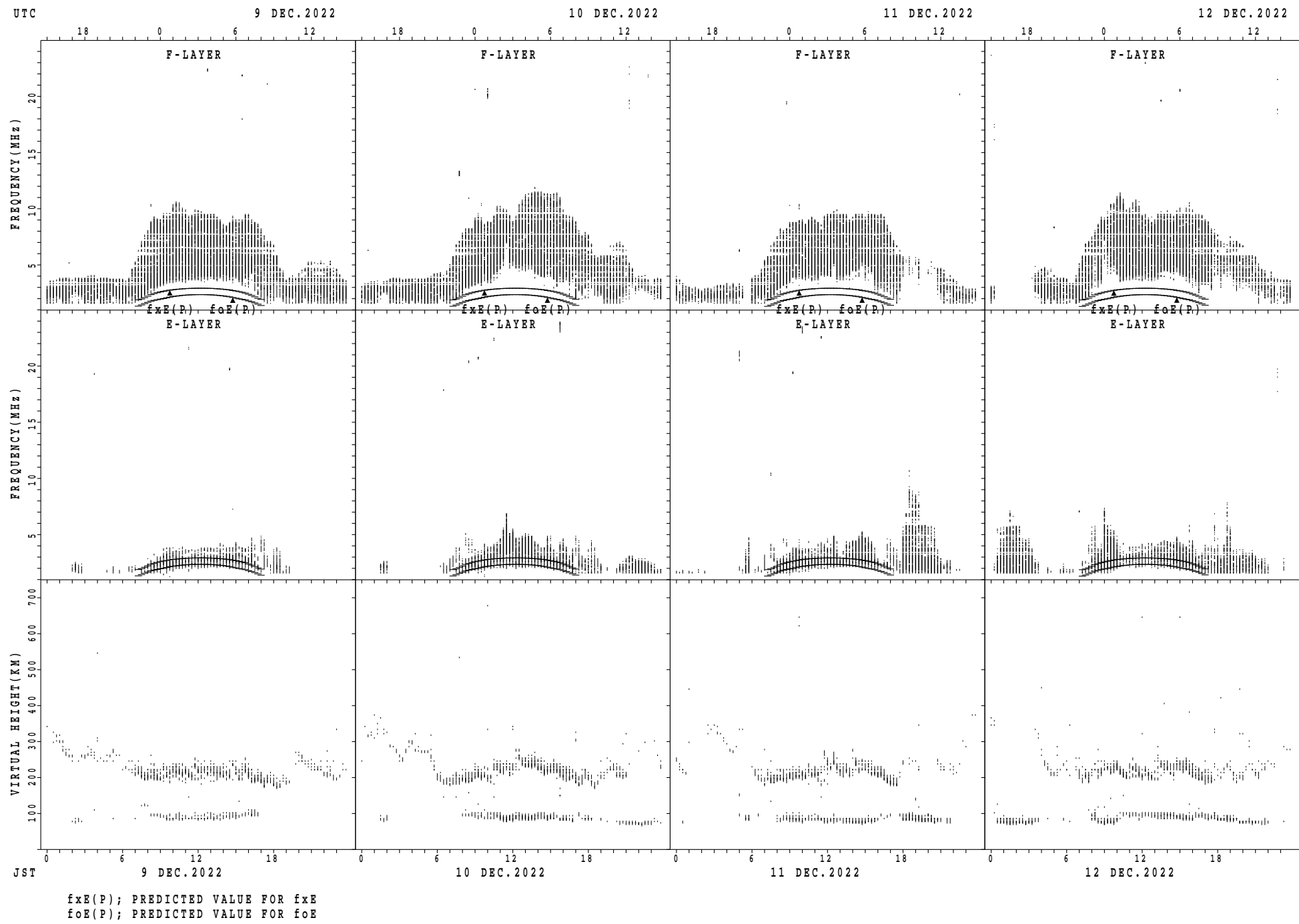


## SUMMARY PLOTS AT Yamagawa

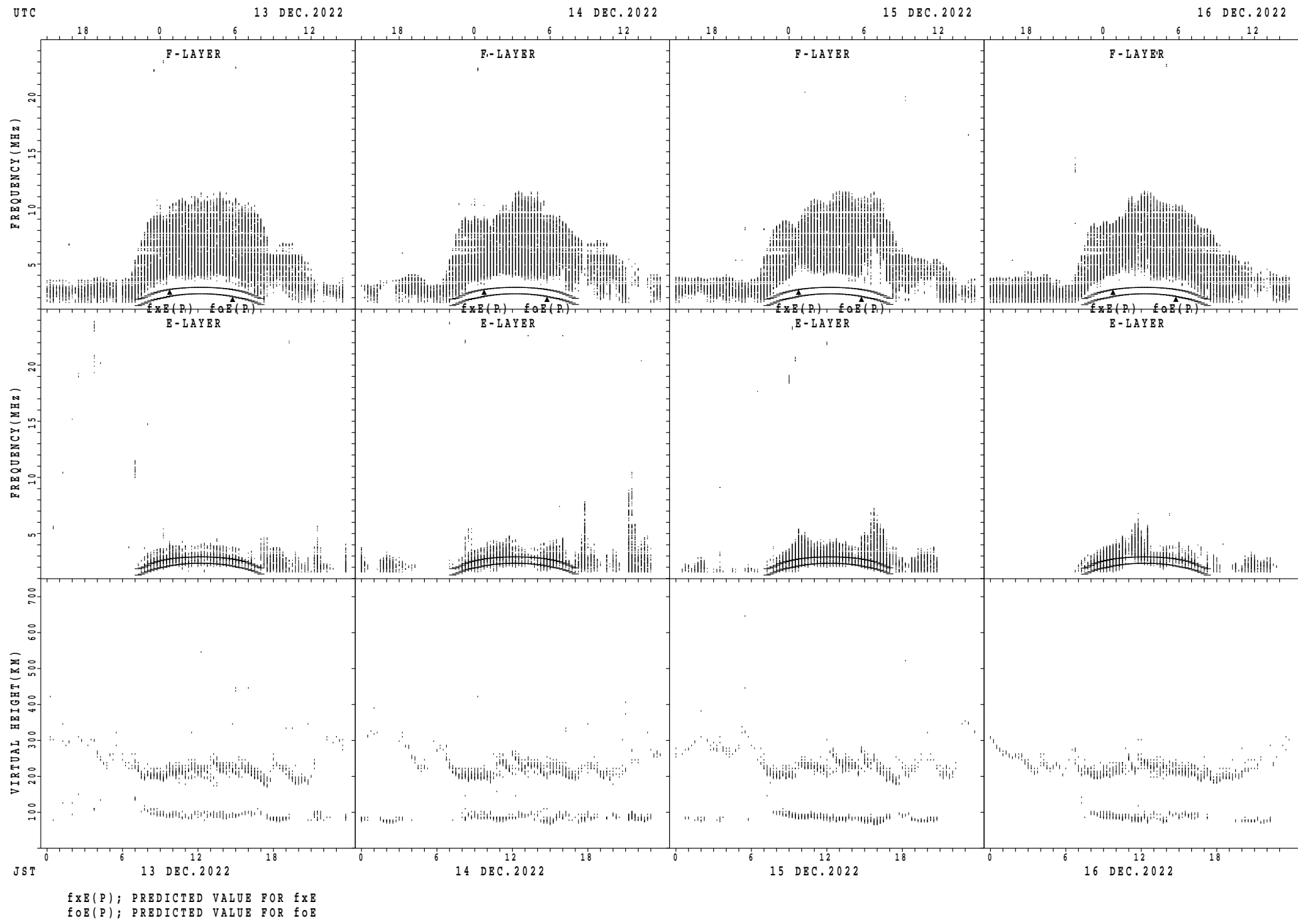


$f_{xE}(P)$ ; PREDICTED VALUE FOR  $f_{xE}$   
 $f_{oE}(P)$ ; PREDICTED VALUE FOR  $f_{oE}$

## SUMMARY PLOTS AT Yamagawa

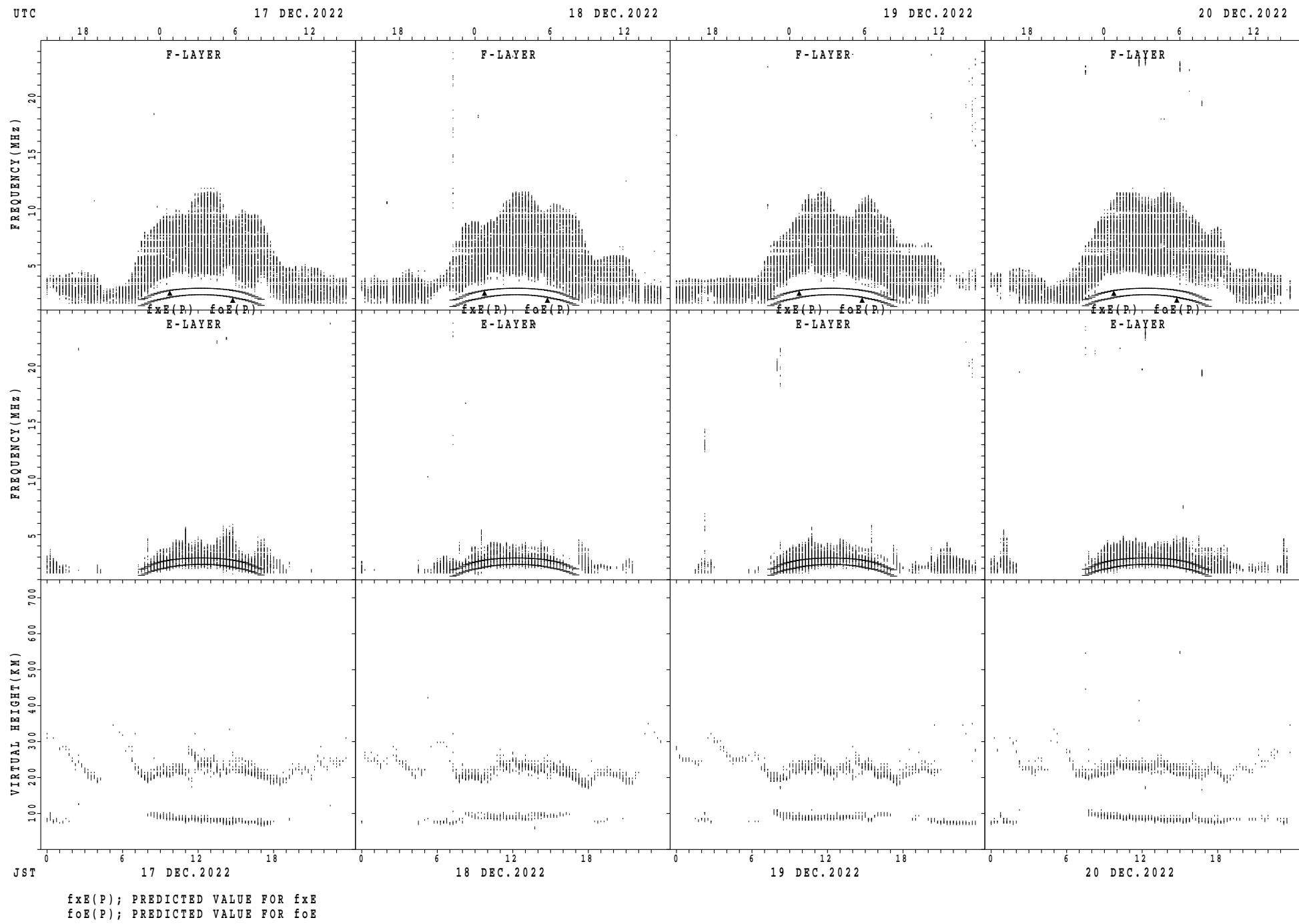


## SUMMARY PLOTS AT Yamagawa

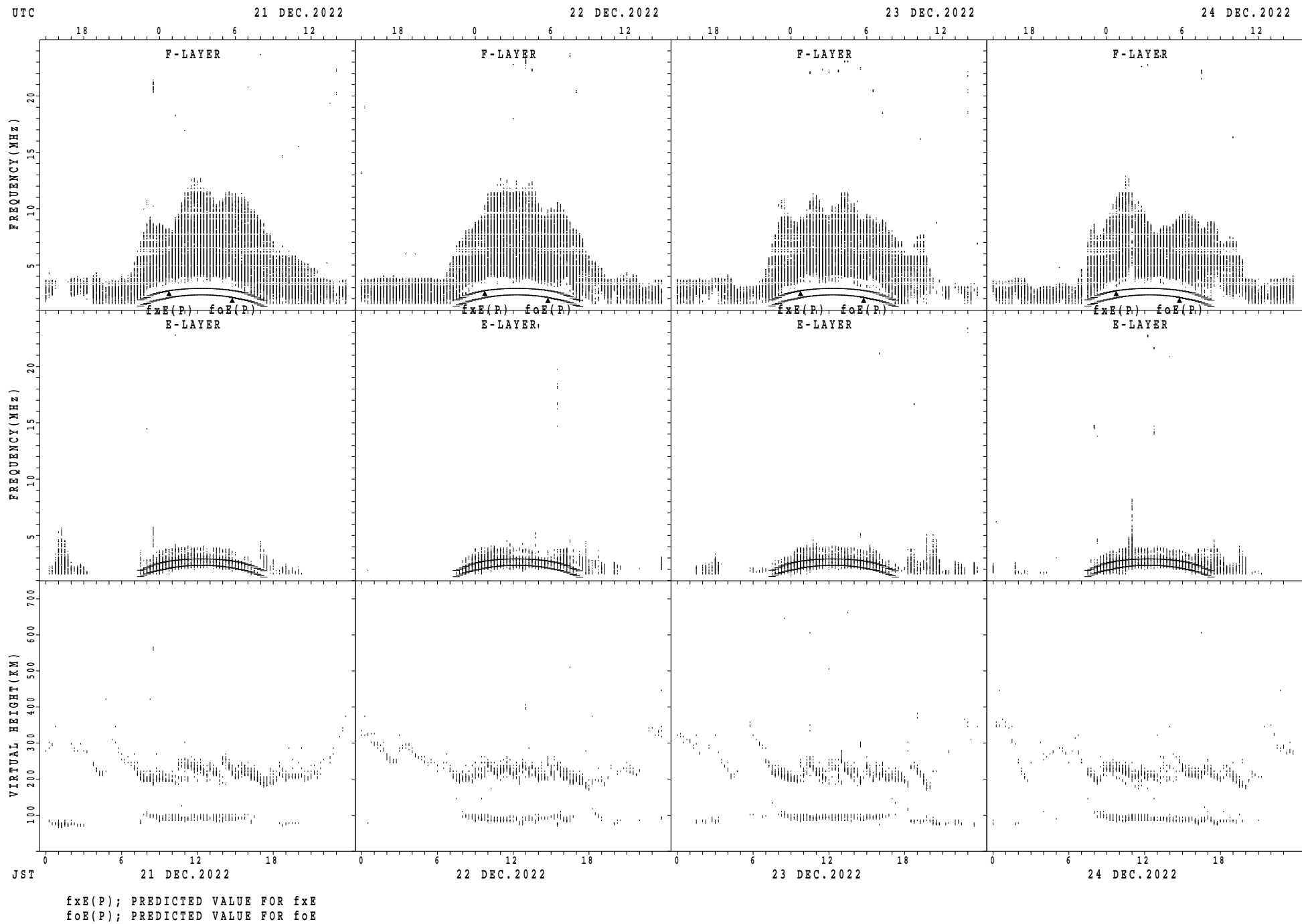


fxE(P); PREDICTED VALUE FOR fxE  
foE(P); PREDICTED VALUE FOR foE

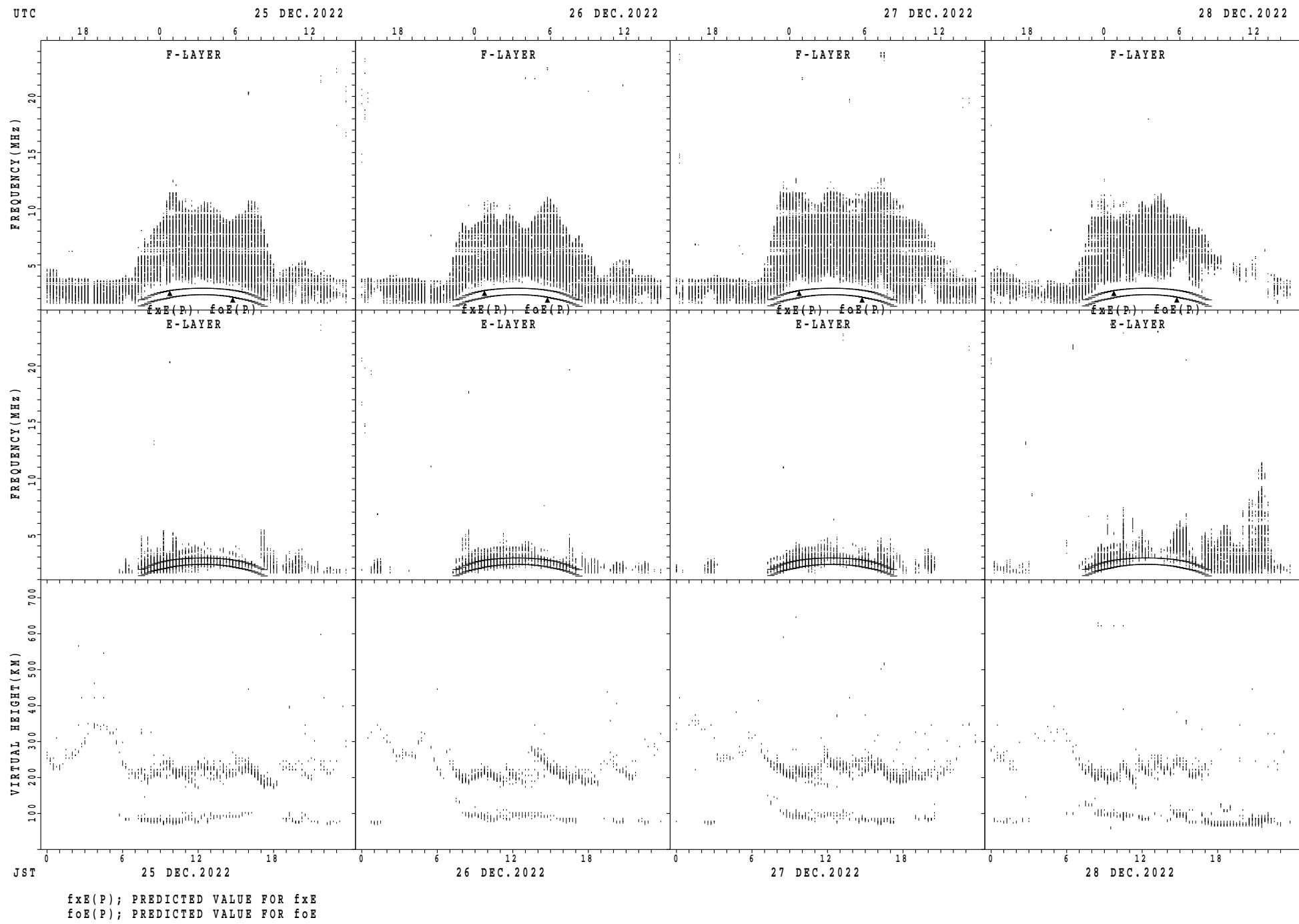
## SUMMARY PLOTS AT Yamagawa



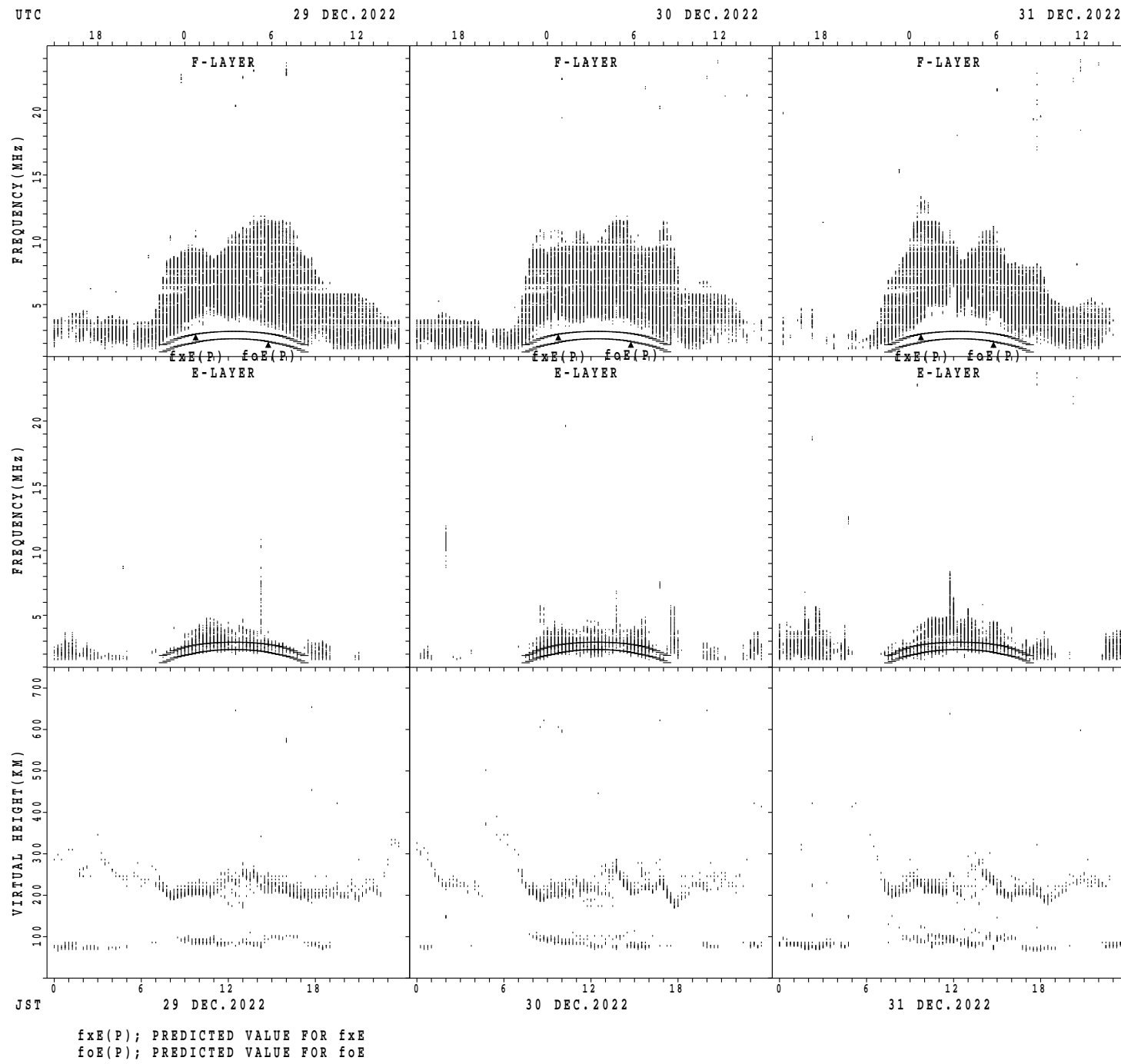
## SUMMARY PLOTS AT Yamagawa



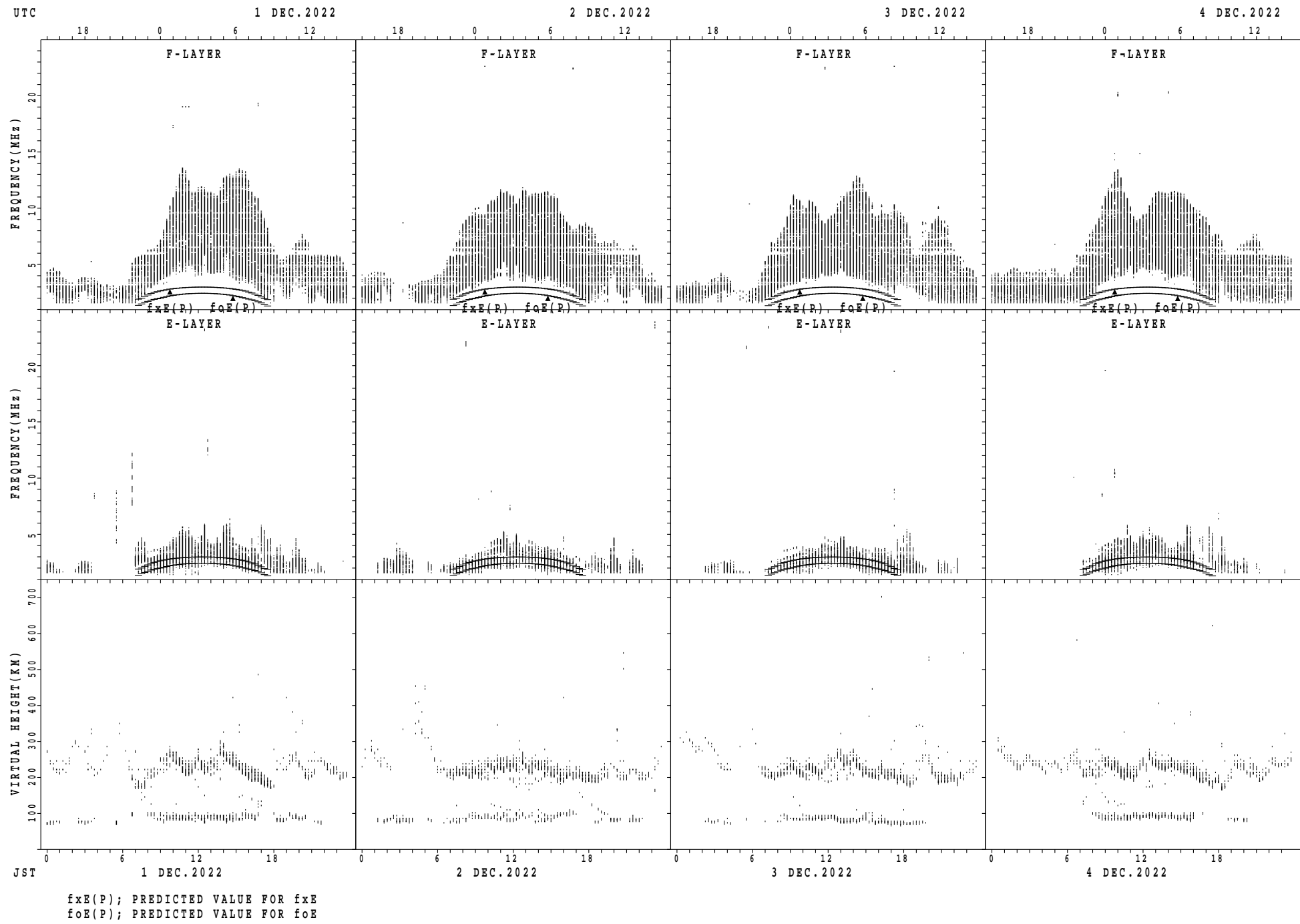
## SUMMARY PLOTS AT Yamagawa



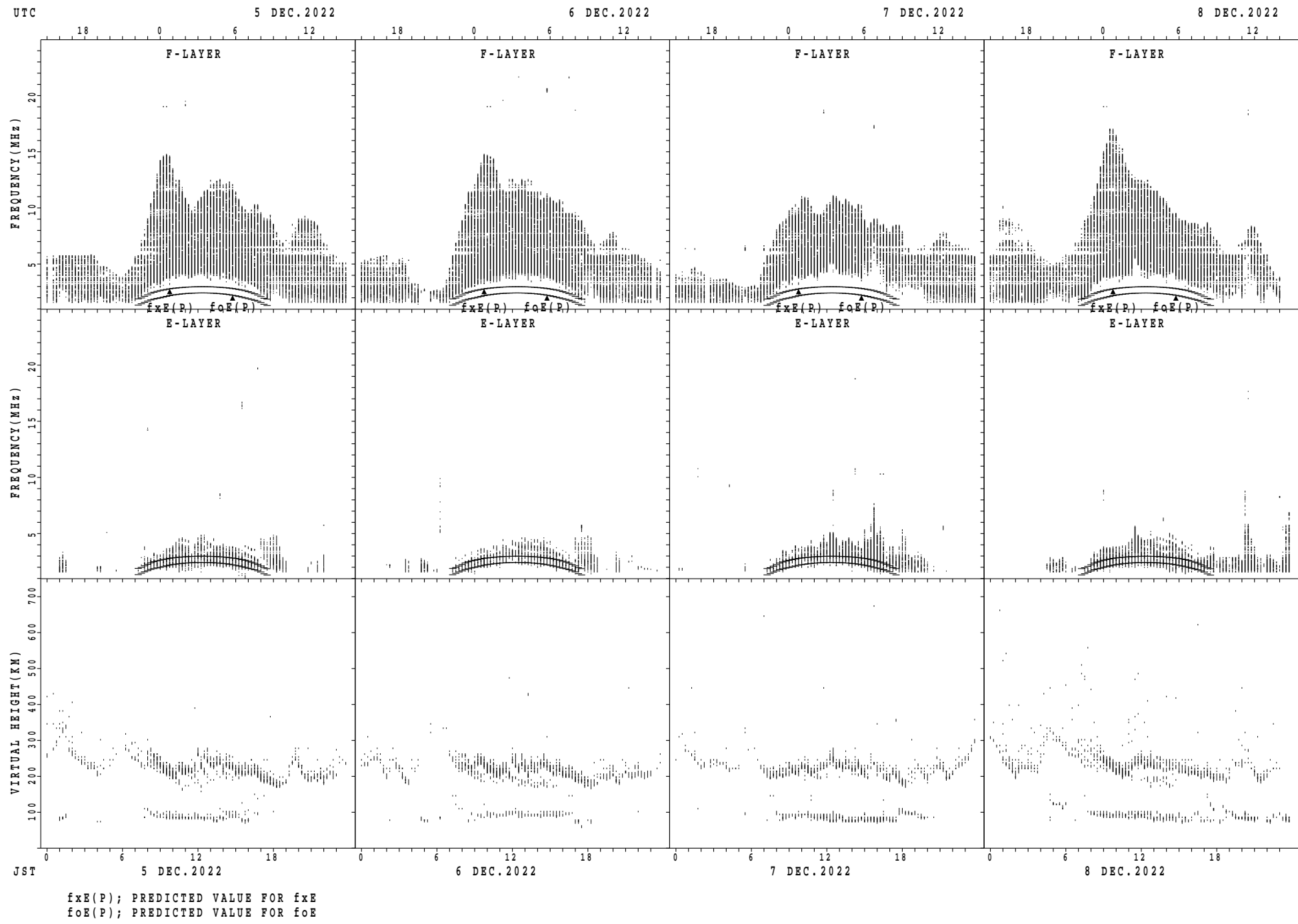
## SUMMARY PLOTS AT Yamagawa



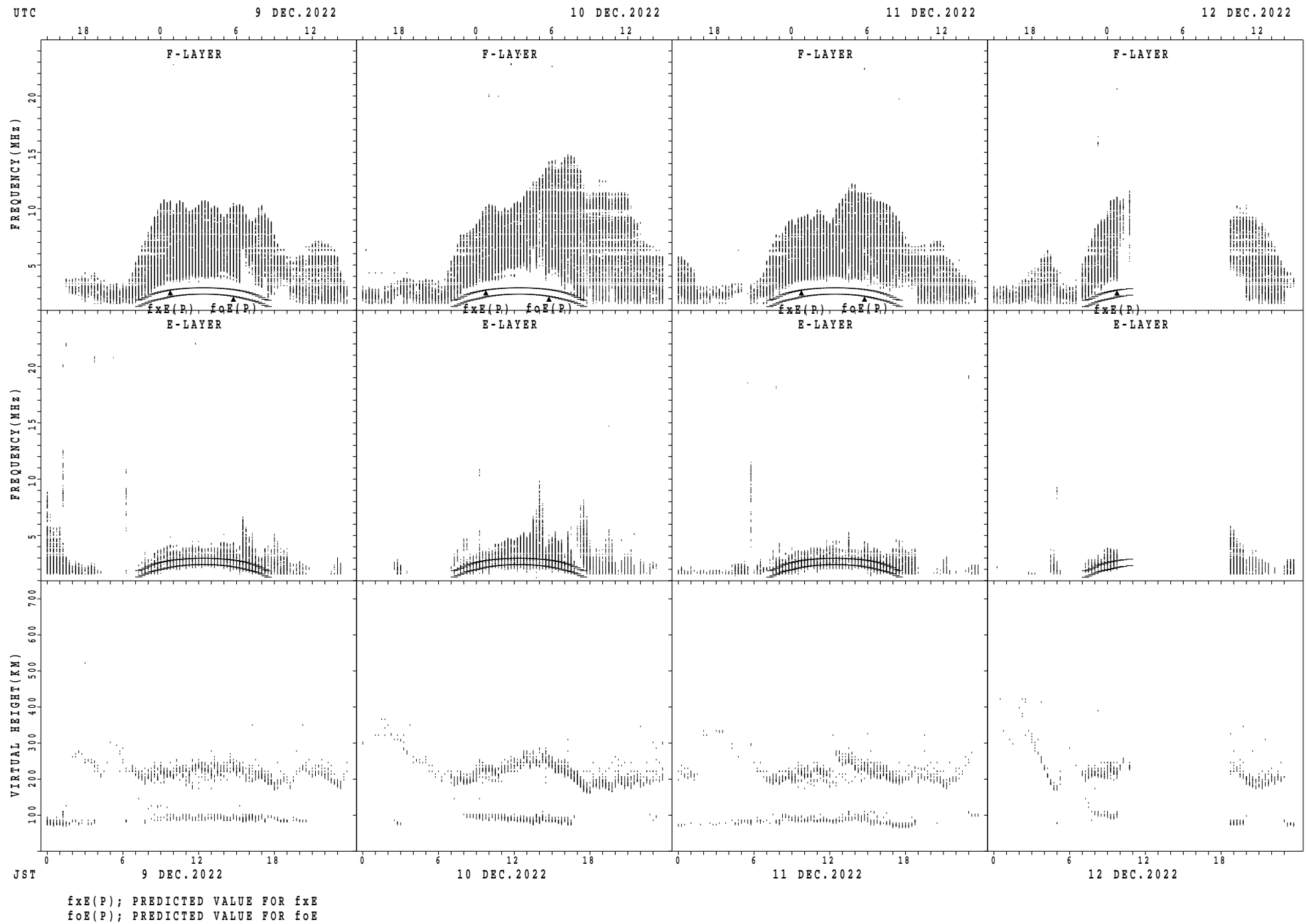
## SUMMARY PLOTS AT Okinawa



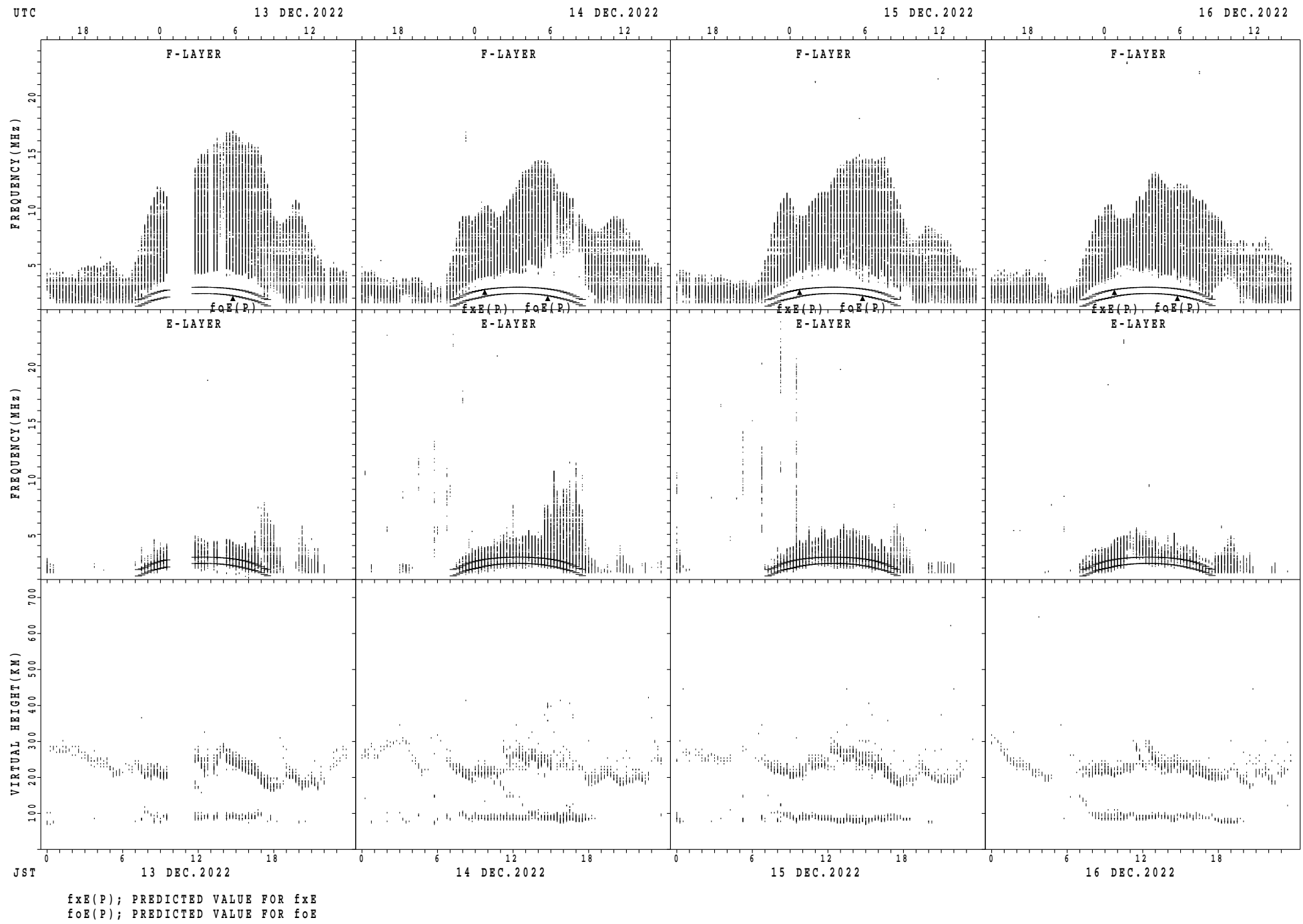
## SUMMARY PLOTS AT Okinawa



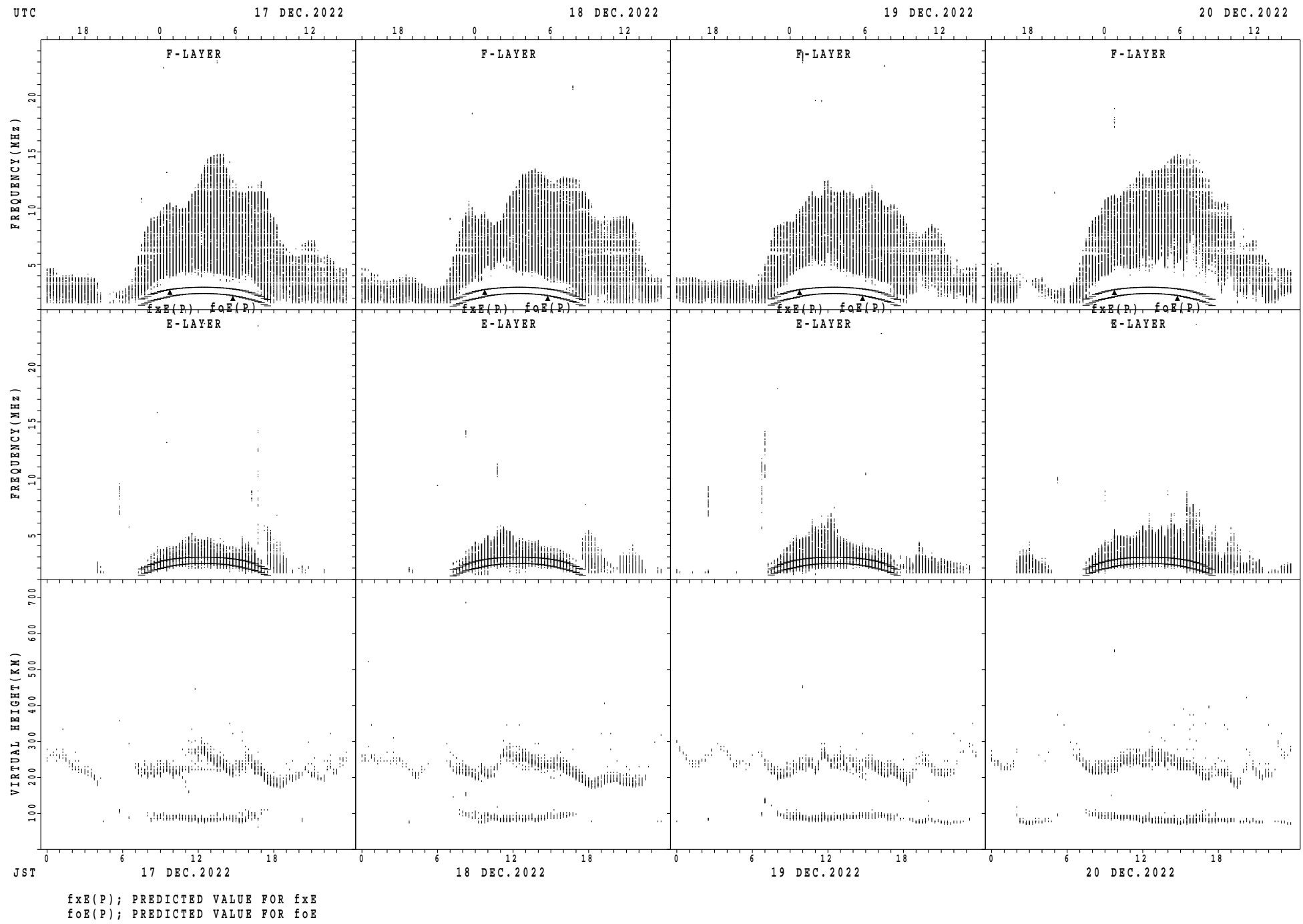
## SUMMARY PLOTS AT Okinawa



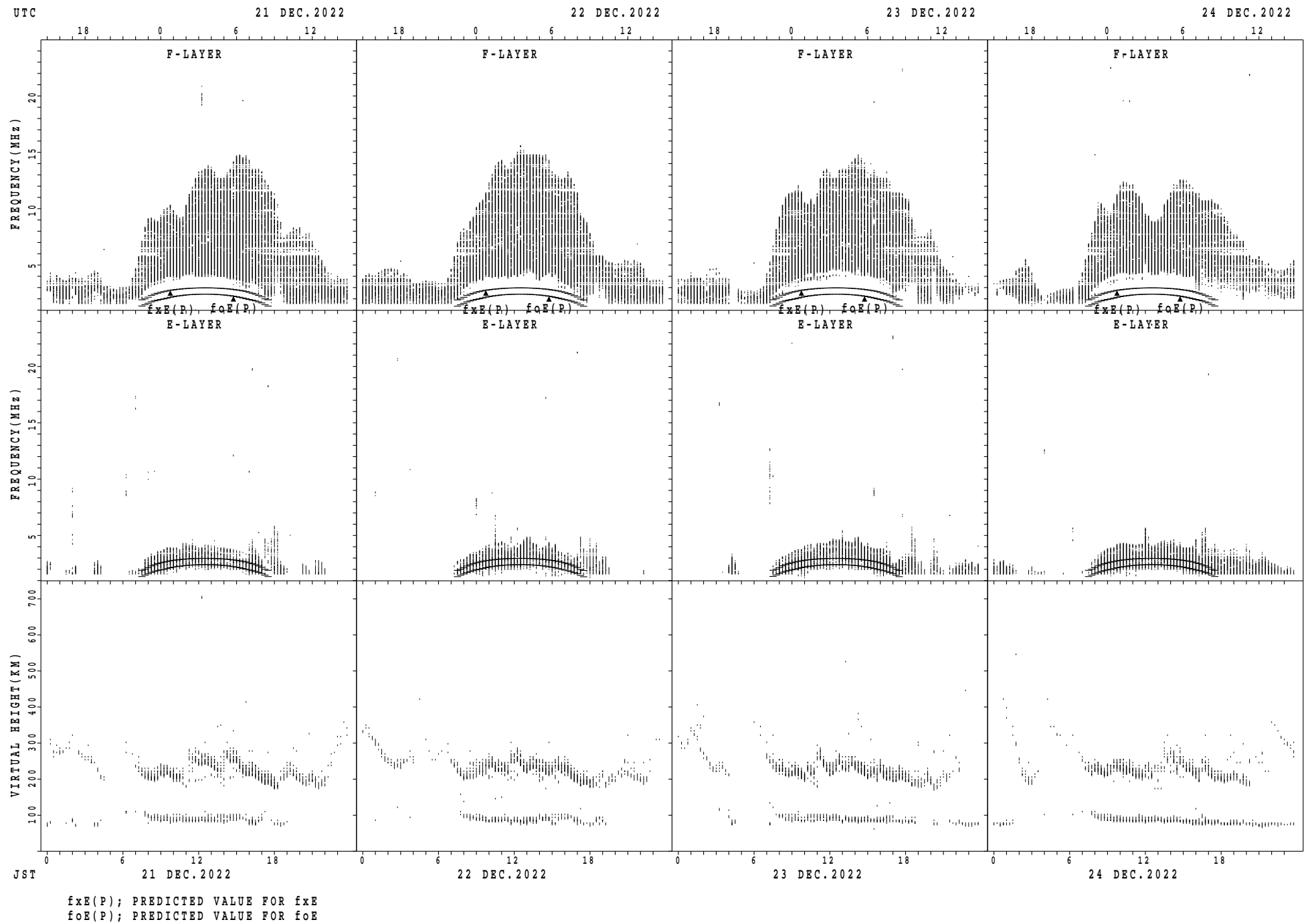
## SUMMARY PLOTS AT Okinawa



## SUMMARY PLOTS AT Okinawa

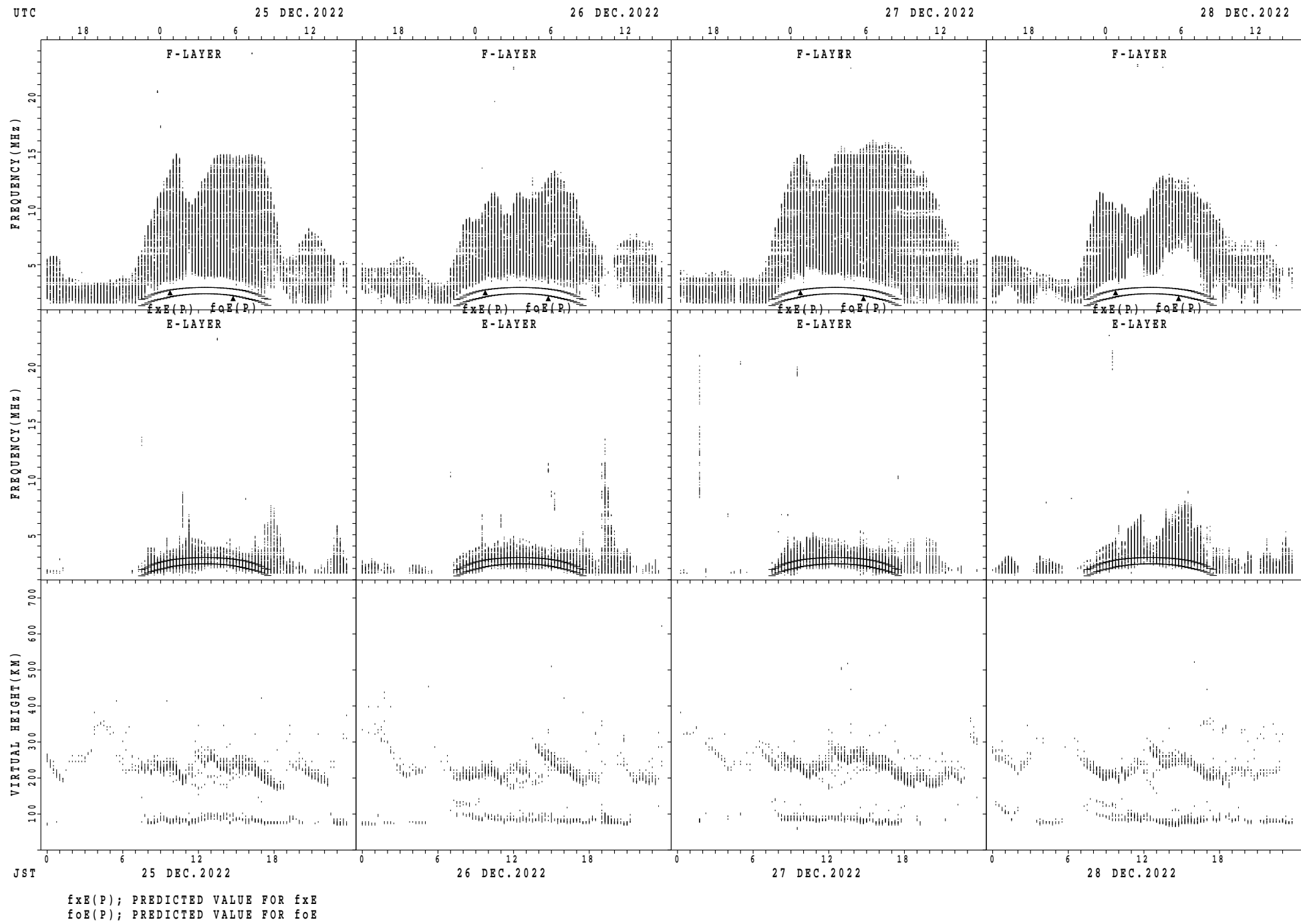


## SUMMARY PLOTS AT Okinawa

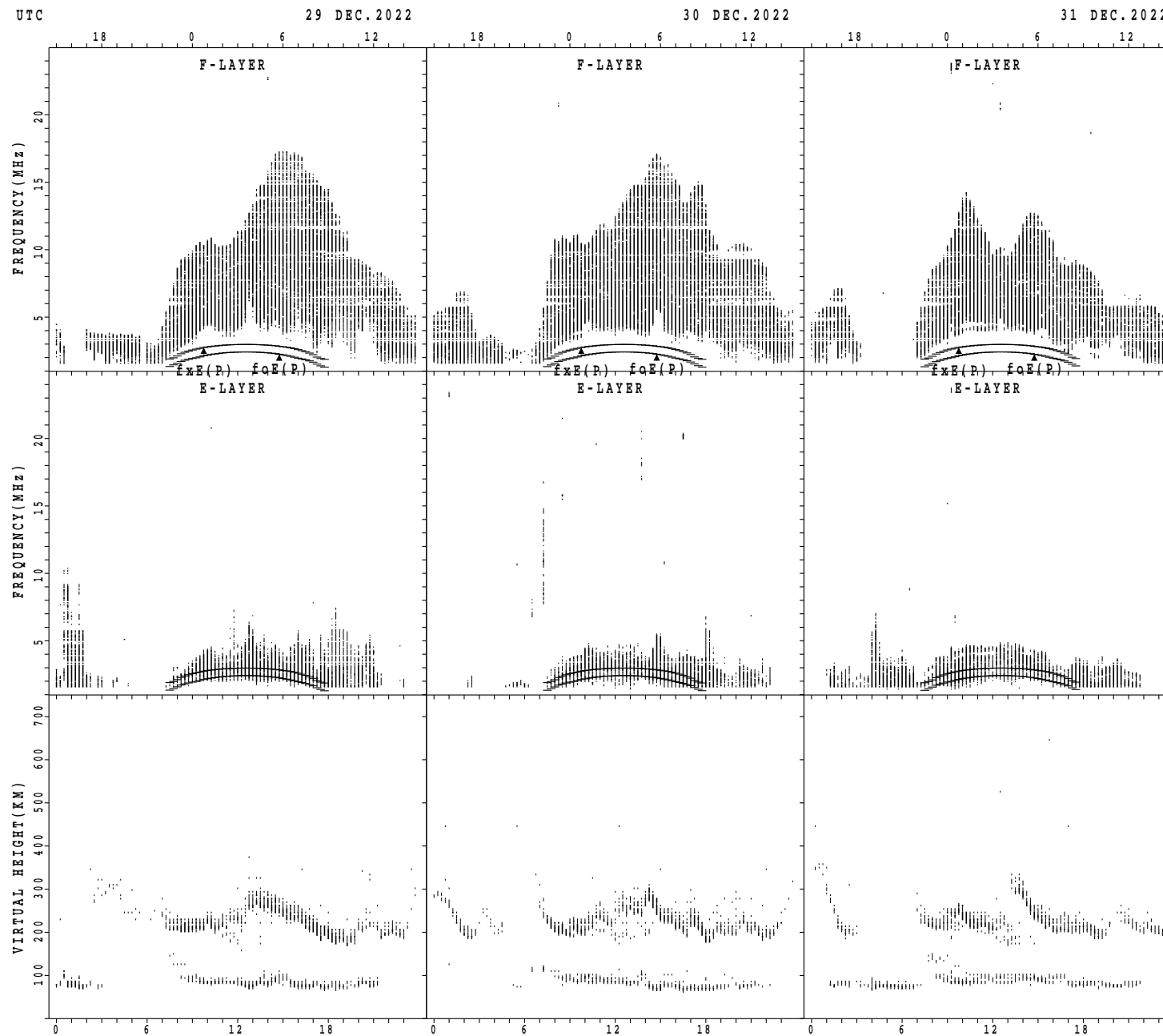


$f_{xE}(P)$ ; PREDICTED VALUE FOR  $f_{xE}$   
 $f_{oE}(P)$ ; PREDICTED VALUE FOR  $f_{oE}$

## SUMMARY PLOTS AT Okinawa



## SUMMARY PLOTS AT Okinawa



$f_{xE}(P)$ ; PREDICTED VALUE FOR  $f_{xE}$   
 $f_{oE}(P)$ ; PREDICTED VALUE FOR  $f_{oE}$

MONTHLY MEDIANs OF h'F AND h'E<sub>S</sub>  
 DEC. 2022 135E MEAN TIME(UTC+9H) AUTOMATIC SCALING

STATION Wakkanai LAT.  $45^{\circ}10.0'N$  LON.  $141^{\circ}45.0'E$

h' Es

h' F STATION Kokubunji

LAT.  $35^{\circ}43.0'N$  LON.  $139^{\circ}29.0'E$

	0	0	0	1	0	2	0	3	0	4	0	5	0	6	0	7	0	8	0	9	1	0	1	1	1	2	1	3	1	4	1	5	1	6	1	7	1	8	1	9	2	0	2	1	2	2	3					
CNT																	1	0	3	1	3	1	3	1	2	1	1	6	3	1	3	1	2	9	2	4	2	1														
MED																	2	2	2	2	1	0	2	1	4	2	1	6	2	1	4	2	2	4	2	2	4	2	1	4	2	2	1	2	3	2						
U_Q																	2	2	6	2	2	4	2	2	4	2	2	4	2	2	2	2	3	4	2	3	0	2	3	1	2	2	7	2	3	2	1	1	6			
L_Q																	2	1	6	1	9	8	2	0	4	2	0	6	2	0	3	2	1	3	2	0	8	2	1	4	2	1	6	2	0	8	2	1	0	1	1	6

h' Es

h' F STATION Yamagawa

LAT.  $31^{\circ}12.0'N$  LON.  $130^{\circ}37.0'E$

	0	0	1	0	2	0	3	0	4	0	5	0	6	0	7	0	8	0	9	1	0	1	1	1	2	1	3	1	4	1	5	1	6	1	7	1	8	1	9	2	0	2	1	2	2	3	
CNT																	2	6	2	9	2	8	1	7					2	9	2	9	2	8	2	6	5	4									
MED																	2	1	9	2	1	6	2	1	4	2	2	0		2	2	6	2	3	0	2	2	1	2	1	8	2	3	2	2	3	2
U_Q																	2	3	2	2	4	2	2	3	2	3	1		2	4	0	2	3	6	2	2	9	2	2	8	2	3	4	2	4	4	
L_O																	2	0	8	2	0	6	2	0	8	2	0	8		2	2	2	2	1	5	2	1	5	2	0	8	2	2	5	2	4	

h' Es

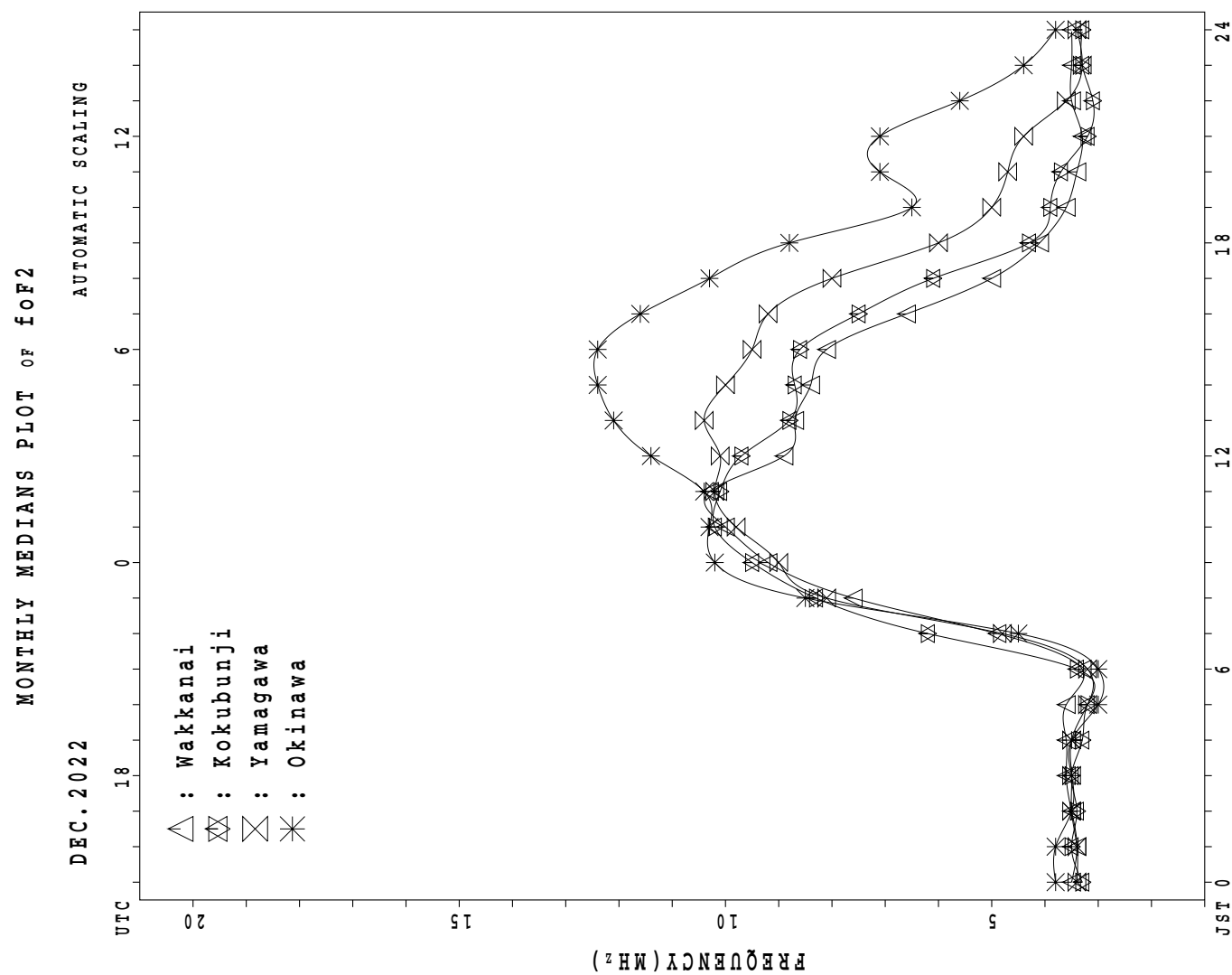
MONTHLY MEDIAN S OF h'F AND h'Es  
 DEC. 2022 135E MEAN TIME(UTC+9H) AUTOMATIC SCALING

h'F STATION Okinawa LAT. 26°41.0'N LON. 128°09.0'E

	00	01	02	03	04	05	06	07	08	09	10	11	12	13	14	15	16	17	18	19	20	21	22	23
CNT									28	30	30					30	30	29	24	10	13	14	4	
MED			234					230	222	214					230	218	214	205	227	234	234	239		
U Q			117					239	232	226					238	228	231	224	232	256	242	256		
L Q			117					217	214	206					220	210	200	200	214	212	224	229		

h'Es

	00	01	02	03	04	05	06	07	08	09	10	11	12	13	14	15	16	17	18	19	20	21	22	23
CNT	13	15	15	18	22	18	15	21	31	31	29	29	30	29	29	30	30	29	30	26	25	21	15	18
MED	96	96	96	96	96	96	96	98	98	98	98	98	98	96	96	98	98	96	96	96	96	96	98	96
U Q	98	98	98	98	96	96	98	98	98	100	100	98	98	98	98	100	100	98	98	98	98	98	98	98
L Q	95	94	96	94	94	96	92	96	96	96	98	94	94	92	94	92	92	94	94	92	96	94	96	94



## IONOSPHERIC DATA STATION Wakkanai

DEC. 2022 fxI (0.1MHz)

135°E MEAN TIME (G.M.T. + 9 H)

LAT. 45°10.0'N LON. 141°45.0'E SWEEP 1.0MHz TO 30.0MHz IN 15.0SEC IN MANUAL SCALING

H D	00	01	02	03	04	05	06	07	08	09	10	11	12	13	14	15	16	17	18	19	20	21	22	23
1	X	X	X	X		X													X	X	X	X	X	X
	41	41	39	40	39	33													49	34	41	42	44	46
2	X	X	X	X	X	X													X	X	X	X	X	X
	44	40	39	39	40	38													41	37	36	37	41	44
3	X	X	X	X	X	X													X	X	X	X	X	X
	45	40	40	40	40	39													39	43	42	39	40	43
4	X	X	X	X	X	X													X	X	X	X	X	X
	44	39	39	40	40	39													42	35	39	39	39	40
5	X	X	X	X	X	X													X	X	X	X	X	X
	41	40	41	40	41	43													40	38	40	37	38	41
6	X	X	X	X	X	X													39	32	37	38	40	40
	42	40	38	42	38	38																		
7	X	X	X	X	X	X													X	X	X	X	X	X
	40	41	42	41	40	39													39	41	41	42	43	42
8	X	X	X	X	X	X													X	X	X	X	X	X
	43	41	41	41	41	43													47	36	33	36	36	38
9	X	X	X	X	X	X													X	X	X	X	X	X
	38	39	41	40	40	41													41	41	41	39	43	46
10	X	X	X	X	X	X													A	A	X	A	X	X
	43	41	42	43	43	49													37		42	44		
11	X	X	X																X	X				X
	42	41	41	50	55	54	44												50	41	49	54	53	55
12	X																		X	X	X	X	X	X
	56	54	56	58	58	45													51	47	42	34	37	41
13	X	X	X	X	X	X													X	X	X	X	X	X
	41	45	46	46	46	45													49	48	43	40	45	44
14	X	X	X	X	X	X													X	X	X	X	X	X
	46	46	46	45	45	45													44	36	38	38	39	39
15	X	X	X	X	X	X													X	X	X	X	X	X
	39	41	43	42	41	41													44	47	47	48	54	55
16	X	X	X	X	X	X													X	X	X	X	X	X
	91	56	59	59	58	58													61	59	59	63	65	65
17	X	X	X	X	X	X													X	X	X	X	X	X
	66	67	70	67	62	58	57	70											48	43	44	47	46	47
18	X	X	X	X	X	X													X	X	X	X	X	X
	48	48	48	48	48	47													42	45	43	41	43	47
19	X	X	X	X	X	X													X	X	X	X	X	X
	46	45	44	45	49	54													58	48	41	45	48	48
20	X	X	X	X	X	X													X	X	X	X	X	X
	48	48	48	51	50	45													46	40	43	45	43	42
21	X	X	X	X	X	X													X	X	X	X	X	X
	44	44	46	46	46	46													53	43	44	47	45	45
22	X	X	X	X	X	X													X	X	X	X	X	X
	45	45	45	46	48	40													51	42	39	43	46	46
23	X	X	X	X	X	X													X	X	X	X	X	X
	46	46	46	46	49	46													60	45	38	42	43	37
24	X	X	X	X	X	X													X	X	X	X	X	X
	37	39	39	43	36	33													49	42	39	45	45	45
25	X	X	X	X	X	X													X	X	X	X	X	X
	46	47	44	44	44	44													48	45	42	49	54	48
26	X	X	X	X	X	X													X	X	X	X	X	X
	44	45	46	46	45	45													53	45	47	58	59	48
27	X																		X	X	X	X	X	X
	37	46	47	46	48	44													66	45	36	38	40	41
28	X	X	X	X	X	X													X	X	X	X	X	X
	44	41	40	40	39														51	45	42	41	43	48
29	X	X	X	X	X	X													X	X	X	X	X	X
	45	52	48	47	45	48													40	42	41	39	39	39
30	X	X	X	X	X	X													X	X	X	X	X	X
	40	42	41	41	39	38													54	50	46	42	42	42
31	X	X	X	X	X	X													X	X	X	X	X	X
	42	42	45	47	35	36													53	39	38	41	41	41
	00	01	02	03	04	05	06	07	08	09	10	11	12	13	14	15	16	17	18	19	20	21	22	23
CNT	30	31	31	31	31	31	2	1											30	30	31	30	31	31
MED	44	44	44	45	44	44	50	70											X	X	X	X	X	X
U Q	46	46	46	47	48	46													48	42	41	42	43	44
L Q	41	41	41	41	40	39													X	X	X	X	X	X
	42	39	38	39	40	41													42	39	38	39	40	41

DEC. 2022 fxI (0.1MHz)

NATIONAL INSTITUTE OF INFORMATION AND COMMUNICATIONS TECHNOLOGY, JAPAN

## IONOSPHERIC DATA STATION Wakkanai

DEC. 2022 foF2 (0.1MHz) 135°E MEAN TIME (G.M.T. + 9 H)

LAT. 45°10.0'N LON. 141°45.0'E SWEEP 1.0MHz TO 30.0MHz IN 15.0SEC IN MANUAL SCALING

H D	00	01	02	03	04	F	05	06	07	08	09	10	11	12	13	14	15	16	17	18	19	20	21	22	23		
1	34	34	32	33		26	26	58	84	80	88	103	88	83	79	79	76	58	42	27	34	35	37	39			
2	37	33	32	32	33	31	30	56	78	72	88	86	79	84	75	74	64	39	34	30	29	30	34	37			
3	38	33	33	33	33	32	31	55	66	76	86	82	84	93	70	79	63	39	32	36	35	32	33	36			
4	37	32	32	33	33	32	33	52	67	80	84	86	92	83	70	69	55	44	35	28	32	32	32	33			
5	34	33	34	33	34	36	27	55	74	97	87	100	88	84	77	75	57	41	33	31	33	30	31	34			
6	35	33	31	35	31	31	31	52	81	90	91	82	88	80	75	73	56	37	32	25	30	31	33	33			
7	33	34	35	34	33	32	29	52	66	85	91	82	76	74	74	83	63	39	32	34	34	35	36	35			
8	36	34	34	34	34	36	36	56	102	126	113	115	104	79	76	87	60	45	40	29	26	29	29	31			
9	31	32	34	33	33	34	26	52	75	87	98	94	87	90	76	83	70	50	34	34	34	30	36	40			
10	36	34	35	36	36	42	40	50	70	94	96	100	89	92	84	84	67	51	A	A	30	35	37				
11	35	34	34		F	F	F	F	51	72	84	96	97	96	82	82	82	70	63	43	34		F	46			
12	F	47	41		F	F			38	32	49	84	97	88	100	92	88	74	81	70	52	44	40	35	27	30	34
13	34	38	39	39	39	38	34	54	84	88	94	92	81	79	84	74	64	48	42	41	36	33	38	37			
14	39	39	40	38	38	38	33	54	75	95	105	98	84	80	81	74	64	54	37	29	31	31	32	32			
15	32	34	36	35	34	34	30	51	79	90	108	104	81	87	88	80	70	51	37	40	40	41	47	48			
16	46	49	52	52	51	51	37	56	78	95	114	111	94	94	91	84	77	56	54	52	52	56	58	58			
17	59	60	63	60	55	51	55	74	103	110	101	90	95	90	93	70	49	41	36	37	40	39	40				
18	41	41	41	41	41	40	34	47	68	94	98	94	90	82	87	92	60	44	35	38	36	34	36	40			
19	39	38	37	38	42	47	39	59	75	101	105	108	95	106	97	86	85	76	51	41	34	38	41	41			
20	41	41	41	44	43	38	34	48	88	100	96	106	93	109	90	86	72	46	39	33	36	38	36	35			
21	37	37	39	39	39	39	32	47	69	90	84	103	88	102	88	76	64	57	46	36	37	40	38	38			
22	38	38	38	39	41	33	35	48	72	90	101	99	85	90	86	82	63	41	44	35	32	36	39	39			
23	39	39	39	39	42	39	36	47	82	69	107	111	90	90	82	78	59	56	53	38	31	35	36	30			
24	30	32	32	36	29	26	28	40	73	101	116	106	90	84	78	74	68	59	42	35	32	38	38	38			
25	39	40	37	37	37	37	38	49	70	77	104	94	78	85	91	78	53	44	41	38	35	42		F			
26	37	38	39	39	38	38	32	46	80	74	95	78	94	90	90	80	60	39	46	38	34	52					
27	30	34	40	39	41	37	38	50	75	88	94	103	87	87	86	70	67	57	59	38	29	31	33	34			
28	37	34	33	33	32	34	51	70	76	115	100	80	94	79	74	66	44	44	38	35	34	36					
29	38	37	41	40	38	41	31	44	60	75	98	92	85	78	75	71	66	42	33	35	34	32	32	32			
30	33	35	34	34	32	31	28	48	77	92	96	93	93	86	62	88	67	55	47	43	39	35	35	35			
31	35	35	38	40	28	29	27	48	79	103	108	114	92	84	88	72	77	52	46	32	31	34	34	34			
	00	01	02	03	04	05	06	07	08	09	10	11	12	13	14	15	16	17	18	19	20	21	22	23			
CNT	30	31	31	29	28	30	29	31	31	31	31	31	31	31	31	31	31	31	30	30	30	28	30	27			
MED	37	35	37	37	36	36	32	51	75	90	96	100	88	86	82	79	66	49	42	36	34	34	36	36			
U Q	39	39	40	39	41	39	36	55	80	97	107	104	92	92	88	84	70	56	46	38	36	38	38	39			
L Q	34	34	34	34	34	33	32	30	48	70	80	91	92	84	82	75	74	60	42	35	32	31	33	34			

DEC. 2022 foF2 (0.1MHz)

NATIONAL INSTITUTE OF INFORMATION AND COMMUNICATIONS TECHNOLOGY, JAPAN

## IONOSPHERIC DATA STATION Wakkanai

DEC. 2022 foF1 (0.01MHz)

135°E MEAN TIME (G.M.T. + 9 H)

LAT. 45°10.0'N LON. 141°45.0'E SWEEP 1.0MHz TO 30.0MHz IN 15.0SEC IN MANUAL SCALING

H D	00	01	02	03	04	05	06	07	08	09	10	11	12	13	14	15	16	17	18	19	20	21	22	23		
1										L U 3 2 4	L 3 9 2	A	L	L	L											
2										L 3 8 0	L U 3 5 2	L U 3 2 8	L 2 2 4													
3										U L 3 1 2	L 3 1 2	3 7 2	3 4 4	3 2 4		L 2 4 8										
4										L 3 8 8	L U 3 9 2	3 6 0	3 1 6													
5						U L 2 1 2	1 8 8	2 4 0	3 4 0	L L	L L	L L	L L	L L	L 3 5 2											
6										U L 3 4 4	L U 3 9 2	L U 3 5 6														
7										2 6 4	3 0 8	3 4 4		L 3 5 2												
8										L L		L		L												
9										L			L 2 9 6													
10										L 2 6 8	L 2 9 6	L L	L L	L L	L L											
11													L L													
12										L L		3 0 0														
13										L L		L L	L L	L L												
14										2 5 2	3 0 0	3 1 2	3 1 6		L 3 5 6	L L										
15										1 8 4			L L													
16										L 2 1 2		2 8 0	L L		3 2 0											
17											E A 2 9 2	L L														
18										L L		L L														
19												L 3 9 6	L 3 1 6													
20												L L	L L		2 4 0											
21										L L			L L	L L		L L	L L	L L								
22											2 6 8			L 3 1 2	L 2 3 6											
23												L U 3 8 0	L L	L L	L L	L L	2 4 8	L L								
24											A		L U 3 8 0	L U 4 0 0	L U 3 5 2	L L										
25												L 3 2 4	L L	L L	L L	L L	L L	1 8 0								
26												L L	L L	L L	L L	L L	L L	L L	L L							
27										L L			L L	L L	L L											
28											L L	L L	L L	L L												
29											L L	L L	L L													
30											L L															
31												L U 3 9 6	L L	L L	L L											
	00	01	02	03	04	05	06	07	08	09	10	11	12	13	14	15	16	17	18	19	20	21	22	23		
CNT										2 L	2 2	5 8	7 7	9 9	4 4	12 12	2 2	5 5	1 1							
MED										2 1 2	1 8 6	2 6 4	3 0 4	3 4 4	3 8 8	3 7 4	3 5 2	3 2 2	2 4 0	1 8 0						
U Q												L U 2 6 8	L U 3 1 8	L U 3 8 0	L U 3 9 6	L U 3 9 2	L U 3 5 4									
L Q												2 4 6	2 9 4	3 1 2	3 4 4	3 5 0	3 1 8	2 3 0								

DEC. 2022 foF1 (0.01MHz)

NATIONAL INSTITUTE OF INFORMATION AND COMMUNICATIONS TECHNOLOGY, JAPAN

## IONOSPHERIC DATA STATION Wakkanai

DEC. 2022 foE (0.01MHz)

135°E MEAN TIME (G.M.T. + 9 H)

LAT. 45°10.0'N LON. 141°45.0'E 'SWEEP 1.0MHz TO 30.0MHz IN 15.0SEC IN MANUAL SCALING

H D	00	01	02	03	04	05	06	07	08	09	10	11	12	13	14	15	16	17	18	19	20	21	22	23
1								A	A	248	256	288	252	288	288	244	228	A	B					
2								A	192	248	A	260	296	272	276	248	200	176	B					
3								B	184	236	256	264	276	284	272	240	224	B	B					
4								B	196	228	264	284	304	300	284	244	220	B	B					
5								B	188	204	256	276	280	308	284	248	236	176	B					
6								A	A	220	256	256	304	300	256	256	216	A	A					
7								B	176	224	252	244	288	288	280	248	196	A	A					
8								B	192	192	200	232	280	284	284	284	240	260	B					
9								B	196	260	292	296	284	272				A	A	252	252			
10								B	180	212	264	292	240	252	280	252		A	A	168				
11								A	A	A	B	B	B	B	B		260	A	A					
12								A	200	280	312	308	308	304	280	248		A	A					
13								A	184	180	256	300	312	312	284	260	196	A	A					
14								B	208	220	264	296	296	296	296	256		B	B	A				
15								B	184	268	292	312	324	328	296			A	A	A	236			
16								B	192	208	244	248	308	332	332	312	272	212	A	B				
17								B	A	B	284	296	316		B	B	B	A	200	A				
18								B	176	320	B	344	B	312	300	184		B	A					
19								B	A	236	284	312	312	312	288	252	232		A	A				
20								B	224	240	256	300	A	308	296	260		A	A	A				
21								B	244	228	268	288	316	312	300	276	200	A	232					
22								B	A	192	225	229	230	288	284	292	248	224	B	B				
23								B	180	236	260	296	300	300	288	268	196		B	B				
24								A	A	252	268	288	288	300	272	256		B	B	A				
25								B	180	196	252	276	284	B	B	260		B	B	B				
26								B	A	232	264	296	296	296	B	260		B	B	B				
27								B	204	180	A	B	292	292	312	284	248	B	B	B				
28	160							A	A	200	B	B	296		B	B	B	B	B	B				
29								B	B	220	264	272	316	316	296	276		B	A	B				
30								B	B	A	276	292	296	316	300	276	252		A	A				
31								B	A	236	280	228	308	308	292	264	240		B	A				
	00	01	02	03	04	05	06	07	08	09	10	11	12	13	14	15	16	17	18	19	20	21	22	23
CNT	1								5	18	24	27	28	29	26	26	25	19	6	3				
MED	160								192	186	230	264	292	296	300	288	256	224	188	236				
U Q									200	200	242	276	296	312	312	296	270	240	252	252				
L Q									188	180	216	256	276	288	288	280	248	200	176	232				

DEC. 2022 foE (0.01MHz)

NATIONAL INSTITUTE OF INFORMATION AND COMMUNICATIONS TECHNOLOGY, JAPAN

## IONOSPHERIC DATA STATION Wakkanai

DEC. 2022 foEs (0.1MHz) 135°E MEAN TIME (G.M.T. + 9 H)

LAT. 45°10.0'N LON. 141°45.0'E SWEEP 1.0MHz TO 30.0MHz IN 15.0SEC IN MANUAL SCALING

H D	00	01	02	03	04	05	06	07	08	09	10	11	12	13	14	15	16	17	18	19	20	21	22	23		
1	J 28	A 35	J 102	A 25	J 20	A 23	J 52	A 63	J 35	A 36	J 30	A 37	J 35	J 32	A 29	J 26	A 35	J 43	A 23	J 34	A 41	A 52	A 25	A 29		
2	J 40	A 25	J 23	A 33	J 22	A 27	J 28	A 19	J 50	A 51	J 32	A 35	J 53	J 31	A 25	J 31	A 22	J 24	A 24	J 23	A 18	E 16	B 16	B 21		
3	J 17	A 16	J 19	A 16	J 16	A 22	J 25	A 25	J 30	A 28	J 29	A 32	J 34	J 32	A 28	J 34	A 24	J 24	A 16	J 16	A 16	B 16	B 16	B 16		
4	E 16	B 23	J 19	A 24	E 16	B 16	G 22	J 25	A 37	J 33	A 31	J 31	G	J 32	A 28	G 16	B 24	E 16	B 16	J 30	E 16	B 16	E 16	B 16		
5	E 16	B 50	J 19	A 20	E 19	B 20	J 16	B 20	J 25	A 28	J 30	A 32	G	J 35	A 30	J 32	A 26	J 16	B 22	J 16	A 19	E 16	B 16	B 21		
6	E 16	B 20	J 22	A 20	J 57	A 65	J 28	A 25	J 26	A 28	J 29	A 35	J 34	J 30	A 30	J 26	A 21	J 23	A 20	J 16	29	26	23	29		
7	J 25	A 31	J 24	A 19	J 18	A 28	J 32	A 23	J 25	A 47	J 30	A 37	J 33	G	J 30	A 25	J 26	A 26	J 26	A 25	49	21	21	16		
8	E 17	B 23	J 16	A 16	J 23	A 20	J 22	A 21	J 23	A 28	J 31	A 33	J 32	J 33	A 30	J 26	A 31	J 31	A 16	J 20	19	23	16	16		
9	J 20	A 21	J 16	A 16	J 25	A 22	J 16	A 26	J 51	A 52	G	G	G	G	G	J 38	A 31	J 33	A 37	J 31	52	28	22	25	24	
10	E 22	B 24	J 16	A 16	J 27	A 20	J 25	A 23	J 22	A 30	J 32	A 31	J 31	J 34	J 34	J 39	A 17	J 32	A 16	D 2	12	7	87	67	52	27
11	J 33	A 30	J 22	A 16	J 16	A 37	J 35	A 28	J 26	A 34	J 32	A 38	J 31	J 30	J 29	G	J 29	A 60	J 74	A 69	J 69	A 50	J 50	A 32		
12	J 27	A 25	J 25	A 70	J 22	A 21	J 22	A 28	J 48	G	G	G	G	G	G	J 29	A 27	J 25	A 47	J 65	A 51	J 37	A 28	J 24		
13	J 31	A 34	J 28	A 23	J 24	A 26	J 20	A 25	J 52	A 34	G	G	G	G	G	J 32	A 29	J 24	A 58	J 28	A 47	J 33	A 23	J 16	J 21	J 28
14	J 28	A 26	J 26	A 19	J 16	A 33	J 16	A 23	G	G	G	G	G	G	G	J 32	A 32	J 28	A 25	J 16	34	J 33	A 59	J 25	J 25	J 16
15	J 29	A 27	J 31	A 108	J 16	A 16	J 16	A 27	G	G	G	G	G	G	G	J 27	A 26	J 26	A 26	J 16	28	J 16	A 16	J 16	B 26	
16	J 23	A 33	J 27	A 30	J 22	A 19	J 23	A 26	J 26	A 34	J 96	G	J 36	A 60	J 34	J 25	A 24	J 16	A 16	J 16	28	21	25	25		
17	J 25	A 25	J 31	A 24	J 16	A 16	J 23	A 20	J 25	G	J 83	G	J 34	A 36	J 29	J 31	A 23	J 16	A 16	J 16	16	27	21			
18	J 25	A 31	J 20	A 82	J 26	A 26	J 18	A 23	J 28	G	32	G	G	G	G	J 17	A 25	J 27	A 20	J 28	A 26	J 25	A 25			
19	J 25	A 33	J 49	A 33	J 19	A 16	J 16	A 27	J 24	G	G	G	G	G	G	J 28	A 26	J 25	A 29	J 28	A 31	J 22	A 27	J 24		
20	J 24	A 21	J 21	A 21	J 16	A 16	J 16	A 25	J 21	G	J 28	A 32	J 37	A 24	J 32	J 31	A 22	J 24	A 52	J 18	A 21	J 21	A 19	J 22	J 23	
21	J 19	A 21	J 16	A 16	J 16	A 16	J 16	A 26	J 24	G	31	A 33	G	G	G	J 31	A 27	J 22	A 31	J 29	A 25	J 21	A 23	J 24	A 20	
22	J 31	A 21	J 40	A 16	J 16	A 16	J 53	A 23	J 23	G	28	A 31	A 35	A 33	G	J 33	A 20	J 17	A 16	J 33	A 27	J 42	A 29	J 25	A 30	
23	E 16	B 16	E 16	B 16	E 25	B 25	E 16	B 24	E 28	G	33	G	G	G	G	J 27	A 16	J 16	A 16	J 16	16	16	24	16		
24	J 23	A 23	J 28	A 16	J 16	A 25	J 26	A 32	J 63	G	G	G	G	G	G	J 22	A 16	J 49	A 16	J 21	16	25	25	28		
25	J 24	A 25	J 25	A 25	J 16	A 25	J 23	A 21	G	G	G	G	G	G	G	J 22	A 16	J 16	A 16	J 16	16	16	26	20		
26	E 15	B 20	E 25	B 15	E 26	B 26	E 16	B 20	E 25	A 43	G	33	G	G	G	J 22	A 16	J 16	A 16	J 23	16	26	16	16		
27	E 16	B 16	E 16	B 24	E 29	B 47	E 34	B 22	E 30	A 28	A 31	A 32	G	33	G	E 30	A 27	E 16	A 16	E 16	15	27	27	16		
28	J 26	A 19	J 16	A 16	J 16	A 69	J 49	A 30	G	E 26	B 35	A 42	A 29	A 24	G	J 17	A 16	E 16	A 16	J 16	22	52	22	16		
29	E 16	B 20	E 16	B 25	E 24	B 15	E 21	B 16	E 24	G	30	G	G	G	G	J 24	A 27	J 20	A 23	J 26	16	26	25			
30	J 25	A 25	J 16	A 16	J 29	A 15	J 16	A 37	J 51	A 30	J 66	G	31	A 67	G	J 28	A 25	J 32	A 25	J 20	25	25	20	23		
31	J 32	A 26	J 26	A 23	J 27	A 20	J 20	A 42	J 52	A 34	J 55	G	34	A 32	G	G	J 17	A 30	J 23	A 22	J 16	20	25	32		
	00	01	02	03	04	05	06	07	08	09	10	11	12	13	14	15	16	17	18	19	20	21	22	23		
CNT	31	31	31	31	31	31	31	31	31	31	31	31	31	31	31	31	31	31	31	31	31	31	31	31		
MED	J 24	A 25	J 22	A 20	J 20	A 22	J 22	A 24	J 25	A 28	G	31	G	G	G	J 28	A 25	J 24	A 25	J 23	A 21	J 23	A 23	J 25		
U Q	J 28	A 30	J 27	A 25	J 25	A 26	J 28	A 27	J 35	A 36	G	35	A 34	A 33	A 30	G	J 28	A 27	J 32	A 29	J 28	A 30	A 26	A 26	27	
L Q	E 17	B 21	J 16	A 16	J 16	A 16	J 21	A 23	G	G	31	G	33	A 32	G	G	E 17	A 16	J 16	A 16	J 16	20	16	20	16	

DEC. 2022 foEs (0.1MHz)

NATIONAL INSTITUTE OF INFORMATION AND COMMUNICATIONS TECHNOLOGY, JAPAN

## IONOSPHERIC DATA STATION Wakkanai

DEC. 2022 fbEs (0.1MHz)

135°E MEAN TIME (G.M.T. + 9 H)

LAT. 45°10.0'N LON. 141°45.0'E OSWEEP 1.0MHz TO 30.0MHz IN 15.0SEC IN MANUAL SCALING

H D	00	01	02	03	04	05	06	07	08	09	10	11	12	13	14	15	16	17	18	19	20	21	22	23						
1	E	B	E	B	E	B	E	B	B	G		G	G	G	G								E	B						
	16	16	16	16	16	16	16	17	21	29	27	28	30	28	27	24	18	21	17	16	18	18	17	16	16					
2	E	B	E	B	E	B	E	B	B	G		G	G	G	G			G	E	B	E	B	E	B	B					
	16	16	16	16	16	16	16	16	16	23	23	27	28	25	28	24	20	15	16	16	16	16	16	16	16					
3	E	B	E	B	E	B	E	B	E	B	G	G	G	G	G			G	E	B	E	B	E	B	B					
	16	16	16	16	16	16	16	16	16	22	25	24	30	26	24	26	18	16	16	16	16	16	16	16	16					
4	E	B	E	B	E	B	E	B	B	G		G	G	G	G		G	E	B	E	B	E	B	E	B					
	16	16	16	16	16	16	16	16	16	16	23	25	26	30	31	24	31	16	16	16	16	16	16	16	16					
5	E	B	E	B	E	B	E	B	E	B	G	G	G	G	G		28	24	21	17	16	16	16	16	16					
	16	16	16	16	16	16	16	16	16	19	25	30	31	28	24	21	17	16	16	16	16	16	16	16	16					
6	E	B	E	B	E	B	E	B	E	B				G				E	B	E	B	E	B	E	B					
	16	16	16	16	16	16	16	16	16	16	23	26	28	31	30	28	27	23	18	17	16	16	16	16	16					
7	E	B	E	B	E	B	E	B	E	B		G	G		G				E	B	E	B	E	B	B					
	16	16	16	16	16	16	16	16	16	18	18	17	22	26	29	29	31	27	24	20	20	16	16	16	16					
8	E	B	E	B	E	B	E	B	E	B	G		G	G	G	G		G	E	B	E	B	E	B	B					
	17	16	16	16	16	16	16	16	16	17	22	23	28	32	28	28	23	24	23	20	16	16	16	16	16					
9	E	B	E	B	E	B	E	B	E	B		G	G	G	G		28	24	24	22	16	16	16	16	16					
	16	16	16	16	16	16	16	16	16	16	28	24					E	B	A	A	A	A	A	E	B					
10	E	B	E	B	E	B	E	B	E	B	G	G	G	G			16	20	16	2	12	7	19	6	7					
	16	16	16	16	16	16	16	16	16	20	25	27	28	28	31	27	23	16	20	16	2	12	7	19	6	7				
11		E	B	E	B	E	B			E	A	A	E	B	E	B	E	B	E	B			E	B						
	16	16	16	16	16	16	20	18	17	25	29	32	38	31	30	29		22	20	21	21	19	23	17	16					
12	E	B	E	B	E	B	E	B	E	B	G		G	G	G	G	E	B		E	B		E	B						
	16	16	16	16	16	16	16	16	16	16	17	24					26	23	24	16	21	20	20	16	16					
13	E	B	E	B	E	B	E	B	E	B	G		G	G	G		29	27	18	18	16	16	19	17	16	17	16			
	19	22	16	16	16	16	16	16	16	24	29						E	B	E	B	E	B	E	B	E	B				
14	E	B	E	B	E	B	E	B	E	B	G		G	G	G		29	30	28	25	16	21	20	22	16	16	16			
	16	16	16	16	16	16	16	16	16	18	16	17					E	B	E	B	E	B	E	B	E	B				
15	E	B	E	B	E	B	E	B	E	B	G		G	G	G			26	24	17	16	16	16	16	16	16	16	16		
	16	16	16	16	16	16	16	16	16	16	16						E	B	E	B	E	B	E	B	E	B				
16	E	B	E	B	E	B	E	B	E	B	G		G	G	G				E	B	E	B	E	B	E	B				
	16	16	16	16	16	16	16	16	16	25	26	28	32	28	25	22	17	16	16	16	16	16	16	16	16	16	16			
17	E	B	E	B	E	B	E	B	E	B	G		G	E	B	E	B	E	B	G	E	B	E	B	E	B				
	16	17	16	16	16	16	16	16	16	16	25		30	34	36	29	24	18	16	16	16	16	16	16	16	16	16	16		
18	E	B	E	B	E	B	E	B	E	B	G		G	E	B	G	G	17	18	17	16	16	16	16	16	16	16	16		
	16	16	16	16	16	16	16	16	16	16	23		32	33	30			E	B	E	B	E	B	E	B	E	B			
19		E	B	E	B	E	B	E	B	E	G		G	G	G		27		16	16	18	16	16	16	16	16	16	16		
	16	19	21	19	16	16	16	16	16	23	28						E	B	E	B	E	B	E	B	E	B				
20	E	B	E	B	E	B	E	B	E	B	G		G	G	G			G	G	21	18	22	16	16	16	16	16	16	16	
	16	16	16	16	16	16	16	16	16	19	27	30	34	22	28	28	21	18	22	16	16	16	16	16	16	16	16	16		
21	E	B	E	B	E	B	E	B	E	B	G		G	G	G		30	27	21	16	16	16	16	16	16	16	16	16	16	
	16	16	16	16	16	16	16	16	16	22	26	30	31					E	B	E	B	E	B	E	B	E	B			
22	E	B	E	B	E	B	E	B	E	B	G		G	G	G			26	20	17	16	22	18	20	16	16	16	16		
	16	16	16	16	16	16	16	16	16	20	26	29	30	29				E	B	E	B	E	B	E	B	E	B			
23	E	B	E	B	E	B	E	B	E	B	G		G	G	G			G	G	G	G		E	B	E	B	E	B		
	16	16	16	16	16	16	16	16	16	21			30					16	16	16	16	16	16	16	16	16	16	16		
24	E	B	E	B	E	B	E	B	A	E	B	G		G	G			22	16	16	16	20	16	16	16	16	16	16		
	17	16	16	16	16	16	16	16	16	16	26							E	B	E	B	E	B	E	B	E	B			
25	E	B	E	B	E	B	E	B	E	B	G		G	G	G		31	33	22	16	16	16	16	16	16	16	16	16	16	
	16	16	16	16	16	16	16	16	16	16	16						E	B	E	B	E	B	E	B	E	B				
26	E	B	E	B	E	B	E	B	E	B	G		G	G	G		30	34	22	16	16	16	16	16	16	16	16	16	16	
	15	16	16	15	16	16	16	16	16	23	27	28	35	30				E	B	E	B	E	B	E	B	E	B			
27	E	B	E	B	E	B	E	B	E	B	G		G	G	G		28	30	25	16	16	16	16	15	16	16	16	16	16	
	16	16	16	16	21	16	16	16	27	28	35	30					E	B	E	B	E	B	E	B	E	B				
28	E	B	E	B	E	B	E	B	A		G	E	B	E	B		35	42	29	24	17	16	16	16	17	16	16	16	16	16
	16	16	16	16	16	16	16	16	22	18	20		26	35			E	B	E	B	E	B	E	B	E	B				
29	E	B	E	B	E	B	E	B	E	B	G		G	G	G			24	16	16	16	16	16	16	16	16	16	16	16	
	16	16	16	16	16	15	16	16	16	22	24	28	29	29			E	B	E	B	E	B	E	B	E	B				
30	E	B	E	B	E	B	E	B	E	B	G		G	G	G		29	25	24	16	16	16	16	16	16	16	16	16	16	
	16	16	16	16	16	16	15	16	16	24	24	28	29	29			E	B	E	B	E	B	E	B	E	B				
31	E	B	E	B	E	B	E	B	E	B	G		G	G	G		30	31	27	18	20	16	18	17	16	16	16	16	16	
	16	16	16	16	16	16	16	16	22	21	26	28	30	29			E	B	E	B	E	B	E	B	E	B				
	00	01	02	03	04	05	06	07	08	09	10	11</																		

## IONOSPHERIC DATA STATION Wakkanai

DEC. 2022 fmin (0.1MHz)

135°E MEAN TIME (G.M.T. + 9 H)

LAT. 45°10.0'N LON. 141°45.0'E 'SWEEP 1.0MHz TO 30.0MHz IN 15.0SEC IN MANUAL SCALING

H D	00	01	02	03	04	05	06	07	08	09	10	11	12	13	14	15	16	17	18	19	20	21	22	23
1	16	16	16	16	16	16	16	16	16	16	16	16	16	15	15	15	16	16	16	16	15	16	16	16
2	16	16	16	16	16	16	16	16	16	16	16	16	16	16	15	15	15	16	16	16	16	16	16	16
3	16	16	16	16	16	16	16	14	16	16	17	15	16	13	11	16	16	16	16	16	16	16	16	16
4	16	16	16	16	16	16	16	16	16	16	16	21	16	16	16	16	16	16	16	16	16	16	16	16
5	16	16	16	16	16	16	16	16	16	16	16	17	17	16	16	16	15	16	16	16	16	16	16	16
6	16	16	16	16	16	16	16	16	16	16	16	17	17	16	16	15	15	16	15	16	16	16	16	16
7	16	16	16	16	16	16	16	16	16	16	16	15	14	16	16	15	16	16	16	16	16	16	16	16
8	17	16	16	16	15	15	16	16	16	16	16	16	14	16	17	16	16	16	16	16	16	16	16	16
9	16	16	16	16	16	16	16	16	17	16	16	16	16	16	16	16	16	16	16	16	16	16	16	16
10	16	16	16	16	16	16	16	16	16	16	16	16	16	17	16	18	12	16	16	16	16	16	16	16
11	15	16	16	16	16	16	16	16	21	24	32	38	31	30	29	20	16	16	16	16	16	16	17	16
12	16	16	16	16	16	16	16	15	21	21	24	24	26	23	16	12	16	16	16	16	16	16	16	16
13	16	16	16	16	16	16	16	16	18	22	24	23	23	19	22	18	11	16	16	16	16	16	16	16
14	16	16	16	16	16	16	15	16	20	20	21	23	20	19	25	16	16	16	16	16	16	16	16	16
15	16	16	16	16	16	16	16	16	22	24	27	25	24	20	16	16	15	16	16	16	16	16	16	16
16	16	16	15	16	16	16	16	16	16	16	16	16	16	23	16	16	15	16	17	16	16	16	16	17
17	16	17	16	16	16	16	16	16	25	22	24	25	34	36	29	16	16	16	16	16	16	16	16	16
18	16	16	16	16	16	14	16	12	23	25	32	25	33	25	23	16	17	16	16	16	16	16	16	16
19	16	16	16	16	11	16	16	16	16	16	16	19	21	21	22	18	16	16	16	16	16	16	16	16
20	16	15	16	16	16	16	16	16	16	16	16	18	19	18	16	16	16	15	16	16	16	16	16	16
21	16	16	16	16	16	16	16	16	16	20	20	22	19	22	16	17	16	16	16	16	16	16	16	16
22	16	16	16	16	16	16	16	15	16	16	18	16	17	17	16	16	17	16	17	16	16	16	16	16
23	16	16	16	16	16	15	16	16	14	17	20	22	23	23	22	16	16	16	16	16	16	16	16	16
24	16	15	16	16	16	16	16	16	16	16	20	21	23	22	24	22	22	16	16	16	16	16	16	16
25	16	16	16	16	16	15	16	16	16	18	21	23	31	28	22	22	16	16	16	16	16	16	16	16
26	15	15	16	15	16	16	16	16	16	16	22	26	24	34	20	22	16	16	16	16	16	16	16	16
27	16	16	16	16	16	16	16	16	10	17	28	35	24	26	22	30	18	16	16	16	16	16	15	16
28	16	16	16	16	16	16	16	15	17	26	35	25	35	42	29	24	17	16	16	16	16	16	16	16
29	16	16	16	16	16	15	16	16	16	16	21	20	23	22	22	24	17	16	16	16	16	16	16	16
30	16	16	16	16	15	15	16	16	16	17	16	15	17	16	16	16	16	16	16	16	16	16	16	16
31	16	16	16	16	16	16	16	16	16	15	16	16	16	18	16	16	17	16	16	16	16	16	16	16
	00	01	02	03	04	05	06	07	08	09	10	11	12	13	14	15	16	17	18	19	20	21	22	23
CNT	31	31	31	31	31	31	31	31	31	31	31	31	31	31	31	31	31	31	31	31	31	31	31	31
MED	16	16	16	16	16	16	16	16	16	16	18	21	19	19	16	16	16	16	16	16	16	16	16	16
U Q	16	16	16	16	16	16	16	16	17	21	22	24	24	24	22	18	16	16	16	16	16	16	16	16
L Q	16	16	16	16	16	16	16	16	16	16	16	16	16	16	16	16	16	16	16	16	16	16	16	16

DEC. 2022 fmin (0.1MHz)

NATIONAL INSTITUTE OF INFORMATION AND COMMUNICATIONS TECHNOLOGY, JAPAN

IONOSPHERIC DATA STATION Wakkani

DEC. 2022 M(3000)F2 (0.01) 135°E MEAN TIME (G.M.T. + 9 H)

LAT. 45°10.0'N LON. 141°45.0'E SWEEP 1.0 MHz TO 30.0 MHz IN 15.0 SEC IN MANUAL SCALING

D E C . 2 0 2 2 M ( 3 0 0 0 ) F 2 ( 0 . 0 1 )

NATIONAL INSTITUTE OF INFORMATION AND COMMUNICATIONS TECHNOLOGY, JAPAN

## IONOSPHERIC DATA STATION Wakkanai

DEC. 2022 M(3000)F1 (0.01) 135°E MEAN TIME (G.M.T. + 9 H)

LAT. 45°10.0'N LON. 141°45.0'E OSWEEP 1.0 MHz TO 30.0 MHz IN 15.0 SEC IN MANUAL SCALING

H D	00	01	02	03	04	05	06	07	08	09	10	11	12	13	14	15	16	17	18	19	20	21	22	23		
1										L U 3 5 8	L 3 9 3	A	L	L	L											
2										L 4 1 7		L U 4 1 3	L U 4 0 9	L 4 4 2												
3										U L 4 6 2	L 4 2 9	L 4 2 5	L 4 1 9	L 4 3 4		L 4 2 8										
4										L 3 9 2	L 4 1 0	L 4 0 6	L 4 0 5													
5										U L 3 5 3	L 4 3 3	L 4 2 7	L 4 1 0		L 4 0 6											
6											U L 4 3 6		L U 3 8 5	L U 3 8 2												
7										4 3 0	4 1 3	4 1 1		L 4 4 7												
8										L L	L L	L L	L L		L		L									
9											L		L 4 6 2													
10										L 4 2 5	L 3 9 7	L L	L L	L L	L L											
11													L L													
12											L 3 7 2		L 3 7 1		L 4 9 6											
13										L L		L L	L L	L L												
14										3 9 3	4 1 6	4 2 6	4 2 0		L 4 1 6	L L	L L									
15										4 1 5				L L												
16											L 3 7 2		L 3 7 1		L L		L 3 9 2									
17												E A 4 0 8		L L	L L											
18											L L		L L													
19													L 3 9 2	L 4 1 3												
20													L L	L L		L 4 1 2										
21										L L			L L	L L			L L		L L							
22										4 1 0				L L	L 4 2 7	L L	L 4 2 6									
23												L 3 8 3	L 3 8 3	L L	L L		L 3 8 7									
24											A		L 3 9 2	L 3 9 7	L L	L L	L L									
25												L 3 9 8	L L	L L	L L		L L		L 4 1 1							
26												L L	L L	L L		L L	L L	L L	L L							
27										L L			L L	L L	L L											
28												L L	L L	L L												
29												L L	L L	L L												
30												L L	L L	L L	L 4 2 3	L L	L L	L L								
31												L L	L 4 2 3	L L	L L											
	00	01	02	03	04	05	06	07	08	09	10	11	12	13	14	15	16	17	18	19	20	21	22	23		
CNT										2	2	5	8	7	9	4	12	2	5	1						
MED										L 3 6 2	4 2 4	4 2 5	4 0 9	4 1 1	4 1 7	4 1 4	4 1 3	4 0 7	4 2 6	4 1 1						
U Q										4 2 8	4 1 4	4 2 9	4 2 4	4 2 1	4 3 0		4 3 5									
L Q										4 0 2	3 9 8	3 8 3	3 9 2	3 9 8	4 0 6		4 0 0									

DEC. 2022 M(3000)F1 (0.01)

NATIONAL INSTITUTE OF INFORMATION AND COMMUNICATIONS TECHNOLOGY, JAPAN

## IONOSPHERIC DATA STATION Wakkanai

DEC. 2022 h'F2 (KM)

135°E MEAN TIME (G.M.T. + 9 H)

LAT. 45°10.0'N LON. 141°45.0'E @SWEEP 1.0MHz TO 30.0MHz IN 15.0SEC IN MANUAL SCALING

H D	00	01	02	03	04	05	06	07	08	09	10	11	12	13	14	15	16	17	18	19	20	21	22	23		
1										214	226	234	226	226	226	226										
2										224	234	220	234	220	220											
3										200	220	216	240	228	212	232										
4										226	228	244	226	236	224											
5						252	232	232	226	224	230	224	222	222	236											
6										236	224	232	223	232												
7										220	222	228	224		204											
8										260	234	218	230	224		224		222								
9										232		214	228													
10										222	230	236	234	224	224											
11											232															
12										216		232														
13						220	222			234	222	226														
14										218	218	234	224	224	232	238										
15										222		226														
16							238			228	230	238		236												
17										236	226	222														
18										230		230														
19											230	226	234													
20											230	240			228											
21							234				238	228			222		214									
22								214				216	236	236	230											
23										212	250	232	224	232		220	260									
24						E A 280				254	230	222	224	238	224											
25										224	258	214	208		230		214									
26										214	222	222		226	270	232	232									
27						310					230	218	232													
28										216	226	230	218													
29											222	222	224													
30											216	216	236	246	230	218										
31											216	244	218	230												
	00	01	02	03	04	05	06	07	08	09	10	11	12	13	14	15	16	17	18	19	20	21	22	23		
CNT										6	3	7	20	21	28	22	19	12	8	3	2					
MED										240	222	220	225	228	230	224	232	225	227	232	218					
U Q										280	232	232	230	234	234	228	234	236	231	260						
L Q										234	222	216	216	222	223	220	226	222	221	214						

DEC. 2022 h'F2 (KM)

NATIONAL INSTITUTE OF INFORMATION AND COMMUNICATIONS TECHNOLOGY, JAPAN

IONOSPHERIC DATA STATION Wakkani

DEC. 2022 h'F (KM)

135°E MEAN TIME (G.M.T. + 9 H)

LAT.  $45^{\circ}10.0'N$  LON.  $141^{\circ}45.0'E$  P SWEEP 1.0 MHz TO 30.0 MHz IN 15.0 SEC IN MANUAL SCALING

DEC. 2022 h'F (KM)

NATIONAL INSTITUTE OF INFORMATION AND COMMUNICATIONS TECHNOLOGY, JAPAN

## IONOSPHERIC DATA STATION Wakkanai

DEC. 2022 h'E (KM)

135°E MEAN TIME (G.M.T. + 9 H)

LAT. 45°10.0'N LON. 141°45.0'E PSWEEP 1.0MHz TO 30.0MHz IN 15.0SEC IN MANUAL SCALING

H D	00	01	02	03	04	05	06	07	08	09	10	11	12	13	14	15	16	17	18	19	20	21	22	23						
1								A	A	112	110	110	104	108	108	108		A	B											
2								A		108	108	108	108	106	102	96	96		B											
3								B		106	108	108	98	104	98	98	102	128		B	B									
4								B		90	116	104	106	110	110	106	106	118		B	B									
5								B		102	114	110	110	112	104	104	112	134	128											
6								A	A	116	116	104	110	110	110	110	110		A	A										
7								B		108	120	100	100	104	104	104	110	110		A	A									
8								B		96	110	90	98	102	102	102	102	102		104										
9								B		98		A	98	104	104	104	98		A	A	96	96								
10								B		104	104	120	106	96	96	110	102			A			88							
11								A	A	A		B	B	B	B	B			A	A										
12								A		112		A	112		118	118	114	112	100		A	A								
13									A	100	100	100		108	108	110	106	102	114		A	A								
14								B		96	104	104	112	112	112	112	112	114		B	B	A								
15								B		102	102	124	124	124		116			A	A	A		96							
16								B		96	96	98	108	108	100	100	100	96	98		A	B								
17								B	A	B					B	B	B	A			98	A								
18								B		98		B	116		102		102	110	80		B	A								
19								B	A				106	106	106	106	108	116	114	116		A	A							
20								B		118	122	116	118		A	108	108	108		A	A	A								
21								B					110	124	124	104	104	112	112	106	106		A	100						
22								B	A				100	114	114	114	114	114	114	114	118		B	B						
23								B					112	112	112	100	114	114	114	114	106			B						
24								A	A				100	100	100	112	112	112	112	112			B	B	A					
25								B					106	100	104	104	104		B	B			B	B	B					
26								B	A				104	104	106	106	106		B		B	B	B							
27								B		104	104		A	B		112	110	110	108		B		B	B						
28								A	A				108			110			B	B	B	B	B							
29								B	B				108	110	110	110	110	112	112			B	A	B						
30								B	B				108	106	106	122	122	120	104	98			A	A						
31								B	A				102	106	100	100	110	110	106	114			B	A						
	00	01	02	03	04	05	06	07	08	09	10	11	12	13	14	15	16	17	18	19	20	21	22	23						
CNT										5	18	24	27	27	29	25	26	25	19	7	3									
MED										96	105	107	108	106	106	110	109	108	110	98	96									
U Q										102	110	113	114	110	111	112	112	112	118	104	100									
L Q										93	100	101	104	104	104	104	104	102	100	96	96									

DEC. 2022 h'E (KM)

NATIONAL INSTITUTE OF INFORMATION AND COMMUNICATIONS TECHNOLOGY, JAPAN

## IONOSPHERIC DATA STATION Wakkanai

DEC. 2022 h'Es (KM)

135°E MEAN TIME (G.M.T. + 9 H)

LAT. 45°10.0'N LON. 141°45.0'E 'SWEEP 1.0MHz TO 30.0MHz IN 15.0SEC IN MANUAL SCALING

H D	00	01	02	03	04	05	06	07	08	09	10	11	12	13	14	15	16	17	18	19	20	21	22	23			
1	106	98	98	98	118	102	104	98	106	100	102	98	158	114	96	96	84	106	106	106	106	102	102				
2	96	96	96	96	96	96	110	110	98	98	94	164	90	118	96	90	90	90	90	102	B	B	94				
3	94	94		B	B	94	102	100	100	128	128	136	170	166	152	116	92	90		B	B	B	B	B			
4		B	96	88	88		B	B	G	100	142	104	114	118		G	148	158		100	B	B	114	B	B		
5	B	102	94	94	94	94		B	92	98	100	148	134		G	110	162	126	96	96	B	86		106			
6	B	98	96	100	100	100	96	96	144	144	114	124	122	140	178	130	104	104	88		110	110	110	96			
7	96	90	96	94	94	100	100	100	162	90	114	126	166		G	148	112	104	104	98	98	98	98		B		
8	B	90		B	B	92	104	94	102	100	118	118	106	106	106	106	98	98	98		B	B	94	98			
9	100	98		B	B	98	100		108	92	90		G	G	G		84	84	78	90	90	82	96	116	100	98	
10	100	94		B	B	98	88	94	102	118	110	94	98	102	116	116	110	88	100	104	106	102	90	94	94		
11	94	90	92		B	B	98	98	100	100	98		B	B	B	B	B	G		104	102	102	100	100	94	94	94
12	94	94	94	94	106	106	106	108	102		G	G	G	G	G		102	90	84	98	98	94	100	90	96		
13	88	88	94	94	90	94	98	98	98	96	96		G	G	G	130	112	112	88	102	102	102	94	96	96		
14	96	96	96	96		B	B	B	98	98		G	G	G	G	154	112	150		104	98	98	84	92	92		B
15	86	88	98	92		B	B	B	100		G	G	G	G	G		88	92	86	86	94		B	B	B	94	
16	94	84	84	94	96	96	92	148	120	112	112		G		90	90	88	88	88		B	B	B	96	96	92	92
17	86	86	86	90		B	B	106	106		B	G		G	B	106		90	90	90		B	B	B	B	108	98
18	96	96	96	124	102	90	96	94	116		G	B	G	B		116	G	G	B	88	90	90	90	90	94	104	
19	94	96	90	92	94		B	B	100	100	100	G	G	G	G	176		G	86	92	92	92	92	100	100	88	
20	102	94	94	90		B	B	B	110	110	170	132	98	96	96	96	106	94	82	96	96	96	84	84	84		
21	84	90		B	B	B	B	B	98	96	204	98	96		G	100	92	124	88	96	92	88	88	92	92	92	
22	98	90	96		B	B	B	112	92	104	138	138	110	120		G	B	B	B	B	90	92	92	92	92	92	
23		B	B	B	B	94	106		114	102		G	G	G	G	118	G	G	G	86	B	B	B	B	94		
24	94	88	92		B	B	100	100	100	92	G	G	G	G	B	B	B	B	86	B	90		B	96	96	96	
25	96	96	96	96		B	102	104	104		G	G	G	B		152	G	B	B	B	B	B	B	B	94	102	
26	B	92	92		B	92	96	B	120	104	90	G	G	G		160	B	G	B	B	B	B	96	116	B	B	
27	B	B	B	B	112	106	104	104	104	92	B	122	128		G	162	B	116	B	B	B	B	B	92	94	B	
28	94	94		B	B	B	100	98	98	G	B	B	G	B	B	B	B	B	B	B	B	B	112	98	100		
29	B	100		B	98	98	B	96	114	114	G	G	G	B		90	90	98	98	98		B	102	102	102		
30	102	100		B	B	94		B	102	102	164	96	114	88	88	96	94	94	102	96	92	92	98				
31	98	98	100	100	94	94	102	102	120	116	104	G	162	144		98	99	110	92	90	88	88	90	91	92	92	92
	00	01	02	03	04	05	06	07	08	09	10	11	12	13	14	15	16	17	18	19	20	21	22	23			
CNT	23	28	22	19	19	22	20	29	26	20	18	15	13	18	19	19	21	23	19	21	21	22	24	22			
MED	96	94	94	94	96	99	100	100	102	103	114	118	122	116	106	106	90	92	96	96	96	96	94	96	96		
U Q	98	97	96	98	100	102	104	107	116	123	128	128	161	144	152	116	96	100	98	99	102	100	100	98			
L Q	94	90	92	92	94	94	96	98	98	104	98	99	110	92	90	88	88	90	91	92	92	92	92	92	92		

DEC. 2022 h'Es (KM)

NATIONAL INSTITUTE OF INFORMATION AND COMMUNICATIONS TECHNOLOGY, JAPAN

## IONOSPHERIC DATA STATION Wakkanai

DEC. 2022 TYPES OF Es

135°E MEAN TIME (G.M.T. + 9 H)

LAT. 45°10.0'N LON. 141°45.0'E @SWEEP 1.0MHz TO 30.0MHz IN 15.0SEC IN MANUAL SCALING

H D	00	01	02	03	04	05	06	07	08	09	10	11	12	13	14	15	16	17	18	19	20	21	22	23		
1	F	F	FQ	F	F	L	L	L	C	CL	LC	HL	C	LC	LC	L	L	F	F	F	F	F	F			
2	2	3	21	1	1	1	6	4	3	3	21	21	11	2	11	11	3	1	1	2	2	3	2	1		
3	2	2	2	3	11	1	21	11	4	3	3	22	11	1	21	11	1	1	F	F	F	1		F		
4			F		F		L	LC	LC	CL	C	H	HL	HL	CH	L	L									
5			1				1	1	21	21	21	2	1	11	11	21	1									
6			F		F			CL	LC	LC	HL	H		C	H	C	C	L	F	F	F	F	F	2		
7			F		F			11	21	21	11	2		1	1	1	11	F	F	F	F	F	F			
8			F		FF		F	C	LC	LC	C	C	C	C	C	C	L	C	F	F	F	F				
9			F		F			C	L	LC						L	L	C	C	F	F	F	F	F	2	
10			F		F		F	F	L	C	C	CL	C	C	C	L	L	L	F	FQ	FQ	FQ	FQ			
11			F		F			F	L	L	L	LC					L	L	F	F	FQ	FQ	FQ	FQ		
12			F		F		F	F	L	C	C						C	L	L	F	F	FQ	FQ	FQ		
13			FQ		FQ		FF	F	C	LC	C	L			C	C	C	L	FQ	FQ				F		
14			F		F		F	F	C					H	C	H		L	F	F	F	1	F			
15			F		F		F	F		C						L	L	C	F					F	1	
16			F		F		F	F	F	H	C	C	C	LC	C	LH	LH	L					F	F	FQ	
17			F		F		F	F		L	L	L	1				L	C	L					F	F	
18			F		F		F	F	L	C	C				C			L	F	F	F	F	FQ	FQ		
19			FQ		FQ		FQ	F		L	C	C				H	1	L	L	F	F	F	F	F	F	
20			F		F		F	F		LC	LC	H	H	L	LC	L	L	L	F	F	F	F	F	F		
21			F		F				C	LC	C	LC	LC		LC	LC	C	L	CL	F	F	F	F	F	FF	
22			F		F		F	F		L	LC	H	H	LC	C	CL	CL		F	F	F	F	F	FQ	2	
23							F	F		LC	LC			C			L	1						F		
24			F		F			F	L	LQ	LQ							L	1	F	F	11	1	F		
25			F		F		F	F	L	C				H										F	F	
26			F		F		F	F		L	LC	LC		H	1				FC	11	F	1				
27					F		F	F	LC	L	L	C	C	H	2	C				F	2	1				
28			F		F			F	L	L									F	F	1	1	1	F		
29			F		F		F	F	L		C	C				L	L	F	1	1	1	2	1	F		
30			F		F		F	F		L	C	H	LC		C	LC	LC	L	L	F	F	F	F	F		
31			F		F		F	F	L	L	CL	CL	C	H	H			L	F	F	F	1	1	F	1	
	00	01	02	03	04	05	06	07	08	09	10	11	12	13	14	15	16	17	18	19	20	21	22	23		
CNT																										
MED																										
U Q																										
L Q																										

DEC. 2022 TYPES OF Es

NATIONAL INSTITUTE OF INFORMATION AND COMMUNICATIONS TECHNOLOGY, JAPAN

## IONOSPHERIC DATA STATION Kokubunji

DEC. 2022 fxI (0.1MHz)

135°E MEAN TIME (G.M.T. + 9 H)

LAT. 35°43'0"N LON. 139°29'0"E @SWEEP 1.0MHz TO 30.0MHz IN 15.0SEC IN MANUAL SCALING

H D	00	01	02	03	04	05	06	07	08	09	10	11	12	13	14	15	16	17	18	19	20	21	22	23
1	X	X	X	X	X	X	X												X	X	X	X	X	X
	45	43	39	36	40	35													47	44	38	40	43	45
2	X	X	X	X	X	X	X												X	X	X	X	X	X
	48	44	39	37	38	37													49	44	38	40	39	42
3	X	X	X	X	X	X	X												X	X	X	X	X	X
	42	42	41	42	40	40													45	42	43	39	39	36
4	X	X	X	X	X	X	X												44	46	39	41	41	42
	40	40	38	38	38	40													X	X	X	X	X	X
5	X	X	X	X	X	X	X												47	51	44	40	38	38
	44	42	42	43	42	42													38	45	35	36	36	39
6	X	X	X	X	X	X	X												X	X	X	X	X	X
	39	44	39	34	34	34	35												45	42	43	40	40	40
7	X	X	X	X	X	X	X												X	X	X	X	X	X
	40	40	40	40	39	38													43	46	45	36	36	37
8	X	X	X	X	X	X	X												X	X	X	X	X	X
	41	43	44	40	40	45													48	43	40	42	39	39
9	X	X	X	X	X	X	X												X	X	X	X	X	X
	39	41	42	42	41	40													50	44	47	43	37	40
10	X	X	X	X	X	X	X												X	X	X	X	X	X
	42	42	42	41	42	45													56	50	A	A	A	X
11	X	X	X	X	X	X	X												X	X	X	X	X	X
	41	34	36	37	38	38													62	50	43	31	34	33
12	X	X	X	X	X	X	X												X	X	X	X	X	X
	42	44	44	44	46	43													58	55	43	32	36	37
13	X	X	X	X	X	X	X												X	X	X	X	X	X
	34	36	36	38	39	39													53	52	34	38	38	
14	X	X	X	X	X	X	X												X	X	A	X	X	X
	37	37	38	40	38	38													66	54	50	40	40	44
15	X	X	X	X	X	X	X												57	48	40	40	41	42
	39	40	40	41	40	38													X	X	X	X	X	X
16	X	X	X	X	X	X	X												65	67	33	33	35	39
	42	43	45	50	43	42													X	X	X	X	X	X
17	X	X	X	X	X	X	X												73	52	46	40	41	43
	45	46	47	49	42	35													X	X	X	X	X	X
18	X	X	X	X	X	X	X												46	43	45	37	36	39
	45	42	44	44	41	39													X	X	X	X	X	X
19	X	X	X	X	X	X	X												68	51	55	42	47	46
	45	48	48	47	50	51													X	X	X	X	X	X
20	X	X	X	X	X	X	X												63	41	40	42	42	40
	47	47	47	46	44	45	48												X	X	X	X	X	X
21	X	X	X	X	X	X	X												61	49	45	47	44	40
	41	43	42	44	43	43	44												X	X	X	X	X	X
22	X	X	X	X	X	X	X												50	42	40	43	38	42
	43	42	43	42	44	47	42												X	X	X	X	X	X
23	X	X	X	X	X	X	X												65	67	33	33	35	39
	41	43	45	47	58	37	41												X	X	X	X	X	X
24	X	X	X	X	X	X	X												73	52	46	40	41	43
	37	38	39	36	40	34	36												X	X	X	X	X	X
25	X	X	X	X	X	X	X												48	45	44	37	35	
	45	45	43	39	40	39	53												X	X	A	X	X	X
26	X	X	X	X	X	X	X												38	47	49	38	41	39
	36	37	37	38	38	36	40												X	X	X	X	X	X
27	X	X	X	X	X	X	X												62	62	48	38	38	42
	38	38	38	44	40	38	42												X	X	X	X	X	X
28	X	X	X	X	X	X	X												45	47	48	47	42	43
	45	42	35	36	37	36	41												X	X	X	X	X	X
29	X	X	X	X	X	X	X												46	45	47	39	34	36
	45	45	45	44	44	42	43												X	X	X	X	X	X
30	X	X	X	X	X	X	X												53	52	48	48	38	40
	38	39	37	40	39	34	35												X	X	X	X	X	X
31	X	X	X	X	X	X	X												58	51	45	44	41	40
	40	41	42	46	32	32	32												X	X	X	X	X	X
	00	01	02	03	04	05	06	07	08	09	10	11	12	13	14	15	16	17	18	19	20	21	22	23
CNT	31	31	31	31	31	31	12												31	31	29	29	30	31
MED	X	X	X	X	X	X	X												X	X	X	X	X	X
U Q	X	X	X	X	X	X	X												50	47	44	40	39	40
L Q	X	X	X	X	X	X	X												X	X	X	X	X	X

DEC. 2022 fxI (0.1MHz)

NATIONAL INSTITUTE OF INFORMATION AND COMMUNICATIONS TECHNOLOGY, JAPAN

## IONOSPHERIC DATA STATION Kokubunji

DEC. 2022 foF2 (0.1MHz) 135°E MEAN TIME (G.M.T. + 9 H)

LAT. 35°43.0'N LON. 139°29.0'E 'SWEEP 1.0MHz TO 30.0MHz IN 15.0SEC IN MANUAL SCALING

H D	00	01	02	03	04	05	06	07	08	09	10	11	12	13	14	15	16	17	18	19	20	21	22	23
1	39	37	33	30	34	29	36	65	75	80	97	101	100	92	93	88	79	63	41	38	32	34	37	39
2	42	38	33	31	32	31	33	72	97	79	92	101	98	88	86	78	70	50	43	38	32	34	33	36
3	36	36	35	36	34	34	33	62	85	94	94	94	94	85	83	74	69	55	39	36	37	33	33	30
4	34	34	32	32	32	34	37	64	84	81	96	96	83	82	73	76	67	47	38	40	33	35	35	36
5	38	36	36	37	36	36	38	60	97	118	112	108	95	84	72	77	76	40	41	45	38	34	32	32
6		38	33	28	28	29	30	68	97	96	99	107	87	84	79	76	70	44	32	39	29	30	30	33
7	34	34	34	34	33	32	32	64	80	86	80	83	86	78	82	73	79	44	39	36	37	34	34	34
8	35	37	38	34	34	39	49	87	95	137	136	111	92	89	81	67	68	63	37	40	38	30	30	31
9	33	35	36	36	35	34	32	61	85	102	91	87	94	88	84	82	82	63	41	37	34	36	33	33
10	36	36	36	35	36	39	37	65	82	85	89	100	97	97	95	92	75	62	44	38	41	37	31	34
11	35	28	30	31	32	32	36	55	77	91	98	88	84	86	82	84	80	57	50	44	A	A	A	33
12	36	38	38	40	37	37	62	78	96	112	108	96	82	84	85	85	62	56	44	37	25	28	27	
13	28	30	30	32	33	33	34	61	83	104	102	84	88	85	80	84	77	57	52	49	37	26	30	31
14	31	31	32	34	32	32	36	64	81	85	87	97	95	90	73	82	70	62	47	46	A	28	32	32
15	33	34	34	35	34	32	32	66	72	88	99	90	90	87	85	99	79	58	53	35	36	35	33	35
16	36	37	39	44	37	36	31	64	75	86	96	112	112	93	92	89	72	67	60	48	44	34	34	38
17	39	40	41	43	36	29	35	63	81	89	107	89	101	89	89	94	79	61	51	42	34	34	35	36
18	38	36	38	38	35	33	36	60	74	80	94	100	108	86	89	86	78	54	40	37	39	31	30	33
19	39	42	42	41	44	43	44	59	82	92	113	114	94	85	94	105	83	67	62	45	49	36	41	40
20	41	41	41	40	38	39	42	57	79	114	111	108	103	92	101	78	67	82	57	35	34	36	36	34
21	35	37	36	38	37	37	38	61	73	86	95	107	100	85	95	89	77	70	55	43	39	41	38	34
22	37	36	37	37	38	41	36	65	76	76	105	119	100	92	85	96	83	52	44	36	34	37	32	36
23	35	37	39	42	52	31	35	58	85	77	108	92	97	91	86	88	67	56	59	61	26	27	29	33
24	31	32	33	30	34	28	30	60	74	93	126	104	81	78	80	84	66	68	67	46	40	34	35	37
25	39	39	37	33	34	33	47	51	72	98	114	94	95	83	76	80	77	52	42	39	38	31	29	
26	30	31	31	32	32	30	34	61	80	84	102	95	76	82	93	80	73	65	32	41	43	32	35	33
27	32	32	32	38	34	32	36	69	104	96	97	99	93	87	78	87	79	60	56	56	42	32	32	36
28	39	36	29	30	31	30	35	70	94	105	84	100	97	86	84	76	71	50	39	41	42	41	36	37
29	39	39	39	38	38	36	36	58	80	80	85	90	93	91	89	84	70	61	40	39	41	33	28	30
30	32	33	31	34	33	28	29	58	80	102	96	92	84	94	85	65	96	80	47	46	42	41	32	34
31	34	35	36	40	26	26	26	61	82	103	124	A	90	80	95	84	70	62	52	44	39	38	35	34
	00	01	02	03	04	05	06	07	08	09	10	11	12	13	14	15	16	17	18	19	20	21	22	23
CNT	30	31	31	31	31	31	31	31	31	31	31	30	31	31	31	31	31	31	31	31	29	29	30	31
MED	36	36	36	35	34	33	36	62	81	91	98	100	94	86	85	84	76	61	44	41	38	34	33	34
U Q	39	38	38	38	37	36	37	65	85	102	111	107	98	91	92	88	79	63	55	45	41	36	35	36
L Q	33	34	32	32	32	30	32	60	76	84	94	92	88	84	80	77	70	52	40	38	34	32	31	32

DEC. 2022 foF2 (0.1MHz)

NATIONAL INSTITUTE OF INFORMATION AND COMMUNICATIONS TECHNOLOGY, JAPAN

## IONOSPHERIC DATA STATION Kokubunji

DEC. 2022 foF1 (0.01MHz)

135°E MEAN TIME (G.M.T. + 9 H)

LAT. 35°43.0'N LON. 139°29.0'E @SWEEP 1.0MHz TO 30.0MHz IN 15.0SEC IN MANUAL SCALING

H D	00	01	02	03	04	05	06	07	08	09	10	11	12	13	14	15	16	17	18	19	20	21	22	23		
1										L 452	L 452	L 452	L 452	L 452												
2										L 416			L 416		L 416											
3										L 440																
4										L 448																
5										L 436																
6										L 368																
7										L 300																
8										L L																
9										L L																
10										L 432																
11										L 432																
12										L L																
13										L L																
14										U 412	L 412															
15										L L																
16										L L																
17										L L																
18										L L																
19										188	L L															
20										L L																
21										L L																
22										L L																
23										L 468																
24										L L																
25										L 440																
26																	548									
27										L L																
28										L A			L A		L A											
29										L L																
30										L L																
31										L A																
	00	01	02	03	04	05	06	07	08	09	10	11	12	13	14	15	16	17	18	19	20	21	22	23		
CNT										1		7	2	5	3	3	1	1								
MED										188		440	438	444	440	368	300	236								
U Q											452		452	548	376											
L Q											416		428	388	352											

DEC. 2022 foF1 (0.01MHz)

NATIONAL INSTITUTE OF INFORMATION AND COMMUNICATIONS TECHNOLOGY, JAPAN

## IONOSPHERIC DATA STATION Kokubunji

DEC. 2022 foE (0.01MHz) 135°E MEAN TIME (G.M.T. + 9 H)

LAT. 35°43'0"N LON. 139°29'0"E SWEEP 1.0MHz TO 30.0MHz IN 15.0SEC IN MANUAL SCALING

H D	00	01	02	03	04	05	06	07	08	09	10	11	12	13	14	15	16	17	18	19	20	21	22	23							
1								B	A	A	316	A	A	308	284	244		A	B												
2								B	A	236	300	316	328	324	308	284		A	A	A											
3								B	A	A	284	320		A	324	308	284	260		A	B										
4								B	A	264	300	320		A	336	312	288	268	208		B										
5								B	A	252	292	324		A	A	316	288	264		A	A										
6								B	A	248	296	316	332	332	316	292	248	192		B											
7								A	A	252	304	328	332	340	324	304	260		A	B											
8								B	A	244	284	304	324	328	320	288	256		A	B											
9								B	A	228	280	308	332	336	324	288	256		A	B											
10								B	A	A	228	312	328	328	308	304	256	196		A											
11								B	A	A	288	312	340	348	U	R	U	R	A	A	A	A	A	A							
12								A	A	A	284		B	B	332	308			A	A	B										
13								B	A	252		B	A	B	B	320	272	204		B											
14								B	A	260	308	320	340	348	332	300	268		A	B											
15								B	A	260	312	336	356	344	332	304	264	208		B											
16								B	A	272		A	A	B	A	336		A	272	212	B										
17								B	B	A	308	332	340	344	320	300	268		A	A											
18								B	A	244	292	304		A	A	328	308	280		B	B										
19								B	B	268		A	A	344	348		A	A	280		A	A									
20								A	A	304		A	332	340	336		A	272	184		B										
21								A		228	288	A	336	336	332	312	268		A	B											
22								A		244	288	332	332		A	A	A	264		A	B										
23										196	224	288	308	324	316				A	A	A	A	B								
24										A	216	256	312	320		A	320	292	252		A	B									
25										A	276	308	308	312	308	304	264	200		B											
26										A	220	276	316	328	332	332	308	280	196		B										
27										A	A	A	320	B	G	344	336	B	B	BU	G	B	224								
28										A	A	A	A	B	B	B	B	B	B	B	B	B									
29										B	A	288	320	336	344	336	320		B	A	B										
30										B	A	A	324	336	348	324	316	268		A	A										
31										A		244	296		A	A	A	A	A	A	A	A									
	00	01	02	03	04	05	06	07	08	09	10	11	12	13	14	15	16	17	18	19	20	21	22	23							
CNT											1	20	23	23	21	22	24	22	23	10											
MED											196	244	288	316	332	338	324	302	264	202											
U Q											256	300	324	338	344	332	308	272	208												
L Q											228	284	312	328	328	314	288	256	196												

DEC. 2022 foE (0.01MHz)

NATIONAL INSTITUTE OF INFORMATION AND COMMUNICATIONS TECHNOLOGY, JAPAN

## IONOSPHERIC DATA STATION Kokubunji

DEC. 2022 foEs (0.1MHz) 135°E MEAN TIME (G.M.T. + 9 H)

LAT. 35°43.0'N LON. 139°29.0'E SWEEP 1.0MHz TO 30.0MHz IN 15.0SEC IN MANUAL SCALING

H D	00	01	02	03	04	05	06	07	08	09	10	11	12	13	14	15	16	17	18	19	20	21	22	23
1	J 30	A 32	J 28	A 20	J 16	A 16	E 16	B 20	J 27	32	35	36	34	G 31	27	21	J 32	A 21	J 16	A 19	J 16	A 42	J 48	
2	J 30	A 29	J 19	A 16	J 16	A 16	E 16	B 20	G G	42	38	34	25	J 40	A 30	J 29	A 20	J 16	A 32	J 16	A 16	J 16		
3	E 16	B 16	E 16	B 16	E 16	B 16	E 16	B 20	27	G G	36	G G	G G	E 18	16	E 16	B 16	E 16	B 16	E 16	B 17			
4	E 16	B 19	E 16	B 16	E 16	B 16	E 16	B 22	G G	34	35	G G	G G	G J 20	A 44	J 26	A 29	J 25	A 16	E 16	B 16			
5	E 16	B 16	E 16	B 15	E 16	B 16	E 16	B 21	G G	31	35	36	G G	G J 21	A 30	J 19	A 16	J 16	A 16	J 17	A 16			
6	E 16	B 16	E 20	B 19	E 18	B 20	E 16	B 21	G G	35	G G	G G	G G	G E 29	E 16	B 16	E 16	B 16	E 16	B 16	E 16			
7	J 20	A 16	E 22	B 18	J 20	A 20	E 21	B 48	28	29	38	38	36	J 37	A 23	J 26	A 17	J 18	A 16	E 16	B 16			
8	J 22	A 17	J 24	B 27	J 20	A 16	E 16	B 20	28	33	34	36	37	G G	E 21	16	E 16	B 16	E 16	B 16	E 16			
9	E 16	B 16	E 16	B 16	E 20	B 21	E 20	B 20	G G	G G	G G	G G	34	J 30	E 24	16	E 16	B 16	E 16	B 16	E 16			
10	E 18	A 16	E 16	B 16	E 16	B 16	E 16	B 20	27	33	37	37	36	34	G J 32	A 44	E 16	B 20	A 16	E 16	B 20			
11	J 25	A 16	E 20	B 16	J 19	A 16	E 21	B 20	27	33	G G	G G	34	J 32	29	J 29	55	J 77	E 89	J 122	A 101	J 65		
12	J 16	26	J 25	A 16	J 16	A 16	E 19	B 26	36	35	34	34	29	G J 40	E 22	16	J 21	E 42	J 30	A 36	E 25	J 16		
13	J 22	A 22	J 20	E 18	J 20	A 16	E 18	B 22	31	33	37	38	37	G G	G E 16	32	J 20	E 64	J 16	E 50	J 25			
14	J 16	A 16	E 16	B 16	E 16	B 16	E 20	B 28	33	G G	G G	G G	G G	G E 22	E 16	36	J 47	E 78	J 20	A 26	J 15			
15	J 30	A 17	J 16	A 16	J 16	A 16	E 16	B 20	G G	G G	G G	G G	G G	G E 16	A 16	42	J 33	E 49	J 50	A 16				
16	E 16	B 20	E 16	B 16	E 16	B 16	E 19	B 21	G 33	J 38	44	38	G 32	G G J 23	E 23	23	J 24	E 32	J 42	A 33	J 41			
17	J 24	A 24	J 18	A 16	J 16	A 16	E 16	B 18	28	G G	G G	G G	G G	G J 24	J 22	21	J 16	E 16	J 16	E 16	J 20			
18	J 20	22	J 20	A 23	J 20	A 19	E 16	B 19	G 36	J 37	37	31	J 31	G G E 23	E 18	16	E 16	16	E 16	B 20	J 18			
19	J 19	31	J 16	A 16	J 16	A 16	E 20	B 16	31	J 35	G 39	36	31	J 26	53	J 26	16	J 29	16	E 16	B 46			
20	E 21	16	J 20	16	E 19	16	E 16	B 19	28	G 34	33	G 33	G 33	G J 20	J 20	26	J 16	17	J 15	16	J 19			
21	E 16	19	J 20	16	E 18	18	E 16	B 18	26	33	35	G 44	G 28	G G J 22	E 16	16	J 20	20	J 21	A 16	J 16			
22	E 16	16	E 16	B 16	E 16	B 16	E 16	B 18	G G	G G	G G	J 40	45	J 75	G J 31	16	J 16	16	E 16	B 16	E 18			
23	J 17	20	J 16	A 16	J 16	A 16	E 16	B 16	28	G G	G G	J 38	57	J 39	J 33	33	J 29	18	J 53	16	J 20	J 18		
24	E 16	20	J 16	16	E 19	19	E 16	B 21	25	30	G G	J 42	35	32	G 20	14	E 15	17	J 22	20	J 19			
25	E 16	17	J 16	16	E 16	16	E 19	B 18	26	53	26	32	G G	G G	G E 24	16	16	33	20	50	J 18			
26	J 16	16	J 16	16	J 16	16	E 16	B 16	31	26	30	36	G G	G G	G E 17	16	25	16	18	25	J 26			
27	J 20	19	J 16	16	J 16	21	E 16	B 18	84	53	53	35	G G	G G	G E 18	28	53	16	16	17	J 19			
28	J 27	24	J 18	16	J 16	16	E 16	B 16	41	54	56	39	38	36	E B E 28	36	36	32	28	16	E 26			
29	J 45	31	J 41	28	J 27	20	E 22	B 18	26	G G	G G	G G	G G	G E 28	24	20	16	16	22	16	J 31			
30	J 29	28	J 29	29	J 16	23	E 16	B 15	33	34	35	G G	G G	G J 30	A 48	39	J 26	32	29	16	E 25			
31	J 30	32	J 16	16	J 16	16	E 16	B 17	20	29	39	82	100	J 110	A 48	45	J 42	28	17	17	J 19			
	00	01	02	03	04	05	06	07	08	09	10	11	12	13	14	15	16	17	18	19	20	21	22	23
CNT	31	31	31	31	31	31	31	31	31	31	31	31	31	31	31	31	31	31	31	31	31	31	31	31
MED	J 19	19	J 16	16	J 16	16	E 16	B 20	27	30	32	G G	G G	G G	J 22	18	J 18	17	J 19	16	J 17	J 18		
U Q	J 25	24	J 20	16	J 19	19	J 18	22	28	33	35	37	38	36	J 33	J 30	28	29	26	26	30	21	25	
L Q	E 16	16	E 16	16	E 16	16	E 16	B 16	18	G G	G G	G G	G G	G G	G E 16	16	16	16	16	16	16	16		

DEC. 2022 foEs (0.1MHz)

NATIONAL INSTITUTE OF INFORMATION AND COMMUNICATIONS TECHNOLOGY, JAPAN

## IONOSPHERIC DATA STATION Kokubunji

DEC. 2022 fbEs (0.1MHz) 135°E MEAN TIME (G.M.T. + 9 H)

LAT. 35°43.0'N LON. 139°29.0'E @SWEEP 1.0MHz TO 30.0MHz IN 15.0SEC IN MANUAL SCALING

H D	00	01	02	03	04	05	06	07	08	09	10	11	12	13	14	15	16	17	18	19	20	21	22	23	
1	E 16	B 16	E 16	B 16	E 16	B 16	E 16	19	25	31	35	35	34	G 31	G 26	G 20	E 16	B 16	E 16	B 16	E 16	B 16	E 16	20	
2	E 16	B 16	E 16	B 16	E 16	B 16	E 16	19	G G	G G	42	38	34	18	28	23	18	E 16	B 16	E 16	B 16	E 16	B 16	E 16	16
3	E 16	B 16	E 16	B 16	E 16	B 16	E 16	20	27	G G	G G	G G	G G	G G	G G	E 18	E 16	B 16	E 16	B 16	E 16	B 16	E 16	16	
4	E 16	B 16	E 16	B 16	E 16	B 16	E 16	21	G G	34	34	G G	G G	G G	G G	G E	16	26	19	E 16	B 16	E 16	B 16	E 16	16
5	E 16	B 16	E 16	B 16	E 16	B 16	E 16	21	G G	30	34	35	G G	G G	G G	21	28	16	16	16	16	17	16		
6	E 16	B 16	E 16	B 16	E 18	B 16	E 16	20	G G	G G	35	G G	G G	G G	G G	G E	16	16	16	16	16	16	16	16	
7	E 16	B 16	E 16	B 16	E 16	B 16	E 16	18	34	27	25	37	37	34	38	28	33	16	16	16	16	16	16	16	16
8	E 16	B 16	E 16	B 16	E 16	B 16	E 16	19	27	33	34	36	36	G G	G G	20	16	16	16	16	16	16	16	16	
9	E 16	B 16	E 16	B 16	E 16	B 16	E 16	20	G G	G G	G G	G G	G G	G G	G G	E 16	16	16	16	16	16	16	16	16	
10	E 16	B 16	E 16	B 16	E 16	B 16	E 16	20	26	32	36	36	35	34	G G	G G	25	24	16	16	16	16	16	16	
11	E 16	B 16	E 16	B 16	E 16	B 16	E 16	20	27	22	G G	G G	G G	G G	G G	A A	A A	A A	A A	A A	A A	A A	A A	16	
12	E 16	B 16	E 16	B 16	E 16	B 16	E 16	20	26	35	34	34	32	29	27	50	35	24	12	21	01	65	16	E B	E B
13	E 16	B 16	E 16	B 16	E 16	B 16	E 16	20	G E	E B	G E	B G	G G	G E	G E	E 16	26	16	16	16	16	16	16	16	
14	E 16	B 16	E 16	B 16	E 16	B 16	E 16	18	18	G G	G G	G G	G G	G G	G G	E B	E B	A A	E B	E B	E B	E B	E B	16	
15	E 16	B 16	E 16	B 16	E 16	B 16	E 16	20	G G	G G	G G	G G	G G	G G	G G	G E	B E	B E	B E	B E	B E	B E	B E	16	
16	E 16	B 16	E 16	B 16	E 16	B 16	E 16	20	G	E B	32	35	44	36	G 31	G G	G E	B E	B E	B E	B E	B E	B E	E B	16
17	E 16	B 16	E 16	B 16	E 16	B 16	E 16	18	27	G G	G G	G G	G G	G G	G G	E B	E B	E B	E B	E B	E B	E B	E B	16	
18	E 16	B 16	E 16	B 16	E 16	B 16	E 16	18	G G	32	36	36	28	G G	G G	23	16	16	16	16	16	16	16	16	
19	E 16	B 16	E 16	B 16	E 16	B 16	E 16	16	30	33	G G	32	34	15	21	28	22	16	20	16	16	31	E B	E B	E B
20	E 16	B 16	E 16	B 16	E 16	B 16	E 16	18	28	G G	33	26	G G	G G	G G	G E	B E	B E	B E	B E	B E	B E	B E	16	
21	E 16	B 16	E 16	B 16	E 16	B 16	E 16	18	26	30	33	G G	G G	G G	G G	28	27	22	16	16	16	16	16	16	
22	E 16	B 16	E 16	B 16	E 16	B 16	E 16	18	G G	G G	G G	40	39	37	G 23	16	16	16	16	16	16	16	16		
23	E 16	B 16	E 16	B 16	E 16	B 16	E 16	16	28	G G	G G	38	34	37	26	22	16	16	16	16	16	16	16	16	
24	E 16	B 16	E 16	B 16	E 16	B 16	E 16	18	25	30	G G	34	34	31	G 20	14	16	16	16	16	16	16	16	16	
25	E 16	B 16	E 16	B 16	E 16	B 16	E 16	20	26	22	26	G G	G G	G G	G G	E B	B E	B E	B E	B A	A E	B E	B E	16	
26	E 16	B 16	E 16	B 16	E 16	B 16	E 16	20	26	30	35	G G	G G	G G	G G	G E	B E	B E	B E	B E	B E	B E	B E	16	
27	E 16	B 16	E 16	B 16	E 16	B 16	E 16	17	34	33	G E	B 35	G G	G G	G G	G E	B 28	16	27	16	16	16	16	16	16
28	E 16	B 16	E 16	B 16	E 16	B 16	E 16	19	30	43	41	39	38	36	36	32	28	16	16	16	16	16	16	16	16
29	E 20	B 16	E 22	B 24	E 16	B 16	E 16	18	26	G G	G G	G G	G G	G G	G G	G E	B 28	23	16	16	16	18	16	16	16
30	E 16	B 16	E 16	B 16	E 16	B 15	E 16	28	33	34	G G	G G	G G	G G	G G	G G	24	36	22	20	20	17	16	16	16
31	E 22	B 22	E 16	B 16	E 16	B 16	E 20	28	37	45	100	A A	G 38	S 32	S 38	24	20	17	16	16	16	16	16	16	
	00	01	02	03	04	05	06	07	08	09	10	11	12	13	14	15	16	17	18	19	20	21	22	23	
CNT	31	31	31	31	31	31	31	31	31	31	31	31	31	31	31	31	31	31	31	31	31	31	31	31	
MED	E 16	B 16	E 16	B 16	E 16	B 16	E 16	19	26	32	G E	G G	G G	G G	G G	E 21	B 16								
U Q	E 16	B 16	E 16	B 16	E 16	B 16	E 16	18	G G	G G	G G	G G	G G	G G	G G	G E	B E	B E	B E	B E	B E	B E	B E	B E	
L Q	E 16	B 16	E 16	B 16	E 16	B 16	E 16	18	G G	G G	G G	G G	G G	G G	G G	G E	B E	B E	B E	B E	B E	B E	B E	B E	

DEC. 2022 fbEs (0.1MHz)

NATIONAL INSTITUTE OF INFORMATION AND COMMUNICATIONS TECHNOLOGY, JAPAN

## IONOSPHERIC DATA STATION Kokubunji

DEC. 2022 fmin (0.1MHz)

135°E MEAN TIME (G.M.T. + 9 H)

LAT. 35°43'0.0"N LON. 139°29.0"E SWEEP 1.0MHz TO 30.0MHz IN 15.0SEC IN MANUAL SCALING

H D	00	01	02	03	04	05	06	07	08	09	10	11	12	13	14	15	16	17	18	19	20	21	22	23
1	16	16	16	16	16	16	16	16	16	16	18	23	18	18	17	16	16	16	16	16	16	16	16	16
2	16	16	16	16	16	16	16	16	16	17	20	17	16	17	16	16	16	16	16	16	16	16	16	16
3	16	16	16	16	16	16	16	16	16	16	15	16	16	13	17	18	16	16	16	16	16	16	16	16
4	16	16	16	16	16	16	16	17	16	16	17	23	19	19	18	16	17	16	16	16	16	16	16	16
5	16	16	16	16	16	16	16	16	16	16	17	18	18	25	18	16	17	16	16	16	16	16	17	16
6	16	16	16	16	16	16	16	16	17	16	20	20	20	22	21	16	18	16	16	16	16	16	16	16
7	16	16	16	16	16	16	16	16	16	18	20	18	18	21	16	16	17	16	16	16	16	16	16	16
8	16	16	16	16	16	16	16	16	16	18	17	18	17	16	16	16	16	16	16	16	16	16	16	16
9	16	16	16	16	16	16	16	17	16	17	22	18	20	16	22	20	16	16	16	16	16	16	16	16
10	16	16	16	16	16	16	16	16	16	19	18	20	20	22	22	21	16	16	16	16	16	16	16	16
11	16	16	16	16	16	16	16	16	16	18	18	25	28	24	22	26	20	23	16	16	16	16	16	16
12	16	16	16	16	16	16	16	16	16	21	34	24	34	17	17	16	16	16	16	16	16	16	16	16
13	16	16	16	16	16	16	16	16	17	31	26	37	38	37	22	18	16	16	16	16	16	16	16	16
14	16	16	16	16	16	16	16	16	16	16	20	22	18	22	17	17	18	16	16	16	16	16	16	16
15	16	16	16	16	16	16	16	16	17	17	18	18	18	17	16	16	16	16	16	16	16	16	16	16
16	16	16	16	16	16	16	16	16	17	16	18	44	27	20	22	18	14	16	16	16	16	16	16	16
17	16	16	16	16	16	16	16	16	18	16	17	17	20	16	17	16	16	16	16	16	16	16	16	16
18	16	16	16	16	16	16	16	16	16	25	20	22	20	21	20	20	23	16	16	16	16	16	16	16
19	16	16	16	16	16	16	16	16	16	16	18	19	21	21	21	18	16	16	16	16	16	16	16	16
20	16	16	16	16	16	16	16	16	16	16	16	17	20	21	21	16	16	16	16	16	16	16	16	16
21	16	16	16	16	16	16	16	16	16	15	18	21	20	20	17	16	16	16	16	16	16	16	16	16
22	16	16	16	16	16	16	16	16	16	18	18	18	25	17	18	14	14	16	16	16	16	16	16	16
23	16	16	16	16	16	16	16	16	16	17	18	18	18	19	18	17	16	16	16	16	16	16	16	16
24	16	16	16	16	16	16	16	16	16	16	16	17	17	17	16	16	16	16	14	16	16	16	16	16
25	16	16	16	16	16	16	16	16	16	17	18	16	16	20	18	17	16	16	16	16	16	16	16	16
26	16	16	16	16	16	16	16	16	16	16	16	30	14	16	25	25	21	16	17	16	16	16	16	16
27	16	16	16	16	16	16	16	16	16	16	27	35	27	27	32	28	16	16	16	16	16	16	16	16
28	16	16	16	16	16	16	16	16	16	18	18	23	35	38	36	36	32	28	16	16	16	16	16	16
29	16	16	16	16	16	16	16	16	18	20	22	25	26	29	27	25	28	20	16	16	16	16	16	16
30	16	16	16	16	16	16	15	16	17	17	18	20	16	16	17	17	16	16	16	16	16	16	16	16
31	16	16	16	16	16	16	16	16	16	16	18	16	18	18	17	14	15	15	16	17	16	16	16	16
	00	01	02	03	04	05	06	07	08	09	10	11	12	13	14	15	16	17	18	19	20	21	22	23
CNT	31	31	31	31	31	31	31	31	31	31	31	31	31	31	31	31	31	31	31	31	31	31	31	31
MED	16	16	16	16	16	16	16	16	16	17	18	20	19	20	18	17	16	16	16	16	16	16	16	16
U Q	16	16	16	16	16	16	16	16	16	16	18	20	23	25	22	22	20	17	16	16	16	16	16	16
L Q	16	16	16	16	16	16	16	16	16	16	17	18	17	17	16	16	16	16	16	16	16	16	16	16

DEC. 2022 fmin (0.1MHz)

NATIONAL INSTITUTE OF INFORMATION AND COMMUNICATIONS TECHNOLOGY, JAPAN

## IONOSPHERIC DATA STATION Kokubunji

DEC. 2022 M(3000)F2 (0.01) 135°E MEAN TIME (G.M.T. + 9 H)

LAT. 35°43'0"N LON. 139°29'0"E @SWEEP 1.0 MHz TO 30.0 MHz IN 15.0 SEC IN MANUAL SCALING

H D	00	01	02	03	04	05	06	07	08	09	10	11	12	13	14	15	16	17	18	19	20	21	22	23	
1	314	323	307	298	306	288	317	379	380	360	345	343	334	341	344	333	361	355	343	356	279	283	293	283	
2	288	327	308	294	297	279	293	358	373	351	359	338	361	331	346	360	364	352	317	364	319	301	313	293	
3	295	304	291	300	283	323	326	365	381	381	363	354	346	328	357	353	357	368	347	340	328	313	302	268	
4	302	336	307	294	288	297	311	353	370	349	360	362	335	328	339	363	343	352	305	353	306	280	283	280	
5	281	282	282	296	286	269	296	322	334	349	351	362	313	322	350	330	367	328	311	335	334	299	288	282	
6	273	308	343	336	282	295	286	328	357	356	340	356	343	368	318	360	323	346	340	356	409	306	280	277	
7	302	304	307	315	302	305	303	352	381	355	363	355	H	V	348	364	324	382	354	341	346	323	284	280	266
8	267	287	304	282	274	264	278	324	300	339	341	343	336	344	353	337	334	387	320	323	359	326	291	284	
9	288	300	284	284	300	311	329	345	354	354	340	343	350	349	335	338	369	341	345	339	312	337	313	266	
10	294	286	290	299	279	339	351	362	379	351	326	354	329	331	323	363	332	338	351	317	311	317	291	302	
11	335	312	277	285	274	295	347	371	363	364	360	374	313	342	340	349	353	347	355	362	A	A	A	292	
12	294	290	266	276	288	298	372	370	383	342	340	349	349	Z	333	338	343	348	327	348	353	341	338	295	294
13	290	278	279	289	309	312	332	363	357	364	357	344	339	341	334	345	343	332	333	363	378	297	278	294	
14	293	282	292	303	293	292	333	374	365	355	327	333	347	349	340	355	345	327	325	348	A	307	274	271	
15	279	287	316	308	294	308	311	375	366	324	356	330	346	323	333	338	356	329	361	333	311	335	266	289	
16	287	283	299	325	324	306	327	369	361	349	330	333	338	331	335	356	331	335	355	350	335	274	278	287	
17	285	285	307	320	369	285	307	347	353	336	353	317	337	308	323	350	356	354	361	356	315	300	296	293	
18	315	294	285	308	329	303	325	347	371	358	343	334	349	334	333	351	339	347	329	337	337	343	278	282	
19	294	324	303	282	283	285	F	338	348	375	332	333	338	364	331	312	344	353	332	346	312	336	277	286	305
20	297	284	302	302	297	296	344	359	347	347	350	344	350	330	346	366	327	345	341	310	315	303	319	290	
21	296	295	295	295	296	308	330	350	370	366	325	336	339	349	343	342	345	335	345	340	300	318	311	277	
22	284	286	295	277	282	324	331	366	369	337	336	351	313	338	339	347	H	330	313	358	342	320	363	269	303
23	278	279	273	281	351	282	307	341	361	322	356	365	348	336	353	346	369	344	323	375	397	287	282	312	
24	278	267	323	290	362	292	299	330	340	324	355	371	345	346	342	337	325	345	349	337	372	264	277	282	
25	294	312	316	275	282	281	376	357	364	348	365	360	353	351	346	331	339	330	314	334	356	A	339	300	
26	292	284	291	283	312	278	345	349	385	340	370	378	350	298	352	358	358	345	290	322	357	334	276	279	
27	295	258	269	288	295	303	300	332	372	361	340	340	338	343	300	332	339	319	310	324	345	296	277	269	
28	300	342	289	273	287	284	304	353	327	348	313	349	345	340	338	340	348	342	298	325	326	309	325	281	
29	305	296	314	278	302	301	352	351	379	371	359	328	332	315	345	347	343	357	326	325	333	361	271	261	
30	284	299	280	305	354	289	296	324	353	351	359	339	353	282	346	320	335	293	301	306	301	325	279	281	
31	275	278	286	348	327	276	279	352	339	334	366	A	328	308	354	330	348	330	337	334	331	321	308	326	
	00	01	02	03	04	05	06	07	08	09	10	11	12	13	14	15	16	17	18	19	20	21	22	23	
CNT	31	31	31	31	31	31	31	31	31	31	30	30	31	31	31	31	31	31	31	31	29	29	30	31	
MED	293	290	295	294	296	295	325	352	365	349	351	344	344	334	340	345	345	342	340	339	331	307	284	283	
U Q	297	308	307	305	312	306	338	365	375	358	359	356	349	344	346	355	357	352	348	353	350	330	302	294	
L Q	284	283	284	282	283	284	300	345	353	339	340	338	335	328	334	337	335	330	317	325	314	292	278	277	

DEC. 2022 M(3000)F2 (0.01)

NATIONAL INSTITUTE OF INFORMATION AND COMMUNICATIONS TECHNOLOGY, JAPAN

## IONOSPHERIC DATA STATION Kokubunji

DEC. 2022 M(3000)F1 (0.01) 135°E MEAN TIME (G.M.T. + 9 H)

LAT. 35°43.0'N LON. 139°29.0'E SWEEP 1.0 MHz TO 30.0 MHz IN 15.0 SEC IN MANUAL SCALING

H D	00	01	02	03	04	05	06	07	08	09	10	11	12	13	14	15	16	17	18	19	20	21	22	23
1										L 392	L 392	L 392	L 392	L 392										
2										L 407			L 407	L 407	L 407									
3										L 395														
4										L 409														
5										L L														
6										L L														
7										L L														
8										L L														
9										L L														
10										L L	L U	L L												
11										L L														
12										L L														
13										L L														
14										U 430	L L													
15										L L														
16										L L														
17										L L														
18										L L														
19										456	L L													
20										L L														
21										L L														
22										L L														
23										L 381	L L													
24										L L														
25										L 400	L 388													
26										L L	L 355	L L												
27										L L														
28										L A	L L													
29										L L	L U	L L												
30										L L														
31										L A	L 405	L L												
	00	01	02	03	04	05	06	07	08	09	10	11	12	13	14	15	16	17	18	19	20	21	22	23
CNT										1		7	2	5	3	3		1						
MED										456		407	402	407	385	426		443						
U Q											L 414		417	423	447									
L Q											L 392		396	355	419									

DEC. 2022 M(3000)F1 (0.01)

NATIONAL INSTITUTE OF INFORMATION AND COMMUNICATIONS TECHNOLOGY, JAPAN

## IONOSPHERIC DATA STATION Kokubunji

DEC. 2022 h'F2 (KM)

135°E MEAN TIME (G.M.T. + 9 H)

LAT. 35°43.0'N LON. 139°29.0'E SWEEP 1.0 MHz TO 30.0 MHz IN 15.0 SEC IN MANUAL SCALING

H D	00	01	02	03	04	05	06	07	08	09	10	11	12	13	14	15	16	17	18	19	20	21	22	23		
1										220	244	220	240	220												
2										220		212	230													
3										214	236	240	228	232												
4										214	234	218	216	214												
5										232	232	218	222	208												
6										230	242	232	228	228	226	234										
7										218	220		240	244	232											
8										238	234	228	224	232	210											
9										214	210	226														
10										212		222	222													
11										226	222		222													
12										224	226	222		218												
13										220		222	224	224												
14										218	240	228	238	218												
15										228	220	230	246													
16										250		238	240													
17										232	214	244		232												
18										230	238	220	234													
19								200		234	226		220													
20									240	234	228	238	232	234		208										
21										232	238	220	240													
22									204	240	236	268														
23										238	212	238		236												
24										230	206	206	220	224												
25										242	230	214	220	218												
26													318													
27										216	236	234	228	224	232											
28										238	202		232	264	230											
29											224	222	232		230											
30										228	220	236	214		232											
31										242		A	228	224												
	00	01	02	03	04	05	06	07	08	09	10	11	12	13	14	15	16	17	18	19	20	21	22	23		
CNT										1	1	16	25	22	26	23	18	2	1							
MED										200	238	225	230	224	228	224	231	233	208							
U Q										235	235	232	238	238	234											
L Q										215	220	218	222	220	224											

DEC. 2022 h'F2 (KM)

NATIONAL INSTITUTE OF INFORMATION AND COMMUNICATIONS TECHNOLOGY, JAPAN

## IONOSPHERIC DATA STATION Kokubunji

DEC. 2022 h'F (KM)

135°E MEAN TIME (G.M.T. + 9 H)

LAT. 35°43.0'N LON. 139°29.0'E SWEEP 1.0MHz TO 30.0MHz IN 15.0SEC IN MANUAL SCALING

H D	00	01	02	03	04	05	06	07	08	09	10	11	12	13	14	15	16	17	18	19	20	21	22	23				
1	254	248	256	258	254	288	242	196	196	200	210	198	184	186	226	220	206	194	200	202	284	288	270	314				
2	274	222	246	246	274	312	268	224	210	208	204	234	232	198	204	208	208	198	216	200	236	254	238	254				
3	268	254	310	266	296	244	216	206	206	212	198	198	182	176	214	212	212	192	202	220	224	238	242	280				
4	270	230	264	278	294	268	232	208	212	202	208	194	194	178	206	214	208	184	292	214	268	276	260	294				
5	304	294	302	272	260	298	222	230	232	216	218	210	194	202	194	214	208	256	238	218	208	232	246	300				
6	310	264	206	232	316	286	288	240	210	222	218	184	196	222	188	218	196	176	200	218	190	242	306	312				
7	266	258	250	246	254	254	270	216	204	210	206	220	230	212	234	194	206	184	208	228	228	262	296	334				
8	342	294	258	272	306	312	278	226	224	224	210	206	210	208	206	202	208	196	230	222	220	222	240	280				
9	278	284	282	286	258	244	226	214	214	210	198	200	218	212	220	210	206	194	194	202	238	230	240	288				
10	260	286	284	260	298	230	208	210	200	202	204	214	192	212	220	212	202	218	206	216	232	226	264	268				
11	240	232	314	308	328	280	208	200	206	200	200	208	198	224	222	230	202	276	230	212	A	A	A	290				
12	282	292	290	294	268	250	206	212	202	212	194	208	220	202	208	224	206	198	192	206	210	254	258	264				
13	302	296	306	286	254	240	218	212	202	218	212	208	210	200	218	220	202	192	226	208	194	248	314	276				
14	274	310	312	276	254	262	230	204	206	210	184	194	222	206	208	230	198	198	232	206	208	316	318					
15	290	294	240	256	256	260	232	208	202	208	222	210	206	202	224	240	204	190	202	242	248	220	376	296				
16	290	296	280	234	220	242	216	208	204	214	206	234	214	200	224	214	204	200	204	212	200	280	306	338				
17	268	274	240	230	194	278	246	208	206	210	212	202	218	208	202	230	208	194	208	210	232	252	270	266				
18	240	242	260	248	214	264	226	198	206	212	214	218	220	210	220	222	216	194	200	214	216	208	310	300				
19	254	226	246	286	278	266	208	174	210	212	214	214	212	198	224	230	210	206	220	220	214	226	292	320				
20	258	274	258	230	246	268	224	202	218	224	218	216	206	204	204	202	172	220	196	222	228	246	234	254				
21	276	266	268	270	268	246	230	210	200	212	208	208	206	206	210	212	208	200	212	220	242	228	230	294				
22	290	286	272	296	282	222	212	210	204	194	214	196	204	220	214	230	214	188	196	208	234	208	312	266				
23	276	304	272	280	206	316	258	228	212	202	206	198	230	220	222	204	200	222	244	210	190	242	294	272				
24	304	344	256	276	218	286	250	240	194	224	212	196	192	182	196	226	208	202	210	194	202	230	270	306				
25	268	250	224	298	306	312	196	200	206	204	194	192	182	208	220	228	206	188	226	226	206	230	272					
26	304	302	284	286	250	302	230	206	206	206	216	210	202	192	236	214	206	198	262	244	206	210	298	292				
27	254	360	326	278	242	264	266	246	214	200	200	206	208	202	200	226	216	206	238	214	202	260	296	324				
28	274	226	266	310	272	290	272	220	220	A	200	228	210	200	212	216	204	196	224	226	236	214	238	272				
29	268	276	284	320	256	240	214	218	204	210	192	188	176	218	214	222	204	210	208	206	234	210	304	346				
30	310	286	330	254	204	312	284	228	202	218	212	192	208	194	222	208	254	206	232	238	254	230	216	288				
31	E	A	E	A	358	316	266	220	240	330	306	212	220	228	220	A	186	202	232	224	214	210	196	224	224	234	246	226
	00	01	02	03	04	05	06	07	08	09	10	11	12	13	14	15	16	17	18	19	20	21	22	23				
CNT	31	31	31	31	31	31	31	31	31	30	31	30	31	31	31	31	31	31	31	31	29	29	30	31				
MED	274	280	267	272	256	268	230	210	206	210	208	207	206	202	214	218	206	198	209	214	222	231	266	289				
U Q	302	296	290	286	282	298	266	224	212	216	214	214	218	212	222	226	208	206	230	222	236	253	304	312				
L Q	266	250	256	248	242	246	216	206	202	204	200	196	194	198	206	212	204	192	220	208	206	221	240	272				

DEC. 2022 h'F (KM)

NATIONAL INSTITUTE OF INFORMATION AND COMMUNICATIONS TECHNOLOGY, JAPAN

## IONOSPHERIC DATA STATION Kokubunji

DEC. 2022 h'E (KM)

135°E MEAN TIME (G.M.T. + 9 H)

LAT. 35°43.0'N LON. 139°29.0'E @SWEEP 1.0MHz TO 30.0MHz IN 15.0SEC IN MANUAL SCALING

H D	00	01	02	03	04	05	06	07	08	09	10	11	12	13	14	15	16	17	18	19	20	21	22	23	
1								B	A	A	102	A	A	100	102	104	A	B							
2								B	A	104	102	102	100	102	102	102		A	A	A					
3								B	A	A	100	100		A	100	100	100	104	A	B					
4								B	A	112	102	100		A	102	102	102	102	132		B				
5								B	A	108	104	102		A	A	100	104	102		A	A				
6								B	A	104	104	104	104	102	102	102	110	112		B					
7								A	A	104	110	96	104	104	104	100	104		A	B					
8								B	A	110	110	102	102	102	102	102	102		A	B					
9								B	A	108	102	102	102	102	104	106	106		A	B					
10								B	A	106		102	102	102	102	104	108	118		A					
11								B	A	A	100	102	102	104			A	A	A	A	A				
12								A	A	A	108		106		B		A	A	B						
13								B	A	102		B	A	B	B		106	106	108		B				
14								B	A	106	102	98	100	100	106	102	104		A	B					
15								B	A	108	102	102	102	98	100	100	98	100		B					
16								B	A	104		A	A	B	A		102	106	118		B				
17								B	A		102	104	104	104	104	100	100	100		A	A				
18								B	A	108	108	102		A	A	106	100	108		B	B				
19								B	B	104		A	A	102	102		A	A	102		A	A			
20								A	A	102		A	104	104	100		A	100	114		B				
21								A		108	104		104	106	104	100	100		A	B					
22								A		108	104	106	100		A	A	A		102	A	B				
23									150	106	106	104	100	100			A	A	A	A	B				
24								A		104	102	108	100		A		100	100	100		A	B			
25								A	A	108	106	102	98	100	108	108	116		B						
26								A		102	100	128	96	98	104	98	106	116		B					
27								A	A	A	110		B	106	106		B	B	108		B				
28								A	A	A	A	B	B	B	B	B	B	B	B	B	B	B			
29								B	A	106	102	104	114	108	108		B	A	B						
30								B	A	A	104	104	100	100	100	104		A	A						
31								A		102	102		100		A	A	A	A	A	A	A				
	00	01	02	03	04	05	06	07	08	09	10	11	12	13	14	15	16	17	18	19	20	21	22	23	
CNT										1	20	23	23	21	22	24	22	23	10						
MED										150	106	102	102	102	102	102	102	104	115						
U Q										108	106	104	104	104	104	104	104	106	118						
L Q										104	102	102	100	100	100	100	100	102	108						

DEC. 2022 h'E (KM)

NATIONAL INSTITUTE OF INFORMATION AND COMMUNICATIONS TECHNOLOGY, JAPAN

## IONOSPHERIC DATA STATION Kokubunji

DEC. 2022 h'Es (KM)

135°E MEAN TIME (G.M.T. + 9 H)

LAT. 35°43.0'N LON. 139°29.0'E SWEEP 1.0 MHz TO 30.0 MHz IN 15.0 SEC IN MANUAL SCALING

H D	00	01	02	03	04	05	06	07	08	09	10	11	12	13	14	15	16	17	18	19	20	21	22	23		
1	92	94	90	92	96	B	B	158	110	102	176	102	98	G	152	140	126	90	94	B	100	92	100	98		
2	98	98	88	B	B	B	B	148	G	G	G	172	164	134	88	86	88	86	88	B	94	B	B	B		
3	B	B	B	B	B	B	B	138	160	G	G	G	106	G	G	G	126	B	B	B	B	B	B	94		
4	B	92	B	B	B	B	B	170	G	G	166	112	G	G	G	G	96	92	98	94	108	B	B	B		
5	B	B	B	92	B	B	B	136	108	104	128	G	G	G	168	86	82	82	B	B	B	B	B	B		
6	B	B	96	90	92	98	B	154	G	G	186	G	G	106	G	B	B	B	B	B	B	B	B	B		
7	112	104	104	102	108	100	96	140	96	168	192	178	144	114	104	102	98	92	88	B	B	B	B	B		
8	92	96	102	98	94	B	B	126	120	190	114	110	104	G	G	G	156	B	B	B	B	B	B	100		
9	B	B	B	B	94	98	96	146	G	G	G	G	G	130	112	112	B	B	B	B	B	B	B	B		
10	90	B	B	B	B	B	B	106	136	108	112	110	120	108	G	G	102	102	B	98	B	B	B	124		
11	112	108	100	B	B	102	142	100	98	G	G	G	90	92	118	112	100	100	96	96	94	92	88	B		
12	88	94	90	B	B	B	B	102	98	94	170	B	G	B	88	90	100	96	96	98	98	96	B	B		
13	92	94	86	84	82	B	B	100	92	G	B	90	B	B	G	G	B	94	96	94	94	90	B	B		
14	88	B	B	B	B	B	B	90	116	96	G	168	G	G	G	112	B	98	98	94	100	102	98	B		
15	94	88	B	B	B	B	B	144	G	G	G	G	G	G	G	G	B	B	98	96	94	94	96	B		
16	B	90	B	B	B	90	96	138	G	102	102	B	102	G	98	G	96	96	96	96	92	94	90	B		
17	94	94	94	B	B	B	B	B	120	G	G	G	G	G	G	G	90	86	B	B	B	B	B	98		
18	94	98	94	90	90	92	88	144	G	104	100	98	96	G	G	B	88	B	B	B	B	B	B	100		
19	110	90	B	B	B	92	B	B	G	104	106	G	G	96	92	92	94	98	98	B	96	B	B	88		
20	90	B	98	B	88	B	B	136	116	108	100	G	94	G	92	90	86	94	88	84	96	B	B	B		
21	B	86	88	88	86	90	B	150	156	120	114	G	G	100	94	G	134	B	B	84	86	84	B	B		
22	B	B	B	B	B	B	B	186	G	G	G	G	104	98	94	G	94	B	B	B	B	B	B	94		
23	96	92	98	B	B	B	B	G	156	G	G	178	98	104	108	104	116	98	94	B	106	90	92	B		
24	B	94	B	B	110	110	B	100	150	126	G	G	90	112	118	G	164	136	94	94	92	90	90	B		
25	B	90	92	B	B	104	102	100	94	90	90	G	G	G	G	160	B	B	94	88	92	88	88	B		
26	88	B	B	B	B	B	B	100	160	144	158	G	G	G	G	G	B	B	96	B	92	92	90	B		
27	92	82	B	B	B	114	B	144	92	88	G	B	G	G	B	G	102	96	98	B	B	88	90	B		
28	90	84	86	B	B	B	B	106	100	96	92	170	B	B	B	B	B	88	86	B	B	102	100	B		
29	88	94	88	86	92	84	84	B	124	G	G	G	G	B	150	92	B	88	B	104	B	B	B	B		
30	104	92	90	B	94	B	B	106	102	160	G	G	G	G	G	90	90	86	86	86	B	B	B	98		
31	96	96	B	B	B	102	180	152	130	106	102	G	90	90	116	84	84	80	82	110	86	B	B	B	B	
	00	01	02	03	04	05	06	07	08	09	10	11	12	13	14	15	16	17	18	19	20	21	22	23		
CNT	21	20	17	9	13	11	11	26	20	17	16	13	11	12	13	10	21	17	19	19	14	17	20			
MED	92	93	92	90	94	98	100	138	120	104	110	110	104	98	94	110	112	92	96	94	94	92	94	95		
U Q	97	94	98	95	98	108	102	148	151	128	159	168	164	110	124	116	142	101	98	96	96	98	98	98		
L Q	90	90	88	87	89	90	90	106	100	97	103	102	98	93	92	92	93	87	88	86	88	92	90	90		

DEC. 2022 h'Es (KM)

NATIONAL INSTITUTE OF INFORMATION AND COMMUNICATIONS TECHNOLOGY, JAPAN

## IONOSPHERIC DATA STATION Kokubunji

DEC. 2022 TYPES OF Es

135°E MEAN TIME (G.M.T. + 9 H)

LAT. 35°43.0'N LON. 139°29.0'E pSWEEP 1.0MHz TO 30.0MHz IN 15.0SEC IN MANUAL SCALING

H D	00	01	02	03	04	05	06	07	08	09	10	11	12	13	14	15	16	17	18	19	20	21	22	23	
1	F 2	F 3	F 3	F 1	F 1			H 1	C 2	C 1	H 1	C 1	L 1		H 1	H 1	C 1	L 1	F 1		F 1	F 1	F 3	F 3	
2	F 3	F 1	F 1					H 1			H 1	H 1	H 1	L 1	L 2	L 2	L 2	F 1		F 2					
3								H 1	HC 11		C 2					C 1								F 1	
4		F 1						H 1		H 1	C 1						L 1	F 3	F 3	F 2	F 3				
5			F 1					H 1		C 1	C 1	C 1	C 1				H 1	L 3	F 2	F 2					
6			F 1	F 1	F 1	F 1		H 1		H 1						C 1									
7	F 2		F 2	F 1	F 1	F 1	L 3	L 2	H 1	L 1	H 1	H 1	H 1	H 1	C 2	C 1	F 1	F 1	F 1	F 1					
8	F 2	F 2	F 2	F 3	F 2			C 1	C 1	H 1	C 1	C 1	C 1	C 1			H 1							F 2	
9				F 2	F 3	L 1	H 1								H 1	C 1									
10	F 1							C 1	C 1	C 1	C 1	C 1	C 1	C 1			C 3	F 4		F 1			F 2		
11	F 1		F 1		F 1			C 1	H 1	C 1	L 1				L 1	L 1	C 1	C 5	F 3	F 3	F 4	F 3	F 2		
12	F 2	F 1	F 2					C 2	L 2	L 1	H 1				L 1	L 2	C 1	F 1	F 2	F 3	F 2	F 3	F 1		
13	F 2	F 1	F 1	F 1	F 1			L 1	L 1		L 1							F 4	F 5		F 2	F 2	F 2		
14	F 1							L 1	C 1	LH 11		H 1					C 1		F 2	F 2	F 4	F 1	F 1	F 1	
15	F 2	F 1							H 1										F 3	F 2	F 3	F 2	F 1		
16	F 1				F 1	L 2	H 2		C 2	C 2		C 1		L 1			L 1	F 3	F 3	F 2	F 2	F 3	F 3		
17	F 2	F 1	F 1					CL 11									L 1	L 2						F 1	
18	F 1	F 1	F 2	F 3	F 2	L 1	H 1		C 1	C 1	L 2	L 1					L 1							F 1	
19	F 1	F 2			F 1			C 1	C 1						L 1	L 2	L 1	L 3	F 4		F 3			F 3	
20	F 2	F 2	F 1		F 1		H 1	C 1	C 1	L 1					L 1	L 2	F 1	F 1	F 1		F 1	F 1			
21	F 1	F 2	F 2	F 2	F 1		H 1	H 1	C 1	C 1				L 1	L 1	H 1		F 1	F 1	F 2					
22							H 1							C 2	L 3	L 2	L 2							F 1	
23	F 2	F 2	F 2					H 1						H 1	L 1	C 2	C 1	C 1	C 1	F 3	F 1	F 1	F 2		
24	F 1		F 1	F 1	F 1		C 1	H 1	C 1					L 2	C 1	C 1	H 1	F 1	F 2	F 2	F 2	F 1	F 1		
25	F 1	F 1			F 1	F 2	C 2	L 1	L 1	L 1						H 1		F 2	F 2	F 4	F 1	F 1			
26	F 1						C 1	H 1	H 1	H 1								F 2		F 1	F 1	F 2			
27	F 1	F 1			F 1		H 1	L 1	L 3	L 1							C 1	F 3	F 2			F 1	F 1		
28	F 1	F 1	F 1				CH 11	C 2	L 2	C 2	H 1							F 1	F 1			F 1	F 2		
29	F 2	F 3	F 4	F 1	F 2	F 1		C 1								H 1	L 1		F 2					F 1	
30	F 1	F 1	F 2		F 1			C 2	CH 11	H 11						L 1	L 2	F 4	F 2	F 2	F 1	F 1	F 1		
31	F 3	F 3					F 1	H 1	H 1	C 2	C 3	C 2		L 2	L 1	CL 11	L 2	L 1	F 1	F 1	F 1	F 1	F 1		
	00	01	02	03	04	05	06	07	08	09	10	11	12	13	14	15	16	17	18	19	20	21	22	23	
CNT																									
MED																									
U Q																									
L Q																									

DEC. 2022 TYPES OF Es

NATIONAL INSTITUTE OF INFORMATION AND COMMUNICATIONS TECHNOLOGY, JAPAN

## IONOSPHERIC DATA STATION Yamagawa

DEC. 2022 fxI (0.1MHz)

135°E MEAN TIME (G.M.T. + 9 H)

LAT. 31°12.0'N LON. 130°37.0'E SWEEP 1.0MHz TO 30.0MHz IN 15.0SEC IN MANUAL SCALING

H D	00	01	02	03	04	05	06	07	08	09	10	11	12	13	14	15	16	17	18	19	20	21	22	23
1	X	X	X	X	X	X	X												X	X	X	X	X	
	41	40	38	40	38	36	38												50	50	50	48	45	
2	X	X	A	X	X	X	X												X	X	X	X	X	
	42	42		43	36	37	40												56	50	46	44	36	
3	X	X	X	X	X	X	X												X	X	X	X	X	
	38	42	41	50	43	42	37												57	45	56	54	48	39
4	X	X	X	X	X	X	X												X	X	X	X	X	
	37	41	40	40	39	40	40												48	57	48	45	44	
5	X	X	X	X	X	X	X												X	X	X	X	X	
	47	48	50	49	47	39	41												57	71	66	50	40	
6	X	X	X	X	X	X	X												X	X	X	X	X	
	41	41	45	36	36	33	33												50	53	45	41	34	
7	X	X	X	X	X	X	X												C	C	C	C	C	
	36	39	41	38	38	34	34												C	C	C	C	C	
8	X	X	X	X	X	X	X												C	C	C	C	C	
	51	56	50	45	42	44	50												X	X	X	X	X	
9	X	X	X	X	X	X	X												55	49	58	51	39	35
	37	40	43	41	41	40	40												X	X	X	X	X	
10	X	X	X	X	X	X	X												X	X	X	X	X	
	36	37	38	39	40	40	46												61	70	68	42	39	
11	X	X	X	X	X	X	X												X	X	X	X	X	
	40	32	31	34	37	36	40												65	51	48	40	32	
12	X	X	A	X	X	X	X												X	X	X	X	X	
	35	35		38	51	44	39												79	70	64	50	40	
13	X	X	X	X	X	X	X												X	X	X	X	X	
	38	38	37	38	40	37	38												71	60	46	36	36	
14	X	X	X	X	X	X	X												X	X	X	X	X	
	37	36	37	38	43	38	36												73	73	55	48	44	
15	X	X	X	X	X	X	X												X	X	X	X	X	
	42	40	40	40	42	38	39												58	58	55	44	37	
16	X	X	X	X	X	X	X												X	X	X	X	X	
	40	40	42	46	44	38	35												65	53	50	45	41	
17	X	X	X	X	X	X	X												X	X	X	X	X	
	42	43	45	46	40	34	36												50	53	53	47	42	
18	X	X	X	X	X	X	X												X	X	X	X	X	
	42	43	42	45	48	40	40												58	64	64	44	36	
19	X	X	X	X	X	X	X												X	X	X	X	X	
	38	41	39	41	43	42	42												70	72	56	42	46	
20	X	X	X	X	X	X	X												X	X	X	X	X	
	46	45	49	47	41	37	42												54	48	48	45	42	
21	X	X	X	X	X	X	X												X	X	X	X	X	
	39	40	42	42	45	39	40												66	58	51	41	37	
22	X	X	X	X	X	X	X												X	X	X	X	X	
	40	42	45	42	42	42	40												49	41	44	37	38	
23	X	X	X	X	X	X	X												X	X	X	X	X	
	40	40	40	42	43	34	36												77	52	37	34	36	
24	X	X	X	X	X	X	X												X	X	X	X	X	
	37	42	42	33	34	35	35												77	41	38	38	42	
25	X	X	X	X	X	X	X												X	X	X	X	X	
	47	44	41	39	38	37	39												55	50	53	41	44	38
26	X	X	X	X	X	X	X												X	X	X	X	X	
	41	42	41	42	40	38	38												41	53	56	38	44	
27	X	X	X	X	X	X	X												X	X	X	X	X	
	40	38	39	41	41	39	37												94	82	59	53	42	
28	X	X	X	X	X	X	X												A	X	X	X	X	
	47	46	39	37	38	37	36												55	60	45	41		
29	X	X	X	X	X	X	X												X	X	X	X	X	
	42	44	47	42	44	41	39												62	72	60	55	40	
30	X	X	X	X	X	X	X												X	X	X	X	X	
	40	42	44	41	39	32	34												66	72	64	54	40	
31	X	X	X	X	X	X	X												X	X	X	X	X	
	40	45	47	38	29	32	28												55	52	54	55	41	
	00	01	02	03	04	05	06	07	08	09	10	11	12	13	14	15	16	17	18	19	20	21	22	23
CNT	31	31	29	31	31	31	31												3	30	31	31	31	31
MED	40	41	41	41	41	38	39												X	X	X	X	X	X
U Q	X	X	X	X	X	X	X											55	58	55	53	45	40	
L Q	38	39	39	38	38	36	36												X	X	X	X	X	X
	55	50	51	48	41	37	37												55	50	51	48	41	37

DEC. 2022 fxI (0.1MHz)

NATIONAL INSTITUTE OF INFORMATION AND COMMUNICATIONS TECHNOLOGY, JAPAN

## IONOSPHERIC DATA STATION Yamagawa

DEC. 2022 foF2 (0.1MHz) 135°E MEAN TIME (G.M.T. + 9 H)

LAT. 31°12.0'N LON. 130°37.0'E pSWEEP 1.0MHz TO 30.0MHz IN 15.0SEC IN MANUAL SCALING

H D	00	01	02	03	04	05	06	07	08	09	10	11	12	13	14	15	16	17	18	19	20	21	22	23	
1	35	34	32	34	32	30	32	48	66	68	92	125	95	88	106	102	96	74	44	44	44	44	43	39	
2	36	36	A	37	30	31	34	58	86	85	90	112	106	96	94	88	73	69	52	50	44	40	38	30	
3	32	36	35	44	37	36	31	50	75	97	102	87	81	92	105	74	77	78	51	39	50	48	41	33	
4	31	34	34	34	33	34	34	50	73	105	104	86	86	85	86	85	84	64	45	42	51	42	39	38	
5	41	42	44	43	41	33	35	53	93	126	121	103	88	93	92	78	84	73	50	51	65	60	44	34	
6	35	34	39	30	30	27	27	42	88	115	C	C	C	C	C	C	C	68	49	44	47	39	35	28	
7	30	33	35	32	32	28	28	48	77	C	C	C	C	C	C	C	C	69	50	41	44	50	46	44	
8	45	50	44	39	36	38	44	63	94	151	C	C	C	C	C	C	C	82	75	74	76	49	43	52	
9	31	34	37	35	35	34	34	50	78	86	100	96	94	93	83	88	93	80	63	39	41	46	48	44	
10	30	31	32	33	34	34	40	49	74	88	84	99	86	108	119	108	102	85	73	55	64	62	36	33	
11	34	26	25	28	31	30	34	51	71	85	88	88	93	92	89	92	90	75	59	59	45	42	34	26	
12	29	31	A	F	32	44	38	33	48	71	91	108	99	94	88	95	97	95	88	72	73	64	58	44	34
13	32	32	31	32	34	31	32	50	82	98	100	102	105	104	106	102	96	86	60	65	54	40	30	30	
14	31	30	31	32	37	32	30	50	84	90	86	97	103	109	109	90	84	72	64	67	67	49	42	38	
15	36	34	34	34	36	32	33	52	80	83	93	104	100	114	110	106	109	83	59	52	52	49	38	31	
16	34	34	36	40	38	32	29	48	80	82	86	106	109	106	100	98	90	80	65	59	47	44	39	35	
17	36	37	39	40	34	28	30	48	73	87	91	94	111	115	98	90	92	87	59	44	47	47	41	36	
18	36	37	36	39	42	34	35	49	79	84	86	96	111	114	100	98	98	93	62	52	58	58	37	30	
19	32	35	33	35	37	36	36	50	70	79	99	108	107	92	90	107	95	86	64	64	66	50	36	41	
20	40	39	43	41	35	31	36	48	71	94	113	116	109	107	116	104	91	76	79	48	42	42	39	36	
21	33	34	36	36	39	33	34	50	84	82	78	110	121	112	108	111	103	87	70	60	52	45	35	31	
22	34	36	39	36	36	36	34	48	71	83	110	124	118	116	102	99	97	76	52	43	35	38	31	32	
23	34	34	34	36	37	28	30	43	84	90	89	108	93	110	100	91	83	73	62	71	46	31	28	30	
24	31	31	36	27	28	29	29	43	84	87	113	110	92	77	80	94	87	84	67	71	35	32	32	36	
25	41	38	35	33	32	31	33	45	66	84	124	97	98	104	88	90	103	98	49	44	47	35	38	32	
26	35	36	35	36	34	32	32	39	83	82	96	81	90	78	95	105	83	70	57	35	47	50	32	38	
27	34	32	33	35	35	33	31	48	99	115	117	101	118	111	102	110	123	118	102	88	76	53	47	36	
28	41	40	33	31	33	31	30	49	90	105	87	92	101	106	98	92	77	73	54	A	49	54	39	35	
29	36	38	41	36	38	35	33	45	82	88	90	82	98	105	116	113	109	88	75	56	J R	66	54	49	34
30	34	36	38	35	33	26	28	40	95	86	99	102	94	104	120	100	92	111	75	60	66	58	47	34	
31	34	39	41	32	23	26	22	46	72	98	128	109	96	88	102	97	78	75	76	49	46	48	49	35	
	00	01	02	03	04	05	06	07	08	09	10	11	12	13	14	15	16	17	18	19	20	21	22	23	
CNT	31	31	29	31	31	31	31	31	30	28	28	28	28	29	29	29	31	31	30	31	31	31	31	31	
MED	34	34	35	35	35	32	33	48	80	88	98	102	98	104	100	97	92	78	60	52	49	47	39	34	
U Q	36	37	39	37	37	34	34	50	84	98	109	108	108	110	107	104	98	87	70	60	64	53	44	36	
L Q	32	33	33	32	32	30	30	46	72	84	88	95	93	92	91	90	84	73	51	44	45	42	35	31	

DEC. 2022 foF2 (0.1MHz)

NATIONAL INSTITUTE OF INFORMATION AND COMMUNICATIONS TECHNOLOGY, JAPAN

## IONOSPHERIC DATA STATION Yamagawa

DEC. 2022 foF1 (0.01MHz)

135°E MEAN TIME (G.M.T. + 9 H)

LAT. 31°12.0'N LON. 130°37.0'E OSWEEP 1.0MHz TO 30.0MHz IN 15.0SEC IN MANUAL SCALING

H D	00	01	02	03	04	05	06	07	08	09	10	11	12	13	14	15	16	17	18	19	20	21	22	23			
1									272336		L	L	L	U	L	L	L										
2											L	L	L	L	L	L	L										
3											L	L		468	444		L	L									
4									300		L		480	420	448	412	344		U	L	L						
5											L	L	L		U	L		L									
6											L	L	C	C	C	C	C	C	C	C	C	C	C	C			
7											C	C	C	C	C	C	C	C	C	C	C	C	C	C			
8											L	C	C	C	C	C	L										
9									284		L	L	L	L	L	A											
10									272		L	L			468		L	L	L								
11										352		L		408			L	L	L	A							
12										304		L	U	L		L		L	L								
13											L	L	L		L	U	L	380		L							
14											L	L		500		L	L	L	L								
15											L	L	L		L	L	L	L	A								
16												520			L	L	L	L									
17											L	L	L	L	L	L	460										
18											L	L	L	520		L	L	L	L								
19											L	L	L		L		L		L								
20											L	L	L		L	L	L										
21												L	L	L	L	L	L	L		L							
22												L	L	L	472		L	L	L								
23												L	L	L	500		L	L									
24										368		L	L	L	U	L	L	L	L								
25											L	L	L	432	432		L	L	456								
26											L	L	L	460	444		L	L	L								
27											L	L	L	L	544		L	L	L								
28											L	L	L	504			L	L	L	A							
29											L		U	L	444	460	512		L	L	L						
30											L		L	U	L	432		L	L								
31											L	L	L	L	L	L	L										
	00	01	02	03	04	05	06	07	08	09	10	11	12	13	14	15	16	17	18	19	20	21	22	23			
CNT											5	3	2	9	12	10	7	1									
MED												L		L	L	L	L										
U Q											284	352	456	468	460	476	440	344									
L Q											302	368	490	492	500	456											

DEC. 2022 foF1 (0.01MHz)

NATIONAL INSTITUTE OF INFORMATION AND COMMUNICATIONS TECHNOLOGY, JAPAN

## IONOSPHERIC DATA STATION Yamagawa

DEC. 2022 foE (0.01MHz)

135°E MEAN TIME (G.M.T. + 9 H)

LAT. 31°12.0'N LON. 130°37.0'E PSWEEP 1.0MHz TO 30.0MHz IN 15.0SEC IN MANUAL SCALING

H D	00	01	02	03	04	05	06	07	08	09	10	11	12	13	14	15	16	17	18	19	20	21	22	23			
1									B	A	A	A	A	A	316	276	232	A	B								
2									B	288	272	308	324	340	324	324	292	256	A	A							
3									B	A	A	220	292	328	344	316	300	248		A							
4									B	220	276	312	340	328	328	320	308		A	B	B						
5									B	232	276	320	344	344	340	324	300		A	A	A						
6									A	C	C	C	C	C	C	C	C	B	B								
7									B	240	284	C	C	C	C	C	C	C	A	A							
8									B	216	C	C	C	C	C	C	C	C	A	A							
9									B	240	280	C	C	C	C	316	284	244	A								
10									B	212	264	300	328	340	336	324	304	248		A	B						
11									B	224	288	320	332	324	336	A	A	A	A	A	A						
12									B	212	304	324	336	360	360	A	A	A	A	A	A						
13									B	228	A	312	344	360	360	A	336	A	A	A	A						
14									B	208	236	304	332	A	348	336	336	A	A	A	B						
15									B	232	292	A	356	352	344	336	A	A	A	A	A						
16									B	244	284	320	A	360	348	344	324	A	208	B							
17									B	224	A	A	A	A	348	A	A	A	A	B							
18									B	232	288	312	312	352	352	340	312	268		B	B						
19									B	280	308	A	A	A	340	320	268	A	B								
20									B	236	276	296	A	352	A	A	A	264	A	A							
21									B	224	280	320	340	352	352	328	304	256	B	B							
22									B	276	312	328	344	332	332	296		A	A	B							
23									B	228	276	300	A	336	A	A	288		A	A	B						
24									B	216	276	312	A	332	336	324		A	A	B							
25									B	A	A	A	316	332	332	324	296	268	A								
26									B	220	260	320	336	344	344	328	304	252	A	B							
27									B	236	292	328	344	352	352	332		A	A	A	B						
28									B	216	276	312	A	332	336	324		A	A	A	B						
29									B	220	248	312	340	340	352	344	312	272	A								
30									B	A	A	A	340	348	352	352	328	272	A	B							
31									B	212	248	312	340	340	352	344	312	272	A	A							
	00	01	02	03	04	05	06	07	08	09	10	11	12	13	14	15	16	17	18	19	20	21	22	23			
CNT										25	23	22	19	23	24	23	19	17	2								
MED										224	280	312	340	344	344	332	304	264	210								
U Q										234	288	320	340	352	352	340	312	268									
L Q										218	276	308	328	336	336	324	296	250									

DEC. 2022 foE (0.01MHz)

NATIONAL INSTITUTE OF INFORMATION AND COMMUNICATIONS TECHNOLOGY, JAPAN

## IONOSPHERIC DATA STATION Yamagawa

DEC. 2022 foEs (0.1MHz)

135°E MEAN TIME (G.M.T. + 9 H)

LAT. 31°12.0'N LON. 130°37.0'E SWEEP 1.0MHz TO 30.0MHz IN 15.0SEC IN MANUAL SCALING

H D	00	01	02	03	04	05	06	07	08	09	10	11	12	13	14	15	16	17	18	19	20	21	22	23
1	J 25	A 16	E 30	B 16	J 16	A 16	E 18	B 16	J 28	G 41	A 87	J 38	A 40	G G	J 26	A 26	J 32	A 25	J 24	A 20	J 16	A 32		
2	J 41	A 53	J 65	A 42	J 29	A 19	J 21	A 16	G 31	J 34	A 35	G 38	J 41	G G	J 20	A 24	J 16	A 20	J 16	A 16	J 16	A 16		
3	E 16	B 21	J 20	E 20	E 16	B 16	E 16	B 19	J 26	J 32	J 33	J 37	G 40	G G	J 32	A 26	J 17	A 16	J 17	A 16	J 16	A 16		
4	E 16	B 16	J 26	J 32	J 36	G G	G G	E 29	B 18	E 16	B 30	E 16	B 16	E 30	B 16									
5	J 21	A 31	J 21	A 16	J 16	A 16	J 16	A 16	G 30	J 38	G G	G J	A J	J 28	J 30	A J	A J	A J	A E	B J	A E			
6	E 16	B 18	E 18	B 18	E 28	B 16	E 39	B 34	G G	C C	C C	C C	C C	C J	A	E	B	E	B	E	B	E	B	
7	E 16	B 16	E 16	B 16	E 30	B 16	E 16	B 16	C 24	C C	C C	C C	C C	C J	A J	A J	A E	B E	B E	B E	B E	B E		
8	J 20	A 19	J 16	A 16	J 21	A 17	J 16	A 18	G 34	C C	C C	C C	G	J 36	J 31	A J	A E	B E	B E	B E	B E	B E		
9	J 19	A 17	J 18	A 16	J 16	A 28	J 16	A 25	J 25	J 31	J 33	G G	G G	J 36	J 35	J 33	J 20	J 16	J 16	J 20	J 16	J 16		
10	E 16	B 16	E 24	B 16	E 16	B 16	E 16	B 16	J 26	J 32	J 34	J 41	J 52	J 46	J 36	J 48	J 47	J 25	J 33	J 20	J 16	J 25	J 22	
11					J 19	A 18	J 18	A 16	J 17	J 16	J 16	J 24	J 30	G 35	J 40	J 37	J 40	J 44	J 24	J 54	J 85	J 53	J 26	J 22
12	E 16	B 61	E 66	B 49	E 21	B 16	E 24	B 16	J 60	J 70	J 36	G G	G G	J 42	J 39	J 44	J 31	J 85	J 54	J 39	J 29	J 21	J 20	
13	E 16	B 16	E 16	B 16	E 16	B 23	E 16	B 16	J 27	J 32	G G	G G	G G	J 31	J 32	G	J 24	J 34	J 30	J 16	J 23	J 20	J 25	
14	J 41	A 16	J 40	A 42	J 23	A 16	J 16	A 25	J 41	G G	J 39	J 39	J 37	G J	A J	A J	A J	A J	A J	A E	B J	A J	A A	
15	E 16	B 16	E 23	B 31	E 21	J 34	B 20	E 20	J 16	G J	A G	G J	A 50	J 41	J 35	J 49	J 68	J 28	J 27	J 27	J 32	J 20	J 16	J 20
16	E 16	B 16	E 16	B 16	E 16	B 16	E 16	B 18	J 28	J 32	J 35	J 41	J 53	G J	A J	A J	A A	G J	A E	B J	A J	A J	A E	B
17	J 32	A 24	J 17	A 16	J 17	A 16	J 16	A 16	J 26	J 34	J 39	J 62	J 44	G J	A J	A J	A J	A J	A J	A E	B E	B E	B E	
18	J 22	A 20	J 16	A 16	J 16	A 18	J 27	A 25	J 27	J 35	J 35	J 36	G J	A G	G	G E	B E	B J	A J	A J	A E	B		
19	E 16	B 20	J 26	A 25	J 15	A 16	J 18	A 16	J 25	J 33	J 38	J 40	J 39	J A	G G	G	J 22	J 18	J 21	J 22	J 33	J 26	J 23	
20	J 26	A 52	J 32	A 24	J 16	A 16	J 16	A 16	G J	J A	J A	J A	J A	G J	A J	A J	A J	A J	A J	A J	A J	A J		
21	E 16	B 52	E 25	A 17	J 16	A 16	J 16	A 16	G G	G G	G G	G G	G G	G G	G G	G G	E 19	J 16	J 24	J 20	J 16	J 16	J 19	
22	J 18	A 16	J 16	A 16	J 16	A 16	J 16	A 16	J 24	J 33	J 36	G G	G G	J 33	J 34	J 20	J 16	J 24	J 22	J 16	J 35	J 16		
23	E 16	B 16	E 22	B 32	E 16	B 16	E 17	B 17	G 34	J 36	G G	35	34	32	29	23	17	33	21	18	26	20		
24	J 25	A 16	J 16	A 16	J 12	A 16	J 16	A 26	J 24	J 34	J 78	G J	A J	A J	A J	A J	A J	A J	A J	A E	B E			
25	E 16	B 16	E 16	B 16	E 16	B 16	E 18	B 16	J 36	J 36	J 47	34	34	28	21	16	29	29	19	20	J A	J A		
26	J 15	A 26	J 21	A 16	J 19	A 16	J 16	A 16	J 26	J 31	G G	G G	G G	35	28	26	16	19	19	16	22	16		
27	J 24	A 16	J 19	A 26	J 16	A 16	J 16	A 16	G G	G G	G G	G G	G G	42	43	48	16	24	42	18	16	16		
28	E 16	B 21	J 27	A 25	J 21	A 16	J 16	A 19	J 25	J 34	J 37	G J	A G	J 40	59	34	47	46	50	47	63	87	22	
29	J 22	A 30	J 17	A 25	J 19	A 25	J 20	A 20	J 26	J 31	J 40	J 43	G J	A G	46	25	26	19	16	16	16	16		
30	E 16	B 26	J 16	A 16	J 16	A 16	J 27	A 24	J 37	J 39	J 28	J 38	J 38	J A	J 48	21	24	18	J A	E	B	E	B	
31	J 38	A 34	J 45	A 38	J 20	A 18	J 20	A 22	J 24	J 31	J 39	J 44	J 60	J 52	J 37	J 40	J 28	J 34	J 16	J 18	J 16	J 16	J 36	
	00	01	02	03	04	05	06	07	08	09	10	11	12	13	14	15	16	17	18	19	20	21	22	23
CNT	31	31	31	31	31	31	31	31	31	30	28	28	28	28	29	29	29	31	31	31	31	31	31	31
MED	16	19	19	17	16	16	16	16	25	32	35	35	34	34	29	26	22	19	18	18	18	16	16	
U Q	J 24	A 26	J 27	A 25	J 21	A 17	J 18	A 20	J 26	J 34	J 39	J 40	J 40	J 39	J 43	J 34	J 28	J 34	J 27	J 24	J 24	J 24	J 22	
L Q	E 16	B 16	G G	G G	G G	G G	G G	G G	G G	G G	E 20	E 16	E 17	E 16	E 16	E 16	E 16							

DEC. 2022 foEs (0.1MHz)

NATIONAL INSTITUTE OF INFORMATION AND COMMUNICATIONS TECHNOLOGY, JAPAN

## IONOSPHERIC DATA STATION Yamagawa

DEC. 2022 fbEs (0.1MHz)

135°E MEAN TIME (G.M.T. + 9 H)

LAT. 31°12.0'N LON. 130°37.0'E SWEEP 1.0MHz TO 30.0MHz IN 15.0SEC IN MANUAL SCALING

H D	00	01	02	03	04	05	06	07	08	09	10	11	12	13	14	15	16	17	18	19	20	21	22	23		
1	E 19	B 16	E 16	B 16	E 16	B 16	E 16	B 16	G 23	37	42	36	36	G G	G G	26	20	E 16	B 16	E 16	B 16	E 16	B 16			
2	E 16	B 16	E 65	A 21	E 16	B 16	E 16	B 16	G G	31	34	34	G 38	G G	G G	20	21	E 16	B 16	E 16	B 16	E 16	B 16			
3	E 16	B 16	E 16	B 16	E 16	B 16	E 16	B 16	19	26	31	32	36	G G	G G	G G	20	19	E 16	B 16	E 16	B 16	E 16	B 16		
4	E 16	B 16	E 16	B 16	E 16	B 16	E 16	B 16	26	31	34	G G	G G	G G	E 28	E 18	E 16	B 20	E 16	B 16	E 16	B 16	E 16	B 16		
5	E 16	B 16	E 16	B 16	E 16	B 16	E 16	B 16	G 30	G G	G 36	G G	G G	23	27	20	20	E 16	B 16	E 16	B 16	E 16	B 16			
6	E 16	B 16	E 16	B 16	E 16	B 16	E 16	B 16	G G	C C	C C	C C	C C	C C	C CE	B 20	B 20	E 17	B 16	E 16	B 16	E 16	B 16			
7	E 16	B 16	E 16	B 16	E 16	B 16	E 16	B 16	24	C C	C C	C C	C C	C C	C C	26	25	E 16	B 16	E 16	B 16	E 16	B 16			
8	E 16	B 16	E 16	B 16	E 16	B 16	E 16	B 16	G 32	C C	C C	C C	G G	G 36	30	23	18	E 16	B 16	E 16	B 16	E 16	B 16			
9	E 16	B 16	E 16	B 16	E 16	B 16	E 16	B 16	24	30	32	G G	G 35	G 35	32	20	16	E 16	B 16	E 16	B 16	E 16	B 16			
10	E 16	B 16	E 16	B 16	E 16	B 16	E 16	B 16	25	31	34	39	46	39	36	31	25	16	E 16	B 16	E 16	B 16	E 16	B 16		
11	E 16	B 16	E 16	B 16	E 16	B 16	E 16	B 16	G G	35	40	36	34	33	G 24	32	26	E 16	B 16	E 16	B 16	E 16	B 16			
12	E 16	B 20	A 66	E 20	B 16	E 16	B 16	E 16	24	29	G G	G G	35	34	27	23	22	20	E 16	B 16	E 20	B 18	E B	B		
13	E 16	B 16	E 16	B 16	E 16	B 16	E 16	B 16	26	31	G G	G G	G 29	32	22	21	19	E 16	B 16	E 16	B 16	E 16	B 16			
14	E 16	B 16	E 16	B 16	E 16	B 16	E 16	B 16	G G	38	38	36	32	34	23	16	16	E 16	B 16	E 16	B 16	E 16	B 16			
15	E 16	B 16	E 16	B 16	E 16	B 16	E 16	B 16	G 25	32	G G	25	35	33	33	21	21	18	E 16	B 16	E 16	B 16	E 16	B 16		
16	E 16	B 16	E 16	B 16	E 16	B 16	E 16	B 16	26	30	34	40	29	G 29	G 29	G 28	E 16	B 16	E 16	B 16	E 16	B 16	E 22	B		
17	E 16	B 16	E 16	B 16	E 16	B 16	E 16	B 16	24	31	34	40	38	G 35	30	27	25	E 16	B 16	E 16	B 16	E 16	B 16	E B	B	
18	E 16	B 16	E 16	B 16	E 16	B 16	E 16	B 16	26	33	34	36	30	G G	G G	G 20	16	E 16	B 16	E 16	B 16	E 16	B 16	E B	B	
19	E 16	B 16	E 16	B 16	E 16	B 16	E 16	B 16	24	32	35	35	36	36	G G	G 21	16	E 16	B 16	E 25	B 26	E 18	B 18			
20	E 20	B 29	E 16	B 16	E 16	B 16	E 16	B 16	G 30	33	36	32	36	33	31	G 22	20	E 16	B 16	E 16	B 16	E 16	B 16	E B	B	
21	E 16	B 20	E 16	B 16	E 16	B 16	E 16	B 16	G G	G G	G G	G G	G G	G G	G G	E 18	E 16	E 16	B 16	E 16	B 16	E 16	B 16	E B	B	
22	E 16	B 16	E 16	B 16	E 16	B 16	E 16	B 16	24	32	35	G G	G G	G 32	30	20	E 16	B 16	E 19	B 16	E 16	B 16	E B	B		
23	E 16	B 16	E 16	B 18	E 16	B 16	E 16	B 16	G 32	35	G 34	33	31	24	21	E 16	B 16	E 16	B 16	E 16	B 16	E B	B			
24	E 16	B 16	E 16	B 16	E 16	B 16	E 16	B 16	G 23	33	32	G G	G G	G 30	27	19	E 16	B 16	E 16	B 16	E 16	B 16	E B	B		
25	E 16	B 16	E 16	B 16	E 16	B 16	E 16	B 16	23	28	34	G 26	G 34	G 28	21	16	E 16	B 19	E 21	B 16	E 16	B 16	E 16	B 16	E B	B
26	E 16	B 16	E 16	B 16	E 16	B 16	E 16	B 16	25	30	G G	G G	G 35	G 27	20	E 16	B 16	E 16	B 16	E 16	B 16	E 16	B 16	E B	B	
27	E 16	B 16	E 16	B 16	E 16	B 16	E 16	B 16	G G	G G	G G	G G	G 35	G 29	22	E 16	B 16	E 16	B 16	E 16	B 16	E 16	B 16	E B	B	
28	E 16	B 16	E 16	B 16	E 16	B 16	E 16	B 16	24	32	35	G 40	G 39	G 40	31	36	A A	E 16	B 16	E 34	B 50	E 30	S 32	E 16	B 16	
29	E 16	B 16	E 16	B 16	E 16	B 16	E 16	B 16	26	30	36	G 24	G G	G G	G G	18	E 18	E 16	B 16	E 16	B 16	E 16	B 16	E B	B	
30	E 16	B 16	E 16	B 16	E 16	B 16	E 16	B 16	24	30	33	G 24	G 38	G 38	G 26	20	E 21	E 16	B 16	E 20	B 26	E 18	S 22	E B	B	
31	E 16	B 22	E 29	B 22	E 16	B 16	E 16	B 16	24	30	38	41	44	45	37	36	G 24	E 18	E 16	B 16	E 16	B 16	E 16	B 16	E B	B
	00	01	02	03	04	05	06	07	08	09	10	11	12	13	14	15	16	17	18	19	20	21	22	23		
CNT	31	31	31	31	31	31	31	31	31	30	28	28	28	28	29	29	29	31	31	31	31	31	31	31		
MED	E 16	B 16	E 16	B 16	E 16	B 16	E 16	B 16	24	30	34	G G	G G	G 31	27	21	E 16	B 16	E 16	B 16	E 16	B 16	E B	B		
U Q	E 16	B 16	E 16	B 16	E 16	B 16	E 16	B 16	25	31	34	36	36	35	34	28	23	20	18	16	E 16	B 16	E 16	B 16	E B	B
L Q	E 16	B 16	E 16	B 16	E 16	B 16	E 16	B 16	G G	G G	G G	G G	G G	G G	G G	20	16	16	16	16	16	16	16	E B	B	

DEC. 2022 fbEs (0.1MHz)

NATIONAL INSTITUTE OF INFORMATION AND COMMUNICATIONS TECHNOLOGY, JAPAN

## IONOSPHERIC DATA STATION Yamagawa

DEC. 2022 fmin (0.1MHz)

135°E MEAN TIME (G.M.T. + 9 H)

LAT. 31°12.0'N LON. 130°37.0'E OSWEEP 1.0MHz TO 30.0MHz IN 15.0SEC IN MANUAL SCALING

H D	00	01	02	03	04	05	06	07	08	09	10	11	12	13	14	15	16	17	18	19	20	21	22	23
1	16	16	16	16	16	16	16	16	16	17	22	23	22	20	21	20	18	16	16	16	16	16	16	16
2	16	16	16	16	16	16	16	16	16	16	18	20	22	18	18	20	20	16	16	16	16	16	16	16
3	16	16	16	16	16	16	16	16	16	18	18	16	20	20	19	21	15	16	16	16	16	17	16	16
4	16	16	16	16	16	16	16	16	16	16	16	20	21	23	20	23	20	18	16	16	16	16	16	16
5	16	16	16	16	16	16	16	16	16	16	19	21	20	22	20	19	17	16	16	16	16	16	16	16
6	16	16	16	16	16	16	16	16	17	16	C	C	C	C	C	C	20	20	17	16	16	16	16	16
7	16	16	16	16	16	16	16	16	16	18	C	C	C	C	C	C	16	15	16	16	16	16	16	16
8	16	16	16	16	16	16	16	16	18	18	18	C	C	C	C	16	16	18	16	16	16	16	16	16
9	16	16	16	16	16	16	16	16	16	15	17	20	20	20	20	19	16	16	16	16	16	16	16	16
10	16	16	16	16	16	16	16	16	16	16	16	19	21	21	21	18	16	16	16	16	16	16	16	16
11	16	16	16	16	16	16	16	16	16	16	18	20	19	21	21	20	18	18	16	16	16	16	16	16
12	16	16	16	16	16	16	16	16	16	16	15	17	17	21	21	20	18	16	16	16	16	16	16	18
13	16	16	16	16	16	16	16	16	16	16	19	21	21	21	20	20	20	18	16	16	16	16	16	16
14	16	16	16	16	16	16	16	16	14	16	19	19	19	20	17	18	19	16	16	16	16	16	16	16
15	16	16	16	16	16	16	16	16	16	16	19	22	20	20	21	16	18	16	16	16	16	16	16	16
16	16	16	16	16	16	16	16	16	16	16	16	32	24	23	20	23	20	16	16	16	16	16	16	16
17	16	16	16	16	16	16	16	16	16	17	17	19	19	20	18	18	16	16	16	16	16	16	16	16
18	16	16	16	16	16	16	16	16	16	14	18	16	21	19	19	21	20	20	16	16	16	16	16	16
19	16	16	16	16	16	16	16	16	16	16	16	16	22	23	20	18	18	16	16	16	16	16	16	16
20	16	16	16	16	16	16	16	16	16	16	16	16	20	21	21	20	18	16	15	16	16	16	16	16
21	16	16	16	16	16	16	16	16	16	16	18	20	21	21	20	20	17	16	16	16	16	16	16	16
22	16	16	16	16	16	16	16	16	16	16	19	22	20	19	19	19	21	16	16	16	16	16	16	16
23	16	16	16	16	16	16	16	16	16	14	18	19	19	20	21	20	17	17	16	16	16	16	16	16
24	16	16	16	16	16	16	16	16	16	16	16	16	17	19	19	19	19	16	16	16	16	16	16	16
25	16	16	16	16	16	16	16	16	16	16	16	16	17	19	22	22	21	17	16	16	16	16	16	16
26	16	16	16	16	16	16	16	16	16	16	18	20	20	19	23	20	17	16	16	16	16	16	16	16
27	16	16	16	16	16	16	16	16	16	16	19	20	15	22	22	22	20	17	16	16	16	16	16	16
28	16	16	16	16	16	16	16	16	16	16	22	24	26	28	24	22	20	18	16	16	16	16	16	16
29	16	16	16	16	16	16	16	16	16	18	20	20	22	22	21	22	22	18	16	16	16	16	16	16
30	16	16	16	16	16	16	16	16	16	17	17	19	18	18	19	19	16	16	16	16	16	26	18	16
31	16	16	16	16	16	16	16	16	16	17	17	16	17	22	22	22	20	16	16	16	16	16	16	16
	00	01	02	03	04	05	06	07	08	09	10	11	12	13	14	15	16	17	18	19	20	21	22	23
CNT	31	31	31	31	31	31	31	31	31	30	28	28	28	29	29	29	31	31	31	31	31	31	31	31
MED	16	16	16	16	16	16	16	16	16	16	18	20	21	20	20	20	18	16	16	16	16	16	16	16
U Q	16	16	16	16	16	16	16	16	16	17	19	21	22	22	21	21	20	17	16	16	16	16	16	16
L Q	16	16	16	16	16	16	16	16	16	16	16	17	20	20	19	18	16	16	16	16	16	16	16	16

DEC. 2022 fmin (0.1MHz)

NATIONAL INSTITUTE OF INFORMATION AND COMMUNICATIONS TECHNOLOGY, JAPAN

## IONOSPHERIC DATA STATION Yamagawa

DEC. 2022 M(3000)F2 (0.01) 135°E MEAN TIME (G.M.T. + 9 H)

LAT. 31°12.0'N LON. 130°37.0'E @SWEEP 1.0MHz TO 30.0MHz IN 15.0SEC IN MANUAL SCALING

H D	00	01	02	03	04	05	06	07	08	09	10	11	12	13	14	15	16	17	18	19	20	21	22	23
1	300	338	291	329	300	269	318	387	366	320	318	355	349	319	339	333	333	364	353	319	318	295	306	299
2	305	312	A	305	304	274	314	326	357	363	328	356	345	350	353	362	351	348	322	350	306	320	356	288
3	288	299	277	305	306	321	302	341	365	365	372	363	344	320	344	366	350	359	344	290	313	308	312	328
4	282	320	303	302	295	291	309	331	322	363	376	335	344	354	336	362	362	336	348	296	317	304	285	274
5	277	292	276	310	329	271	296	292	334	330	337	364	342	331	340	326	346	364	324	304	321	341	345	279
6	290	301	316	313	354	281	283	307	344	355	R	C	C	C	C	C	C	C	H	336	353	296	279	315
7	256	296	323	326	324	298	312	341	347	C	C	C	C	C	C	C	C	367	368	327	307	298	294	265
8	256	288	315	272	269	272	278	286	285	348	C	C	C	C	C	C	C	352	340	345	359	321	304	318
9	279	289	314	301	308	295	323	339	351	337	357	361	346	343	348	348	354	376	364	354	280	306	306	315
10	283	283	300	317	286	289	356	327	365	361	328	355	325	326	336	324	346	373	355	306	308	283	307	293
11	318	291	277	268	294	279	324	338	363	352	358	363	337	331	321	340	340	362	334	356	293	321	329	307
12	265	247	A	266	270	335	314	335	349	351	350	335	313	312	336	332	353	346	321	352	336	297	288	300
13	289	284	289	293	306	302	304	332	369	365	351	333	318	322	317	295	340	356	323	340	331	290	279	278
14	292	290	270	286	320	342	300	343	361	364	358	326	316	326	344	332	351	340	332	351	287	298	327	293
15	306	295	288	298	304	281	302	336	363	371	340	338	311	322	303	318	341	342	326	321	300	328	296	269
16	282	307	298	337	314	312	300	318	367	356	344	336	328	334	325	330	344	336	345	344	323	318	286	288
17	300	296	317	334	386	260	279	331	369	348	338	306	322	325	338	321	338	356	359	333	323	283	309	326
18	289	308	282	313	347	293	292	323	363	369	329	332	325	340	334	325	333	348	327	317	321	353	272	281
19	295	318	306	286	294	298	300	331	370	340	342	329	345	331	302	328	338	353	318	319	337	321	275	285
20	315	285	299	316	337	267	294	341	344	348	334	337	334	314	335	324	329	333	356	330	316	268	275	284
21	293	294	296	299	333	283	303	321	357	366	325	324	333	335	307	302	339	341	330	335	324	311	296	268
22	270	283	308	284	289	292	317	337	345	339	333	322	330	334	321	312	340	359	332	344	316	322	323	267
23	278	282	295	305	334	270	284	309	362	370	341	362	318	337	331	351	326	349	344	347	371	268	256	267
24	265	265	324	313	302	296	313	319	347	342	343	366	377	303	321	332	339	333	342	362	369	309	269	288
25	306	319	293	285	269	270	321	340	364	334	348	355	330	306	332	321	336	357	338	325	330	338	339	311
26	280	275	287	303	294	272	318	319	372	366	365	368	342	311	318	344	331	327	356	307	328	348	292	287
27	286	266	273	300	307	295	291	295	333	358	342	332	317	329	297	303	306	320	320	302	322	314	308	256
28	294	316	293	265	281	281	280	318	349	381	350	369	347	325	335	339	349	353	324	A	307	332	325	307
29	287	295	330	272	305	324	313	307	373	354	364	337	319	317	326	324	320	323	327	322	J	R	278	308
30	279	304	339	318	344	283	269	288	364	357	357	338	325	308	334	271	314	342	299	281	289	308	323	263
31	257	283	335	309	263	252	269	296	349	326	357	366	360	310	327	364	326	330	351	327	303	310	324	340
	00	01	02	03	04	05	06	07	08	09	10	11	12	13	14	15	16	17	18	19	20	21	22	23
CNT	31	31	29	31	31	31	31	31	30	28	28	28	29	29	29	29	31	31	30	31	31	31	31	31
MED	287	294	298	303	305	283	302	327	361	356	344	338	332	326	334	330	340	348	334	326	316	309	306	287
U Q	295	307	316	313	329	298	314	338	365	365	357	362	344	334	338	342	348	359	353	344	324	322	324	307
L Q	278	283	288	286	294	272	291	309	347	342	336	332	320	316	321	321	332	336	324	307	303	298	285	270

DEC. 2022 M(3000)F2 (0.01)

NATIONAL INSTITUTE OF INFORMATION AND COMMUNICATIONS TECHNOLOGY, JAPAN

## IONOSPHERIC DATA STATION Yamagawa

DEC. 2022 M(3000)F1 (0.01) 135°E MEAN TIME (G.M.T. + 9 H)

LAT. 31°12.0'N LON. 130°37.0'E SWEEP 1.0 MHz TO 30.0 MHz IN 15.0 SEC IN MANUAL SCALING

H D	00	01	02	03	04	05	06	07	08	09	10	11	12	13	14	15	16	17	18	19	20	21	22	23
1									4 3 6 4 3 4	L	L	L	U	L	L	L								
2										L	L	L	L	L	L	L								
3										L	L	4 0 2 4 0 6	L	L										
4									4 2 3	4 0 2 4 3 8	4 0 6	4 0 2 4 0 8	U	L	L									
5										L	L	L	U	L	L									
6										L	L	C	C	C	C	C	C	C	C	C	C	C	C	
7										C	C	C	C	C	C	C	C	C	C	C	C	C	C	
8										L	C	C	C	C	C	L								
9									4 1 6		L	L	L	L	L	A								
10									4 4 9		L	L		L	L	L								
11										4 1 8	4 2 1		L	L	L	A								
12									4 2 0	3 9 4 4 1 0	L	U	L	L		L	L							
13										L	L	L	L	L	U	L		L						
14										L	3 9 0	L	L	L	L	L								
15											L	L	L	L	L	L	A							
16											3 7 3		L	L	L	L								
17											L	L	L	L	L	L	3 9 9							
18											L	L	3 8 3	L	L	L								
19											L	L	L	L		L								
20											L	L	L	L	L	L								
21												L	L	L	L	L		L						
22												L	L	L	3 8 8	L								
23												L	L	L	3 7 0	L	L							
24									3 9 6	L	L	L	U	L	L	L	L							
25										L	L	L	4 0 7 4 1 8	L	L	3 8 9	L	L						
26											L	L	4 1 1 4 1 8	L	L	L	L							
27											L	L	L	3 6 4	L	L	L							
28											L	L	3 9 1	L	L	L	A							
29											L	U	4 1 5 4 0 5	3 8 4	L	L	L							
30											L	L	4 2 7	L	L	L								
31											L	L	L	L	L	L								
	00	01	02	03	04	05	06	07	08	09	10	11	12	13	14	15	16	17	18	19	20	21	22	23
CNT										5	3	2	9	12	10	7	1							
MED										L		L	L	L	L									
U Q									4 2 3 4 1 8	4 0 0 4 0 2 4 0 6	3 8 4	3 9 3	4 0 8											
L Q									4 4 2 4 3 4		4 1 2 4 1 4	4 0 5 4 0 2												
									4 1 8 3 9 6		3 9 1 3 9 2 3 7 8 3 8 1													

DEC. 2022 M(3000)F1 (0.01)

NATIONAL INSTITUTE OF INFORMATION AND COMMUNICATIONS TECHNOLOGY, JAPAN

## IONOSPHERIC DATA STATION Yamagawa

DEC. 2022 h'F2 (KM)

135°E MEAN TIME (G.M.T. + 9 H)

LAT. 31°12.0'N LON. 130°37.0'E PSWEEP 1.0MHz TO 30.0MHz IN 15.0SEC IN MANUAL SCALING

H D	00	01	02	03	04	05	06	07	08	09	10	11	12	13	14	15	16	17	18	19	20	21	22	23					
1									194	206	252	220	228	248	252	228													
2										226	234	236	238	234	214														
3									224	230	230	226	270	234															
4									210	238		226	228	226	234	222													
5									256	222	230	222	220	234	232														
6									244	232		C	C	C	C	C	C	C											
7										C	C	C	C	C	C	C	C												
8									244		C	C	C		214														
9									214		236	232	234	236	220	228													
10									206		216	232		250	242	228													
11										216	220	220	260	234	270	236													
12									210		240	224	220		242	240													
13										212	224	216	232	232	230		228												
14										218	252	272	238	244	228														
15											242	224	254	240	254	228													
16											262	260	238	238	224														
17											224	220	254	248	236	236													
18											216	260	262	248	232	242													
19											246	242	230	240		244													
20											256	240	238	242	238														
21												252	244	246	266		226												
22												254	240	232	242	218													
23												230	226	252	264	236	246												
24												242	240	212	220	328	240	242											
25												220	228	216	242	230	230	262											
26													224	212	226	224	276	238											
27													250	220	222	234	274	248	242										
28														218	220	238	244	238	232										
29														218		218	246	266	252	242									
30															220	246	218	268	256										
31															256	224	226	226	264	270									
	00	01	02	03	04	05	06	07	08	09	10	11	12	13	14	15	16	17	18	19	20	21	22	23					
CNT															8	13	23	28	27	27	28	19	3						
MED															212	222	226	228	234	244	238	236	228						
U Q															247	240	240	241	252	254	248	242	228						
L Q															208	217	220	220	226	236	233	228	226						

DEC. 2022 h'F2 (KM)

NATIONAL INSTITUTE OF INFORMATION AND COMMUNICATIONS TECHNOLOGY, JAPAN

## IONOSPHERIC DATA STATION Yamagawa

DEC. 2022 h'F (KM)

135°E MEAN TIME (G.M.T. + 9 H)

LAT. 31°12.0'N LON. 130°37.0'E SWEEP 1.0 MHz TO 30.0 MHz IN 15.0 SEC IN MANUAL SCALING

H D	00	01	02	03	04	05	06	07	08	09	10	11	12	13	14	15	16	17	18	19	20	21	22	23			
1	278	226	280	236	248	334	258	188	176	194	222	218	214	198	214	218	210	198	196	240	204	260	258	226			
2	266	254	A	266	248	326	254	214	222	210	206	198	188	220	206	204	202	206	206	206	214	228	210	254			
3	278	270	292	242	252	240	242	222	218	218	202	196	192	236	194	204	210	204	186	268	210	218	228	214			
4	296	256	264	270	266	272	250	228	202	230	218	200	188	190	180	202	216	196	206	246	226	204	282	292			
5	306	286	286	250	222	276	270	254	238	214	208	208	188	208	200	218	218	196	188	264	218	208	204	294			
6	272	256	250	208	212	312	302	250	218	226	C	C	C	C	C	C	C	200	194	216	198	236	222	230			
7	346	286	238	236	242	264	252	228	210	C	C	C	C	C	C	C	C	208	218	200	234	212	256	294			
8	330	266	220	240	278	286	288	258	236	238	C	C	C	C	C	C	C	208	216	220	216	190	208	240	204	202	282
9	310	288	250	258	242	250	214	224	202	214	216	202	208	202	210	A	220	202	192	192	254	228	212	194			
10	238	308	294	256	292	258	208	196	194	216	204	204	226	208	236	214	212	200	198	200	232	204	228	246			
11	238	284	294	324	284	304	230	198	208	198	198	190	224	222	206	A	220	196	230	222	218	220	212	260			
12	E A	A E A	342	400	330	266	210	214	214	192	226	204	202	200	202	222	222	220	200	194	216	194	206	230	270		
13	274	292	286	286	264	246	246	240	214	206	200	194	220	198	194	224	222	200	226	214	190	204	248	290			
14	276	294	344	294	252	216	270	238	212	210	202	204	226	220	218	208	216	208	208	208	194	216	210	252			
15	252	258	280	274	266	274	266	238	212	214	214	210	202	186	226	226	A	206	206	216	244	206	200	314			
16	308	264	254	230	240	226	222	230	218	218	216	200	200	206	208	216	224	212	196	204	202	208	272	242			
17	272	266	244	222	194	276	276	238	206	218	204	202	234	210	194	218	226	210	194	202	224	200	230	242			
18	260	246	240	242	216	216	260	240	216	214	200	198	216	220	212	210	220	208	186	212	212	196	204	316			
19	276	248	246	274	264	248	244	234	206	216	222	198	222	194	204	216	218	212	204	218	220	232	316	294			
20	E A E A	252	322	260	222	226	298	272	218	216	224	218	216	210	202	212	220	218	210	216	194	228	240	244	258		
21	274	306	278	264	230	272	260	242	214	218	210	198	196	206	198	222	220	202	198	208	210	212	240	310			
22	318	298	262	276	276	248	228	234	212	224	222	202	216	186	208	230	214	210	186	200	240	218	216	314			
23	314	296	254	270	228	256	296	258	230	212	208	208	196	200	206	212	216	218	202	230	182	236	276	316			
24	326	342	244	230	254	284	248	254	212	206	216	206	186	202	194	200	224	228	196	208	188	202	320	282			
25	258	226	262	296	340	326	236	214	200	206	220	182	178	204	192	220	232	200	184	226	226	196	228	226			
26	294	314	298	256	270	306	224	252	204	214	208	194	200	180	212	230	214	206	200	206	242	214	240	240			
27	292	326	318	276	252	258	288	262	226	210	196	192	182	218	200	232	A	232	202	198	208	200	216	210	338		
28	274	246	222	322	278	288	298	250	220	214	208	206	206	208	218	A	218	226	240	A E A E A	254	236	226	236			
29	270	278	246	314	252	228	232	236	206	210	220	198	192	176	180	214	224	210	202	206	206	194	220	268			
30	308	264	222	228	228	326	310	270	216	210	208	196	186	214	244	222	232	232	232	186	222	220	224	210	344		
31	368	316	252	260	374	378	354	252	218	224	220	222	220	230	222	208	214	208	198	232	236	230	204				
	00	01	02	03	04	05	06	07	08	09	10	11	12	13	14	15	16	17	18	19	20	21	22	23			
CNT	31	31	29	31	31	31	31	31	30	28	28	28	28	29	26	28	31	31	30	31	31	31	31	31			
MED	278	275	260	259	252	272	254	238	212	214	208	201	201	205	208	218	219	206	198	208	216	213	225	264			
U Q	310	306	286	276	270	304	276	252	218	218	218	206	218	216	216	222	223	212	220	206	222	232	228	248	294		
L Q	270	256	245	236	230	248	232	222	206	210	204	197	190	198	196	212	215	200	192	204	202	204	210	240			

DEC. 2022 h'F (KM)

NATIONAL INSTITUTE OF INFORMATION AND COMMUNICATIONS TECHNOLOGY, JAPAN

## IONOSPHERIC DATA STATION Yamagawa

DEC. 2022 h'E (KM)

135°E MEAN TIME (G.M.T. + 9 H)

LAT. 31°12.0'N LON. 130°37.0'E SWEEP 1.0 MHz TO 30.0 MHz IN 15.0 SEC IN MANUAL SCALING

H D	00	01	02	03	04	05	06	07	08	09	10	11	12	13	14	15	16	17	18	19	20	21	22	23		
1									B	A	A	A	A	A	102	102	102	A	B							
2									B	104	104	104	104	104	104	104	104	106		A	A					
3									B	A	A			102	102	102	102	100		A						
4									B	104	100			102	102	102	102	112		A	B	B				
5									B	100	100	102	102	102	102	102	102		A	A	A					
6									A		C	C	C	C	C	C	C	C	B	B						
7									A	108	100															
8									B		C	C	C	C	C	C	C	C	A	A						
9									B	104	104								A	B						
10									B	108	102	102	102	102	102	102	102	102		A	B	B				
11									B	102	100	100		100					A	A						
12									B	114	A	108	100	100	100				A	A	A	A				
13									B	112	A	104	102	102	102	102			A	108		A	A			
14									B	108	102	100		100	100	100			A	A	A	B				
15									B		A	106	102	102	102	100	100		A	A	A	A				
16									B	110	102	102		A	100	100	100	100	A	118	B					
17									B		A	A	A	A		102			A	A	B					
18									B	102	102	100	100	100	100	100	106	106		B	B					
19									B	A		102	102	A	A	A	102	106	106	A	B					
20									B	106	104	102		A	104				A	A	98		A	A		
21									B	110	100	104	104	104	104	102	102	102		B	B					
22									B	A		102	102	102	100	100	100	106		A	A	B				
23									B	102	106	104		A	104				A	A	B					
24									B	116	104	102		A	102	102	102			A	A	B				
25									B	A	A	A		102	102	102	102	102	110							
26									B	108	104	100	100	102	102	102	104	102	102	A	B					
27									B	122	104	104	104	108	102	102			A	A	A	B				
28									B	A		106	102	102	A	110	102	106		A	A	A				
29									B	116	102		A	102	102	102	102	104	108	114		A				
30									B	A	A	A		102	102	106	106	108	102		A	B				
31									B		102	102	102	102	102	102	A	102	108	108		A	A			
	00	01	02	03	04	05	06	07	08	09	10	11	12	13	14	15	16	17	18	19	20	21	22	23		
CNT										25	23	22	19	23	23	23	19	16	2							
MED										108	102	102	102	102	102	102	104	102	116							
U Q										111	104	104	102	102	102	102	106	107								
L Q										104	102	102	102	102	100	102	102	102								

DEC. 2022 h'E (KM)

NATIONAL INSTITUTE OF INFORMATION AND COMMUNICATIONS TECHNOLOGY, JAPAN

## IONOSPHERIC DATA STATION Yamagawa

DEC. 2022 h'Es (KM)

135°E MEAN TIME (G.M.T. + 9 H)

LAT. 31°12.0'N LON. 130°37.0'E SWEEP 1.0MHz TO 30.0MHz IN 15.0SEC IN MANUAL SCALING

H D	00	01	02	03	04	05	06	07	08	09	10	11	12	13	14	15	16	17	18	19	20	21	22	23
1	94	B	90	B	B	B	92	B	106	G	102	90	102	98	G	G	164	96	96	96	96	96	B	96
2	98	94	94	92	92	110	92	B	G	182	150	132	G	182	88	G	G	88	92	102	B	B	B	B
3	B	102	96	92	B	B	B	184	152	160	130	108	G	G	G	G	86	90	86	86	B	B	B	B
4	B	B	B	B	B	B	B	180	150	146	G	G	G	G	G	100	B	B	98	B	B	B	92	
5	92	90	94	B	B	B	B	B	G	172	G	134	G	G	90	88	92	88	88	B	88	B	82	
6	B	98	98	98	94	B	94	88	G	G	C	C	C	C	C	C	98	88	B	B	B	B	B	
7	B	B	B	B	110	B	B	B	148	C	C	C	C	C	C	C	92	88	90	B	B	B	86	
8	92	96	B	B	98	96	B	B	128	C	C	C	C	G	174	154	130	136	B	B	B	B	B	
9	100	98	90	B	B	120	B	94	136	142	126	G	G	G	120	132	116	112	B	B	B	100	B	
10	B	B	B	B	B	B	B	188	150	116	102	102	104	106	102	100	102	96	96	B	88	86	86	
11	86	86	90	88	B	102	B	100	150	108	178	184	178	94	94	108	100	100	96	96	96	96	96	
12	B	96	92	92	108	B	94	B	98	88	140	G	G	G	106	106	100	106	98	98	90	90	82	86
13	B	B	B	B	B	86	B	B	122	108	G	G	G	98	102	110	96	96	B	96	94	94	94	
14	B	94	86	92	88	B	B	88	88	G	G	174	144	146	88	100	106	108	94	104	B	94	94	
15	B	94	90	90	94	88	94	B	172	104	G	G	G	92	178	88	88	104	104	96	94	96	86	
16	B	B	B	B	B	B	B	90	160	168	164	96	92	G	88	98	98	92	B	92	88	88		
17	92	86	86	B	B	B	86	B	154	108	100	96	100	G	92	90	90	84	88	B	B	B	B	
18	92	92	B	B	B	88	92	84	148	122	106	102	98	G	G	G	B	B	90	94	98	92		
19	B	92	94	94	94	B	86	B	108	108	106	106	102	G	G	G	102	100	98	96	88	88	88	
20	88	92	88	88	B	B	B	B	G	110	106	104	100	96	94	94	92	92	96	96	94	94	94	
21	B	88	88	88	B	B	B	B	G	G	G	G	G	G	G	G	136	B	86	88	B	B	88	
22	90	B	B	B	B	B	B	110	168	148	G	G	G	152	106	126	B	98	92	90	B	B	B	
23	B	B	94	94	B	B	108	104	G	G	106	104	G	112	110	158	110	154	118	98	96	92	92	94
24	94	B	B	B	116	B	B	114	152	112	106	G	G	G	100	98	116	98	98	98	94	B	B	
25	B	B	B	B	B	B	106	94	94	90	G	90	G	172	168	156	B	94	88	88	88	84		
26	86	86	88	B	90	B	B	B	132	162	G	G	G	170	158	92	B	102	96	92	90	B	B	
27	90	B	86	86	B	B	B	B	G	G	G	G	G	96	90	90	B	98	98	84	B	B	B	
28	B	88	86	86	90	B	B	130	136	124	118	G	98	G	124	110	114	100	86	126	104	98	98	82
29	84	88	84	82	80	82	90	94	160	102	100	100	G	90	G	G	G	90	90	92	B	B	B	
30	B	88	B	84	B	B	B	88	114	108	106	G	88	178	166	90	86	132	88	82	88	B	B	94
31	94	94	90	92	92	92	100	98	164	170	124	114	106	108	186	108	G	86	84	82	84	B	B	94
	00	01	02	03	04	05	06	07	08	09	10	11	12	13	14	15	16	17	18	19	20	21	22	23
CNT	16	19	21	16	14	9	11	13	23	22	21	15	13	13	16	20	20	27	23	25	21	18	15	16
MED	92	92	90	91	93	92	94	94	148	126	112	104	102	108	106	101	100	102	92	96	96	93	92	88
U Q	94	96	94	92	98	106	100	109	160	162	135	114	120	177	145	121	115	116	100	98	97	96	94	94
L Q	89	88	87	87	90	87	92	88	110	108	105	100	95	98	93	92	90	92	88	90	91	88	88	86

DEC. 2022 h'Es (KM)

NATIONAL INSTITUTE OF INFORMATION AND COMMUNICATIONS TECHNOLOGY, JAPAN

## IONOSPHERIC DATA STATION Yamagawa

DEC. 2022 TYPES OF Es

135°E MEAN TIME (G.M.T. + 9 H)

LAT. 31°12.0'N LON. 130°37.0'E SWEEP 1.0MHz TO 30.0MHz IN 15.0SEC IN MANUAL SCALING

H D	00	01	02	03	04	05	06	07	08	09	10	11	12	13	14	15	16	17	18	19	20	21	22	23	
1	F 2		F 1				F 1		C 1	C 1	L 1	C 1	L 2			H 1	L 1	L 3	F 3	F 1	F 1		F 1		
2	F 2	F 3	F 4	F 4	F 2	F 1	F 1		H 1	H 1	HL 11		H 1	L 1			L 1	L 1	L 1	F 2					
3		F 1	F 1	F 1				H 1	H 1	HL 11	H 1	C 1		H 1			L 1	L 1	L 3	F 1					
4								H 1	H 1	H 1							C 1		F 3			F 2			
5	F 1	F 2	F 1						H 1			H 1				L 1	L 1	L 1	L 1	F 2	F 1	F 1		F 1	
6	F 1	F 1	F 1	F 1		F 1	L 3										L 1	L 1							
7				F 1				H 1									L 3	L 4	F 1					F 1	
8	F 1	F 1		F 1	F 1				C 2							H 1	H 1	HL 21	HL 21						
9	F 1	F 2			F 1		L 1	H 1	H 1	C 1					C 1	HC 21	C 2	C 2						F 1	
10		F 2						H 1	H 1	C 1	C 2	C 4	C 2	C 1	C 2	C 2	C 1	C 3	F 3		F 5	F 4	F 2		
11	F 1	F 1	F 1		F 1		C 1	H 1	C 1	H 1	HL 11	H 1	L 2	L 2		C 1	C 5	F 4	F 3	F 3	F 1				
12	F 3	F 5	F 3	F 1		F 1		L 1	L 2	H 1			C 1	C 2	C 2	C 2	C 3	C 3	F 2	F 3	F 2	F 1			
13				F 1			F 1	C 2					L 1	L 1		C 2	L 7	F 3			F 1	F 2	F 1		
14	F 2		F 3	F 1	F 1		L 1	L 1		HL 12	H 1	H 1		L 3	C 2	C 1	CL 11	F 1	F 1		F 3	F 1			
15	F 1	F 1	F 1	F 1	F 1		H 1		C 1			L 1	H 1	L 2	L 3	C 3	C 2	F 3	F 3	F 1		F 1			
16							L 1	H 1	H 1	H 1	L 1	L 1		L 1	L 2		L 1			F 2	F 3	F 1			
17	F 2	F 2	F 1		F 1			H 1	C 1	C 2	L 2	CH 11		L 2	L 2	L 3	L 3								
18	F 2	F 1			F 1	F 2	L 2	HL 11	C 2	C 2	C 2		L 1						F 3	F 1	F 1	F 1			
19	F 1	F 1	F 1	F 1		F 1		C 3	C 3	C 2	C 1	C 1	C 1				C 1	C 1	F 3	F 2	F 6	F 5	F 4		
20	F 2	F 4	F 1	F 1				C 1	C 1	C 2	L 1	L 2	L 2	L 1		L 3	L 4	F 3	F 1	F 2	F 1	F 2			
21	F 3	F 2	F 2													H 1		F 3	F 1				F 1		
22	F 1						C 2	H 1	H 1						H 1	C 2	C 1		F 2			F 1			
23		F 2	F 2			F 1	C 1		C 1	C 1		C 1	C 1	L 1	C 1	H 1	H 1	F 3	F 2	F 2	F 1				
24	F 2			F 1			C 1	H 1		C 2	C 1				C 2	L 3	CL 11	H 3	F 1	F 1	F 1				
25					F 1		LH 31	L 3	L 3	L 3		L 1			H 1	H 1	H 1		F 4	F 4	F 2	F 2	F 1		
26	F 1	F 2	F 1	F 1		F 1		H 1	HC 11						H 1		H 1	L 1	F 1	F 2	F 1	F 1	F 1		
27	F 1		F 1	F 2											LH 11	L 2	L 1		F 1	F 2	F 1				
28	F 2	F 1	F 1	F 1			H 1	H 2	C 1	C 2		L 1		C 1	C 1	CL 11	C 3	L 5	FF 35	FF 33	FF 33	F 2	F 2		
29	F 2	F 2	F 1	F 1	F 1	F 1	L 1	H 1	C 1	C 2	L 1			L 1				L 1	F 1						
30	F 1		F 1				L 1	C 1	C 1	C 1		L 1	H 1	H 1	L 1	L 1	H 1	L 1	F 1	F 1	F 2	F 3			
31	F 2	F 2	F 4	F 3	F 2	F 1	F 1	L 1	H 1	HC 11	C 2	C 3	C 2	C 2	CL 11	HL 21	CH 1	L 2	L 2	F 1	F 1	F 3			
	00	01	02	03	04	05	06	07	08	09	10	11	12	13	14	15	16	17	18	19	20	21	22	23	
CNT																									
MED																									
U Q																									
L Q																									

DEC. 2022 TYPES OF Es

NATIONAL INSTITUTE OF INFORMATION AND COMMUNICATIONS TECHNOLOGY, JAPAN

## IONOSPHERIC DATA STATION Okinawa

DEC. 2022 fxI (0.1MHz)

135°E MEAN TIME (G.M.T. + 9 H)

LAT. 26°41.0'N LON. 128°09.0'E 'SWEEP 1.0MHz TO 30.0MHz IN 15.0SEC IN MANUAL SCALING

H D	00	01	02	03	04	05	06	07	08	09	10	11	12	13	14	15	16	17	18	19	20	21	22	23
1	X	X	X	X	X	X	X												X	X	X	X	X	
	48	47	37	42	38	34	32												60	76	68	61	62	
2	X	X	X	X	X	X	X												X	X	X	X	X	
	44	48	42	36	34	37	42												76	76	65	59	43	
3	X	X	X	X	X	X	X												X	X	X	X	X	
	36	37	37	40	41	34	32												66	82	94	68	53	
4	X	X	X	X	X	X	X												X	X	X	X	X	
	47	45	48	47	46	50	43												62	73	78	62	64	
5	X	X	X	X	X	X	X												X	X	X	X	X	
	59	60	62	61	53	46	43												80	94	93	76	60	
6	X	X	X	X	X	X	X												X	X	X	X	X	
	58	58	59	58	38	32	29												72	82	68	61	53	
7	X	X	X	X	X	X	X												X	X	X	X	X	
	44	44	46	39	38	32	32												64	68	80	72	68	
8	X	X	X	X	X	X	X												X	X	X	X	X	
	62	72	70	62	53	52	56												62	72	83	59	39	
9	A	X	X	X	X	X	X												X	X	X	X	X	
	41	42	44	43	34	38													59	63	72	72	60	
10	X	X	X	X	X	X	X												X	X	X	X	X	
	36	33	35	38	39	39	38												134	123	115	90	69	
11	X	X	X	X	X	X	X												X	X	X	X	X	
	60	52	34	35	36	37	37												69	74	70	52	41	
12	X	X	X	X	X	X	X										C	C	C	C	C	C	X	
	35	35	35	47	64	47	36												99	105	87	80	54	
13	X	X	X	X	X	X	X									C	C	C				X		
	46	47	45	52	51	54	43												93	108	76	52	54	
14	X	X	X	X	X	X	X												X	X	X	X	X	
	46	46	40	42	41	35	33												82	97	94	73	53	
15	X	X	X	X	X	X	X												X	X	X	X	X	
	50	47	44	42	40	38	37												78	87	79	66	56	
16	X	X	X	X	X	X	X												X	X	X	X	X	
	45	48	47	47	45	30	32												74	78	71	74	62	
17	X	X	X	X	X	X	X										C	C	C				X	
	51	44	42	41	36	28	31												68	71	73	57	50	
18	X	X	X	X	X	X	X												X	X	X	X	X	
	48	44	42	42	42	34	32												104	112	98	74	52	
19	X	X	X	X	X	X	X												X	X	X	X	X	
	41	42	39	38	38	38	37												82	85	80	58	52	
20	X	X	X	X	X	X	X												X	X	X	X	X	
	54	46	42	42	40	32	34												98	66	75	54	48	
21	X	X	X	X	X	X	X												X	X	X	X	X	
	45	42	41	42	45	32	34												78	86	78	55	42	
22	X	X	X	X	X	X	X												X	X	X	X	X	
	42	44	50	45	37	39	36												61	54	56	54	40	
23	X	X	X	X	X	X	X												X	X	X	X	X	
	42	43	42	47	39	32	31												78	85	54	43	36	
24	X	X	X	X	X	X	X												X	X	X	X	X	
	37	39	50	44	26	30	33												78	67	56	50	50	
25	X	X	X	X	X	X	X												X	X	X	X	X	
	58	56	38	38	37	36	41												62	72	80	68	54	
26	X	X	X	X	X	X	X												X	X	X	X	X	
	52	48	52	59	52	38	37												65	66	76	77	84	
27	X	X	X	X	X	X	X												X	X	X	X	X	
	48	43	43	45	46	42	40												134	128	93	75	58	
28	X	X	X	X	X	X	X												X	X	X	X	X	
	59	62	57	46	44	40	37												65	72	72	58	48	
29	X	X	X	X	X	X	X												X	X	X	X	X	
	38	41	42	39	38	38	35												116	99	86	82	61	
30	X	X	X	X	X	X	X												X	X	X	X	X	
	55	62	72	36	37	27	26												103	108	107	89	60	
31	X	X	X	A	X	A	X												X	X	X	X	X	
	57	64	74	35		28													79	61	69	64	55	
	00	01	02	03	04	05	06	07	08	09	10	11	12	13	14	15	16	17	18	19	20	21	22	23
CNT	30	31	31	31	30	31	30					1	1	1						31	31	31	31	31
MED	48	46	42	42	40	36	36					167	135	126	108						X	X	X	X
U Q	X	X	X	X	X	X	X												78	78	78	64	54	
L Q	42	42	40	39	38	32	32												X	X	X	X	X	
																			93	97	87	74	60	
																			65	71	70	57	48	

DEC. 2022 fxI (0.1MHz)

NATIONAL INSTITUTE OF INFORMATION AND COMMUNICATIONS TECHNOLOGY, JAPAN

## IONOSPHERIC DATA STATION Okinawa

DEC. 2022 foF2 (0.1MHz) 135°E MEAN TIME (G.M.T. + 9 H)

LAT. 26°41.0'N LON. 128°09.0'E SWEEP 1.0MHz TO 30.0MHz IN 15.0SEC IN MANUAL SCALING

H D	00	01	02	03	04	05	06	07	08	09	10	11	12	13	14	15	16	17	18	19	20	21	22	23	
1	42	41	31	36	32	28	26	53	59	69	105	130	115	112	123	126	121	96	64	54	70	62	55	56	
2	38	42	36	30	28	31	36	58	82	95	99	113	107	113	108	108	92	77	82	68	70	59	53	37	
3	30	31	31	34	35	28	26	49	70	98	98	98	87	103	120	112	91	93	89	59	76	88	62	47	
4	41	39	42	41	40	44	37	54	75	107	130	97	90	109	108	109	96	84	73	56	67	72	56	58	
5	53	54	56	55	47	40	37	53	88	138	131	107	102	118	119	111	93	93	86	74	88	87	70	54	
6	H 52	52	53	52	32	26	24	44	88	117	142	118	121	121	114	107	98	93	74	66	76	62	55	47	
7	38	38	40	33	32	26	26	48	76	94	103	94	98	102	98	87	86	75	78	58	62	74	66	62	
8	56	66	64	56	47	46	50	64	94	147	158	126	118	110	98	85	81	79	66	56	66	77	53	34	
9	A 35	36	38	37	28	32	48	75	100	95	96	99	98	90	99	87	98	74	53	57	66	66	54		
10	30	26	29	32	33	33	32	49	72	82	100	94	102	112	124	139	142	138	124	128	117	109	84	63	
11	54	46	28	29	30	31	31	50	72	88	89	94	84	105	119	110	102	93	73	63	68	64	46	35	
12	29	29	29	41	58	41	30	47	78	94	104	C C	C C	C C	C C	C C	C C	C C	C C	93	99	81	74	48	
13	40	41	39	46	45	48	37	50	91	114	C 139	C 165	C 163	C 155	C 145	C 95	C 87	C 102	C 70	C 46	C 48				
14	40	40	34	36	35	29	27	47	89	88	99	90	108	128	139	134	112	98	80	76	91	88	67	47	
15	44	41	38	36	34	32	31	51	92	104	89	105	114	134	141	141	140	125	90	72	81	73	60	49	
16	39	42	41	41	39	24	26	43	76	96	88	90	104	128	116	119	108	101	89	68	72	65	68	56	
17	45	38	36	35	30	23	25	45	80	93	98	96	120	142	143	122	116	120	89	62	65	67	51	44	
18	42	38	36	36	36	28	26	43	85	90	85	86	112	127	129	120	124	123	108	98	106	92	68	46	
19	35	36	33	32	32	32	31	48	80	84	98	105	120	112	109	109	109	99	92	76	79	74	52	46	
20	48	40	36	36	34	26	28	48	84	103	105	117	126	129	139	143	143	133	105	92	60	69	48	42	
21	39	36	35	36	39	26	28	45	87	91	95	101	128	133	126	144	140	133	112	72	80	72	49	36	
22	36	38	44	39	31	33	30	43	77	97	120	139	142	150	146	135	127	112	76	55	48	50	48	34	
23	36	37	36	41	33	26	25	40	89	110	102	107	128	133	140	131	130	118	108	72	79	48	37	30	
24	31	33	44	38	20	24	27	40	85	94	116	118	92	87	112	122	111	103	98	72	61	50	44	44	
25	52	50	32	32	30	31	35	45	80	112	139	105	112	138	147	144	145	142	102	56	66	74	62	48	
26	46	42	46	53	46	32	31	44	82	86	102	96	100	110	111	128	121	106	72	59	V 60	69	71	78	
27	V 42	37	37	39	40	36	34	46	88	128	143	122	128	152	147	156	154	154	151	128	122	87	69	52	
28	53	56	51	40	38	34	31	47	94	102	94	89	91	119	126	122	120	107	86	59	66	66	52	42	
29	32	35	36	33	32	32	29	40	82	94	102	102	110	136	156	168	168	154	141	110	93	80	76	55	
30	49	56	66	30	31	21	20	39	103	101	100	117	124	143	151	164	151	138	131	97	102	101	83	54	
31	51	58	68	29		22		44	81	98	134	119	93	95	116	121	104	84	84	73	55	63	58	49	
	00	01	02	03	04	05	06	07	08	09	10	11	12	13	14	15	16	17	18	19	20	21	22	23	
CNT	30	31	31	31	30	31	30	31	31	31	30	29	30	29	30	30	30	30	30	31	31	31	31	31	
MED	42	40	36	36	34	31	30	47	82	97	102	105	111	119	124	122	118	104	89	72	72	72	58	48	
U Q	49	46	44	41	39	33	32	50	88	107	120	118	121	134	141	141	140	133	105	87	91	81	68	54	
L Q	36	36	34	33	32	26	26	44	76	91	98	95	99	110	112	110	98	93	76	59	65	64	51	42	

DEC. 2022 foF2 (0.1MHz)

NATIONAL INSTITUTE OF INFORMATION AND COMMUNICATIONS TECHNOLOGY, JAPAN

## IONOSPHERIC DATA STATION Okinawa

DEC. 2022 foF1 (0.01MHz)

135°E MEAN TIME (G.M.T. + 9 H)

LAT. 26°41.0'N LON. 128°09.0'E 'SWEEP 1.0MHz TO 30.0MHz IN 15.0SEC IN MANUAL SCALING

H D	00	01	02	03	04	05	06	07	08	09	10	11	12	13	14	15	16	17	18	19	20	21	22	23		
1											L 496	L 496	L 544	L 520	L											
2											L 500	L 480	L 504	L 512	L 432	L 440										
3											L L	L L	L 492	L 464	L 512	L 424	L 316									
4											L 316	L L	L 476	L 472	L 500	L 464	L	L								
5											L L	L H	L L	L L	L L	L										
6											L L	L L	L L	L L	L 484	L 416	L 448									
7											L 472	L 472	L 496	L 480	L L	L L	A									
8											L 472	L L	L H	L 532	L 488	L 448										
9											L L	L L	L L	L L	L L	L L										
10											L L	L L	L L	L 512	L L	L L	L L									
11											L L	L U	L 456	L L	L L	L L	L L									
12											L C	C C	C C	C C	C C	C C	C C									
13											L 388	C C	C 508	L C	L L											
14											L L	L 480	L L	L L	L L	L L										
15											L L	L 468	L 564	L L	L L	L L	L L									
16											L L	L 472	L 476	L 436	L L	L A										
17											L L	L 464	L 544	L 508	L L	L L	L L									
18											L U	L 532	L L	L 504	L L	L L	L L									
19											L L	L L	L L	L 528	L L	L L										
20											L L	L 500	L L	L L	L L	A L										
21											L L	L 520	L L	L L	L L	L L										
22											L 472	L 476	L L	L L	L L	L L	L L									
23											L L	L 488	L 488	L 492	L 484	L 440	L L									
24											L L	L 480	L 480	L 580	L L	308										
25											L 480	L 480	L L	L L	L 476	L L	L L									
26											L L	L 476	L 512	L L	L L	L L										
27											L L	L 476	L 476	L 536	L L	L L	L L									
28											A 472	A 488	L 472	L 488	L A	A A	A A									
29											L L	L 472	L 452	L 556	L 560	L L	L L									
30											L L	L L	L 540	L L	L L	L L										
31											L L	L L	L L	L 476	L 516	L L	L L									
	00	01	02	03	04	05	06	07	08	09	10	11	12	13	14	15	16	17	18	19	20	21	22	23		
CNT											1 316	2 430	5 480	14 480	16 484	20 496	17 504	4 440	2 312							
MED											L 316	L 430	L 480	L 480	L 484	L 496	L 504	L 440	L 312							
U Q											L 498	L 488	L 506	L 524	L 518	L 444										
L Q											L 472	L 476	L 472	L 480	L 456	L 432										

DEC. 2022 foF1 (0.01MHz)

NATIONAL INSTITUTE OF INFORMATION AND COMMUNICATIONS TECHNOLOGY, JAPAN

## IONOSPHERIC DATA STATION Okinawa

DEC. 2022 foE (0.01MHz)

135°E MEAN TIME (G.M.T. + 9 H)

LAT. 26°41.0'N LON. 128°09.0'E @SWEEP 1.0MHz TO 30.0MHz IN 15.0SEC IN MANUAL SCALING

H D	00	01	02	03	04	05	06	07	08	09	10	11	12	13	14	15	16	17	18	19	20	21	22	23		
1									B	U A		A	A	A	A	264	176	B								
2									B	196	284	308	332	344	344	336	312	276	216	B						
3									B	224	268	312	328	340		340	304	252		A	A					
4									B	244	280	312	316		A	A	340		276	208	B					
5									B	240	284	324	344	344	352	324	304	284	188	A						
6									B	240	272	324	344	344	348	336	316	264		A	B					
7									B	232	292	340	348		A	A	A	A	A	A	A					
8									B	224		328	348	352	356	332	308	272	212	A						
9									B	228	276	320	340	348	352	344	292	268		A	B					
10									B	232	276	312	336	348	364		A	A	280	196	B					
11									B	A		284	312	336	344	344	336	308	276		A	A				
12									B	248	296	E C	C	C	C	C	C	C	C	C	C					
13									B	252	308		360		C	C		336	292	196	B					
14									B	240	296	336	348	356	356	348		A	A	A	B					
15									B	244	300	324		A	A	A	A	A	A	A	A					
16									A	252	312	324		B	A	A		364	344	A	208	A				
17									B	232	312		356		A	A		360	344	320	280	216	B			
18									B	236	300	324		336		A	A		328	292	212	B				
19									B	244	296		A	A	A	A		356	336	300		A	B			
20									B	244	284		A	A	A	A	A	A	A	A	A	A				
21									B	228	276	312	340	360	360	348	320	284		A	B					
22									B	220	284		340		A	A		336		272		A	A			
23									B	232	252	292	332	340	348	U A		A	A	A	A	A				
24									B	A	276	316	324		A	A	A	A	A	A	A	B				
25									B	260	320		A	348	344	332	304	292		A	B					
26									B	212	228	0320	332	352	352	340	320		A	A	B					
27									B	212		A A	A		360	364	344	320	280		A	B				
28									B	204	284	312	340		A	A	A	A	A	A	A	B				
29									B	204	272		348	352		A	352	348		A	A	A				
30									B	212	276	312	340	360	360	360		A		300	A	A				
31									B	204	276	320	336	352	360	352		A	A	A	A					
	00	01	02	03	04	05	06	07	08	09	10	11	12	13	14	15	16	17	18	19	20	21	22	23		
CNT										28	29	23	21	20	16	20	17	19	10							
MED										232	284	320	340	348	354	342	320	280	208							
U Q										242	296	324	346	354	360	350	332	292	212							
L Q										214	276	312	332	344	348	336	306	272	196							

DEC. 2022 foE (0.01MHz)

NATIONAL INSTITUTE OF INFORMATION AND COMMUNICATIONS TECHNOLOGY, JAPAN

## IONOSPHERIC DATA STATION Okinawa

DEC. 2022 f<sub>0</sub>E<sub>S</sub> (0.1MHz) 135°E MEAN TIME (G.M.T. + 9 h)

LAT. 26°41.0'N LON. 128°09.0'E SWEEP 1.0 MHz TO 30.0 MHz IN 15.0 SEC IN MANUAL SCALING

DEC. 2022 f o E s ( 0 . 1 M H z )

NATIONAL INSTITUTE OF INFORMATION AND COMMUNICATIONS TECHNOLOGY, JAPAN

## IONOSPHERIC DATA STATION Okinawa

DEC. 2022 fbEs (0.1MHz) 135°E MEAN TIME (G.M.T. + 9 H)

LAT. 26°41.0'N LON. 128°09.0'E OSWEEP 1.0MHz TO 30.0MHz IN 15.0SEC IN MANUAL SCALING

H D	00	01	02	03	04	05	06	07	08	09	10	11	12	13	14	15	16	17	18	19	20	21	22	23	
1	E 18	B 16	E 16	B 19	E 16	B 16	E 16	B 16	30	33	33	38	G	35	40	35	29	23	E 16	B 16	E 16	B 16	E 16	B 16	
2	E 16	B 16	24	G	34	39	36	G	G	G	32	24	E 16	B 21	40	E 16	B 16	B 16							
3	E 16	B 16	26	32	35	36	36	38	37	G	27	24	20	19	19	16	16	B 16							
4	E 16	B 16	G	33	37	38	37	40	G	33	G	G	E 16	B 16	E 16	B 16	E 16	B 16							
5	E 16	B 16	26	G	G	G	G	35	32	32	32	24	18	16	16	16	16	B 16							
6	E 16	B 16	G	G	G	G	G	36	35	30	22	E 16	B 16	E 16	B 16	E 16	B 16								
7	E 16	B 16	G	31	G	G	35	36	38	35	34	23	22	20	16	16	16	B 16							
8	E 16	B 16	26	30	G	G	G	39	37	30	23	19	16	16	21	E 16	E 16	B 16							
9	A 87	E 16	B 16	E 16	B 16	E 16	B 16	E 16	24	32	37	G	G	37	39	35	34	22	16	18	16	16	16	16	B 16
10	E 16	B 16	26	30	35	36	39	39	41	35	G	G	E 16	B 16	E 16	B 16	E 16	B 16							
11	E 16	B 16	23	31	36	40	G	37	33	29	22	20	16	16	16	16	16	B 16							
12	E 17	B 16	E 16	B 16	E 16	B 16	E 16	B 16	28	32	G	C	C	C	C	C	C	C	E 16	B 16	E 16	B 16	E 16	B 16	
13	E 16	B 16	G	G	C	C	G	CE	C	49	35	31	28	E 16	B 16	E 16	B 16	E 16	B 16						
14	E 16	B 16	G	G	G	G	40	41	38	40	39	64	E 16	B 16	E 16	B 16	E 16	B 16							
15	E 16	B 16	16	32	36	38	38	39	37	37	32	27	21	16	16	16	16	B 16							
16	E 16	B 16	E 16	B 16	E 16	B 16	E 16	B 16	G	38	45	38	39	G	G	34	23	23	20	16	16	16	16	B 16	
17	E 16	B 16	26	34	G	G	G	G	G	29	16	16	16	16	16	16	B 16								
18	E 16	B 16	26	32	37	43	42	39	36	G	G	G	G	E 16	B 16	E 16	B 16	E 16	B 16						
19	E 16	B 16	G	32	36	36	39	36	G	G	E 25	16	20	16	20	16	16	B 16							
20	E 16	B 16	G	32	37	38	39	40	33	44	32	23	20	20	18	16	16	B 16							
21	E 19	B 16	E 16	B 16	E 16	B 16	E 16	B 16	24	34	G	G	G	G	G	20	21	16	16	16	16	16	16	B 16	
22	E 16	B 16	24	31	36	40	35	41	G	34	29	22	16	23	16	16	16	B 16							
23	E 16	B 16	G	28	34	38	38	39	36	35	32	23	20	16	16	16	20	B 16							
24	E 16	B 16	23	33	36	38	40	34	32	33	28	23	E 16	16	19	18	16	16	B 16						
25	E 16	B 16	24	30	20	34	41	37	40	34	24	24	16	16	16	16	16	32	B 16						
26	E 19	B 16	E 16	B 16	E 16	B 16	E 16	B 16	26	32	34	36	42	G	36	35	30	24	E 16	18	16	16	16	16	B 16
27	E 16	B 16	23	30	34	36	G	G	G	21	22	22	16	16	16	16	16	16	B 16						
28	E 16	B 23	E 16	B 16	E 16	B 16	E 16	B 16	26	35	34	46	36	42	41	54	46	25	16	20	19	16	16	16	B 16
29	E 16	B 22	E 16	B 16	E 16	B 16	E 16	B 16	25	30	34	29	37	28	G	32	24	21	20	20	21	16	16	16	B 16
30	E 16	B 16	25	31	37	37	24	G	36	21	32	28	19	16	20	16	16	16	B 16						
31	E 16	B 16	E 18	B 16	E 53	B 16	E 48	B 16	26	31	38	38	39	G	38	35	30	22	24	18	28	21	16	16	B 16
	00	01	02	03	04	05	06	07	08	09	10	11	12	13	14	15	16	17	18	19	20	21	22	23	
CNT	31	31	31	31	31	31	31	31	31	31	31	30	29	30	29	30	30	30	30	31	31	31	31	31	
MED	E 16	B 16	24	31	34	36	36	37	33	34	30	23	16	16	16	16	16	B 16							
U Q	E 16	B 16	26	32	36	38	39	39	38	35	32	24	20	20	18	16	16	B 16							
L Q	E 16	B 16	G	G	G	G	G	G	G	G	22	16	16	16	16	16	B 16								

DEC. 2022 fbEs (0.1MHz)

NATIONAL INSTITUTE OF INFORMATION AND COMMUNICATIONS TECHNOLOGY, JAPAN

## IONOSPHERIC DATA STATION Okinawa

DEC. 2022 fmin (0.1MHz)

135°E MEAN TIME (G.M.T. + 9 H)

LAT. 26°41.0'N LON. 128°09.0'E SWEEP 1.0MHz TO 30.0MHz IN 15.0SEC IN MANUAL SCALING

H D	00	01	02	03	04	05	06	07	08	09	10	11	12	13	14	15	16	17	18	19	20	21	22	23
1	16	16	16	16	16	16	16	16	16	16	14	14	14	21	20	16	16	16	16	16	16	16	16	16
2	16	16	16	16	16	16	16	16	16	16	17	17	19	20	18	16	17	16	16	16	16	16	16	16
3	16	16	16	16	16	16	16	16	16	16	16	19	19	20	22	16	15	16	16	16	16	16	16	16
4	16	16	16	16	16	16	16	16	16	16	14	19	20	22	20	19	20	16	16	16	16	16	16	16
5	16	16	16	16	16	16	16	16	17	17	19	17	17	21	20	17	17	17	16	16	16	16	16	16
6	16	16	16	16	16	16	16	16	16	14	20	19	23	23	18	20	18	14	16	16	16	16	16	16
7	16	16	16	16	16	16	16	16	17	19	20	19	22	23	18	18	16	16	16	16	16	16	16	16
8	16	16	16	16	16	16	16	16	16	17	17	18	21	20	18	18	16	16	16	16	16	16	16	16
9	16	16	16	16	16	16	16	16	16	16	16	20	22	22	20	18	17	16	16	16	16	16	16	16
10	16	16	16	16	16	16	16	16	16	18	16	21	20	18	18	16	16	16	16	16	16	16	16	16
11	16	16	16	16	16	16	16	16	16	16	17	17	20	20	19	16	16	16	16	16	16	16	16	16
12	17	16	16	16	16	16	16	16	16	18	64	E C	C C	C C	C C	C C	C C	C C	C C	16	16	16	16	16
13	16	16	16	16	16	16	16	16	16	18		C C	17	49	14	16	16	16	16	16	16	16	16	16
14	16	16	16	16	16	16	16	16	16	16	16	17	19	18	18	18	16	16	16	16	16	16	16	16
15	16	16	16	16	16	16	16	16	16	16	16	20	22	22	21	18	18	18	16	16	16	16	16	16
16	16	16	16	16	16	16	16	16	16	16	18	37	25	21	22	22	20	16	16	16	16	16	16	16
17	16	16	16	16	16	16	16	16	16	20	19	21	20	19	20	19	16	16	16	16	16	16	16	16
18	16	16	16	16	16	16	16	16	16	14	13	18	19	17	18	19	16	16	16	16	16	16	16	16
19	16	16	16	16	16	16	16	16	16	16	15	15	20	20	20	20	17	16	16	16	16	16	16	16
20	16	16	16	16	16	16	16	16	16	16	16	15	21	21	20	19	20	16	16	16	16	16	16	16
21	16	16	16	16	16	16	16	16	16	16	18	18	18	18	20	18	16	16	16	16	16	16	16	16
22	16	16	16	16	16	16	16	16	16	16	15	17	19	21	22	15	16	16	13	16	16	16	16	16
23	16	16	16	16	16	16	16	16	16	16	13	19	18	22	20	18	14	16	16	16	16	16	16	16
24	16	16	16	16	16	16	16	16	16	16	16	16	16	18	18	17	16	16	16	16	16	16	16	16
25	16	16	16	16	16	16	16	16	16	16	16	16	18	19	20	16	17	16	16	16	16	16	16	16
26	16	16	16	16	16	16	16	16	16	16	16	16	19	19	18	20	18	17	17	16	16	16	16	16
27	16	16	16	16	16	16	16	16	16	16	16	18	20	20	20	19	18	16	16	16	16	16	16	16
28	16	16	16	16	16	16	16	16	16	17	16	16	24	24	22	20	22	18	16	16	16	16	16	16
29	16	16	16	16	16	16	16	16	16	20	18	20	21	21	16	20	18	16	16	16	16	16	16	16
30	16	16	16	16	16	16	16	16	16	18	16	18	16	14	19	18	15	16	16	16	16	16	16	16
31	16	16	16	16	16	16	16	16	16	17	17	17	20	19	18	21	16	16	16	16	16	16	16	16
	00	01	02	03	04	05	06	07	08	09	10	11	12	13	14	15	16	17	18	19	20	21	22	23
CNT	31	31	31	31	31	31	31	31	31	31	30	29	30	29	30	30	30	30	30	31	31	31	31	31
MED	16	16	16	16	16	16	16	16	16	16	16	18	20	20	20	18	16	16	16	16	16	16	16	16
U Q	16	16	16	16	16	16	16	16	16	17	18	20	21	21	20	19	17	16	16	16	16	16	16	16
L Q	16	16	16	16	16	16	16	16	16	16	16	17	18	18	18	16	16	16	16	16	16	16	16	16

DEC. 2022 fmin (0.1MHz)

NATIONAL INSTITUTE OF INFORMATION AND COMMUNICATIONS TECHNOLOGY, JAPAN

## IONOSPHERIC DATA STATION Okinawa

DEC. 2022 M(3000)F2 (0.01) 135°E MEAN TIME (G.M.T. + 9 H)

LAT. 26°41.0'N LON. 128°09.0'E pSWEEP 1.0MHz TO 30.0MHz IN 15.0SEC IN MANUAL SCALING

D	H	00	01	02	03	04	05	06	07	08	09	10	11	12	13	14	15	16	17	18	19	20	21	22	23			
1		307	318	288	326	337	277	299	338	359	328	333	354	329	320	318	331	336	370	326	296	318	298	304	339			
2		289	296	337	290	305	288	343	350	353	369	334	349	343	340	325	335	297	329	335	314	313	310	335	301			
3		286	286	304	317	361	292	298	345	351	342	337	365	321	322	330	343	324	342	365	301	311	313	359	298			
4		276	309	333	304	329	275	310	321	330	336	364	368	324	327	318	343	343	357	367	277	308	337	288	294			
5		292	265	286	307	344	285	280	295	302	347	374	353	323	312	312	329	330	358	324	252	306	320	312	271			
6	H	268	272	290	325	350	291	276	285	317	332	359	352	305	334	291	326	342	330	354	294	339	334	336	341			
7		269	284	324	329	339	352	300	335	356	367	350	333	308	327	339	348	345	337	341	332	296	312	306	287			
8		263	295	304	298	271	277	290	285	284	334	329	323	317	324	323	340	330	334	346	325	293	349	344	272			
9	A	293	319	301	348	292	318	350	351	353	347	351	330	326	333	332	337	362	353	345	281	299	327	352				
10		278	284	271	299	302	320	336	370	375	352	346	341	319	319	305	326	323	348	262	295	291	337	280	293			
11		307	320	288	273	285	325	322	344	369	349	353	353	299	315	335	322	332	348	324	317	303	344	324	313			
12		263	282	297	288	312	339	288	331	356	338	345		C	C	C	C	C	C	C	300	316	326	319	265			
13		292	270	274	264	299	309	300	314	349	368		C	C	C	U	C	317	307	314	319	341	333	318	348	347	302	258
14		282	293	274	258	315	335	297	319	367	349	347	294	307	313	311	317	320	340	320	317	330	285	336	283			
15		300	289	302	318	306	285	295	303	352	379	337	325	295	315	308	303	313	336	318	282	305	325	322	234			
16		266	289	299	323	360	338	309	314	338	357	349	321	316	333	302	317	316	324	347	323	306	300	332	322			
17		296	290	330	346	380	270	281	317	355	342	342	302	301	321	323	290	312	342	345	325	287	311	314	323			
18		303	305	306	322	358	331	298	318	349	363	356	310	323	322	321	313	327	330	330	261	253	325	317	213			
19		292	320	307	296	304	321	301	309	365	344	330	334	341	316	327	320	334	320	323	304	313	327	280	273			
20		297	312	296	322	347	264	285	315	354	346	330	326	326	315	313	310	310	286	297	378	281	317	318	303			
21		293	288	307	303	355	304	289	310	360	354	354	299	321	326	292	320	314	313	319	310	316	326	289	277			
22		261	284	311	329	301	288	316	309	353	333	323	332	312	304	320	299	316	350	359	344	293	319	352	276			
23		279	257	302	322	372	295	275	296	342	360	339	307	331	317	337	321	307	321	344	338	373	308	310	272			
24		262	267	311	356	259	281	283	308	354	358	348	361	342	308	293	321	327	331	339	342	384	298	252	284			
25	F	305	340	303	305	258	271	308	310	342	348	353	330	312	307	305	308	309	345	353	262	307	332	348	309			
26	V	259	277	297	343	341	335	306	314	360	369	356	361	308	305	289	313	316	322	334	333	289	338	310	285			
27		262	265	272	297	331	300	297	304	306	335	355	315	298	314	303	308	307	317	324	313	318	314	316	238			
28		291	321	302	269	289	284	274	288	342	360	328	343	309	317	311	317	296	292	323	324	303	313	335	315			
29		321	290	314	292	282	308	327	314	358	361	355	328	308	281	302	312	312	329	341	349	326	314	318	303			
30		273	290	337	341	358	264	248	295	377	341	337	334	292	300	295	317	313	313	331	331	303	300	301	305	252		
31	A	221	258	340	359	240	288	355	331	351	353	337	276	305	324	317	323	338	356	300	312	318	343					
		00	01	02	03	04	05	06	07	08	09	10	11	12	13	14	15	16	17	18	19	20	21	22	23			
CNT		30	31	31	31	30	31	30	31	31	31	30	29	30	29	30	30	30	30	30	31	31	31	31	31			
MED		284	289	303	307	330	292	298	314	353	349	347	334	317	317	312	320	318	332	334	317	306	317	318	287			
U Q		296	305	314	326	350	321	309	331	359	360	354	353	326	325	323	329	330	345	346	333	318	332	335	313			
L Q		266	277	290	296	301	277	285	303	342	338	337	322	308	310	303	313	312	322	324	296	293	310	305	272			

DEC. 2022 M(3000)F2 (0.01)

NATIONAL INSTITUTE OF INFORMATION AND COMMUNICATIONS TECHNOLOGY, JAPAN

## IONOSPHERIC DATA STATION Okinawa

DEC. 2022 M(3000)F1 (0.01) 135°E MEAN TIME (G.M.T. + 9 H)

LAT. 26°41.0'N LON. 128°09.0'E OSWEEP 1.0MHz TO 30.0MHz IN 15.0SEC IN MANUAL SCALING

H D	00	01	02	03	04	05	06	07	08	09	10	11	12	13	14	15	16	17	18	19	20	21	22	23		
1											L 357	L 384	L 368	L 368	L											
2											L 383	L 381	L 387	L 380	L 409	L 400										
3											L L	L 385	L 394	L 373	L 403	L 422										
4											418	L 415	L 412	L 386	L 384	L	L									
5											L 415	L 388	L 388	L 398	L											
6											L L	L L	L L	L L	L 389	L 437	L 389									
7											L 373	L 396	L 391	L 385	L	L	A									
8											L 385	L L	L H	L L	L H											
9											L L	L L	L L	L L	L L	L										
10											L L	L L	L L	L L	L 379	L	L	L	L	L	L	L	L			
11											L L	L U	L 415	L L	L L	L L	L	L	L	L	L	L	L	L		
12											L C	C C	C C	C C	C C	C C	C C	C C	C C	C C	C C	C C	C C	C C		
13											408	L C	C 384	L C	L L	L L										
14											L L	L 417	L L	L L	L L	L										
15											L L	L 413	L 360	L L	L L	L L	L									
16											L L	L 388	L 416	L 405	L	A										
17											L L	L 415	L 358	L 388	L	L	L	L	L	L	L	L	L	L		
18											L U	L 394	L L	L 381	L L	L	L	L	L	L	L	L	L	L		
19											L L	L L	L L	L L	L 381	L										
20											L L	L L	L L	L 386	L L	A										
21											L L	L 380	L L	L L	L L	L	L	L	L	L	L	L	L	L		
22											L 393	L 381	L L	L L	L L	L L	L	L	L	L	L	L	L	L		
23											L L	L 386	L 388	L 376	L 378	L 415	L									
24											L L	L 407	L 404	L 363	L 434	L										
25											L 375	L 410	L L	L 387	L	L	L	L	L	L	L	L	L	L		
26											L L	L L	L 387	L 359	L	L	L	L	L	L	L	L	L	L	L	
27											L L	L 409	L 411	L 367	L	L	L	L	L	L	L	L	L	L	L	
28											A	A 402	L 398	L	A	A	A									
29											L L	L 394	L 415	L 376	L 359	L	L	L	L	L	L	L	L	L	L	
30											L L	L 364	L L	L L	L L	L										
31											L L	L L	L L	L 417	L 361	L	L	L	L	L	L	L	L	L	L	
	00	01	02	03	04	05	06	07	08	09	10	11	12	13	14	15	16	17	18	19	20	21	22	23		
CNT											1	2	5	14	16	20	17	4	2							
MED											418	396	375	395	390	386	381	402	428							
U Q											L 388	L 415	L 412	L 396	L 402	L 409	L									
L Q											365	384	386	376	366	394										

DEC. 2022 M(3000)F1 (0.01)

NATIONAL INSTITUTE OF INFORMATION AND COMMUNICATIONS TECHNOLOGY, JAPAN

## IONOSPHERIC DATA STATION Okinawa

DEC. 2022 h'F2 (KM)

135°E MEAN TIME (G.M.T. + 9 H)

LAT. 26°41.0'N LON. 128°09.0'E 0 SWEEP 1.0 MHz TO 30.0 MHz IN 15.0 SEC IN MANUAL SCALING

H D	00	01	02	03	04	05	06	07	08	09	10	11	12	13	14	15	16	17	18	19	20	21	22	23	
1										262	226	266	260	278	252										
2										228	250	238	246	242	238	224									
3										252	220	236	248	262	264	228	208								
4										224	254	232	216	244	250	244	238	222							
5										244		224	276	250	230	222	228								
6										244	224	220	258	232	214	232									
7										242	242	230	246	244	234	216	220								
8										260	228	226	256	244	236										
9										232	222	242	252	232	236	236									
10										238	240	252	268	246	252	234									
11										222	232	244	226	262	246	236	224								
12										244	236		C	C	C	C	C	C	C	C					
13										218		262		264	250										
14										226	224	230	274	258	250										
15										222	248	240	278	276	256	244									
16										234	230		250	258	232	248	224								
17										232	228	230	274	264	242	242	262								
18										222	264	264	262	248	248	242									
19										242	228	260	268	248	248										
20										240	238	260	248	252	260	238									
21										232	222	252	260	250	262	264									
22										250	240	262	238	240	238	244									
23										244		218	256	232	246	248	224								
24										232	248		224	248	280	254	224								
25										242	242	216	278	272	238	254	242								
26										234	206		236	288	258	236									
27										248	228	226	244	266	274	262	250								
28										220	234	274	246	254	234										
29										226	236	234	246	276	278	256	250								
30										214	254	250	272	284	248										
31										242	250	228	224	226	298	254	226								
	00	01	02	03	04	05	06	07	08	09	10	11	12	13	14	15	16	17	18	19	20	21	22	23	
CNT										2	21	28	27	29	29	30	28	18							
MED										234	240	232	230	250	258	248	248	234							
U Q										244	242	244	262	267	274	254	244								
L Q										230	223	226	244	244	238	236	224								

DEC. 2022 h'F2 (KM)

NATIONAL INSTITUTE OF INFORMATION AND COMMUNICATIONS TECHNOLOGY, JAPAN

## IONOSPHERIC DATA STATION Okinawa

DEC. 2022 h'F (KM)

### 135°E MEAN TIME (G.M.T. + 9 H)

LAT.  $26^{\circ}41.0'N$  LON.  $128^{\circ}09.0'E$  SWEEP 1.0 MHz TO 30.0 MHz IN 15.0 SEC IN MANUAL SCALING

D	H	0	0	0	1	0	2	0	3	0	4	0	5	0	6	0	7	0	8	0	9	1	0	1	1	1	2	1	3	1	4	1	5	1	6	1	7	1	8	1	9	2	0	2	1	2	2	3														
1		2	5	2	2	0	2	6	2	2	5	2	2	1	8	2	8	8	2	8	4	1	8	6	2	1	4	2	2	6	2	1	0	2	1	8	6	2	1	6	2	3	8	2	1	0	2	4	0	2	2											
2		2	1	4	2	6	4	2	1	4	2	5	6	2	6	8	3	0	0	2	2	2	1	8	2	2	4	2	1	4	2	1	0	2	1	2	1	9	8	1	9	8	2	0	8																	
3		2	7	0	3	0	0	2	7	6	2	6	4	2	1	0	2	3	2	2	9	2	2	2	2	2	0	2	2	6	2	0	4	2	2	6	1	8	6	2	1	0	2	0	0	2	0	6														
4		2	5	4	2	5	8	2	3	0	2	5	4	2	2	4	2	3	4	2	2	6	2	4	0	2	0	0	2	2	4	2	0	4	2	2	2	0	4	2	1	4	2	4	0																	
5		2	5	8	2	9	2	2	7	0	2	4	2	2	1	0	2	4	2	2	5	8	2	4	4	2	2	6	2	1	0	1	8	0	2	0	2	2	0	4	1	9	4	1	9	2	0	6														
6		2	3	4	2	5	2	2	0	4	2	2	6	2	1	6	2	2	8	3	3	6	2	6	8	2	3	2	0	8	2	0	8	2	0	2	0	2	1	2	2	1	4	2	1	2	1	0														
7		2	4	6	2	6	6	2	2	6	2	4	2	2	3	0	2	2	4	2	1	4	2	1	6	2	0	8	2	0	0	1	9	4	1	8	6	2	3	2	2	1	0	2	5	0																
8		3	1	0	2	5	0	2	0	8	2	3	0	2	8	4	2	6	8	2	6	8	2	4	4	2	0	0	1	9	0	2	0	2	1	9	6	2	0	6	2	0	0	2	1	8																
9	A		3	0	2	2	5	2	2	4	2	2	2	6	2	3	8	2	2	8	2	1	8	2	0	2	1	8	0	0	1	9	4	2	1	8	2	2	0	1	9	0	2	0	9																	
10		2	6	4	3	1	6	3	1	4	2	8	4	2	4	4	2	4	2	1	8	2	2	0	2	0	2	2	6	2	3	6	2	2	4	2	0	6	1	7	2	1	9	2	1	8	8	1	9	6	1	9	6	2	0	4						
11		2	0	6	2	1	6	2	8	6	3	0	2	2	9	4	2	4	2	4	2	2	0	6	2	0	4	2	0	8	2	1	8	0	0	1	9	2	0	4	2	0	4	1	9	0	1	9	8	2	3	2										
12		3	2	2	3	1	2	3	0	0	3	0	8	2	3	4	1	8	0	2	6	0	2	2	4	2	2	8	2	2	2	2	0	0	1	9	6	1	9	4	2	1	0	2	0	6																
13		2	6	4	2	7	0	2	5	4	2	4	4	2	3	0	2	1	6	2	5	2	2	2	1	9	6	1	7	4	1	7	4	2	3	0	2	1	6	2	2	6	1	9	4	1	9	6	1	9	0	2	4	4								
14		2	5	8	2	5	4	2	8	2	2	9	0	2	5	0	2	1	2	2	6	2	4	6	2	2	0	4	1	9	6	1	9	0	2	0	6	2	0	6	1	9	6	2	2	8																
15		2	4	0	2	4	8	2	5	2	2	4	8	2	4	8	2	3	0	2	1	6	2	0	2	0	4	1	9	0	2	3	6	2	2	6	2	2	8	2	0	8	1	9	4	1	9	4	2	4	8											
16		2	9	8	2	6	2	3	4	2	2	8	2	1	4	2	0	0	2	5	4	2	3	6	2	2	6	2	1	2	2	6	2	0	0	4	2	0	4	2	1	8	2	1	4	2	0	6	2	1	4											
17		2	5	4	2	2	6	2	1	8	1	9	2	3	8	2	9	4	2	4	2	1	8	2	1	8	2	2	0	1	8	6	2	2	6	1	9	4	1	9	2	1	0	2	1	9	8	2	1	6												
18		2	5	8	2	4	8	2	5	0	2	4	2	2	2	5	6	2	4	6	2	2	6	2	1	6	2	1	0	2	0	8	2	3	6	2	1	2	1	0	1	9	2	1	8	6	2	6	6													
19		2	8	6	2	4	4	2	4	0	2	6	6	2	6	4	2	3	6	2	4	2	5	2	2	2	1	2	1	4	1	9	2	2	0	8	2	0	6	2	2	6	2	1	4	2	0	8	2	6												
20		2	5	4	2	2	8	2	4	6	2	4	2	2	8	2	5	8	2	9	8	2	5	8	2	3	2	2	2	1	6	2	1	2	2	0	0	2	2	8	2	1	4	2	5	8																
21		2	6	8	2	7	0	2	8	0	2	5	8	2	2	4	2	4	8	2	1	8	2	2	0	2	1	0	1	9	6	1	9	6	2	0	8	1	8	8	2	1	8	2	0	6	2	9	2													
22		3	2	0	2	9	6	2	5	2	2	4	2	4	6	2	7	8	2	3	0	2	6	4	2	1	4	2	2	0	2	0	6	2	0	4	2	0	6	2	6	0	E	A																		
23		2	9	6	3	3	8	2	6	2	2	0	2	0	4	2	7	2	3	0	2	7	0	2	3	0	2	2	8	2	1	0	1	9	2	0	8	3	5	2																						
24		3	5	0	3	4	8	2	5	6	1	9	6	3	9	2	3	0	6	2	8	2	2	6	2	3	6	2	2	6	2	1	0	1	9	0	2	0	6	1	9	4	2	5	2	2	9	8														
25		2	5	2	2	1	2	2	4	4	2	4	6	3	3	8	3	2	6	2	3	0	2	0	8	1	9	2	3	0	2	1	4	2	1	4	2	1	9	8	2	6	4																			
26	E	A	3	1	4	3	0	4	2	9	0	2	2	6	2	2	4	2	2	3	2	1	6	2	2	0	1	9	6	1	9	6	2	0	8	2	0	6	2	3	4	2	1	0	1	9	4															
27		2	8	4	3	0	6	2	7	2	2	3	0	2	3	8	2	3	8	2	2	2	1	6	1	9	6	1	8	0	1	9	8	2	0	8	2	2	0	2	0	1	8	6	1	9	6	2	7	6												
28		2	7	4	2	4	2	2	0	2	7	0	2	8	4	2	9	0	2	6	2	3	2	2	1	2	2	0	8	1	9	2	1	2	3	0	A	A	2	1	4	2	0	6	2	1	2	2	1	0	1	9	8	2	3	6						
29		2	2	8	3	0	4	2	3	8	2	7	6	2	7	4	2	4	0	2	1	6	2	5	2	2	4	2	1	8	4	1	7	8	2	0	6	1	9	4	2	2	0	4	1	8	8	2	0	4	2	0	8	1	9	6						
30		2	8	8	2	7	0	2	0	8	2	1	4	2	1	0	3	1	3	8	2	4	1	2	7	2	2	0	2	0	4	1	9	6	1	9	6	2	0	4	2	2	1	8	8	2	1	6														
31		3	3	4	3	0	0	2	1	2	2	0	8	A	4	8	4	2	6	2	3	0	2	2	4	2	1	4	2	1	8	0	1	8	2	3	2	2	1	2	1	9	8	2	1	6	2	3	6	2	0	6	2	0	4							
		0	0	0	1	0	2	0	3	0	4	0	5	0	6	0	7	0	8	0	9	1	0	1	1	1	2	1	3	1	4	1	5	1	6	1	7	1	8	1	9	2	0	2	1	2	2	3														
CNT		3	0	3	1	3	1	3	1	3	0	3	1	3	1	3	1	3	1	2	9	2	8	3	0	2	9	3	0	2	7	2	7	3	0	3	0	3	1	3	1	3	1	3	1	3	1															
MED		2	6	2	6	5	2	5	2	4	6	2	3	0	2	4	2	5	6	2	4	8	2	2	2	2	0	2	1	0	2	0	3	1	9	5	2	0	4	2	0	8	2	2	0	2	2	2	1	2	1	9	4	2	0	2	2	0	6	2	2	3
U Q		2	9	6	3	0	2	7	6	2	6	4	2	5	0	2	8	4	2	8	8	2	6	2	3	2	2	4	2	1	5	2	1	2	0	6	2	1	3	2	2	3	0	2	2	2	1	9	6	1	9	8	2	0	6							
L Q		2	5	2	4	8	2	2	6	2	2	8	2	1	6	2	3	0	2	3	4	2	3	0	2	1	6	2	1	4	2	0	8	1	9	6	1	8	8	1	9	2	1	9	6	1	9	8	2	0	6											

D E C . 2 0 2 2 h ' F ( K M )

NATIONAL INSTITUTE OF INFORMATION AND COMMUNICATIONS TECHNOLOGY, JAPAN

## IONOSPHERIC DATA STATION Okinawa

DEC. 2022 h'E (KM)

135°E MEAN TIME (G.M.T. + 9 H)

LAT. 26°41.0'N LON. 128°09.0'E SWEEP 1.0MHz TO 30.0MHz IN 15.0SEC IN MANUAL SCALING

H D	00	01	02	03	04	05	06	07	08	09	10	11	12	13	14	15	16	17	18	19	20	21	22	23		
1									B	106	104	100	A	100	A	A	A	104	114	B						
2									B	104	102	102	102	100	100	100	100	106	110	B						
3									B	106	100	100	100	100	A	100	104	100		A	A					
4									B	108	102	102	102		A	A	106	102	100	B						
5									B	110	100	100	100	100	100	100	100	100	100	100	A					
6									B	108	102	102	102	102	100	102	102	102	102	A	B					
7									B	104	104	106	102		A	A	A	A	A	A	A	A				
8									B	108		102	102	102	100	100	100	100	100	98	A					
9									B	102	102	102	102	100	100	100	100	100	100	A	B					
10									B	106	106	104	104	102	102		A	A	98	102	B					
11									B	A		102	102	100	98	98	102	102	102	A	A					
12									B	114	106		C	C	C	C	C	C	C	C	C	C	C			
13									B	104	102		C	C	102	C	C	102	102	110	B					
14									B	104	104	102	102	102	102	102		A	A	A	B					
15									B				A	A	A	A	A	A	A	A	A	A	A			
16									A	102	102	100	B	A	A	100	104	A	102	A						
17									B				A	A		100	100	102	102	106	B					
18									B	106	106	104		A		A	A	102	108	108	B					
19									B				A	A	A	A	102	102	104	A	B					
20									B	108	100		A	A	A	A	A	A	A	A	A	A	A			
21									B	106	102	100	100	100	100	100	100	100	100	A	B					
22									B	100	102		102		A	A	102		102	A	A					
23									B	108	102	102	102	102	102		A	A	A	A	A	A				
24									B	A	104	104	102		A	A	A	A	A	A	A	B				
25									B	A		102	102	A	100	100	102	102	104	A	B					
26									B	104	104	102	102	102	102	102	102	102	104	A	A	B				
27									B		A	A	A		104	104	102	104	100	A	B					
28									B	110	104	104	100		A	A	A	A	A	A	A	B				
29									B	104	102		102	102	A	102	102		A	A	A					
30									B	108	102	100	100	100	100	102	102		104	A	A					
31									B	112	104	102	102	102	102	102	106		A	A	A	A				
	00	01	02	03	04	05	06	07	08	09	10	11	12	13	14	15	16	17	18	19	20	21	22	23		
CNT										28	29	23	21	20	16	20	17	19	10							
MED										106	102	102	102	101	100	102	102	102	104							
U Q										108	104	102	102	102	102	102	102	103	104	110						
L Q										104	102	100	100	100	100	100	100	100	100	100						

DEC. 2022 h'E (KM)

NATIONAL INSTITUTE OF INFORMATION AND COMMUNICATIONS TECHNOLOGY, JAPAN

## IONOSPHERIC DATA STATION Okinawa

DEC. 2022 h'Es (KM)

135°E MEAN TIME (G.M.T. + 9 H)

LAT. 26°41.0'N LON. 128°09.0'E SWEEP 1.0MHz TO 30.0MHz IN 15.0SEC IN MANUAL SCALING

H D	00	01	02	03	04	05	06	07	08	09	10	11	12	13	14	15	16	17	18	19	20	21	22	23	
1	86	90	90	90	90	86	B	90	178	180	106	106	G	102	102	162	148	130	106	92	100	86	82	84	
2	B	94	94	94	88	94	B	88	126	G	174	120	116	G	G	G	178	174	144	118	96	96	96	B	
3	B	B	B	88	86	86	86	86	186	162	136	194	144	92	168	G	92	88	86	88	88	B	B	B	
4	B	B	B	B	B	B	B	G	154	130	104	104	104	100	G	G	G	98	94	94	B	94			
5	B	B	B	B	B	B	B	166	G	G	G	G	114	110	168	158	122	B	B	B	B	B	B		
6	B	B	B	96	94	90	94	B	G	G	G	G	116	G	G	170	172	88	88	B	B	B	112	110	
7	108	B	B	B	B	B	104	B	G	G	162	100	98	94	104	98	94	114	106	98	100	B	B		
8	B	114	B	B	B	132	130	100	174	106	G	G	114	G	G	186	158	160	92	110	96	96	92	102	
9	94	92	96	96	92	104	B	160	132	182	G	G	168	138	138	108	108	98	98	96	110	B	B		
10	B	B	B	90	92	B	B	158	172	148	110	108	104	98	100	G	G	B	B	B	B	B	B	98	
11	86	88	88	86	88	96	100	100	92	174	182	188	G	G	178	112	142	86	86	92	B	86	90	120	
12	116	118	92	86	86	90	B	B	184	152	G	C	C	C	C	C	C	C	94	100	B	B	92		
13	84	84	B	B	90	92	94	82	G	86	C	C	G	C	108	104	110	104	88	84	88	88	B		
14	B	104	108	108	92	90	B	B	G	G	G	148	128	114	104	102	100	100	82	86	88	B	88		
15	104	90	B	B	B	B	B	90	90	108	106	102	102	98	98	94	100	100	98	90	88	B	B	B	
16	B	B	B	B	B	B	B	148	146	G	116	104	102	104	G	G	100	132	98	92	90	B	B	B	
17	B	B	B	92	96	B	B	B	174	104	174	G	G	G	G	G	G	B	B	94	88	B	B		
18	B	B	B	88	B	B	B	154	116	112	98	100	102	98	G	G	G	G	B	94	92	B	B	B	
19	88	88	94	B	B	B	B	G	116	106	100	100	100	G	G	G	100	98	92	100	88	84	92		
20	B	B	118	86	88	88	B	B	G	104	104	104	96	96	94	94	94	96	96	94	94	92	92	88	
21	86	88	B	B	B	B	B	88	176	110	G	G	G	G	G	94	110	88	88	B	B	B	B		
22	B	B	B	B	B	B	B	108	166	172	176	150	126	96	G	164	164	100	86	98	88	B	B	B	
23	B	120	B	B	94	102	92	B	G	116	116	112	106	104	102	100	100	186	98	B	94	92	88		
24	88	92	92	90	90	B	B	B	110	110	106	182	100	102	102	100	96	96	94	94	88	88	90	86	
25	86	86	86	B	B	B	B	90	164	94	96	174	182	192	138	92	92	90	92	90	102	92	B		
26	86	86	86	86	86	86	B	B	128	124	140	142	172	G	G	170	146	140	96	94	116	92	92	92	
27	86	B	B	B	B	104	B	B	196	106	128	96	G	G	G	94	90	90	96	96	96	B	96	96	
28	146	120	124	98	92	88	B	138	166	134	158	116	102	162	90	108	96	96	100	98	98	96	94	94	
29	90	92	90	88	92	88	B	B	146	124	100	96	90	90	G	90	88	88	90	96	92	86	B		
30	B	B	B	B	B	B	B	88	88	96	156	118	106	106	90	88	88	114	110	84	92	88	90	90	
31	108	114	94	90	90	90	88	92	152	150	118	118	114	G	118	106	124	96	96	92	92	92	B	B	
	00	01	02	03	04	05	06	07	08	09	10	11	12	13	14	15	16	17	18	19	20	21	22	23	
CNT	16	17	16	17	20	17	10	13	23	24	24	20	22	20	17	22	26	26	26	25	24	20	15	17	
MED	88	92	92	90	90	90	94	92	158	128	116	108	107	102	102	107	101	100	97	94	93	92	92	92	
U Q	106	114	96	94	92	95	104	104	174	162	144	131	126	116	128	138	142	114	100	98	96	95	96	97	
L Q	86	89	88	87	88	88	88	88	128	113	106	103	100	97	96	100	94	94	90	91	90	88	88	88	

DEC. 2022 h'Es (KM)

NATIONAL INSTITUTE OF INFORMATION AND COMMUNICATIONS TECHNOLOGY, JAPAN

## IONOSPHERIC DATA STATION Okinawa

DEC. 2022 TYPES OF Es

135°E MEAN TIME (G.M.T. + 9 H)

LAT. 26°41.0'N LON. 128°09.0'E SWEEP 1.0MHz TO 30.0MHz IN 15.0SEC IN MANUAL SCALING

H D	00	01	02	03	04	05	06	07	08	09	10	11	12	13	14	15	16	17	18	19	20	21	22	23	
1 4	F 2	F 1	F 2	F 1	F 1		L	H	HC	C	CH		C	C	HC	H	H	C	F	F 7	F 1	F 1	F 1		
2	F 1	F 1	F 2	F 2	F 1		L	C	H	C	C					H	H	H	F 3	F 9	F 1	F 3			
3			F 2	F 2	F 1	F 2	L	H	H	H	H	L	H			L	L	L	F 2	F F					
4								H	H	C	C	C		C					F 1	F 2	F 1		F 1		
5	F 2		F 1				H 1						C	C	HL	HL	H								
6		F 1	F 1		F 2	F 1						C		H	H	L	L					F 1	F 1		
7 1	F 1				F 1		H 1				L	L	L	CL	CL	L	C	FF 21	F 1	F 1					
8	F 1			FF 11	FF 11	C 1	H 1	C 1			C			H	H	H	L	FF 11	F 3	F 3	F 2	F 1			
9 4	F 4	F 2	F 1	F 1	F 1		H 1	H 1	H 11			H	H	HC	HC	C	C	L	F 1	F 3		F 1			
10			F 2	F 1			H 1	H 1	H 1	H 1	H	C	C	L	L								F 1		
11 1	F 1	F 1	F 1	F 1	F 2	F 1	C	L	H	H	H		H		C	HL	L	L	F 1	F 1	F 1	F 1	F 1		
12 1	F 1	F 1	F 1	F 1	F 1		H 1	H 1											FQ 31	FQ 11			F 3		
13 2	F 1			F 1	F 1	F 1		L						C	C	C	C	C	F 1	F 1	F 1	F 1	F 1		
14	F 1	F 1	F 1	F 1	F 1							H 11	C 1	C 1	C 3	C 3	C 5	C 4	F 1	F 1	F 1	F 1	F 1	F 1	
15 2	F 2	F 1					L 1	LH 11	C 1	C 2	C 1	C 1	L 3	L 2	L 4	C	C	C	L 2	F 2	F 2	F 1			
16							H 2	H 2	C 2	C 2	C 1	C 1	C 1			C	H 1	L 2	F 7	F 1					
17		F 1	F 1				H 1	H 1	C 1	C 1	HL 11					C				F 1	F 1				
18			F 1				H 2	H 2	C 2	C 3	C 2	C 2	L 1					F 1	F 1						
19 1	F 1	F 1	F 1						C 1	C 1	C 1	C 2	C 1				C 2	L 1	F 3	F 2	F 4	F 1	F 1		
20		F 1	F 3	F 1	F 1				C 1	C 2	C 2	L 2	L 2	L 2	L 3	L 6	L 2	L 4	F 7	F 2	F 3	F 1	F 2	F 2	
21 4	F 4	F 1		F 2			L 1	H 1	C 1							L 1	C 1	L 1	F						
22							F 1	HC 11	HC 11	HC 11	HC 11	HC 11	CL 2	L 2		H 11	H 11	L 1	F 3						
23	F 1		F 1	F 1	F 1			C 1	C 1	C 2	C 2	C 2	C 2	C 2	C 3	C 11	L 3			F 1	F 2	F 3			
24 3	F 3	F 1	F 1	F 1	F 1			C 1	C 2	C 2	H C 12	C 2	C 1	C 1	C 2	L 3	L 1	L 3	FQ 41	F 6	F 5	F 2	F 2		
25 2	F 2	F 1	F 1					L 2	H 1	L 1	L 1	H 1	H 1	H 1	H 1	L 1	L 2	L 5	F 3		F 2	F 1	F 4		
26 3	F 3	F 1	F 2	F 1	F 2			C 2	CL 11	H 11	H 11	H 1	H 1	H 1	H 1	H 1	H 12	L 21	L 3	FF 24	F 4	F 4	F 1	F 1	
27 1	F 1			F 1				H 1	C 1	CL 11	L					L 1	L 2	L 1	L 1	F 1	F 1	F 1	F 1		
28 1	F 1	F 3	F 1	F 1	F 11	F 11		H 1	H 1	H 11	C 3	C 1	HL 11	L 3	CL 42	L 31	L 1	L 1	F 1	F 2	F 1	F 3	F 3	F 3	
29 3	F 3	F 4	F 3	F 1	F 1			H 1	C 1	C 1	L	L 2	L 1			L 2	L 1	L 2	F 3	F 3	F 3	F 1			
30					F 1	F 1	F 1	L	HC 11	C 1	C 3	C 1	C 1	L		LH 31	L 2	CL 23	C 33	F 2	F 1	F 1	F 1	F 1	
31 1	F 1	F 2	F 1	F 6	F 4	F 5	L	H 2	H 1	C 1	C 1	C 1	C 1	C 11	CH 11	CL 11	L 1	F 3	F 4	F 1					
	00	01	02	03	04	05	06	07	08	09	10	11	12	13	14	15	16	17	18	19	20	21	22	23	
CNT																									
MED																									
U Q																									
L Q																									

DEC. 2022 TYPES OF Es

NATIONAL INSTITUTE OF INFORMATION AND COMMUNICATIONS TECHNOLOGY, JAPAN

**f - PLOTS OF IONOSPHERIC DATA**

KEY OF f - PLOT	
	<b>S P R E A D</b>
◇	<b>f<sub>oF2</sub>, f<sub>oF1</sub>, f<sub>oE</sub></b>
×	<b>f<sub>xF2</sub></b>
*	<b>D O U B T F U L f<sub>oF2</sub>, f<sub>oF1</sub>, f<sub>oE</sub></b>
✗	<b>f<sub>bE</sub>s</b>
L	<b>E S T I M A T E D f<sub>oF1</sub></b>
*, Y	<b>f<sub>min</sub></b>
^	<b>G R E A T E R T H A N</b>
▽	<b>L E S S T H A N</b>

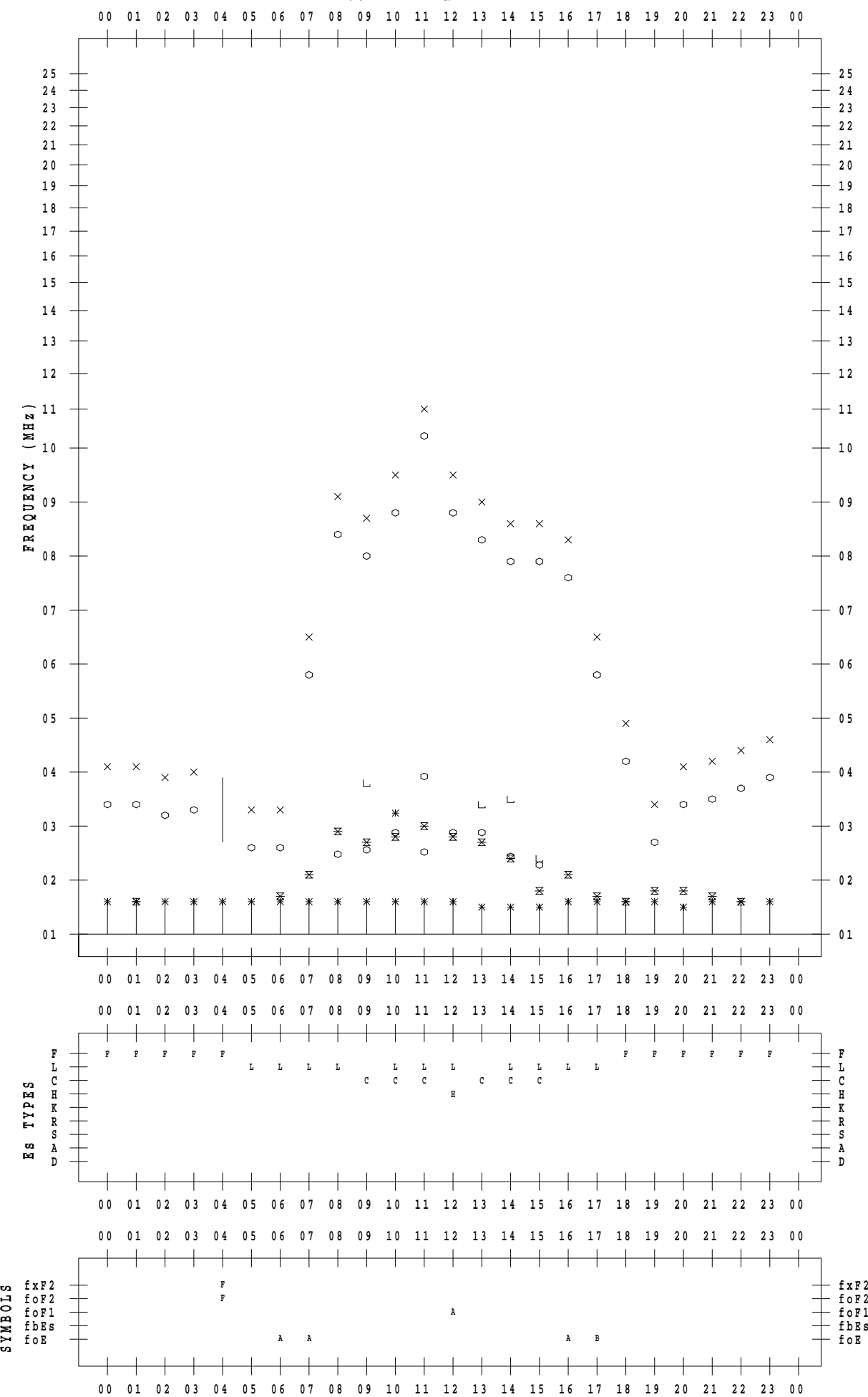
## f - P L O T D A T A

SCALER : K.FUKUSHIMA

STATION : Wakkanai

DATE : 2022/12/1

135 °E MEAN TIME



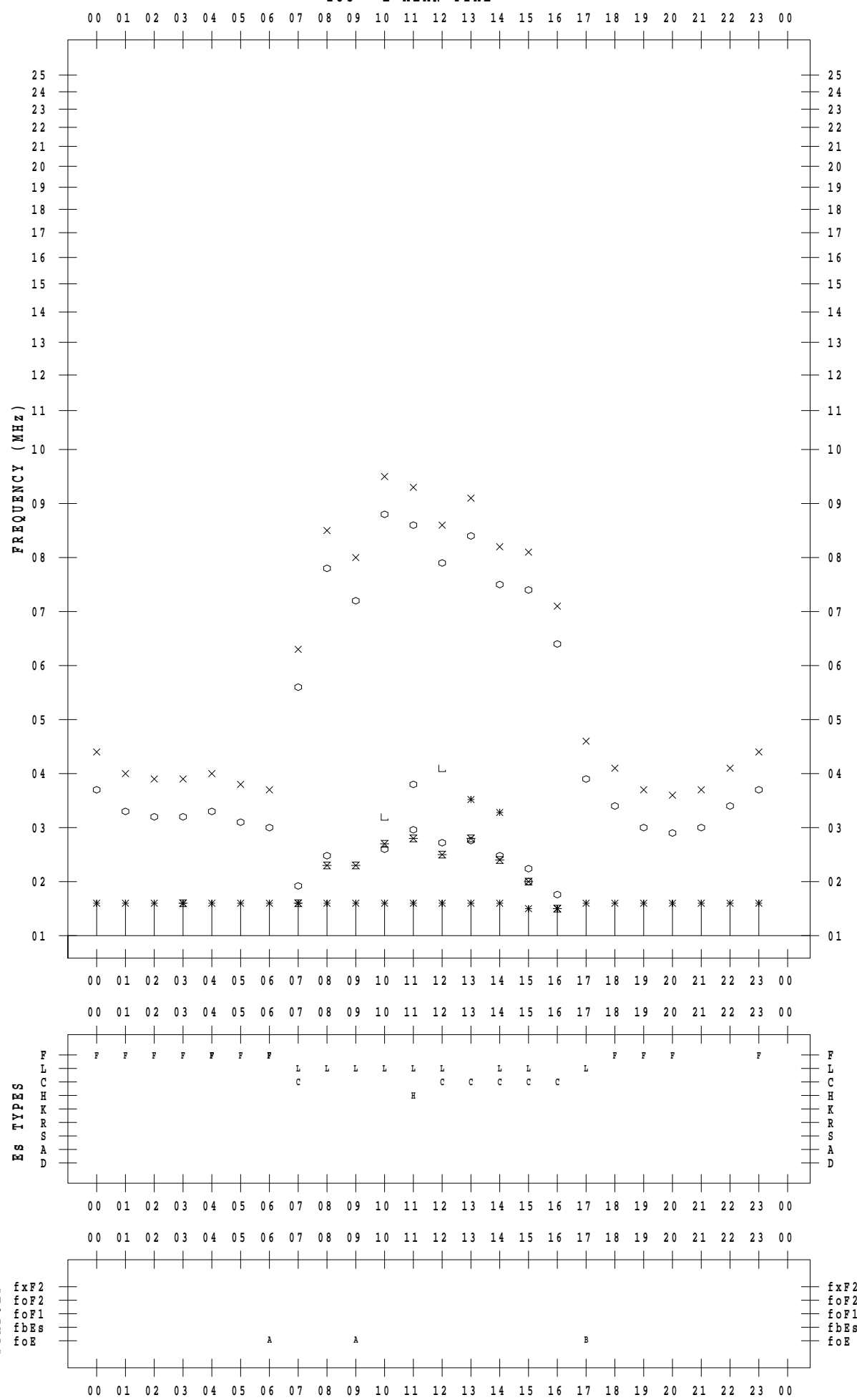
## f - P L O T D A T A

SCALER : K.FUKUSHIMA

STATION : Wakkanai

DATE : 2022/12/2

135 ° E MEAN TIME



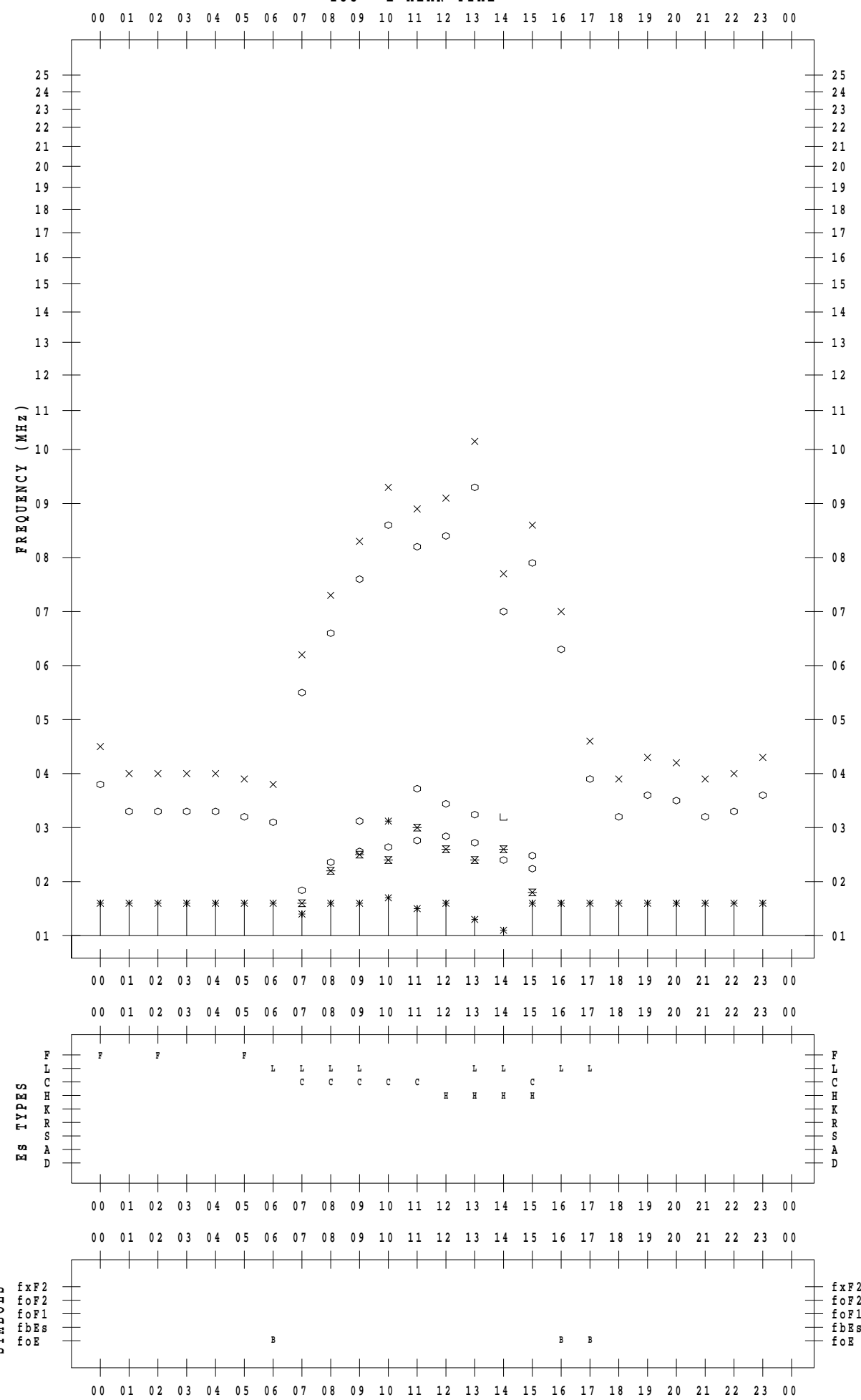
## f - P L O T D A T A

SCALER : K.FUKUSHIMA

STATION : Wakkanai

DATE : 2022/12/3

135 ° E MEAN TIME



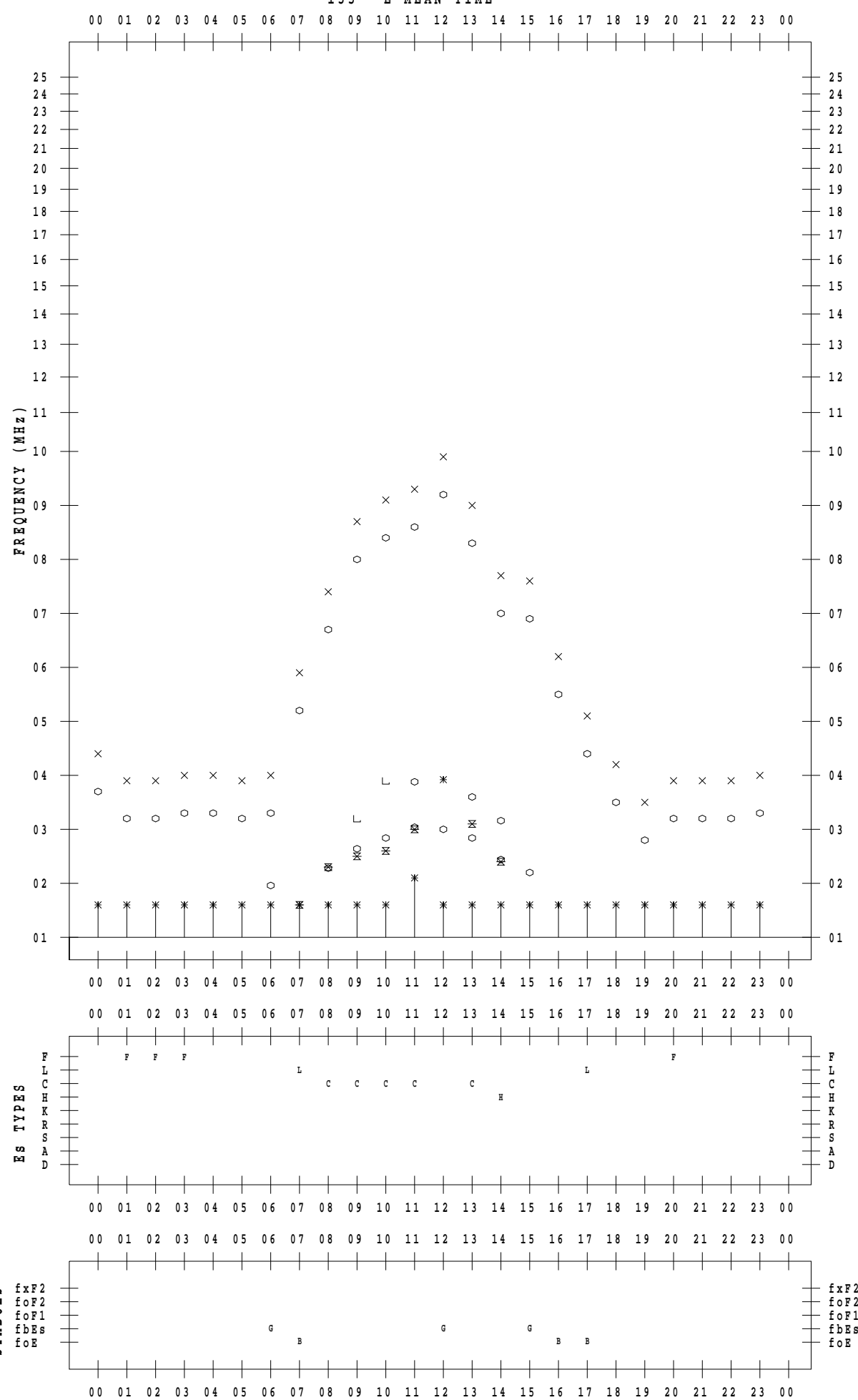
## f - P L O T D A T A

SCALER : K.FUKUSHIMA

STATION : Wakkanai

DATE : 2022 / 12 / 4

135 ° E MEAN TIME



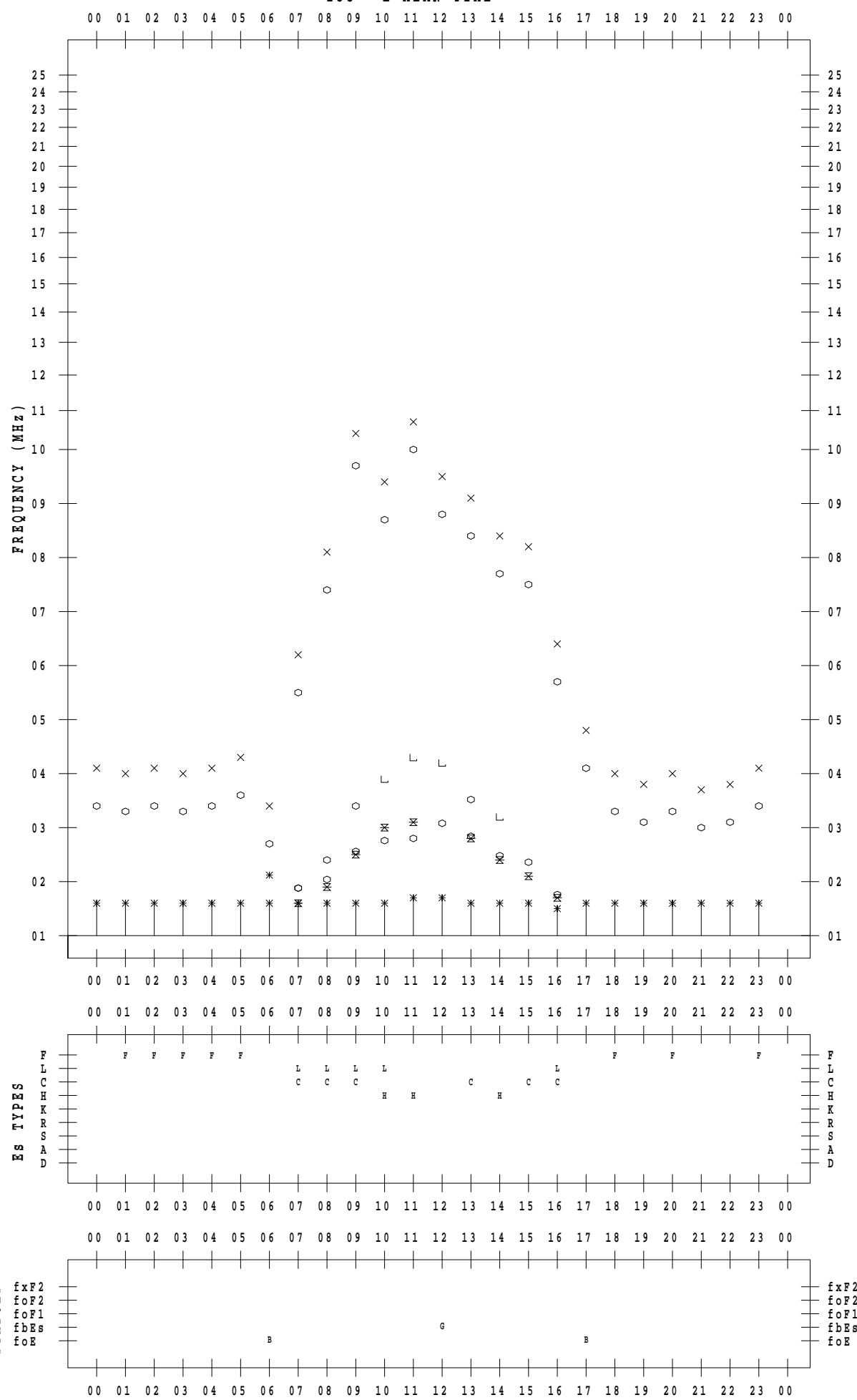
## f - P L O T D A T A

SCALER : K.FUKUSHIMA

STATION : Wakkanai

DATE : 2022/12/5

135 ° E MEAN TIME



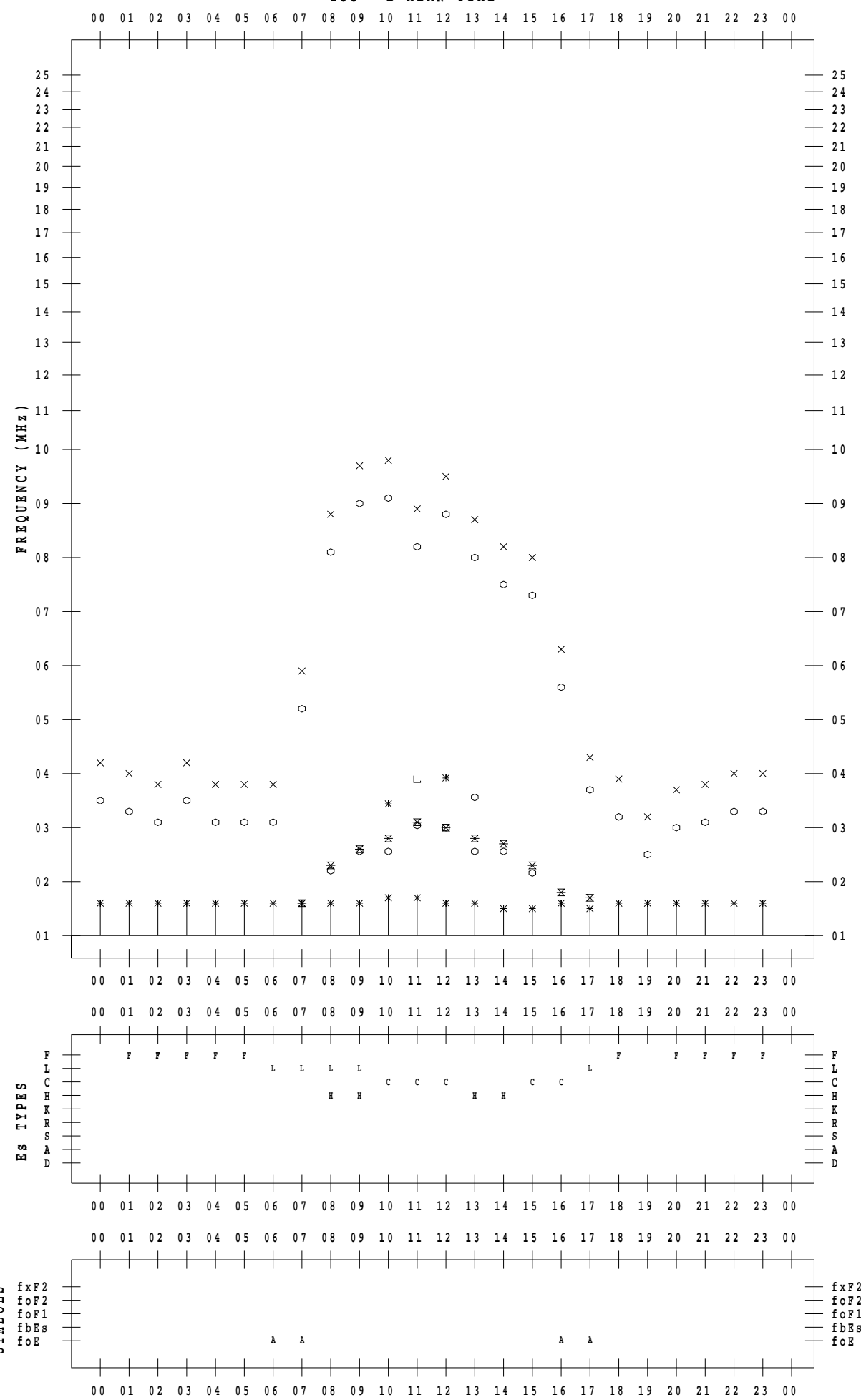
## f - P L O T D A T A

SCALER : K.FUKUSHIMA

STATION : Wakkanai

DATE : 2022/12/6

135 ° E MEAN TIME



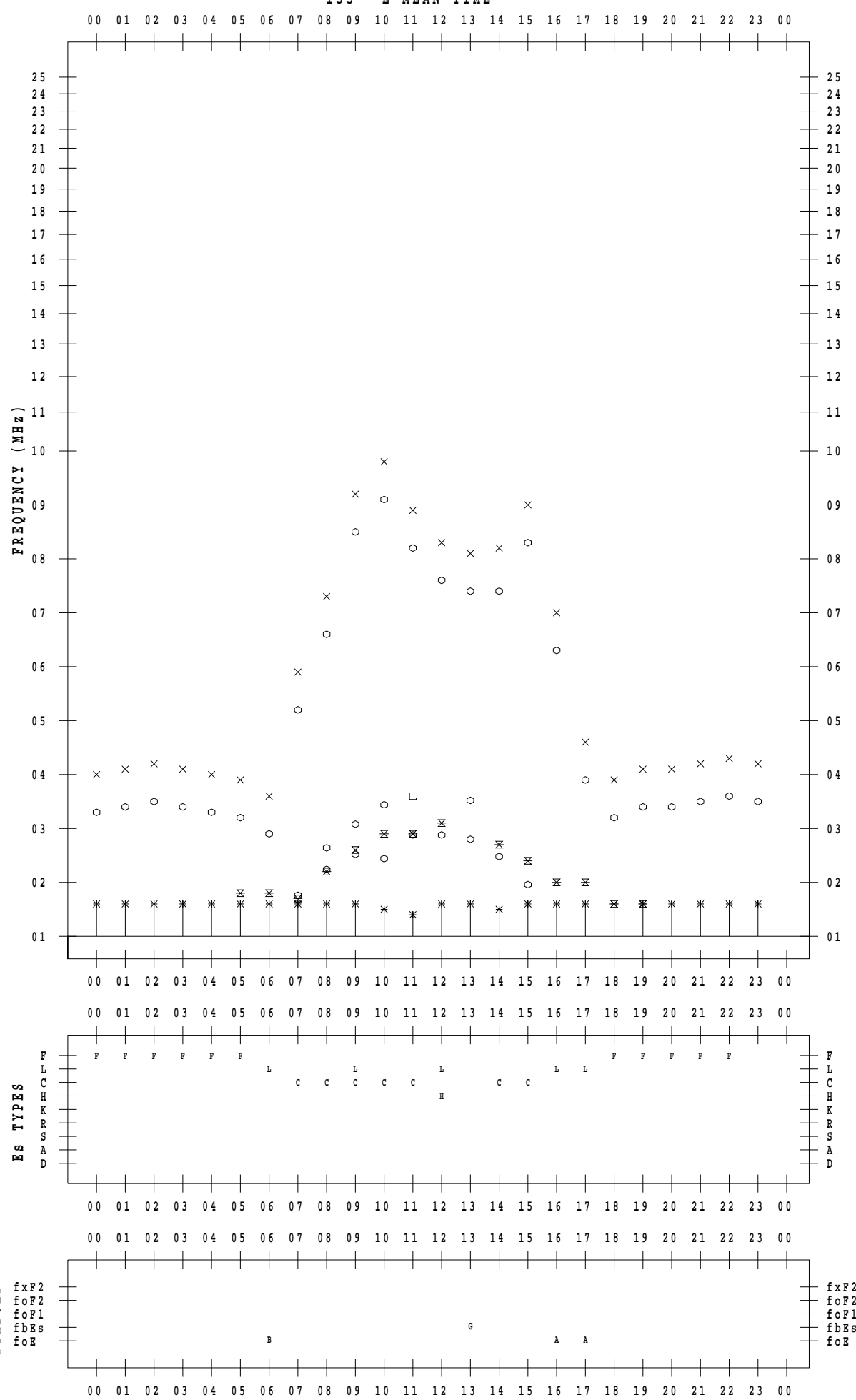
## f - P L O T D A T A

SCALER : K.FUKUSHIMA

STATION : Wakkanai

DATE : 2022/12/7

135 ° E MEAN TIME



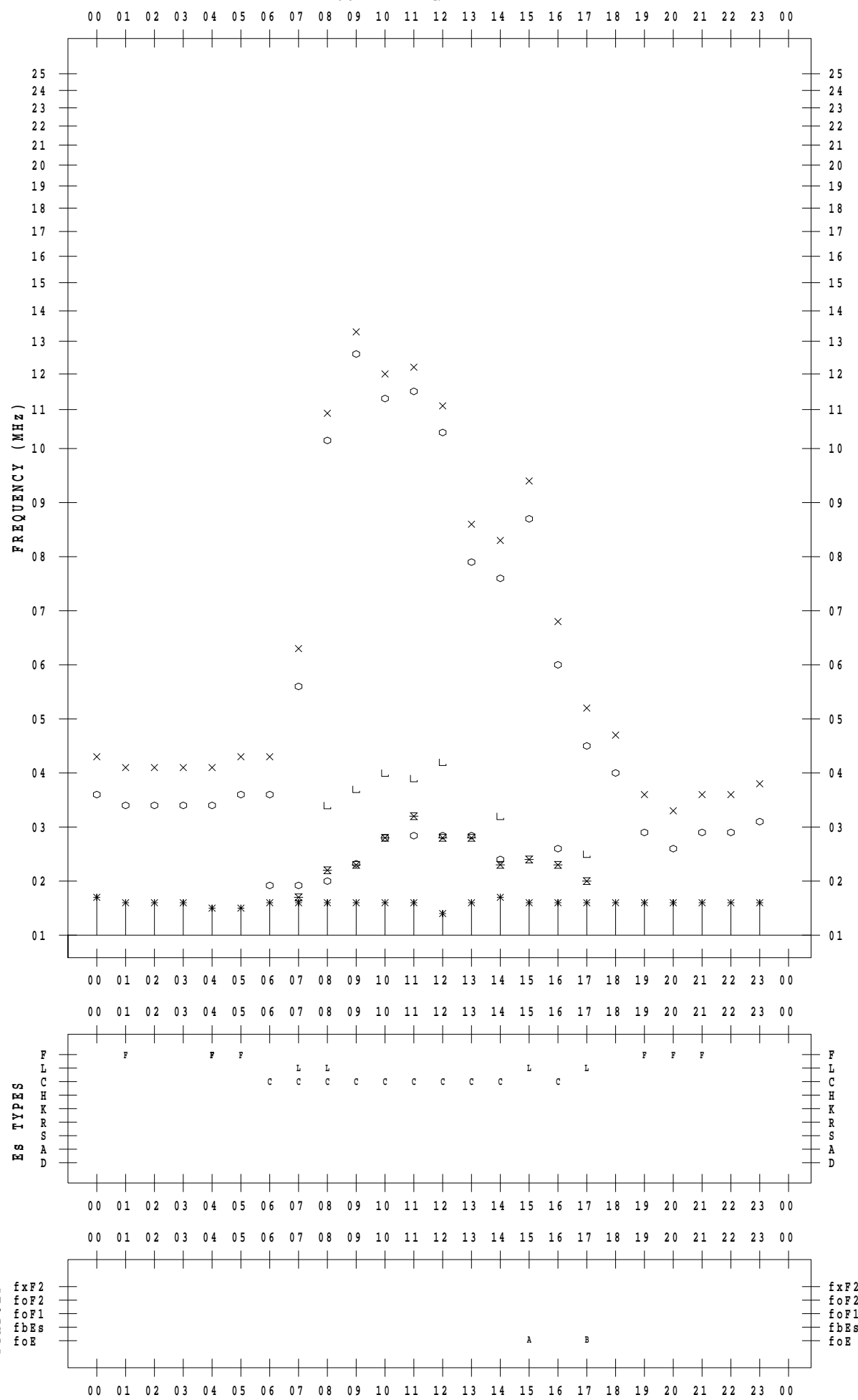
## f - P L O T D A T A

SCALER : K.FUKUSHIMA

STATION : Wakkanai

DATE : 2022/12/8

135 °E MEAN TIME



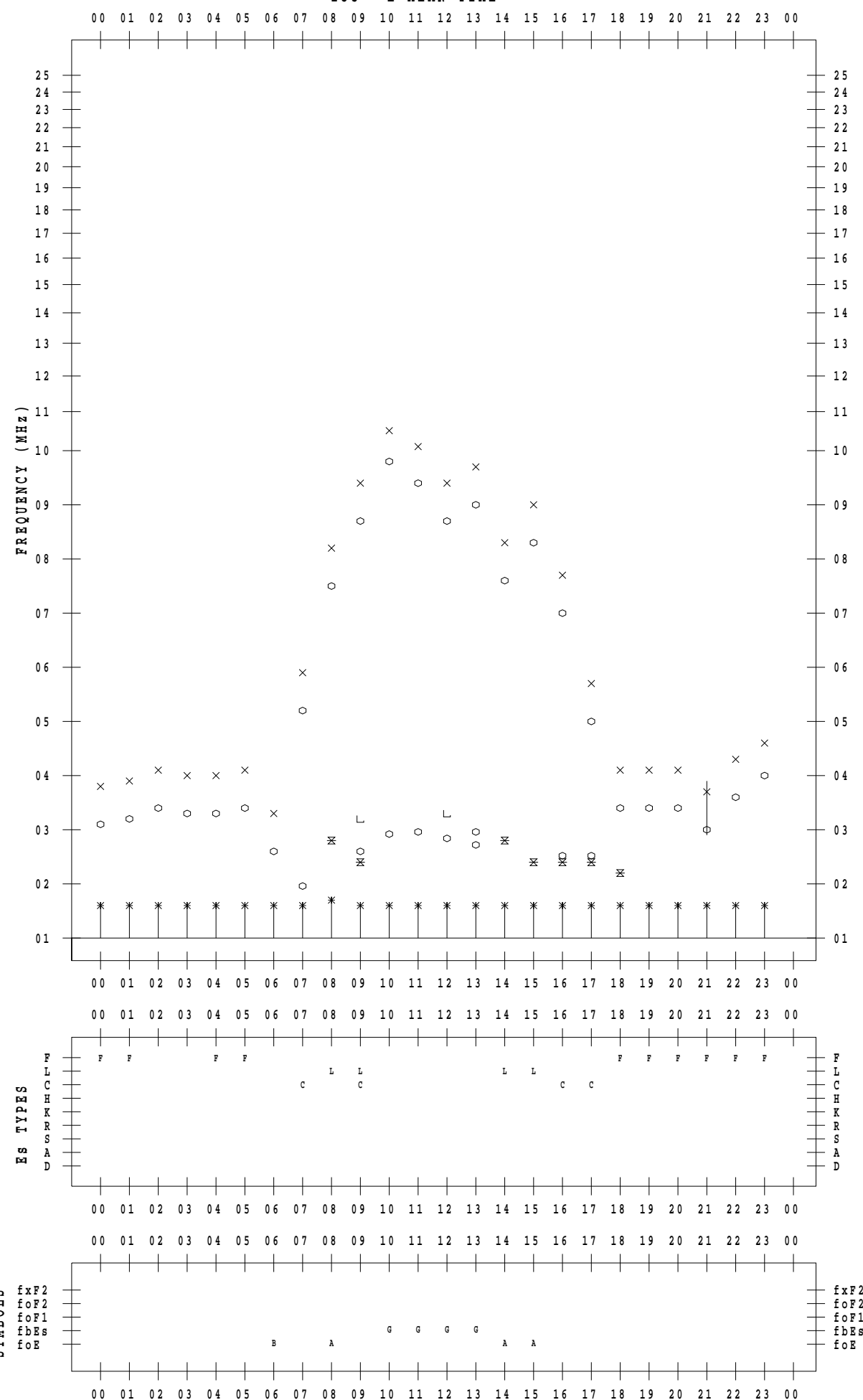
## f - P L O T D A T A

SCALER : K.FUKUSHIMA

STATION : Wakkanai

DATE : 2022/12/9

135 ° E MEAN TIME



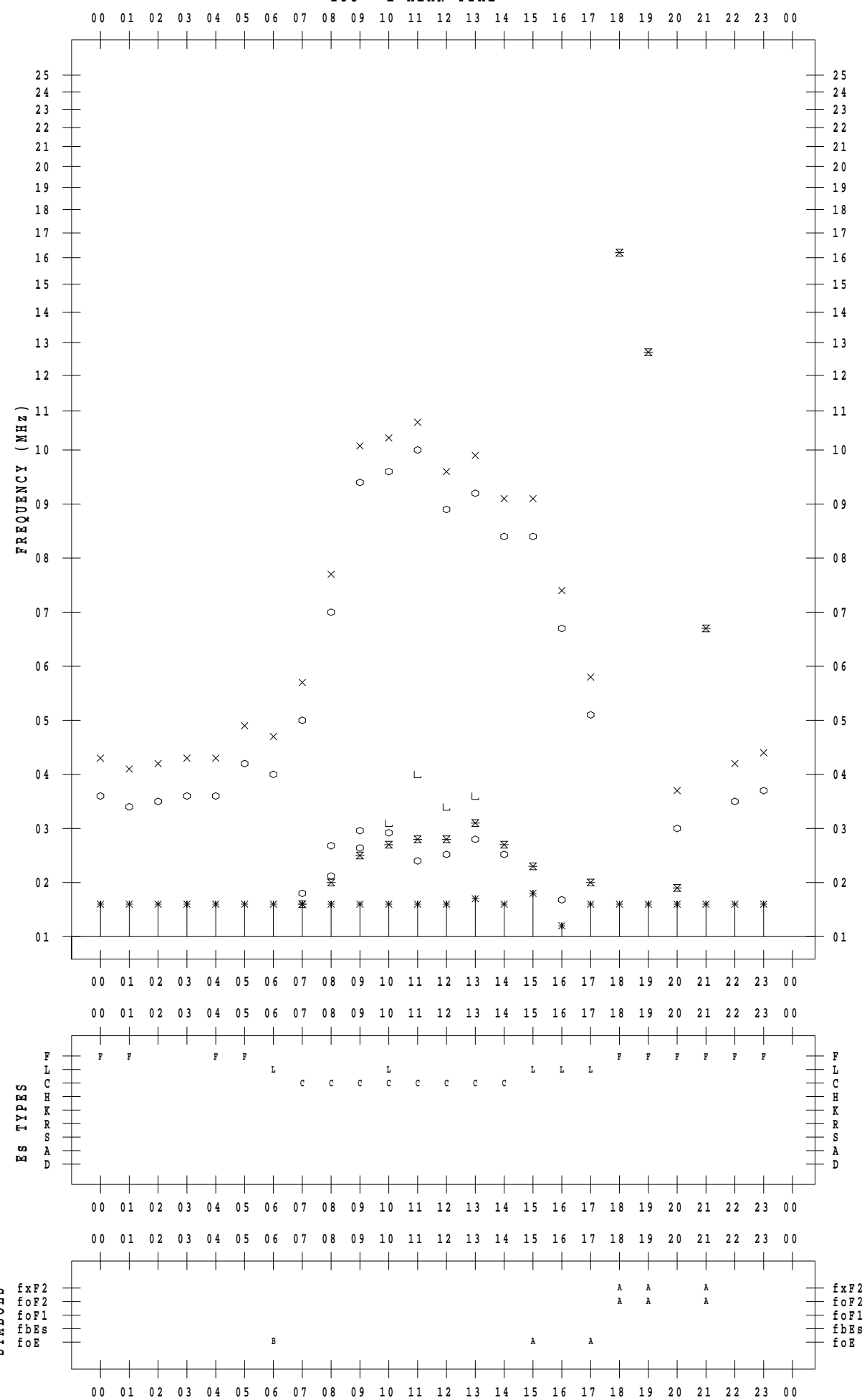
## f - P L O T D A T A

SCALER : K.FUKUSHIMA

STATION : Wakkanai

DATE : 2022/12/10

135 ° E MEAN TIME



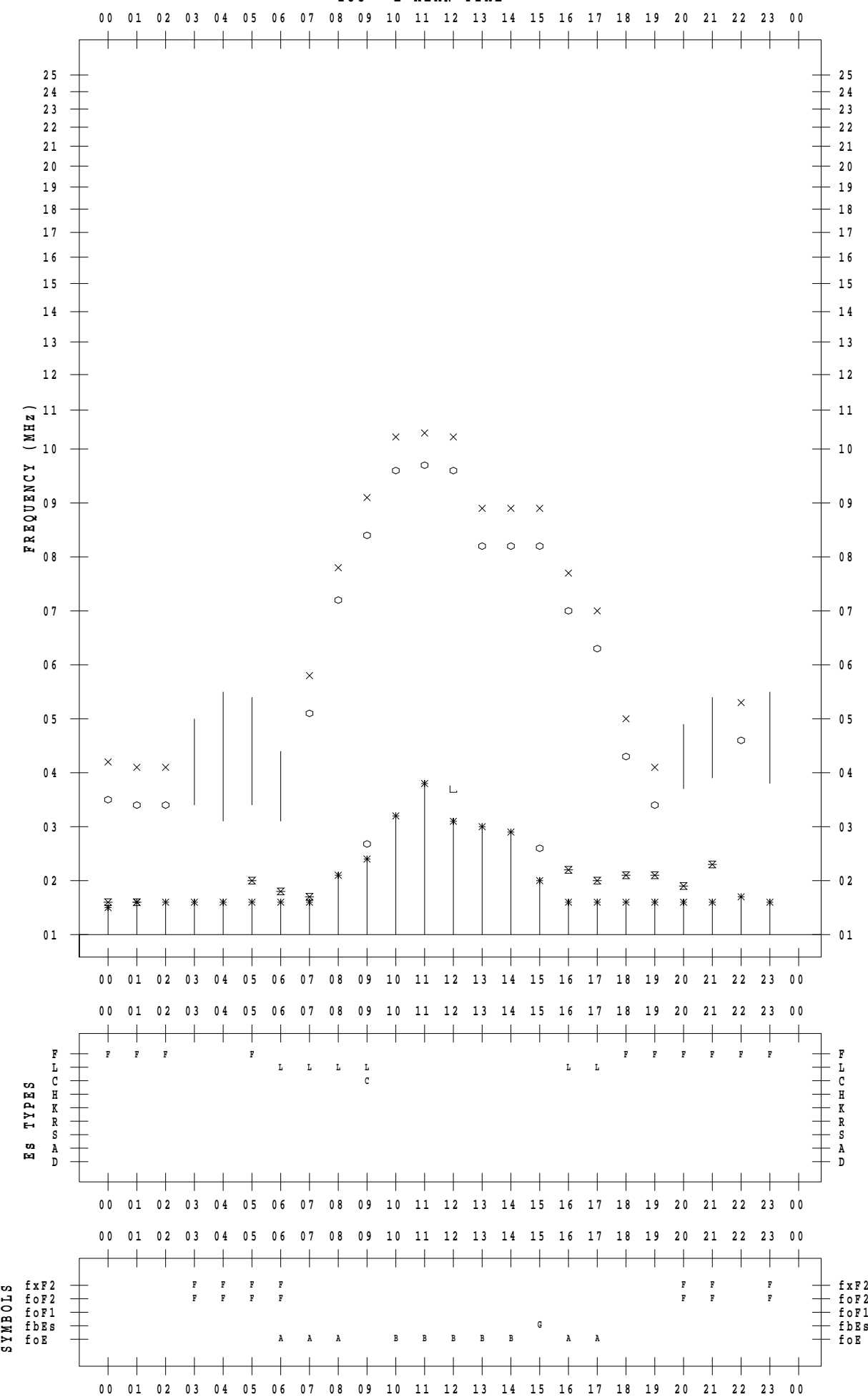
## f - P L O T D A T A

SCALER : K.FUKUSHIMA

STATION : Wakkanai

DATE : 2022/12/11

135 ° E MEAN TIME



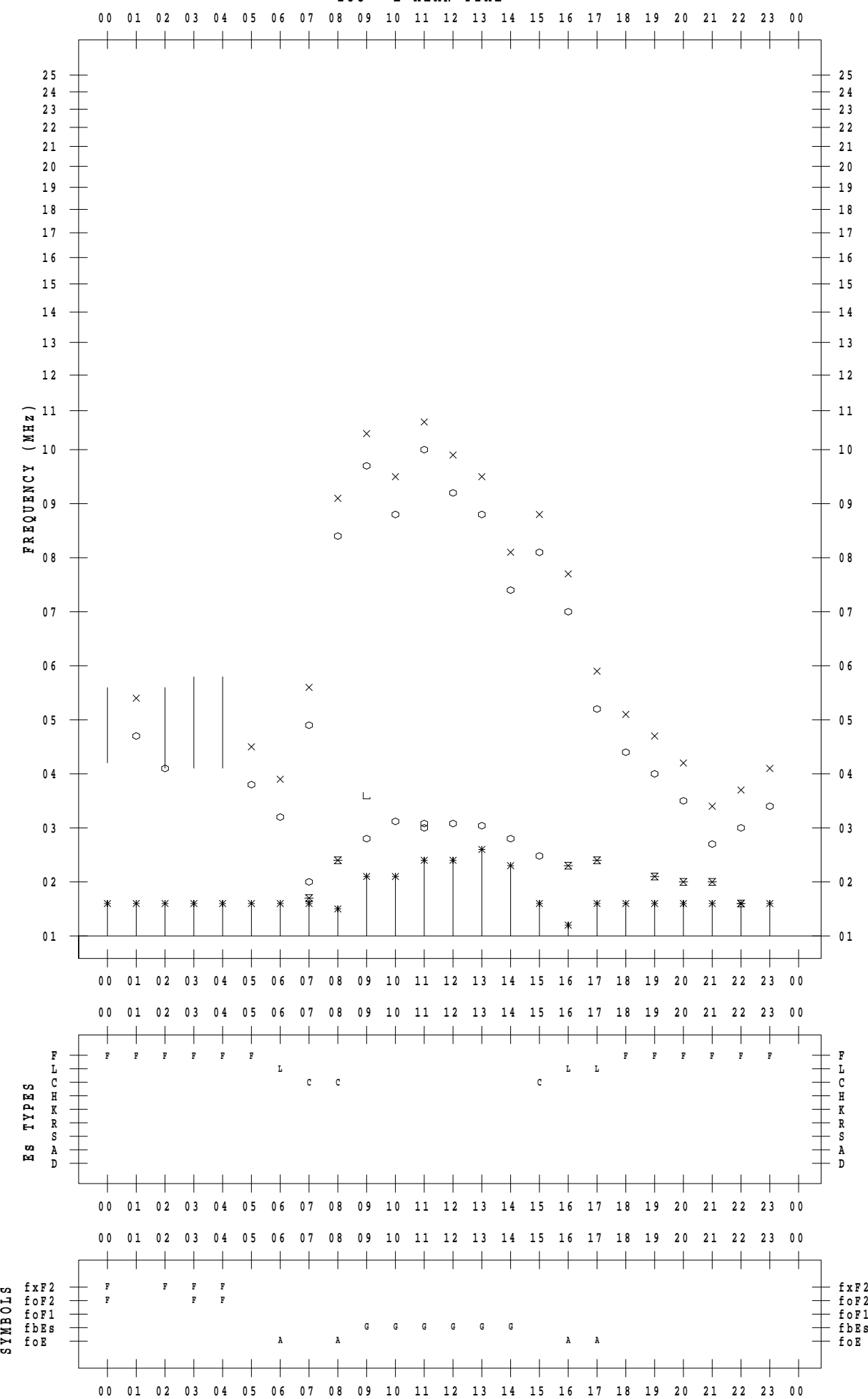
## f - P L O T D A T A

SCALER : K.FUKUSHIMA

STATION : Wakkanai

DATE : 2022/12/12

135 ° E MEAN TIME



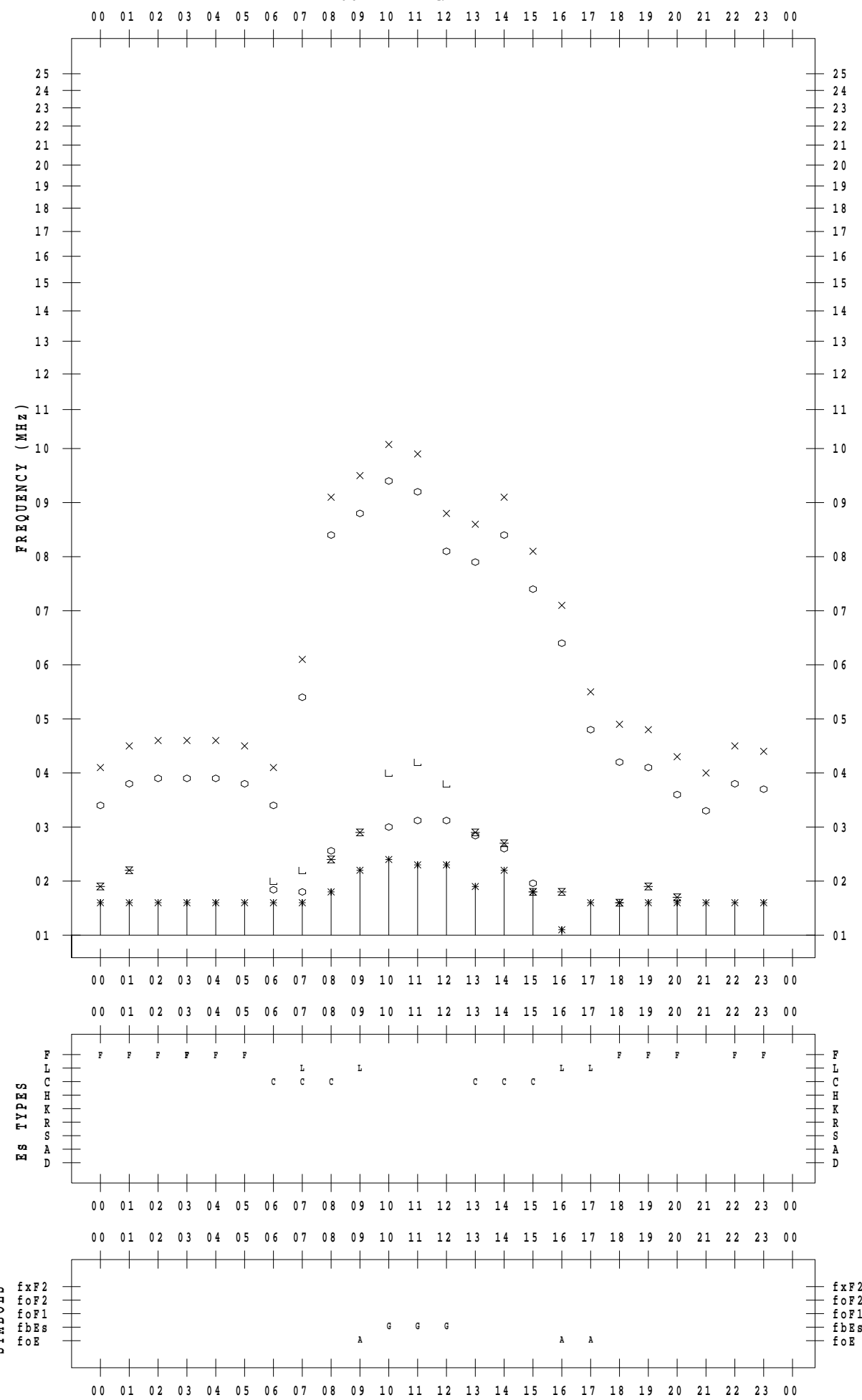
## f - P L O T D A T A

SCALER : K.FUKUSHIMA

STATION : Wakkanai

DATE : 2022/12/13

135 ° E MEAN TIME



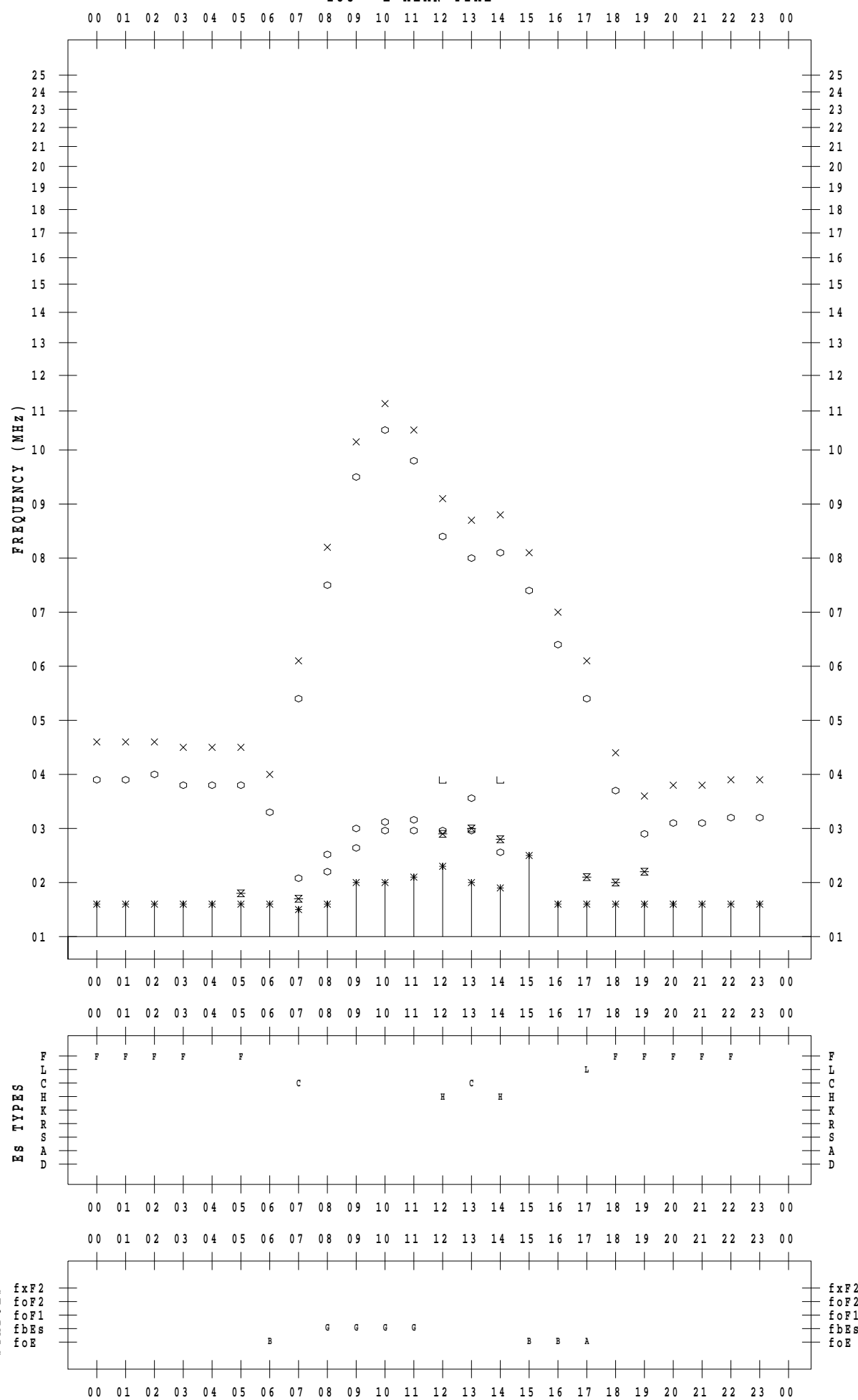
## f - P L O T D A T A

SCALER : K.FUKUSHIMA

STATION : Wakkanai

DATE : 2022/12/14

135 ° E MEAN TIME



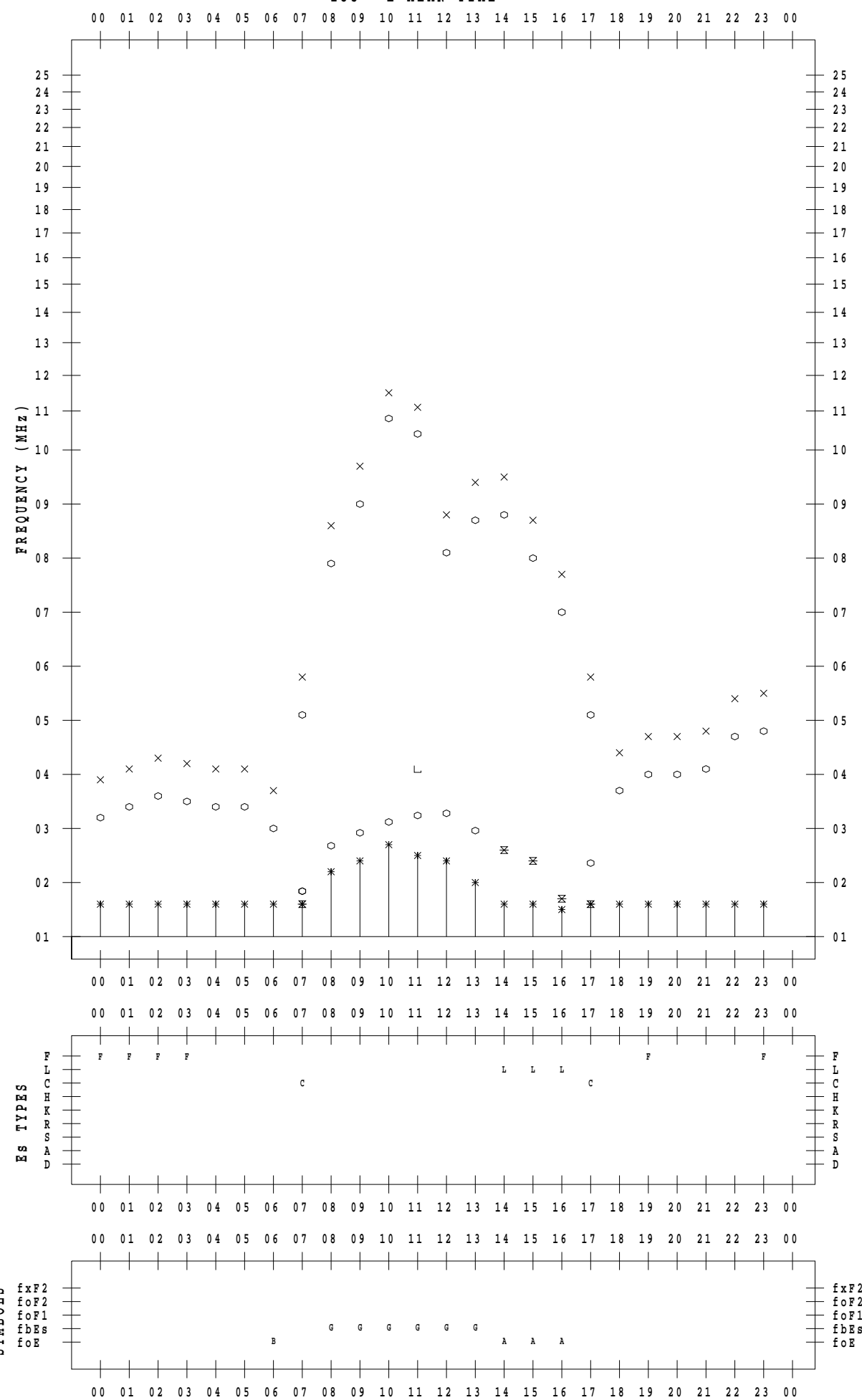
## f - P L O T D A T A

SCALER : K.FUKUSHIMA

STATION : Wakkanai

DATE : 2022/12/15

135 ° E MEAN TIME



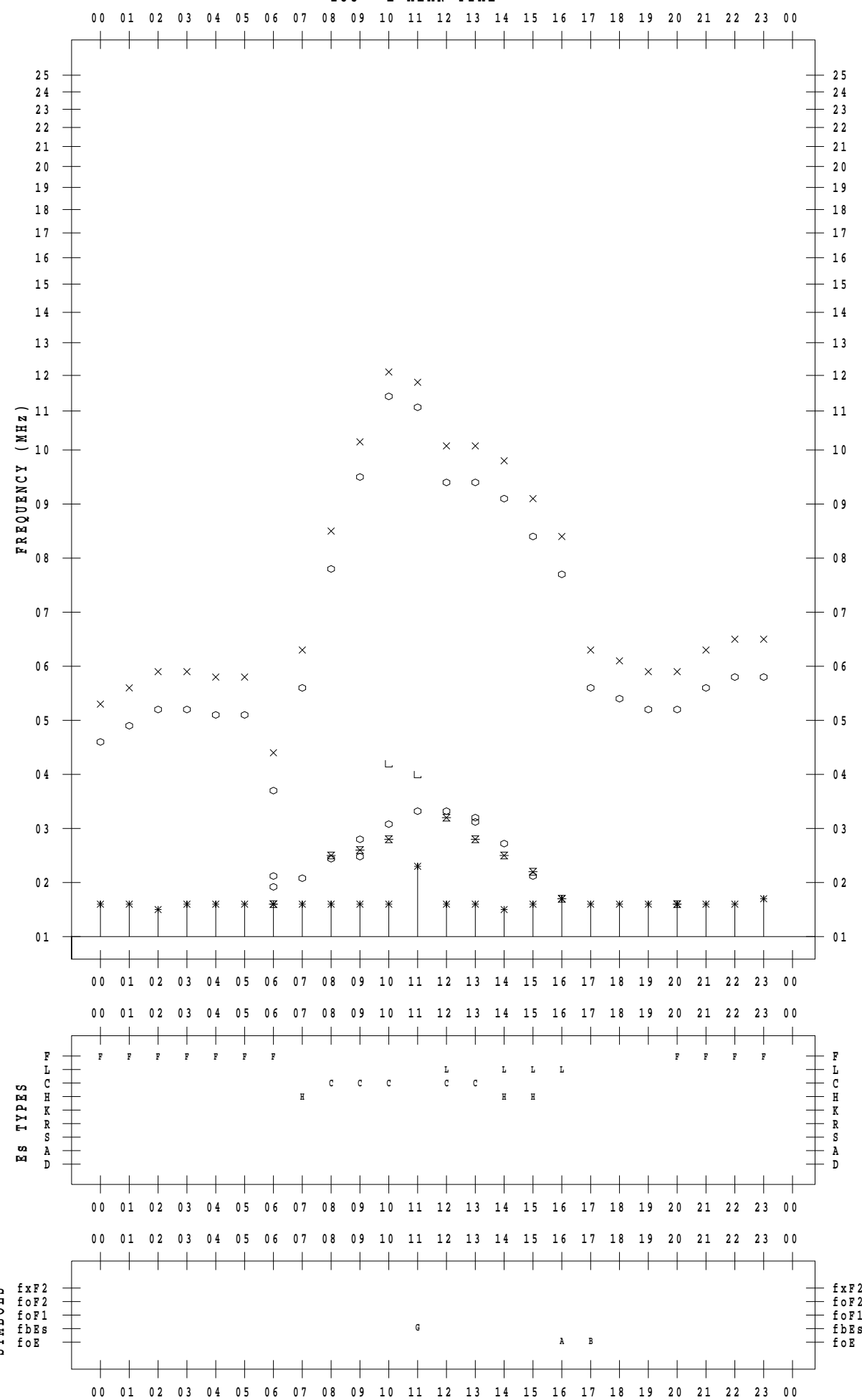
## f - P L O T D A T A

SCALER : K.FUKUSHIMA

STATION : Wakkanai

DATE : 2022/12/16

135 ° E MEAN TIME



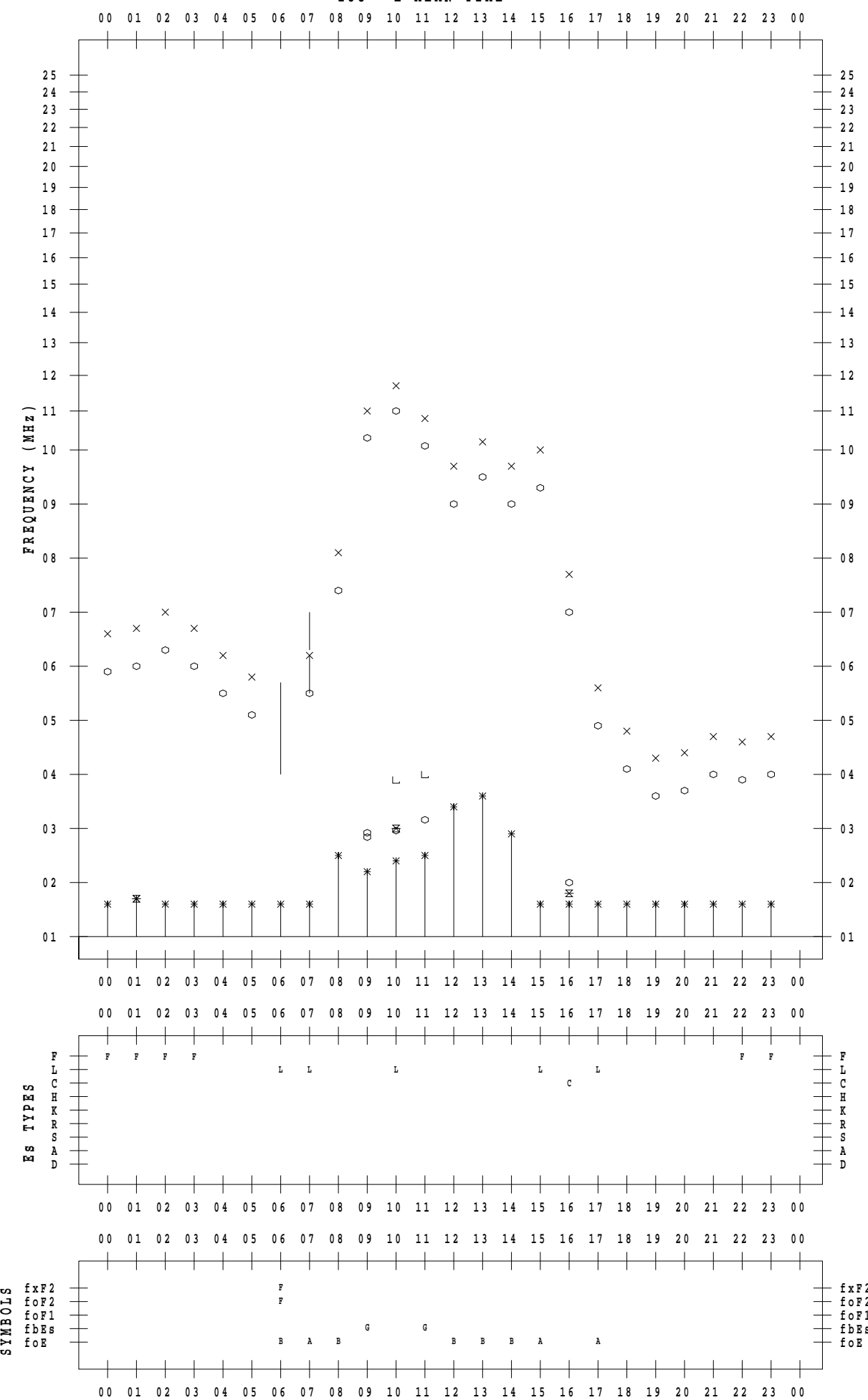
## f - P L O T D A T A

SCALER : K.FUKUSHIMA

STATION : Wakkanai

DATE : 2022/12/17

135 ° E MEAN TIME



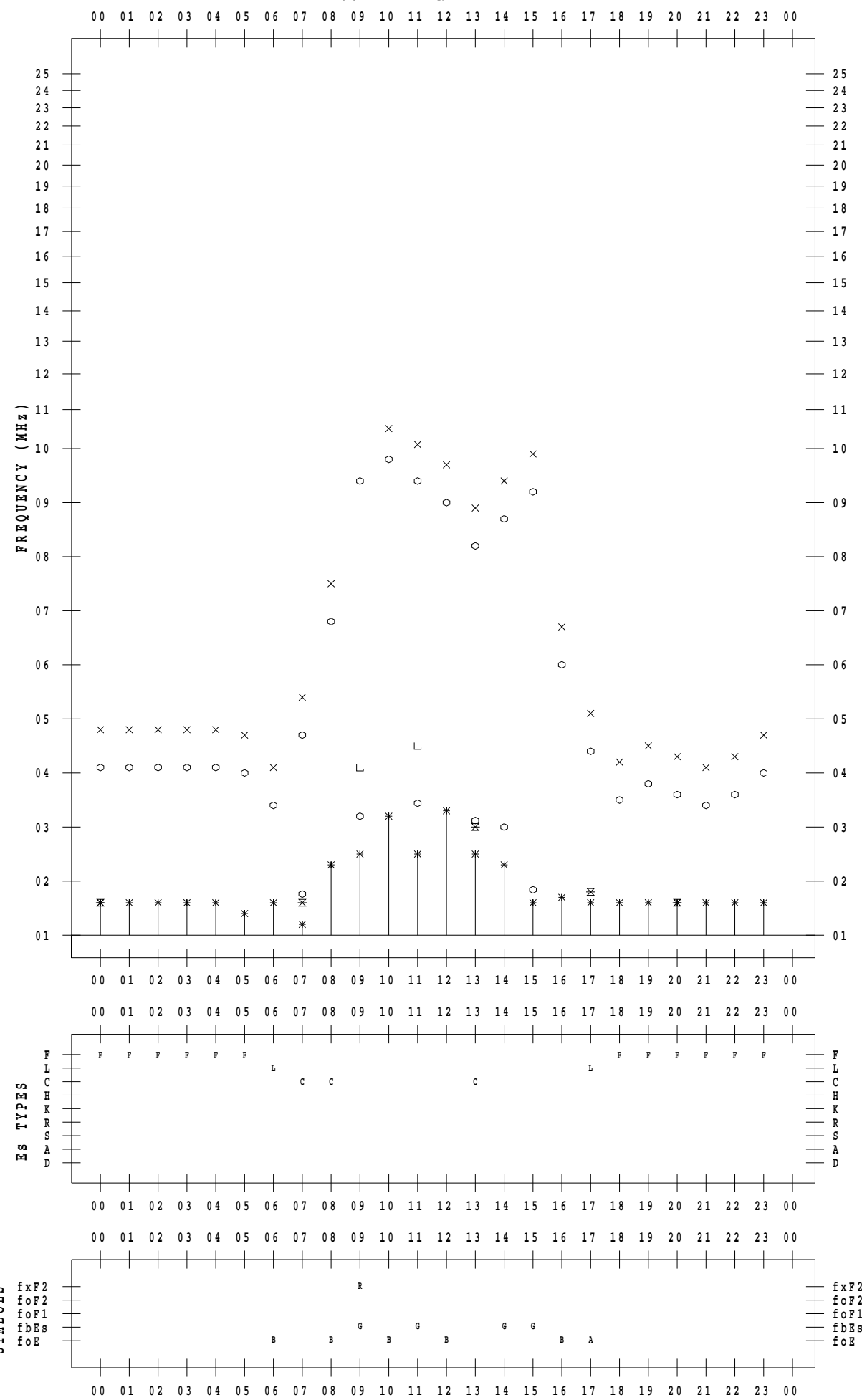
## f - P L O T D A T A

SCALER : K.FUKUSHIMA

STATION : Wakkanai

DATE : 2022/12/18

135 ° E MEAN TIME



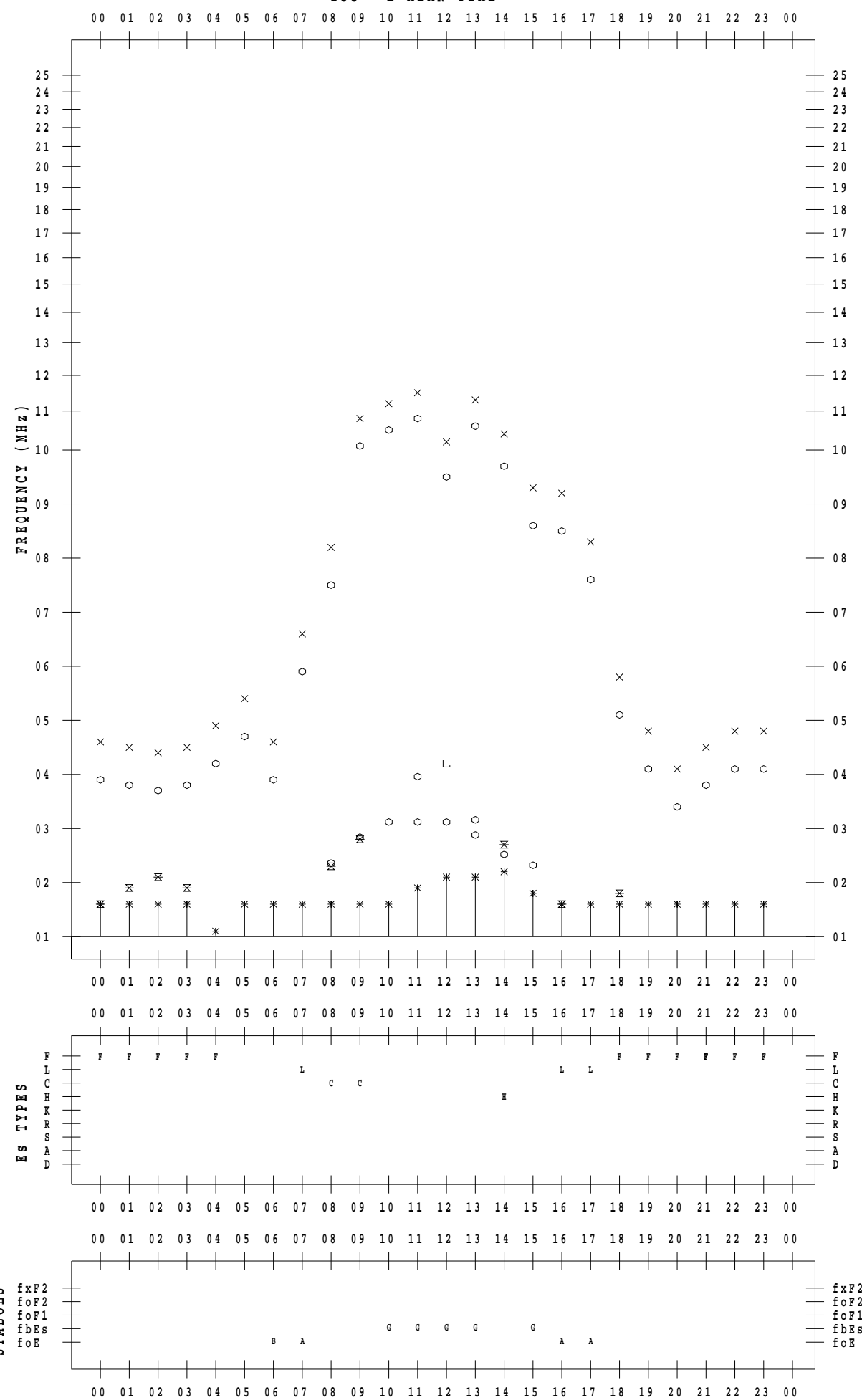
## f - P L O T D A T A

SCALER : K.FUKUSHIMA

STATION : Wakkanai

DATE : 2022/12/19

135 ° E MEAN TIME



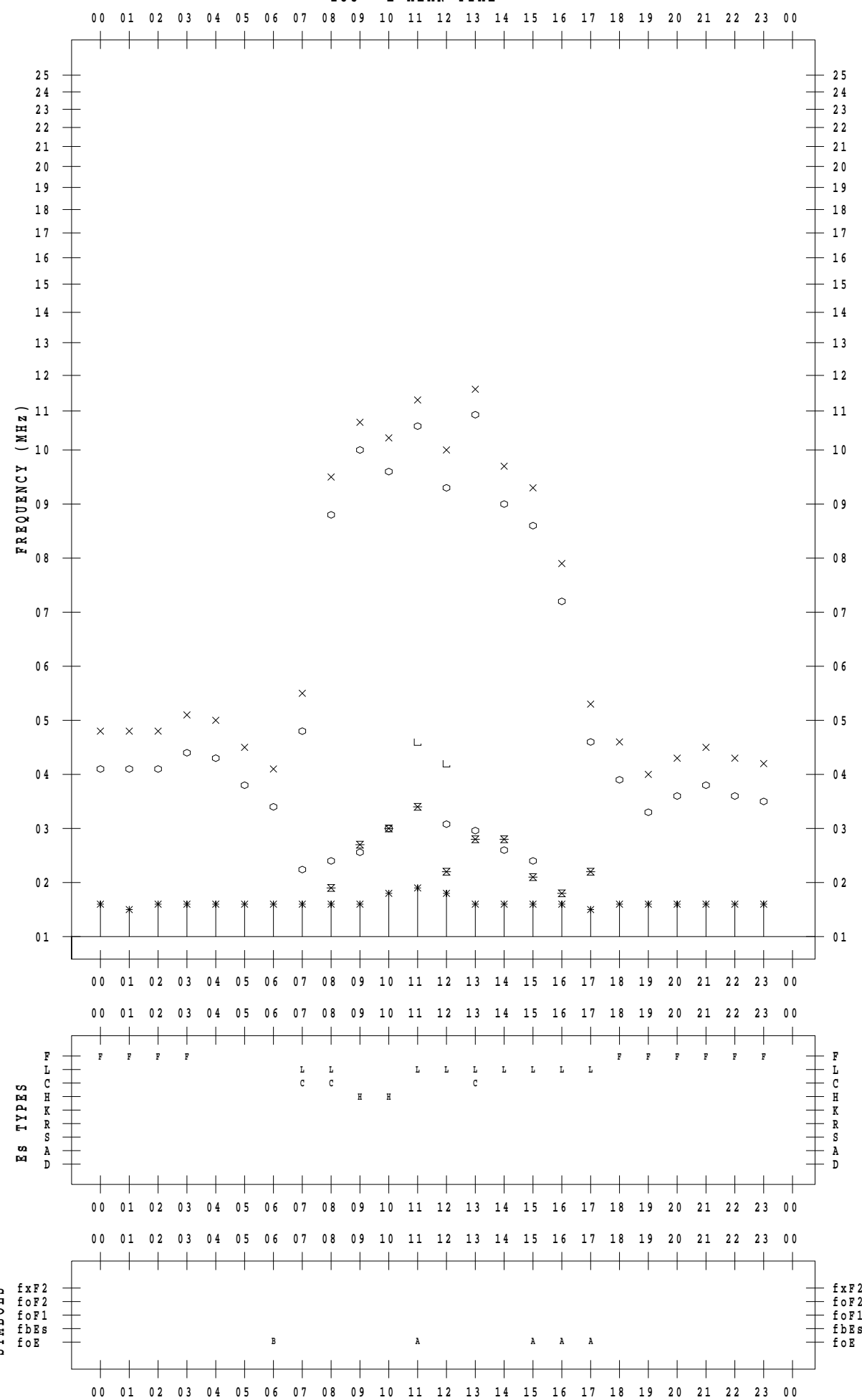
## f - P L O T D A T A

SCALER : K.FUKUSHIMA

STATION : Wakkanai

DATE : 2022/12/20

135 ° E MEAN TIME



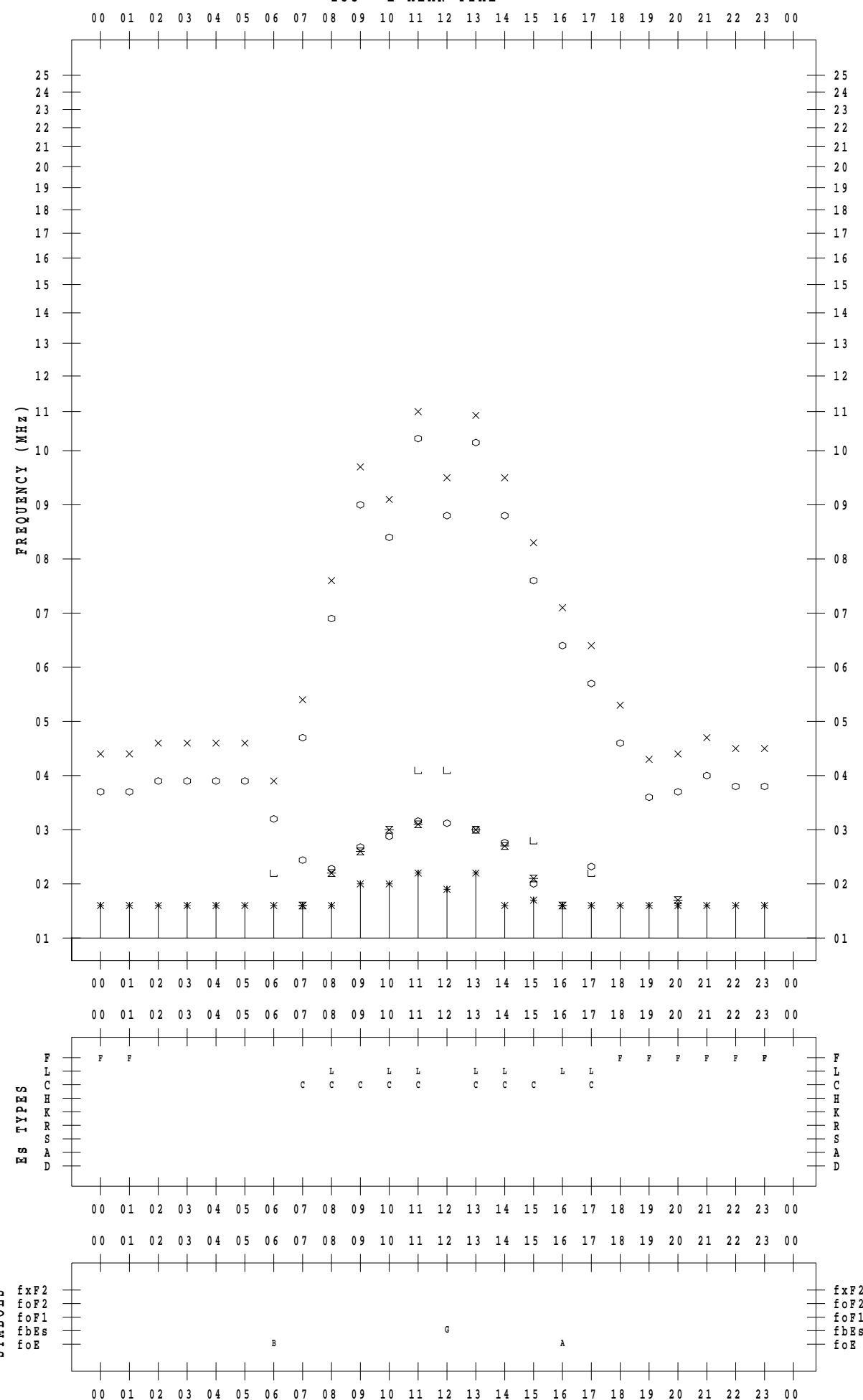
## f - P L O T D A T A

SCALER : K.FUKUSHIMA

STATION : Wakkanai

DATE : 2022/12/21

135 ° E MEAN TIME



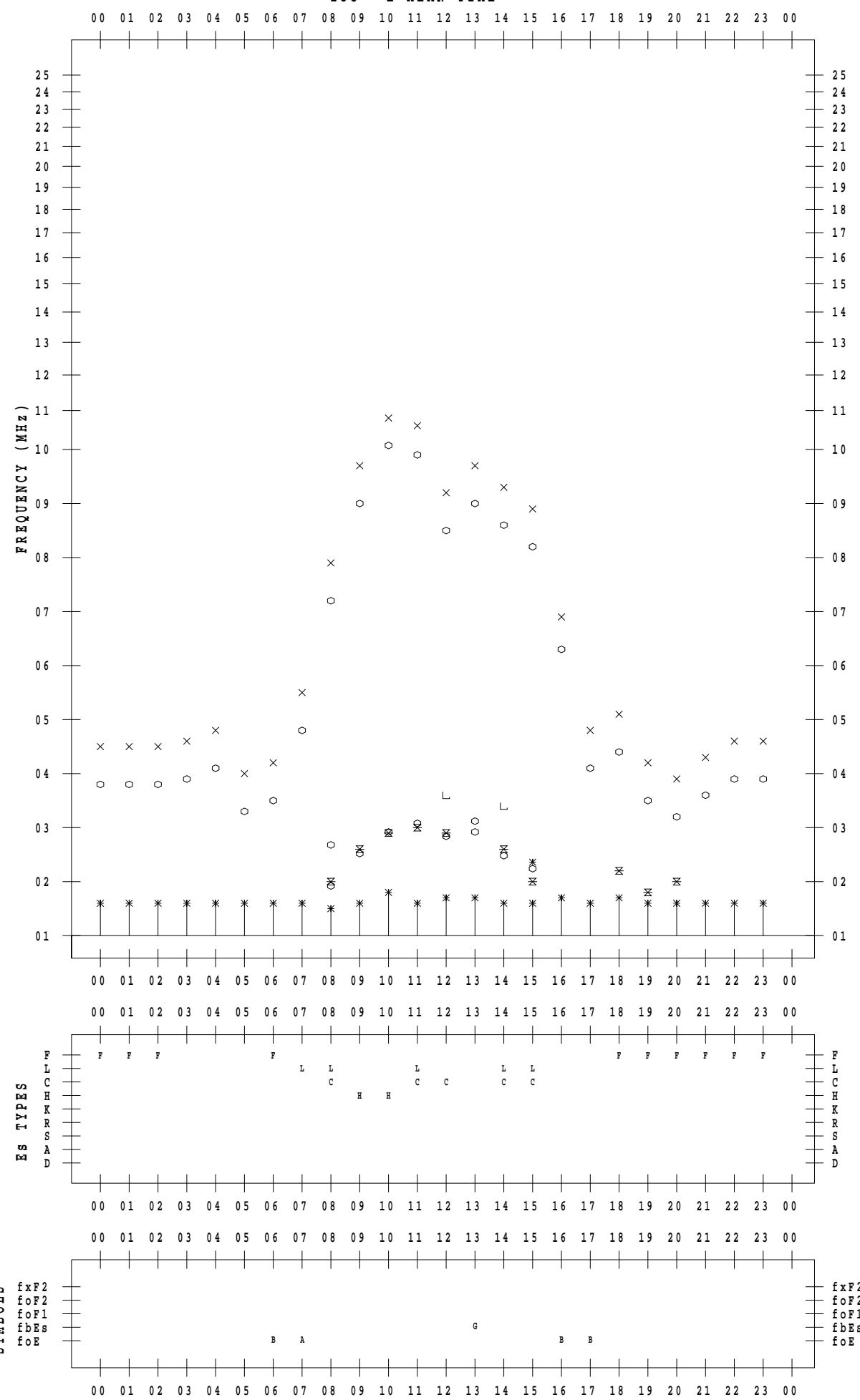
## f - P L O T D A T A

SCALER : K.FUKUSHIMA

STATION : Wakkanai

DATE : 2022/12/22

135 °E MEAN TIME



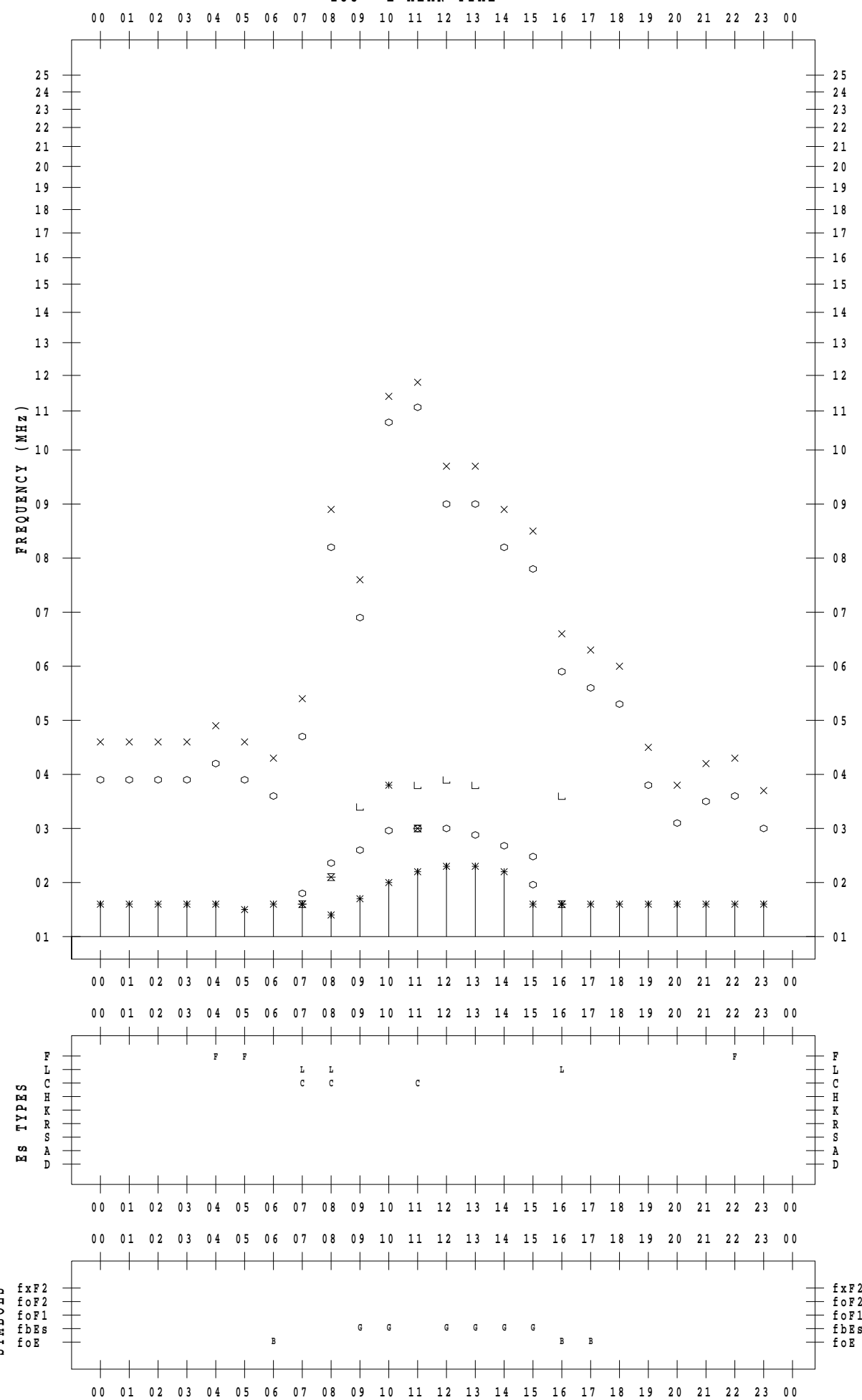
## f - P L O T D A T A

SCALER : K.FUKUSHIMA

STATION : Wakkanai

DATE : 2022/12/23

135 °E MEAN TIME

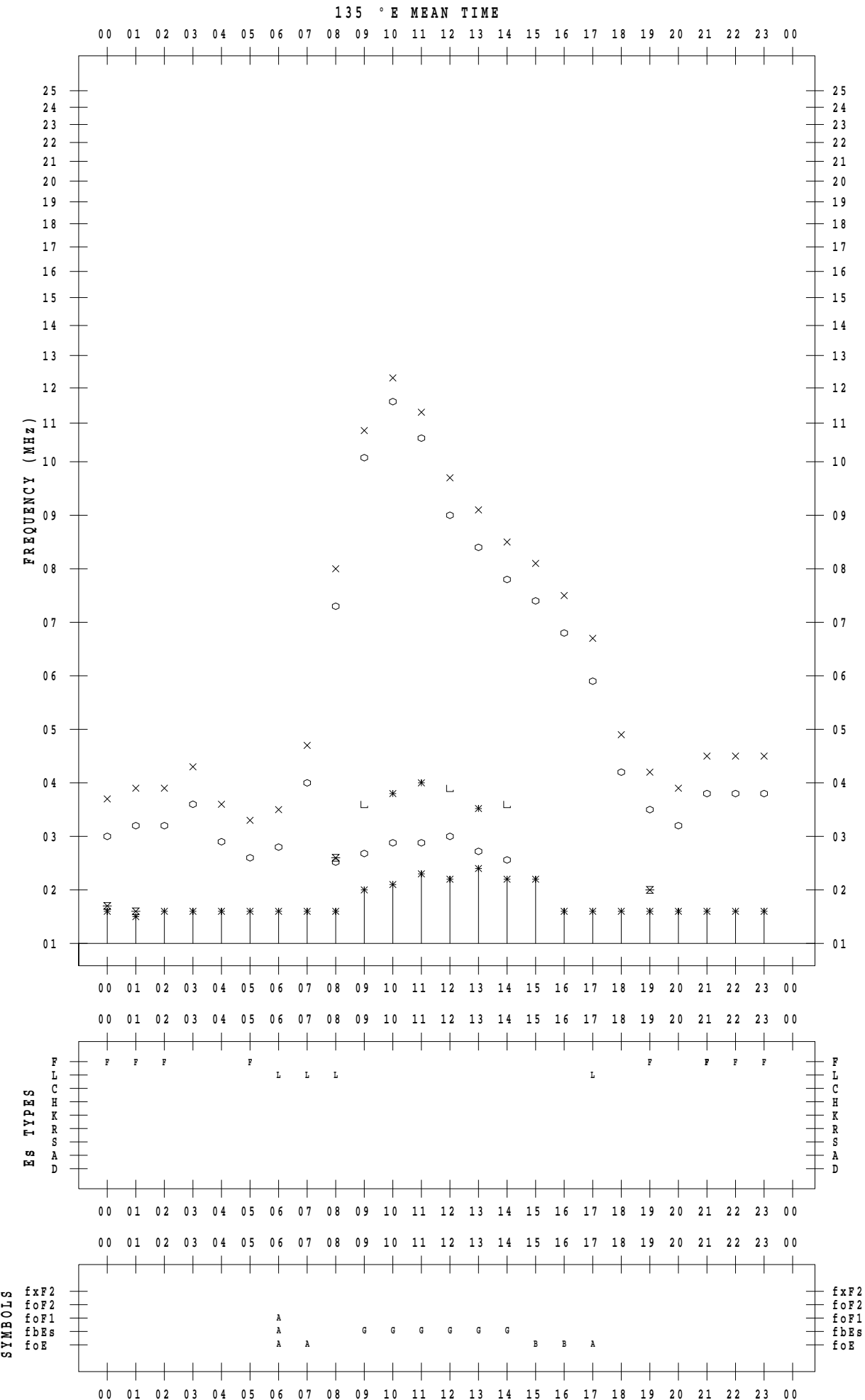


## **f - PLOT DATA**

SCALER : K. FUKUSHIMA

STATION : Wakkai

DATE : 2022 / 12 / 24



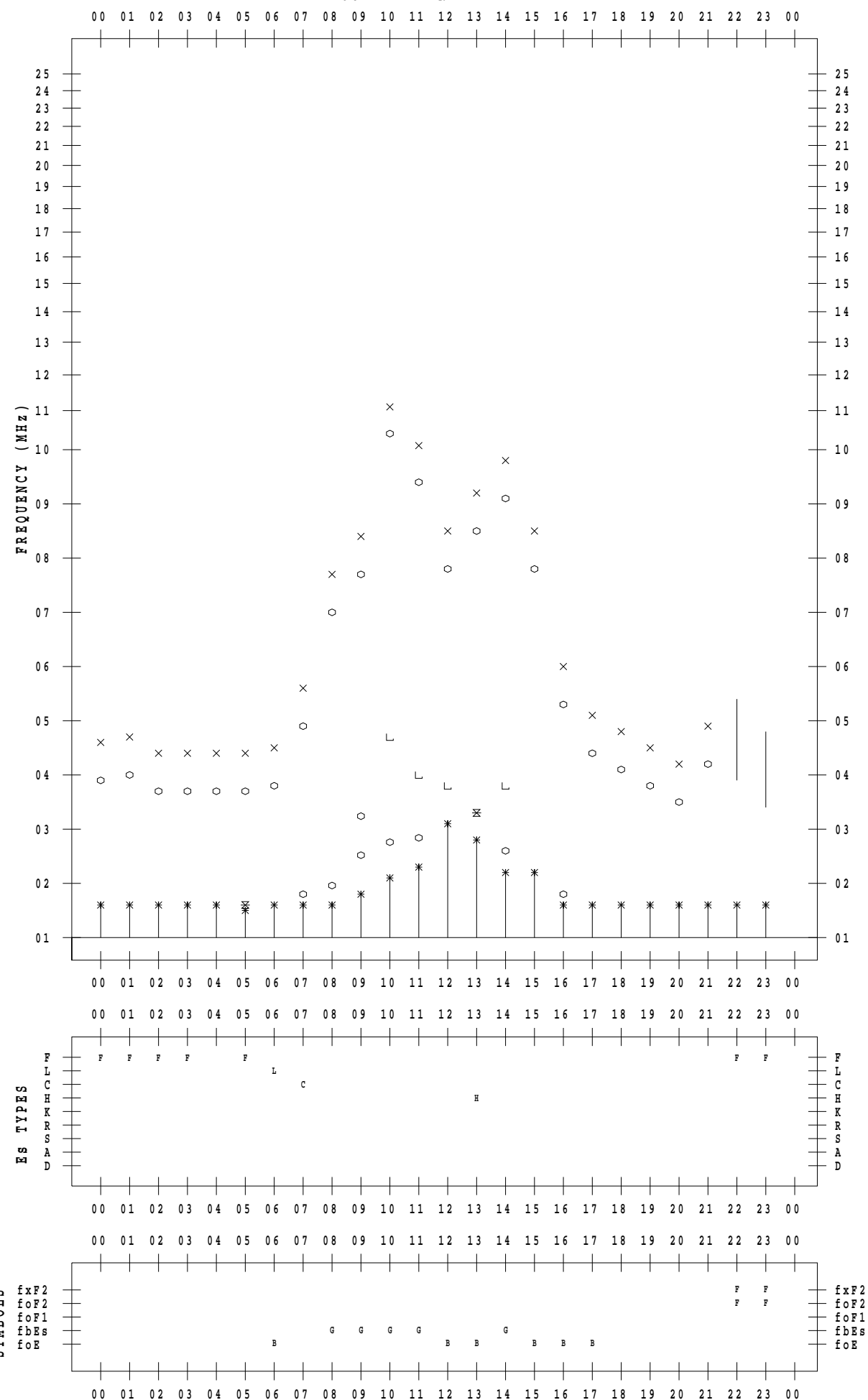
## f - P L O T D A T A

SCALER : K.FUKUSHIMA

STATION : Wakkanai

DATE : 2022/12/25

135 ° E MEAN TIME



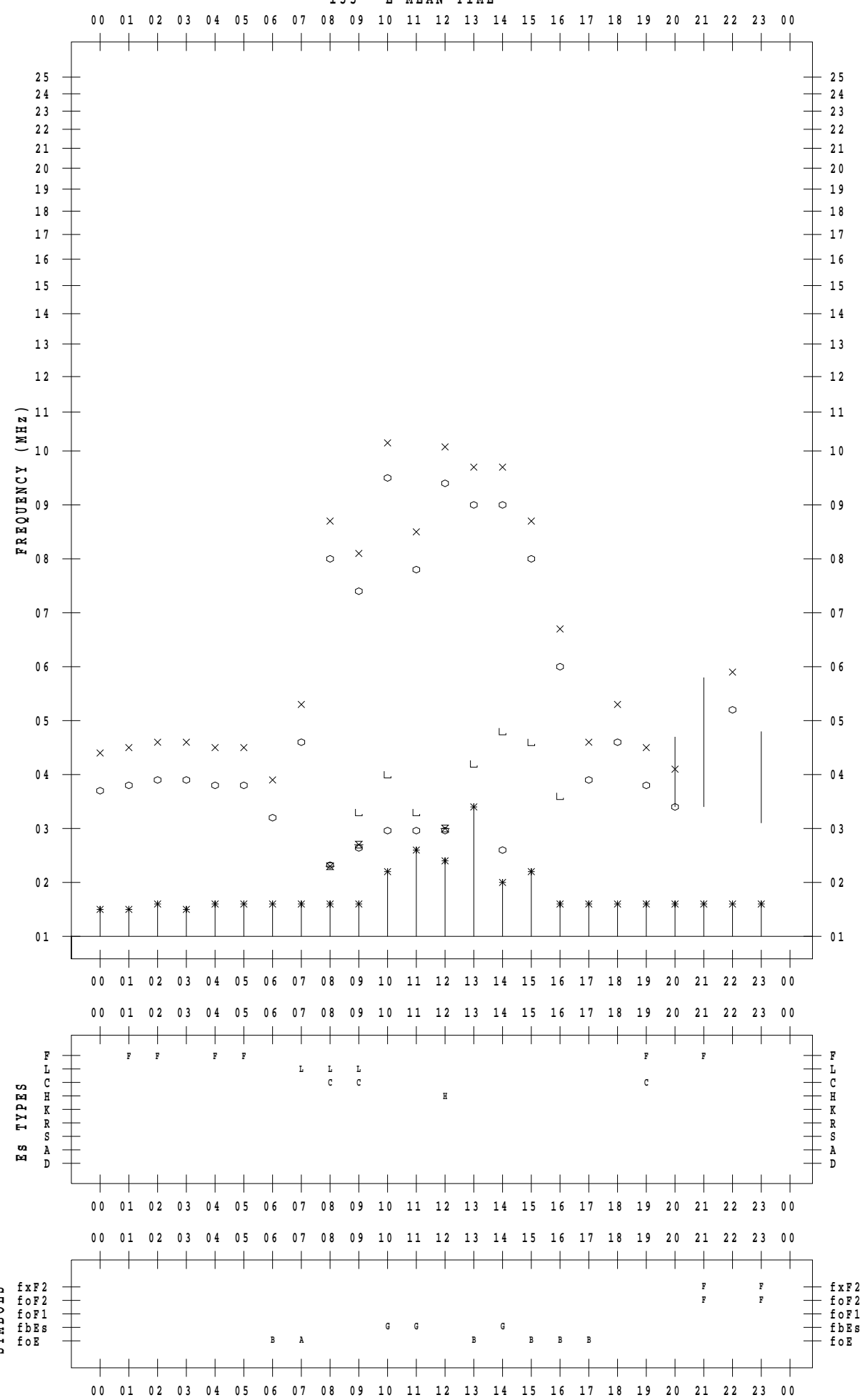
## f - P L O T D A T A

SCALER : K.FUKUSHIMA

STATION : Wakkanai

DATE : 2022/12/26

135 ° E MEAN TIME



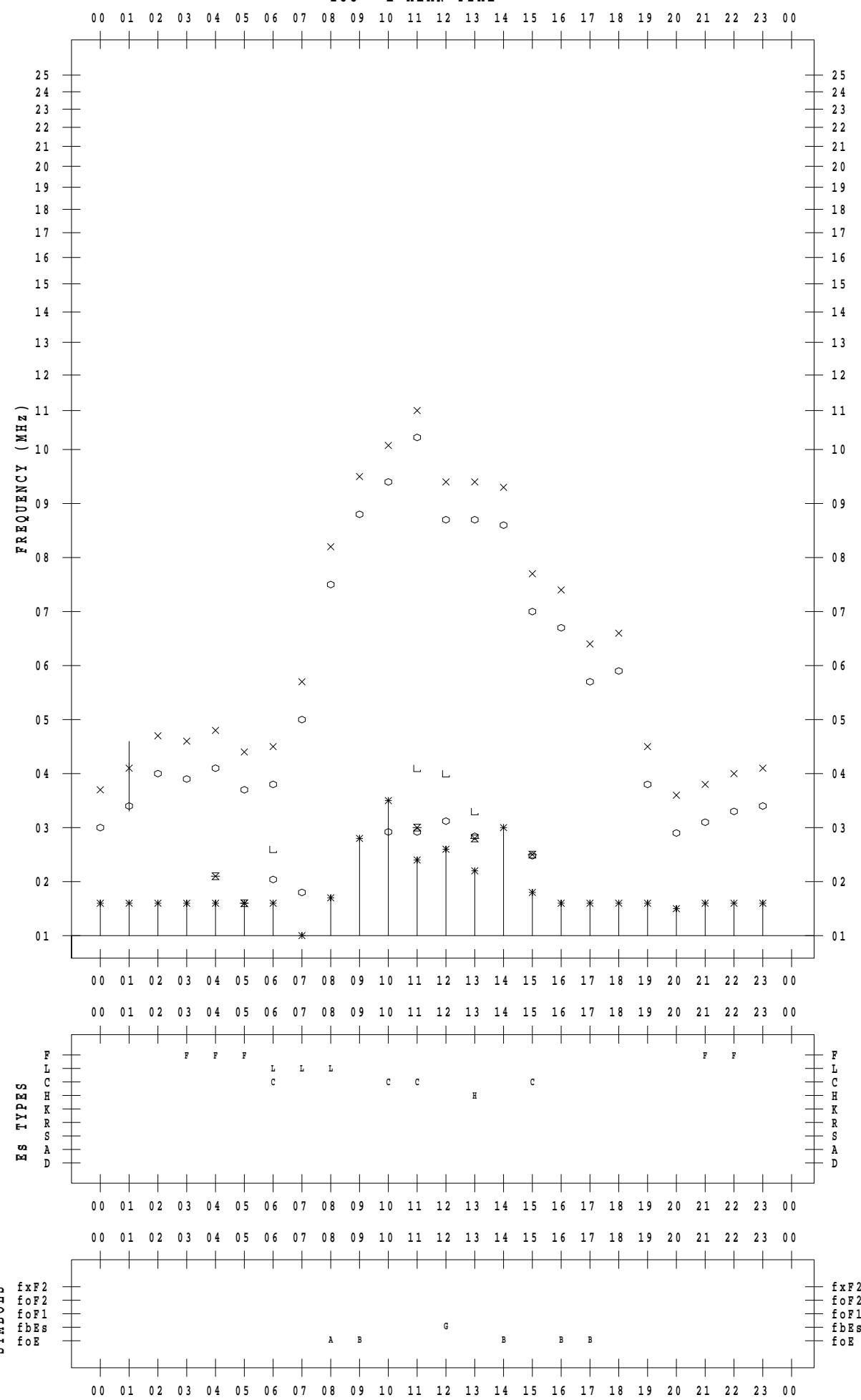
## f - P L O T D A T A

SCALER : K.FUKUSHIMA

STATION : Wakkanai

DATE : 2022/12/27

135 °E MEAN TIME



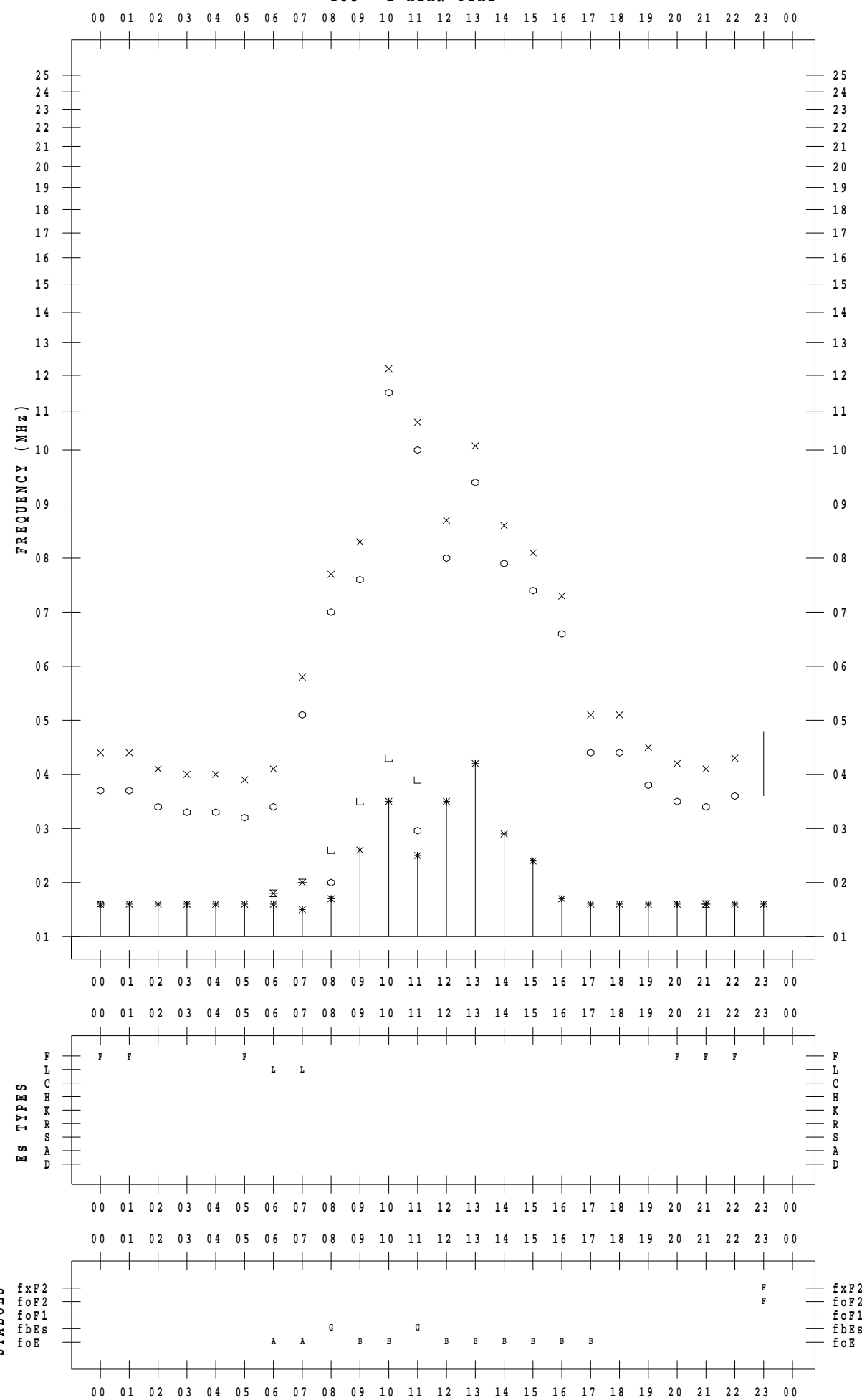
## f - P L O T D A T A

SCALER : K.FUKUSHIMA

STATION : Wakkanai

DATE : 2022/12/28

135 °E MEAN TIME



## **f - P L O T    D A T A**

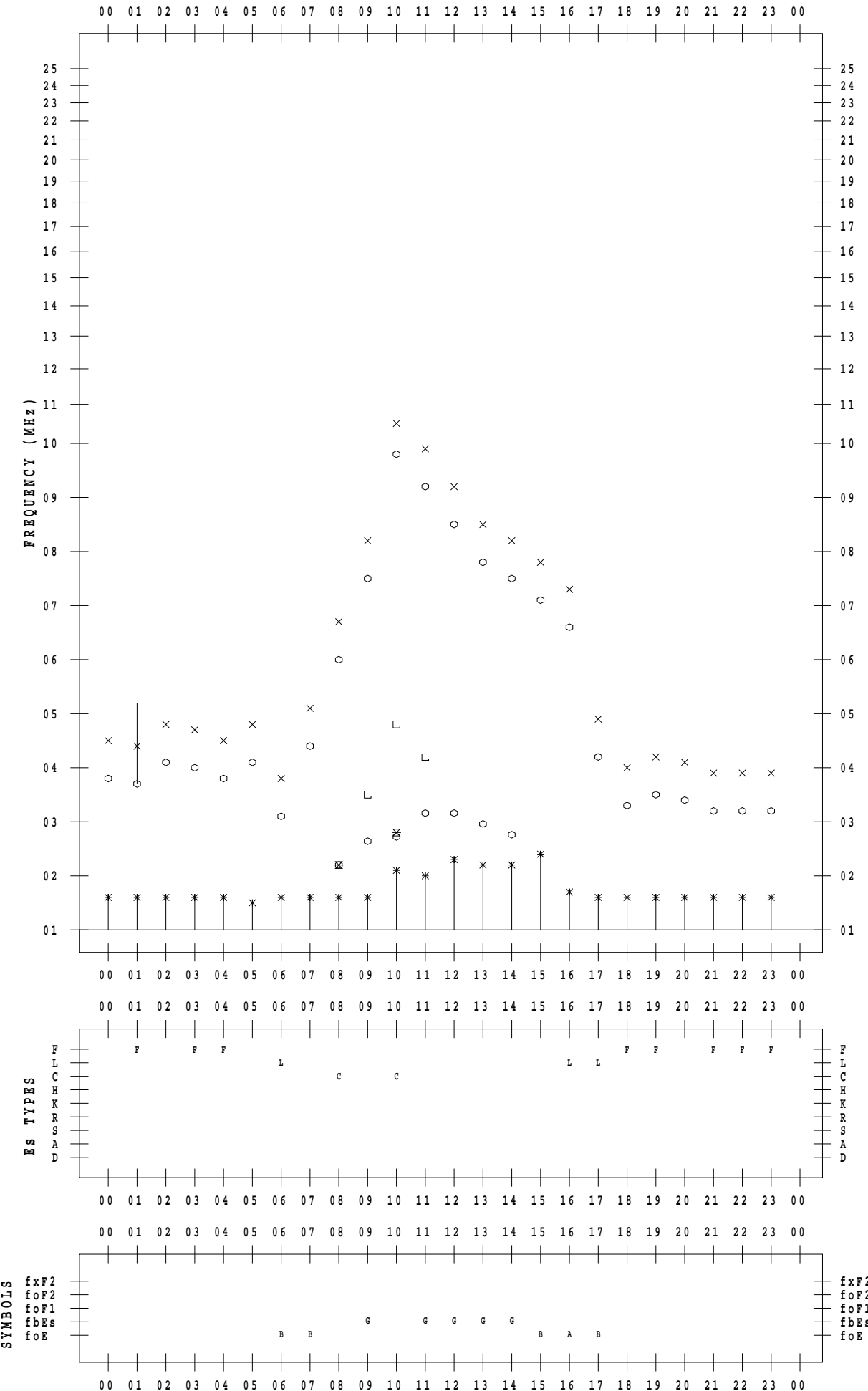
SCALER : K.FUKUSHIMA

STATION : Wakkai

DATE : 2022 / 12 / 29

135 ° E MEAN TIME

DATE : 2022 / 12 / 29



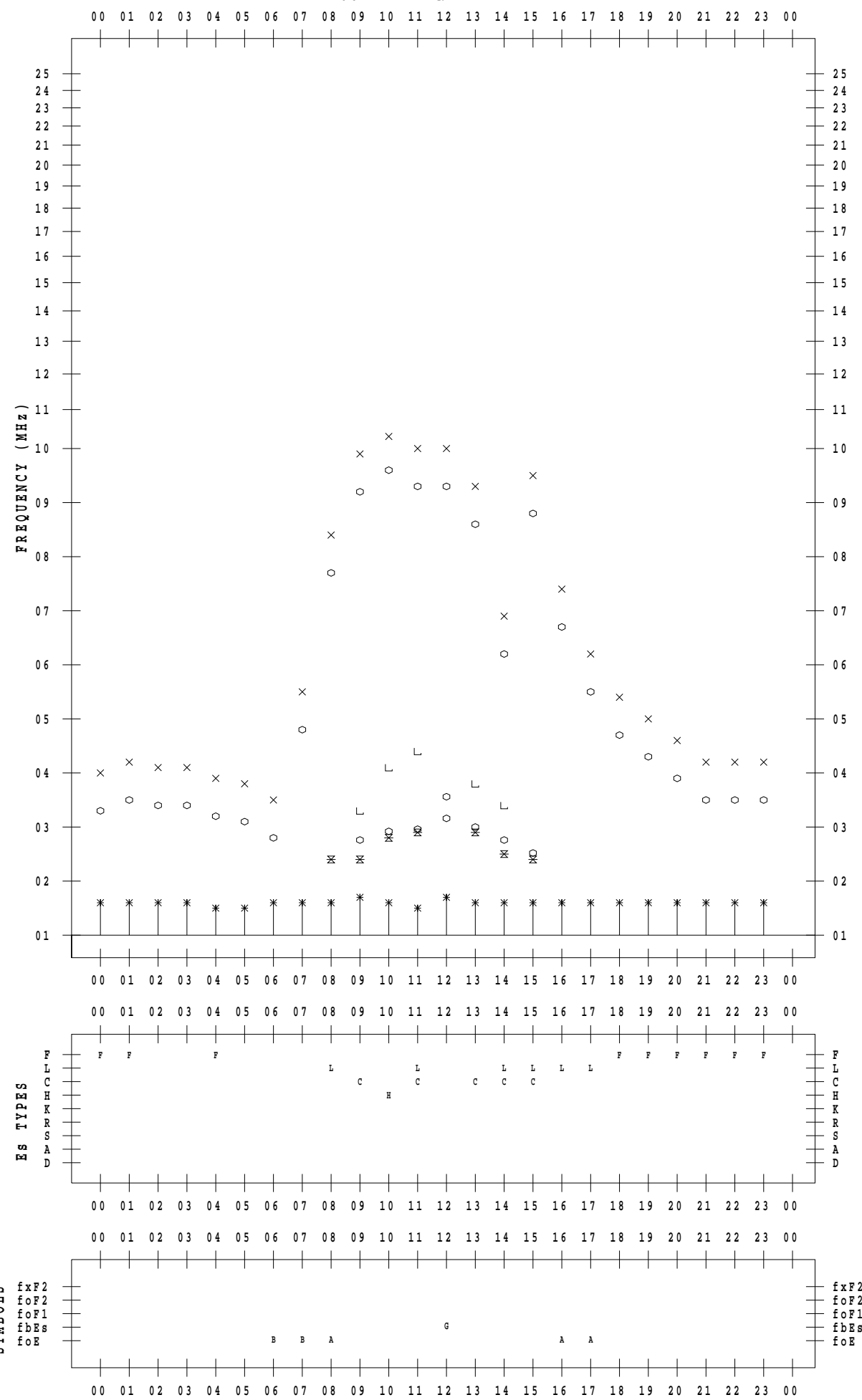
## f - P L O T D A T A

SCALER : K.FUKUSHIMA

STATION : Wakkanai

DATE : 2022/12/30

135 ° E MEAN TIME



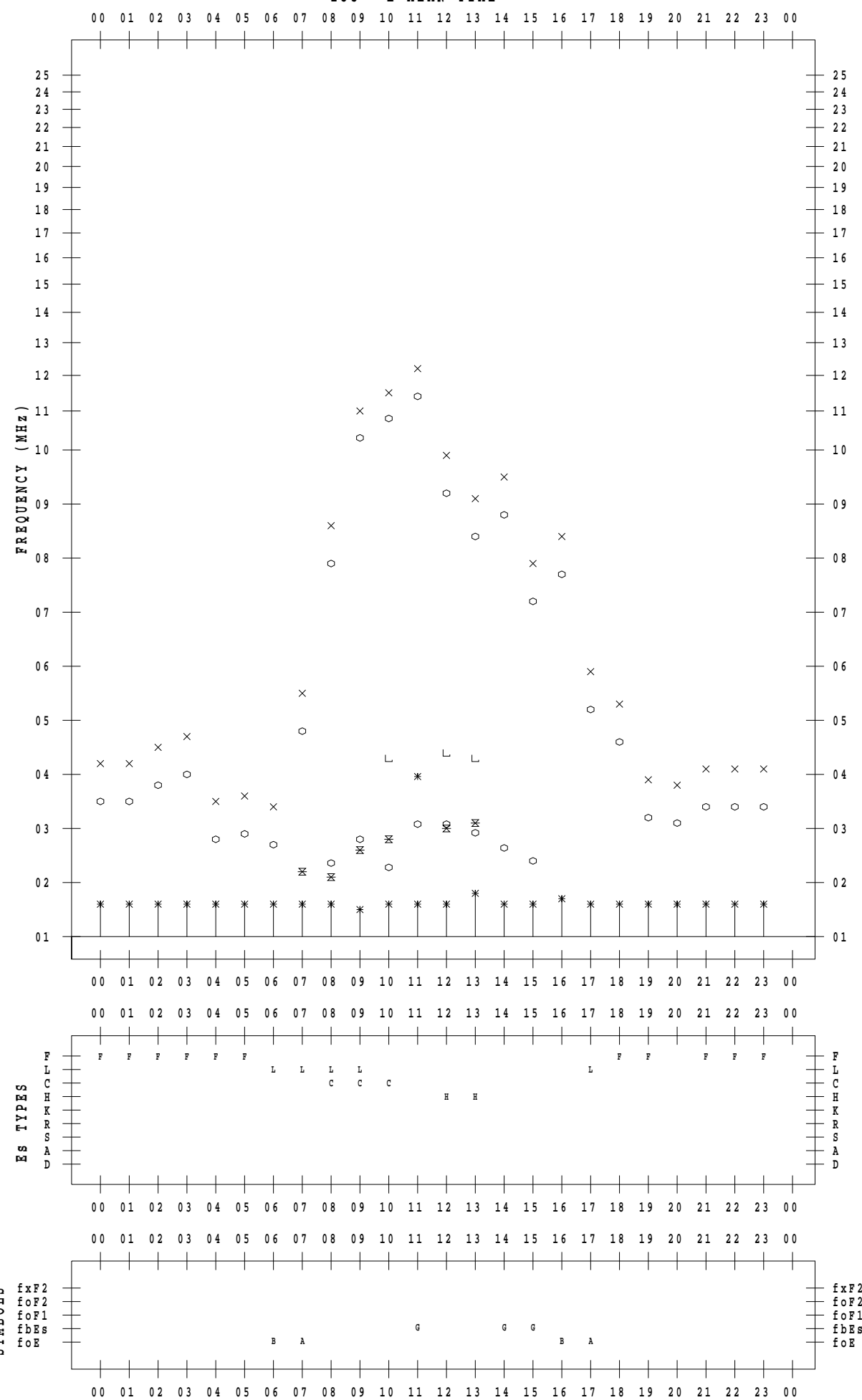
## f - P L O T D A T A

SCALER : K.FUKUSHIMA

STATION : Wakkanai

DATE : 2022/12/31

135 °E MEAN TIME



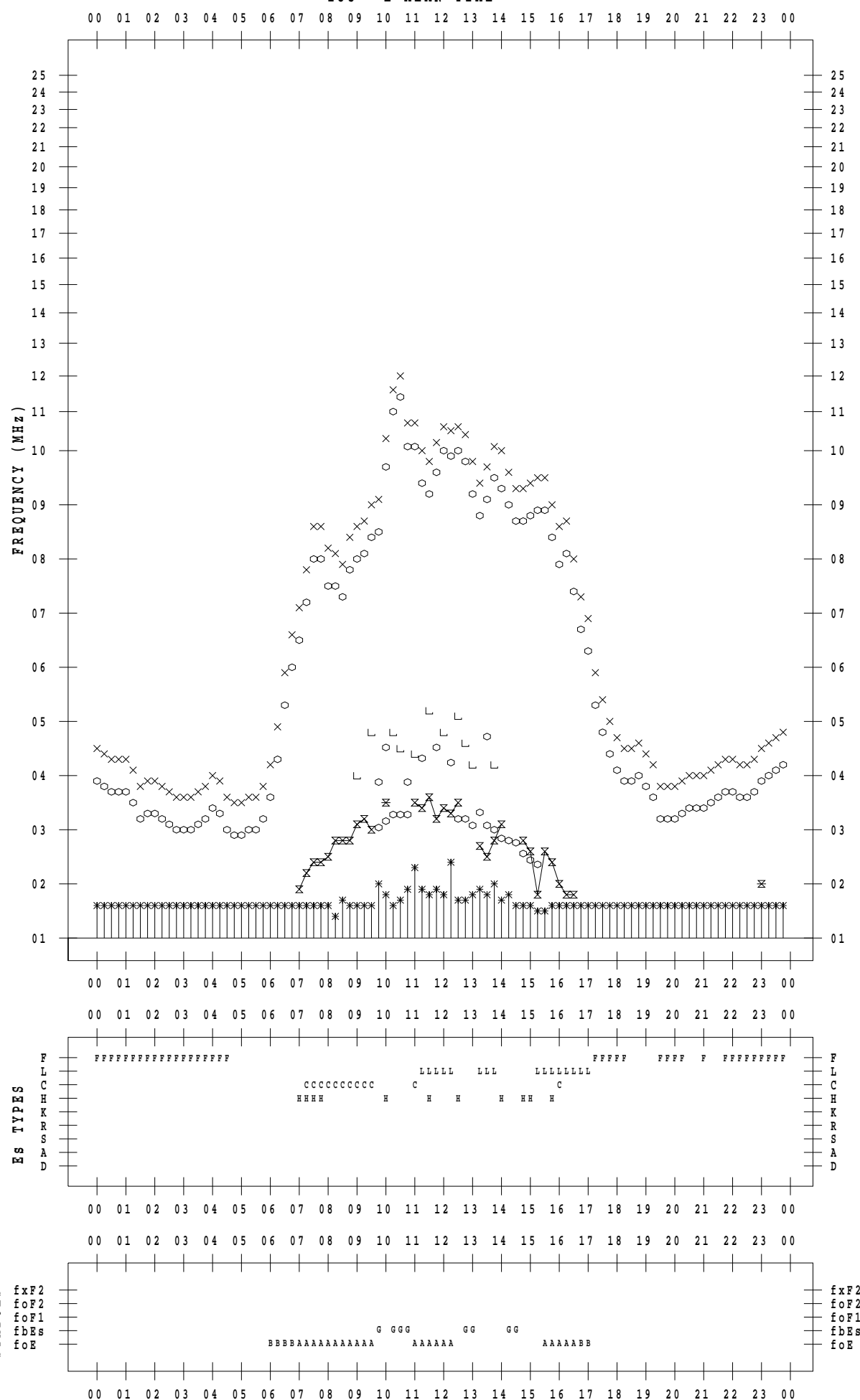
## f - PLOT DATA

SCALER : I.YAMAZAKI

STATION : Kokubunji

DATE : 2022/12/1

135 °E MEAN TIME



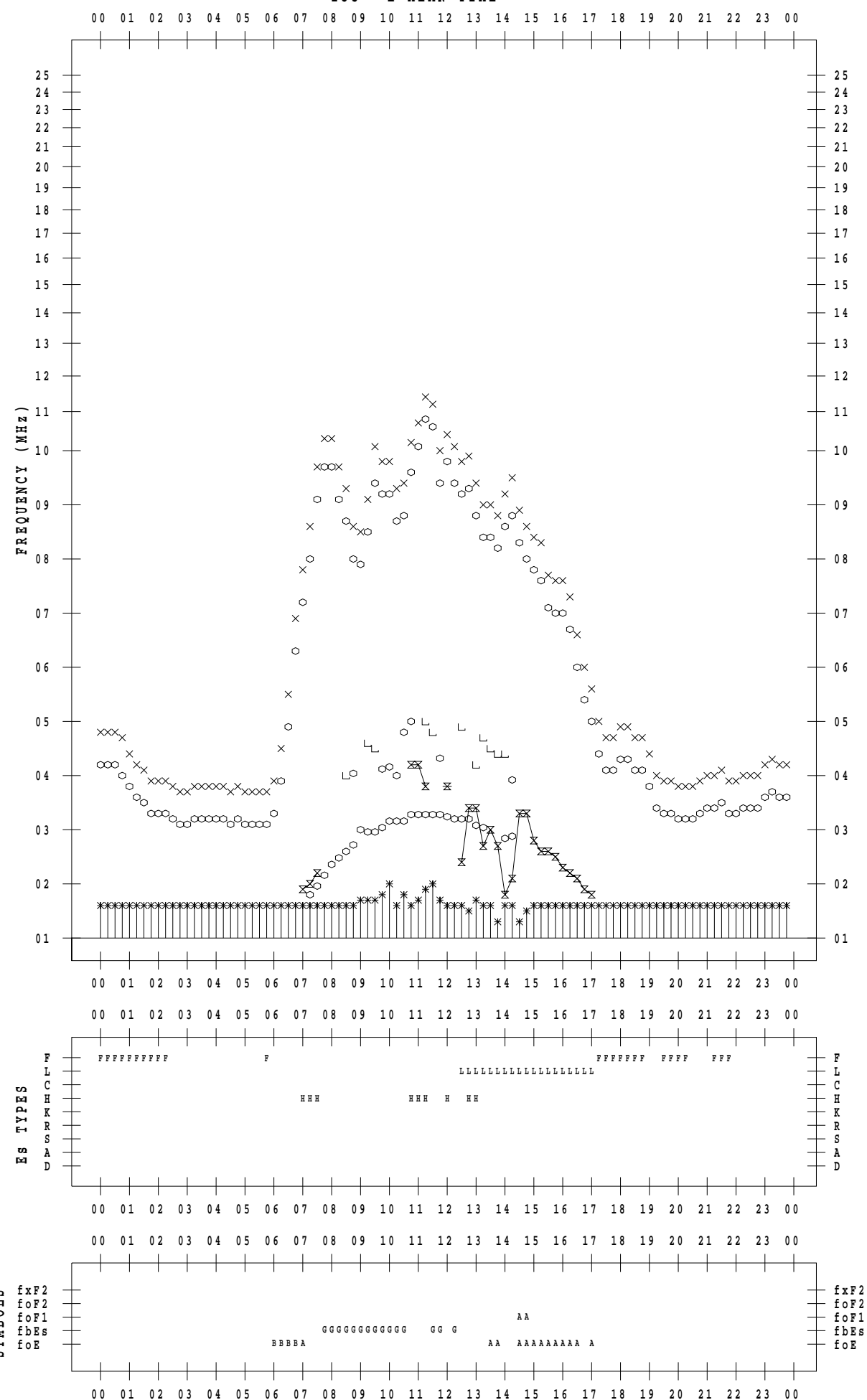
## f - P L O T D A T A

SCALER : I.YAMAZAKI

STATION : Kokubunji

DATE : 2022/12/2

135 °E MEAN TIME



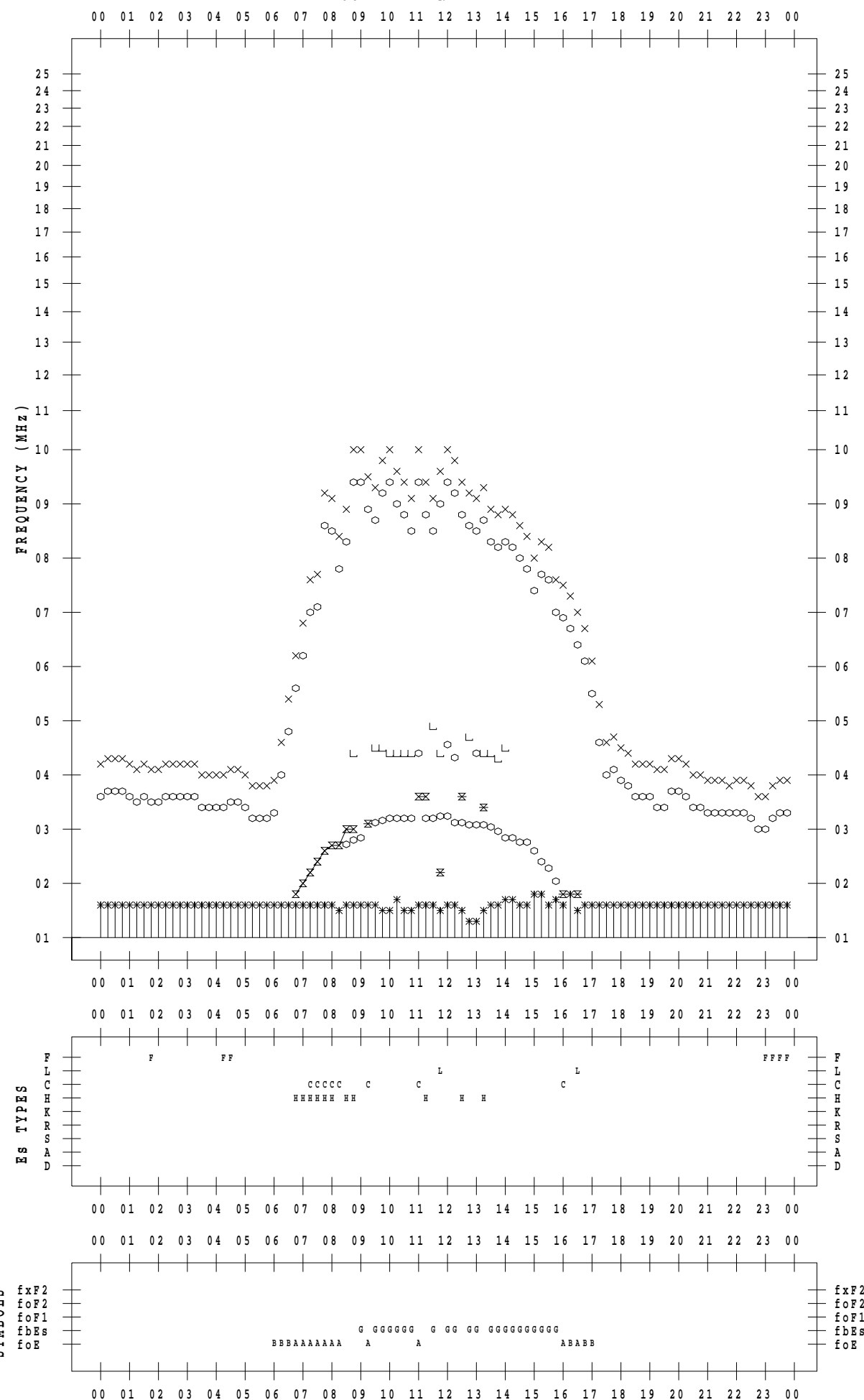
## f - P L O T D A T A

SCALER : I.YAMAZAKI

STATION : Kokubunji

DATE : 2022/12/3

135 ° E MEAN TIME



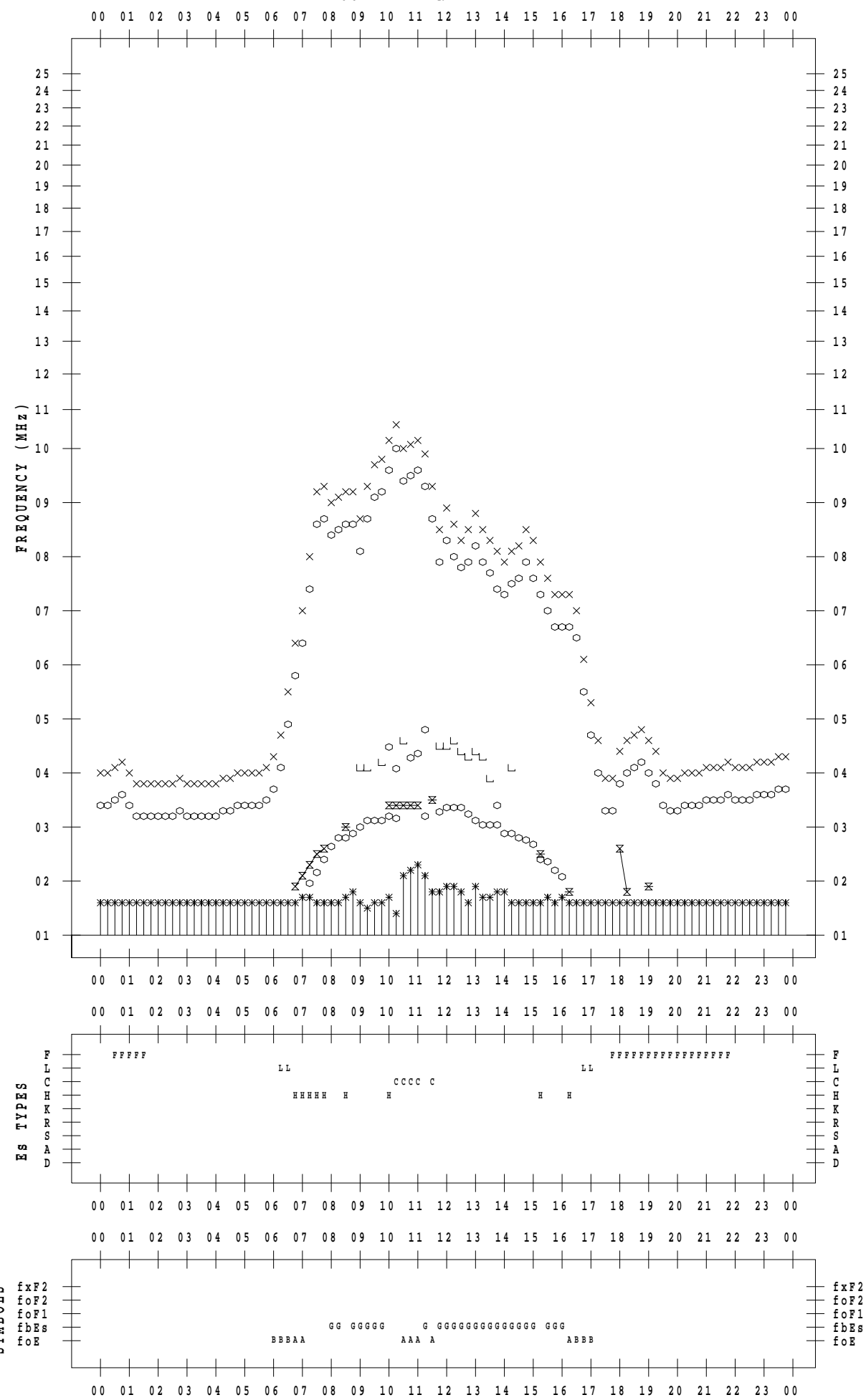
## f - P L O T D A T A

SCALER : I.YAMAZAKI

STATION : Kokubunji

DATE : 2022/12/4

135 ° E MEAN TIME



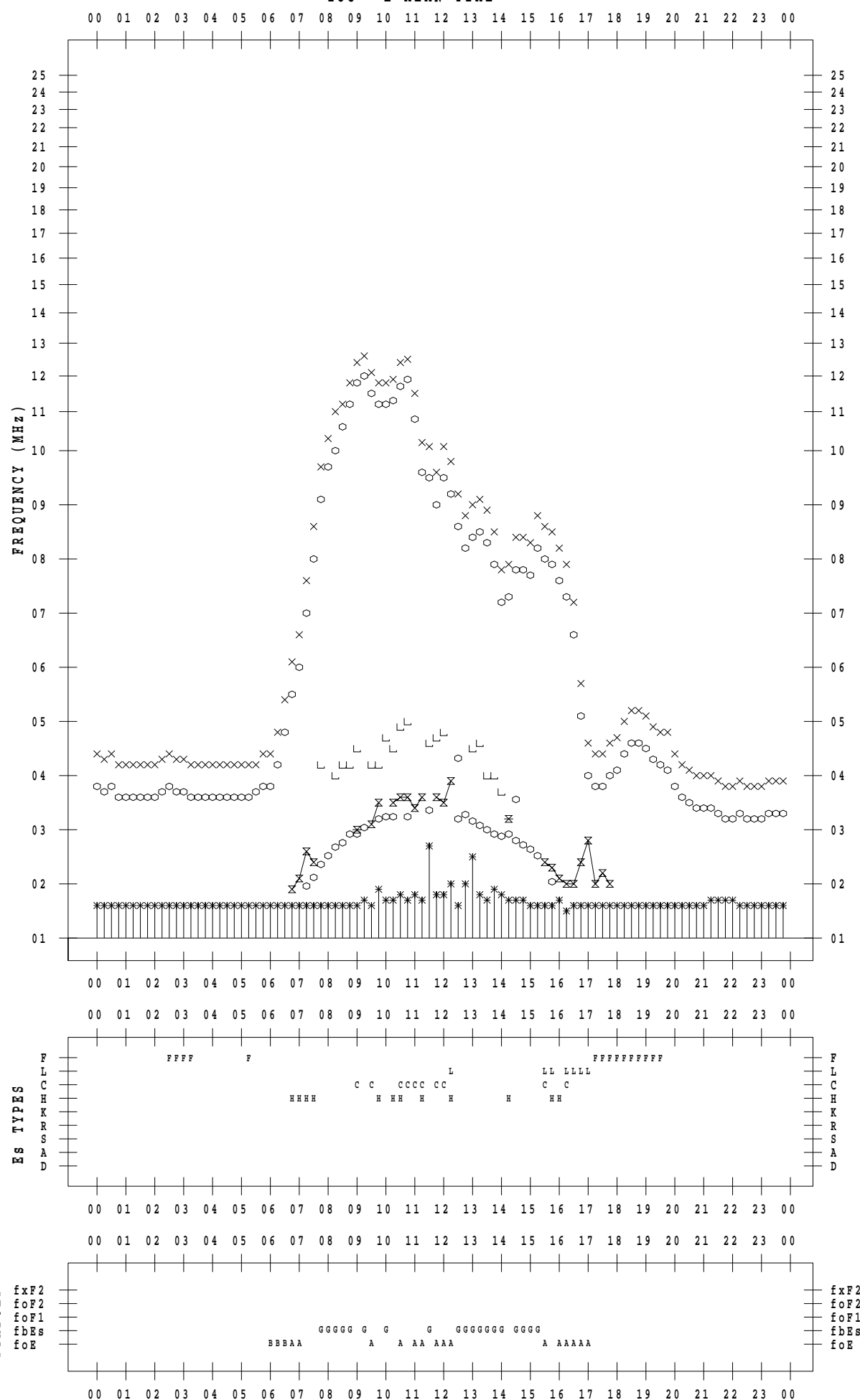
## f - P L O T D A T A

SCALER : I.YAMAZAKI

STATION : Kokubunji

DATE : 2022/12/5

135 °E MEAN TIME



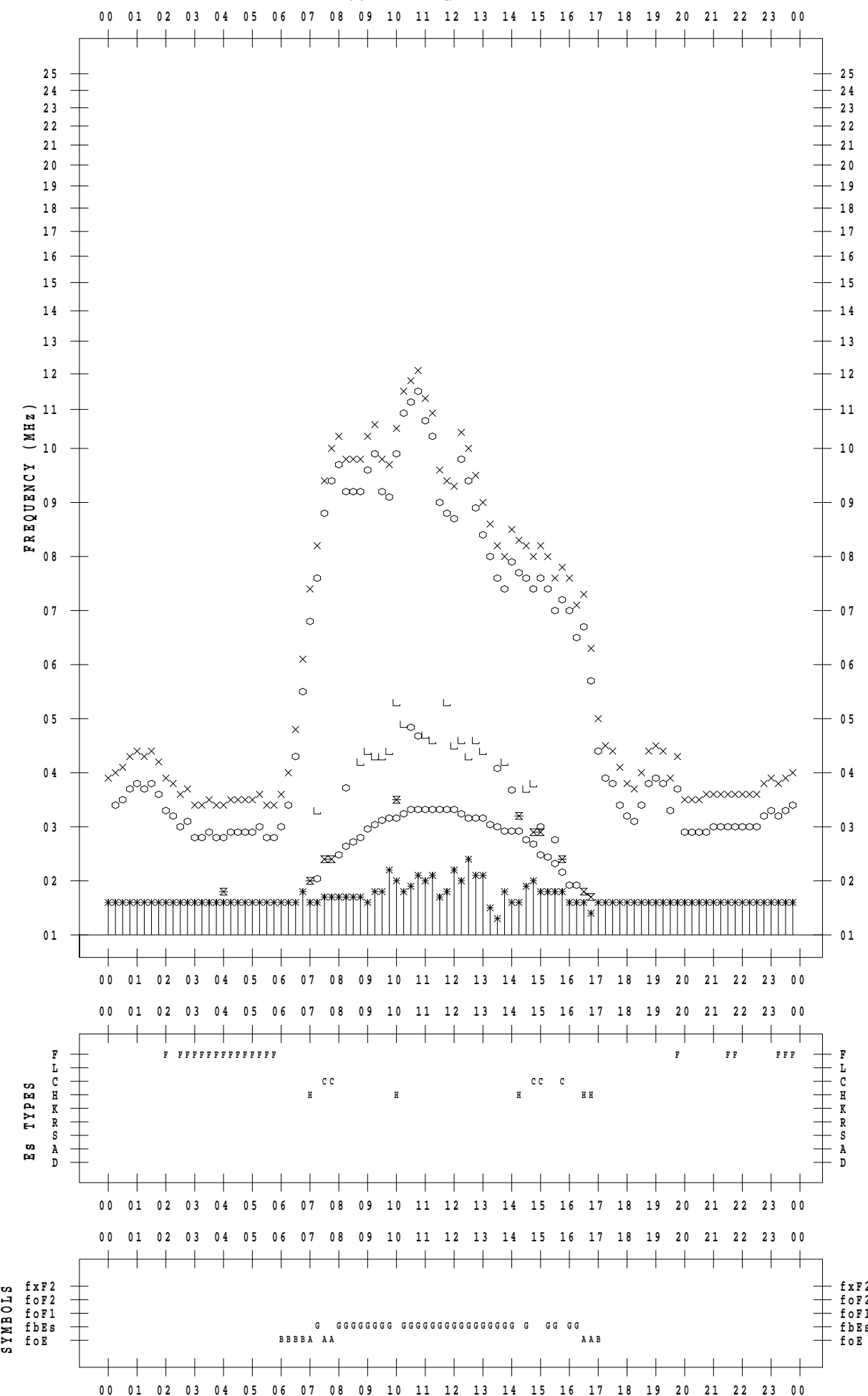
## **f - PLOT DATA**

SCALER : I.YAMAZAKI

STATION : Kokubunji

DATE : 2022 / 12 / 6

135° E MEAN TIME



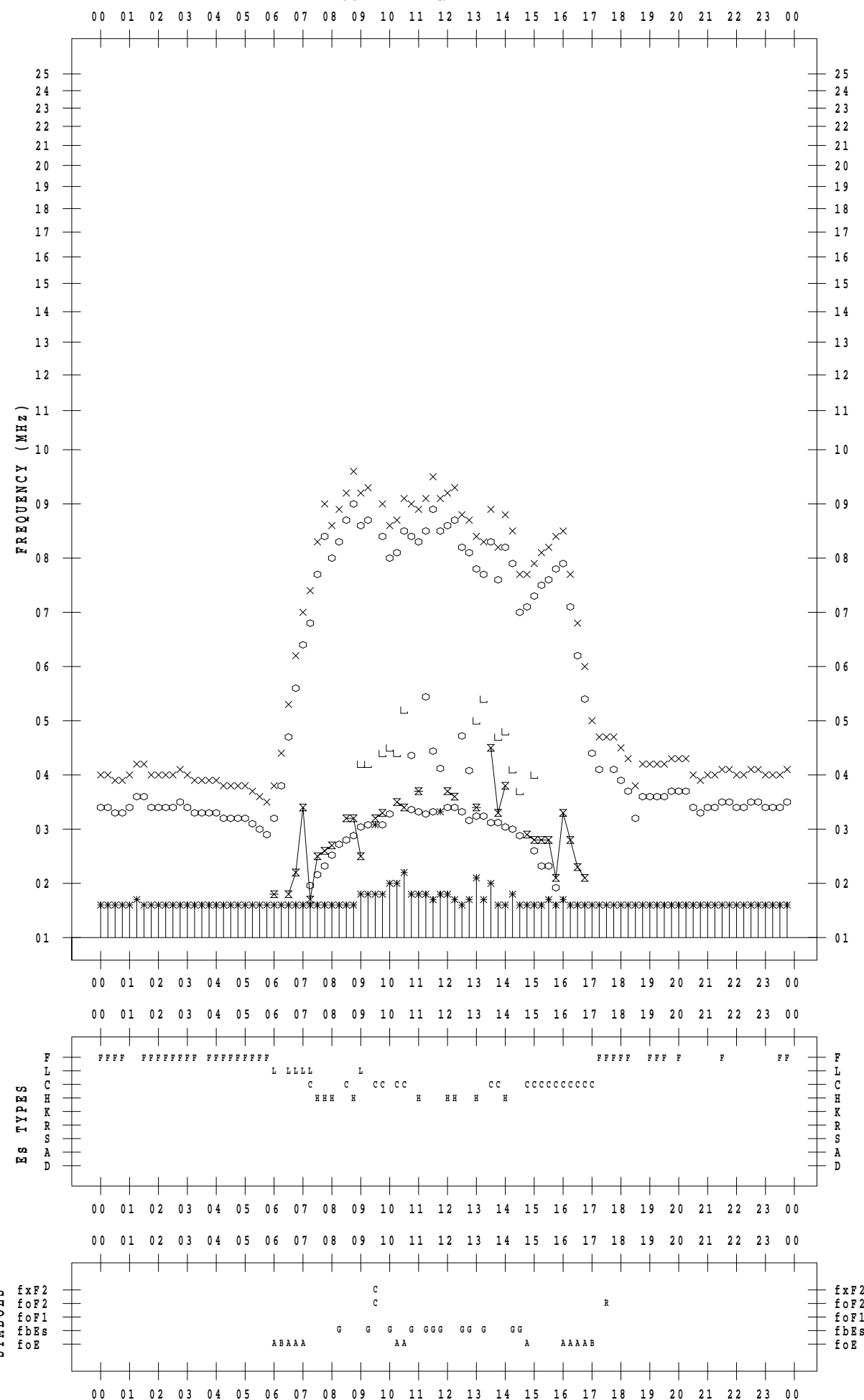
## f - P L O T D A T A

SCALER : I.YAMAZAKI

STATION : Kokubunji

DATE : 2022/12/7

135 ° E MEAN TIME



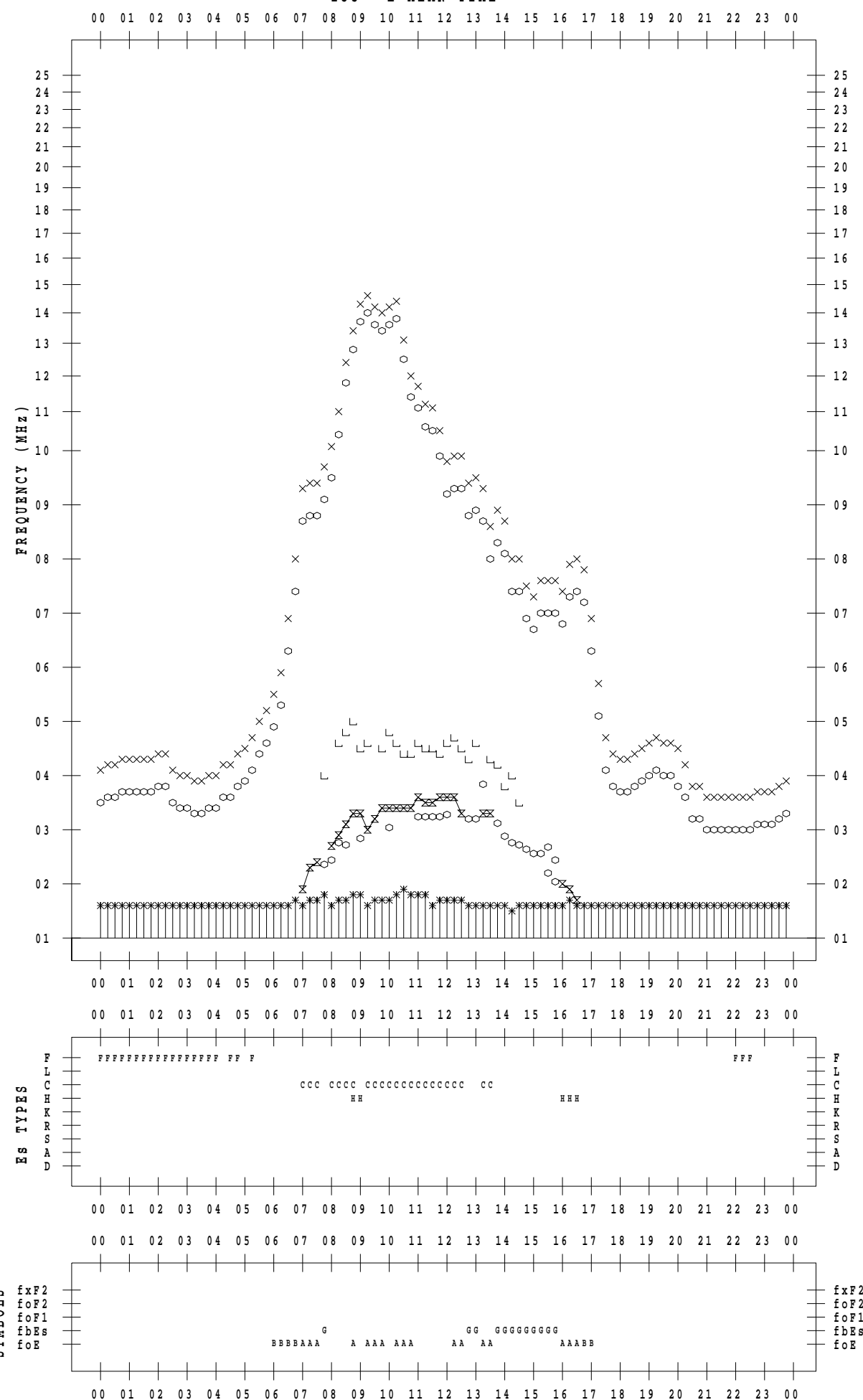
## f - P L O T D A T A

SCALER : I.YAMAZAKI

STATION : Kokubunji

DATE : 2022/12/8

135 ° E MEAN TIME



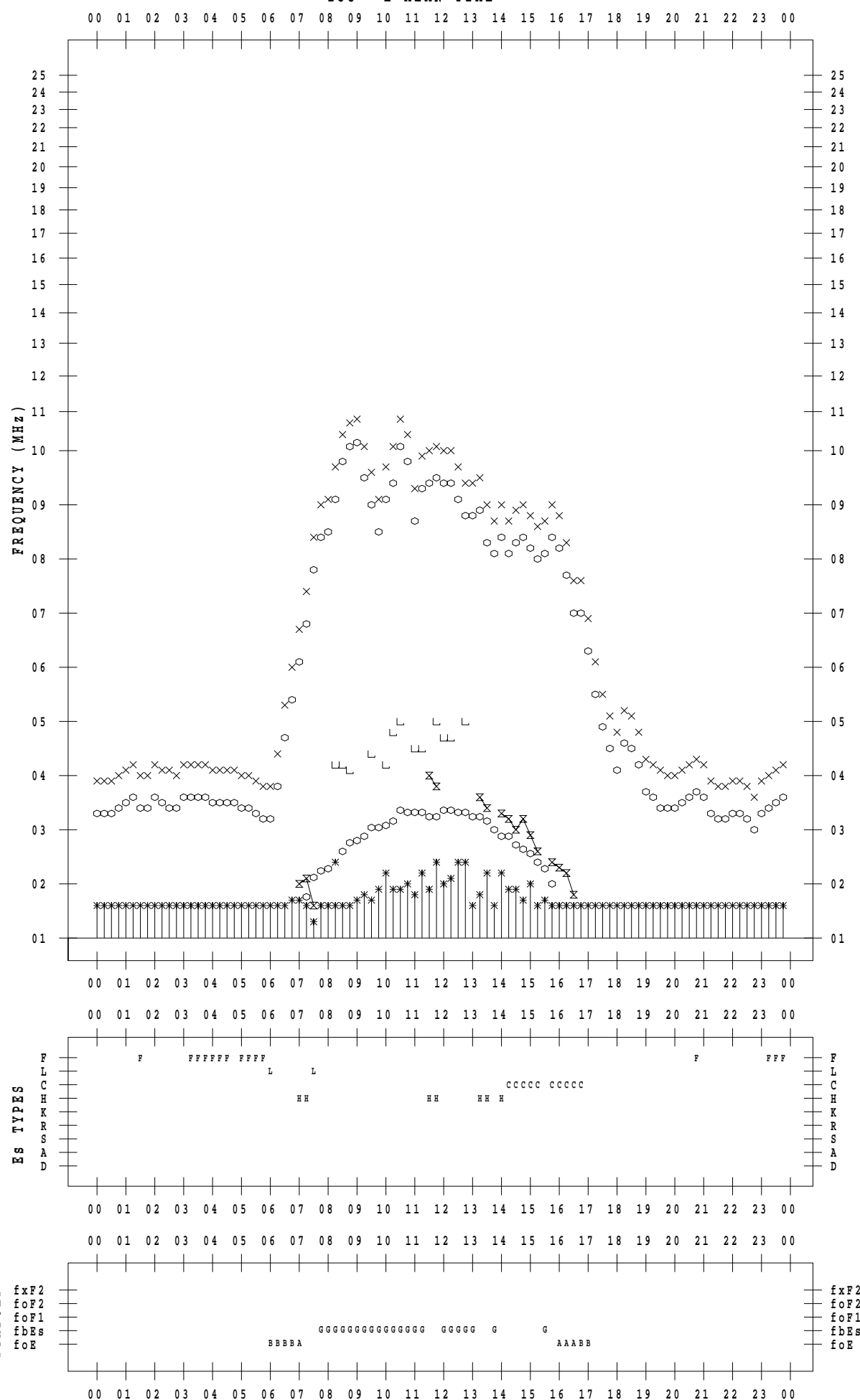
## f - P L O T D A T A

SCALER : I.YAMAZAKI

STATION : Kokubunji

DATE : 2022/12/9

135 °E MEAN TIME



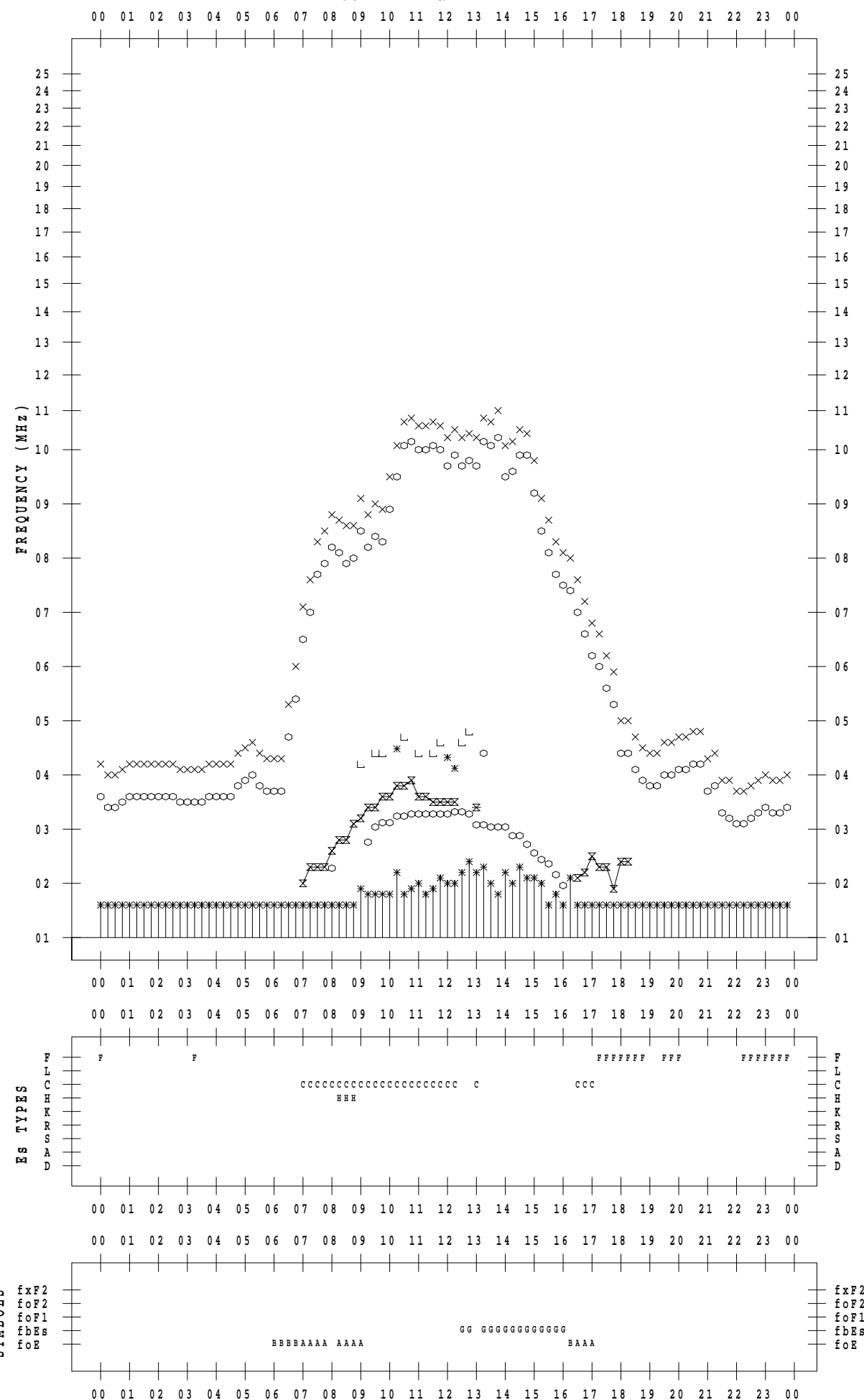
## f - P L O T D A T A

SCALER : I.YAMAZAKI

STATION : Kokubunji

DATE : 2022/12/10

135 ° E MEAN TIME



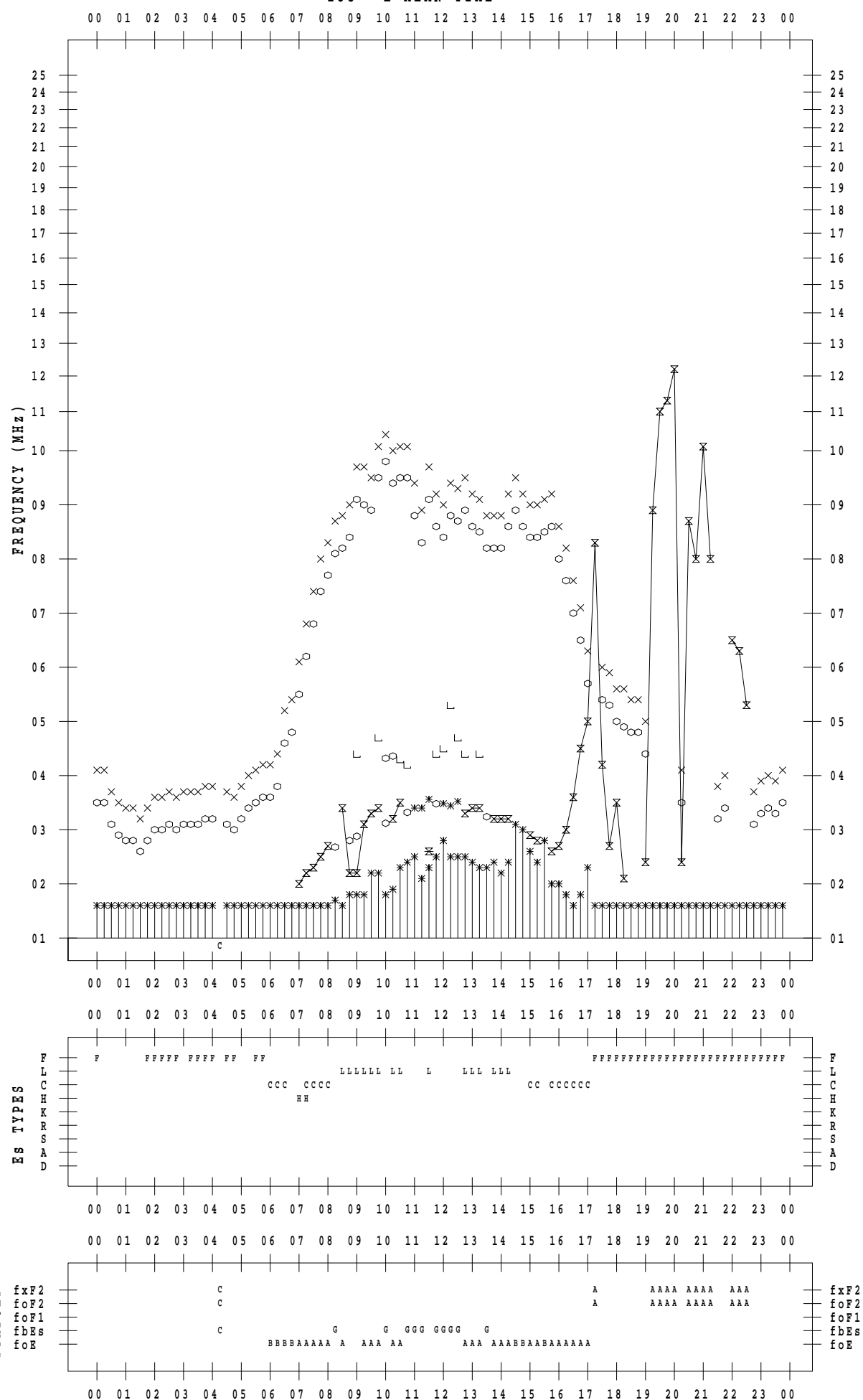
## f - P L O T D A T A

SCALER : I.YAMAZAKI

STATION : Kokubunji

DATE : 2022/12/11

135 ° E MEAN TIME



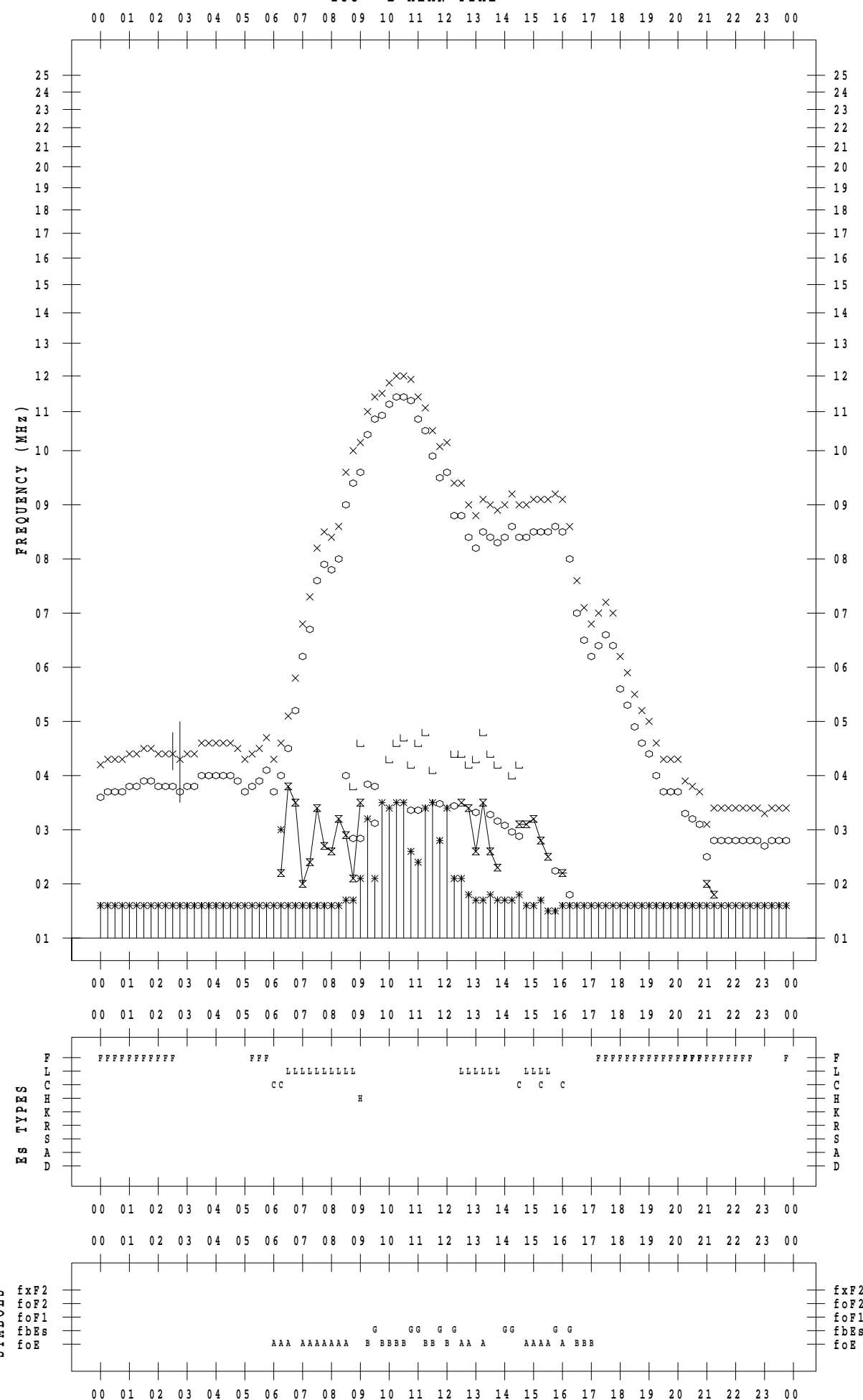
## f - P L O T D A T A

SCALER : I.YAMAZAKI

STATION : Kokubunji

DATE : 2022/12/12

135 °E MEAN TIME



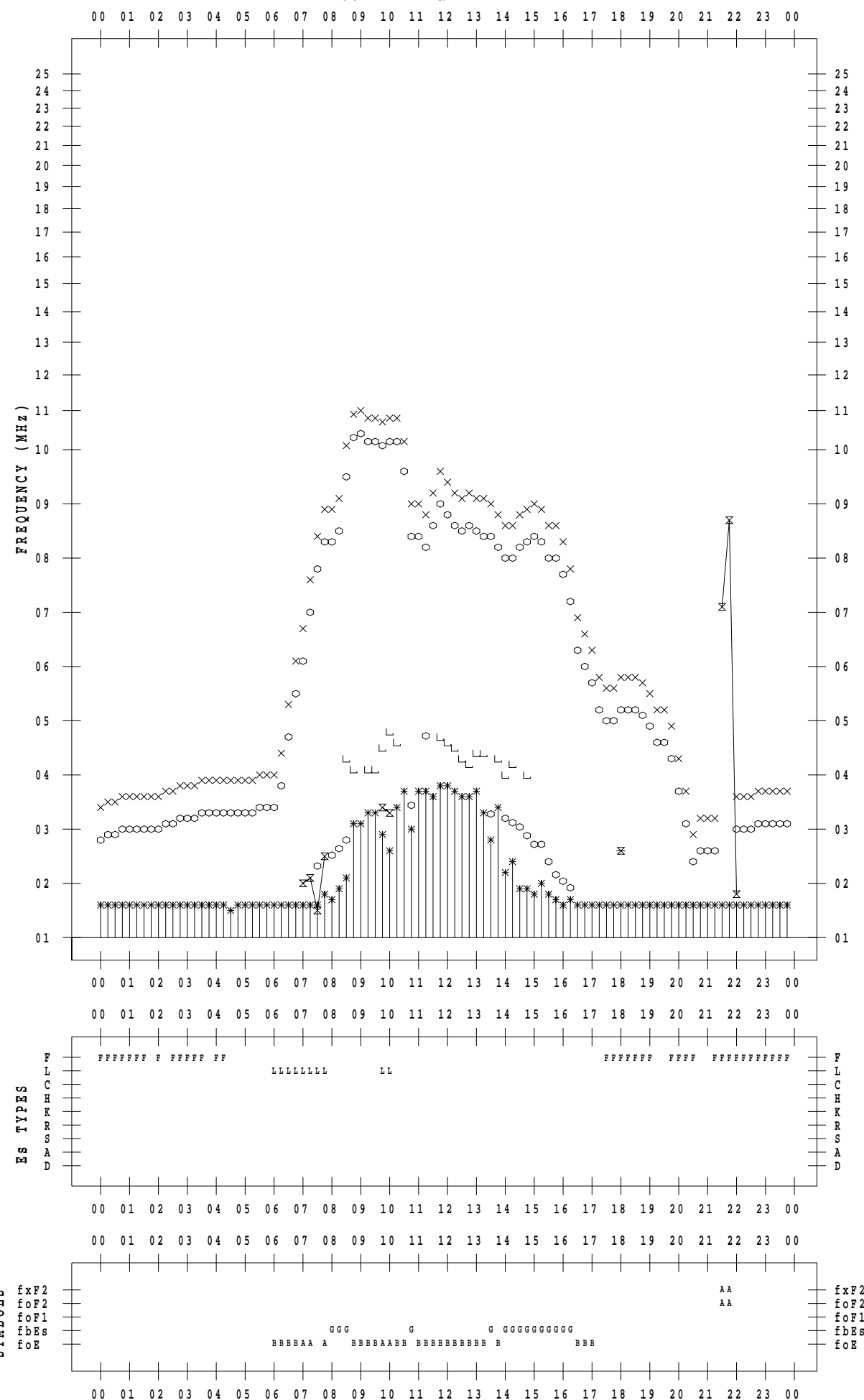
## f - P L O T D A T A

SCALER : I.YAMAZAKI

STATION : Kokubunji

DATE : 2022/12/13

135 °E MEAN TIME



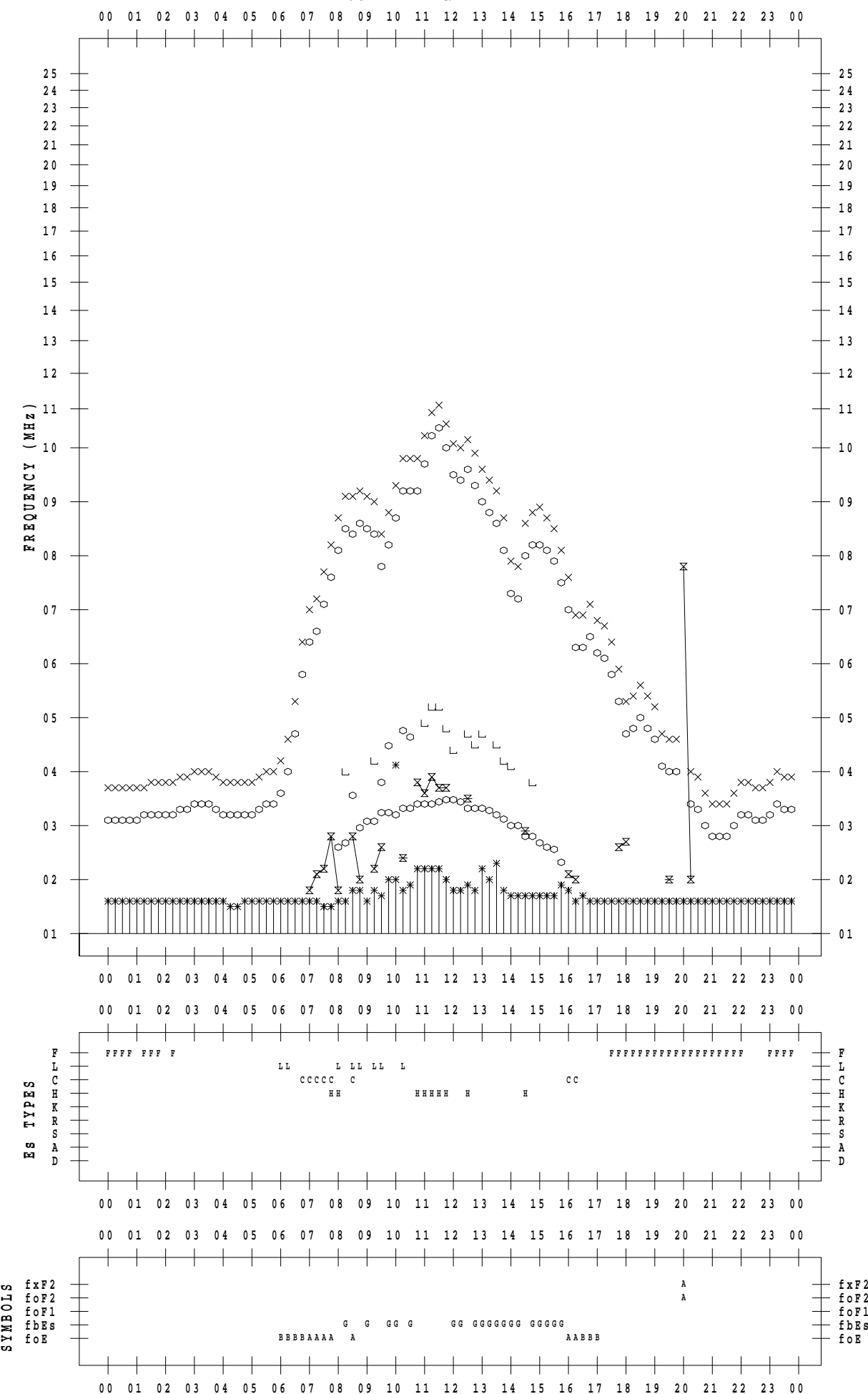
## **f - PLOT DATA**

SCALER : I.YAMAZAKI

STATION : Kokubunji

DATE : 2022 / 12 / 14

135° E MEAN TIME



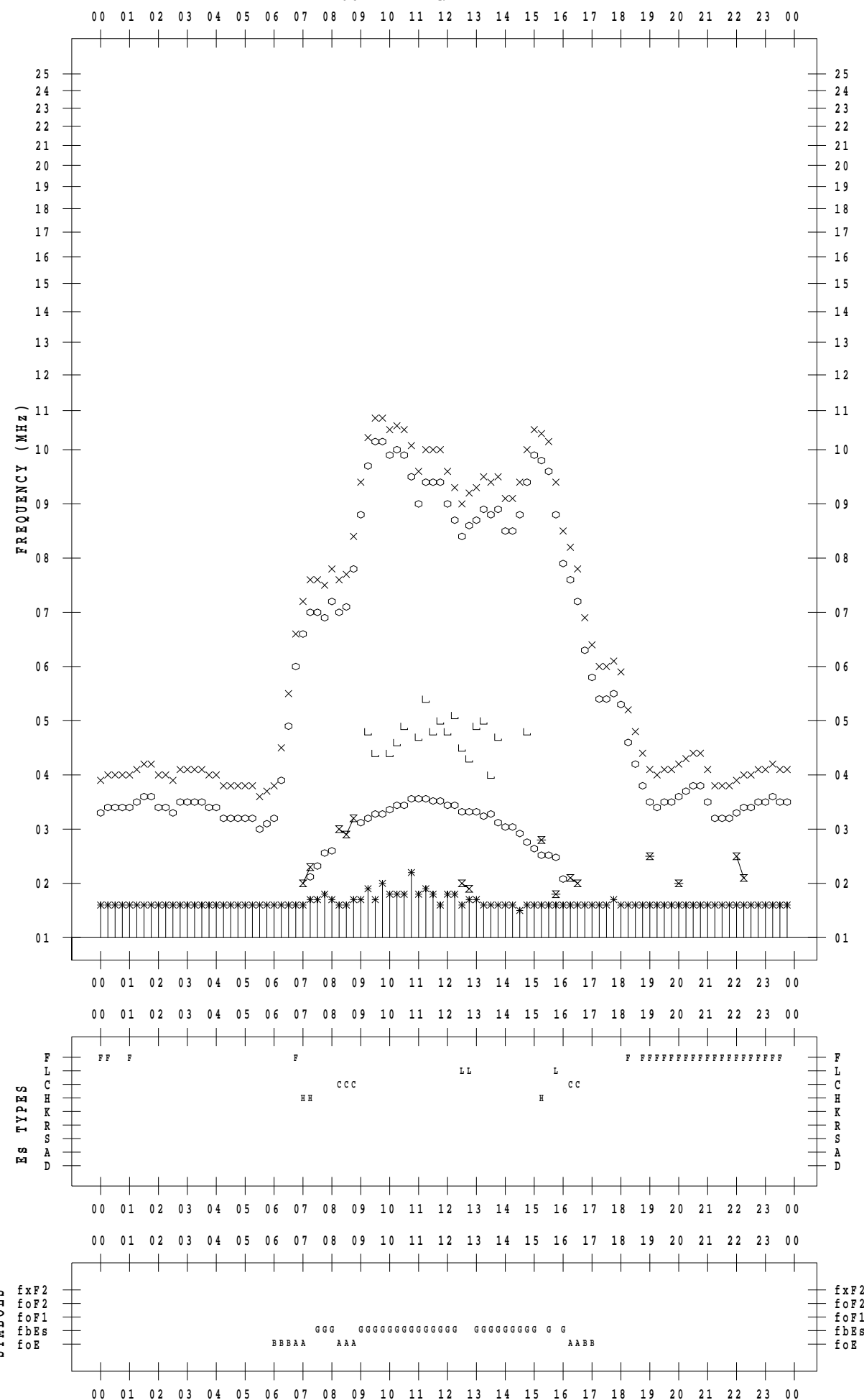
## f - P L O T D A T A

SCALER : I.YAMAZAKI

STATION : Kokubunji

DATE : 2022/12/15

135 ° E MEAN TIME



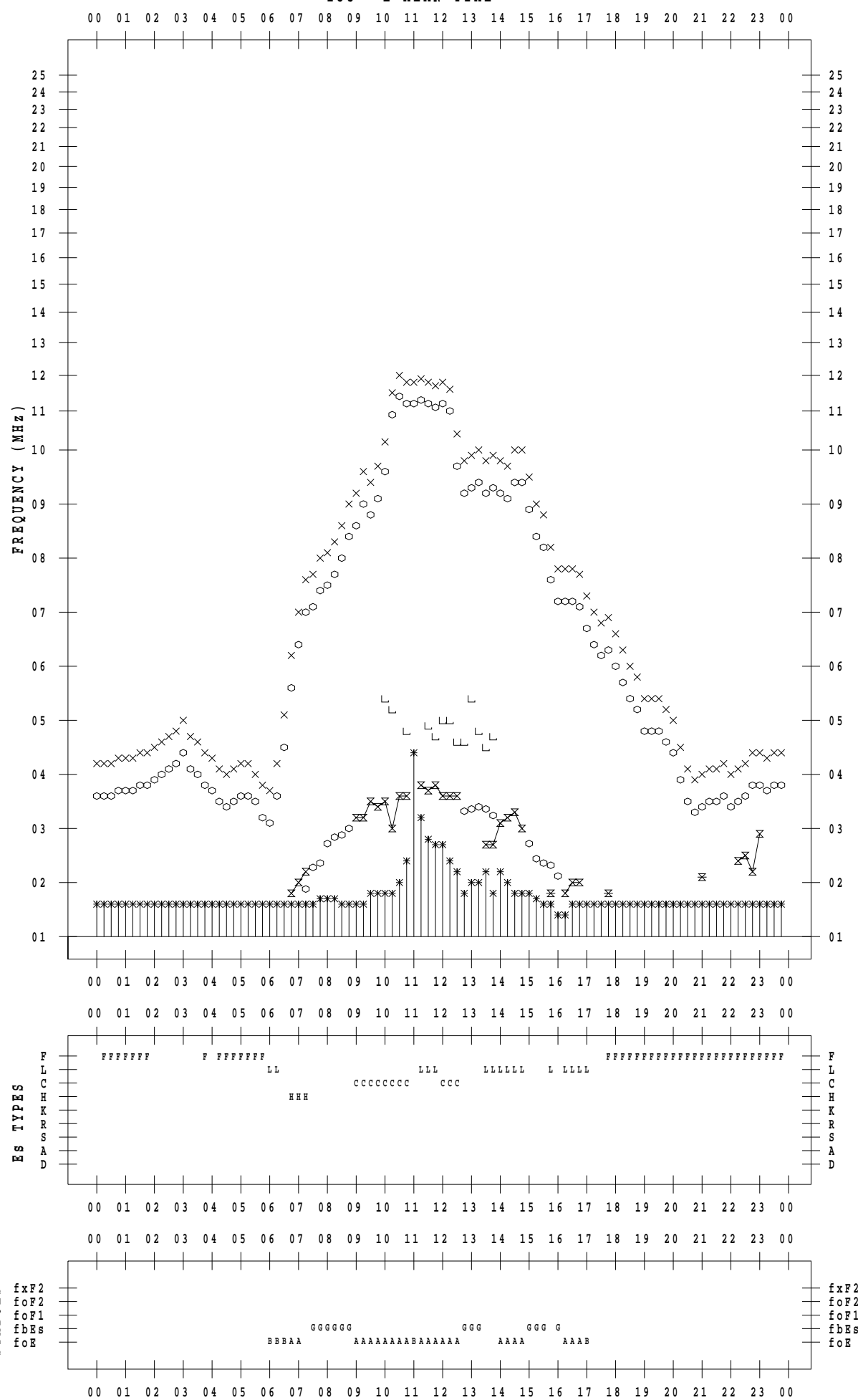
## f - P L O T D A T A

SCALER : I.YAMAZAKI

STATION : Kokubunji

DATE : 2022/12/16

135 °E MEAN TIME



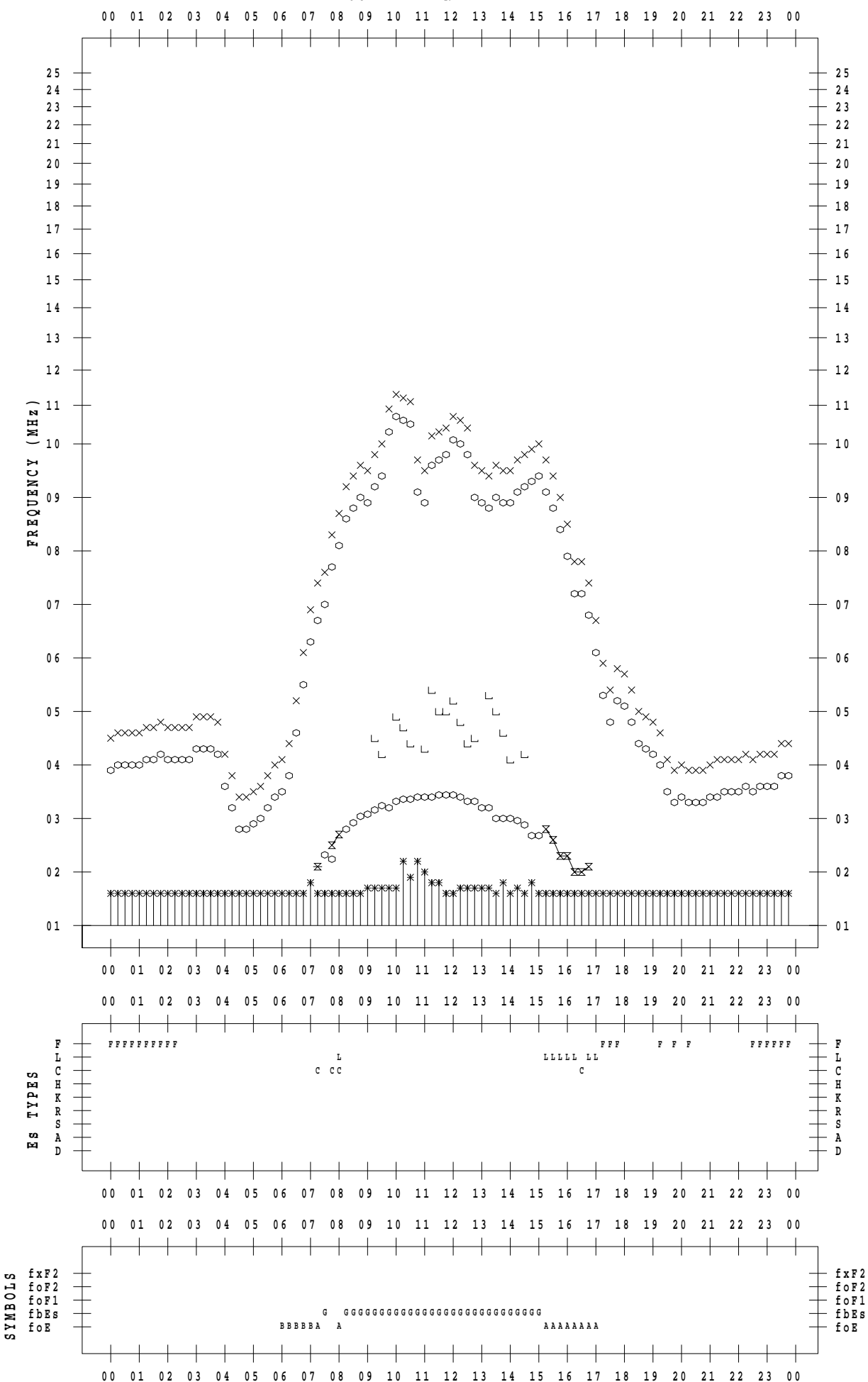
## **f - PLOT DATA**

SCALER : I.YAMAZAKI

STATION : Kokubunji

DATE : 2022 / 12 / 17

135 ° E MEAN TIME



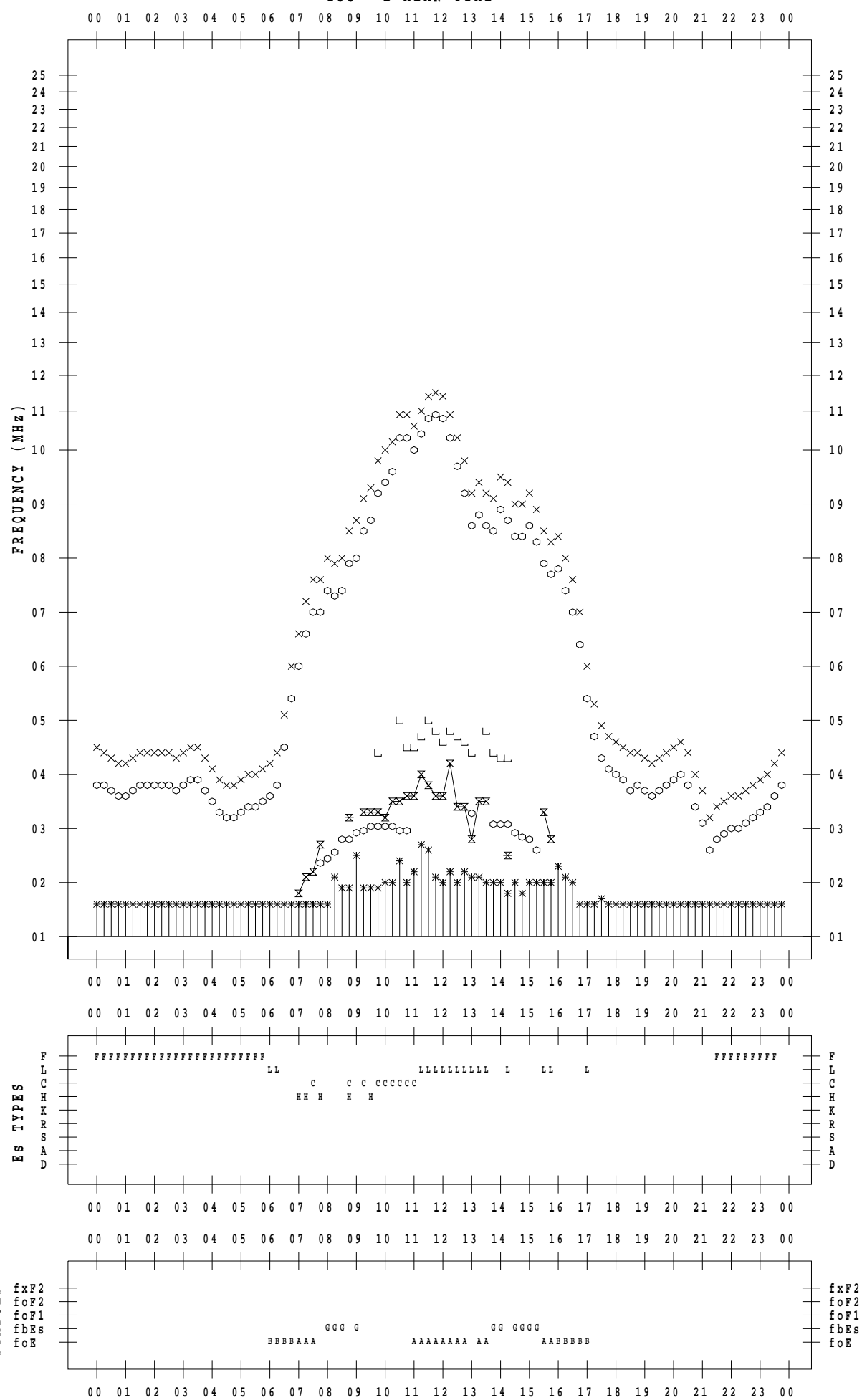
## f - P L O T D A T A

SCALER : I.YAMAZAKI

STATION : Kokubunji

DATE : 2022/12/18

135 ° E MEAN TIME



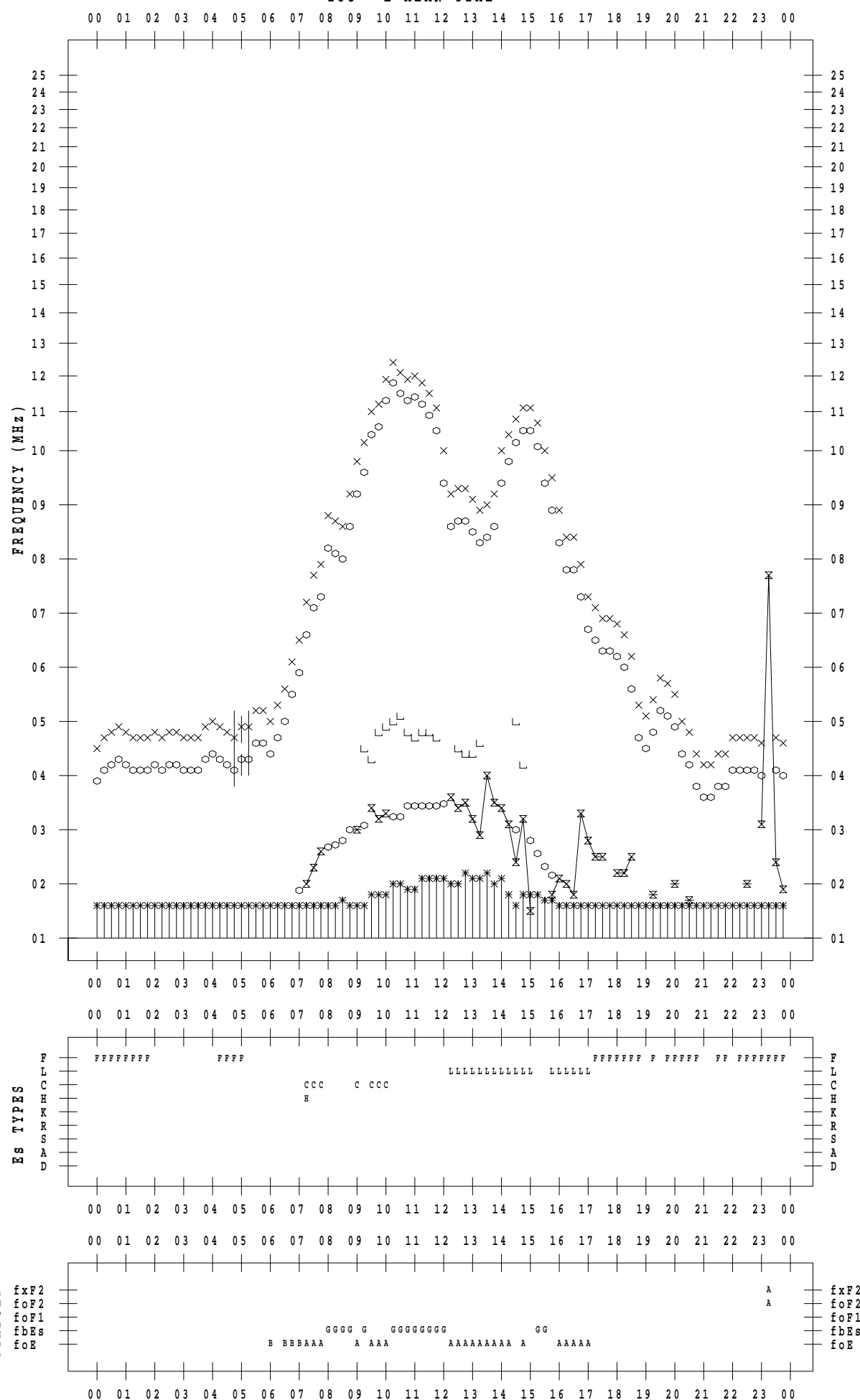
## f - P L O T D A T A

SCALER : I.YAMAZAKI

STATION : Kokubunji

DATE : 2022/12/19

135 ° E MEAN TIME



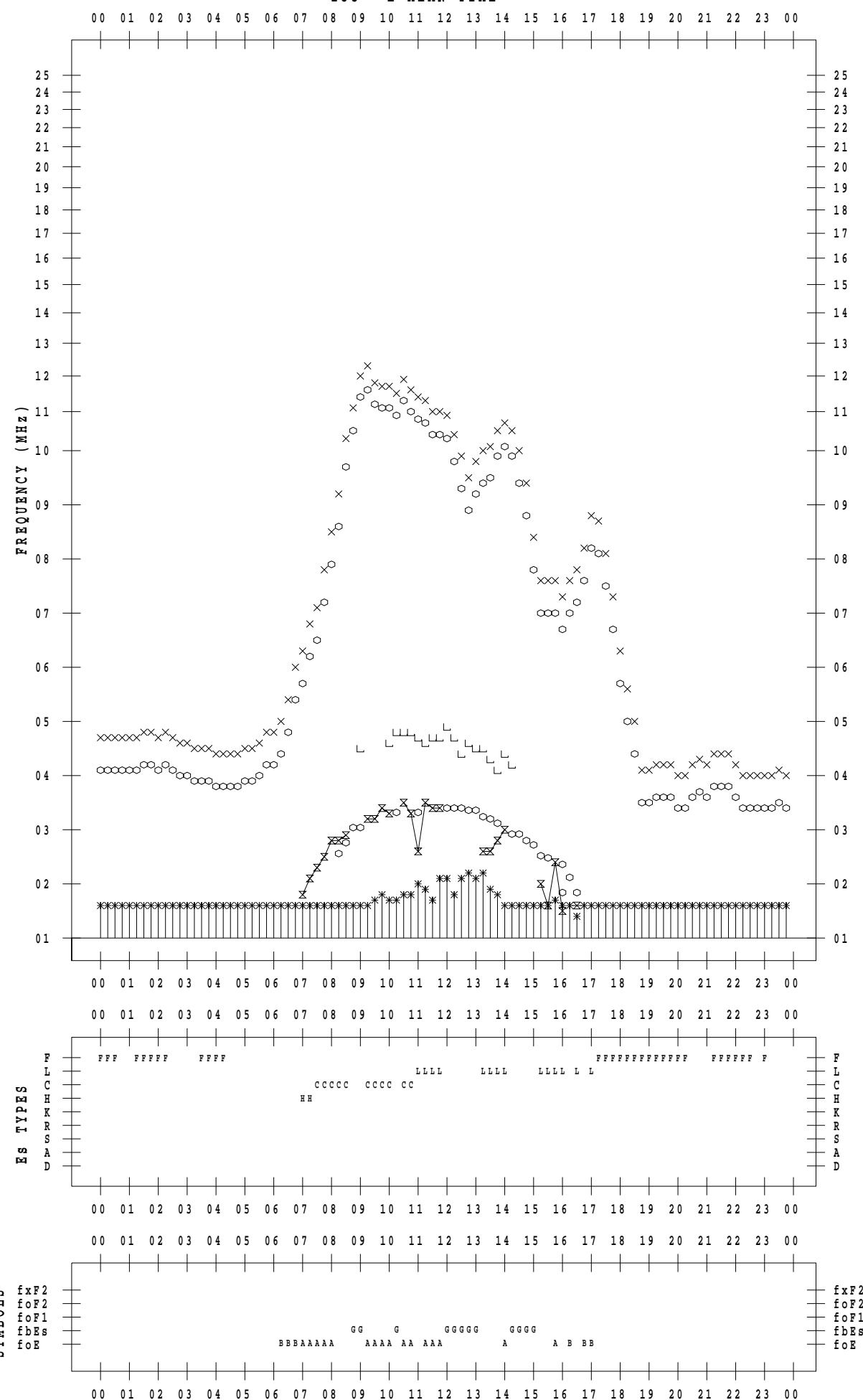
## f - P L O T D A T A

SCALER : I.YAMAZAKI

STATION : Kokubunji

DATE : 2022/12/20

135 ° E MEAN TIME



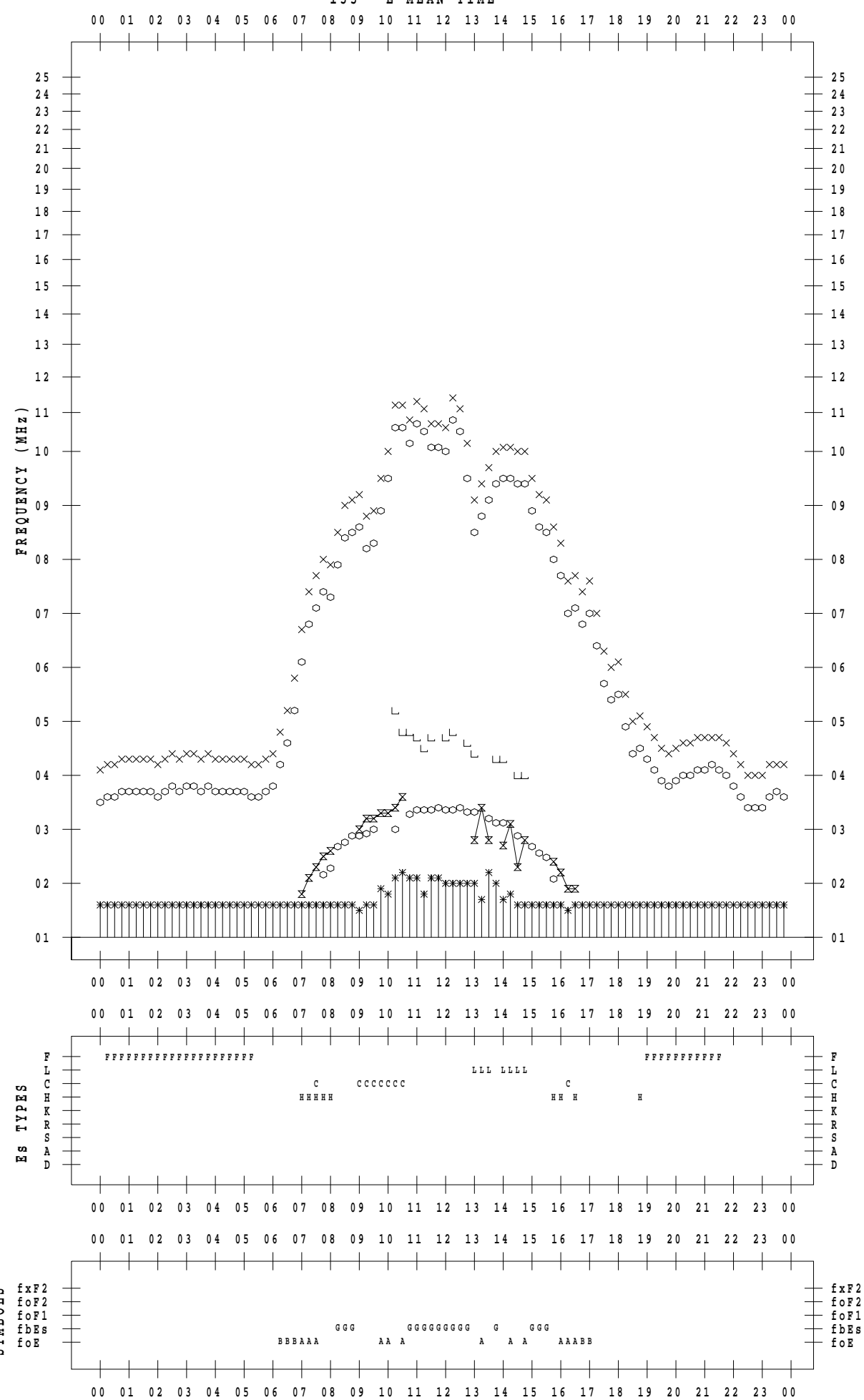
## f - P L O T D A T A

SCALER : I.YAMAZAKI

STATION : Kokubunji

DATE : 2022/12/21

135 °E MEAN TIME



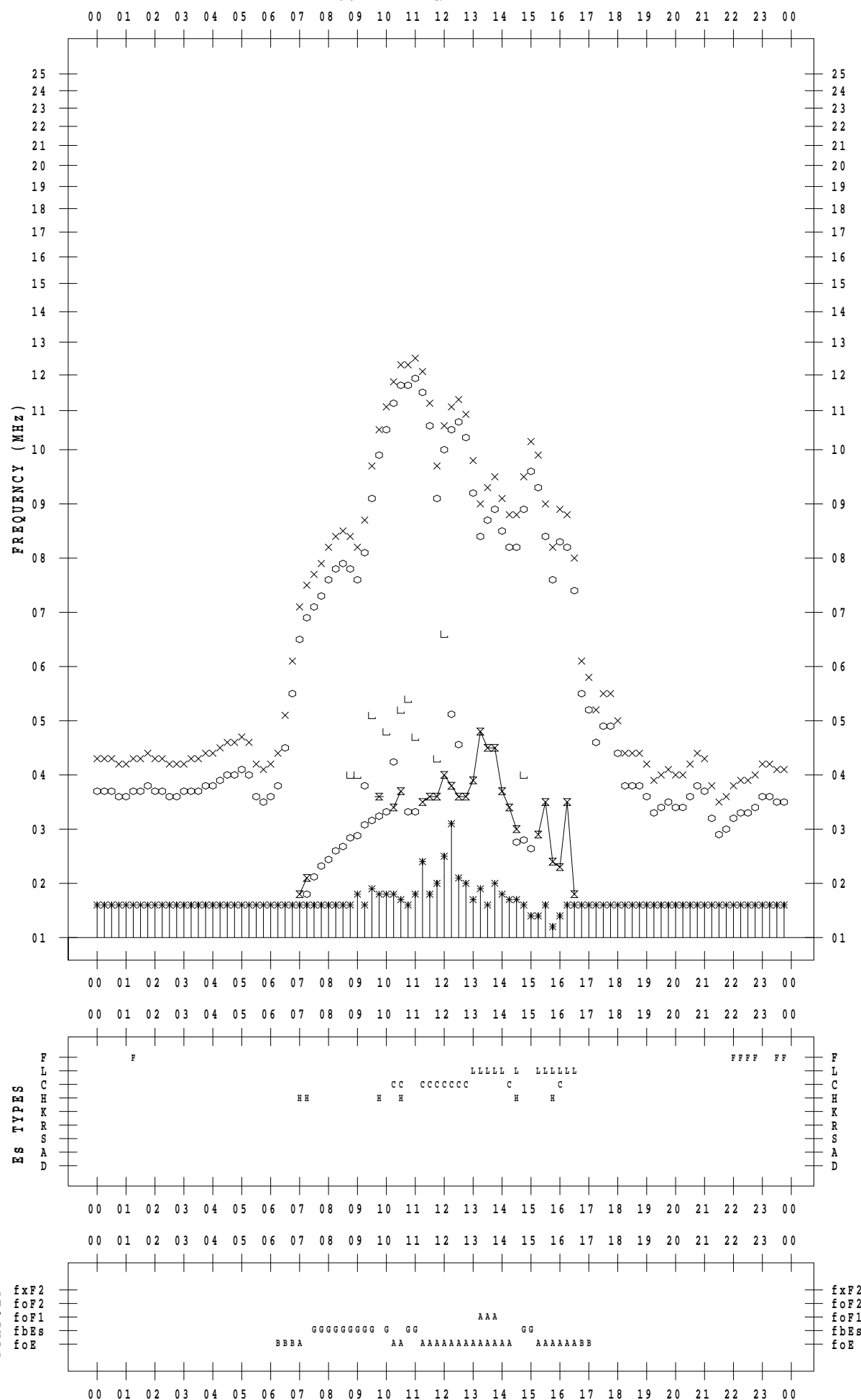
## f - P L O T D A T A

SCALER : I.YAMAZAKI

STATION : Kokubunji

DATE : 2022/12/22

135 ° E MEAN TIME



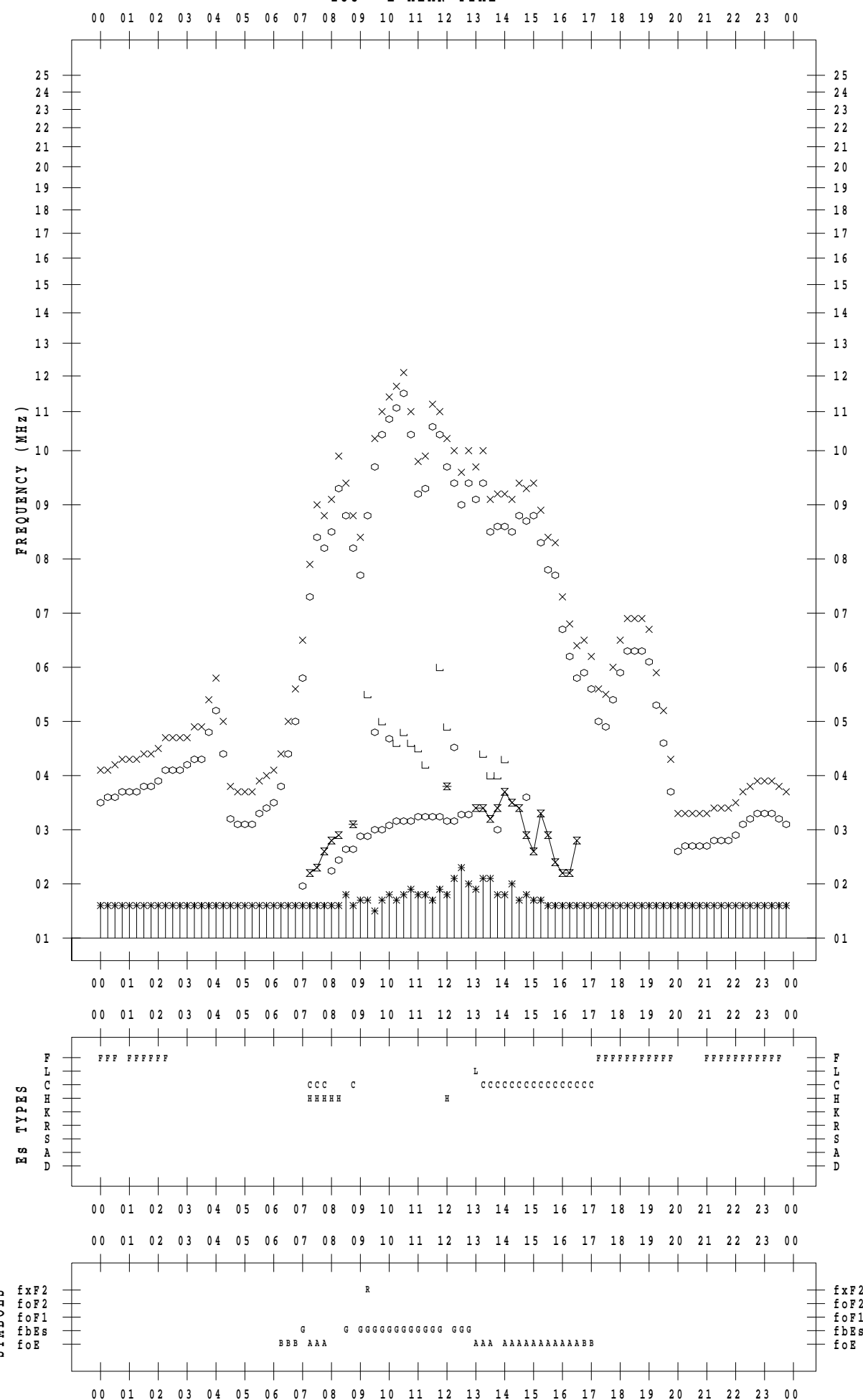
## f - P L O T D A T A

SCALER : I.YAMAZAKI

STATION : Kokubunji

DATE : 2022/12/23

135 ° E MEAN TIME



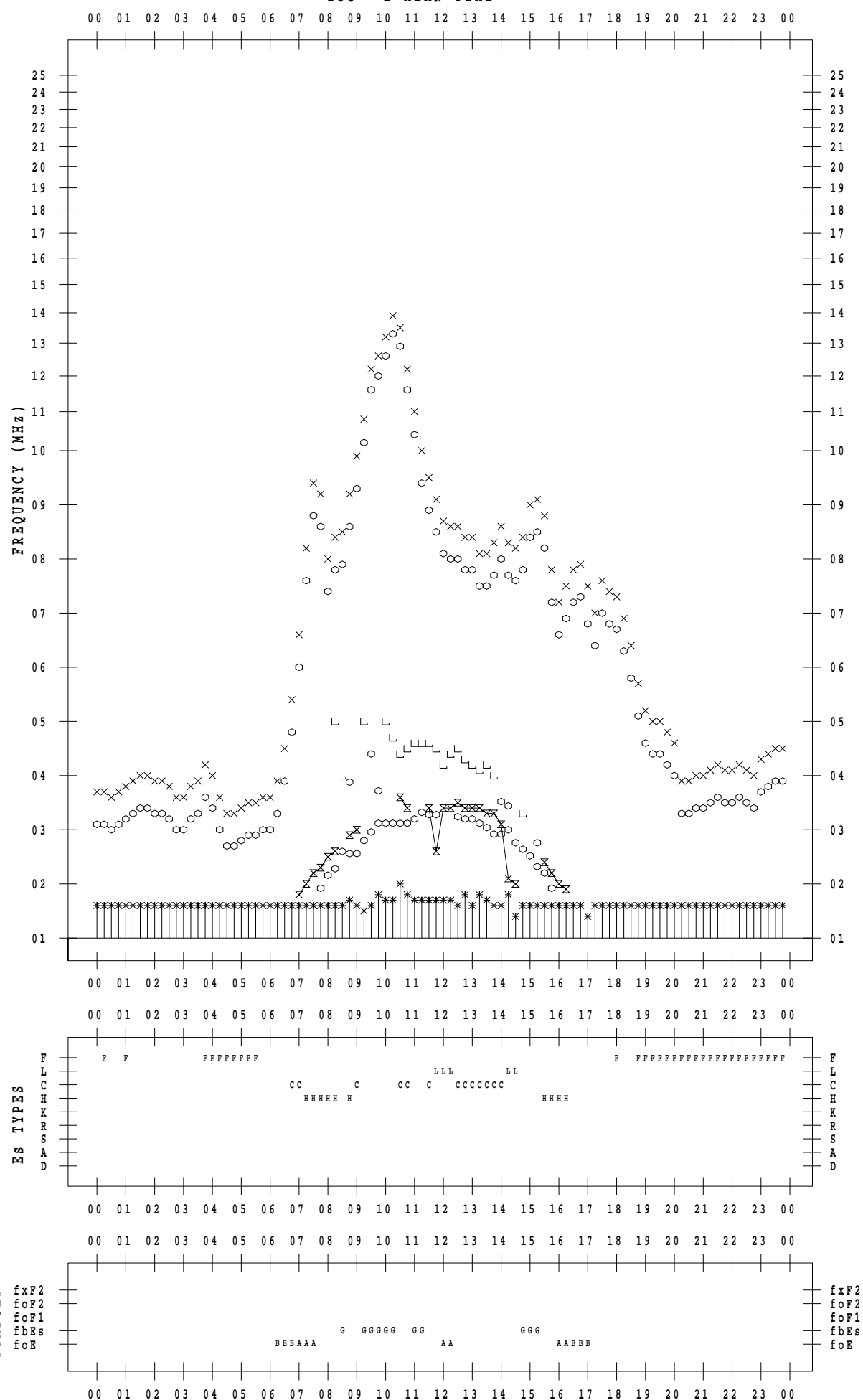
## f - P L O T D A T A

SCALER : I.YAMAZAKI

STATION : Kokubunji

DATE : 2022/12/24

135 ° E MEAN TIME



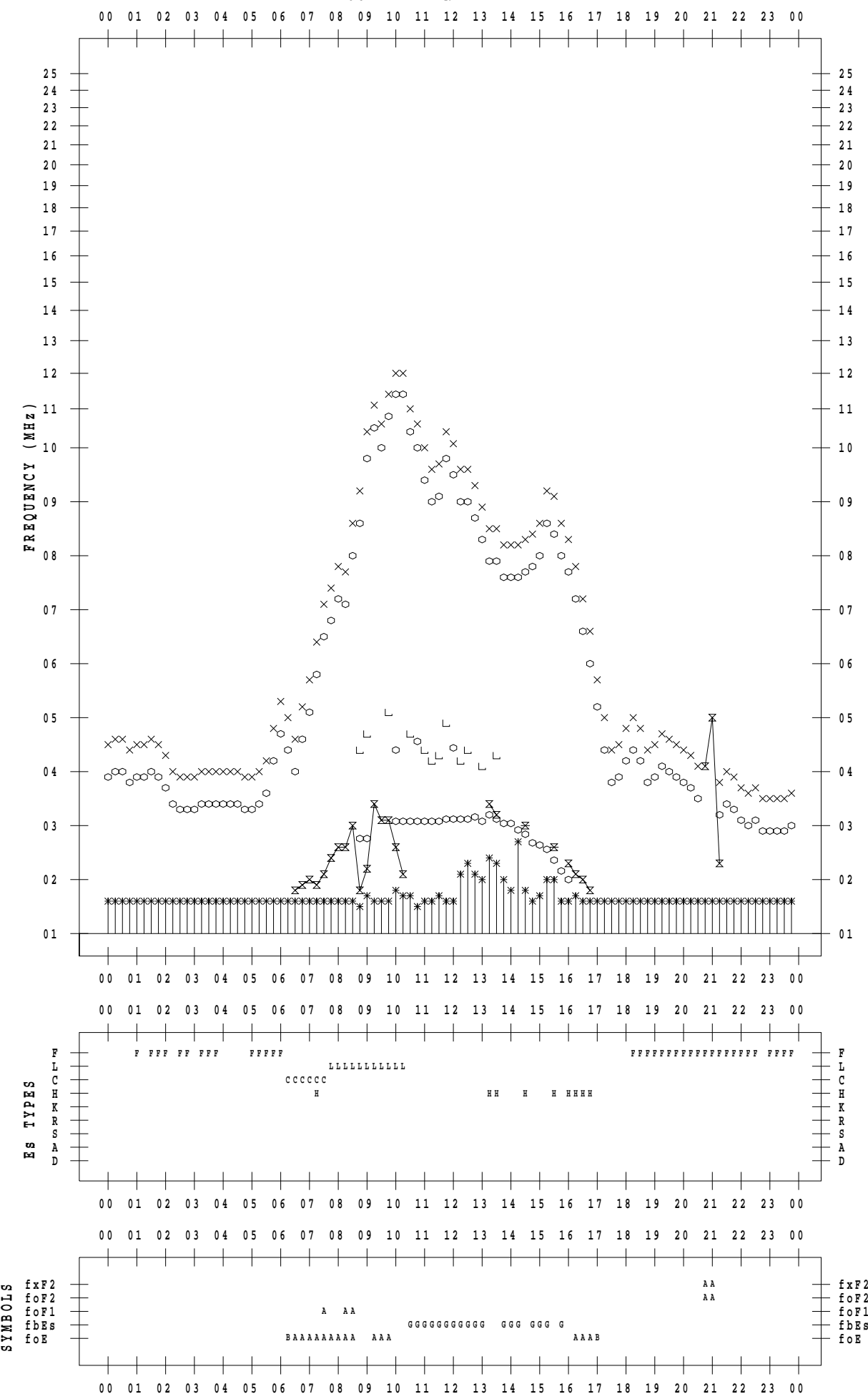
## **f - PLOT DATA**

SCALER : I.YAMAZAKI

STATION : Kokubunji

DATE : 2022 / 12 / 25

135° E MEAN TIME



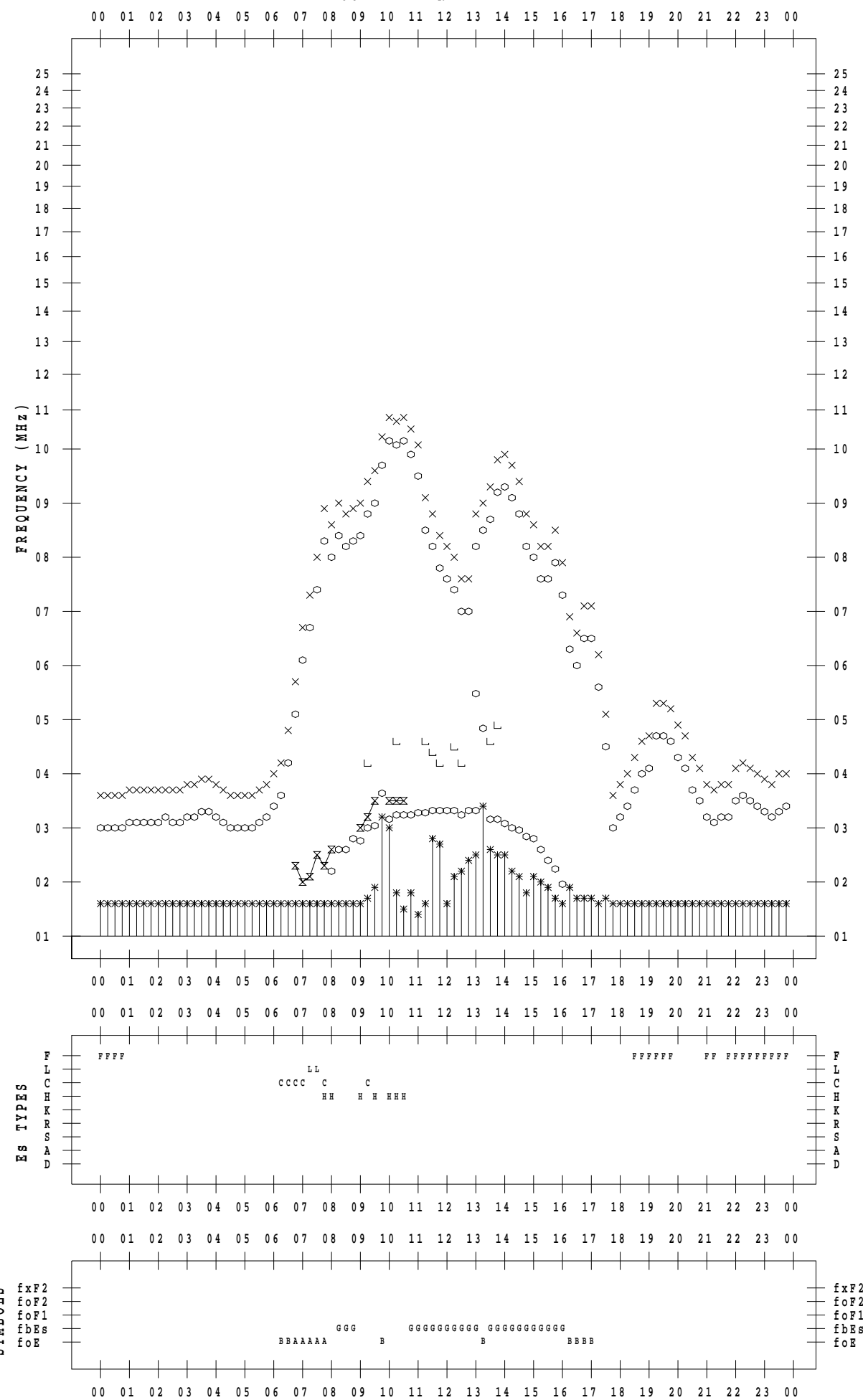
## f - P L O T D A T A

SCALER : I.YAMAZAKI

STATION : Kokubunji

DATE : 2022/12/26

135 °E MEAN TIME



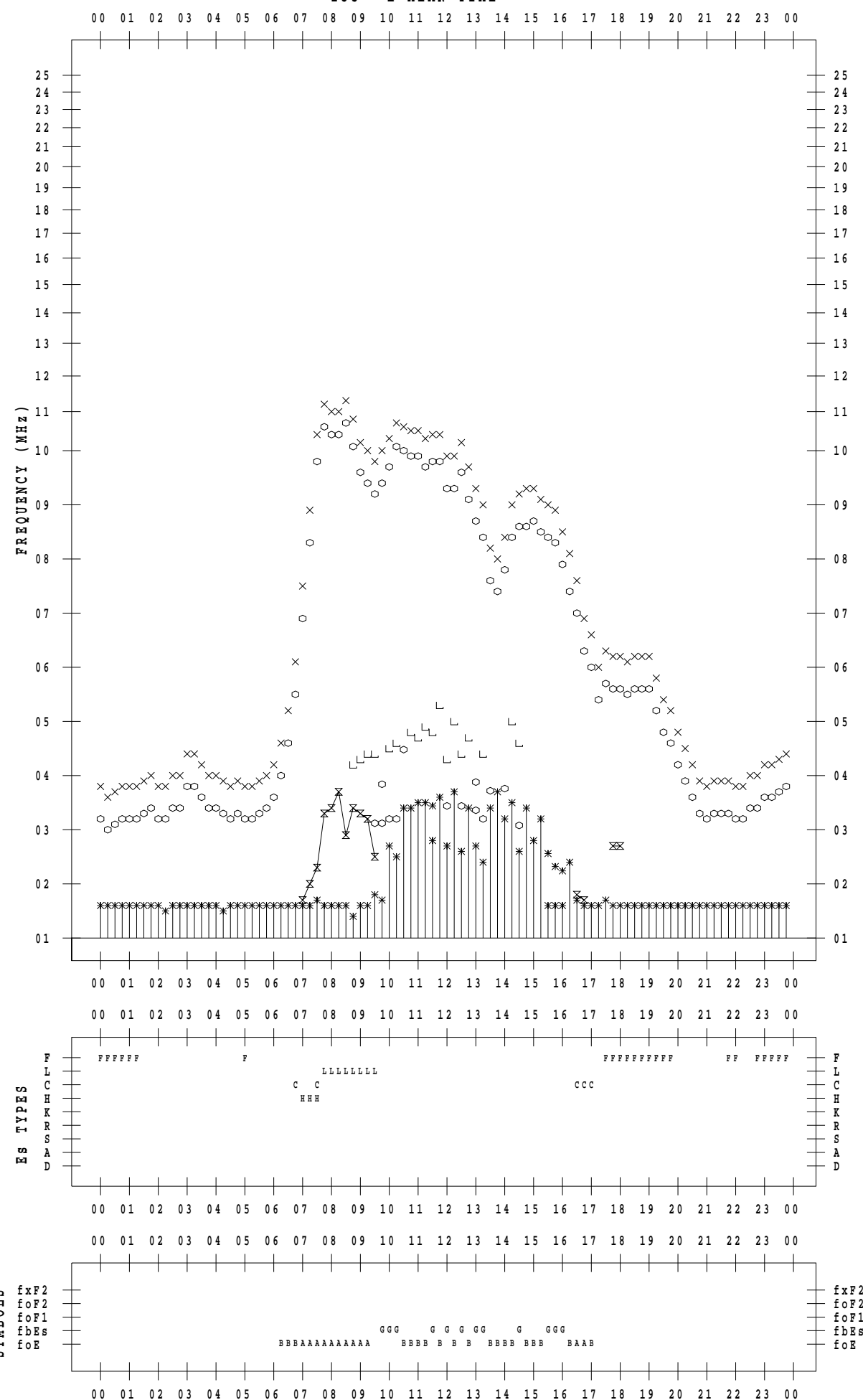
## f - P L O T D A T A

SCALER : I.YAMAZAKI

STATION : Kokubunji

DATE : 2022/12/27

135 ° E MEAN TIME



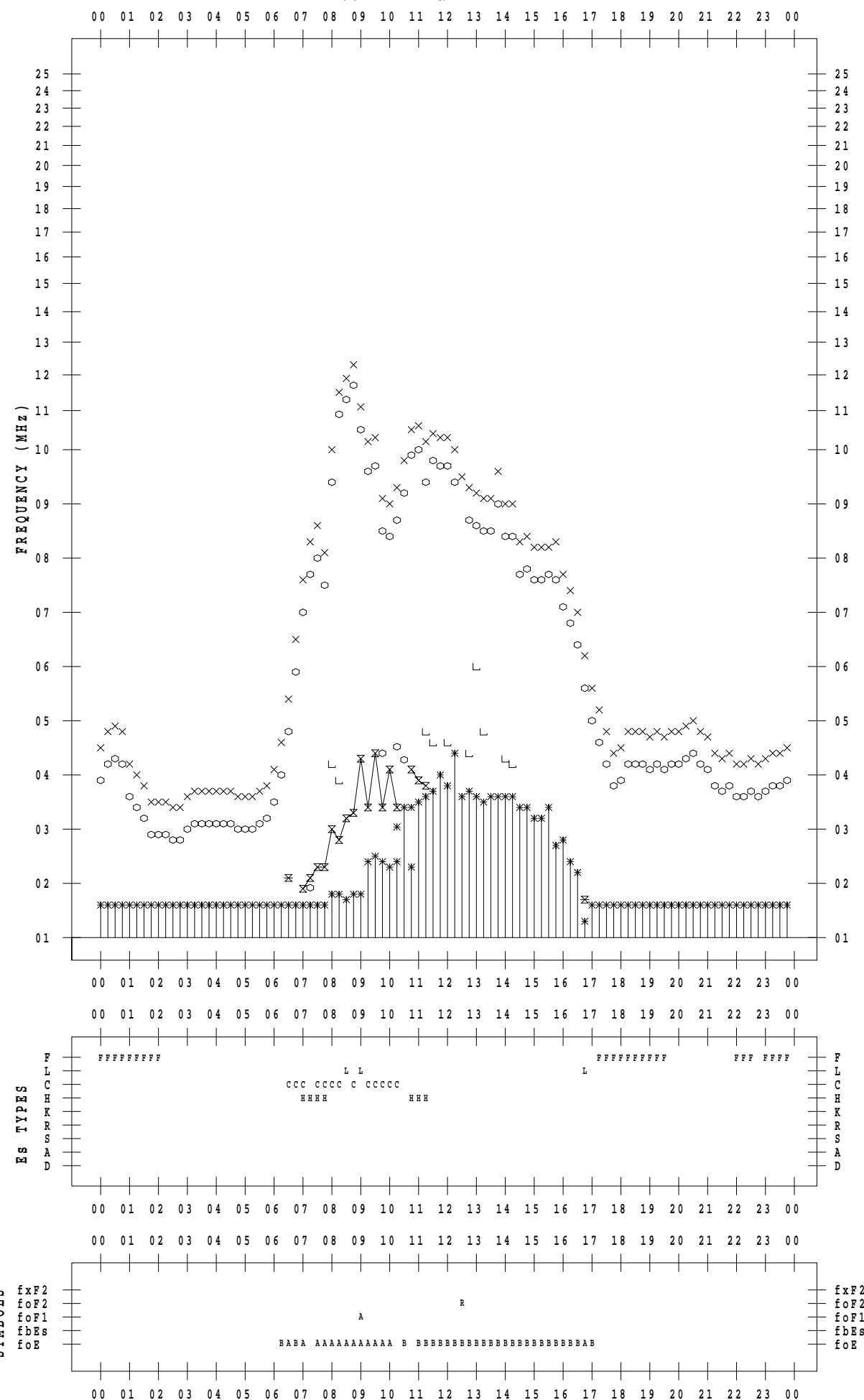
## f - P L O T D A T A

SCALER : I.YAMAZAKI

STATION : Kokubunji

DATE : 2022/12/28

135 ° E MEAN TIME



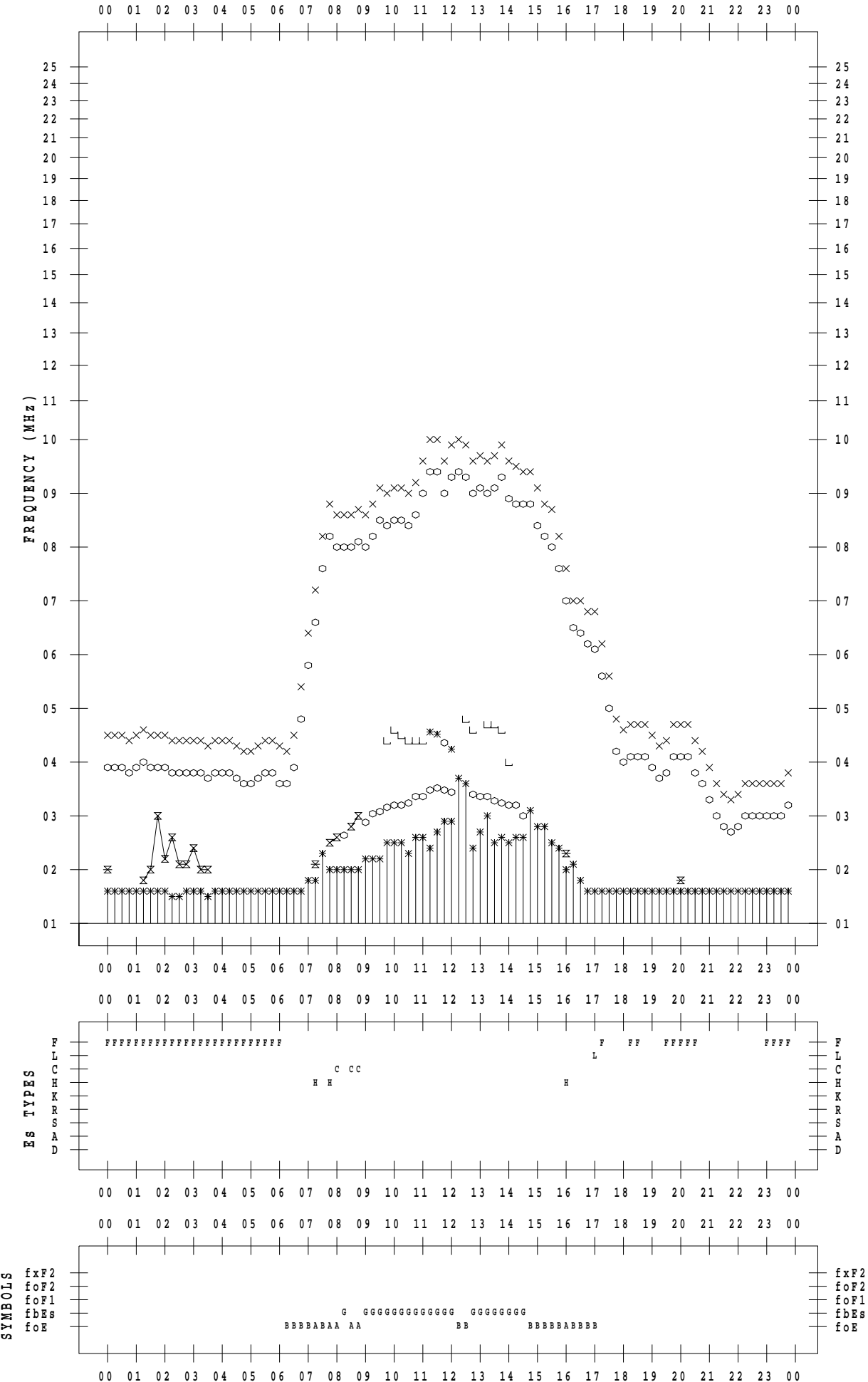
## **f - PLOT DATA**

SCALER : I.YAMAZAKI

STATION : Kokubunji

DATE : 2022 / 12 / 29

135 ° E MEAN TIME



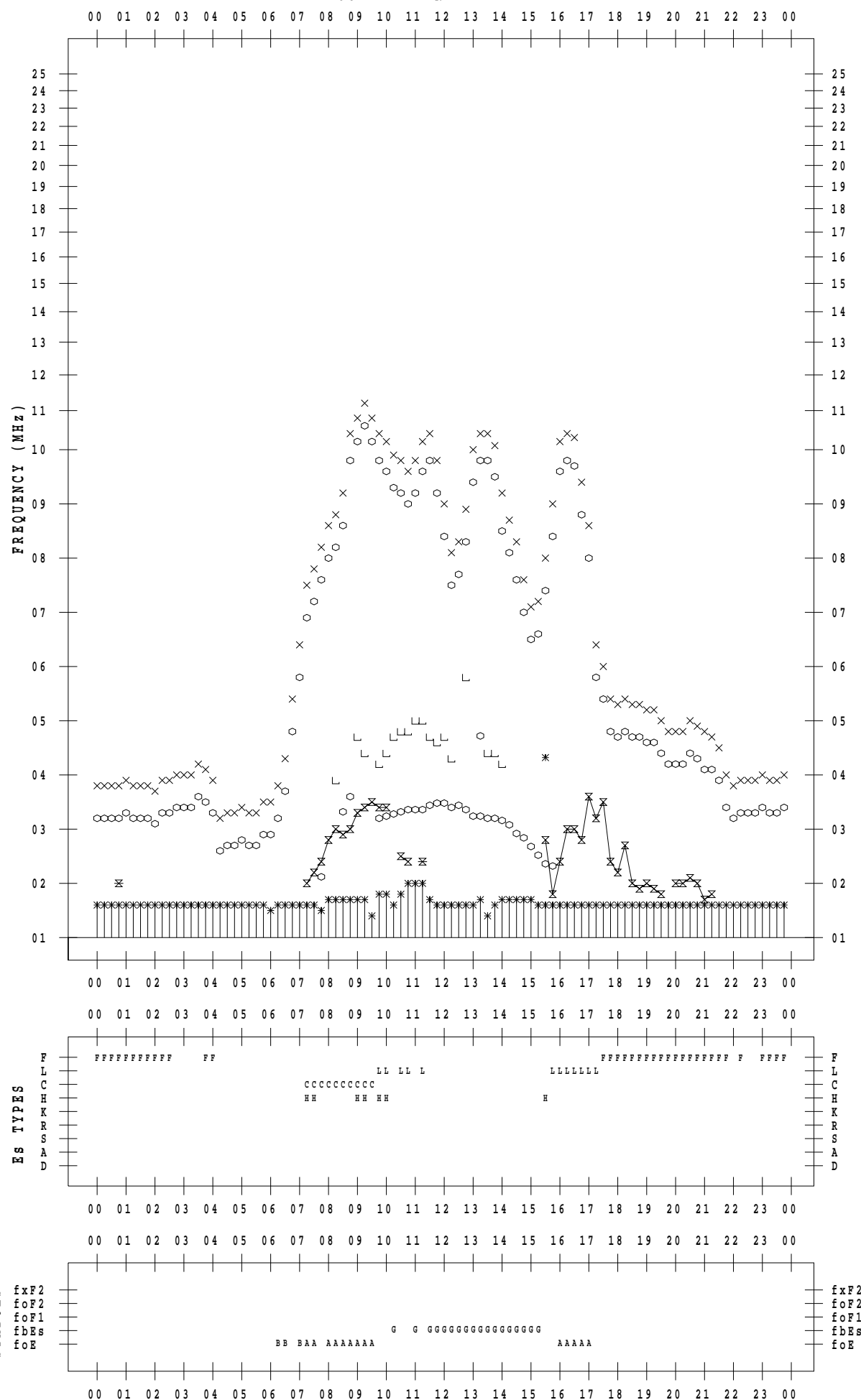
## f - P L O T D A T A

SCALER : I.YAMAZAKI

STATION : Kokubunji

DATE : 2022/12/30

135 ° E MEAN TIME



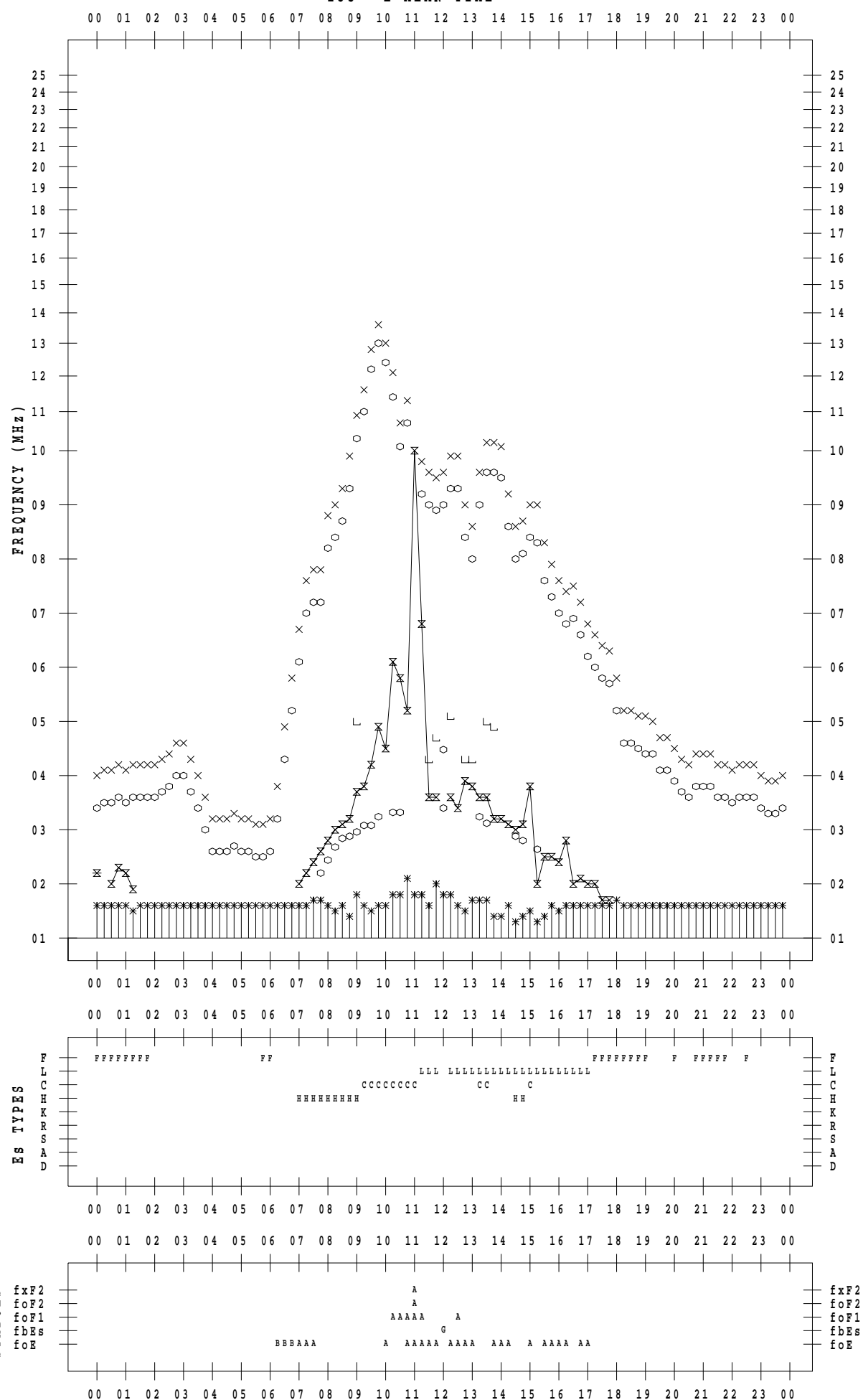
## f - P L O T D A T A

SCALER : I.YAMAZAKI

STATION : Kokubunji

DATE : 2022/12/31

135 ° E MEAN TIME



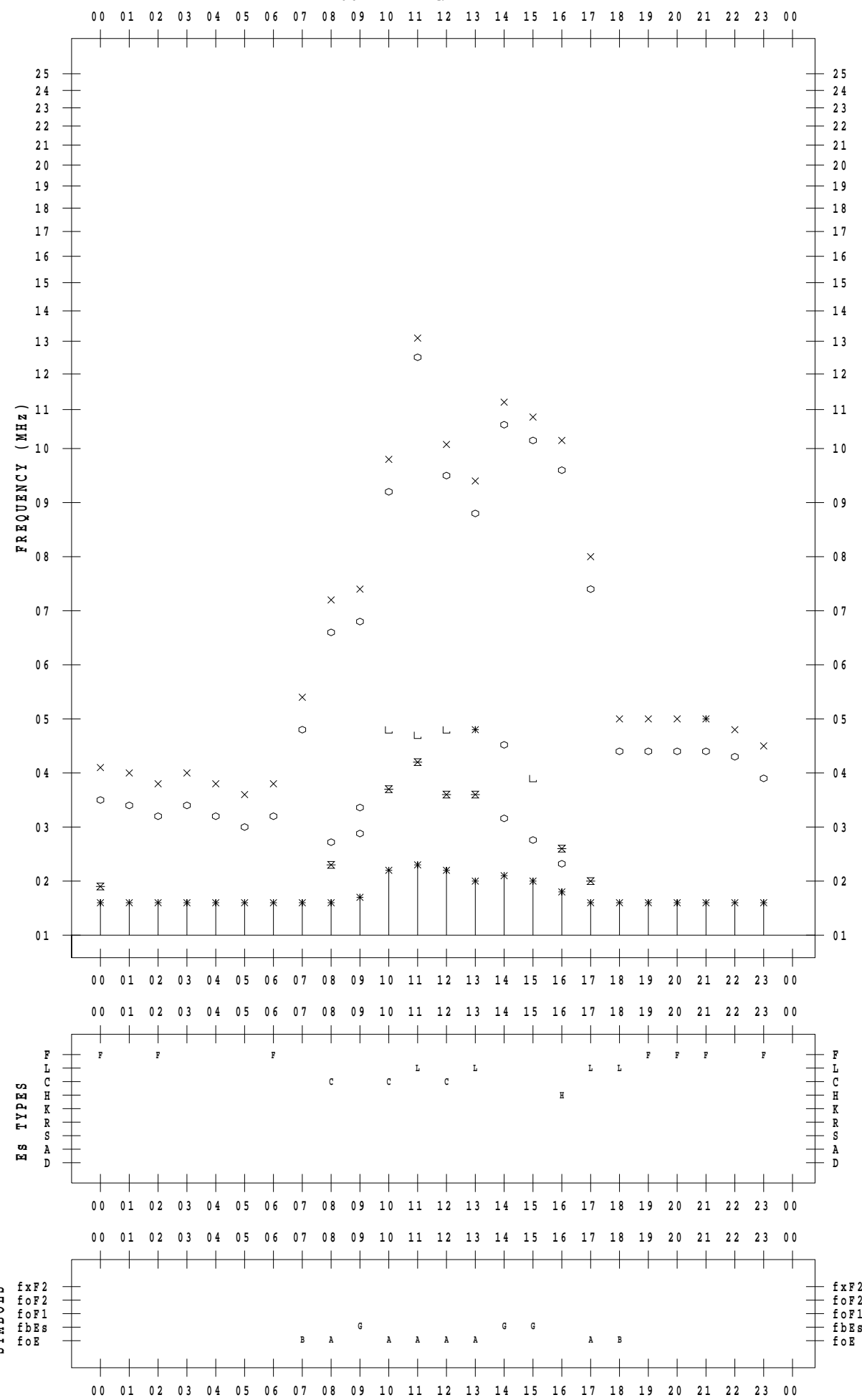
## f - P L O T D A T A

SCALER : I.YAMAZAKI

STATION : Yamagawa

DATE : 2022/12/1

135 ° E MEAN TIME



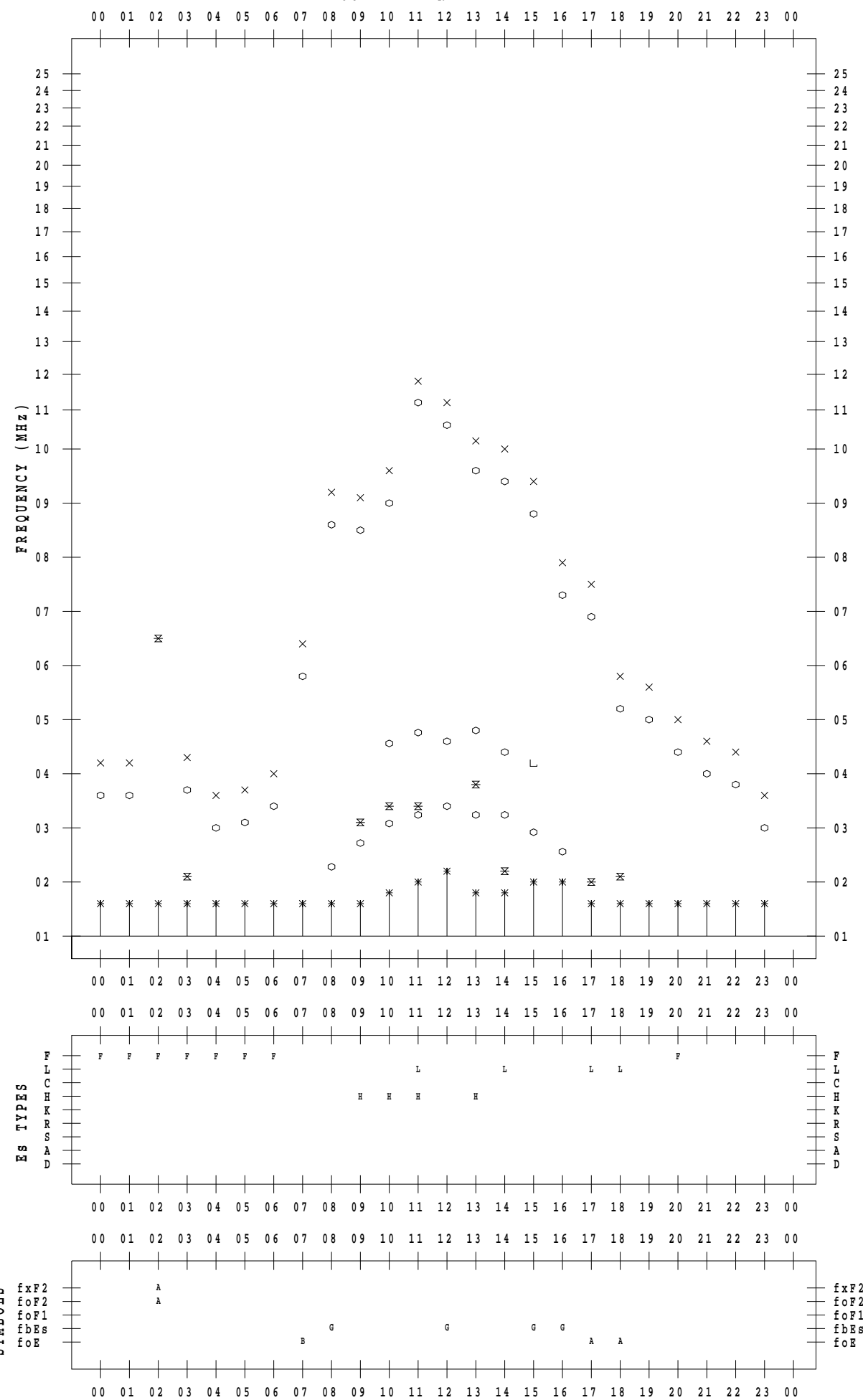
## f - P L O T D A T A

SCALER : I.YAMAZAKI

STATION : Yamagawa

DATE : 2022/12/2

135 ° E MEAN TIME



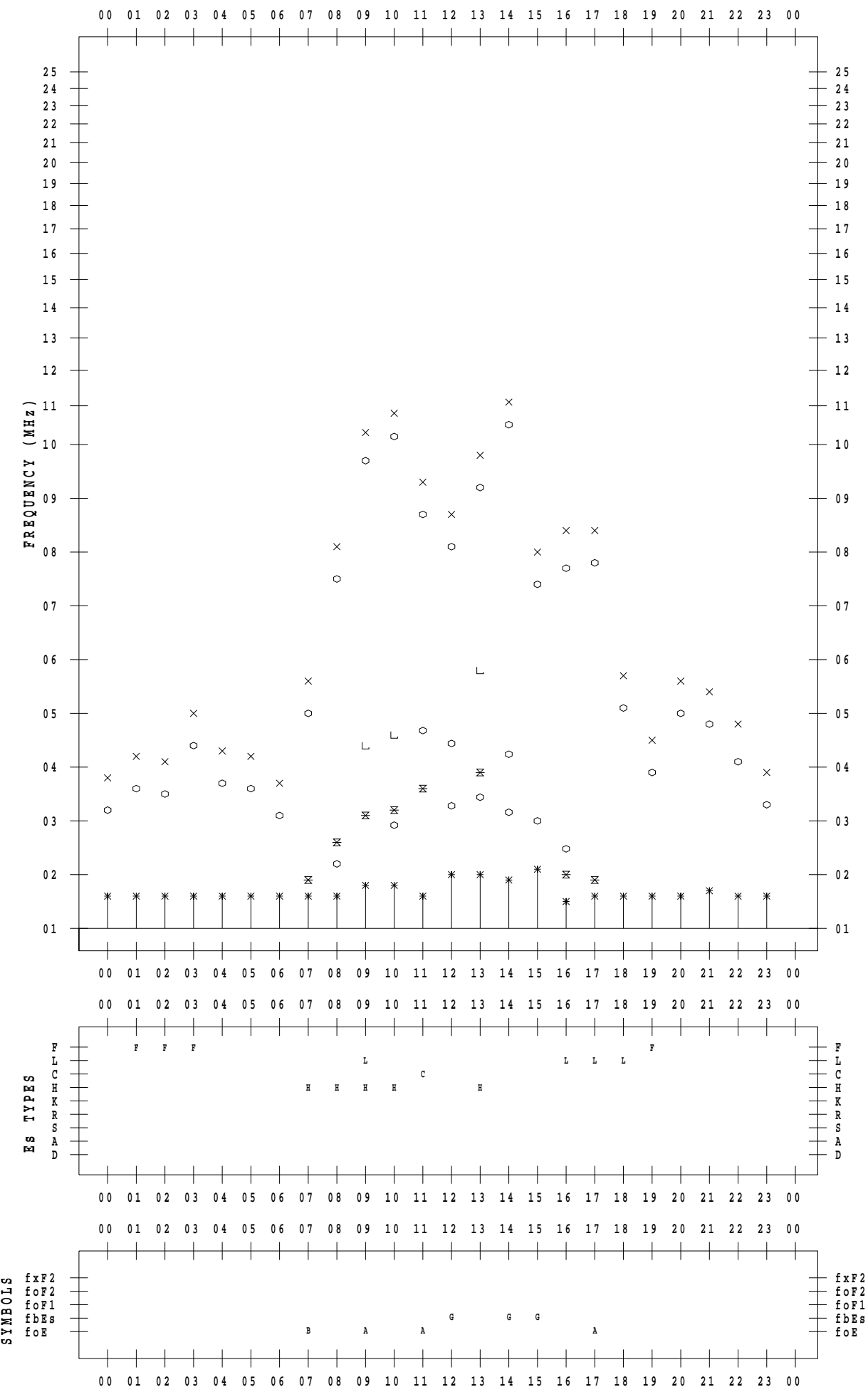
## **f - PLOT DATA**

SCALER : I.YAMAZAKI

STATION : Yamagawa

DATE : 2022 / 12 / 3

135 ° E MEAN TIME



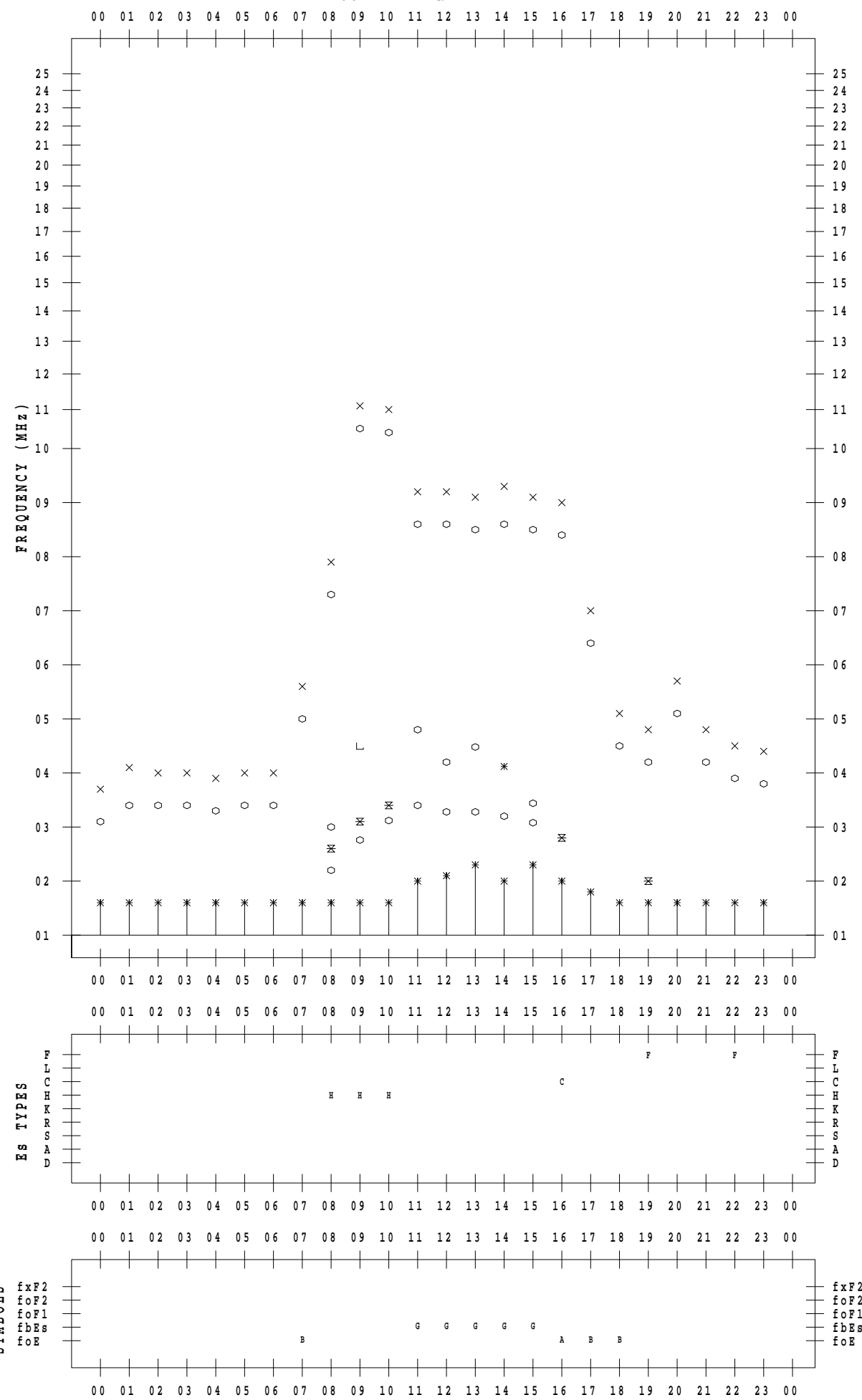
## f - P L O T D A T A

SCALER : I.YAMAZAKI

STATION : Yamagawa

DATE : 2022/12/4

135 ° E MEAN TIME



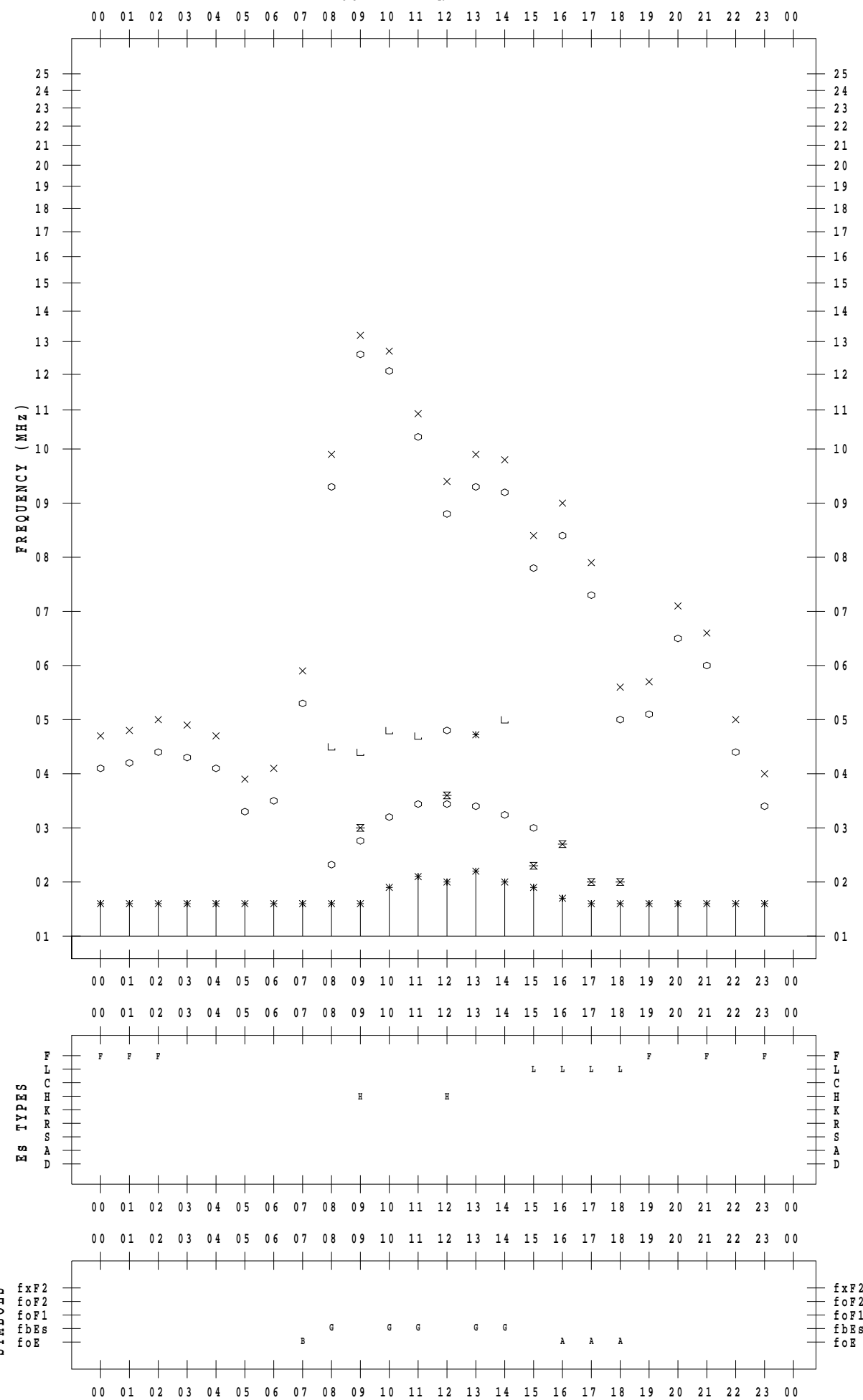
## f - P L O T D A T A

SCALER : I.YAMAZAKI

STATION : Yamagawa

DATE : 2022/12/5

135 °E MEAN TIME



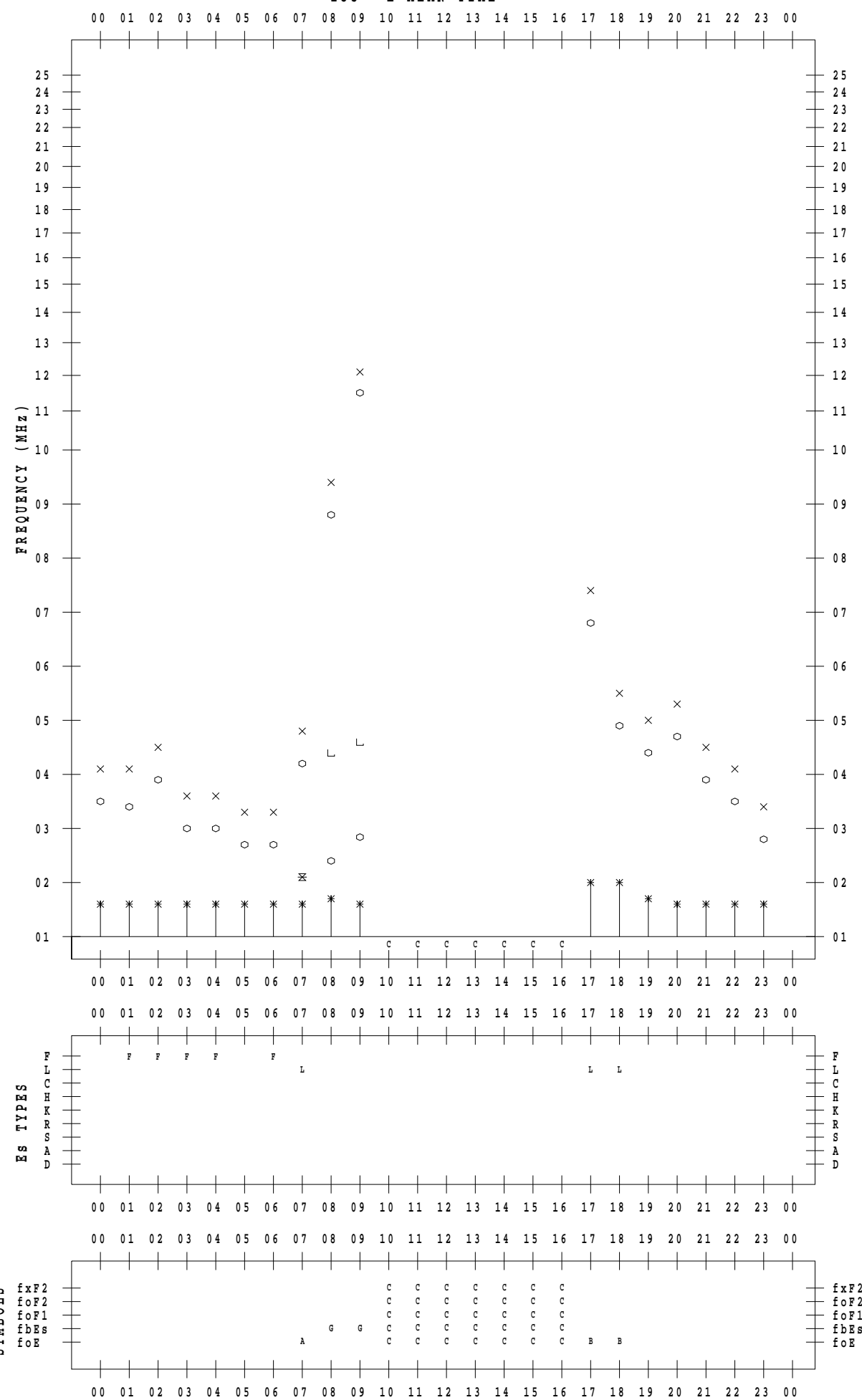
## f - P L O T D A T A

SCALER : I.YAMAZAKI

STATION : Yamagawa

DATE : 2022/12/6

135 ° E MEAN TIME



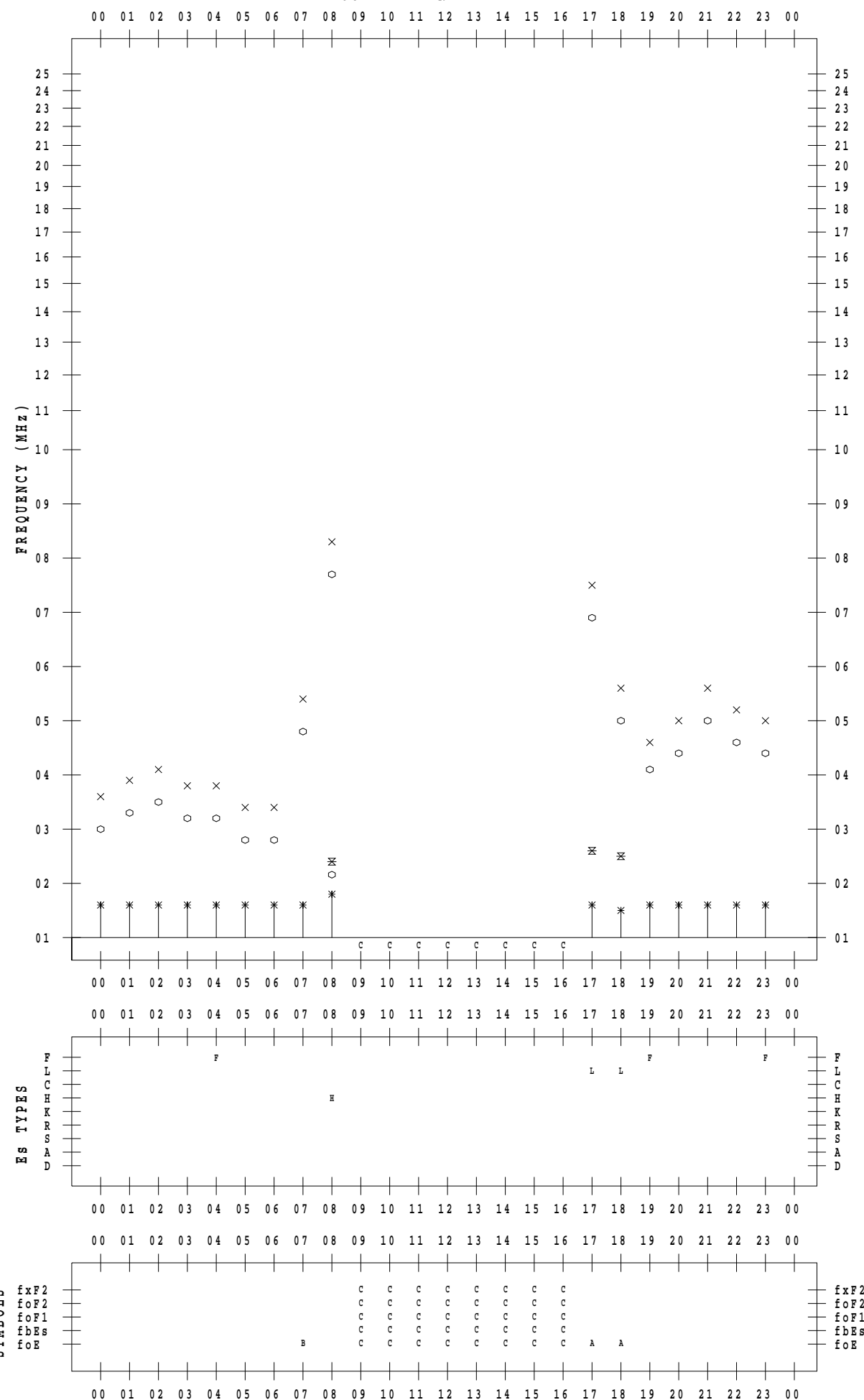
## f - P L O T D A T A

SCALER : I.YAMAZAKI

STATION : Yamagawa

DATE : 2022/12/7

135 ° E MEAN TIME



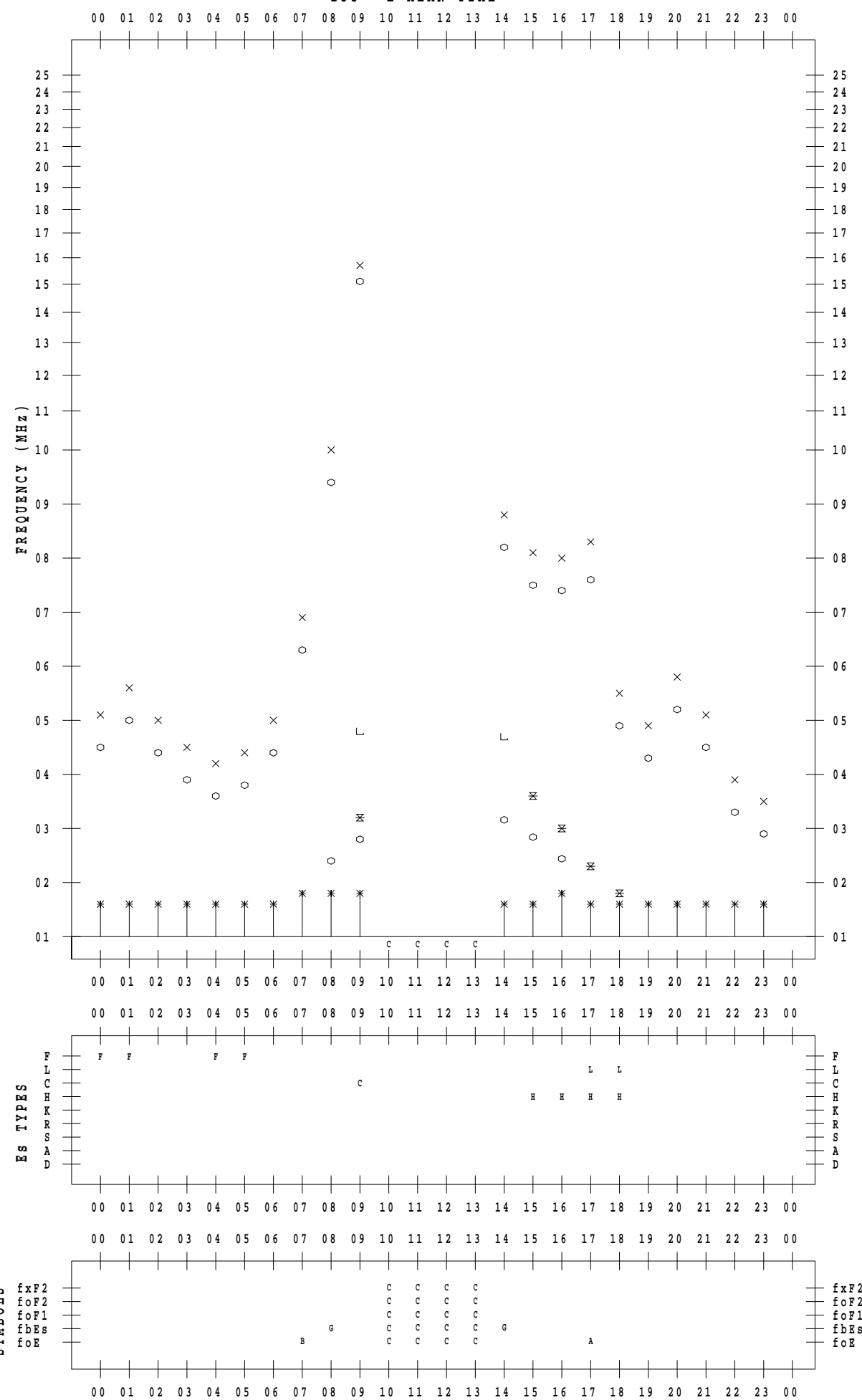
## f - P L O T D A T A

SCALER : I.YAMAZAKI

STATION : Yamagawa

DATE : 2022/12/8

135 ° E MEAN TIME



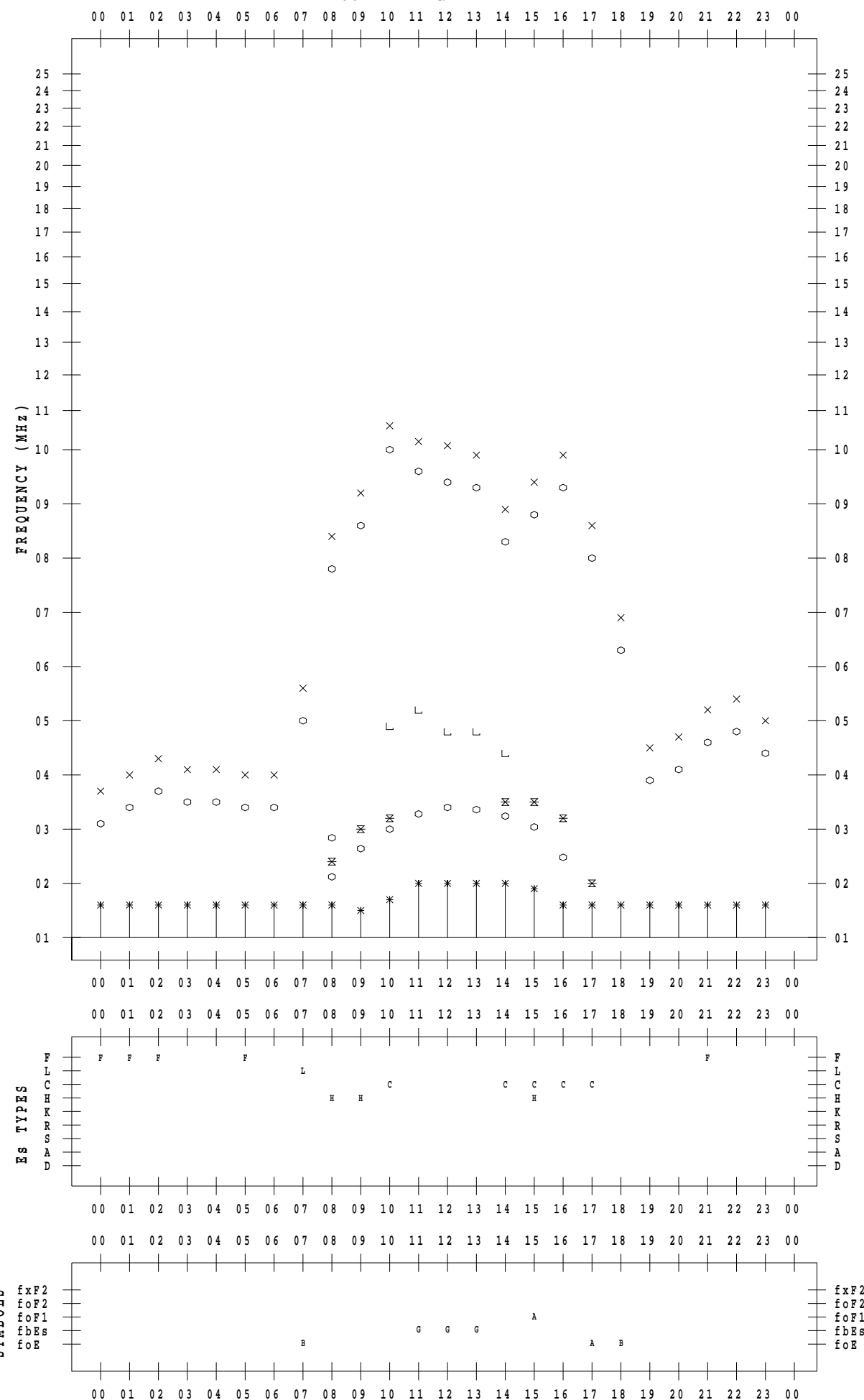
## f - P L O T D A T A

SCALER : I.YAMAZAKI

STATION : Yamagawa

DATE : 2022/12/9

135 ° E MEAN TIME



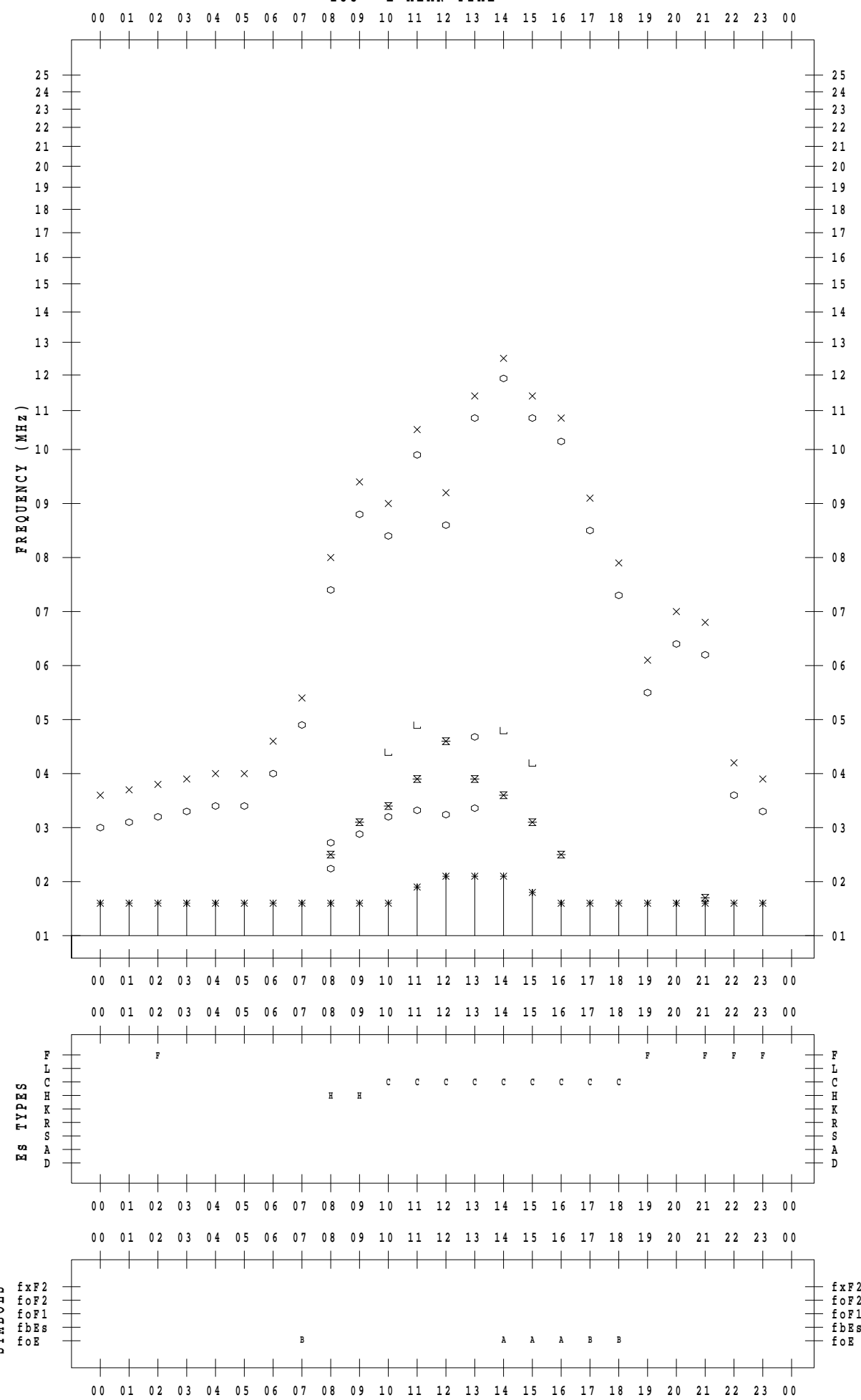
## f - P L O T D A T A

SCALER : I.YAMAZAKI

STATION : Yamagawa

DATE : 2022/12/10

135 ° E MEAN TIME



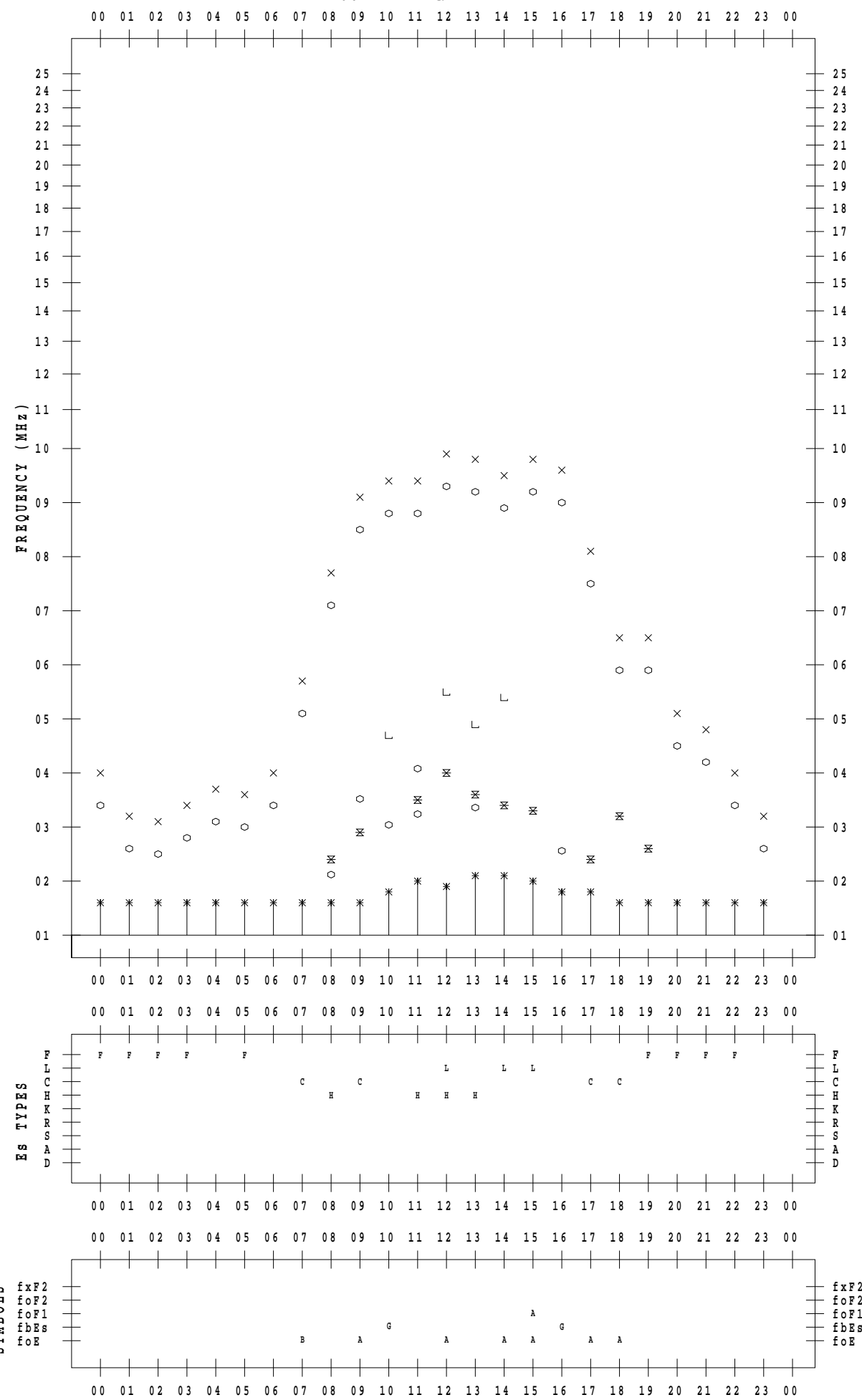
## f - P L O T D A T A

SCALER : I.YAMAZAKI

STATION : Yamagawa

DATE : 2022/12/11

135 ° E MEAN TIME



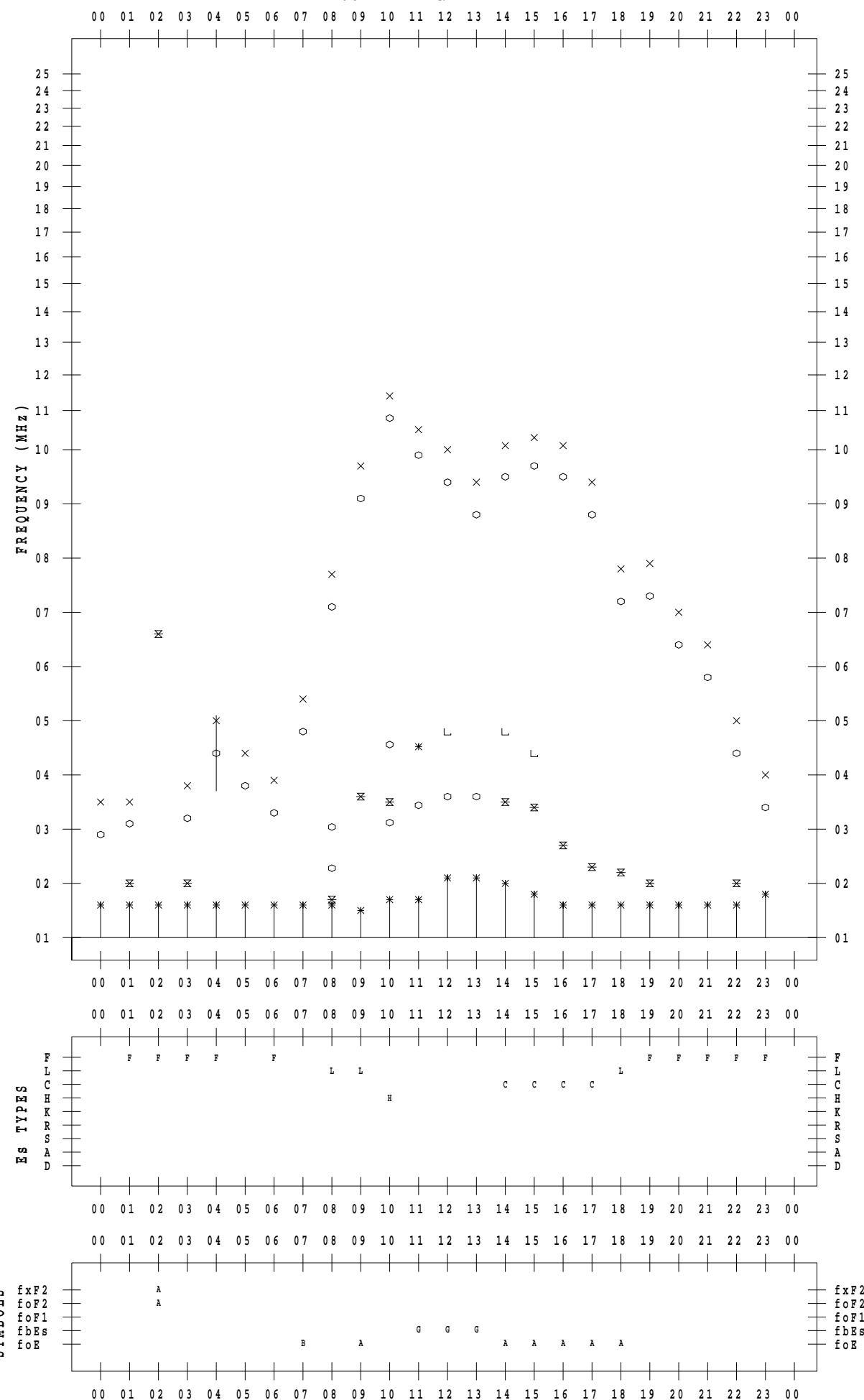
## f - P L O T D A T A

SCALER : I.YAMAZAKI

STATION : Yamagawa

DATE : 2022/12/12

135 ° E MEAN TIME



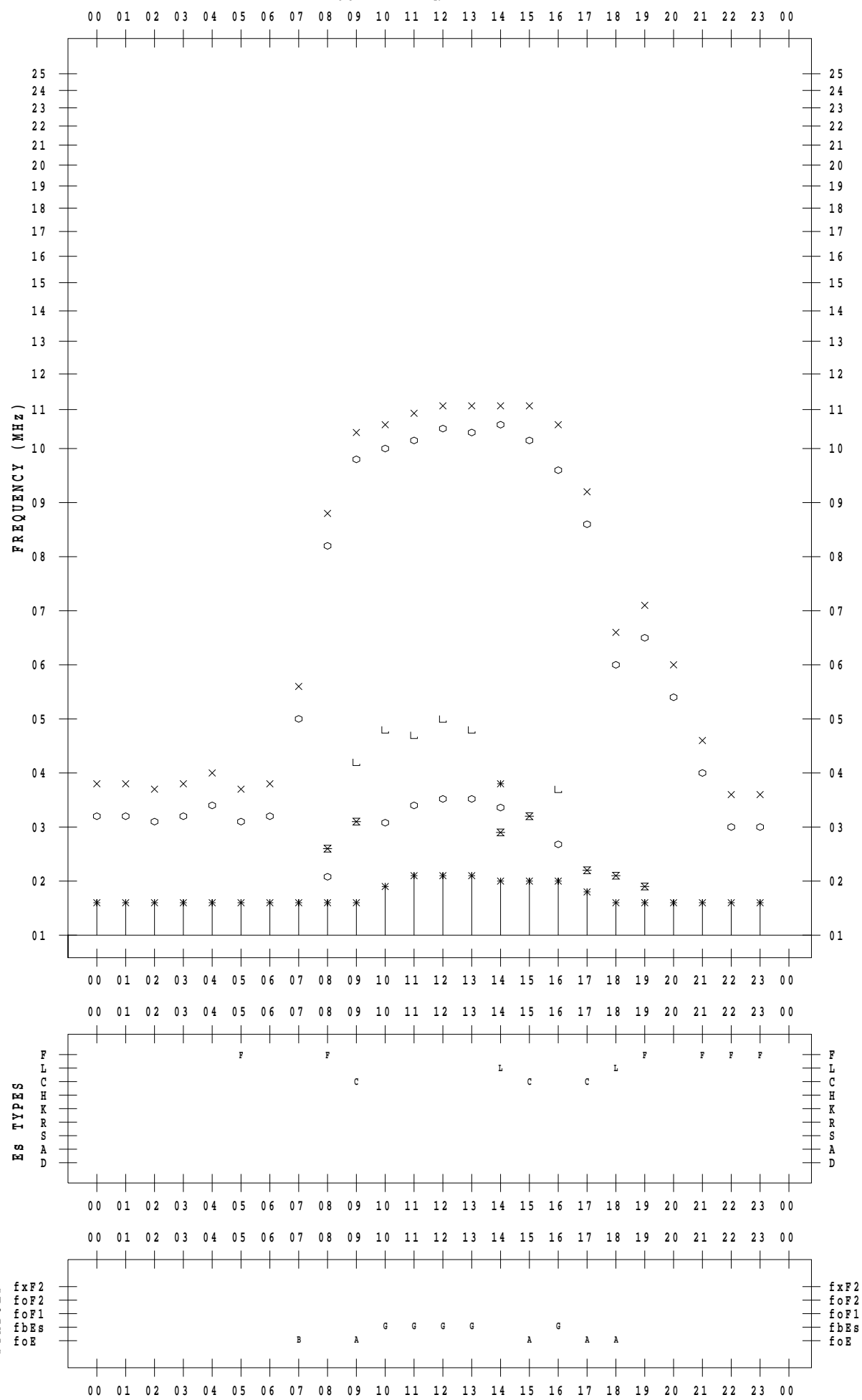
## f - P L O T D A T A

SCALER : I.YAMAZAKI

STATION : Yamagawa

DATE : 2022/12/13

135 ° E MEAN TIME



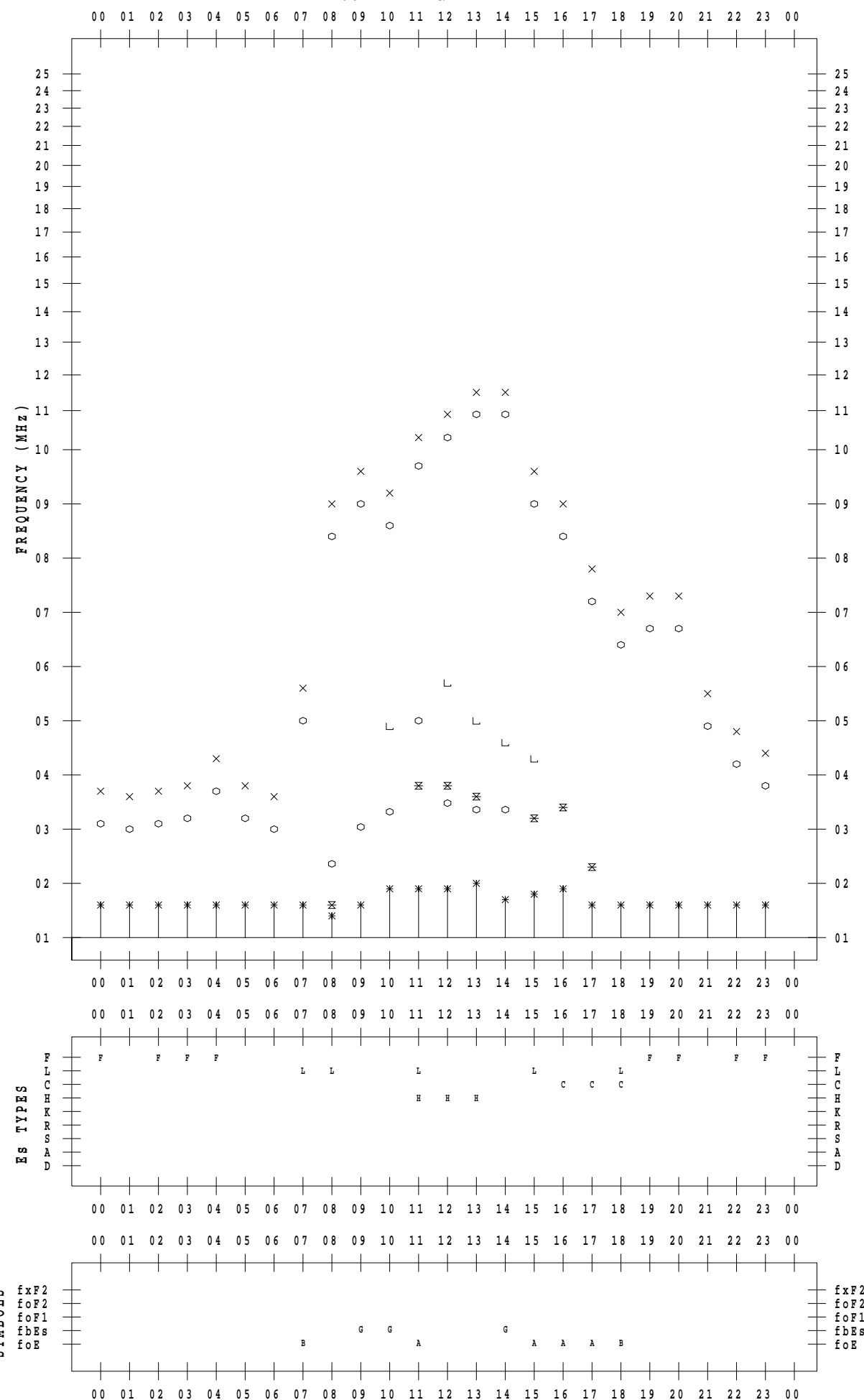
## f - P L O T D A T A

SCALER : I.YAMAZAKI

STATION : Yamagawa

DATE : 2022/12/14

135 ° E MEAN TIME



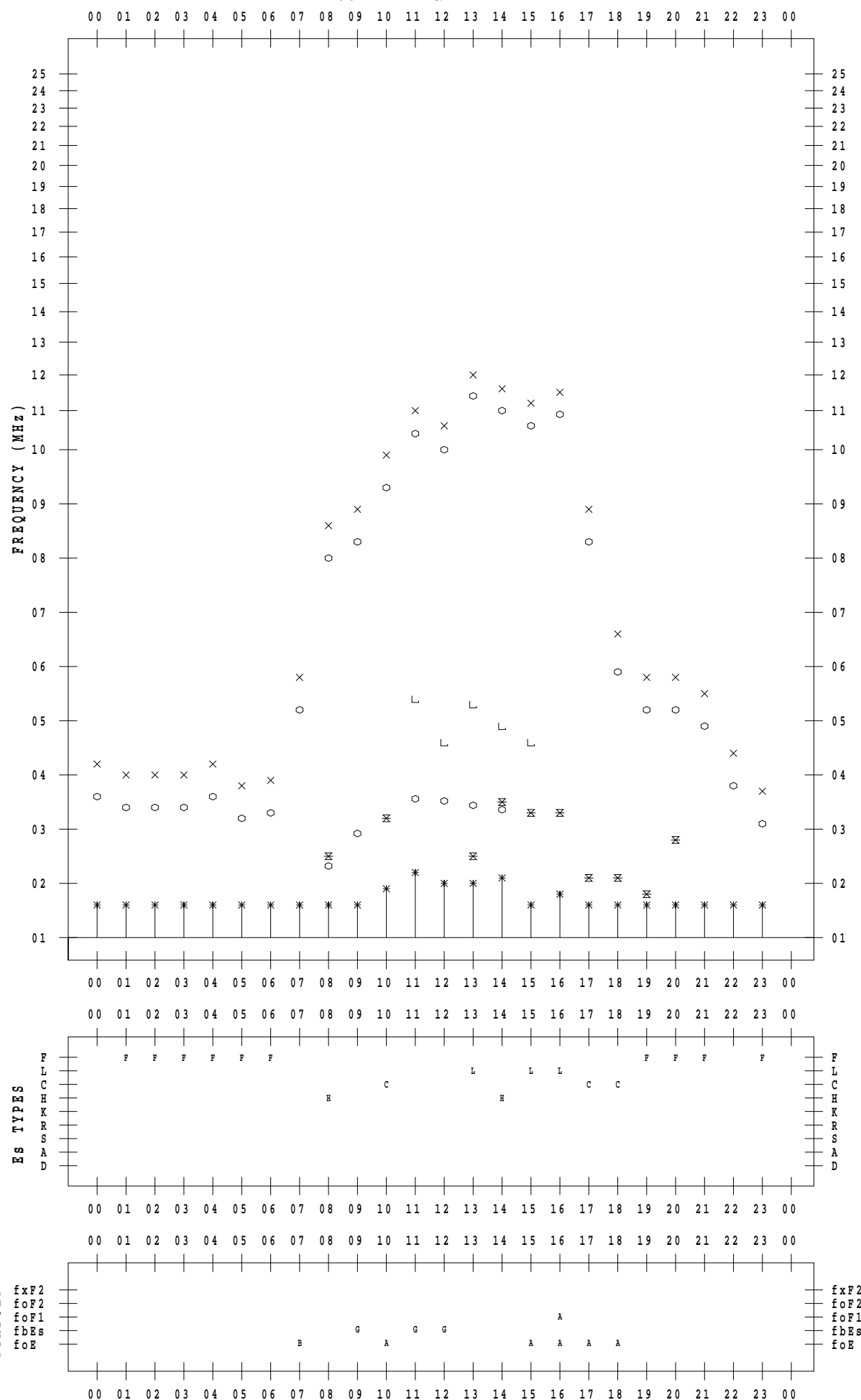
## f - P L O T D A T A

SCALER : I.YAMAZAKI

STATION : Yamagawa

DATE : 2022/12/15

135 ° E MEAN TIME



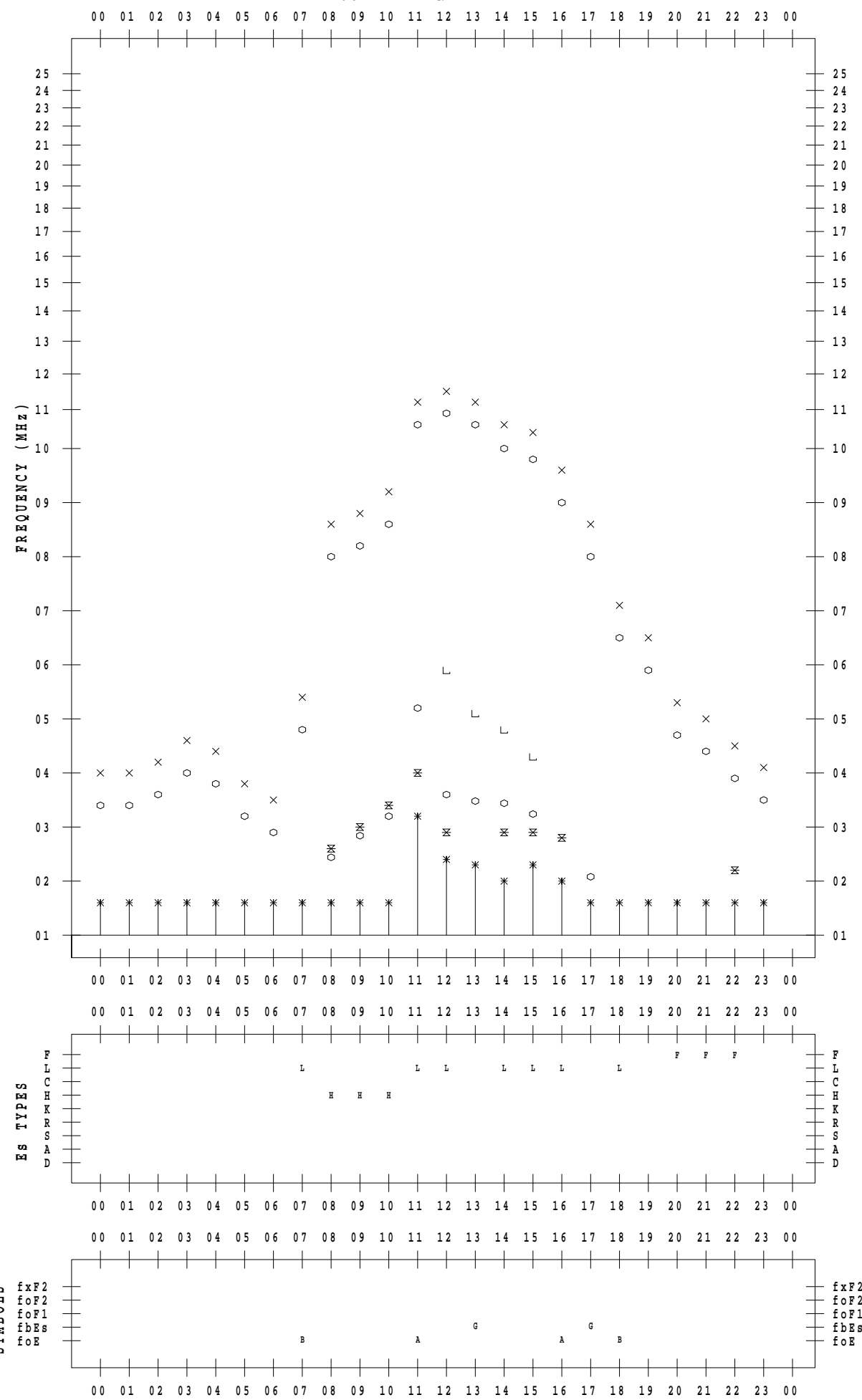
## f - P L O T D A T A

SCALER : I.YAMAZAKI

STATION : Yamagawa

DATE : 2022/12/16

135 ° E MEAN TIME

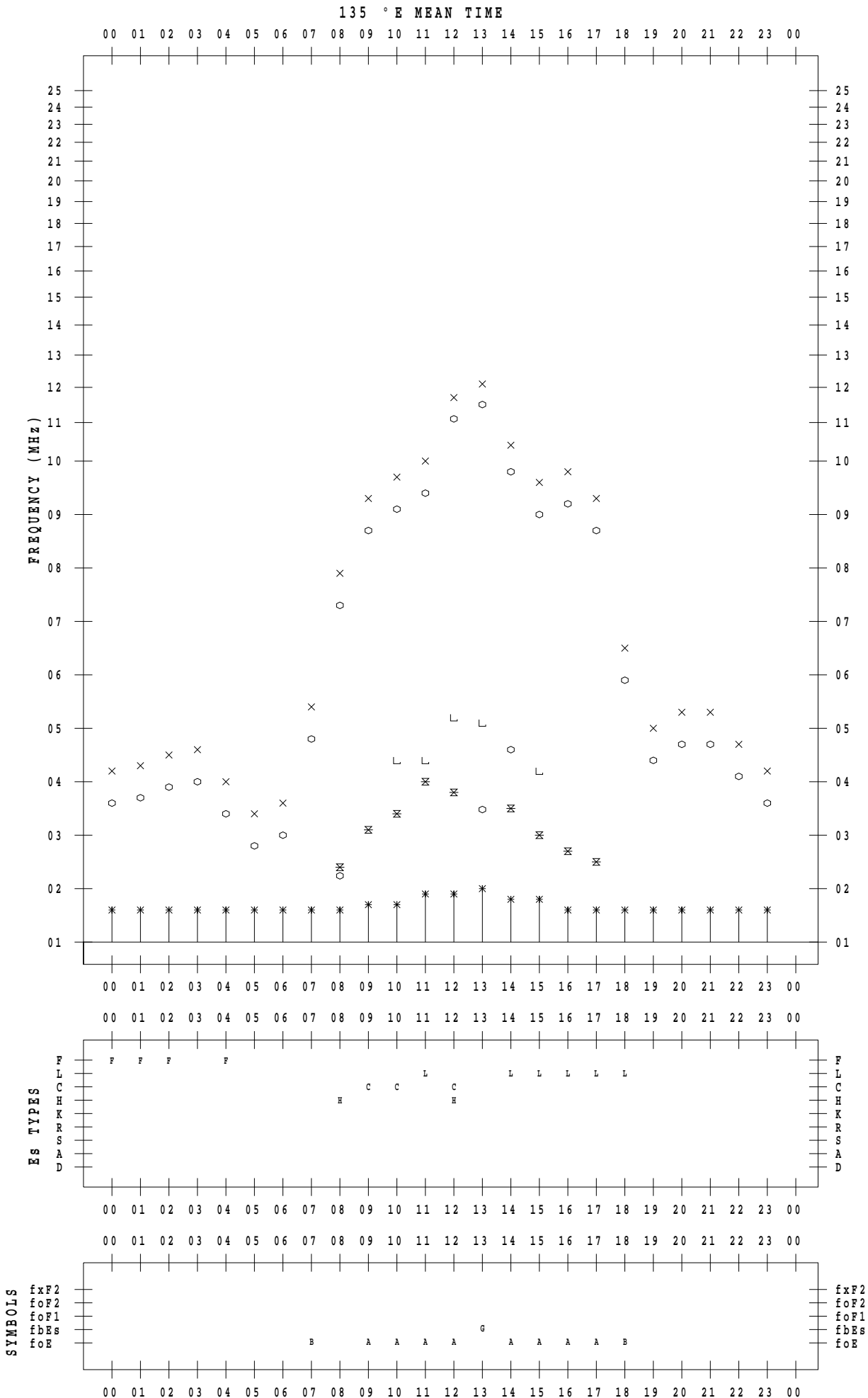


## **f - PLOT DATA**

SCALER : I.YAMAZAKI

STATION : Yamagawa

DATE : 2022 / 12 / 17



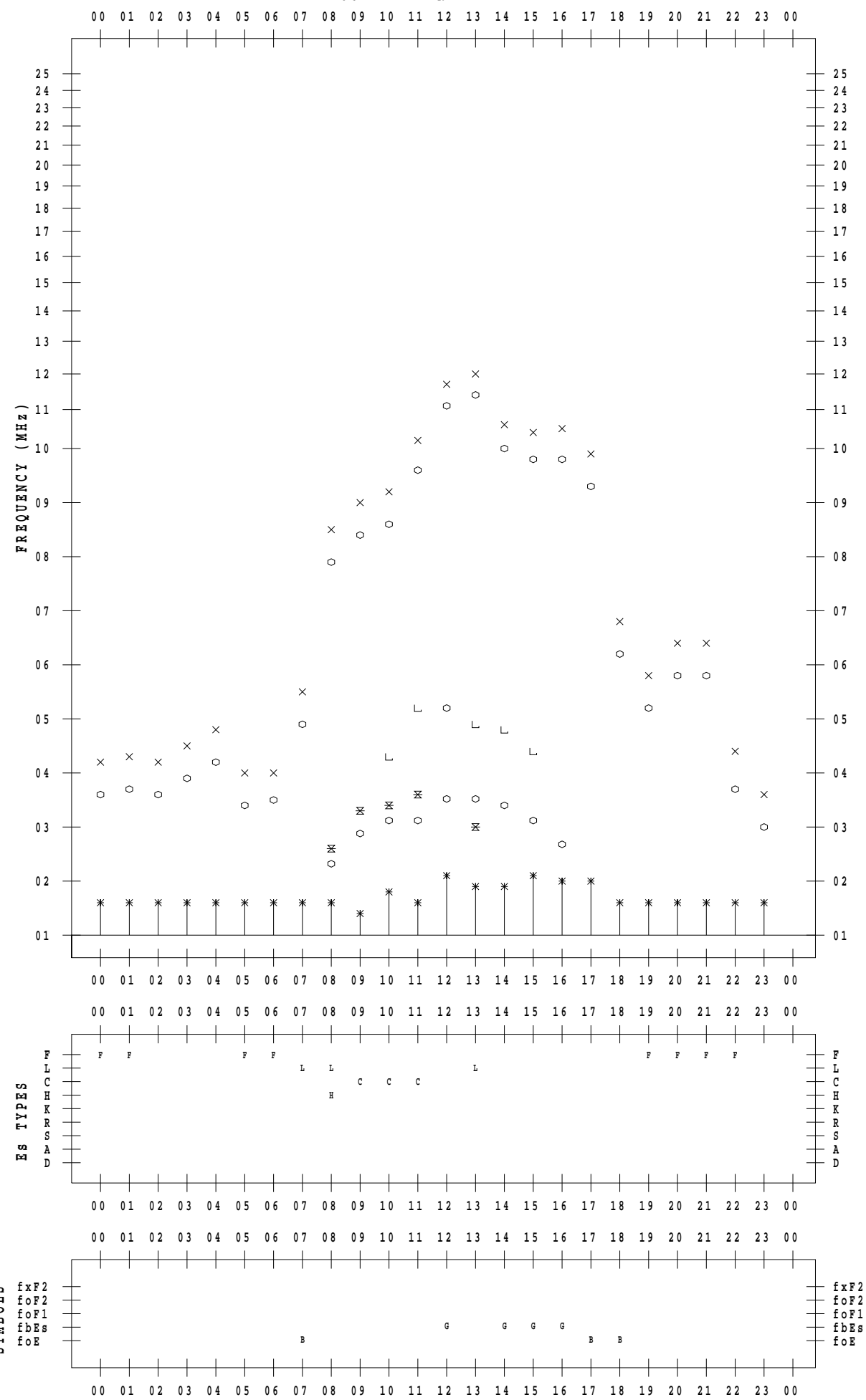
## f - P L O T D A T A

SCALER : I.YAMAZAKI

STATION : Yamagawa

DATE : 2022/12/18

135 ° E MEAN TIME



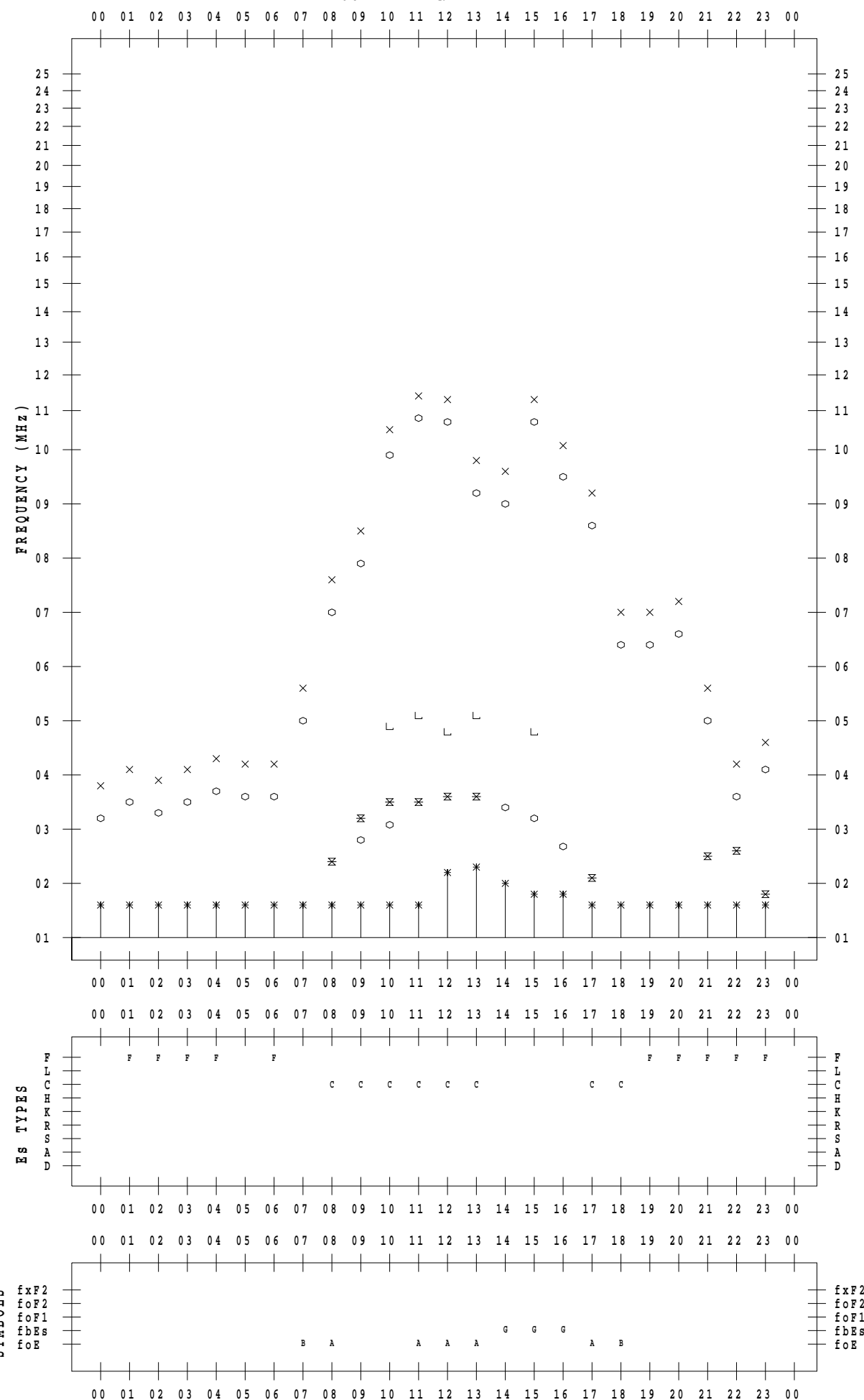
## f - P L O T D A T A

SCALER : I.YAMAZAKI

STATION : Yamagawa

DATE : 2022/12/19

135 ° E MEAN TIME



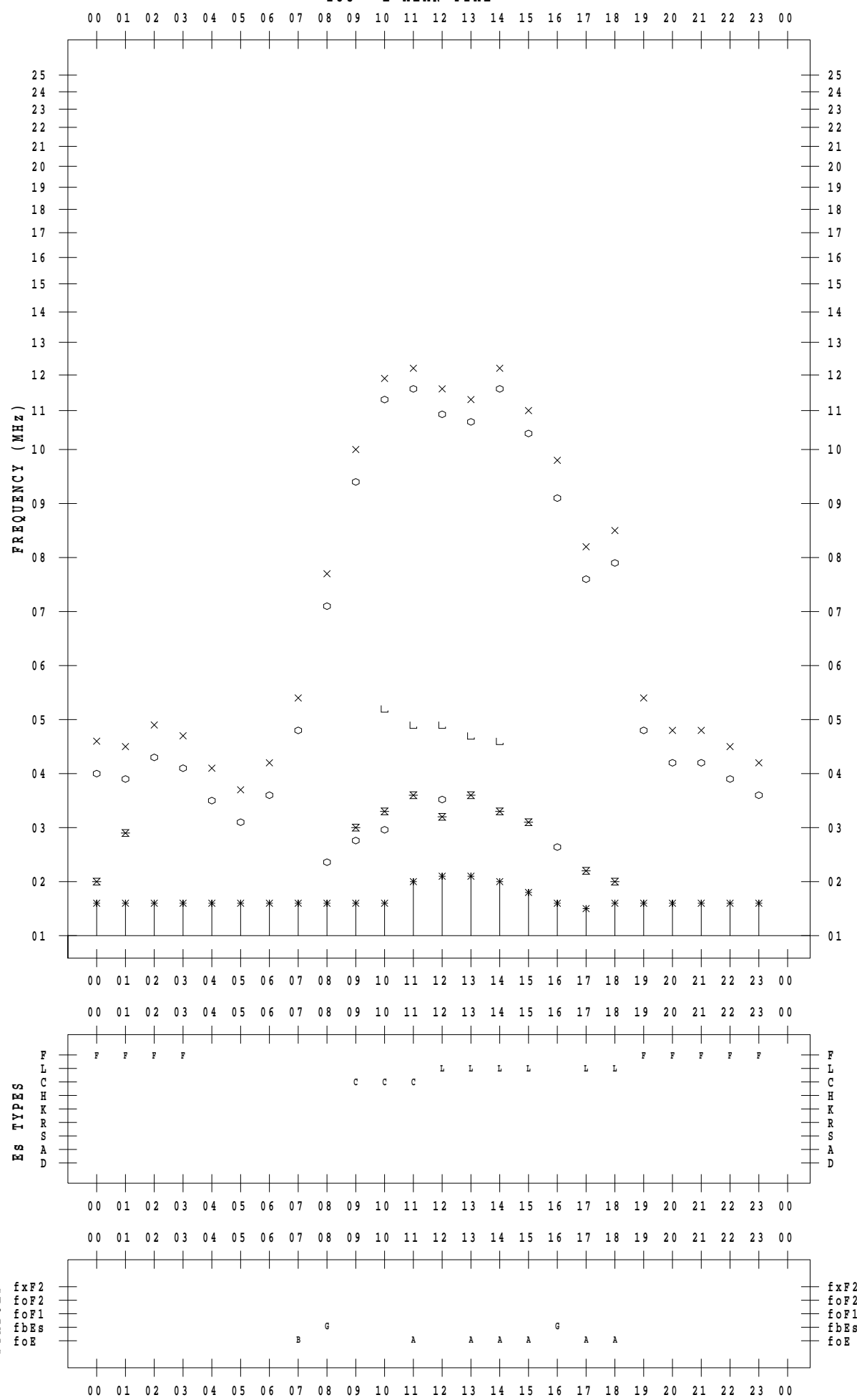
## f - P L O T D A T A

SCALER : I.YAMAZAKI

STATION : Yamagawa

DATE : 2022/12/20

135 ° E MEAN TIME



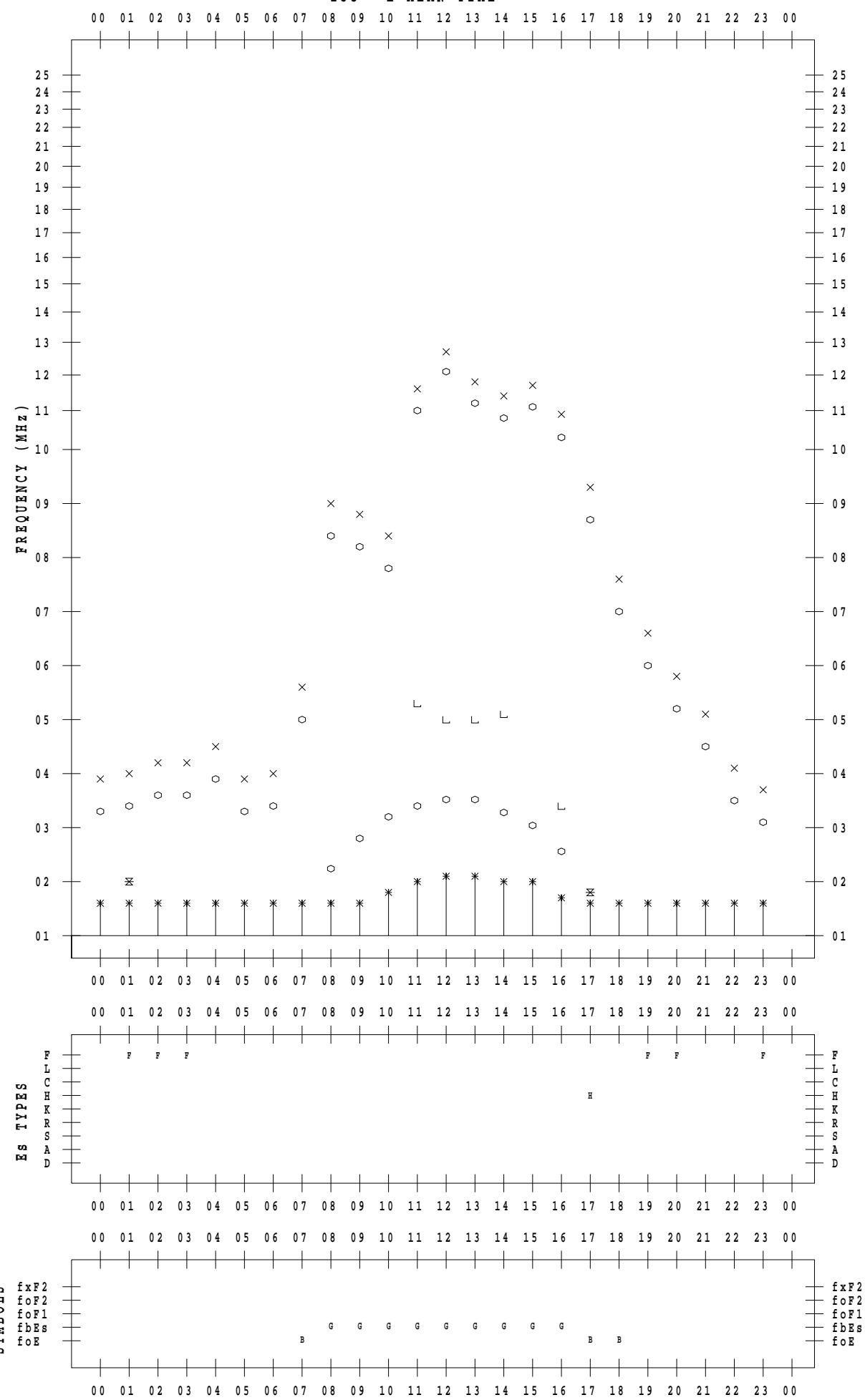
## f - P L O T D A T A

SCALER : I.YAMAZAKI

STATION : Yamagawa

DATE : 2022/12/21

135 ° E MEAN TIME



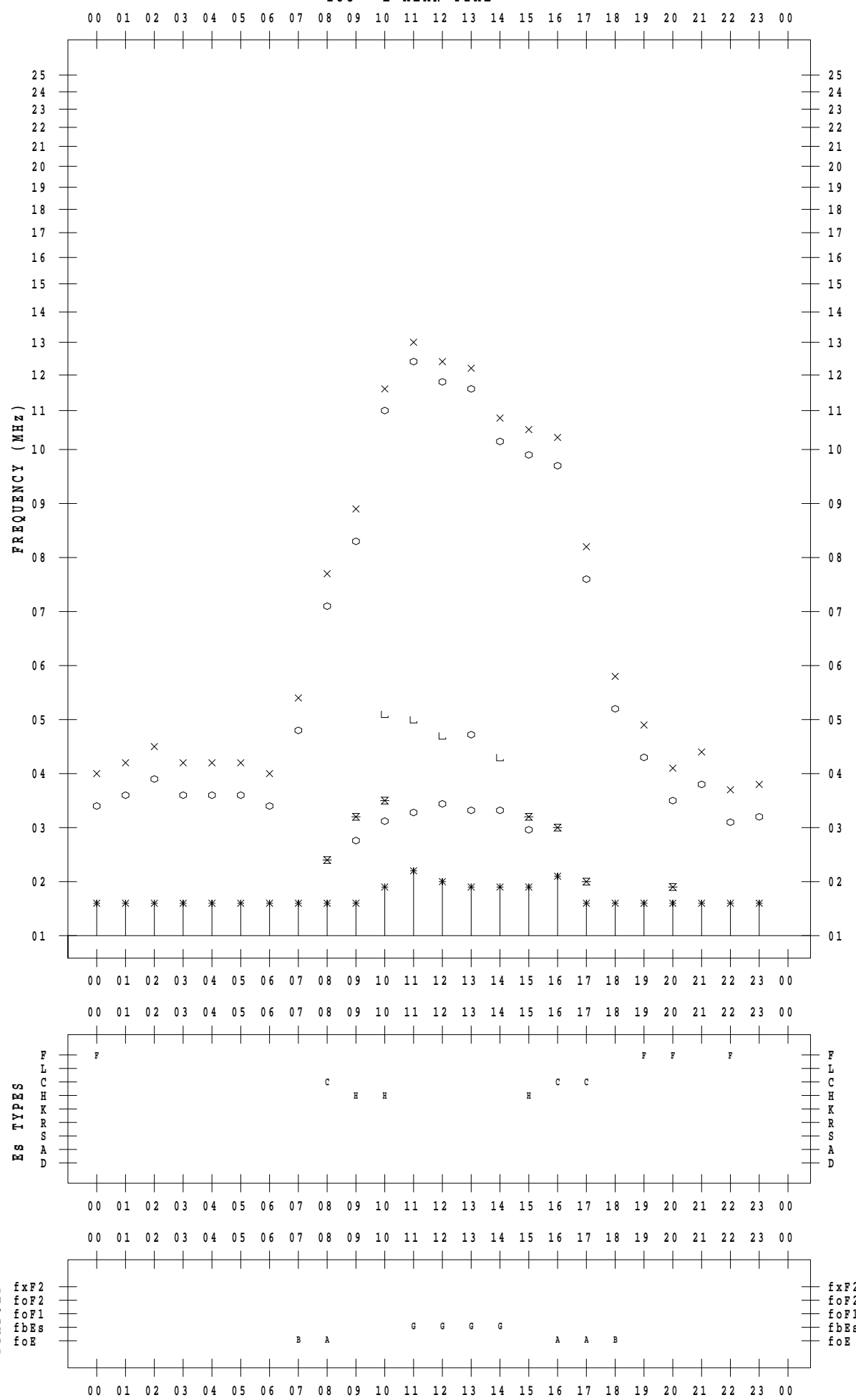
## f - P L O T D A T A

SCALER : I.YAMAZAKI

STATION : Yamagawa

DATE : 2022/12/22

135 ° E MEAN TIME



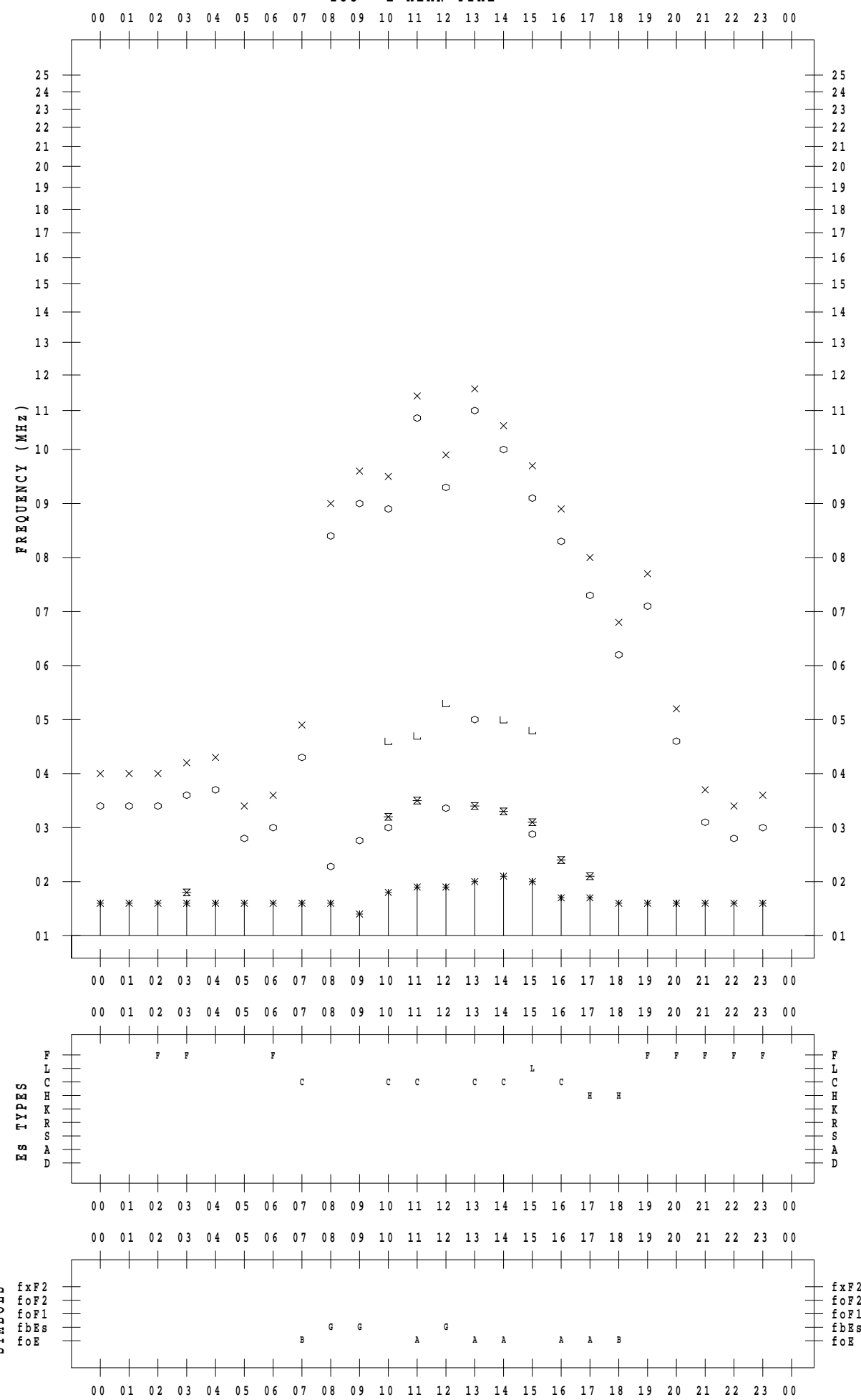
## f - P L O T D A T A

SCALER : I.YAMAZAKI

STATION : Yamagawa

DATE : 2022/12/23

135 ° E MEAN TIME



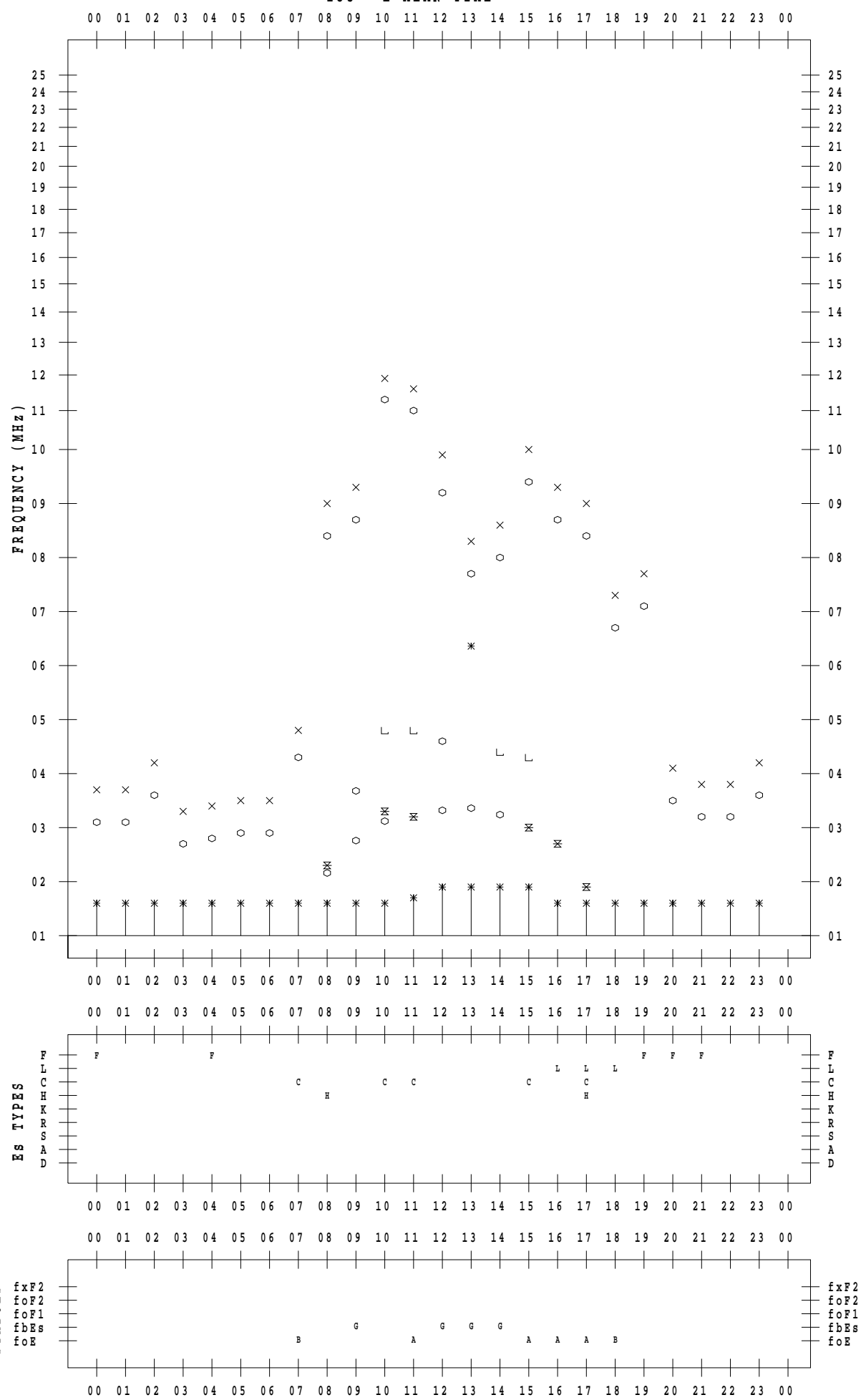
## f - P L O T D A T A

SCALER : I.YAMAZAKI

STATION : Yamagawa

DATE : 2022/12/24

135 ° E MEAN TIME



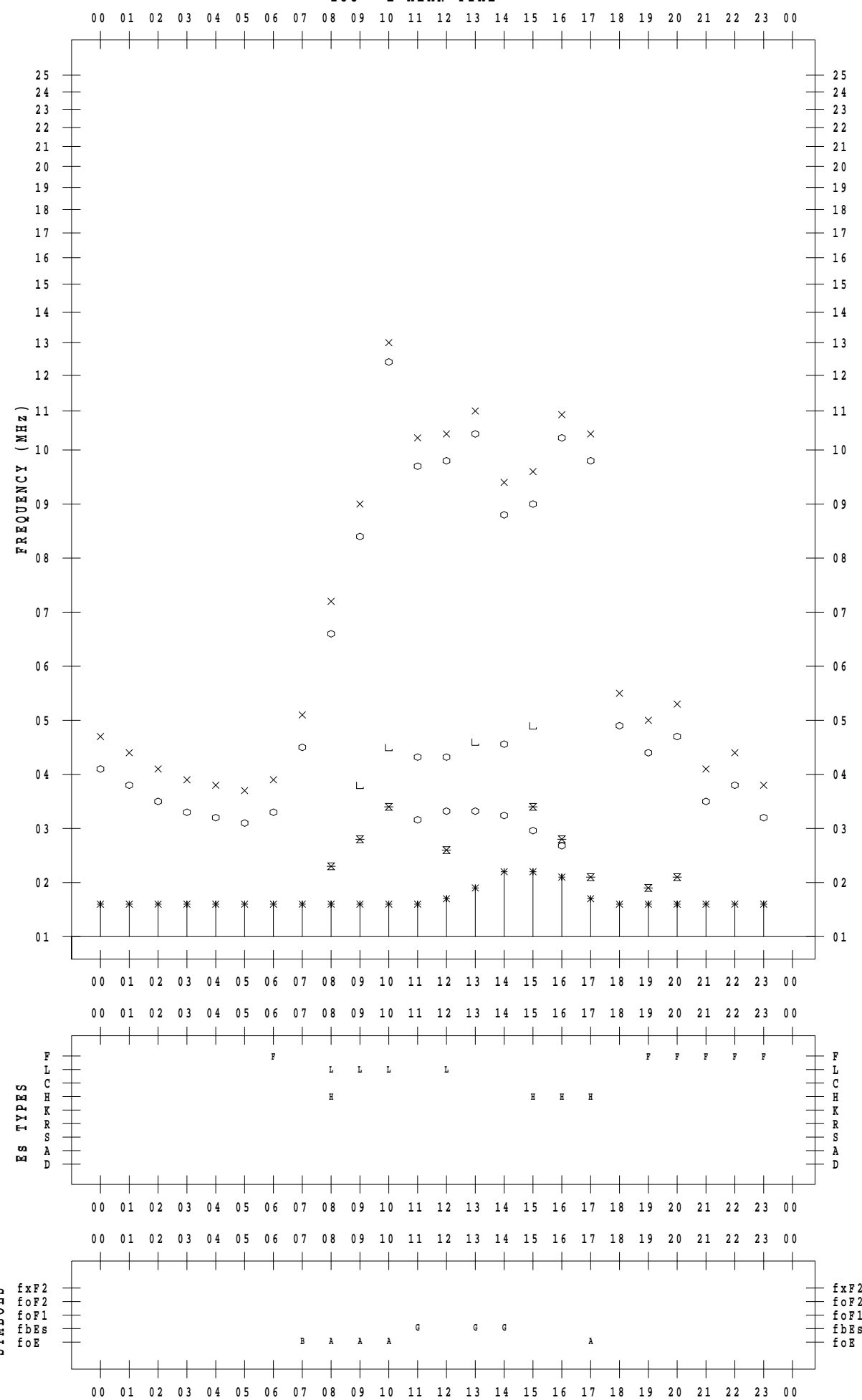
## f - P L O T D A T A

SCALER : I.YAMAZAKI

STATION : Yamagawa

DATE : 2022/12/25

135 ° E MEAN TIME



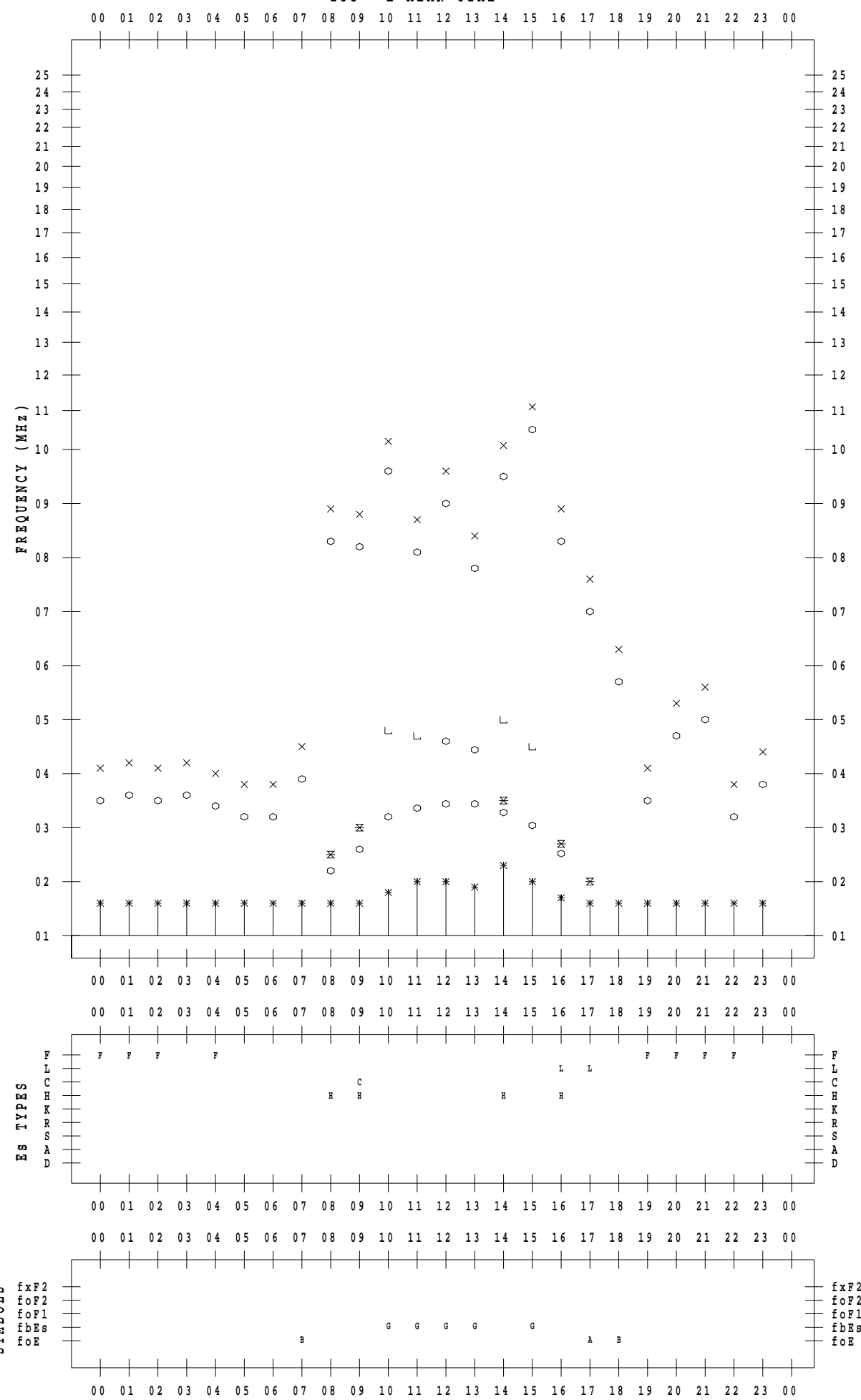
## f - P L O T D A T A

SCALER : I.YAMAZAKI

STATION : Yamagawa

DATE : 2022/12/26

135 ° E MEAN TIME



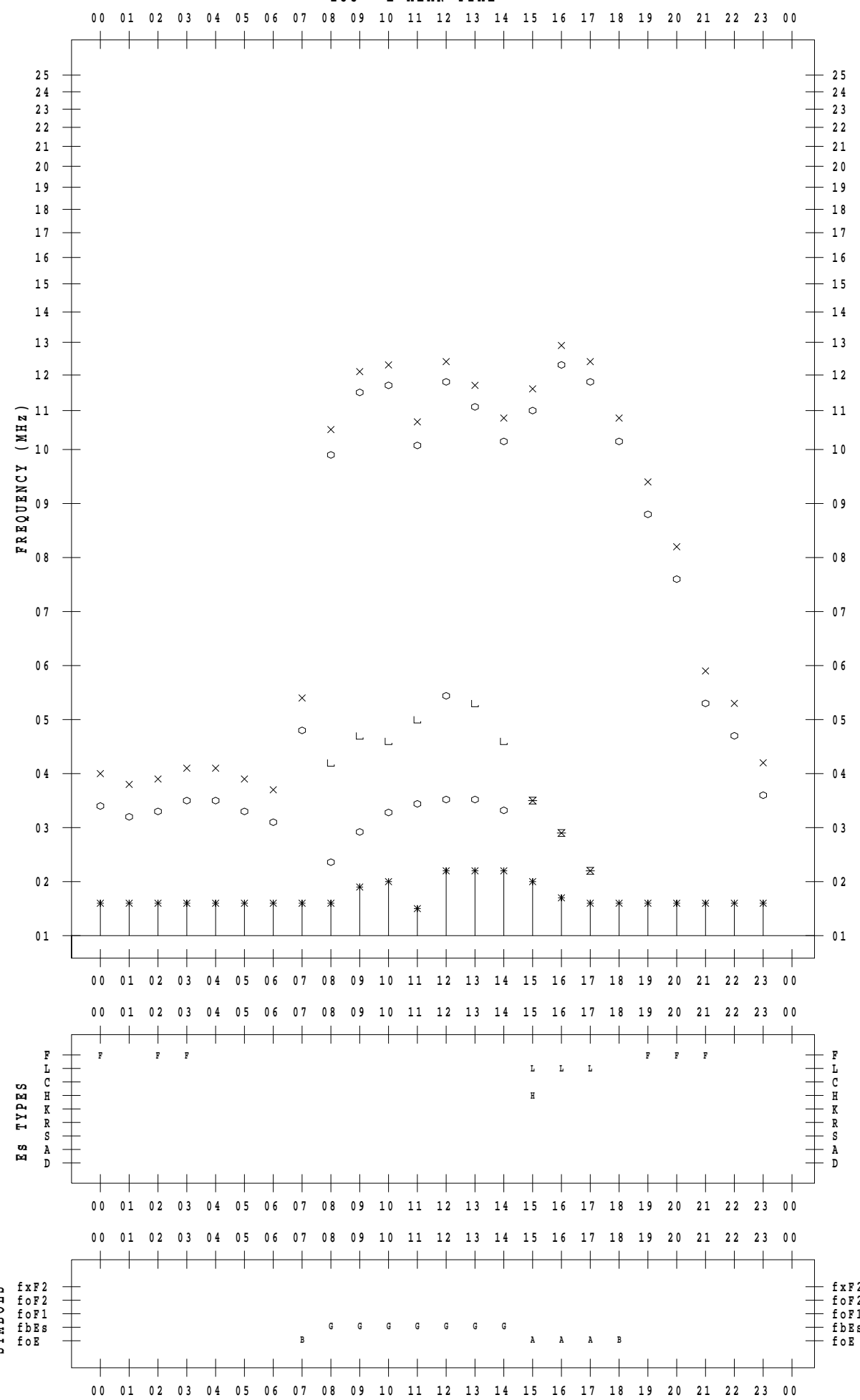
## f - P L O T D A T A

SCALER : I.YAMAZAKI

STATION : Yamagawa

DATE : 2022/12/27

135 ° E MEAN TIME



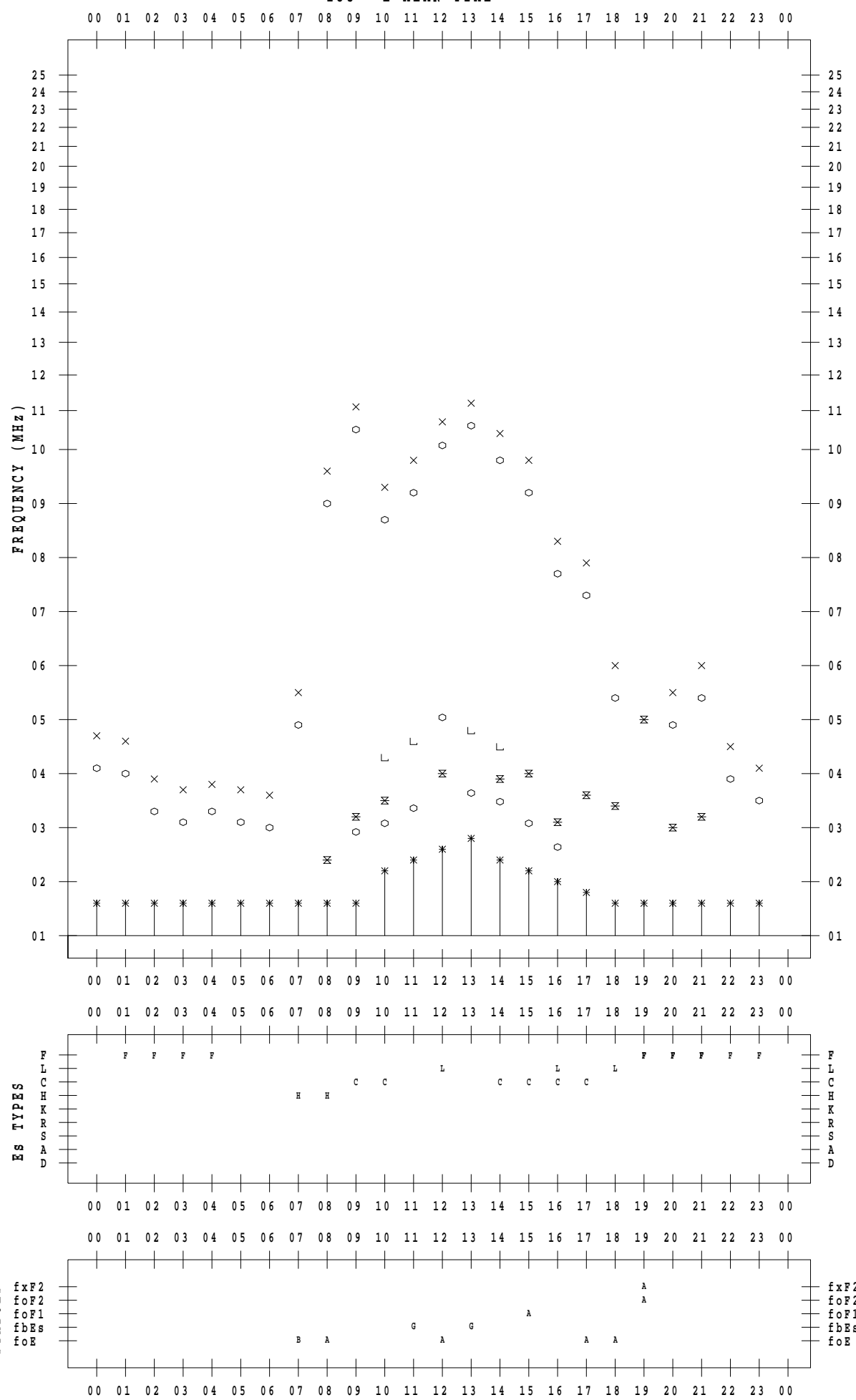
## f - P L O T D A T A

SCALER : I.YAMAZAKI

STATION : Yamagawa

DATE : 2022/12/28

135 ° E MEAN TIME



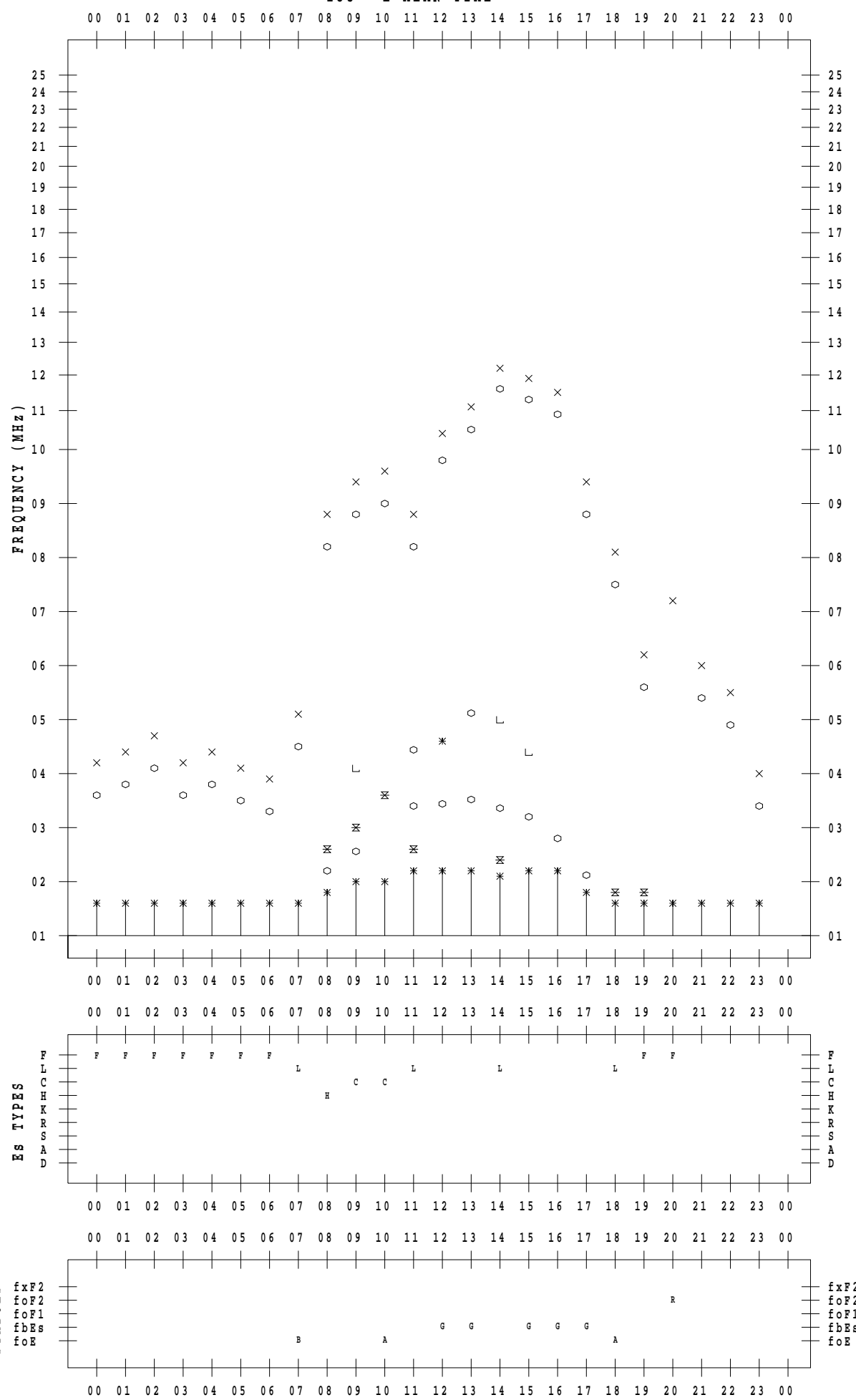
## f - P L O T D A T A

SCALER : I.YAMAZAKI

STATION : Yamagawa

DATE : 2022/12/29

135 ° E MEAN TIME



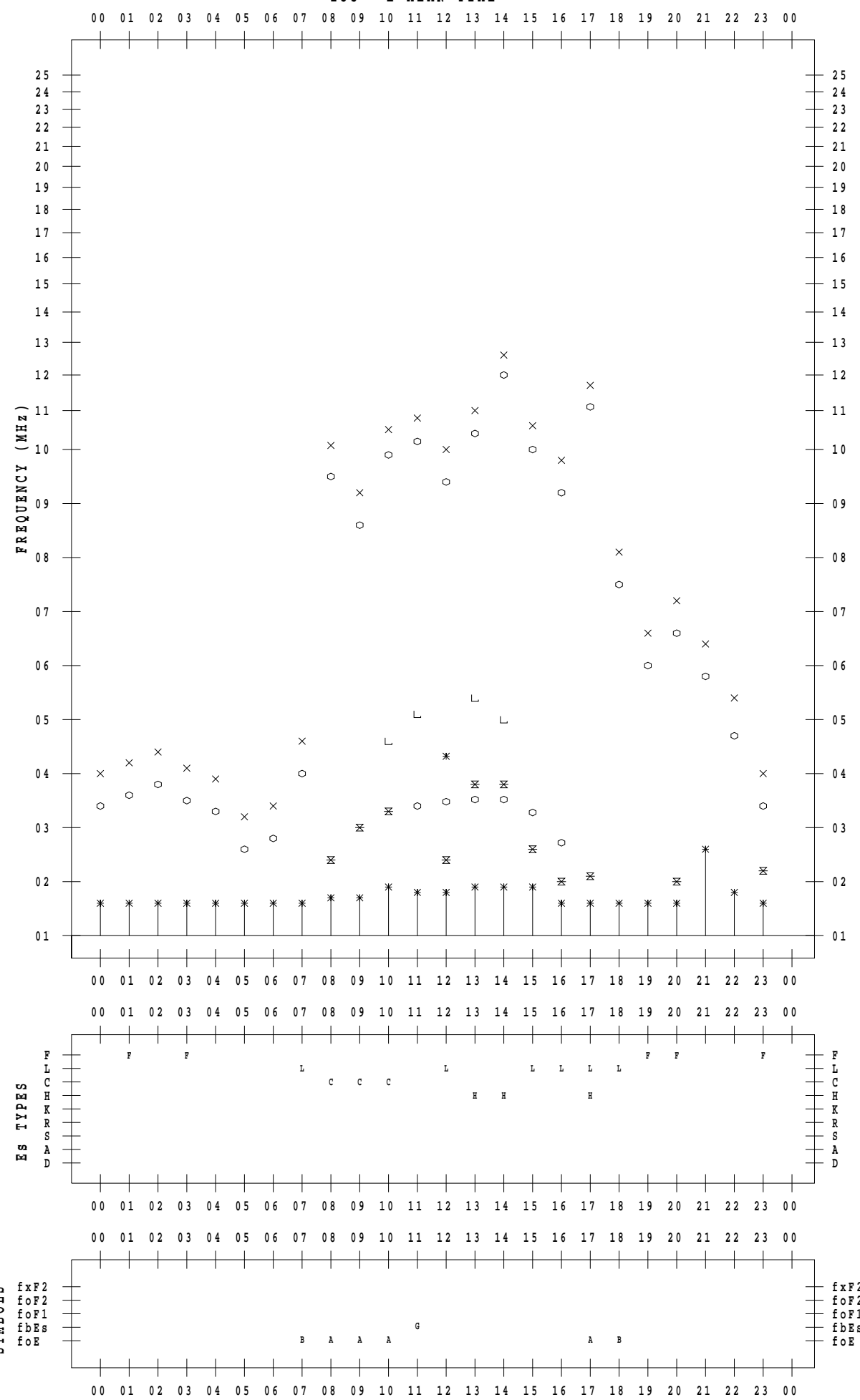
## f - P L O T D A T A

SCALER : I.YAMAZAKI

STATION : Yamagawa

DATE : 2022/12/30

135 ° E MEAN TIME



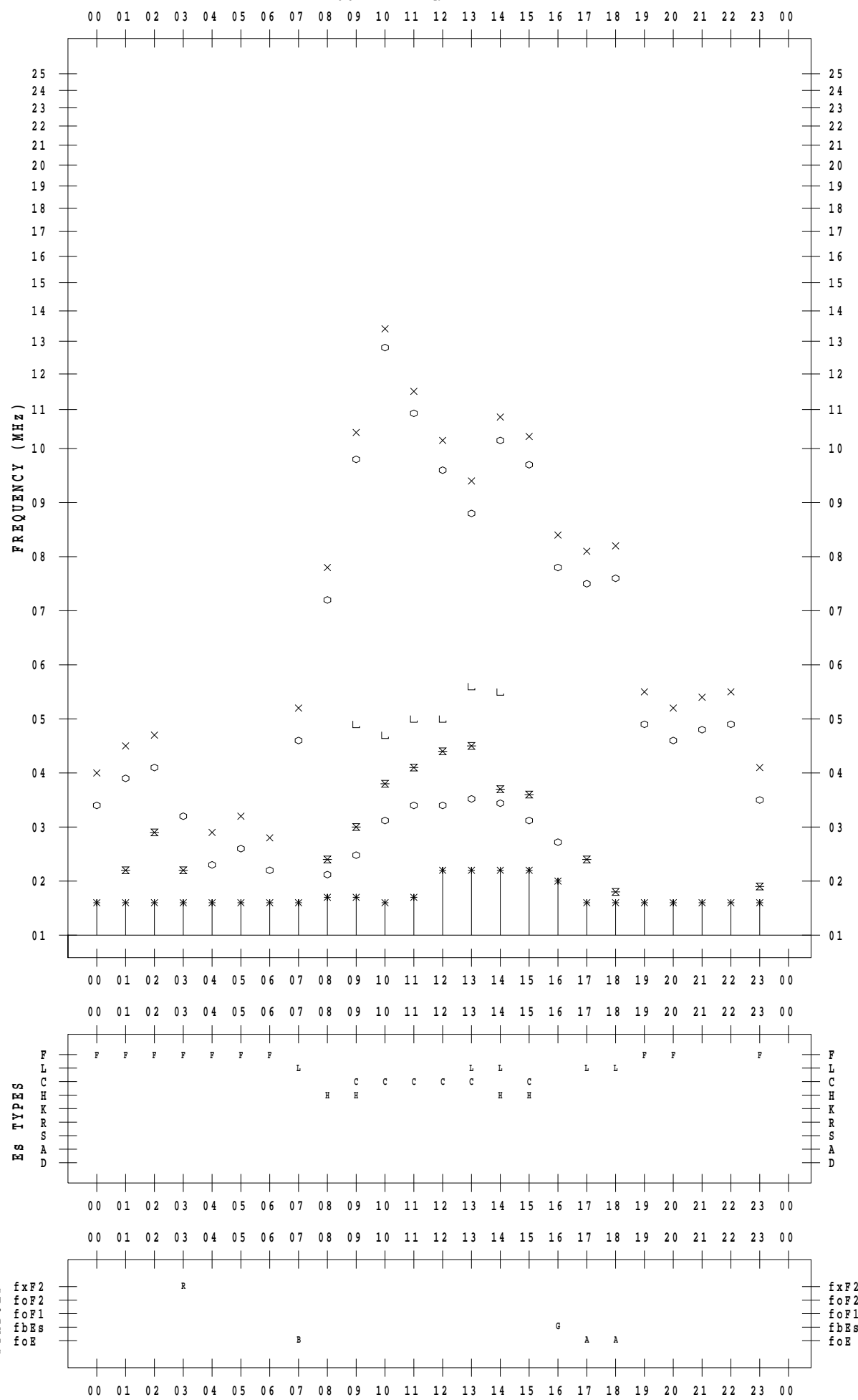
## f - P L O T D A T A

SCALER : I.YAMAZAKI

STATION : Yamagawa

DATE : 2022/12/31

135 ° E MEAN TIME

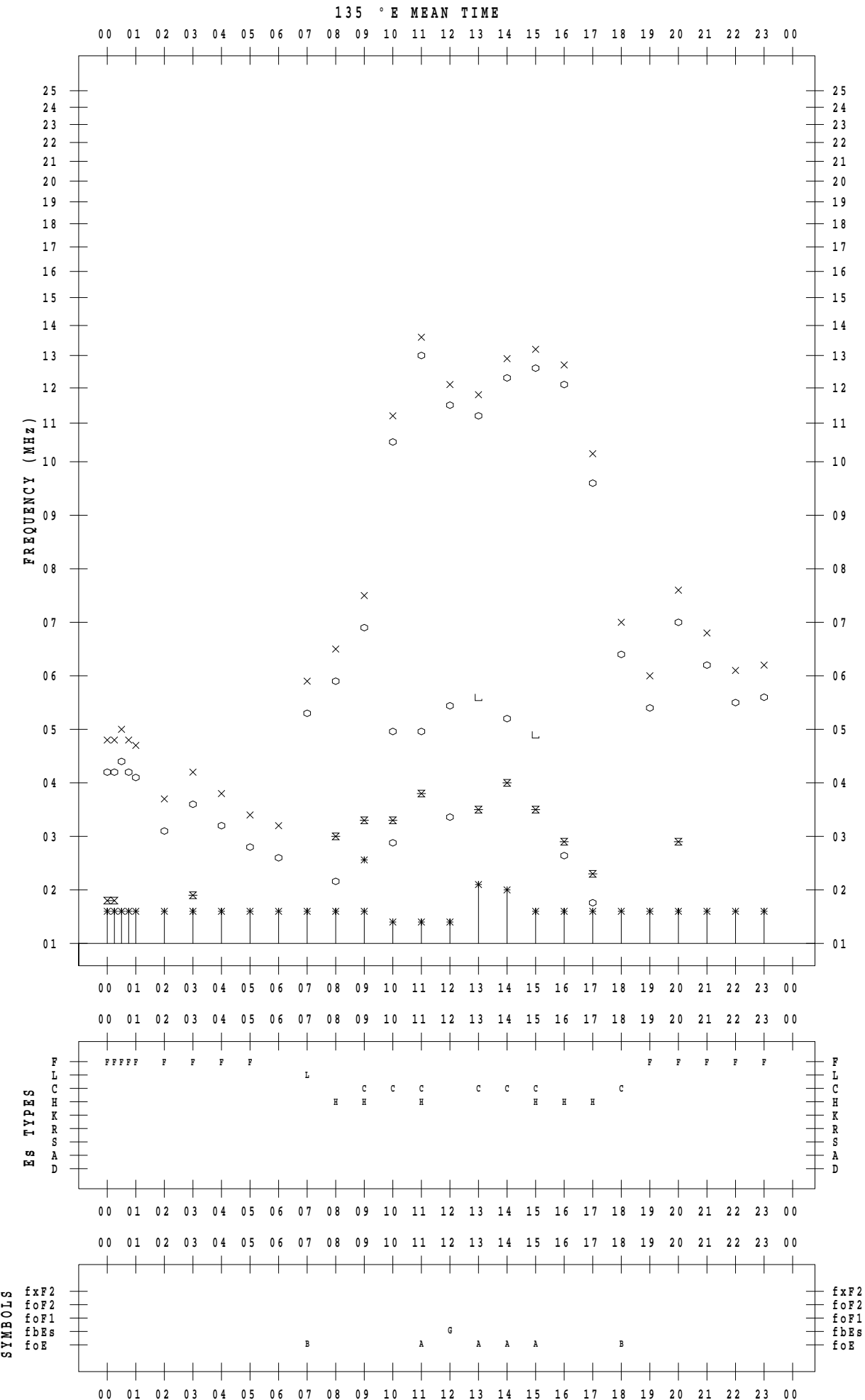


## **f - PLOT DATA**

SCALER : I.YAMAZAKI

STATION : Okinawa

DATE : 2022 / 12 / 1



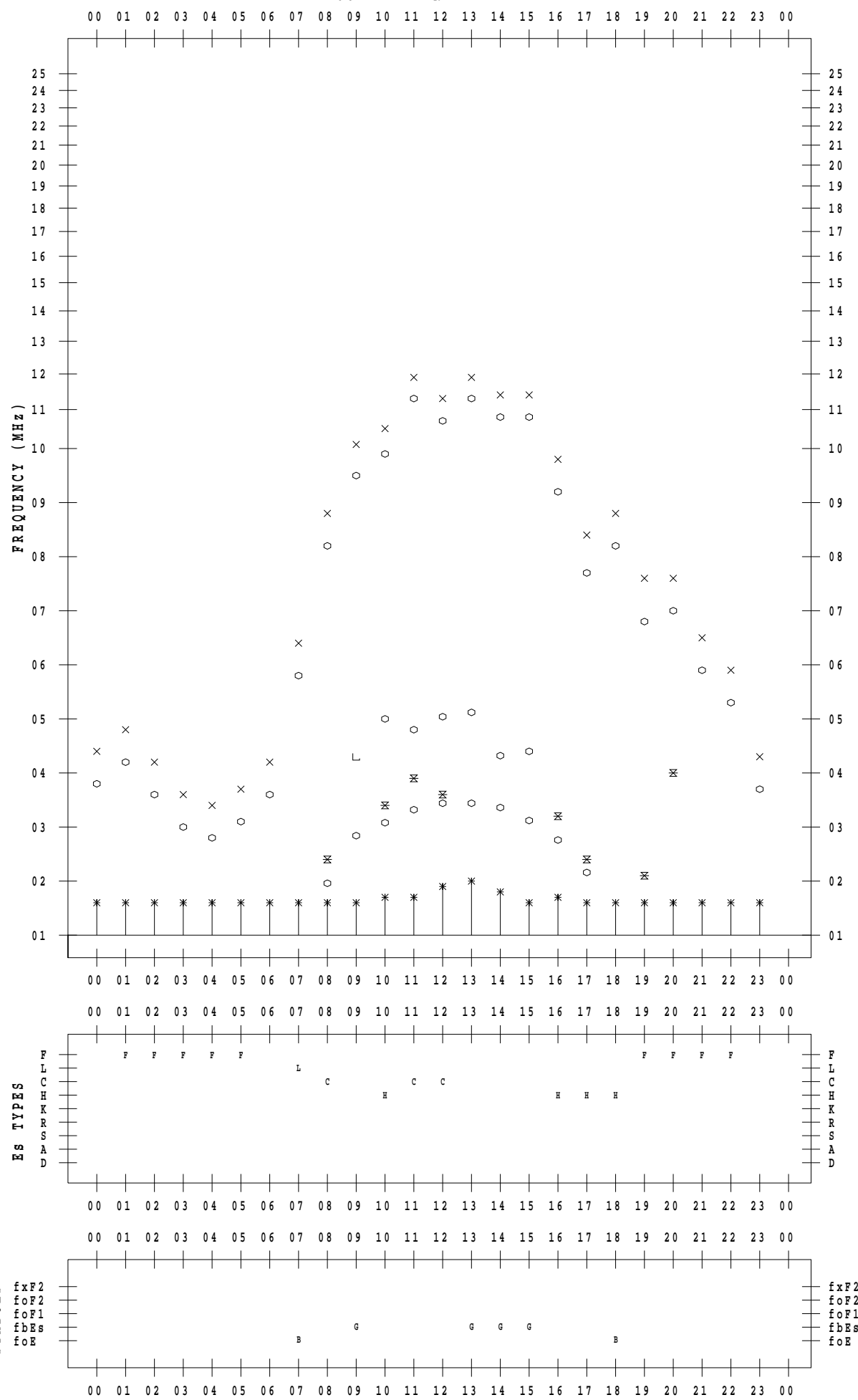
## f - P L O T D A T A

SCALER : I.YAMAZAKI

STATION : Okinawa

DATE : 2022/12/2

135 °E MEAN TIME

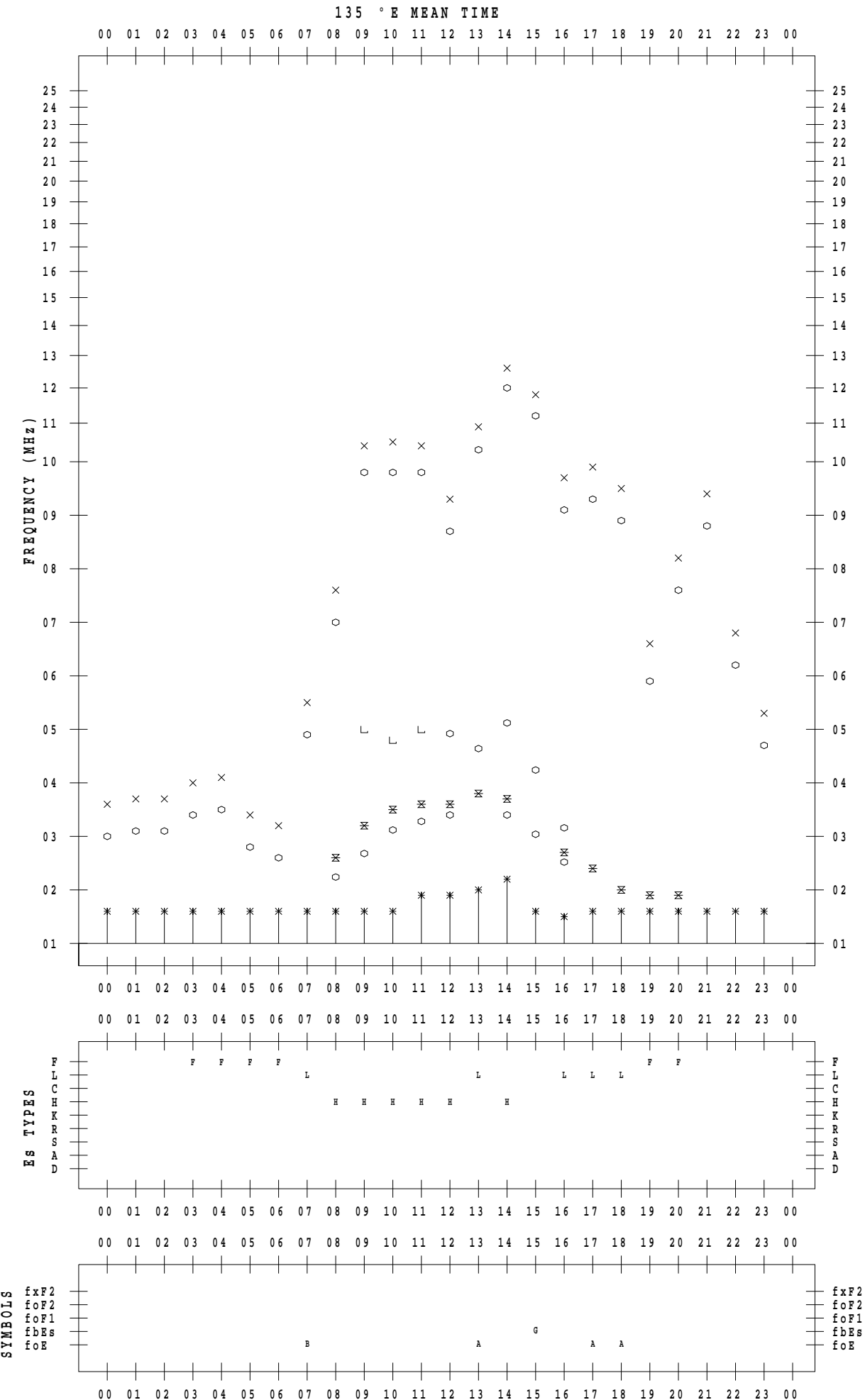


## **f - P L O T    D A T A**

SCALER : I.YAMAZAKI

STATION : Okinawa

DATE : 2022 / 12 / 3



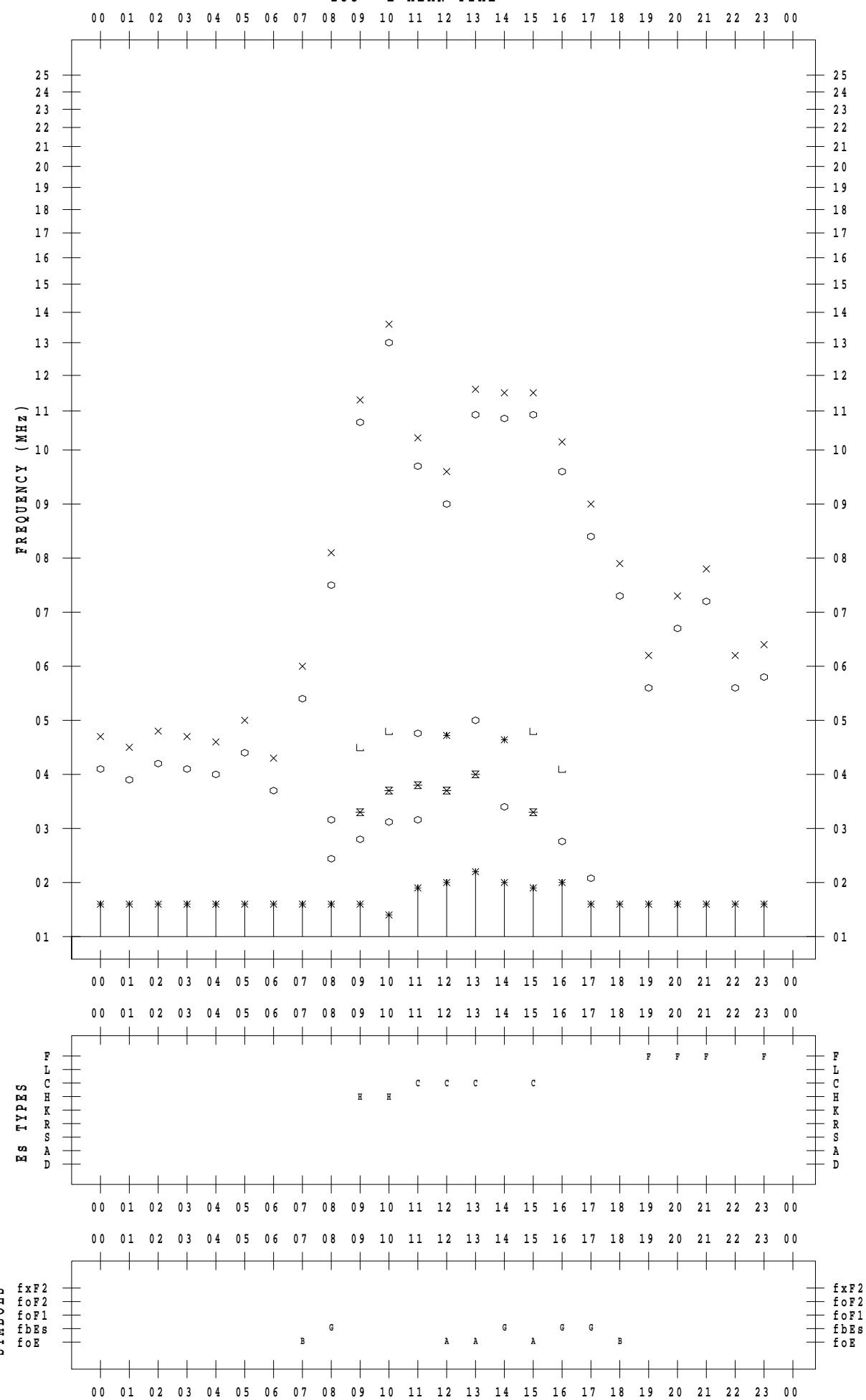
## f - P L O T D A T A

SCALER : I.YAMAZAKI

STATION : Okinawa

DATE : 2022/12/4

135 °E MEAN TIME



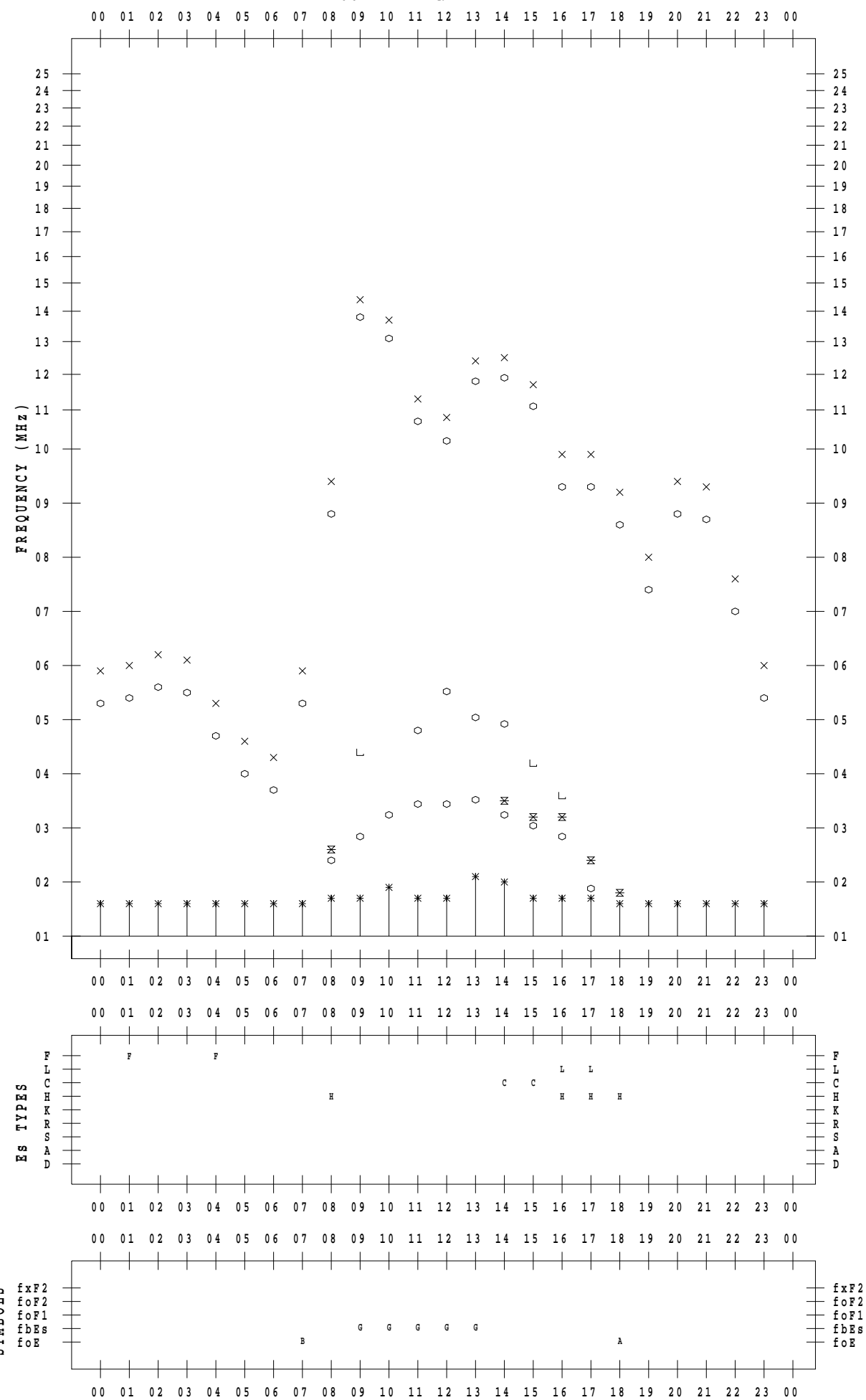
## f - P L O T D A T A

SCALER : I.YAMAZAKI

STATION : Okinawa

DATE : 2022/12/5

135 ° E MEAN TIME



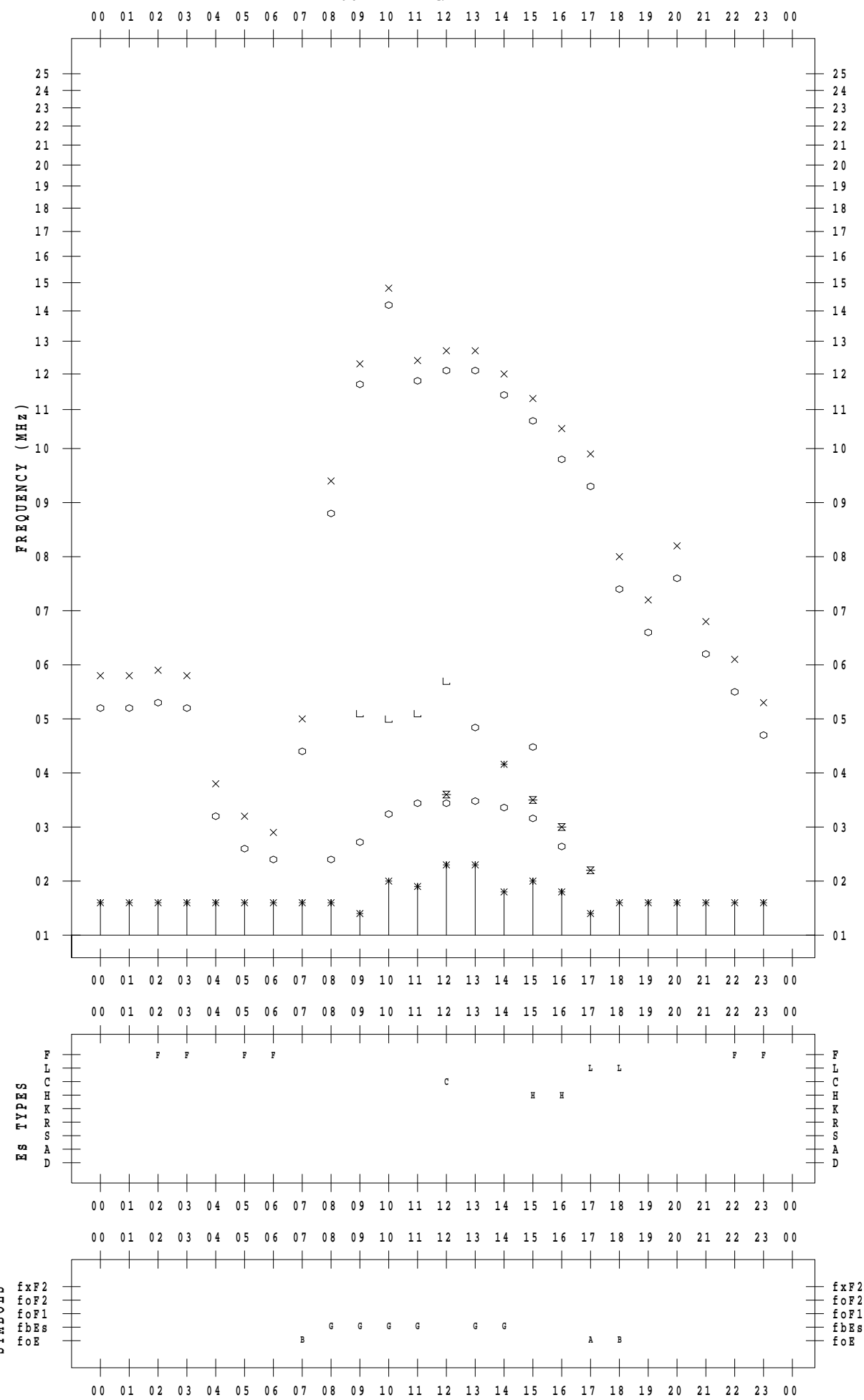
## f - P L O T D A T A

SCALER : I.YAMAZAKI

STATION : Okinawa

DATE : 2022/12/6

135 ° E MEAN TIME



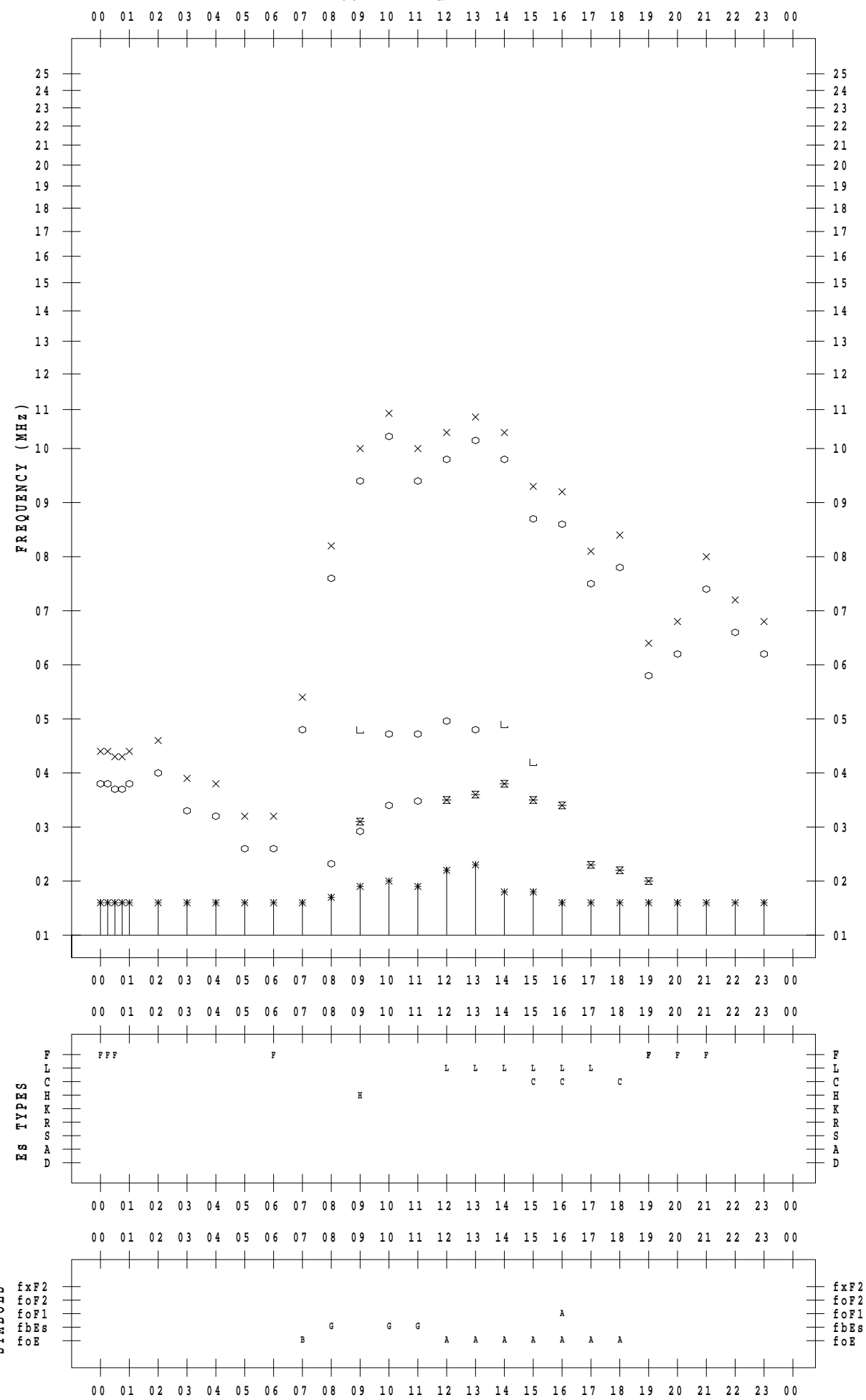
## f - P L O T D A T A

SCALER : I.YAMAZAKI

STATION : Okinawa

DATE : 2022/12/7

135 ° E MEAN TIME

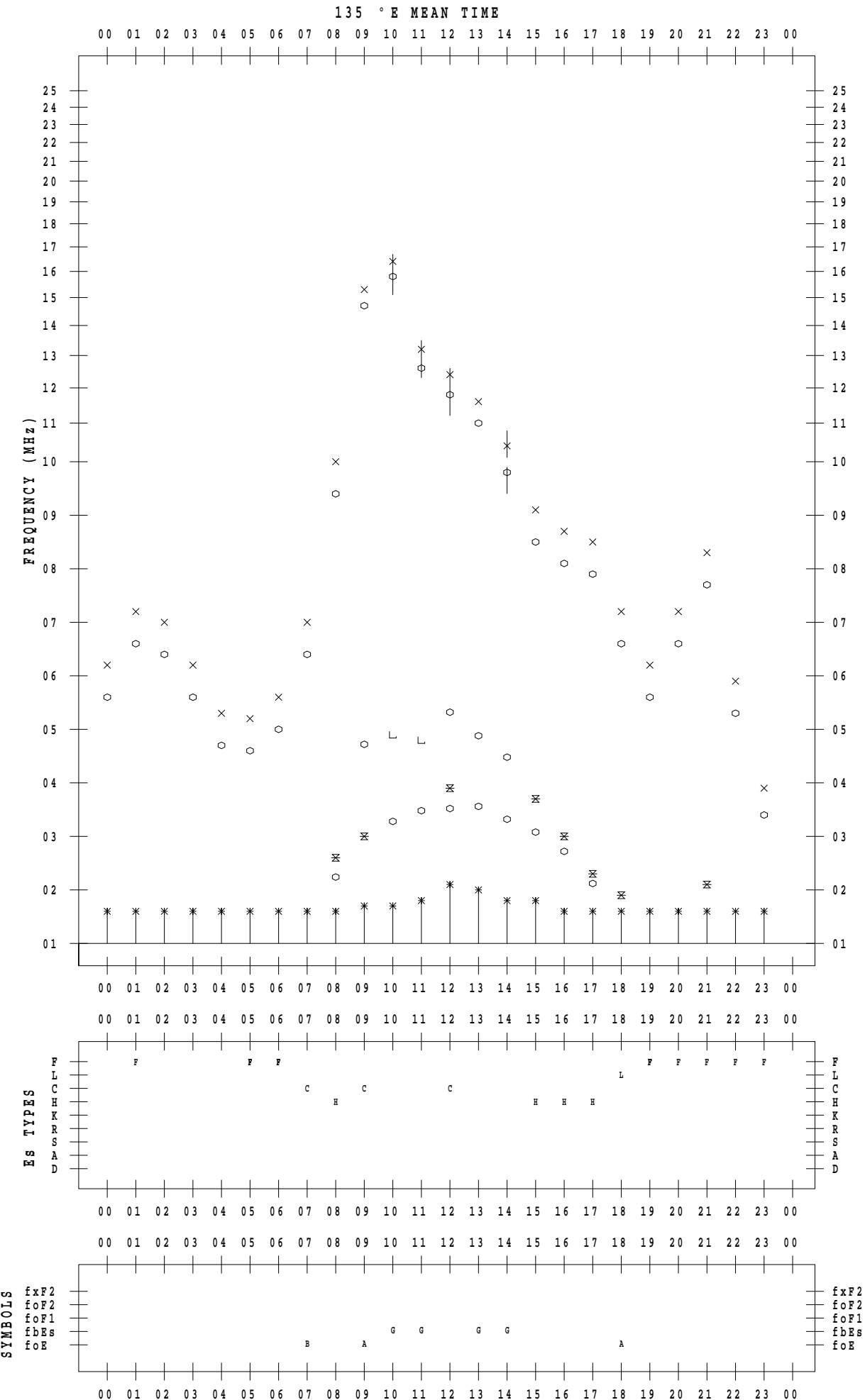


## **f - P L O T    D A T A**

SCALER : I.YAMAZAKI

STATION : Okinawa

DATE : 2022 / 12 / 8



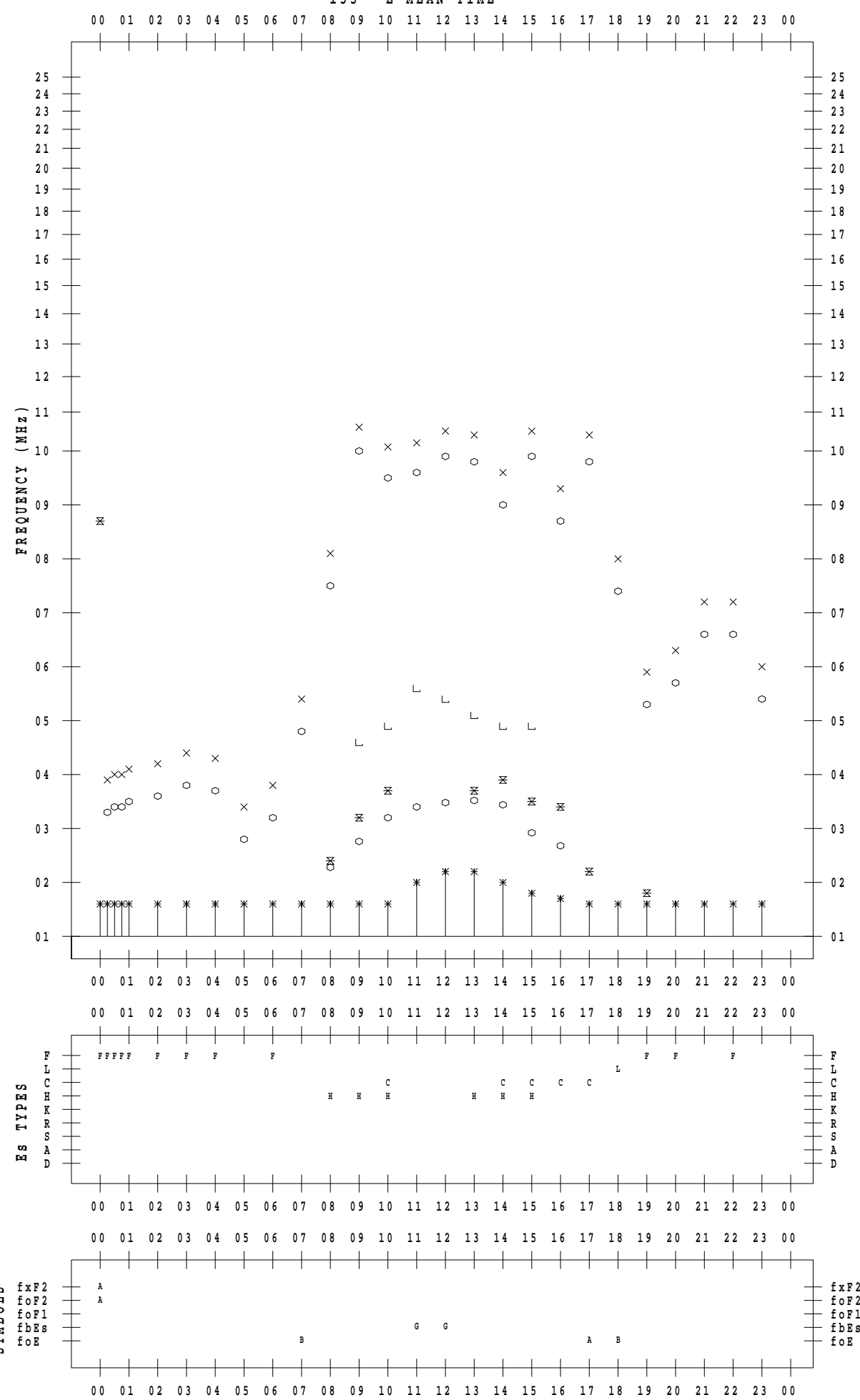
## f - P L O T D A T A

SCALER : I.YAMAZAKI

STATION : Okinawa

DATE : 2022/12/9

135 ° E MEAN TIME



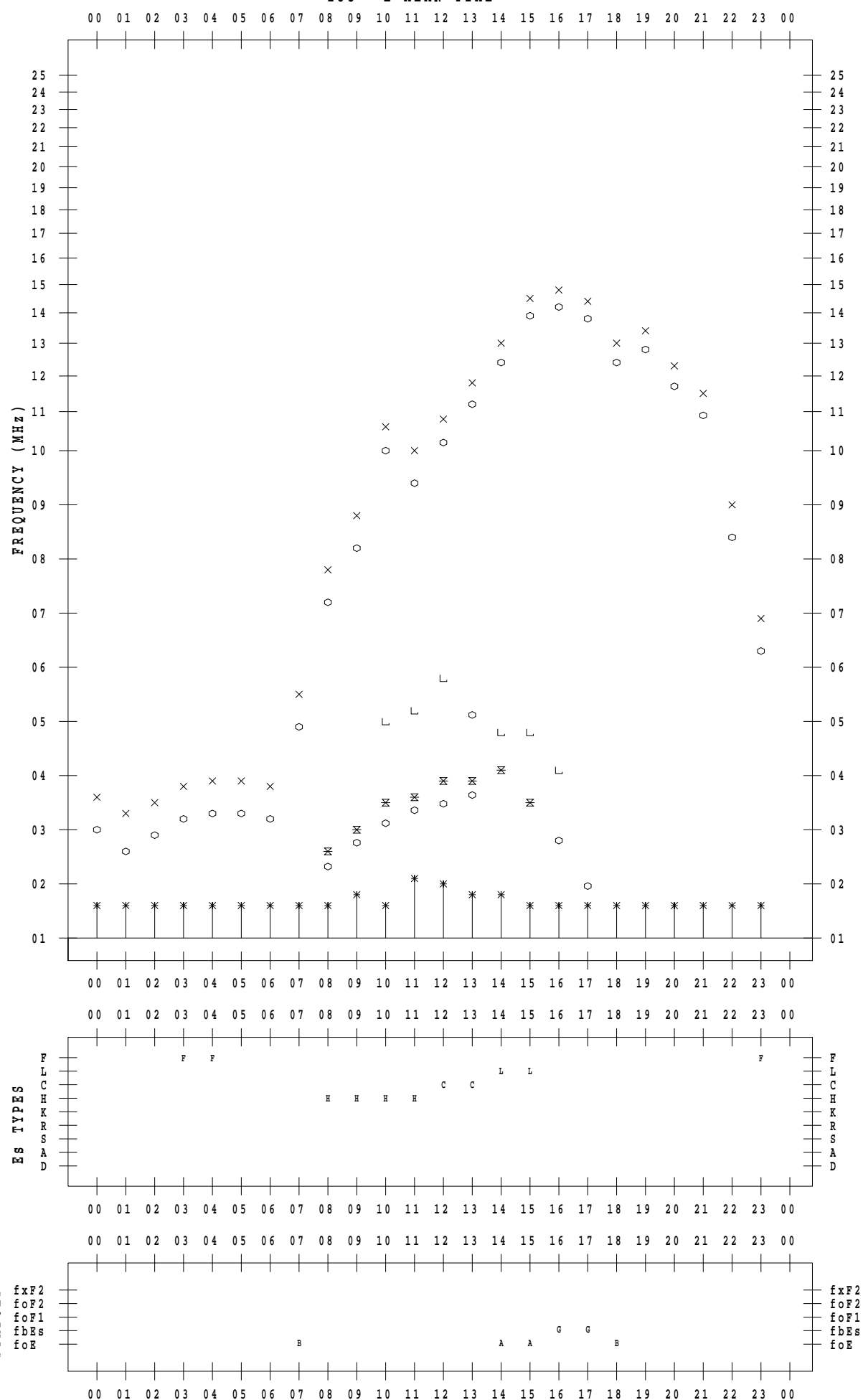
## f - P L O T D A T A

SCALER : I.YAMAZAKI

STATION : Okinawa

DATE : 2022/12/10

135 ° E MEAN TIME



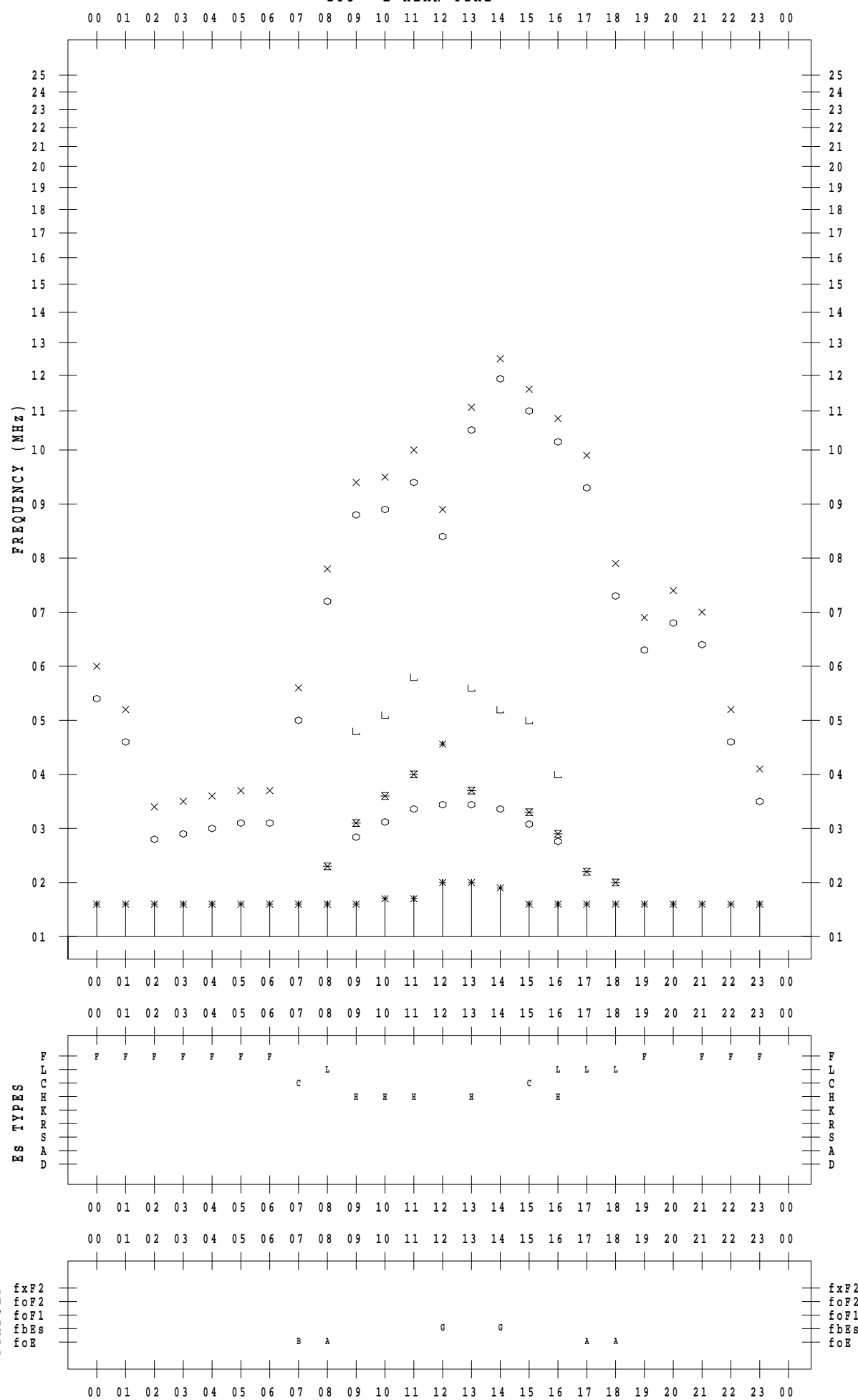
## f - PLOT DATA

SCALER : I.YAMAZAKI

STATION : Okinawa

DATE : 2022/12/11

135 °E MEAN TIME



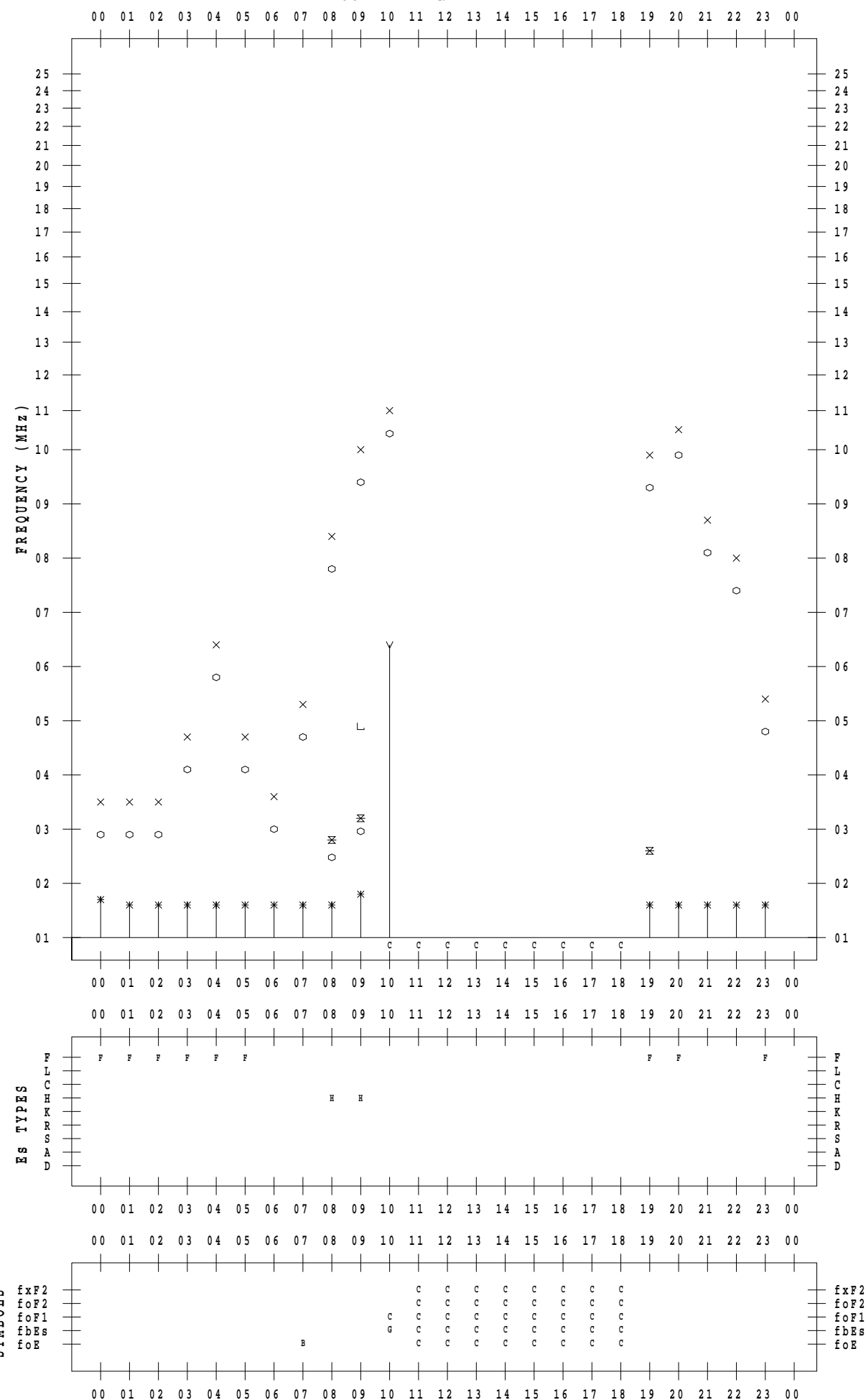
## f - P L O T D A T A

SCALER : I.YAMAZAKI

STATION : Okinawa

DATE : 2022/12/12

135 ° E MEAN TIME



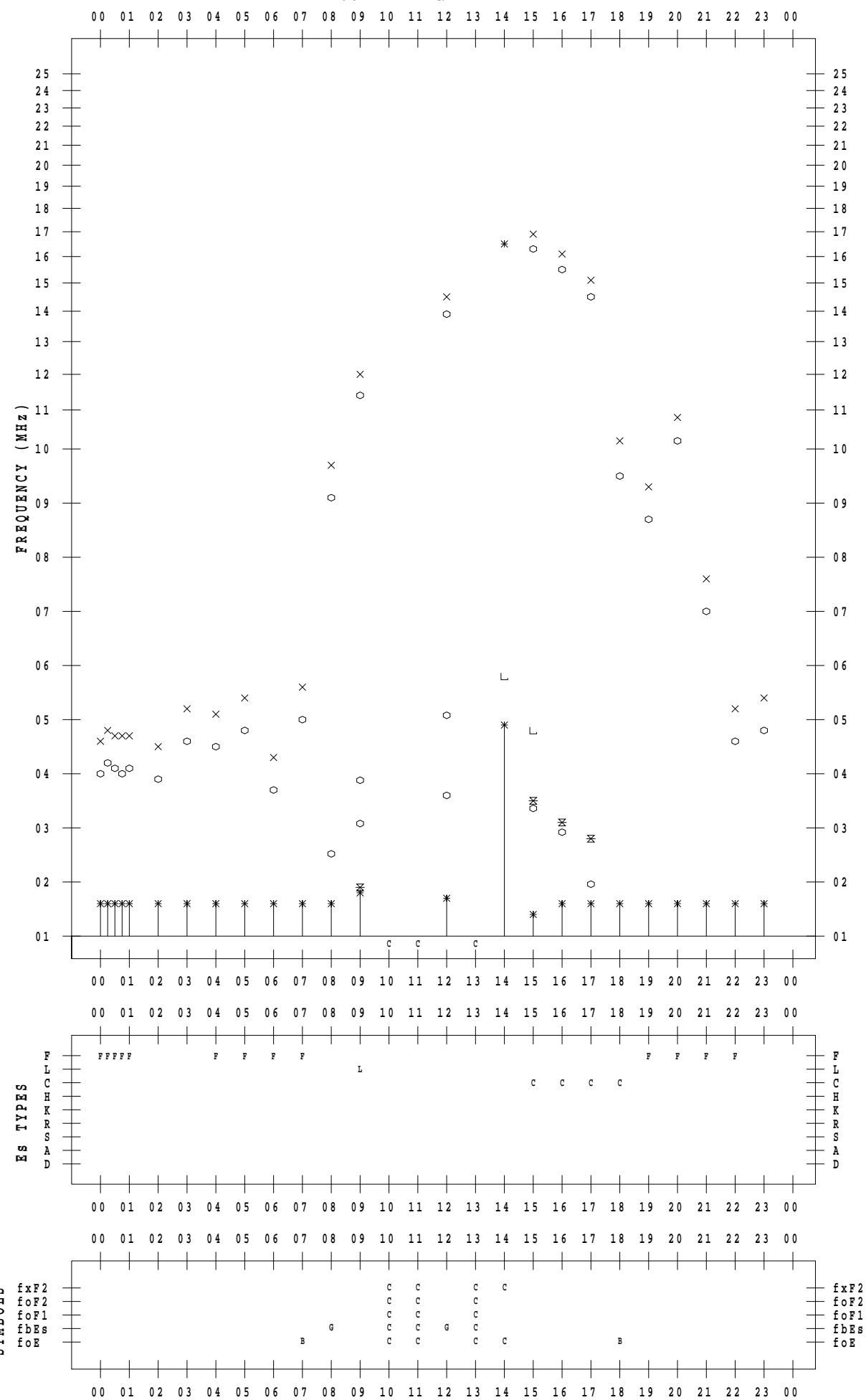
## f - PLOT DATA

SCALER : I.YAMAZAKI

STATION : Okinawa

DATE : 2022/12/13

135 °E MEAN TIME



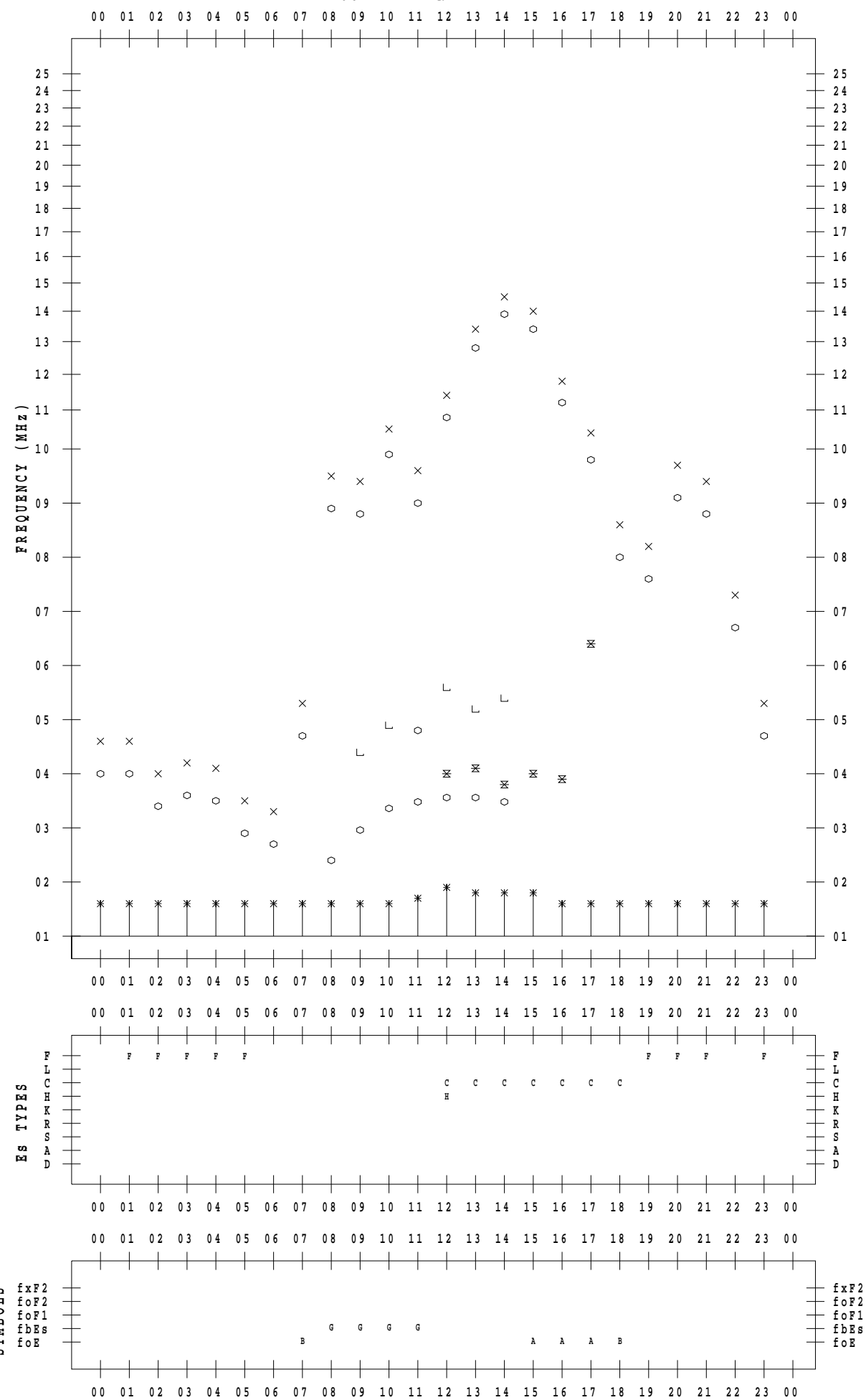
## f - PLOT DATA

SCALER : I.YAMAZAKI

STATION : Okinawa

DATE : 2022/12/14

135 °E MEAN TIME



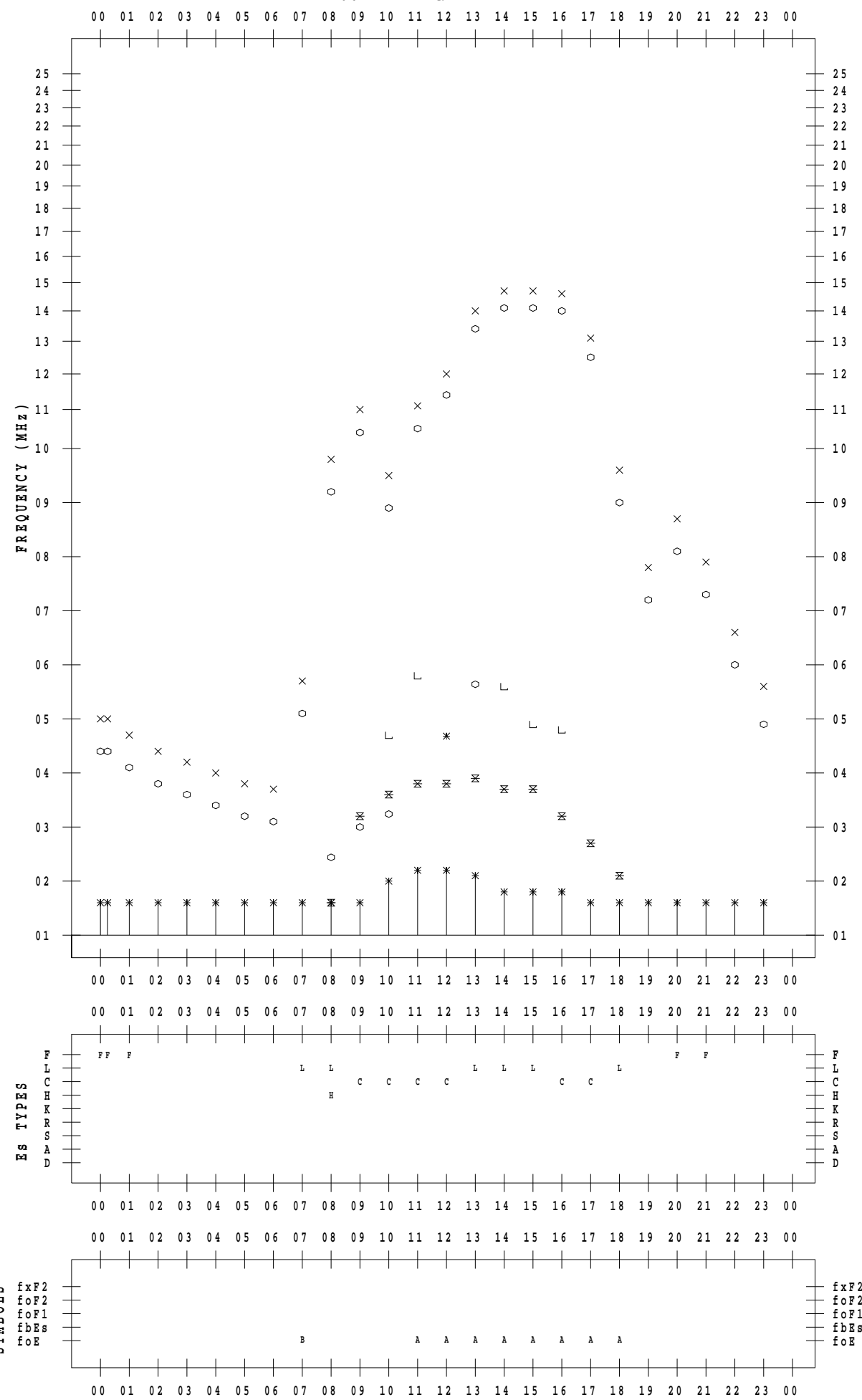
## f - P L O T D A T A

SCALER : I.YAMAZAKI

STATION : Okinawa

DATE : 2022/12/15

135 °E MEAN TIME



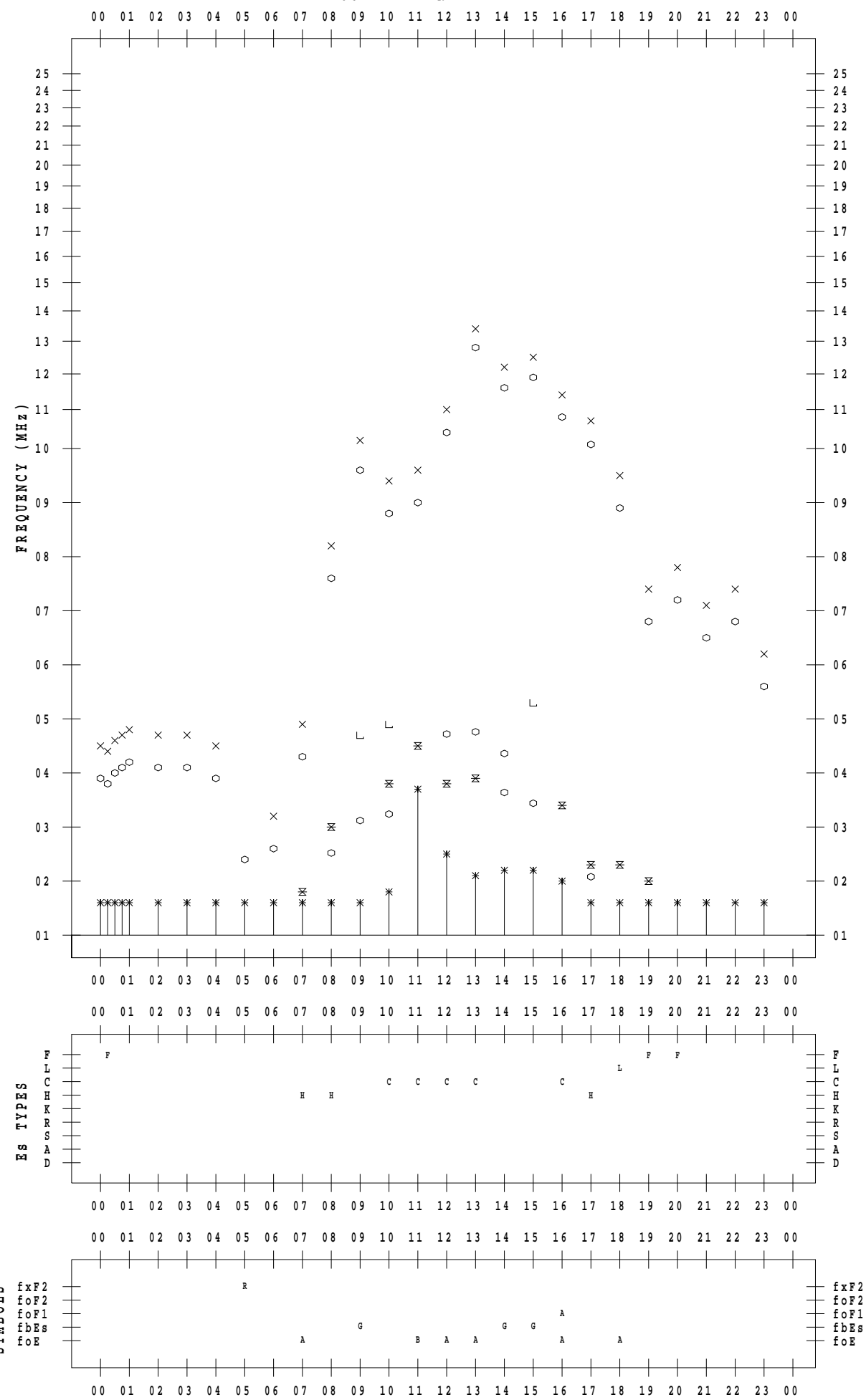
## f - P L O T D A T A

SCALER : I.YAMAZAKI

STATION : Okinawa

DATE : 2022/12/16

135 ° E MEAN TIME



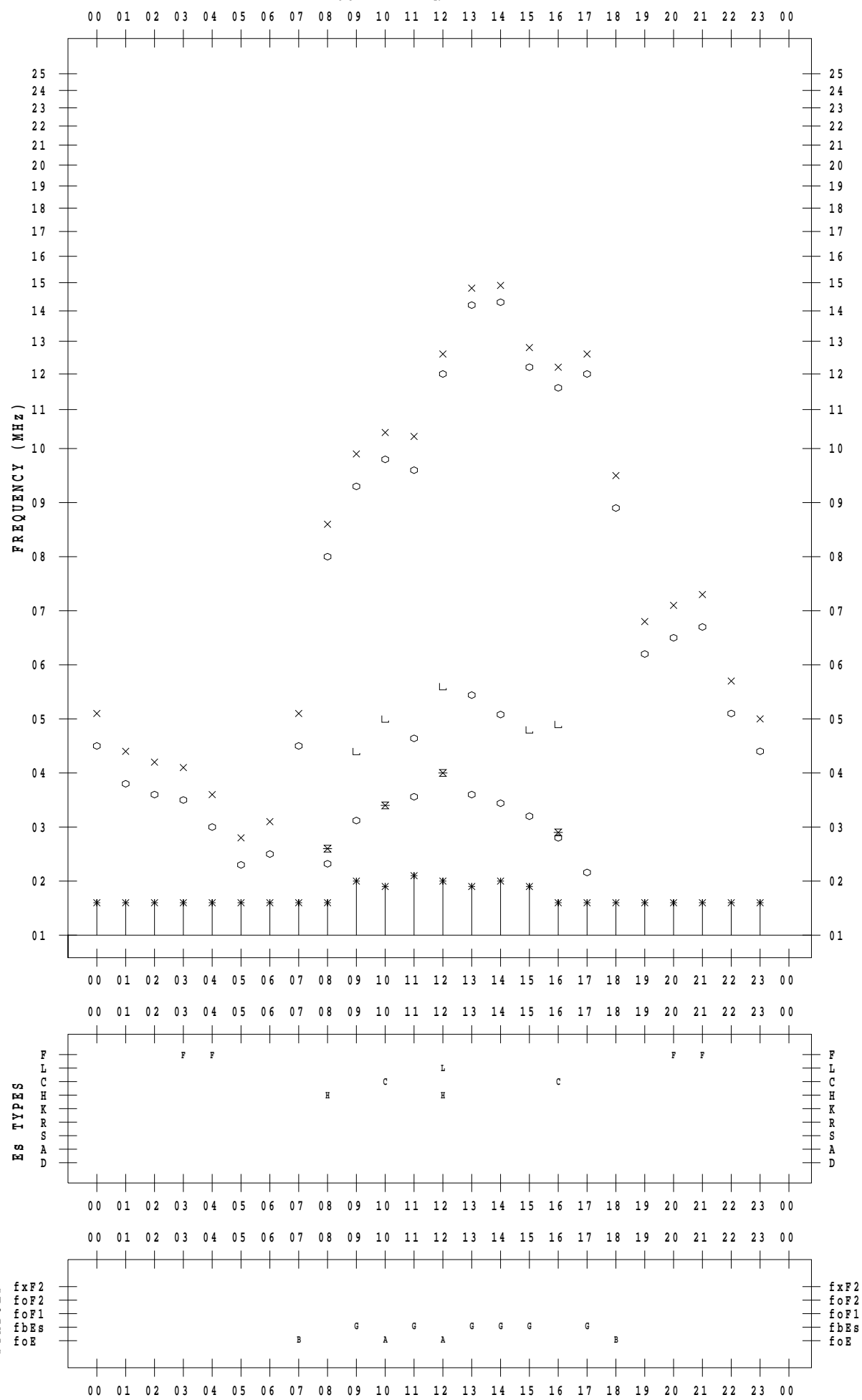
## f - P L O T D A T A

SCALER : I.YAMAZAKI

STATION : Okinawa

DATE : 2022/12/17

135 ° E MEAN TIME



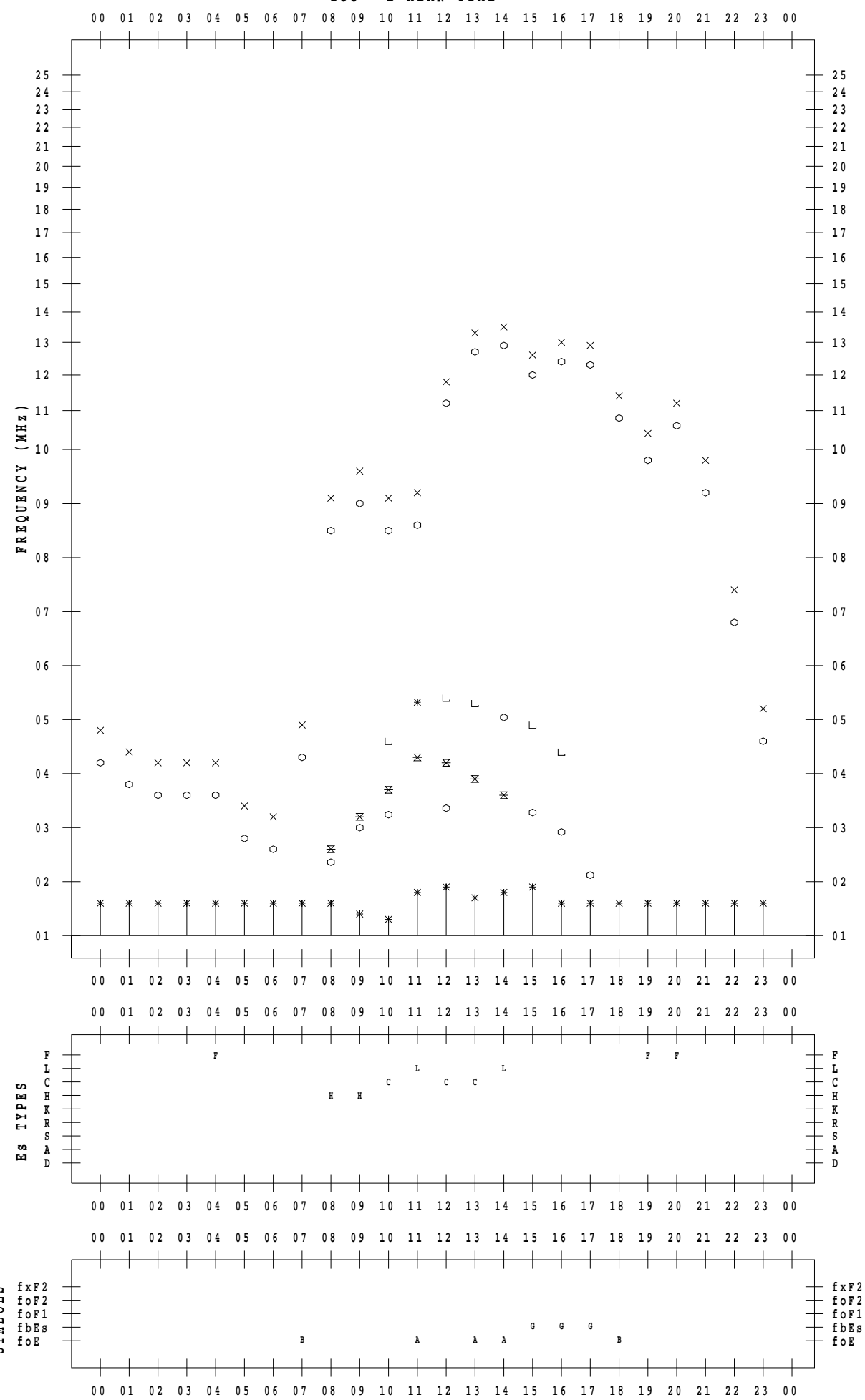
## f - P L O T D A T A

SCALER : I.YAMAZAKI

STATION : Okinawa

DATE : 2022/12/18

135 ° E MEAN TIME



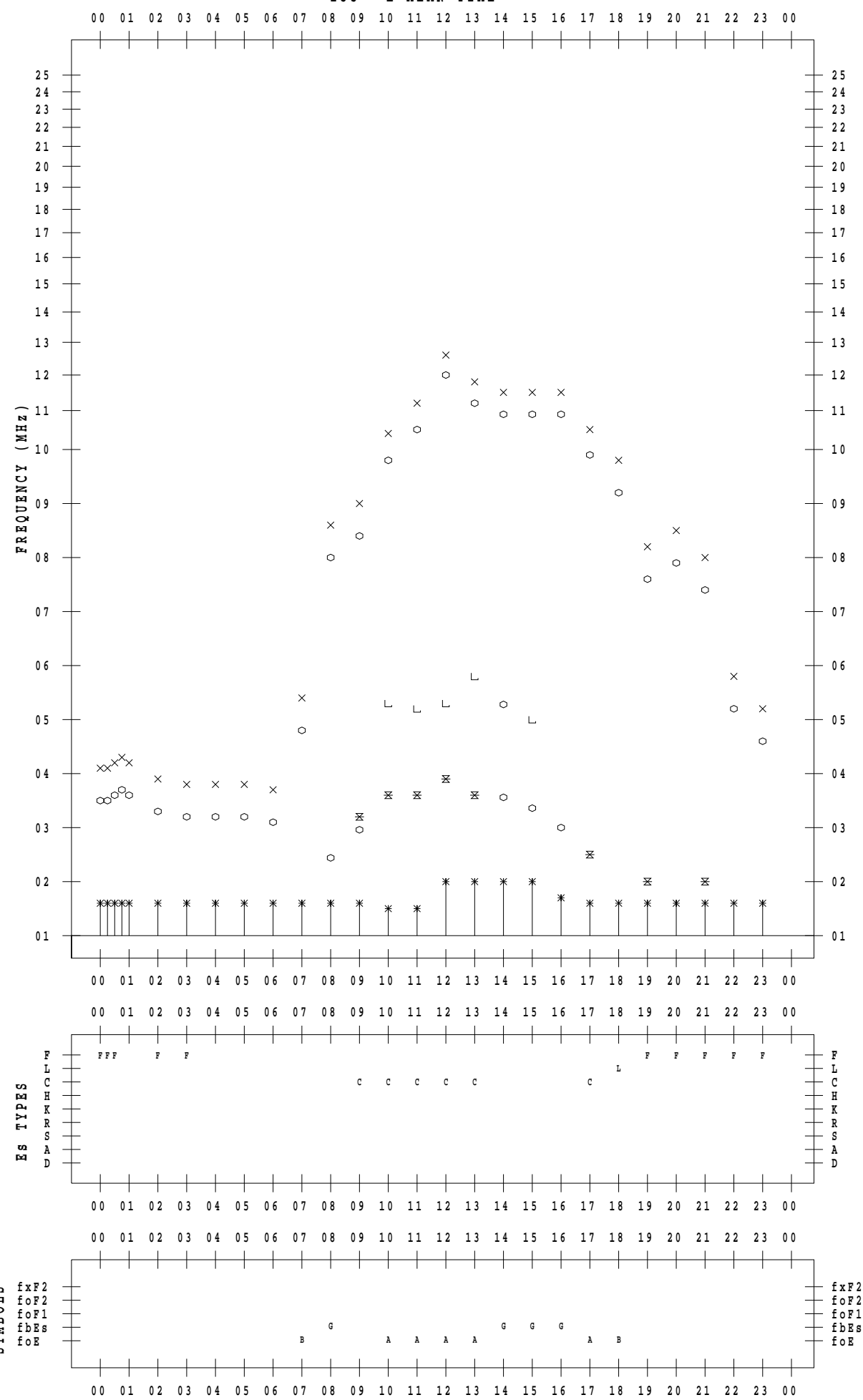
## f - P L O T D A T A

SCALER : I.YAMAZAKI

STATION : Okinawa

DATE : 2022/12/19

135 ° E MEAN TIME



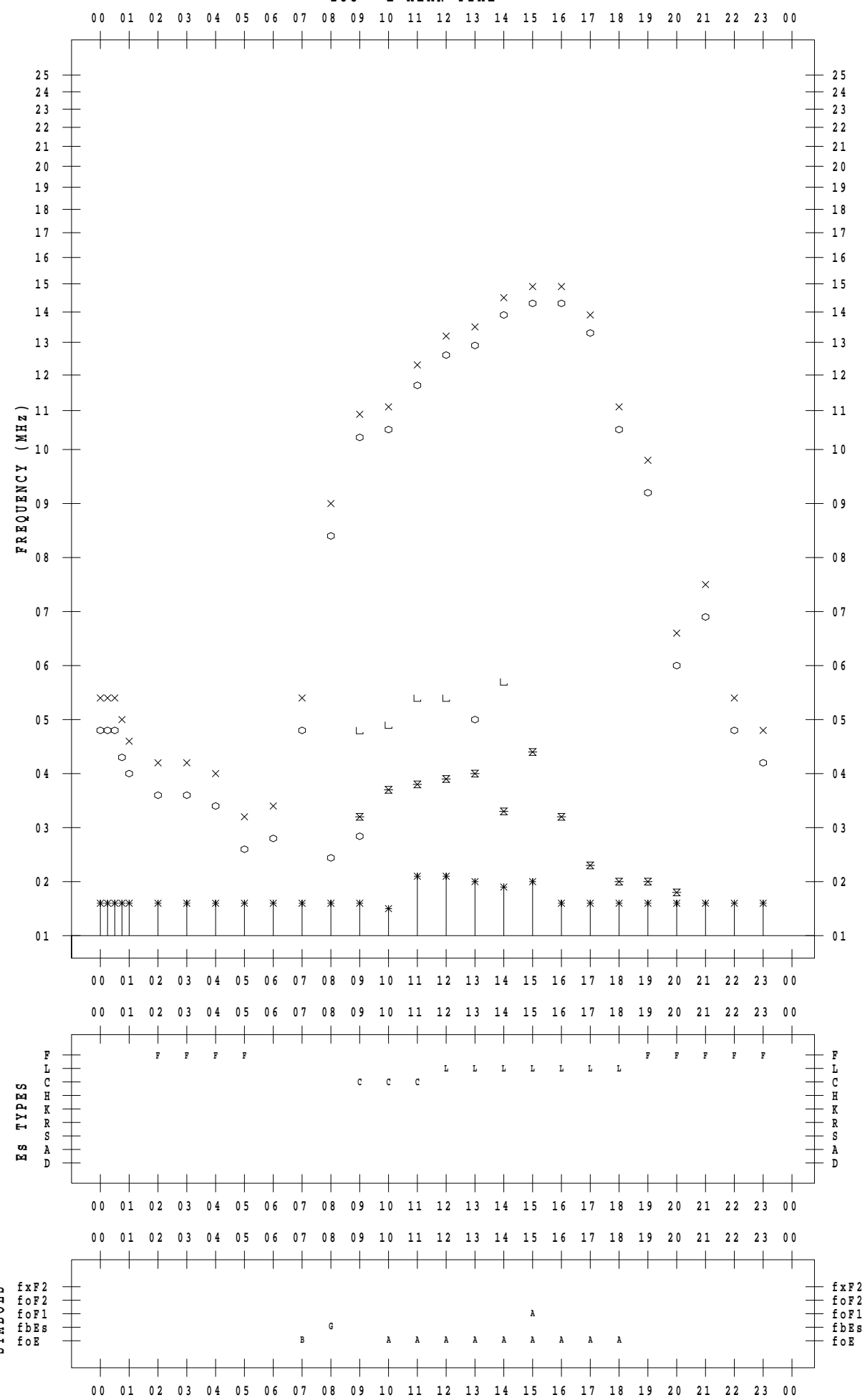
## f - P L O T D A T A

SCALER : I.YAMAZAKI

STATION : Okinawa

DATE : 2022/12/20

135 ° E MEAN TIME



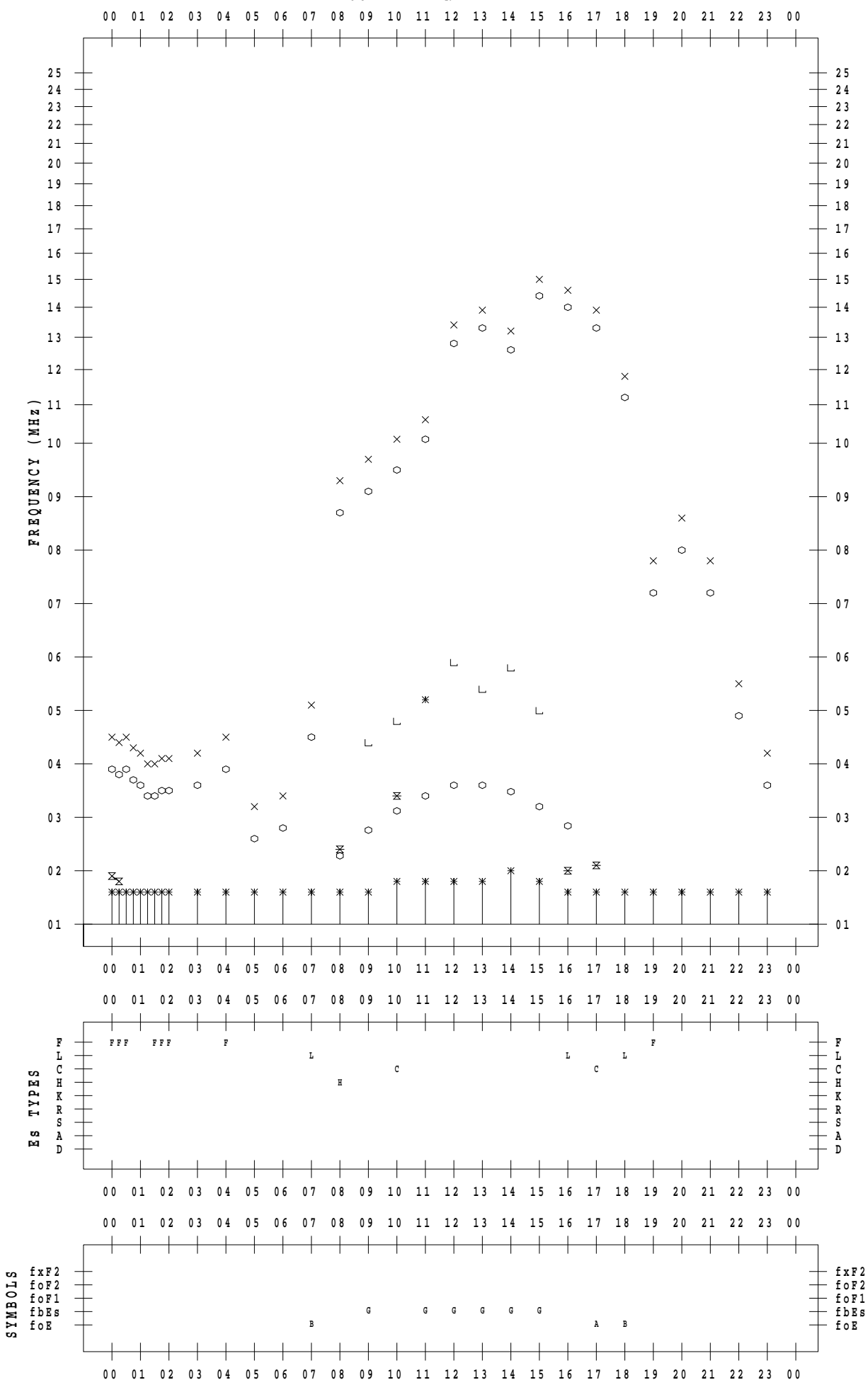
## **f - PLOT DATA**

SCALER : I.YAMAZAKI

STATION : Okinawa

DATE : 2022 / 12 / 21

135 ° E MEAN TIME



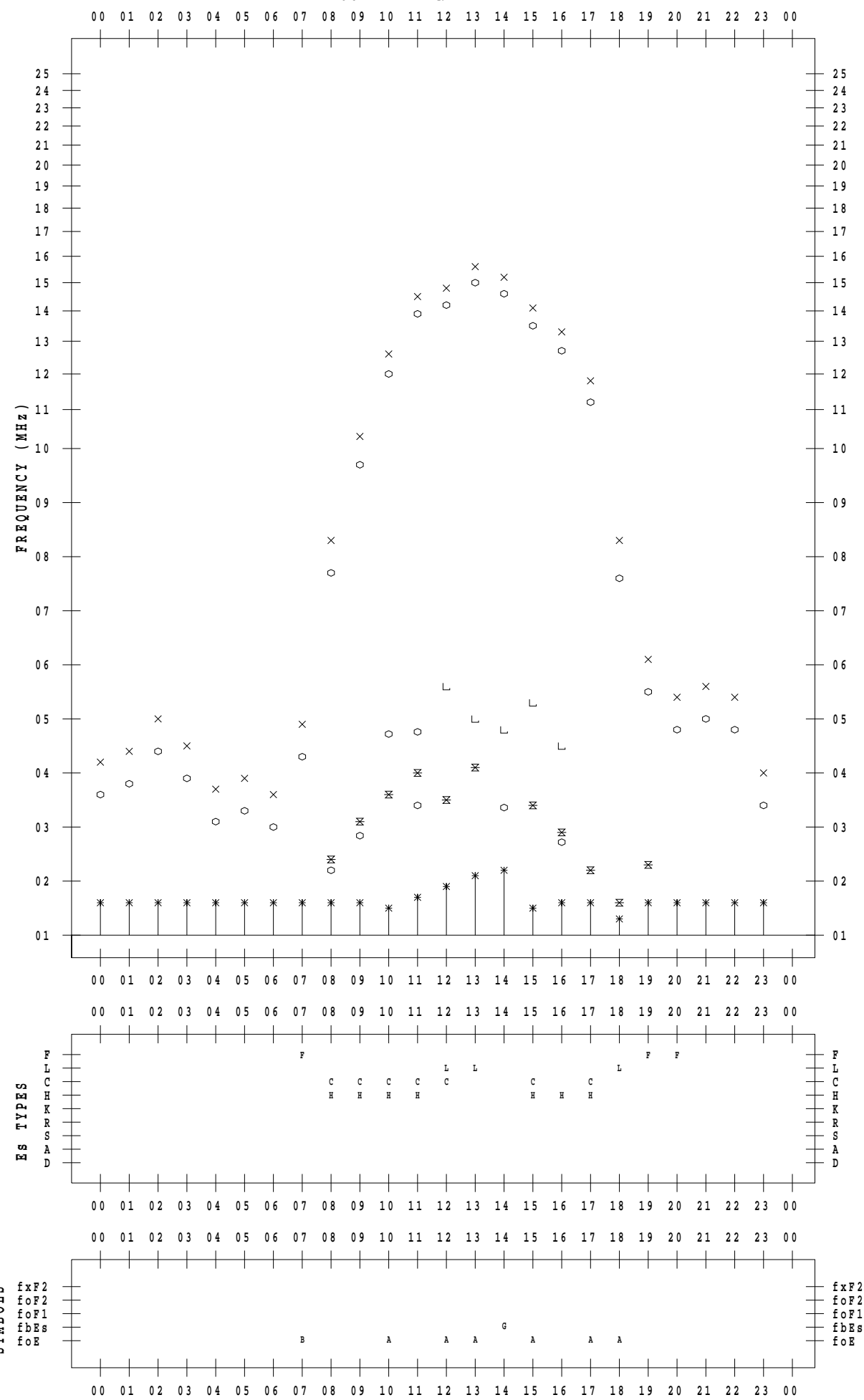
## f - P L O T D A T A

SCALER : I.YAMAZAKI

STATION : Okinawa

DATE : 2022/12/22

135 ° E MEAN TIME



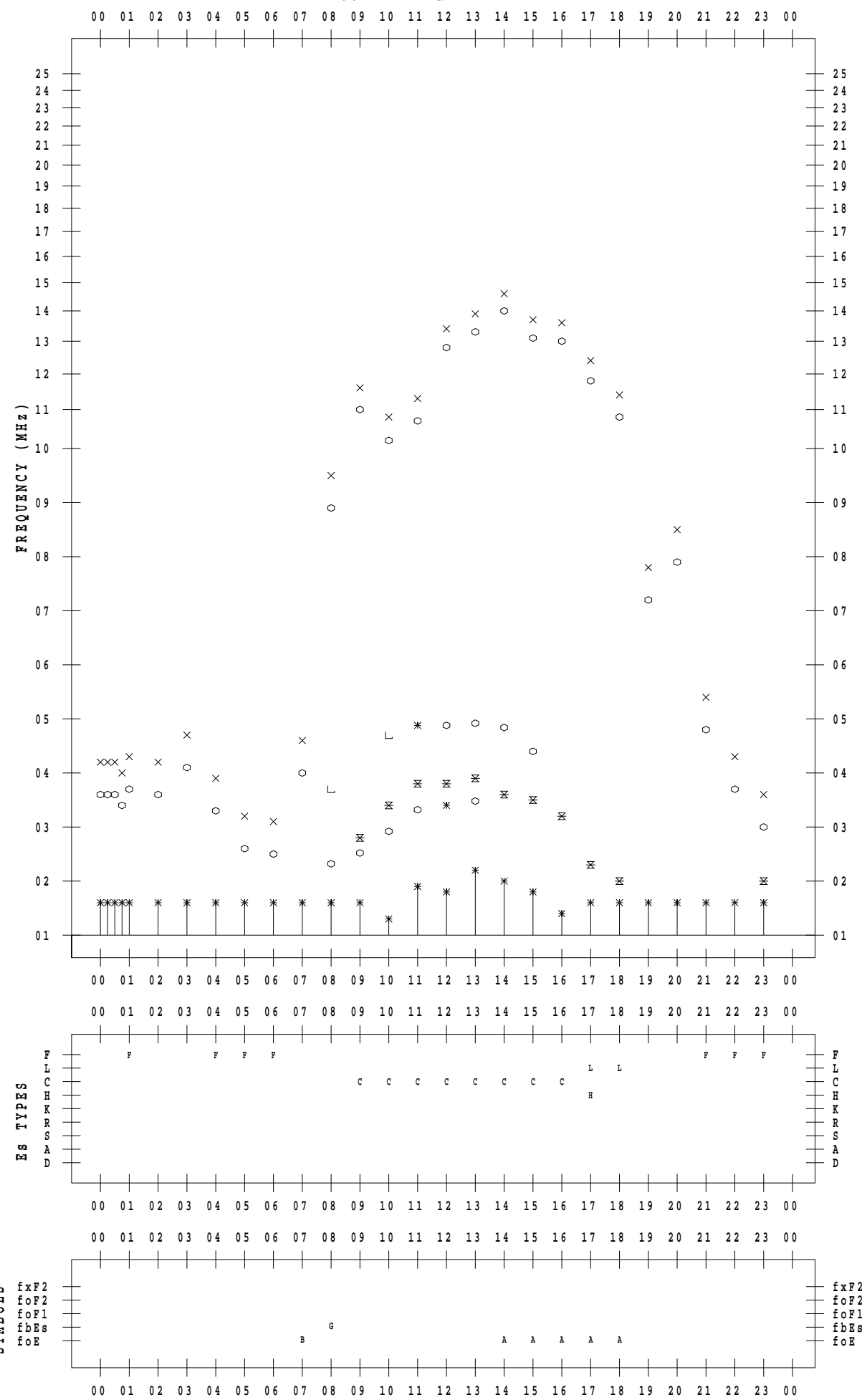
## f - P L O T D A T A

SCALER : I.YAMAZAKI

STATION : Okinawa

DATE : 2022/12/23

135 ° E MEAN TIME



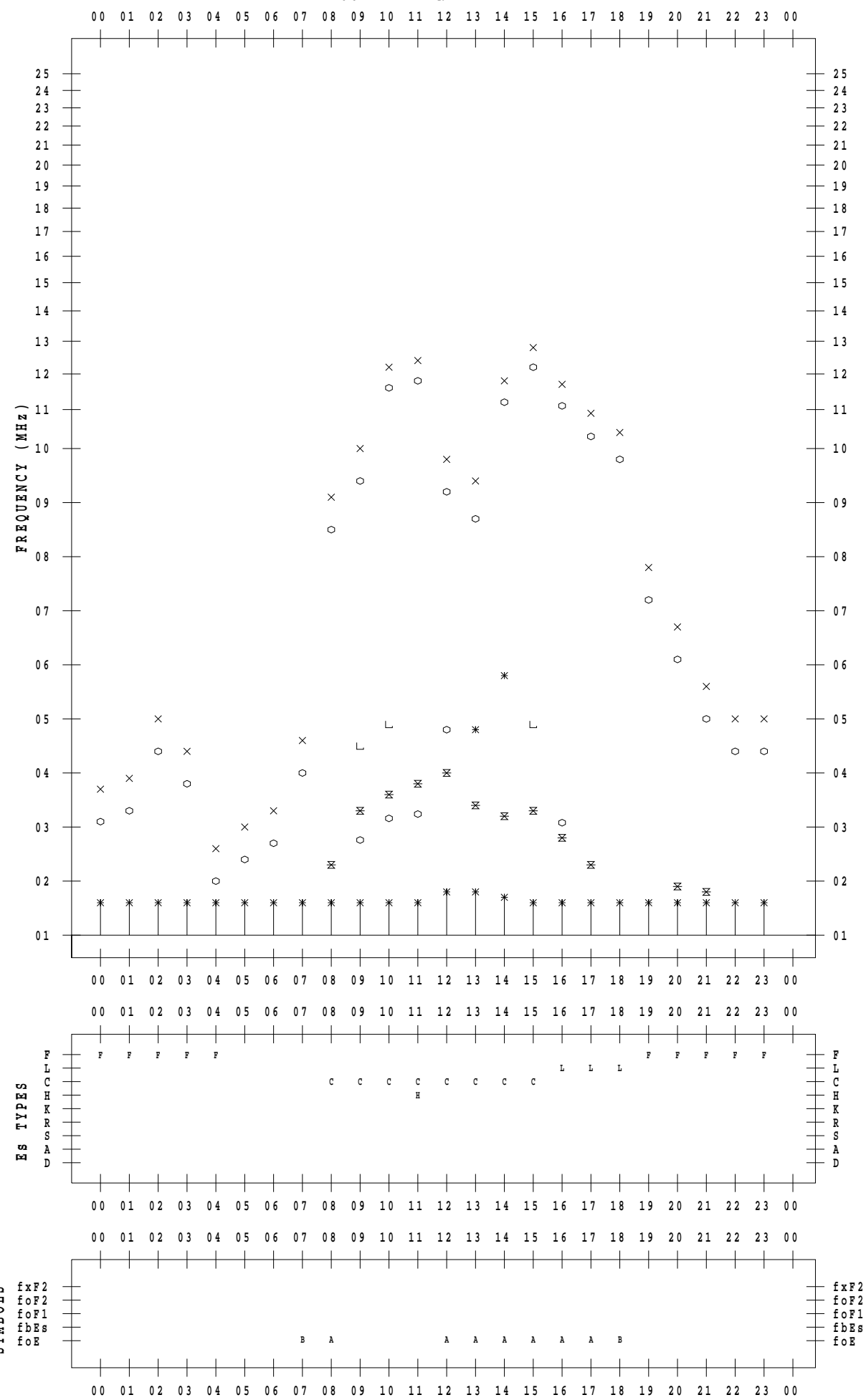
## f - P L O T D A T A

SCALER : I.YAMAZAKI

STATION : Okinawa

DATE : 2022/12/24

135 ° E MEAN TIME



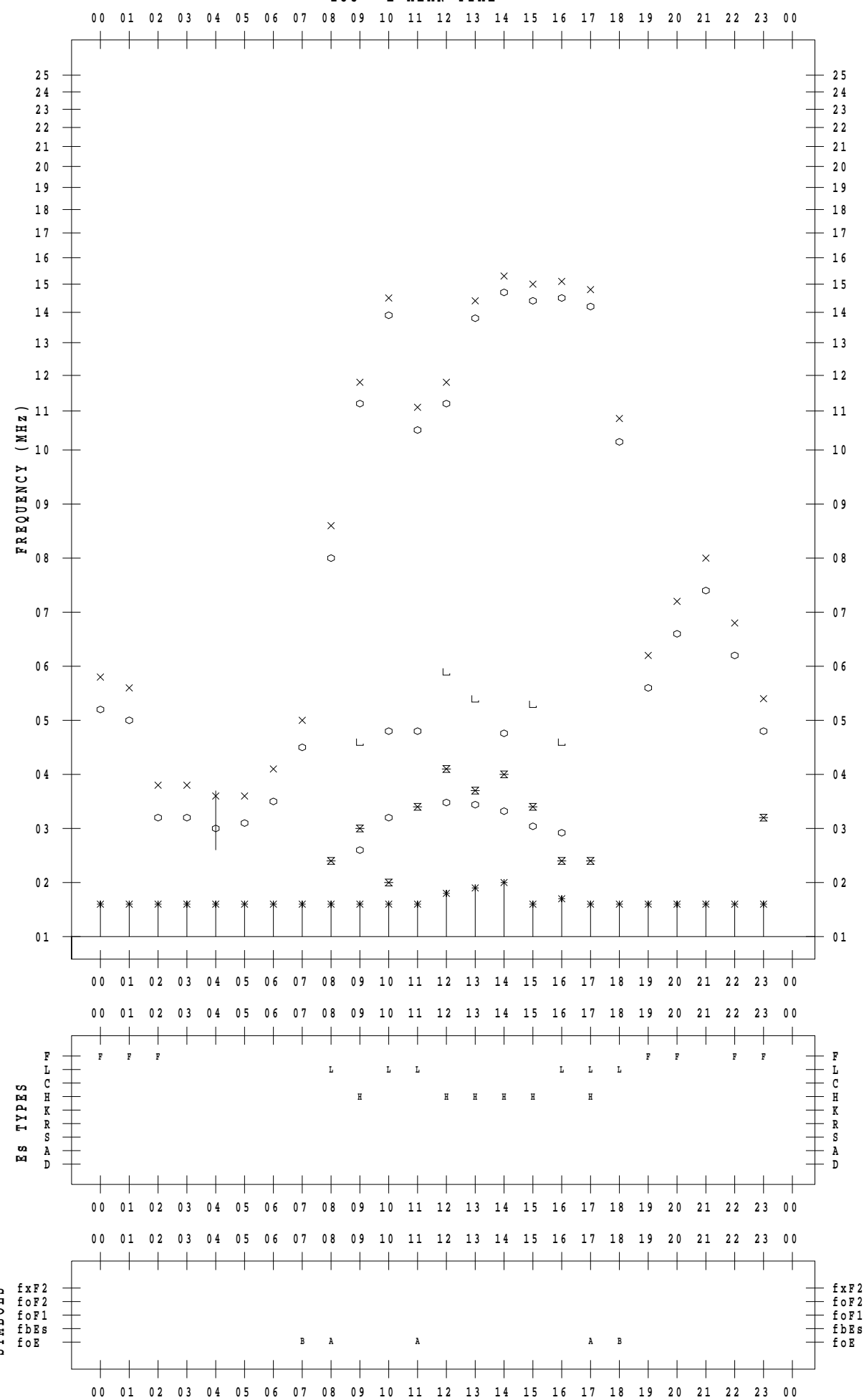
## f - P L O T D A T A

SCALER : I.YAMAZAKI

STATION : Okinawa

DATE : 2022/12/25

135 ° E MEAN TIME



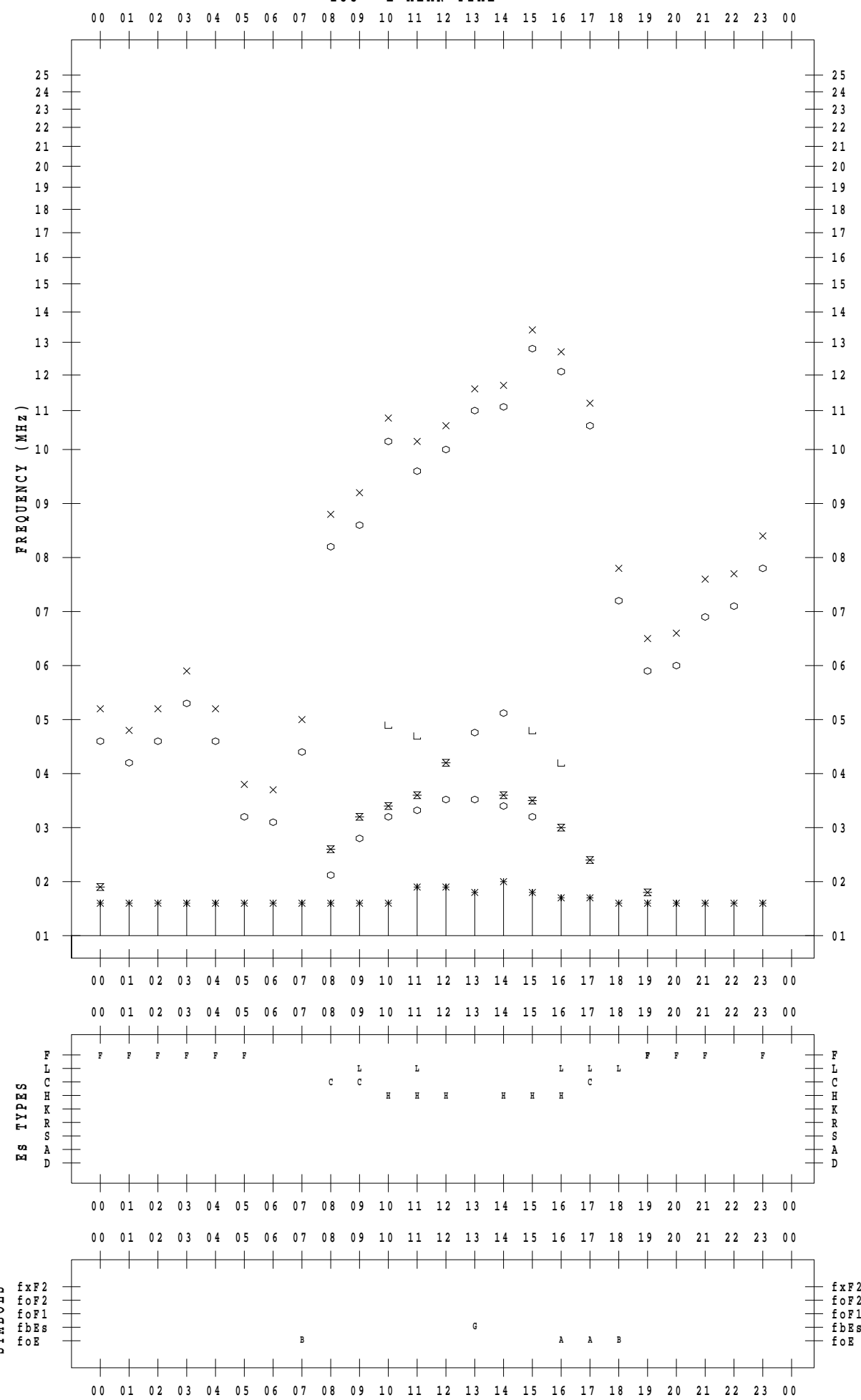
## f - P L O T D A T A

SCALER : I.YAMAZAKI

STATION : Okinawa

DATE : 2022/12/26

135 ° E MEAN TIME



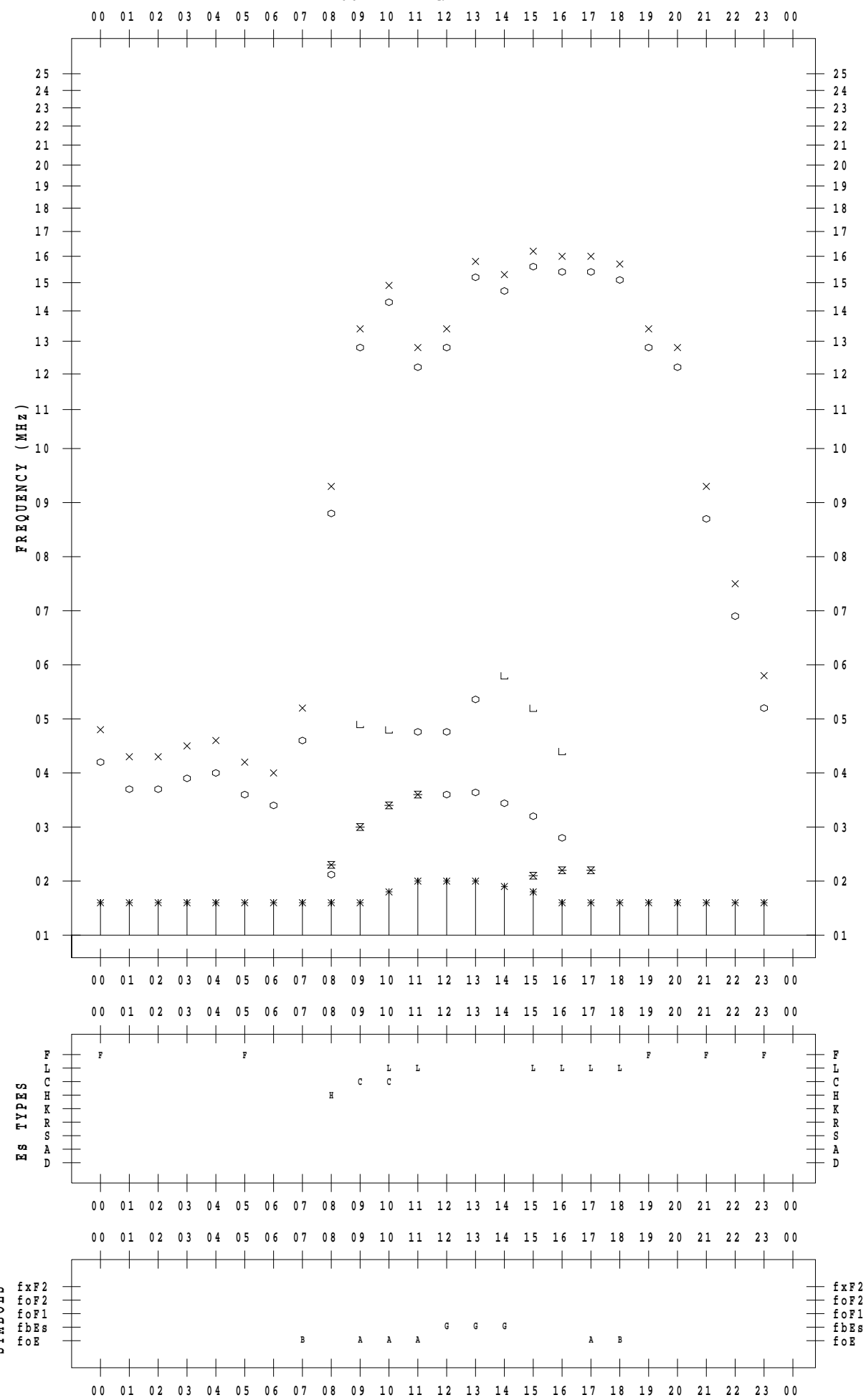
## f - P L O T D A T A

SCALER : I.YAMAZAKI

STATION : Okinawa

DATE : 2022/12/27

135 ° E MEAN TIME



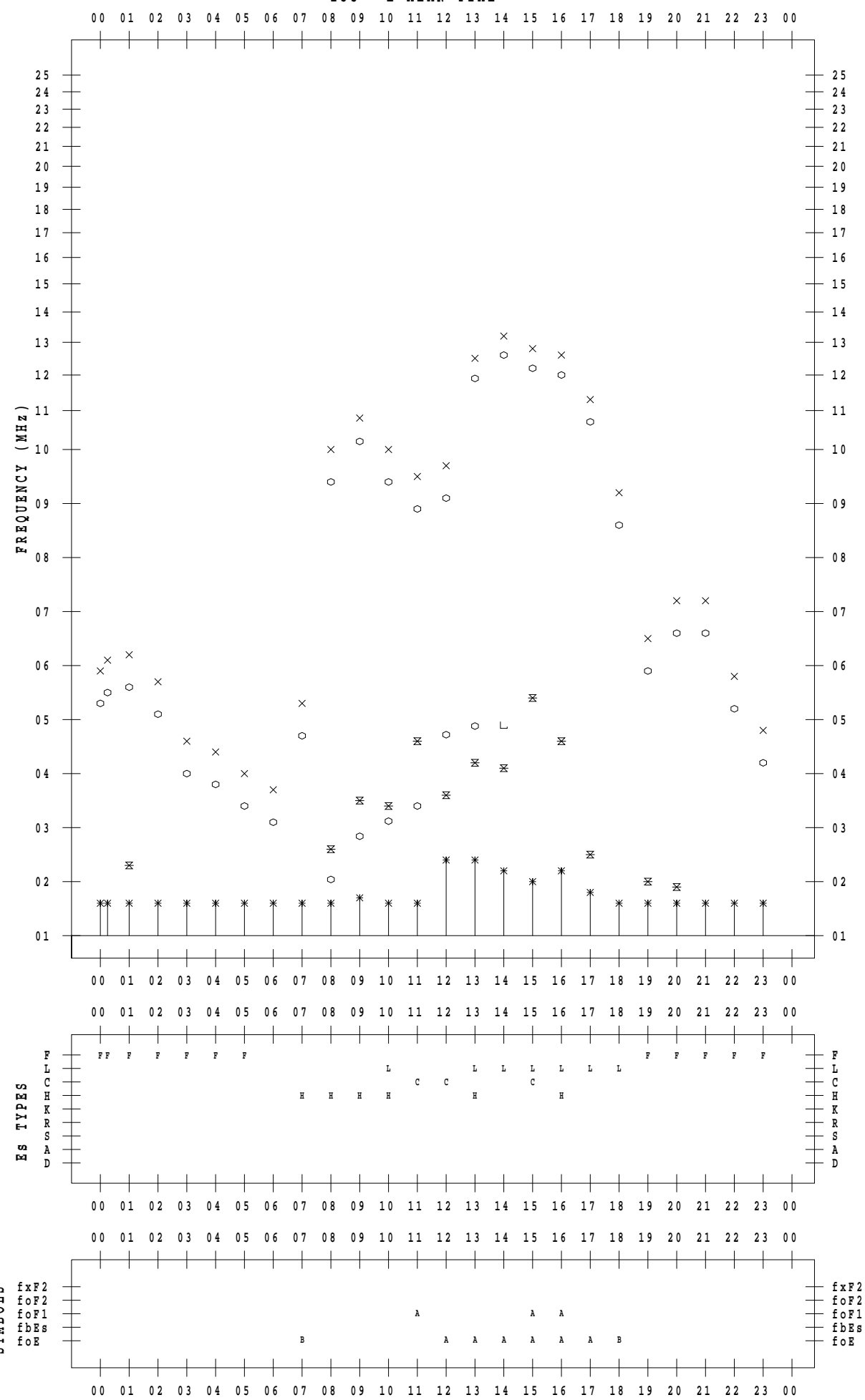
## f - P L O T D A T A

SCALER : I.YAMAZAKI

STATION : Okinawa

DATE : 2022/12/28

135 ° E MEAN TIME



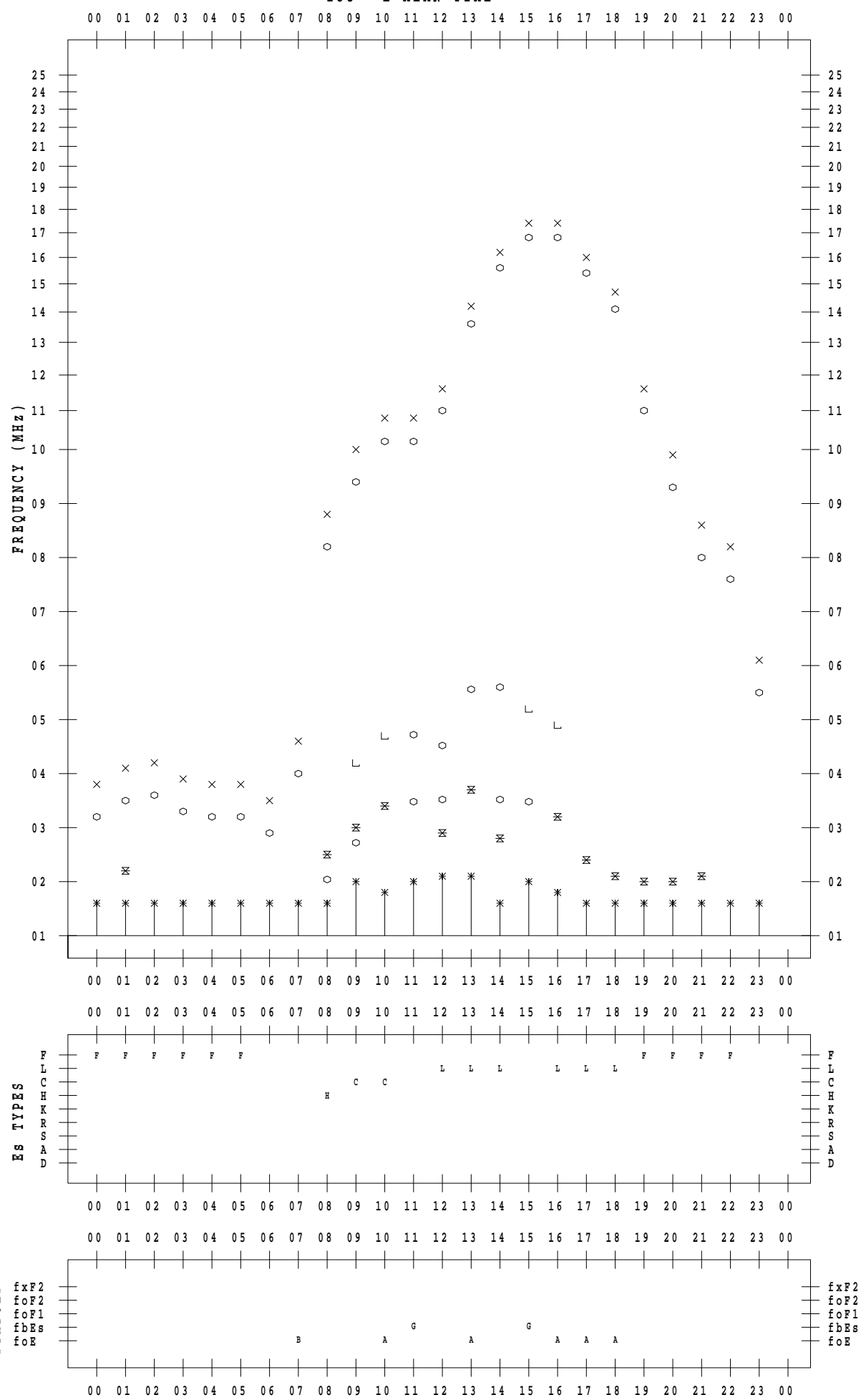
## f - P L O T D A T A

SCALER : I.YAMAZAKI

STATION : Okinawa

DATE : 2022/12/29

135 ° E MEAN TIME

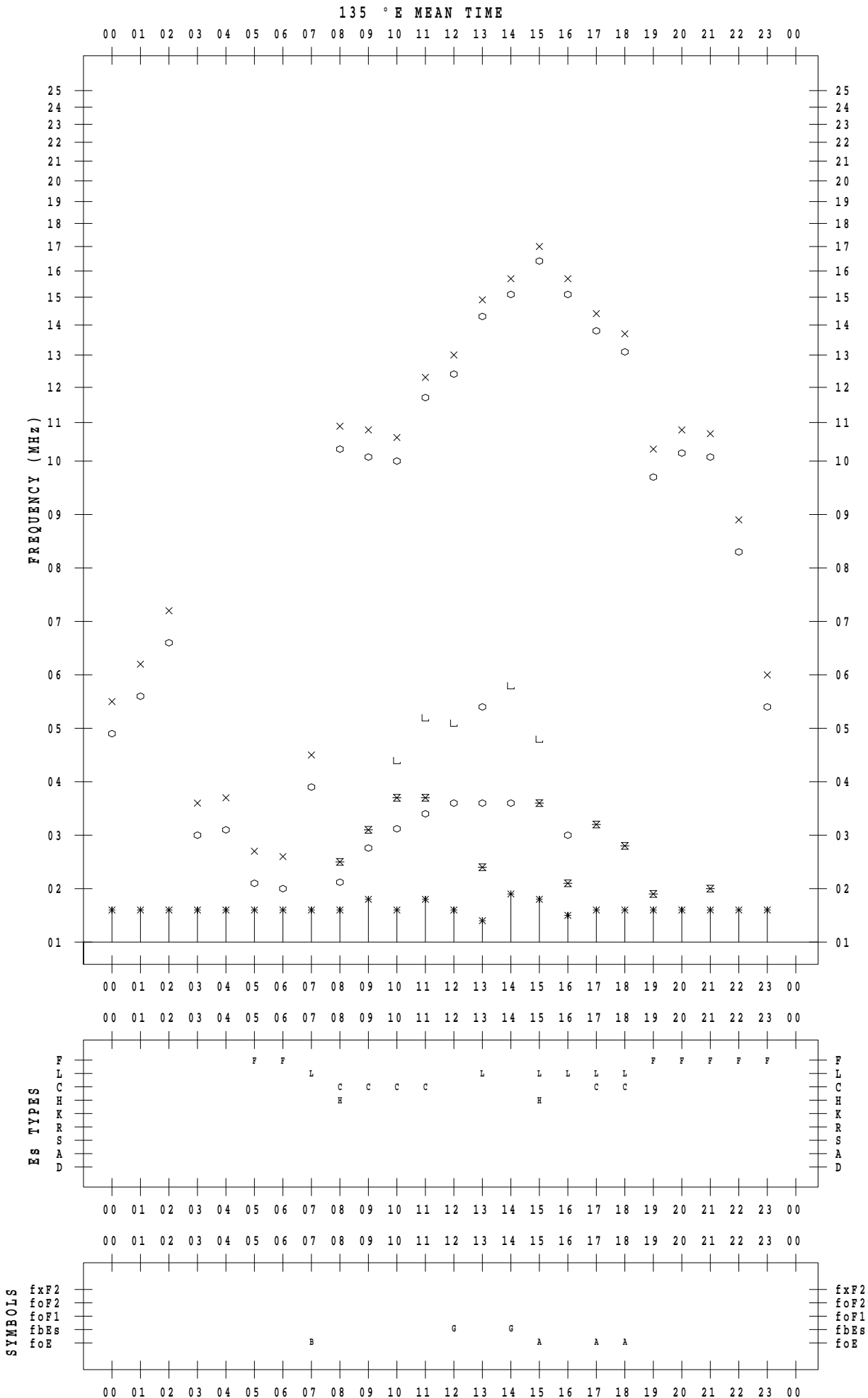


## **f - P L O T    D A T A**

SCALER : I.YAMAZAKI

STATION : Okinawa

DATE : 2022 / 12 / 30



## f - P L O T D A T A

SCALER : I.YAMAZAKI

STATION : Okinawa

DATE : 2022/12/31

135 ° E MEAN TIME

